

Helga Sedlmayer – Georg Tiefengraber

**FORSCHUNGEN IM SÜDOSTNORISCHEN
VICUS AM SAAZKOGEL (STEIERMARKE)**



Die Grabungen der Jahre 2002–2005

ÖSTERREICHISCHES ARCHÄOLOGISCHES INSTITUT

SONDERSCHRIFTEN BAND 41

WIEN 2006



Forschungen im südostnорischen Vicus am Saazkogel (Steiermark)

Die Grabungen der Jahre 2002–2005

Helga SEDLMAYER – Georg TIEFENGRABER

Forschungen im südostnorischen Vicus am Saazkogel (Steiermark)

Die Grabungen der Jahre 2002–2005

Helga SEDLMAYER – Georg TIEFENGRABER

mit Beiträgen von

Alois EDER-HINTERLEITNER, Christoph GRILL, Stefan GROH,
SUSANNE LEHNER, Andreas LIPPERT, Klaus LÖCKER,
Wolfgang NEUBAUER, Ursula SCHACHINGER, Sirri S. SEREN

ÖSTERREICHISCHES ARCHÄOLOGISCHES INSTITUT
SONDERSCHRIFTEN BAND 41
WIEN 2006

Gedruckt mit Unterstützung durch den Fonds zur Förderung der wissenschaftlichen Forschung und durch die Abteilung für Wissenschaft und Forschung des Amtes der Steiermärkischen Landesregierung

© 2006 ÖSTERREICHISCHES ARCHÄOLOGISCHES INSTITUT

Alle Rechte vorbehalten

Redaktion: Andrea Riedel

Schriftsatz: Roman Jacobek, 1050 Wien

Druck: Robitschek & Co. Ges.m.b.H., 1050 Wien

ISBN 3-900305-47-1

Umschlagbild: Saazkogel 2003, Schnitt S4–5, Gebäude I (Foto: G. Tiefengraber)

Inhaltsverzeichnis

Vorwort (A. LIPPERT)	11
Einleitung und Methodik (H. SEDLMAYER – G. TIEFENGRABER)	13
1. Forschungsgeschichte	13
2. Das Projekt „Römischer Vicus am Saazkogel 2002–2005“	13
2.1 Archäologische Grabungen	13
2.2 Geophysikalische Prospektion	15
2.3 Archäologische Bearbeitung und Publikation der Befunde und Funde	16
2.4 Konservierung und Präsentation der archäologischen Befunde	17
 I. Der römische Vicus am Saazkogel – Ergebnisse der Ausgrabungen und Prospektionen (A. LIPPERT – G. TIEFENGRABER unter Mitarbeit von A. EDER-HINTERLEITNER – S. LEHNER – K. LÖCKER – W. NEUBAUER – S. S. SEREN)	
A. Siedlungsarchäologische Forschungen am Saazkogel in den Jahren 1999–2005 (A. LIPPERT)	21
1. Lage und Gestalt des Saazkogels	21
2. Geologie und Böden	21
3. Ältere Forschungen	23
4. Neue Forschungen	23
4.1 Die römischen Befunde und Funde am Gipfelplateau	25
B. Gesamtdarstellung der Baubefunde der Ausgrabungen 2002–2005 (G. TIEFENGRABER) ..	29
1. Siedlungsbefunde	29
1.1 Ausgrabung 2003 auf Parz. 90 (S4–5)	29
1.1.1 Siedlungsbefunde der Periode 1 (70–100/110 n. Chr.)	29
1.1.2 Siedlungsbefunde der Periode 2 (120–130/140 n. Chr.)	32
1.1.3 Siedlungsbefunde der Periode 3 (130/140–170/180 n. Chr.)	39
1.1.4 Siedlungsbefunde der Periode 4 (170/180–230 n. Chr.)	45
1.2 Ausgrabung 2005 auf Parz. 93/4 (S9–11)	51
1.2.1 Siedlungsbefunde der Perioden 1–2 (70–130/140 n. Chr.)	52
1.2.2 Siedlungsbefunde der Perioden 2–3 (120–170/180 n. Chr.)	52
1.2.3 Siedlungsbefunde der Periode 4.1 (170/180–200 n. Chr.)	52
1.2.4 Siedlungsbefunde der Perioden 3–4.1 (130/140–200 n. Chr.)	53
1.2.5 Siedlungsbefunde der Periode 4.2 (200–230 n. Chr.)	57
2. Gräberfeld West – Ausgrabungen 2004 auf Parz. 74/10 (S6)	57
2.1 Gräberfeldphase 1 (Perioden 3–4)	58
2.2 Gräberfeldphase 2 (Periode 4) – Grabbezirk mit Aedicula	60
2.3 Spätantike Befunde (Periode 5)	69
3. Neuzeitliche Befunde (Periode 6)	71
C. Die archäologisch-geophysikalische Prospektion am Saazkogel bei Paldau, Steiermark (A. EDER-HINTERLEITNER – K. LÖCKER – W. NEUBAUER – S. S. SEREN)	75
1. Fragestellung	75
2. Durchführung der Messung und Auswertung	75
2.1 Magnetik	75
2.2 Georadar	77
3. Archäologische Interpretation und Ergebnisse	77

D. Zusammenfassende Befundinterpretation (G. TIEFENGRABER)	87
E. Der Vicus und sein Umfeld (S. LEHNER – G. TIEFENGRABER)	93
II. Typochronologische und chorologische Analyse der archäologischen Funde aus den Grabungen Saaz 2002–2005 (St. GROH – H. SEDLMAYER – G. TIEFENGRABER unter Mitarbeit von S. LEHNER – U. SCHACHINGER)	
A. Die römerzeitlichen Fundmünzen des Vicus auf dem Saazkogel (U. SCHACHINGER)	107
1. Katalog der Fundmünzen aus Saaz	107
2. Auswertung der Fundmünzen aus Saaz	109
2.1 Nominalien	113
2.2 Münzstätten	115
2.3 Conclusio	115
B. Die römischen Keramikprodukte	117
1. Terra Sigillata aus den Grabungen 2002–2005 im Vicus von Saaz (St. GROH)	117
1.1 Formenanalyse	117
1.2 Produktionszentren	118
1.3 Terra Sigillata der Perioden 1–4	122
1.3.1 Die Terra Sigillata der Periode 1 (70–100/110 n. Chr.)	122
1.3.2 Die Terra Sigillata der Periode 2 (120–130/140 n. Chr.)	123
1.3.3 Die Terra Sigillata der Periode 3 (130/140–170/180 n. Chr.)	123
1.3.4 Die Terra Sigillata der Periode 4 (170/180–230 n. Chr.)	124
1.4 Der Import und die Verwendung von Terra Sigillata in den Vici von Saaz, Gleisdorf, Kalsdorf und Favianis-Mautern sowie im Municipium Flavia Solva	127
2. Sigillataimitationen (H. SEDLMAYER)	136
3. Feinware, Importe und Imitationen (H. SEDLMAYER)	138
3.1 Italische Feinware bzw. deren Imitationen	138
3.2 Pannonische glasierte Feinware	139
3.3 Rätische Ware und Imitationen rätischer und rheinischer Feinware	139
4. Transportkeramik (H. SEDLMAYER)	140
5. Römische Gebrauchskeramik (H. SEDLMAYER)	141
5.1 Schüssel- und Schalentypen	141
5.2 Tellertypen	146
5.3 Kannen- und Krugtypen	149
5.4 Bechertypen	149
5.5 Topftypen	153
6. Lampen und Terrakotta (H. SEDLMAYER)	165
C. Gläser und Glasverarbeitung (S. LEHNER)	167
D. Metallfunde (G. TIEFENGRABER)	171
1. Trachtbestandteile	171
1.1 Fibeln	171
1.2 Gürtelteile	175
2. Schmuck	176
2.1 Armreifen/-ringe	176
2.2 Ringe	177
2.3 Nadeln bzw. Nadelköpfe	177
3. Möbelbeschlag	177
4. Wagenteile	178
5. Werkzeug	178

6. Messer	178
7. Schlüssel / Schloss	179
8. Bleigewichte und Waage	179
9. Nägel und Mauerhaken	180
10. Varia	180
E. Beinfunde (G. TIEFENGRABER)	183
F. Steinindustrie (G. TIEFENGRABER)	185
1. Basalt und Basalttuff	185
2. Tuff	185
3. Kalkstein	186
4. Marmor	187
G. Textilindustrie (G. TIEFENGRABER)	189
H. Kontextbezogene Analysen des römischen Fundmaterials aus den Grabungen im Vicus von Saaz 2002–2005 (H. SEDLMAYER)	
1. Periode 1 (70–100/110 n. Chr.)	191
1.1 Fundstreuungen/Fundzahlen in den Befunden der Periode 1	191
1.2 Die Periodisierung – Datierungsansätze aufgrund der Befund-/Fundsituationen in Periode 1	191
1.3 Das Gefäßrepertoire der Periode 1	191
1.4 Handel: Importe von Fernhandelsgütern in Periode 1	193
1.5 Charakterisierung der materiellen Kultur der Vicani in Periode 1	193
2. Periode 2 (120–130/140 n. Chr.)	194
2.1 Fundstreuungen/Fundzahlen in den Befunden der Periode 2	194
2.2 Die Periodisierung – Datierungsansätze aufgrund der Befund-/Fundsituationen in Periode 2	194
2.3 Regionale und importierte Gefäße der Periode 2	194
2.4 Charakterisierung der materiellen Kultur der Vicani in Periode 2	195
3. Periode 3 (130/140–170/180 n. Chr.)	196
3.1 Fundstreuungen/Fundzahlen in den Befunden der Periode 3	196
3.2 Die Periodisierung – Datierungsansätze aufgrund der Befund-/Fundsituationen in Periode 3	196
3.3 Das Gefäßrepertoire der Periode 3: Regionale Produkte und Importe	196
3.4 Handwerkliche Produktion in Periode 3	202
3.5 Charakterisierung der materiellen Kultur der Vicani in Periode 3	202
4. Periode 4 (170/180–200/230 n. Chr.)	203
4.1 Periode 4.1 (170/180–200 n. Chr.)	203
4.1.1 Fundstreuungen/Fundzahlen in den Befunden der Periode 4.1	203
4.1.2 Die Periodisierung – Datierungsansätze aufgrund der Befund-/Fund- situationen in Periode 4.1	203
4.1.3 Das Gefäßrepertoire aus den Befunden der Periode 4.1 im Vergleich mit jenem der Periode 3	203
4.2 Periode 4.2 (200–230 n. Chr.)	207
4.2.1 Fundstreuungen/Fundzahlen in den Befunden der Periode 4.2	207
4.2.2 Die Periodisierung – Datierungsansätze aufgrund der Befund-/Fund- situationen in Periode 4.2	207
4.2.3 Das Gefäßrepertoire der Periode 4.2	207
4.3 Graffiti auf Gefäßkeramik	210
4.4 Die Gefäßkeramik aus dem Gräberfeldareal	210
4.5 Charakterisierung der materiellen Kultur der Vicani in den Perioden 4.1 und 4.2	212

5. Periode 5 (spätantik)	212
6. Das römische Gefäßspektrum der Perioden 1–4 im Überblick: Diversifikation der Formanteile und Konvergenz von Formvorkommen	213
III. Tierreste aus den Grabungen Saaz 2002–2004 (Ch. GRILL)	
1. Einleitung	221
2. Ergebnisse	221
2.1 Hausrind (<i>Bos primigenius</i> f. <i>taurus</i>)	222
2.2 Hausschaf oder Hausziege (<i>Ovis ammon</i> f. <i>aries</i> / <i>Capra aegagrus</i> f. <i>hircus</i>)	224
2.3 Hausschwein (<i>Sus scrofa</i> f. <i>domestica</i>)	225
2.4 Hauspferd (<i>Equus ferus</i> f. <i>caballus</i>)	225
2.5 Haushund (<i>Canis lupus</i> f. <i>familiaris</i>)	225
3. Schlussfolgerungen	226
IV. Vici der frühen und mittleren Kaiserzeit in Noricum (Stand der Forschung 2005) (H. SEDLMAYER)	
1. Von den offenen Siedlungen der späten La-Tène-Zeit zu jenen der mittleren Kaiserzeit in Noricum	231
1.1 Offene Siedlungen der späten La-Tène-Zeit in Noricum	231
1.2 Zur Kontinuität der offenen Siedlungen in Noricum von der späten Eisenzeit zur frühen römischen Kaiserzeit	232
1.3 Kontinuität und Bedeutungsverlust von Civitas-Hauptorten in Südnoricum	233
2. Bezug der Vici zu den Verkehrswegen in Noricum	234
3. Drei offene Siedlungstypen der frühen und mittleren Kaiserzeit	236
3.1 Vici mit Ein-/ Mehrraumhäusern – Gleisdorf, Kalsdorf, Saaz, Colatio-Stari trg, Tarnantone-Pfongau	236
3.2 Vici mit Mischbebauung (Ein-/ Mehrraumhäuser und Streifenverbauung – Immurium-Moosham, Bedaium-Seebruck; Ein-/ Mehrraumhäuser und Korridorhaus – Karlstein)	237
3.3 Vici mit Bebauung in Streifenparzellen – Boiodurum-Passau, Lentia-Linz, Favianis-Mautern, Augustianis-Traismauer, Zwentendorf, Comagenis-Tulln	241
4. Funktion der römischen Vici in Noricum	244
5. Zusammenfassendes zu den Vici in Noricum	249
6. Überblick über die archäologischen Baubefunde von Vici der frühen und mittleren Kaiserzeit in Noricum	251
V. Zusammenfassung (H. SEDLMAYER – G. TIEFENGRABER)	259
VI. Anhang	
1. Abkürzungen	264
2. Keramische Referenzgruppen (RF)	265
3. Abgekürzte Typenansprachen und Zitierwerke	266
4. Verzeichnis der abgekürzt zitierten Literatur	267
5. Autorenverzeichnis	274
6. Abbildungsnachweise	274
VII. Katalog und Tafeln (H. SEDLMAYER mit Bestimmungen von Georg TIEFENGRABER [Befunddaten, Kleinfunde] – Stefan GROH [Terra Sigillata] – Susanne LEHNER [Glas] – Ursula SCHACHINGER [Münzen])	
Periode 1 (70–100/110 n. Chr.) – Siedlung S4–5 (Taf. 1–3)	277
Perioden 1–2 (70–130/140 n. Chr.) – Siedlung S9 (Taf. 31)	281

Periode 2 (120–130/140 n. Chr.) – Siedlung S4–5 (Taf. 4)	282
Perioden 2–3 (120–170/180 n. Chr.) – Siedlung S4–5 (Taf. 5)	285
Perioden 2–3 (120–170/180 n. Chr.) – Siedlung S9 (Taf. 31)	285
Periode 3 (130/140–170/180 n. Chr.) – Siedlung S4–5 (Taf. 5–12)	286
Periode 3 (130/140–170/180 n. Chr.) – Siedlung S1	294
Perioden 3–4.1 (130/140–200 n. Chr.) – Siedlung S10 (Taf. 31)	294
Perioden 3–4.1 (130/140–200 n. Chr.) – Siedlung S11 (Taf. 31)	294
Periode 4.1 (170/180–200 n. Chr.) – Siedlung S4–5 (Taf. 12–26)	295
Periode 4.1 (170/180–200 n. Chr.) – Siedlung S1	313
Periode 4.1 (170/180–200 n. Chr.) – Siedlung S9 (Taf. 31)	313
Periode 4.2 (200–230 n. Chr.) – Siedlung S4–5 (Taf. 26–29)	314
Periode 4.2 (200–230 n. Chr.) – Siedlung S1	320
Periode 4.2–4.3 (200–230 n. Chr.) – Siedlung S9 (Taf. 31)	320
Periode 4.2 (200–230 n. Chr.) – Siedlung S10 (Taf. 31)	321
Perioden 3–4 (130–230 n. Chr.) – Gräberfeld S6 (Taf. 30)	321
Periode 5 (spätantik) – Gräberfeld S6 (Taf. 30)	322
Antik, nicht näher datierbar – Siedlung S4–5	324
Oberflächenfunde des Grabungsareals 2003 und 2005 (S4, S5, S9, S10)	325
Streu- und Sondengeherfunde 2002/2003–2005 (Parz. 74/10, Parz. 81, Parz. 90, Parz. 93/3–4) (Taf. 33–36)	325
Verwahrung der Grabungs-, Streu- und Sondengeherfunde 2002–2005	328

Vorwort

Unser Wissen von der vorrömischen Besiedlung des Raabtals in der Oststeiermark war bis vor wenigen Jahren auf Zufallsfunde und einige kleine Rettungsgrabungen angewiesen. Gerade dieses aus dem Voralpengebiet in die pannonische Ebene führende breite Tal besaß aber schon seit sehr früher Zeit eine gewisse Bedeutung für Landwirtschaft und Handel. Um frühe Siedlungsformen – einschließlich solche der römischen Kaiserzeit – näher zu erkunden, begann ich im Jahr 1999 ein mikroregionales Forschungsprojekt am Saazkogel. Die am Südrand des mittleren Raabtals gelegene Erhebung befindet sich an einem uralten Verkehrskreuz am Rande des oststeirischen Hügellands. Die jetzt ergrabenen ältesten kupferzeitlichen Siedlungsspuren gehen auf den Beginn des 4. Jahrtausends v. Chr. zurück.

Aus römischer Zeit sind am Saazkogel ein großes Grabhügelfeld am Nordhang und nunmehr Gebäudereste am Gipfelplateau sowie eine ausgedehnte Siedlung am Südhang bekannt. Dieser Vicus wurde durch systematische Begehungen, vor allem aber durch digital dokumentierte Schichtengrabungen an mehreren Stellen und eine geophysikalische Prospektion erschlossen. Es konnten dabei genaue sowie wesentliche neue Ergebnisse zum Bild einer römischen Straßensiedlung beigetragen und Vergleiche zu anderen Vici in Noricum gezogen werden. Besonders wertvoll ist es auch, dass die materielle Kultur und Wirtschaft des neu erforschten Vicus in mehreren kleinen Zeitscheiben, also nach Siedlungsperioden gegliedert, dargestellt werden kann.

Zur Finanzierung der Ausgrabungen am Saazkogel haben die Marktgemeinde Paldau und die Abteilung für Wissenschaft und Forschung des Amtes der Steiermärkischen Landesregierung erheblich beigetragen. Ebenso dankenswert sind aber auch die Bemühungen des Bürgermeisters von Paldau, Anton Gutmann, einige freigelegte Gebäudereste und einen Brunnen aus der römischen Siedlung durch einen Schutzbau zu erhalten. Es soll in nächster Zeit außerdem ein archäologischer Lehrpfad am Saazkogel entstehen. Damit kann sich auch die interessierte Öffentlichkeit über die Ergebnisse der jüngsten Forschungen informieren.

Die rasche, aber gleichzeitig sorgfältige Bearbeitung und Veröffentlichung der komplexen Untersuchungen in einem Band der Sonderschriften des Österreichischen Archäologischen Instituts ist einer Vereinbarung mit Herrn Direktor Univ.-Prof. Dr. Dr. h.c. Friedrich Krinzinger zu verdanken. Die umfangreiche Dokumentation und das große Fundmaterial aus den Vicus-Grabungen wurden im Übrigen vorwiegend von einer bereits sehr erfahrenen jüngeren Generation von Fachleuten aus verschiedenen Disziplinen bearbeitet. Dies ist schon deswegen besonders erfreulich, da damit auch ein zukunftsweisendes Potenzial an Wissen und Vermögen zu einer für die Archäologie absolut notwendigen interdisziplinären Zusammenarbeit bestens unter Beweis gestellt wird.

Ein ausdrücklicher Dank für die einheitliche und gut gegliederte Präsentation des römischen Vicus in Saaz ist *last not least* an Frau Mag. Dr. Helga Sedlmayer zu richten. Sie hat die redaktionellen Arbeiten an der Monographie in Abstimmung mit allen Autoren in sehr harmonischer Weise durchgeführt.

Wien, im Juni 2005

Andreas LIPPERT

Einleitung und Methodik

1. FORSCHUNGSGESCHICHTE

Während die Existenz eines ausgedehnten römerzeitlichen Hügelgräberfelds mit über 100 Tumuli auf dem Richtung Raabtal gewandten Nordhang des Saazkogels (Abb. 1) der einschlägigen Forschung bereits seit dem Ende des 19. Jahrhunderts bekannt war und diese Nekropole immer wieder in mehr oder minder autorisierten und kompetenten Ausgrabungen Eingriffe erfuhr¹, konnte die zugehörige Siedlung erst 1997 am Südhang des Hügels lokalisiert werden². Über das Ausmaß der vorerst nur durch Streufunde greifbaren Siedlung waren keinerlei Aussagen möglich, auch blieb zu diesem Zeitpunkt die Frage offen, ob man es hierbei mit einer Villa oder einer andersartigen Siedlungsform zu tun hatte, die mit ihrer deutlichen Hanglage doch von den bis *dato* bekannten römerzeitlichen Befunden abwich.

Das Institut für Archäologie der Universität Graz hatte unter der wissenschaftlichen Leitung von Th. Lorenz mit den langjährigen Grabungen in den Vici von Gleisdorf und Kalsdorf zweifelsohne einen Forschungsschwerpunkt auf derartige kleinstädtisch-dörfliche Siedlungsstrukturen in Südostnoricum gelegt und kurz nach den ersten Beobachtungen von Siedlungsfunden in Saaz auf Initiative von E. Pochmarski Prospektionen (Surveys und geophysikalische Untersuchungen auf zwei Parzellen [Parz. 74/10 und 90] in Kooperation mit dem Institut für Archäologie der Universität Ljubljana, B. Mušič) begonnen; alle Ergebnisse dieser ersten 'Arbeitsphase' am Saazkogel sind bedauerlicherweise unpubliziert geblieben.

2. DAS PROJEKT „RÖMISCHER VICUS AM SAAZKOGEL 2002–2005“

2.1 Archäologische Grabungen

Seit 1999 wurden vom Institut für Ur- und Frühgeschichte der Universität Wien (A. Lippert) am Saazkogel Forschungen betrieben, die ursprünglich auf die Untersuchung der ur- und frühgeschichtlichen Besiedlung dieses verkehrs- und handelsgeschichtlich bedeutenden Platzes am Rande des Raab- und Saaztals im Sinne einer mikroregionalen landschaftshistorischen Studie abzielten (Kap. I.A.3–4). Die Ausgrabungen, die sich von 1999–2002 auf die eisenzeitlichen Hügelgräber und den dazu gehörenden Siedlungsbereich am Gipfelplateau im Umfeld der Laurentiuskirche konzentrierten, erbrachten auch römerzeitliche Befunde.

Im Jahr 2002 wurde in einer kleineren Testgrabung (G. Tiefengraber, S. Lehner) im römerzeitlichen Siedlungsbereich am Südhang der Erhaltungszustand der römischen Bauten untersucht sowie erstes stratifiziertes Fundmaterial gewonnen, das eine Rahmendatierung für die Besiedlung vom 1. bis in das 4. Jahrhundert n. Chr. zu liefern vermochte³. Der teilweise überraschend gute Zustand der Baureste führte schließlich dazu, dass auch die römerzeitliche Bebauung in das Gesamtforschungsvorhaben 'Saazkogel' einbezogen und ein entsprechendes Programm zur möglichst effizienten und dabei dennoch kostengünstigen Untersuchung der Siedlung entwickelt wurde. Neben gezielten Ausgrabungen sollten vor allem Surveys und Begehungen mit Metalldetektor (G. Tiefengraber, O. Eder) eine Vorstellung von der Ausdehnung liefern, eine flächendeckende Geoprospektion war aus finanziellen Gründen erst 2004 möglich.

¹ s. Kap. I.A.3 (Lippert).

² Wedenig 1997, 868.

³ Tiefengraber 2002, 117 ff.

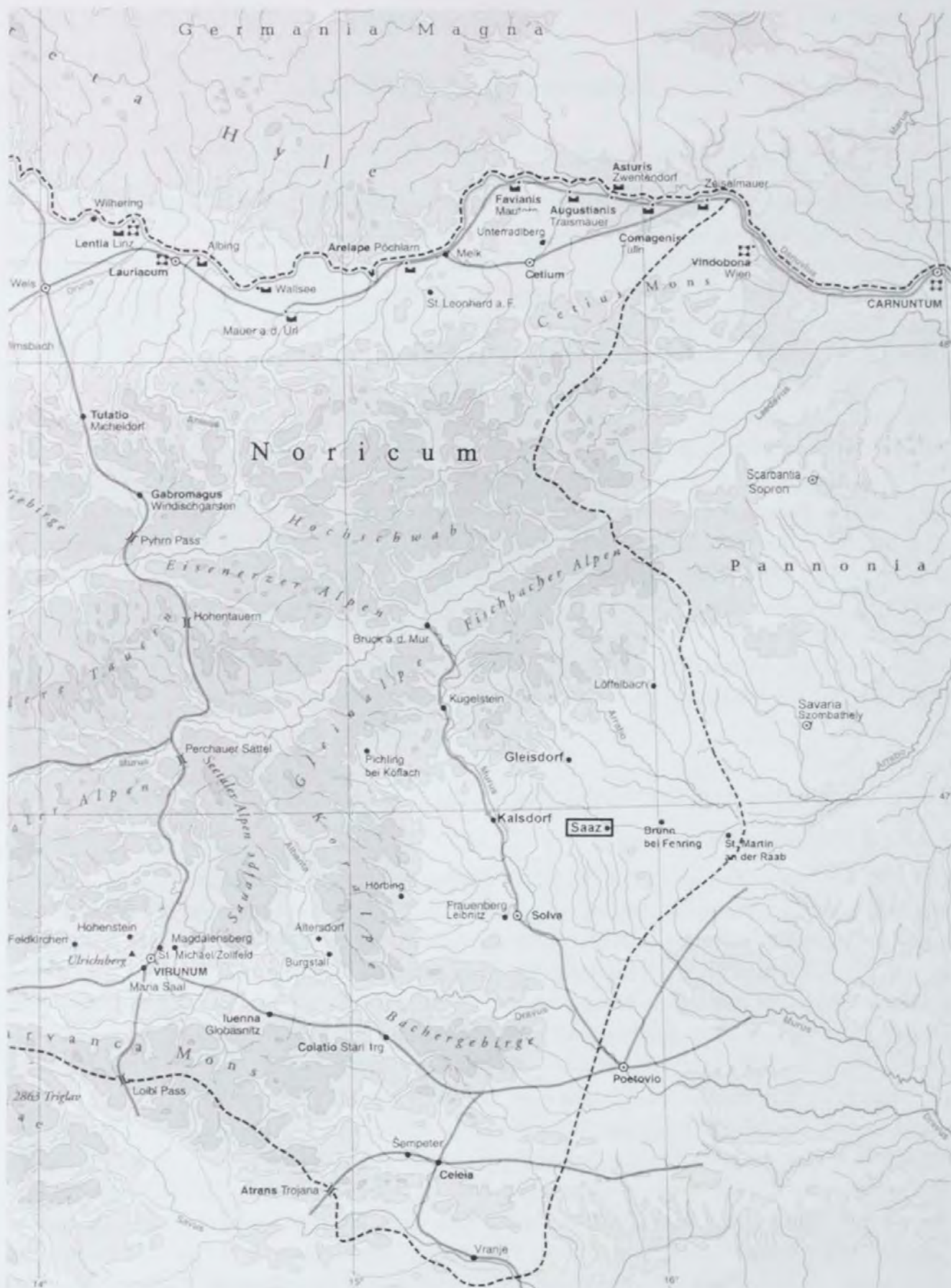


Abb. 1: Lage des römischen Vicus am Saazkogel in Südostnoricum.

Im Rahmen von zwei Lehrgrabungen des Instituts für Ur- und Frühgeschichte der Universität Wien (A. Lippert, G. Tiefengraber) wurden 2003 und 2004 zwei Bereiche großflächig feldarchäologisch untersucht, wobei der Zeitpunkt der Ausgrabungen in den Sommermonaten (18. 8. bis 5. 9. 2003; 19. 7. bis 11. 8. 2004) nicht unbedingt als für diese Arbeiten günstig erachtet werden kann. 2003 wurde eine Fläche von 750 m² auf Parz. 90 mit den Schnitten S4–5 erforscht (Abb. 2), 2004 590 m² auf Parz. 74/10 im Schnitt S6 (Abb. 75).



Abb. 2: Überblick über die Grabungen 2003, Raum 2 von Gebäude 1. Blick von Süden.

Bei beiden Lehrgrabungen wurde zuerst der Humus maschinell entfernt, sodann die darunter liegende Oberfläche händisch geputzt. Die festgestellten Objekte bzw. stratigraphischen Einheiten (SE) wurden zuerst fotografisch und deskriptiv dokumentiert, die Messdaten schließlich mit Tachymeter 'online' in eine entsprechende Software (LISCAD) exportiert. Die SE wurden in einer Schichtengrabung ausgegraben, wobei zur Einübung von händischen Zeichentechniken und wegen des Fehlens größerer Hauptprofile für die Studenten in zahlreichen Gruben etc. Profile zur Dokumentation belassen wurden. Parallel zur Ausgrabung der SE erfolgte ihre Positionierung in der Harris-Matrix. Da die Lehrgrabung 2003 nicht in der vorhergesehenen Zeit beendet werden konnte, zogen sich bei stark dezimiertem Personalstand die noch ausstehenden Arbeiten bis weit in den Herbst hinein.

Die Ergebnisse dieser Lehrgrabungen im zentralen Siedlungsbereich und im Gräberfeld West bildeten schließlich die Grundlage zur Beurteilung und zur Ansprache der Siedlung als Vicus (Kap. I.B und I.D). Ergänzend zu den feldarchäologischen Forschungsergebnissen der Jahre 2002–2004 erfolgte eine kurzfristige Rettungsgrabung (S9–11) im Auftrag des Bundesdenkmalamts (Landeskonservatorat für Steiermark) 2005 auf Parz. 93/4 im Ostteil des Vicus (Kap. I.B.1.2; Abb. 75).

2.2 Geophysikalische Prospektion

Die im Jahr 2004 von der Zentralanstalt für Meteorologie und Geodynamik bzw. von Archeo Prospections (W. Neubauer, K. Löcker, S. S. Seren) durchgeführten und durch das Bemühen der Gemeinde Paldau auch finanzierten geophysikalischen Prospektionen (Magnetik und Georadar) erbrachten dann – zum ersten Mal für Südnoricum – den fast vollständigen Gesamtplan einer derartigen römerzeitlichen Siedlung (Kap. I.C).

Insgesamt lässt sich für die Gesamtausdehnung der Siedlung eine Fläche von mindestens 9 ha veranschlagen, womit der Vicus auch hinsichtlich seiner Größe in eine Reihe mit den Vici in Gleisdorf und Kalsdorf zu stellen ist (Kap. I.D).

2.3 Archäologische Bearbeitung und Publikation der Befunde und Funde

In einer Kooperation des Instituts für Ur- und Frühgeschichte und des Österreichischen Archäologischen Instituts (A. Lippert, F. Krinzinger) war es schließlich in vorbildlicher Teamarbeit möglich, das umfangreiche Fundmaterial und die Befunde in kurzer Zeit zu bearbeiten und vorzulegen. Nach dem Abschluss des Publikationsvorhabens werden die Funde aus den Grabungen der Jahre 2002–2005 am Institut für Ur- und Frühgeschichte in Wien und die Streu- und Sondengeherfunde der Jahre 2002/2003–2005 im Museum im Tabor der Gemeinde Feldbach verwahrt.

Die archäologische Befundbearbeitung erfolgte durch G. Tiefengraber, der in Zusammenhang mit der Gesamtinterpretation der geophysikalischen Daten eng mit Archeo Prospections kooperierte.

U. Schachinger legte eine Gesamtdarstellung der bislang bekannten antiken Münzen von Saaz in einer Gegenüberstellung mit weiteren südostnorischen Spektren vor (Kap. II.A). Die Glasfunde wurden von S. Lehner bearbeitet (Kap. II.C). Die Metall-, Bein- und Steinartefakte wurden von G. Tiefengraber vorgelegt (Kap. II.D–F), wobei neben den stratifizierten Funden die Oberflächenfunde aus den über mehrere Jahre hindurch vorgenommenen Begehungen das Spektrum erweitern.

St. Groh stellte die glatte und reliefverzierte Terra Sigillata der Grabungen 2002–2005 vor (Kap. II.B.1), wobei neben einer konventionellen Formen- und Produktionsstättenanalyse auch die Diskussion der Sigillata in ihrer Vergesellschaftung nach einzelnen Perioden erfolgte. Unter Berücksichtigung der Parameter Anzahl – Produktionszeit – Siedlungsfläche wurde der Versuch unternommen, das Importverhalten im urbanen und ländlichen Umfeld Südostnoricums vom 1. bis zum 3. Jahrhundert n. Chr. darzustellen.

H. Sedlmayer präsentierte einen Überblick der Sigillataimitationen, der Feinwaren, der Transportkeramik und der Gebrauchskeramik (Kap. B.2–5), wobei die Gesamtzahlen, die ältesten Belege und die Hauptvorkommen aus den Fundkomplexen der Siedlungsgrabungen 2002–2005 sowie die Oberflächenfunde (aus S4, S5, S9, S10) für jede signifikante Gefäßform aufgelistet wurden. Lagen auffallende Cluster des jeweiligen Typs in den SE vor, wurden diese für die Hauptvorkommen detailliert angegeben. Die typologische Ansprache der lokalen bzw. regionalen Produkte orientierte sich an der für den ostnorischen Vicus Favianis-Mautern entwickelten Klassifizierung⁴. Soweit andere, für das südostnorische Arbeitsgebiet bereits erarbeitete Typologien die jeweils behandelte Gefäßform beinhalteten, wurde auf Konkordanzen hingewiesen. Darüber hinaus wurde eine Gesamtschau der bislang publizierten Nachweise der jeweiligen Typen aus Noricum bzw. speziell aus Südostnoricum beigebracht.

Ch. Grill unternahm die Bestimmung und die Auswertung der archäozoologischen Reste (3,7 kg), welche sich in der Mehrzahl auf einen Befundtyp beschränkten (Kap. III).

Die Gesamtbeurteilung der materiellen Kultur im Vicus am Saazkogel unter Berücksichtigung von Fundspektren aus benachbarten Vici in Südost- und Nordnoricum wurde von H. Sedlmayer unternommen (Kap. III.H).

Ergänzend zu den Forschungen im Vicus am Saazkogel fasste H. Sedlmayer schließlich den Stand der Vicusforschung in Noricum zusammen (Kap. IV). Ihr oblag es auch, die Gesamtvorlage aller Beiträge in der vorliegenden Publikation zu konzipieren und zu koordinieren.

⁴ Sedlmayer 2006, 283 ff.

	Datierung	Befundobjekte	Archäologische Funde	
			NMI gesamt	Gefäßkeramik NMI
Periode 1	70–100/110 n. Chr.	11	89	84
Perioden 1–2	70–130/140 n. Chr.	2	4	1
Periode 2	120–130/140 n. Chr.	23	29	28
Perioden 2–3	120–170/180 n. Chr.	3	8	6
Periode 3	130/140–170/180 n. Chr.	23	261	242
Perioden 3–4	130/140–200/230 n. Chr.	8	6	6
Periode 4	170/180–200/230 n. Chr.	35	1000	911
Periode 5	spätantik	5	29	13
Gesamt		110	1426	1291

Tabelle 1: Die signifikanten archäologischen Funde aus den Befunden der römischen Perioden 1–5 im Vicus am Saazkogel

2.4 Konservierung und Präsentation der archäologischen Befunde

Die Einbindung der römerzeitlichen Baureste und Objekte in eine touristische Infrastruktur (Errichtung eines Schutzbaus über Gebäude 1 und Ausbau eines Wanderwegs) sowie die Präsentation der Forschungsergebnisse im Rahmen einer Dauerausstellung sind derzeit laufende Projekte (G. Tiefengraber, A. Lippert), die auch den abgerundeten Abschluss des umfassenden Forschungsprojekts 'Saazkogel' markieren sollen.

H. SEDLMAYER – G. TIEFENGRABER

I. Der römische Vicus am Saazkogel
Ergebnisse der Ausgrabungen und Prospektionen

Andreas LIPPERT – Georg TIEFENGRABER

unter Mitarbeit von

Alois EDER-HINTERLEITNER – Susanne LEHNER –
Klaus LÖCKER – Wolfgang NEUBAUER – Sitti S. SEREN

A. Siedlungsarchäologische Forschungen am Saazkogel in den Jahren 1999–2005

1. LAGE UND GESTALT DES SAAZKOGELS

Der Saazkogel bildet die letzte östliche Erhebung eines lang gezogenen Höhenrückens südwestlich von Feldbach zwischen Raab- und Saaztal (Abb. 3–4). Unmittelbar dahinter trifft das Saaztal von Südosten auf das in diesem Abschnitt West-Ost verlaufende breite Raabtal. Der Kogel erreicht eine Seehöhe von 346 m. Das Gipfelplateau liegt rund 50 m über den Talböden auf beiden Seiten. Das langovale, rund 200 m lange und maximal 70 m breite Plateau weist geringe Höhenunterschiede auf. Die im östlichen Drittel errichtete Laurentiuskirche steht auf der höchsten Stelle (Abb. 4). Nach Norden zum Raabtal und nach Süden zum Saaztal fällt der Hügel zunächst steil ab. Erst im unteren Drittel gehen die Hänge sanft in die Talböden über. Nach Osten setzt der Saazkogel in mehreren Stufen zum Tal ab. Im Westen geht die Hochfläche fast nahtlos und mit einem nur sehr mäßigen Gefälle zum anschließenden Teil des Höhenzugs über.

2. GEOLOGIE UND BÖDEN

Das Gebiet des oststeirischen Hügellandes war im Tertiär vom Meer überflutet. Im tertiären Meer kam es zu einer ausgeprägten vulkanischen Tätigkeit. Es entstanden dabei mehrere große Basaltkegel, die heute im Norden von Fürstenfeld-Stadtbergen über den Riegersburg-Felsen, den Steinberg bei Feldbach, die Gleichenberge und den Kapfensteiner Kogel bis zu den Klöcher Bergen im Süden reichen (Abb. 5)⁵.

Nach dem Rückgang des tertiären Meeres besaß die Landschaft sanft ansteigende Hügel. Erosion und Wasser riefen dann während der quartären Eis- und Zwischeneiszeiten eine schärfere Profilierung des Geländes hervor. Es gruben sich die Flüsse im südostalpinen Vorland, so auch die Raab, jeweils am Beginn der Warmphasen ihre heutigen Flussbette. Tertiäre Sedimente wurden dabei vom stark angeschwollenen Fluss ausgeräumt. Im nacheiszeitlichen Holozän lagerten die Gewässer quartäre Schotter im Tal und auf den Niederterrassen ab. Später kamen als Anschwemmungen auch Aulehme, Decklehme und Staublehme hinzu, die fruchtbare Böden darstellen⁶. So lagern am nördlichen, östlichen und südlichen Fuß des Saazkogels sandige Lehme vom Bodentyp Pseudogley und Lockersedimentbraunerde. Auf der Anhöhe und den oberen Hängen des Hügel blieben tertiäre Feinsedimente weitgehend erhalten. Es sind dies sandige und tonige Böden vom Typ Ortsboden sowie vom Typ extremer Pseudogley. Am Höhenrücken treten außerdem Relikte des tertiären Vulkanismus auf: Trachyte, Eruptivbreccie und Tuffbrocken.

Eine besondere Situation ergab sich am Ausgang des Saaztals auf einer Strecke von rund 500 m vor Einmündung des Saazbaches in die Raab: Durch die unebene, eine Stauwirkung hervorrufende Terrassenbildung der Raab musste der Saazbach mäandrierend seinen Weg zum Raabtal bahnen. Das Gelände war daher bis vor noch wenigen Jahrzehnten versumpft, wurde dann aber trockengelegt. Der heute in die Mitte des Saaztals verlegte, regulierte Bach floss im Bereich des Saazkogels ursprünglich unmittelbar an dessen Südfuß vorbei.

⁵ J. Reisinger, Oststeirisches Hügelland „Vulkan- und Thermenland“. Entstehung der Landschaft und der Böden, in: J. Praßl (Hrsg.), Die Schlossbrunnen zu Hainfeld (2001) II ff.

⁶ J. Fink, Nomenklatur und Systematik der Bodentypen Österreichs, Mitteilungen der Österreichischen Bodenkundlichen Gesellschaft, Sonderheft 13 (1969).

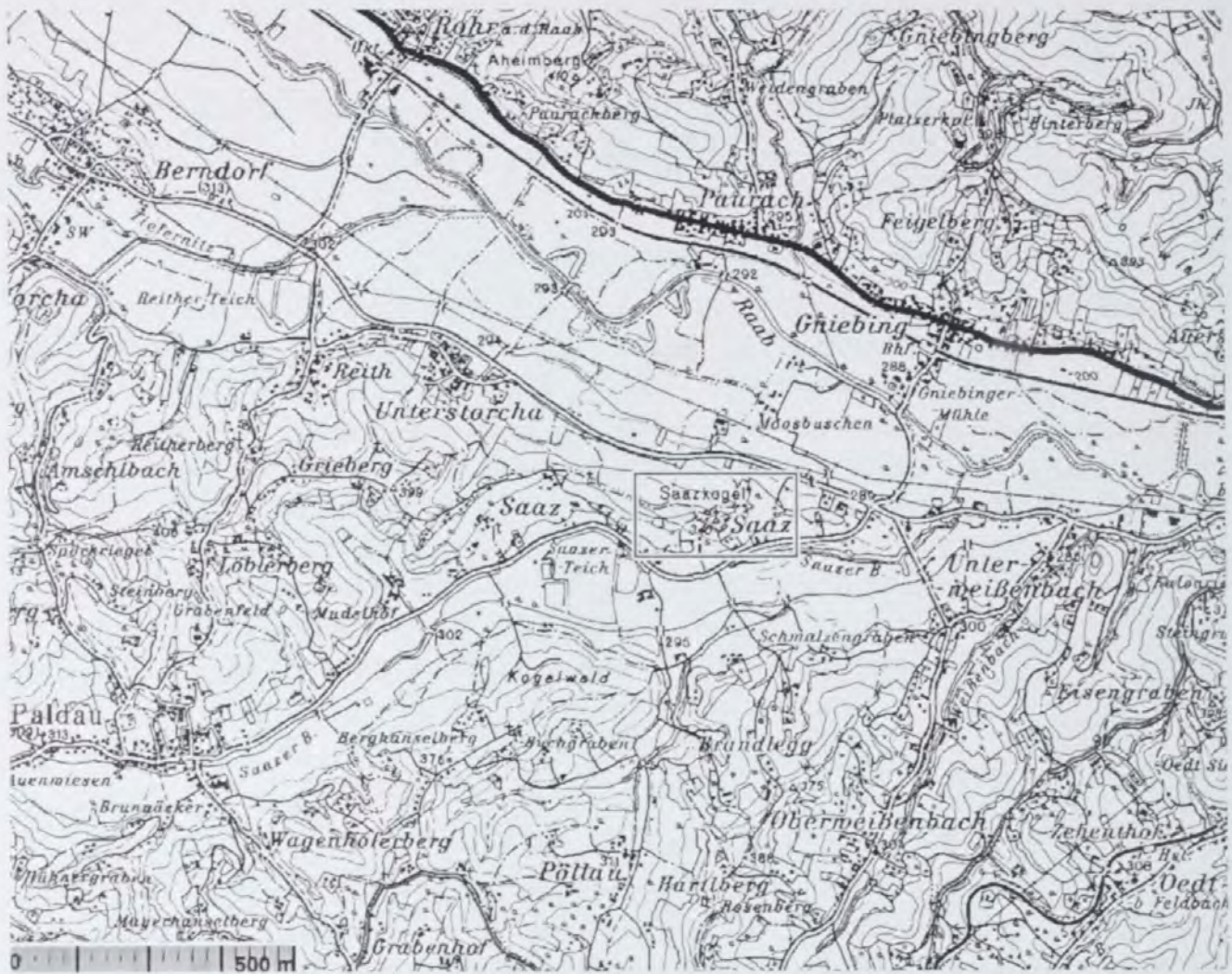


Abb. 3: Saaz und der Saazkogel, Ausschnitt aus ÖK 1:50 000.



Abb. 4: Der Saazkogel von Südwesten, mit Grabungsfläche 2003 (S4-5) in Bildmitte.

3. ÄLTERE FORSCHUNGEN

Sichtbare Denkmäler früher Vergangenheit am Saazkogel sind Hügelgräber am Höhenrücken knapp westlich vom Plateau sowie am unteren Nordhang des Saazkogels. Sie liegen im Wald, was sie vor Planierung durch Pflügen im Mittelalter und in der Neuzeit bewahrt hat. Während am Kamm zwei Gruppen von elf bzw. neun unterschiedlich großen und hohen Grabhügeln auffallen, befinden sich am Nordhang rund hundert mittelgroße und große Tumuli, die ziemlich regelmäßig in Ost-West gerichteten Reihen angelegt sind.

Seit 1879 führte die Feldbacher Brauereibesitzerin J. Hold Schürfungen in vielen Grabhügeln am Saazkogel durch. Die auf der Kuppe sehr vieler Hügel erkennbaren Einsenkungen dürften in der Mehrzahl auf diese Eingriffe zurückgehen. In den Jahren 1888–1901 wurden diese 'Grabungen' gemeinsam mit dem Steirischen Landesmuseum Joanneum in Graz vorgenommen. Die Funde wurden dabei entsprechend aufgeteilt. Die veröffentlichten Fundberichte von den Sondierungen enthalten weder Lagepläne der ausgegrabenen Tumuli noch Beschreibungen von Befunden und Fundumständen. Angegeben sind lediglich taxative Aufzählungen von Fundobjekten⁷. Die im Joanneum verwahrten Fundstücke sind vorwiegend der römischen Kaiserzeit und nur zu einem geringen Teil der Hallstattzeit zuzuordnen. Viele ursprünglich erwähnte Fundobjekte sind heute allerdings nicht mehr aufzufinden; die in den Fundberichten genannte Sammlung Hold ist heute zudem verschollen. Aufgrund ihrer Lage sowie der Ergebnisse späterer Forschungen stammen die Grabhügel am Höhenrücken aus der Hallstattzeit, jene am Nordhang aus der römischen Kaiserzeit.

4. NEUE FORSCHUNGEN

Im Jahr 1999 wurde ein Grabhügel am mittleren Nordhang durch einen Windwurf angerissen. Dieser Tumulus (Grabhügel 41) konnte im Rahmen einer Rettungsgrabung von W. Artner im Auftrag des Bundesdenkmalamts systematisch untersucht werden. Es zeigten sich drei Hauptbelegungshorizonte,

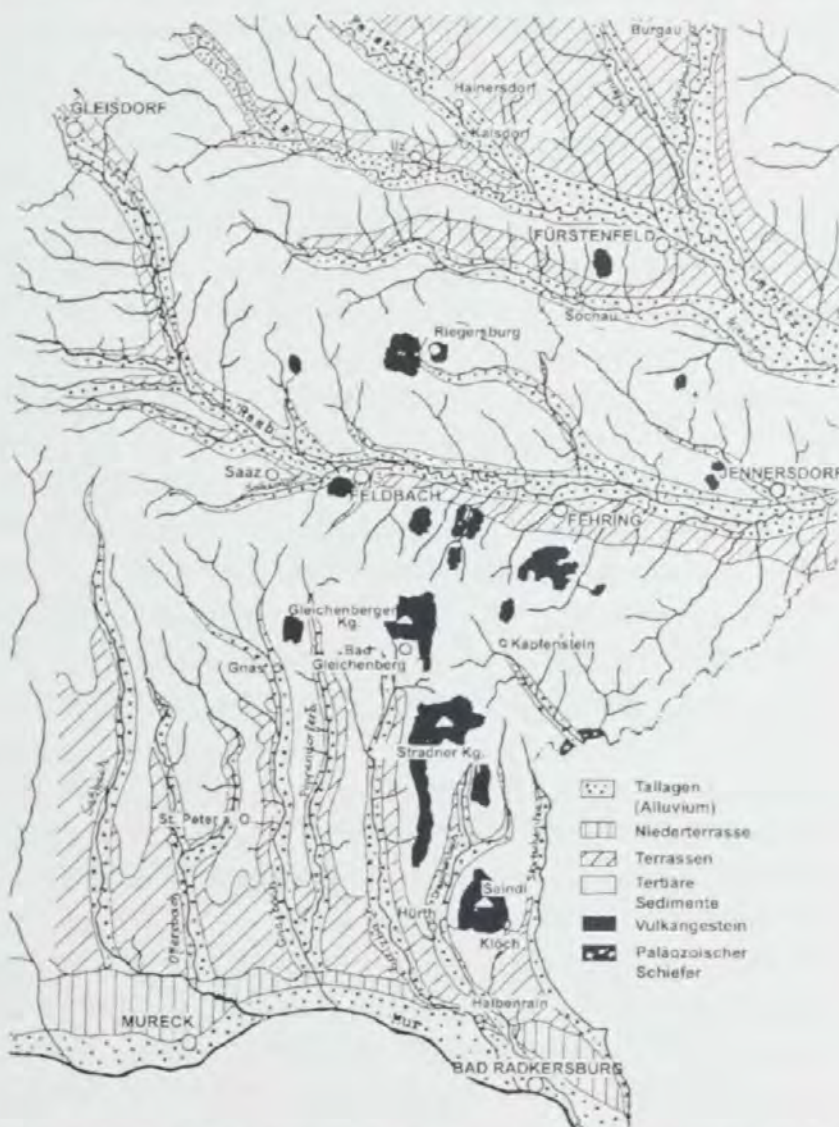


Abb. 5: Geologie und Bodenkarte des oststeirischen Hügellandes (nach J. Reisinger).

⁷ 76. Jahresbericht des Joanneums zu Graz über das Jahr 1887 (1888) 14; 77. Jahresbericht des Joanneums zu Graz über das Jahr 1888 (1889) 21 f.; 79. Jahresbericht des Joanneums über das Jahr 1890 (1891) 48; 81. Jahresbe-

richt des Joanneums über das Jahr 1892 (1893) 33 f. Pichler, Zur Urgeschichte von Gleichenberg und Umgebung, Mitteilungen des Historischen Vereines der Steiermark 38, 1890, 153 ff.



Abb. 6: Die Hochfläche des Saazkogels mit Grabungsschnitten der Jahre 1999 und 2000.

die zwischen dem Ende des 1. und der Mitte des 2. Jahrhunderts n. Chr. liegen. Insgesamt konnten sieben Bestattungen mit Beigaben geborgen werden⁸.

Schiff und Chor der Laurentiuskirche am Ostteil des Gipfelplateaus gehören dem Beginn des 16. Jahrhunderts an. Die Ursprünge des Gotteshauses reichen sehr wahrscheinlich auf viel ältere Zeiten zurück. Es handelt sich um eine Wallfahrtskirche, bei der alljährlich zur Zeit des Patroziniums (10. August) eine Festmesse stattfindet. 1998 errichtete die Gemeinde Paldau auf der Mitte der Hochfläche einen Pavillon für eine Musikkapelle und am nördlichen Rand eine neue große Festhalle. Einige Gefäßbruchstücke aus den Fundamentaushüben dieser Bauten sind prähistorischer und römischer Zeitstellung. Diese Funde bildeten den unmittelbaren Anlass für archäologische Untersuchungen am Saazkogel. Da bereits Hinweise auf eine prähistorische und antike Besiedlung und Nutzung verschiedener Teile des Kogels gegeben waren, wurde ein mikroregionales Forschungsprojekt begonnen. Dabei ging es vor allem um die Frage, zu welchen Zeiten und an welchen Stellen die Hochfläche und die Hänge besiedelt worden waren.

In den Jahren 1999 und 2000 legte der Verfasser daher zunächst Sondierungsschnitte und Flächengrabungen im Gipfelbereich des Saazkogels an (Abb. 6)⁹. Es zeigte sich, dass das Plateau zu keiner Zeit, auch nicht in der römischen, eine Randbefestigung besessen hatte. Siedlungsreste der Hallstatt- und römischen Kaiserzeit kamen jedoch konzentriert südlich und knapp westlich der Kirche zum Vorschein. Dieser Bereich, wahrscheinlich auch der Standort der Kirche selbst, war also schon früh besiedelt. Es ist dies die am höchsten gelegene Zone der Hochfläche.

2001 und 2002 untersuchte der Verfasser dann Grabhügel der Hallstattzeit am Höhenrücken westlich des Plateaus. Es waren dies der Grabhügel 106 in der nächstgelegenen Gruppe von Tumuli und die Grabhügel 200 und 201 in der rund 800 m vom Plateau entfernten Hügelgruppe¹⁰. Letztere wurde erst im Zuge unmittelbar vorangegangener Begehungen entdeckt, sie besteht aus nur bis zu einem halben Meter hohen, bisher nicht aufgefallenen Tumuli. Schon

⁸ Artner 2003. – Es gibt auch einige Streufunde aus dem römerzeitlichen Hügelgräberfeld, dazu: Garbsch 1965, 41 Nr. 44; A. Lippert, Zwei Eberfigürchen vom Saazkogel in Paldau (Steiermark), in: G. Grabherr u. a. (Hrsg.), *Vis Imaginum*, Festschrift E. Walde (2005) 228–232.

⁹ A. Lippert, Saaz, FÖ 38, 1999 (2000) 867 f.; A. Lip-

pert, Saaz, FÖ 39, 2000 (2001) 681.

¹⁰ A. Lippert, Saaz, FÖ 40, 2001 (2002) 605; A. Lippert, Saaz, FÖ 41, 2002 (2003) 624. Die Ausgrabungsergebnisse werden zurzeit im Rahmen einer Diplomarbeit von G. Rychly am Institut für Ur- und Frühgeschichte, Wien, bearbeitet.

2001 führte der Verfasser systematische Surveys auch am unteren Südhang des Saazkogels durch, wo R. Wedenig schon einige Jahre davor römische Keramik aufgelesen und bekannt gemacht hatte¹¹. Diese Forschungen erwiesen einen ausgedehnten römischen Siedlungsbereich (Vicus) von mehreren 100 m Länge und über 100 m Breite. Die römische Siedlung wurde im Jahr 2002 in einer kleinen Testgrabung von G. Tiefengraber erkundet und in den Jahren 2003–2005 von diesem gemeinsam mit dem Verfasser an einigen aufschlussreichen Stellen erforscht¹².

Da nur ein kleiner Teil des Vicus archäologisch untersucht werden konnte, wurde eine das gesamte heute unverbaute Gelände am Südhang einbeziehende geophysikalisch-archäologische Prospektion durchgeführt. Diese magnetische und Georadar-Prospektion der Zentralanstalt für Meteorologie und Geodynamik in Wien lässt die Gesamtanlage und Ausmaße der römischen Siedlung gut erkennen. Sie stellt daher eine hervorragende Ergänzung der Grabungsergebnisse dar¹³.

In Verbindung mit allen diesen archäologischen Aktivitäten entstand der Bedarf nach einem Höhenschichtenplan vom Saazkogel. Die Vermessungen und Planzeichnungen führte A. Reithofer (Graz) durch¹⁴. Der fertig gestellte Plan umfasst das Plateau mit der Kirche, die beiden Flächen am Höhenrücken, auf denen hallstattzeitliche Grabhügel liegen, ferner die Nordseite des Saazkogels mit dem großen norisch-pannonischen Hügelgräberfeld sowie Teile des Südhangs, auf denen sich die römischen Siedlungsreste befinden.

4.1 Die römischen Befunde und Funde am Gipfelplateau

Unmittelbar südwestlich vom Westturm der Saazkogelkirche trat schon in rund 25 cm Tiefe eine dunkle, holzkohlendurchsetzte Kulturschicht zutage. Sie war 25–30 cm stark und gehörte nach der Fundführung in die römische Kaiserzeit¹⁵. Hier verlief auch eine rund 60 cm breite Mauer in Südost-Nordwest Richtung. Es war dies eine nur in den untersten Lagen erhaltene Trockenmauer aus faustgroßen Basalttuff-Brocken. Da die Kulturschicht inner- und außerhalb der Mauerreste auf dem Niveau der Mauerunterkante anschließt, ist nicht klar, ob es sich um das Fundament oder bereits um das aufgehende Mauerwerk eines Gebäudes handelt (Abb. 7–8).

Die am nordwestlichen Ende nach Nordosten abgewinkelte Mauer zeigt damit eine Gebäudeecke an. Hier verschwand die Mauer allerdings unter dem gemauerten Vorplatz des Turms und konnte daher nicht weiterverfolgt werden. Das südöstliche Ende der Mauer hingegen war nicht mehr zu ermitteln, da es durch neuzeitliche Bestattungsgruben gestört worden war.

Die spärlichen Reste der Mauer lassen somit noch keine Form eines Gebäudes erkennen. Lediglich Bruchstücke von Flachziegeln (*tegulae*) und Hohlziegeln (*imbrices*) südlich der Mauer und innerhalb der römischen Kulturschicht belegen, dass das Dach mit Ziegeln gedeckt war. Die Mauer könnte entweder einem Profanbau – einem Wohn- oder Wirtschaftsgebäude – oder einem Sakralbau angehört haben. Für ein römisches Tempelgebäude würde die Lage auf der Hügelkuppe oberhalb der römischen Siedlung am Südhang sprechen. Das Fundmaterial lässt sich mit einer solchen Deutung jedoch nicht in Einklang bringen, es zeigt den Charakter des Alltags und des Handwerks. So etwa wurden mehrere große Eisenschlacken gefunden, die

¹¹ Wedenig 1997, 868, Lesefunde auf Parz. 81 und 93/3 in der KG Saaz, OG Paldau.

¹² Tiefengraber 2002; Tiefengraber 2003; Tiefengraber – Lippert 2004; G. Tiefengraber – A. Lippert, Saaz, FÖ 44, 2005 (2006) im Druck.

¹³ Die Arbeiten wurden von K. Löcker, W. Neubauer und S. S. Seren, Wien, vorgenommen. Die Finanzierung der geophysikalischen Prospektion ist der Marktgemeinde

Paldau unter ihrem Bürgermeister A. Gutmann zu verdanken.

¹⁴ Die Anfertigung des Plans wurde zum Teil von der Universität Wien, zum Teil vom Bundesdenkmalamt in Graz finanziert. In letzterem Zusammenhang ist Herrn Univ.-Doz. Dr. B. Hebert für die Bereitstellung der Mittel sehr zu danken.

¹⁵ Lippert 2001, 40 f.; Lamm 2001.

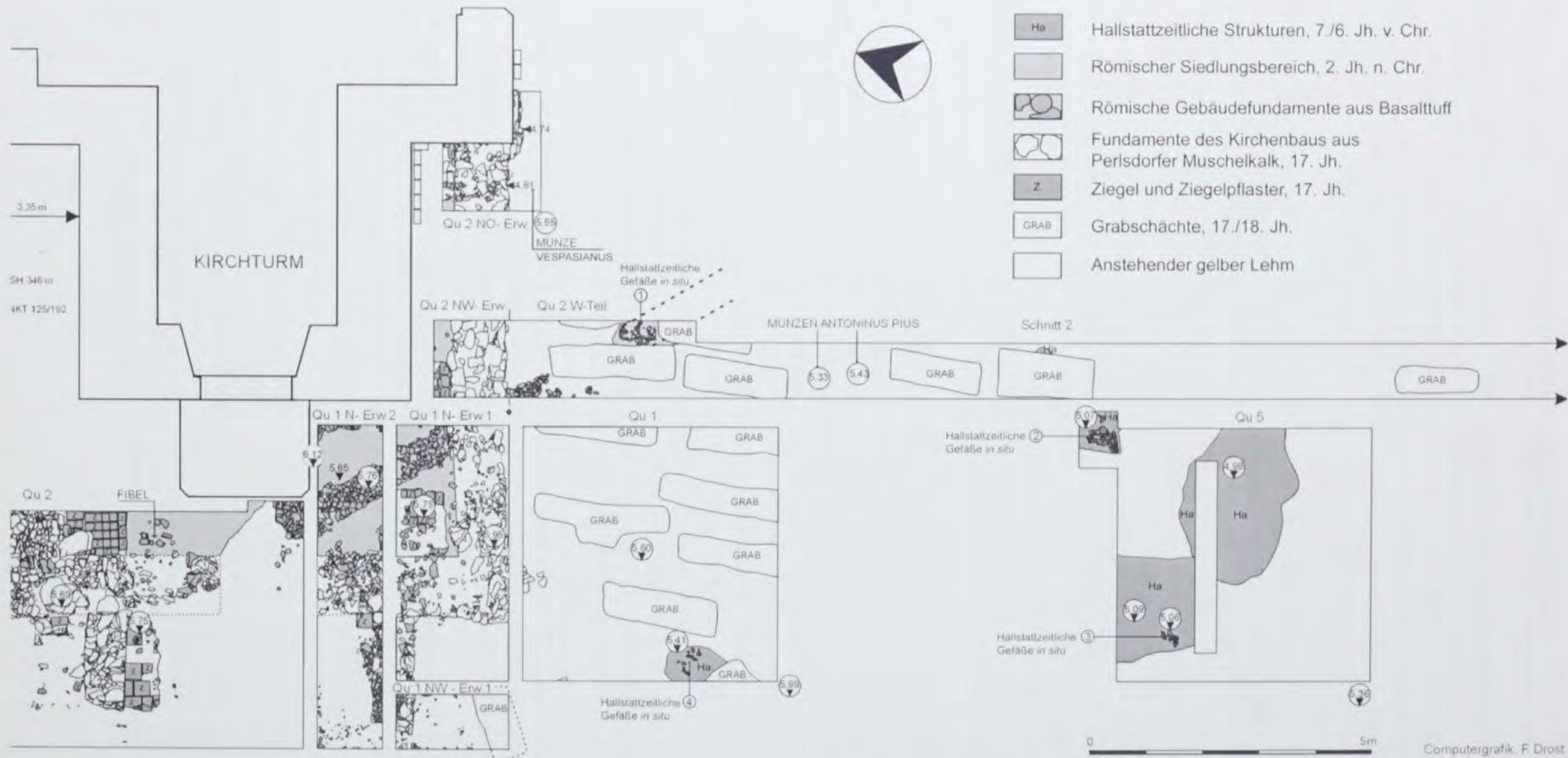


Abb. 7: Die Grabungsflächen im Bereich des Westturms der Laurentiuskirche am Saazkogel.

Computergrafik. F. Drost



Abb. 8: Freigelegte Mauern und Strukturen eines römischen Gebäudes sowie von Vorgängerbauten der Kirche vor deren Westturm.

als Produkte einer lokalen Eisenverhüttung anzusehen sind¹⁶. Sie traten einige Meter südlich der Mauer in der dort endenden römischen Kulturschicht zutage. Andere Funde im engeren Umfeld der Mauer sind Fragmente von Glas- und Tongefäßen, darunter auch Grob- und Hauskeramik, eine Bronzefibel und Münzen¹⁷.

Der ersten Hälfte des 1. Jahrhunderts n. Chr. ist möglicherweise ein Tongefäß zuzuordnen. Die meisten Funde datieren aber vom Ende des 1. Jahrhunderts n. Chr. bis zum Ende des 2. Jahrhunderts n. Chr. Im 3. Jahrhundert n. Chr. gehen die Funde stark zurück. Nur ein keramisches Einzelstück ist dann vielleicht noch in das 4. Jahrhundert n. Chr. zu stellen.

Wie Untersuchungen zur Fundverbreitung in der Region Raabtal zeigen, war sein steirisch-burgenländischer Abschnitt in der frühen und mittleren Kaiserzeit gleichmäßig besiedelt. Darauf weisen besonders die zahlreichen norisch-pannonischen Hügelgräberfelder hin¹⁸.

Die Besiedlung im Raabtal war in dieser Zeit recht dicht, was offenbar auf friedliche Verhältnisse und eine intensive landwirtschaftliche Nutzung der Talböden schließen lässt. Im Übrigen war dies eine warme Klimaphase mit einem relativ hohen Sommermittel der Temperatur. Die Funde dünne dann ab dem 3. Jahrhundert n. Chr. zunehmend aus. Sehr wahrscheinlich ging die Besiedlung in dieser Zeit wegen feindlicher Übergriffe zurück.

A. LIPPERT

¹⁶ G. Sperl, Archäometallurgie am Saazkogel, in: Archäologie Feldbach 2001, 103 ff.

¹⁷ Lamm 2001.

¹⁸ Lippert 1999, 349 mit Verbreitungskarte.

Handwritten text, likely bleed-through from the reverse side of the page. The text is mostly illegible due to fading and bleed-through.

Handwritten text, likely bleed-through from the reverse side of the page. The text is mostly illegible due to fading and bleed-through.

Handwritten text, likely bleed-through from the reverse side of the page. The text is mostly illegible due to fading and bleed-through.

B. Gesamtdarstellung der Baubefunde der Ausgrabungen 2002–2005

I. SIEDLUNGSBEFUNDE

I.1 Ausgrabung 2003 auf Parz. 90 (S4–5)

I.1.1 Siedlungsbefunde der Periode 1 (70–100/110 n. Chr.)

Die ältesten Reste römischer Bebauung im gesamten untersuchten Areal konnten bei den Ausgrabungen 2003 im Zentrum des Grabungsbereichs direkt unterhalb der jüngeren Steinbauten angetroffen werden. Hierbei wurden der annähernd vollständige Grundriss eines kleinen Holzgebäudes freigelegt sowie eine Reihe von unterschiedlich dimensionierten Gruben (Abb. 9). Eine knapp 5 m hangaufwärts gelegene tiefere Grube, die nur zur Hälfte ergraben werden konnte und sich außerhalb des Grabungsschnitts S4 nach Westen hin fortsetzte, ist ebenfalls Periode 1 zuzurechnen. Die Überschneidung der nördlichen Gebäudeecke durch mehrere Gruben erlaubt eine zusätzliche Differenzierung der Periode 1 in drei Subphasen (Perioden I.1–I.3).

Insgesamt scheint sich nach dem Stand der Ausgrabungen und intensiver Feldbegehungen die älteste römische Siedlungsphase auf einen schmalen Bereich im unteren Südhangdrittel zu konzentrieren, abschließende Angaben dazu wären jedoch momentan verfrüht.

Jüngere Überbauungen und besonders die landwirtschaftliche Nutzung der letzten Jahrzehnte verursachten eine gröbere Störung der meisten Baustrukturen der Periode 1, wobei gerade der hangabwärts gelegene Südbereich der Bebauung durch die Kappung der Kante der hier künstlich, spätestens jedoch in Periode 2 angelegten oder aber großflächig erweiterten Siedlungsterrasse stark in Mitleidenschaft gezogen wurde. So sind insbesondere die beiden südlichen Balkengruben und die südlichste Pfostengrube des Holzgebäudes nur mehr wenige Zentimeter tief erhalten geblieben, je weiter nördlich bzw. hangaufwärts sich die Objekte befanden, desto besser war ihr Erhaltungszustand (Abb. 10).

Das Gebäude selbst war nicht in Hangfallrichtung orientiert, wie es bei den jüngeren Steinbauten dann der Fall war, sondern wick um rund 45° davon ab. Von dem klein dimensionierten Holzgebäude konnten noch drei Pfostengruben festgestellt werden (SE 138, 140 und 142)¹⁹, die vierte, nördlichste Pfostengrube wurde durch die jüngere Grube SE 146 zerstört. Sämtliche erhaltenen Pfostengruben waren als äußerst seicht zu bezeichnen, eine Tiefe von 0,2 m wurde nicht überschritten, ihr Durchmesser bewegte sich zwischen 0,3 und 0,45 m. Zwischen den Pfostengruben befanden sich ebenfalls nur mehr äußerst seicht erhaltene Balkengrübchen (SE 139, 141 und 143)²⁰, die eine Breite zwischen 0,2 und 0,3 m bei einer Maximaltiefe von 0,2 m aufwiesen. Im Zwischenraum der beiden südwestlichen Pfostengruben SE 138 und 140 war kein Balken festzustellen, sodass an dieser Seite mit einem Eingang gerechnet werden darf. Mit einem Abstand zwischen den längsseitigen Pfostengruben von 2,3 m und den breitseitigen von 1,8 m sowie einer Grundrissfläche von knapp über 4 m² ist das Gebäude zweifelsohne zu klein, um als Wohngebäude angesprochen zu werden, doch ist die italische Terra Sigillata (Taf. 1, 142/2/2) aus der Pfostengrube SE 142 bemerkenswert.

Über das Aufgehende können keinerlei Angaben gemacht werden, auffallend ist jedenfalls die vollständige Absenz von Hüttenlehm, sodass vermutlich von einer reinen Holzkonstruktion des Gebäudes ausgegangen werden muss.

¹⁹ SE 138: Größe 0,34 × 0,29 m, T 0,12 m; SE 140: Größe 0,43 × 0,39 m, T 0,15 m; SE 142: Größe 0,5 × 0,48 m, T 0,15 m.

²⁰ SE 139: Größe 0,5 × 0,48 m, T 0,15 m; SE 141: Größe 0,9 × 0,2 m, T 0,1 m; SE 143: Größe 0,58 × 0,2 m, T 0,09 m.

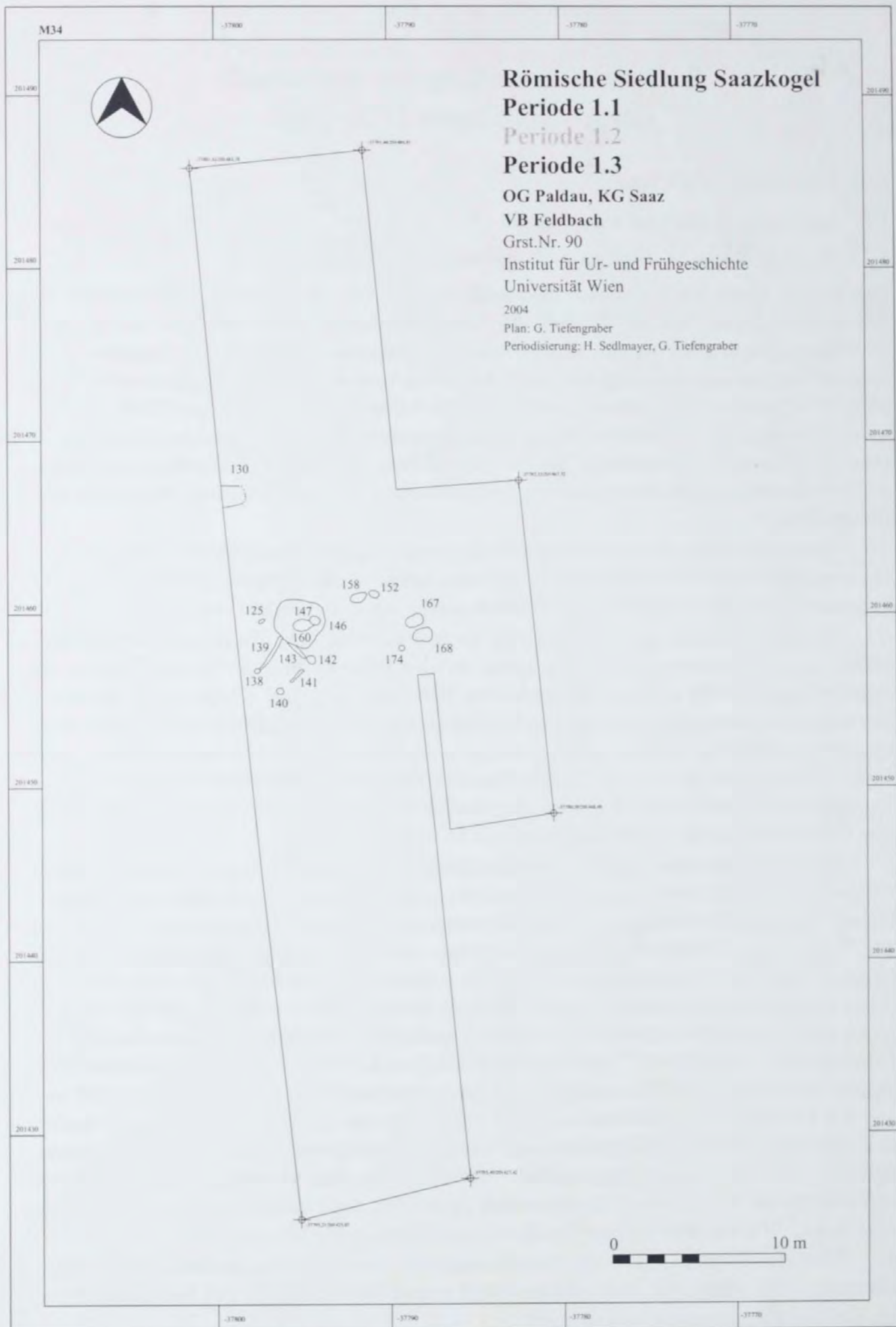


Abb. 9: Siedlungsbefunde der Periode 1. Parz. 90 (S4-5).



Abb. 10: Holzgebäude 1 (Periode 1.1). Blick von Süden.

Eine Reihe von Gruben, die aufgrund des Fundmaterials ebenfalls der Periode 1 zuzuordnen sind, fand sich direkt nördlich des Gebäudes (SE 125 und 160)²¹ bzw. etwas abseits davon in zwei Gruppen nordöstlich (SE 152 und 158)²² und östlich (SE 167, 168 und 174)²³ konzentriert. Die beiden Gruben SE 152 und 158 waren an ihrer Nordseite durch die Mauer M3 (SE 64) der Periode 2, Grube SE 168 an der Ostseite durch Mauer M6 (SE 77) gestört. Ob es sich bei der kleinen, äußerst seichten, runden Grube SE 174 um den letzten Rest einer Pfostengrube handelte, kann nicht entschieden werden.

Rund 8 m nördlich und deutlich abgesetzt vom Holzgebäude wurde das eingetiefte Objekt SE 130 angeschnitten, bei dem es sich entweder um eine gestreckt ovale Grube oder einen Sohlgraben handelt. An seiner Oberkante war das Objekt, das sich nach Westen hin in unergrabenes Areal fortsetzte, 1,15 m breit, die Tiefe betrug 0,8 m. Für die Interpretation erschwerend wirkte sich eine grobe Störung durch eine rezente Wasserleitung aus, die genau durch das Objekt hindurchläuft bzw. dieses durchschneidet.

Nach der Aufgabe bzw. Abtragung des Holzgebäudes kam es zu einer Störung der einstigen hangseitigen Nordecke des Gebäudes durch die große, jedoch eher seichte Grube SE 146 (Periode 1.2)²⁴, in die wiederum die kleine runde Grube SE 147 eingetieft war (Periode 1.3)²⁵. Beide Gruben sind durch die italischen Terra Sigillata-Funde (Taf. 1, 146/7/1; 2, 147/3/4) gut datierbar.

Insgesamt erlaubt das nicht allzu umfangreiche Fundmaterial der Periode 1 (Taf. 1–3) eine Datierung in flavische bis spätestens trajanische Zeit.

²¹ SE 125: Größe 0,41 × 0,22 m, T 0,2 m; SE 160: Größe 1,16 × 0,69 m, T 0,08 m.

²² SE 152: Größe 0,53 × 0,19 m, T 0,45 m; SE 158: Größe 0,88 × 0,37 m, T 0,1–0,35 m.

²³ SE 167: Größe 1,06 × 0,67 m, T 0,18 m; SE 168:

Größe 0,86 × 0,78 m, T 0,22 m; SE 174: Größe 0,2 × 0,15 m, T 0,03 m.

²⁴ SE 146: Größe 2,4 × 2,6 m, T 0,3 m.

²⁵ SE 147: Größe 0,6 × 30,49 m, T 0,6 m.

Eine Interpretation der wenigen und schlecht erhaltenen Objekte der Holzbauperiode 1 gestaltet sich als äußerst schwierig. Tatsache ist jedoch, dass das in seinem Grundriss komplett erfasste Holzgebäude eine für Wohnzwecke wohl zu geringe Größe besitzt, sodass eher von einem Wirtschaftsgebäude o. Ä. auszugehen sein wird. Die in Relation zu den übrigen Keramikfunden gar nicht gering vertretene Terra Sigillata, mehrere Hohlglasfunde (Rippenschalenfragmente) sowie ein Spielwürfel aus Bein geben jedoch keinen Hinweis auf handwerkliche Tätigkeiten im unmittelbaren Bereich der Objekte, dasselbe gilt für die nordöstlich und östlich gruppierten Gruben. Von Interesse ist weiters die Beobachtung, dass sich keinerlei Reste oder auch nur Anzeichen einer wie auch immer gearteten Parzellierung erkennen lassen, wie sie beispielsweise in den zeitgleichen Holzbauphasen der benachbarten Vici in Kalsdorf²⁶ und Gleisdorf²⁷ in Form von lang gezogenen Gräbchen belegt ist. Unter diesem Aspekt könnte darüber spekuliert werden, ob nicht allein schon die Hanglage und damit verbunden die zur Besiedlung notwendigen Terrassierungen einen ähnlichen Zweck erfüllten wie eine Parzellierung bzw. Abgrenzung im Areal der beiden in der Ebene gelegenen Vici.

1.1.2 Siedlungsbefunde der Periode 2 (120–130/140 n. Chr.)

Die zweite römische Besiedlungsphase am Südhang des Saazkogels markierte den eigentlichen und systematischen Ausbau der vorhergehenden bescheidenen Siedlung in Holzbauweise durch teils ausgedehnte komplexe Gebäude, die wohl in kombinierter Stein-/Holzbauweise errichtet waren (Abb. 11). Spätestens in Periode 2 wurde eine geschotterte, hangseitig von einem Sohlgraben begleitete Straße auf einem leicht erhöhten Damm aufgeworfen, die sich durch die gesamte Siedlung zog, wie durch die Geoprospektion erkennbar wird. Sowohl hangauf- wie vereinzelt auch hangabwärts wurde die Straße von in ihrer Grundrisslösung zumeist recht ähnlich wirkenden Steingebäuden bzw. Holzgebäuden mit Steinmauersockeln flankiert, wobei sich annähernd in der Mitte des Siedlungsareals eine größere Freifläche bzw. platzartige Struktur abzeichnete.

Periode 2 sind zwei Gebäude zuzuordnen (Gebäude 1 und 2), die bei der Ausgrabung 2003 in unterschiedlichem Ausmaß untersucht werden konnten und von denen Gebäude 1 bereits bei den Sondagegrabungen 2002 angeschnitten wurde.

Ausgedehnte Terrassierungen des sanften Südhangs des Saazkogels schufen erst die Voraussetzung zur Anlage der teils großflächigeren Gebäude, wobei zum Teil auch auf die zweifelsohne kleineren Siedlungsterrassen der Periode 1 zurückgegriffen werden konnte, die wegen der jüngeren Überbauung allerdings nicht mehr direkt zu erfassen waren. In den bislang untersuchten Bereichen lassen sich zumindest vier unterschiedlich große Terrassen nachweisen, die dem Hang ein stufenartiges Aussehen verliehen haben müssen. Neuzeitliche Überbauung und besonders die landwirtschaftliche Nutzung der letzten Jahrzehnte sind für eine zunehmende Begradigung des einst stark gegliederten Hanges verantwortlich und zogen die vollständige Zerstörung der auf den vorderen Terrassenkanten gelegenen Baustrukturen mit sich, wie es deutlich an dem beinahe mittig gekappten Gebäude 1 ersichtlich ist.

Gebäude 1

Die Ausgrabung von Gebäude 1 im Jahr 2003 bildet die Grundlage der feinchronologischen Analyse der Siedlung am Saazkogel. Von dem Gebäude selbst konnte der hangseitige Nordteil mit Ausnahme seines Westabschlusses ergraben werden, der hangabwärts gelegene Südteil war durch die landwirtschaftliche Bearbeitung zerstört. Das Gebäude hatte während zweier Bauph-

²⁶ U. Lohner, *Der römische Vicus von Kalsdorf. Die Ergebnisse der Ausgrabungen auf der Parz. 421/1 von 1990–1995*, ungedr. Diss. Graz (2004) 212 ff.

²⁷ Maier 1995, 35 ff. Beil. 53.

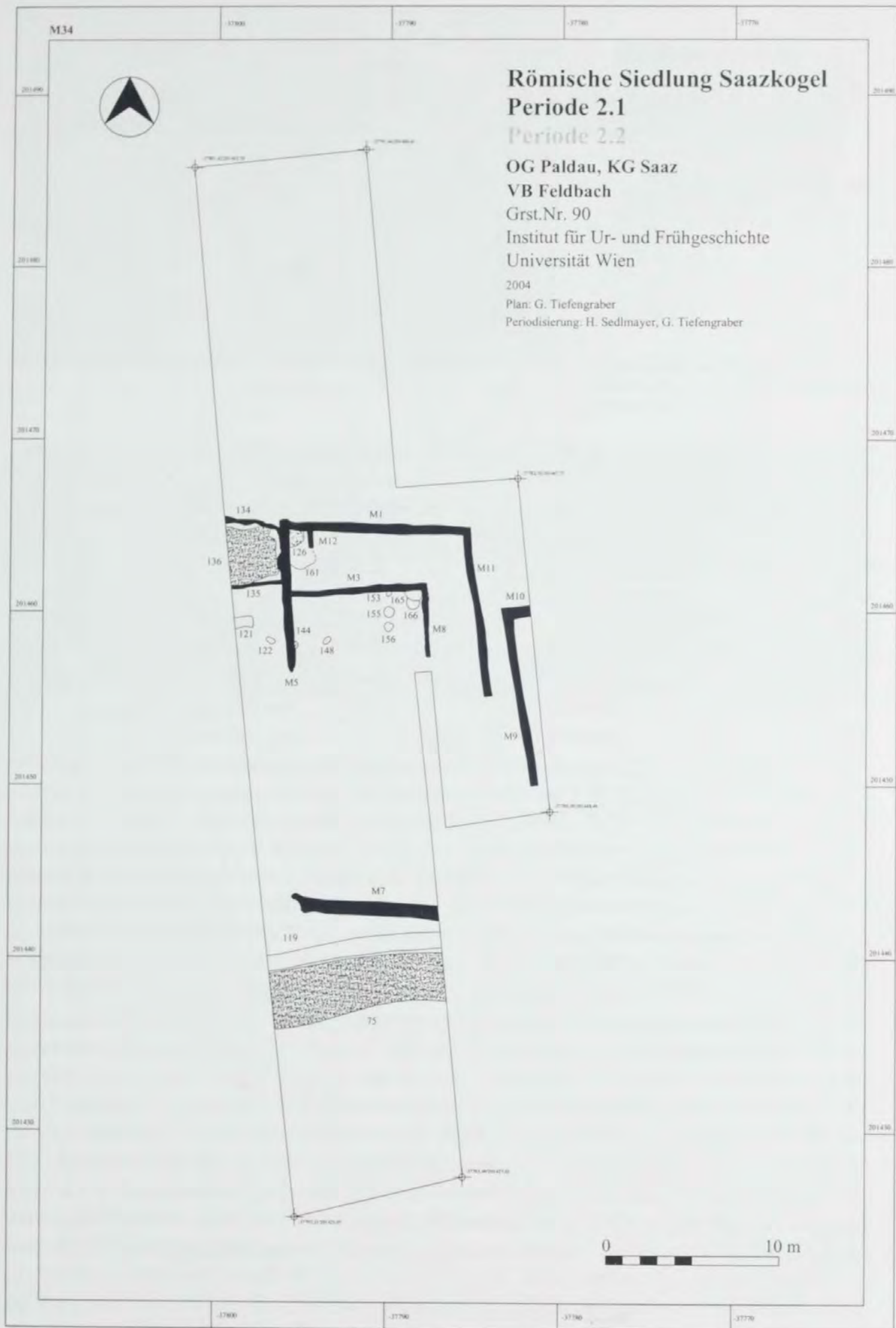


Abb. 11: Siedlungsbefunde der Periode 2. Parz. 90 (S4-5).

OG Paldau
 KG Saaz
 Parz. 90 – Ausgrabung 2003
 Mauer M1 – Nordansicht

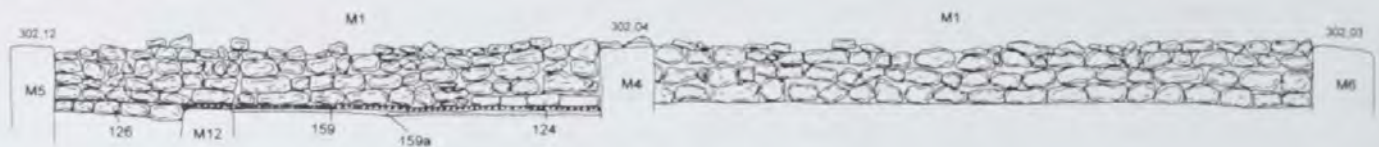


Abb. 12: Nordansicht von Mauer M1 (SE 62). M. 1:50.

OG Paldau
 KG Saaz
 Parz. 90 – Ausgrabung 2003
 Mauer M5 – Westansicht



Abb. 13: Westansicht von Mauer M5 (SE 145).
 M. 1:50.

rioden (Perioden 2 und 3) Bestand, wobei Periode 3 durch Um- und Einbauten der in Periode 2 errichteten Strukturen definiert wird.

Gut erhalten ist der Nordteil des Gebäudes, wo drei quadratische bis rechteckige Räume sowie ein L-förmiger korridorartiger Raum festgestellt werden konnten. Wie es dem Aufbau der nördlichen hangseitigen Mauer M1 (SE 62) zu entnehmen ist, wurde der sanft abfallende Hang zur Anlage einer geeigneten Terrasse an dieser Stelle abgetragen (oberes Terrassenniveau 302,2 m) sowie hangaufwärts durch die Mauer M1 (SE 62) abgestützt, die gleichzeitig auch die Nordmauer des Gebäudes bildete (Abb. 12). Von dieser Mauer (bzw. eigentlich einem Mauersockel) war der gesamte Ostteil noch bis zu sechs Steinscharen 0,6 m hoch auf einer Länge von 11,2 m erhalten (Fundamentunterkante 301,6–301,74 m). An das östliche Ende setzte die Außenmauer M11 in einem stumpfen Winkel von ca. 100° an und ließ sich nach Süden hin auf einer Länge von 9,2 m verfolgen, wobei von der Mauer selbst aufgrund der Abtragung und darauf folgenden Überbauung in Periode 3 lediglich noch der Mauerausrisssgraben vorhanden war (Fundamentunterkante 301,51 m). Der Westteil von Mauer M1 (SE 62) ist ebenfalls den Umbauten der Periode 3 zum Opfer gefallen, sodass von dem hier anschließenden Raum 3 nur mehr die Mauerausrisssgräben SE 133, 134 und 135 festgestellt werden konnten, welche die Reste eines in den Randbereichen nur mehr unregelmäßig erhaltenen Schotterfußbodens im Norden, Osten und Süden umschlossen (Gehniveau 301,8 m), der Westabschluss lag außerhalb des Grabungsschnitts und wurde deshalb nicht erreicht. Der östliche Mauerausrisssgraben SE 133 (Unterseite 301,7 m) ist vom Fundament der ebenfalls in Periode 1 errichteten Nord-Süd orientierten Mauer M5 durchschnitten (Fundamentunterkante im Nordbereich 301,74 m), was am ehesten mit einer schon baldigen Reparatur bzw. Ausbesserung der Mauer erklärt werden kann (Abb. 13).

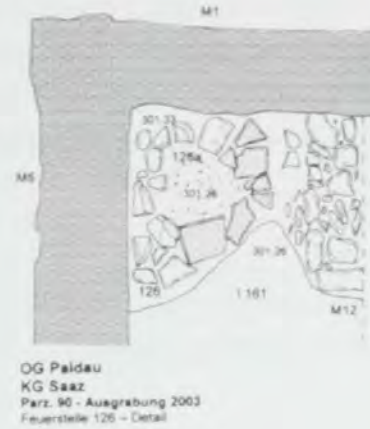
Der östlich anschließende, exakt 10 m lange und bis zu 2,9 m breite korridorartige Raum (entspricht annähernd 33 × 10 römischen Fuß), der am Ostende nach Süden hin ohne Abtrennung noch 9,4 m weiterverlief, war in seiner Nordwestecke durch die an die Nordmauer M1 (SE 62) angesetzte 0,3 m schmale und 0,9 m lange Mauer M12 (SE 162) unterteilt (1 × 3 römische Fuß, Fundamentunterkante 301,6 m). Die Mauern M1 und M12 bildeten eine genau 1 × 1 m große Nische, in der sich die halbrund gesetzte Feuerstelle SE 126 mit Ziegel- und Bruchsteinumstellung²⁸ befand (Abb. 14–15). Direkt südlich dieser Feuerstelle schloss die 0,2 m eingetiefte, stark mit Holzkohle und Asche durchsetzte Grube SE 161 an²⁹, die auch bis

²⁸ Feuerstelle SE 126: Größe 0,82 × 1,12 m, H 0,2 m.

²⁹ Aschengrube SE 161: Größe 1,64 × 1,35 m, T 0,2 m.



Abb. 14: Feuerstelle SE 126 und Mauer M12 (SE 162).



OG Paldau
KG Saaz
Parz. 90 - Ausgrabung 2003
Feuerstelle 126 - Detail

Abb. 15: Feuerstelle SE 126 und Mauer M12 (SE 162). M. 1:50.



Abb. 16: Südansicht von Mauer M3 (SE 64).

außerhalb der Nische reichte. Abgesehen von der Feuerstelle samt zugehöriger Aschengrube war der gesamte Korridor fundleer. Einschränkend muss hierbei jedoch angeführt werden, dass im Westteil des Korridors, im späteren Raum 1 aus Periode 3, im Zuge der Ausgrabung der jüngere Schotterfußboden nur ausschnitthaft entfernt wurde, sodass eventuell mit Objekten aus Periode 2 unter dem Fußboden gerechnet werden könnte.

Anders verhält sich die Situation mit den beiden südlich anschließenden Räumen 4 und 5, in denen jeweils eine Reihe von Gruben sowie eine kleine Feuerstelle festzustellen waren. Raum 4 wurde durch die nach Süden weitergezogene Mauer M5 (SE 145), die auch die Westmauer des Korridors darstellte, von Raum 5 abgeteilt (Fundamentunterkante im Südbereich 301,47 m). Der durch Mauer M3 (SE 64) im Norden (Fundamentunterkante 301,1–301,3 m) und M8 (SE 79) im Osten (Fundamentunterkante 301,11–301,18 m) vom Korridor getrennte größere Raum 5 wies eine Breite von 7,5 m (25 römische Fuß) bei einer erhaltenen Länge von 4,4 m auf (Abb. 16–17), in seiner Nordostecke konzentrierten sich mehrere, sich in einem Fall auch überschneidende Gruben (SE 153, 155, 156, 165 und 166)³⁰. Zwei dieser Gruben (SE 153 und 165) waren direkt an der Wand in der Nordostecke

OG Paldau
KG Saaz
Parz. 90 - Ausgrabung 2003
Mauer M8 - Ostansicht

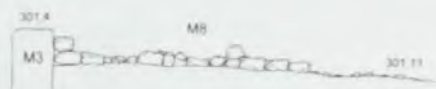


Abb. 17: Ostansicht von Mauer M8 (SE 79). M. 1:50.

³⁰ Grube SE 153: Größe 0,32 × 0,23 m, T 0,48 m; Grube SE 155: Größe 0,61 × 0,63 m, T 0,12 m; Grube bzw. Pfostengrube SE 156: Größe 0,53 × 0,57 m, T 0,2 m; Grube

SE 165: Größe 0,96 × 0,59 m, T 0,38 m; Grube SE 166: Größe 0,74 × 0,54 m, T 0,1 m.

eingetieft, anscheinend ohne dass es dadurch zu statischen Problemen gekommen wäre. Im Westteil des Raums befand sich eine kleine Feuerstelle (SE 144), die direkt an der Nord-Süd verlaufenden Mauer M5 angelegt war³¹. 1,5 m östlich der Feuerstelle war eine weitere kleine rundlich-ovale, seichte Grube (SE 148) festzustellen³². Im nur teilweise ausgegrabenen Raum 4 fanden sich zwei weitere Gruben, von denen eine komplett ergraben wurde (SE 122)³³, die zweite, im Grundriss annähernd rechteckige und mit reichlich Holzkohle und verziegeltem Lehm verfüllte Grube SE 121 reichte in das westliche Grabungshauptprofil von Schnitt S4³⁴.

Die Überschneidung der Grube SE 166 durch Grube SE 165 erlaubt eine Aufspaltung der Periode 2 in zwei Phasen (Perioden 2.1 und 2.2), wobei nicht klar ist, inwieweit diese mit den Umbauten an der Mauer M5 in Zusammenhang zu bringen sind.

Durch die Zerstörung des Südteils und das Fehlen des Westabschlusses von Gebäude 1 ist eine Einschätzung der ursprünglichen Gebäudegesamtgröße erschwert, zumal nicht mit Sicherheit ausgeschlossen werden kann, dass die rund 13 m südlich gelegene Mauer M7 (SE 73), die auch eine Begrenzung nach Süden zur Straße hin bedeutet, zu Gebäude 1 zu rechnen ist. Zwei Faktoren sprechen jedoch eher gegen diese Überlegung: Zum einen beträgt der Höhenunterschied zwischen den letzten untersten Ausriss- bzw. Fundamentgräben der Mauern M5 bzw. M8 (SE 79) (Fundamentunterkanten 301,11 bzw. 301,47 m) und der Mauer M7 (SE 73, Fundamentunterkante 299,0 m) über 2 m, zum anderen würde sich unter der Annahme eines axialzentralen, annähernd quadratischen zu rekonstruierenden Mittelraums (Raum 5), wie er für diesen spezifischen Gebäudetyp auch in anderen südostnorischen Vici belegt ist, eine deutliche Lageverschiebung dieses Raums nach Norden hin ergeben. Dass aber auch derartige Grundrisslösungen *a priori* nicht ausgeschlossen werden dürfen, zeigt Gebäude D im Vicus von Gleisdorf, wo eine Art Hofbereich o. Ä. nach Süden hin vorgelagert ist und dadurch eine klare Asymmetrie bewirkt³⁵. Versucht man unter dieser Voraussetzung nun die ursprüngliche Gebäudegröße zu eruieren, so ergeben sich zwei Möglichkeiten, die entsprechend der vergleichbaren Gebäude beide denkbar wären. Die kleinere Lösungsvariante, die auf einem Grundriss mit quadratischem Zentralraum und annähernd gleich breiten umliegenden Räumen basiert, würde eine Breite von knapp über 15 m und eine Länge von 14 m ergeben, womit ein beinahe quadratischer Gesamtgrundriss vorliegen würde. Die zweite Variante bezieht die südlich gelegene Mauer M7 (SE 73) als Südmauer in die Grundrisslösung mit ein, sodass eine Länge von über 23 m gegeben wäre, über die Breite können eigentlich nur Vermutungen angestellt werden. Von Relevanz bei der Festlegung der Breite ist möglicherweise die Tatsache, dass sich am Ostrand der benachbarten Ackerparz. 81 ebenfalls Mauerreste beobachten lassen, die mit Gebäude 1 in Zusammenhang zu bringen sein könnten. Unter Einbeziehung dieser Mauern als Westabschluss des Gebäudes ergibt sich eine Breite von knapp 25 m und ebenfalls wieder ein weitestgehend quadratischer Grundriss, wobei in diesem Fall über die Innengestaltung des Gebäudesüdtrakts keinerlei Angaben gemacht werden können.

Gebäude 2

Knapp 1,2 m östlich und gegenüber der Ostseite von Gebäude 1, rund 4,7 m hangabwärts nach Süden versetzt, schloss das Gebäude 2 an, von dem die Nordwestecke sowie Teile der Mauern M9 (SE 80) und M10 (SE 81) ergraben werden konnten. Entsprechend den Beeinträchtigungen an der Bausubstanz durch den Pflug, die auch bei Gebäude 1 in diesem Bereich verstärkt sichtbar sind, waren von Gebäude 2 nur noch die untersten Steinlagen bzw. überhaupt nur mehr das

³¹ Feuerstelle SE 144: Größe 0,25 × 0,48 × 0,2 m.

0,59 × 0,28 m, T 0,22 m.

³² Grube SE 148: Größe 0,53 × 0,34 m, T 0,15 m.

³⁴ Grube SE 121: Größe 1,03 × 0,57 m, T 0,35 m.

³³ Grube bzw. Pflostengrube SE 122: Größe

³⁵ Maier 1995, Beil. 3a.

Fundament erhalten. Während von der 0,7 m breiten Nordmauer M10 (SE 81), welche nach Osten hin auf unergrabenes Gebiet weiterlief, noch die eigentliche Struktur der Mauer bzw. des Mauersockels aus teils gut behauenen, annähernd rechteckigen Basaltsteinen als Außenschale und dazwischengefüllten kleineren Basaltbruchsteinen mit Lehmbindung Bestand hatte (Fundamentunterkante 301,12 m), war diese Konstruktion bei der im rechten Winkel nach Süden hin angesetzten Mauer M9 (SE 80) nur noch im nördlichen Bereich vorhanden, weiter südlich fanden sich fast ausschließlich Bruchsteine der Fundamentgrabenverfüllung (Fundamentunterkante im Norden 301,3 m, im Süden 300,95 m). Mit einer Breite von maximal 0,5 m liegt M9 (SE 80) deutlich unter der stärkeren Mauer M10 (SE 81), die wohl auch – ähnlich wie Mauer M1 (SE 62) in Gebäude 1 – eine hangseitige Stützfunktion zu erfüllen hatte. M9 (SE 80) ließ sich über eine Länge von knapp 9,7 m hangabwärts verfolgen, wo schließlich der Fundamentgraben zerstörungsbedingt auslief, sodass die ursprüngliche Gesamtlänge nicht mehr eruiert werden konnte. Es ließen sich keine weiteren Objekte bzw. baulichen Strukturen mit Gebäude 2 in Verbindung bringen.

Südmauer M7 (SE 73)

Wie schon bei der Beschreibung von Gebäude 1 erwähnt, befand sich rund 13 m südlich der letzten erhaltenen Mauerzüge dieses Gebäudes (M5 und M8 [SE 79]) die zur Mauer M1 (SE 62) weitestgehend parallele Mauer M7 (SE 73). Ob diese Mauer ursprünglich die Südmauer von Gebäude 1 darstellte, ist – wie oben ausgeführt – heute nicht mehr zu entscheiden. Auf den relativen Höhenunterschied von über 2 m zwischen den äußerst südlichen Fundamentgrabenresten von Gebäude 1 und der Mauer M7 (SE 73) wurde ebenfalls schon hingewiesen, gleichermaßen auf die beiden Möglichkeiten der rekonstruierbaren Grundrisslösung.

Mit einer Breite von 0,9 m (3 römische Fuß) lag M7 (SE 73) selbst klar über den Breiten der beiden den Hangdruck ausgleichenden 'Stützmauern' M1 (SE 62) und M10 (SE 81), wobei M7 (SE 73) lediglich noch in der untersten Steinschar erhalten war (Fundamentunterkante 299,0 m). M7 (SE 73) konnte im Schnitt S4 über eine Länge von 8,5 m verfolgt werden, sie lief jedoch nach Osten hin auf unergrabenes Gebiet weiter. Im Westen endete M7 (SE 73) ca. 1,7 m östlich des Westprofils von Schnitt S4, wo die Mauer schließlich etwas unregelmäßig ausriss. Knapp 0,7 m nordwestlich lag die isolierte Pfostengrube SE 72, die jedoch mangels Funden keiner Periode zugeordnet werden konnte³⁶. Hinsichtlich des Baumaterials bestanden Unterschiede zu den Ost-West orientierten hangseitigen Stützmauern M1 (SE 62) und M10 (SE 81), die fast ausschließlich aus gut behauenen Basaltsteinen errichtet waren, während M7 (SE 73) in der untersten Lage einen bemerkenswert hohen Anteil an Tuff bzw. Basalttuff aufwies, der in Gebäude 1 aufgrund seiner geringeren Härte eher bei den schmälere und weniger belasteten Innenwänden (z. B. M3 [SE 64] und M8 [SE 79]) Anwendung fand.

Direkt südlich an M7 (SE 73) schloss der leicht versetzt verlaufende, geschotterte Straßenzug SE 75 mit seinem hangseitigen Straßengraben SE 119 an, der die gesamte Siedlung durchzog. Es muss offen bleiben, ob M7 (SE 73) eine unabhängige (Schutz-)Mauer zur Straße hin darstellte, oder ob sie doch in Kontext mit Gebäude 1 zu sehen ist. In diesem Fall würden sich zwei Konstruktionsvarianten ergeben, die den beachtlichen Niveauunterschied im Gebäude selbst lösen würden: Zum einen könnte Mauer M7 (SE 73) als (massive) Stützmauer einer teils künstlich angeschütteten Terrasse angesehen werden, die innerhalb von Gebäude 1 eine annähernd ebene, zumindest aber nur mehr leicht geneigte, podestartige Fläche entstehen lassen würde. Hierfür wäre bei einer angenommenen Gebäudebreite von mindestens 20 m jedoch ein nicht unbeträchtliches Erdvolumen von über 250 m³ anzuschütten, um eine weitestgehend ebe-

³⁶ Pfostengrube SE 72: Größe 0,58 × 0,61 m, T 0,3 m.



Abb. 18: Straßenschotterung mit nördlich anschließender Mauer M7 (SE 73).



Abb. 19: Nordseitiger Straßengraben (SE 119).

OG Paldau
KG Saaz
Parz. 90 – Ausgrabung 2003
Straße – Ostprofil

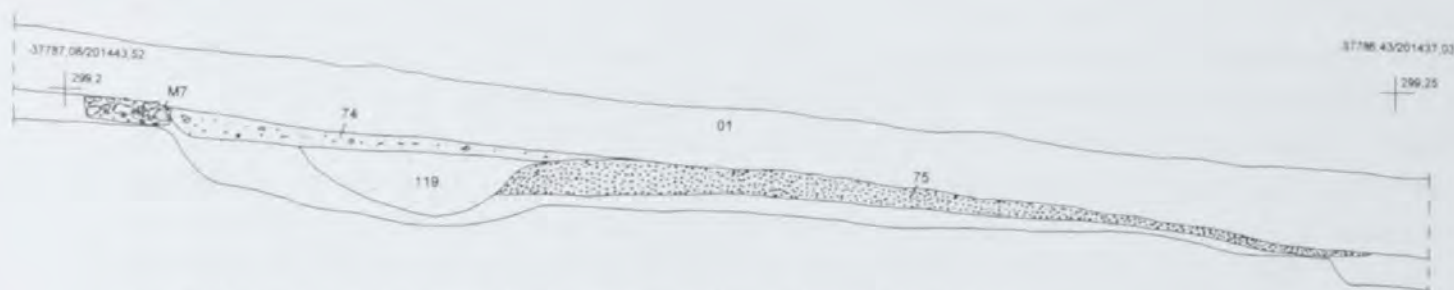


Abb. 20: Ostprofil der Straße mit Straßengraben und Mauer M7 (SE 73). M. 1:50.

ne Fläche zu gewinnen. Zum anderen wäre es denkbar, dass M7 (SE 73) zwar die Südmauer des Gesamtgebäudes I darstellt, welches sich dann jedoch *de facto* über zwei 'Ebenen' erstrecken würde. Diese Lösung würde eine Aufteilung des Gebäudes in einen durch die nordseitigen Räume beschriebenen Wohn- und Arbeitstrakt sowie einen südseitigen, hangabwärts geneigten 'Wirtschaftstrakt' oder Hofbereich implizieren. Gegen letzte Lösung spricht allerdings das Fehlen einer weiteren dazwischen liegenden Stützmauer, die dann eigentlich wiederum zur Verstärkung der oberen 'Wohnterrasse' vorauszusetzen wäre.

Die Ergebnisse der Geoprospektion deuten insgesamt auf tendenziell große Gebäude im gesamten Siedlungsbereich hin, sodass auch M7 (SE 73) zu Gebäude I gerechnet werden dürfte. Auf die damit verbundenen Schwierigkeiten beim Versuch der Grundrissgesamtreakonstruktion kann nur erneut hingewiesen werden.

Straße

Leicht schräg versetzt und südlich von Mauer M7 (SE 73) wurde ein annähernd in Ost-West-Richtung verlaufendes Stück der schon bei den Sondagen 2002 angeschnittenen Straße aufgedeckt (Abb. 18). Im Norden wurde der Straßenkörper hangseitig von dem 1 m breiten und 0,5 m tiefen Sohlgraben SE 119 flankiert, der zweifelsohne als Straßengraben anzusprechen ist. Innerhalb der praktisch fundleeren Verfüllung des Grabens konnte keinerlei Schichtung beobachtet werden, was insgesamt eher für eine schnelle Verfüllung und weniger für eine sukzessive Zusedimentierung spricht (Abb. 19).

Bei der Errichtung der Straße wurde das Aushubmaterial aus dem Graben südlich davon zu einem leicht erhöhten, bis zu 0,2 m mächtigen Straßendamm aufgeworfen, der die Substruktion der darauf aufgebrachtten Straßenschotterung bildete. Dieses Schotterpaket, das in sich keine Schichtung erkennen ließ, war noch bis zu 0,2 m mächtig, eine starke Konzentration von Schotter im durchpflügten darüber liegenden Humus belegt jedoch einen ursprünglich wohl

massiveren Schotterkörper (Abb. 20). Bemerkenswerterweise konnte südlich der Straße kein weiterer, eigentlich vorauszusetzender Straßengraben mehr festgestellt werden, der das durch die auch hier leichte Hanglage anfallende Wasser aufgenommen oder abgeleitet hätte.

Der Straßenkörper selbst wies eine Breite von 2,8–3,2 m auf, wobei die südseitigen Schwankungen durch das Pflügen entstandene Beschädigungen darstellen. Man wird wohl von einer ursprünglichen Straßenbreite von 10 römischen Fuß auszugehen haben. Das verwendete kleinteilige Schottermaterial verfügte kaum über Steine, die Faustgröße überschritten. Es waren keine Spurrillen festzustellen, da die ursprüngliche Straßenoberfläche nicht mehr vorhanden war.

Aufgrund des Fehlens datierenden Fundmaterials aus sämtlichen Strukturen der Straßenkonstruktion muss eine genauere chronologische Einordnung ausbleiben. Dies betrifft sowohl den Zeitpunkt ihrer Errichtung als auch ihre Nutzungsdauer. Da offensichtlich zwischen der Straße und den Baubefunden der Periode 2 ein Zusammenhang besteht, wurde von der Anlage der Straße eben erst in dieser Bauperiode ausgegangen, wobei auf der Grundlage der Stratigraphie nicht ausgeschlossen werden kann, dass die Straße bereits schon in Periode 1 Bestand hatte. Auch über den Zeitpunkt der Aufgabe der Straße können eigentlich nur Vermutungen angestellt werden, doch deutet m. E. die Tatsache einer kurzfristigen, indifferenten Verfüllung des Straßengrabens darauf hin, dass dieser möglicherweise bis zum Ende der Siedlung offen gehalten bzw. gewartet wurde, um die Straße selbst intakt oder passierbar zu halten.

1.1.3 Siedlungsbefunde der Periode 3 (130/140–170/180 n. Chr.)

Die dritte Bauperiode in der Siedlung am Saazkogel ist in erster Linie durch zahlreiche Um- und Einbauten in Gebäude 1 gekennzeichnet (Abb. 21). Zusätzlich sind nun auch im etwas nördlich gelegenen Hangbereich noch intakte römische Befunde anzutreffen, die eine erweiterte Ausdehnung des Siedlungsareals belegen. Da die direkt nördlich an das Gebäude 1 anschließende künstliche Terrasse durch neuzeitliche Überbauung sowie Einebnung stark gelitten hat und keine römerzeitlichen Objekte mehr erkennen ließ, wird die ungestörte römische Bebauung erst in der darauf folgenden nächsthöheren Hangterrasse wieder greifbar. Im Zuge der Sondagegrabungen 2002 wurden in Schnitt S1 mehrere Objekte angeschnitten³⁷, von denen besonders der Erdkeller SE 14 umfangreicheres keramisches Fundmaterial führte, das eine genauere Datierung in Periode 3 erlaubte³⁸. Im Kontext mit diesem Erdkeller waren sechs eng nebeneinander gelegene, allerdings fundleere Pfostengruben knapp 2 m nördlich davon zu sehen (SE 05–09 und 11), die zu einem nicht weiter dokumentierbaren Holzgebäude derselben Periode gehörten³⁹.

Erdkeller SE 14

Der ca. 3,5 m breite Erdkeller SE 14 wies auf der hangaufwärts gelegenen Seite eine Verschalung aus Holzbalken auf (SE 14b), hangabwärts konnte noch ein auf den Erdboden aufgelegter Schwellbalken (SE 17) erfasst werden. Der Keller war mit mehreren kaum differenzierbaren Schichten verfüllt, in seinen Boden waren wiederum mehrere Gruben unterschiedlicher Größe und Tiefe eingegraben (Bodenniveau 307,0 m). An der Nordseite war der Boden selbst annähernd waagrecht knapp 1 m tief in den Hang hineingearbeitet worden, die hintere Verschalung hatte zweifelsohne auch Stützfunktion. Nach der Verfüllung des Erdkellers, die ebenfalls noch in Periode 3 stattgefunden haben muss, wurde das Areal von einem leicht schräg zur Hangrichtung errichteten Holzgebäude überbaut, von dem noch die beiden in die Erdkellerverfüllung

³⁷ Die Beschreibung erfolgt nach Tiefengraber 2002, 117 ff.

³⁸ Vgl. Tiefengraber 2002, 120, wo noch ein zu früher

Datierungsansatz (Mitte 1. Jh. n. Chr.) in Erwägung gezogen wurde.

³⁹ Tiefengraber 2002, 120 f. Abb. 4a. 6.

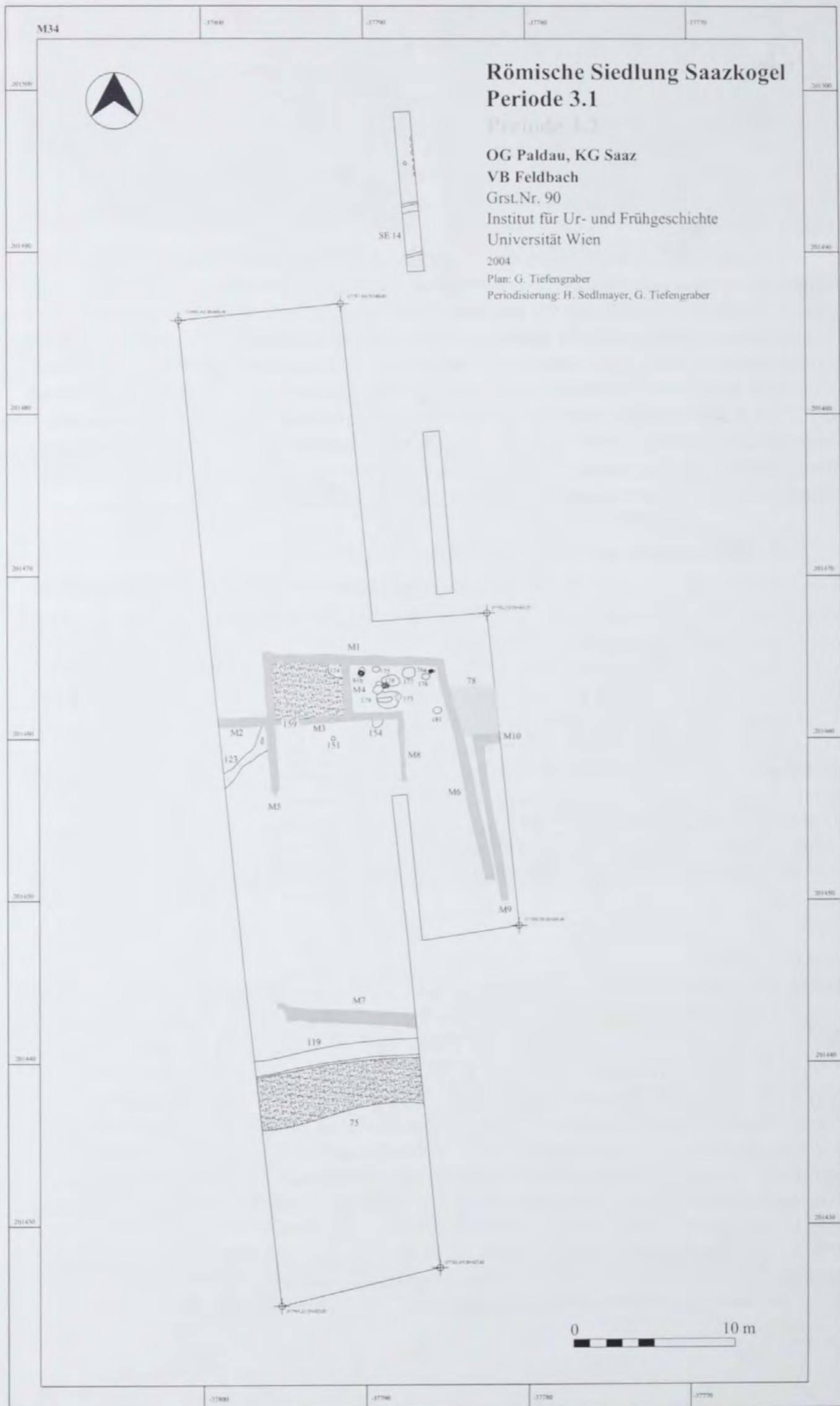


Abb. 21: Siedlungsbefunde der Periode 3. Parz. 90 (S4-5).

OG Paldau
KG Saaz
Parz. 90 – Ausgrabung 2003
Mauern M2 und M3 – Nordansicht



Abb. 22: Nordansicht von Mauer M2 (SE 63). M. 1:50.

eingetieften Pfostengruben SE 15 und 16 erhalten waren. Nach dem Abtragen dieses ansonst auch in seiner Ausdehnung bzw. Größe nicht weiter fassbaren Holzgebäudes wurde die gesamte angeschnittene Siedlungsterrasse (Niveau im Norden 307,45 m, im Süden 307,08 m) von der Planierschicht SE 02 überdeckt, die sich sowohl aufgrund der stratigraphischen Gegebenheiten wie auch des besser datierbaren Fundmaterials gut mit den umfangreichen Planierungen der folgenden Bauperiode 4 (4.1) im Bereich der Gebäude 1 und 2 korrelieren lässt.



Abb. 23: Blick von Südosten in den Nordteil von Gebäude 1 (Räume 1 und 2).

OG Paldau
KG Saaz
Parz. 90 – Ausgrabung 2003
Mauer M4 – Westansicht

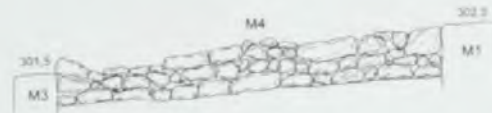


Abb. 24: Westansicht von Mauer M4 (SE 65). M. 1:50.

Gebäude 1

Eine Reihe von Um- und Einbauten in Periode 3 veränderte das Erscheinungsbild von Gebäude 1 erheblich. Besonders zwei Baumaßnahmen sind als größerer Eingriff in die sonst weitestgehend beibehaltene Bausubstanz zu werten: Der im Nordwesten des Gebäudes gelegene Raum 3 mit Schotterfußboden wurde aufgelassen und seine Mauern an der Nord- und Südseite abgetragen. Der nun nach Norden hin offene, südlich anschließende Raum 4 wurde durch die neu errichtete Ost-West-Mauer M2 (SE 63) (Fundamentunterkante 301,25 m) abgeschlossen (Abb. 22), wobei sich in der Ausführung des Mauerwerks und in der Wahl des Baumaterials ein qualitativer Abfall bemerken lässt. Anstatt des soliden Basalts kam bei Mauer M2 (SE 63) vorwiegend der deutlich weichere Tuff bzw. Basalttuff zur Anwendung, auch ist die Schlichtung bei Weitem sorgloser ausgeführt als beispielsweise bei den 'Schalenmauern' M1 (SE 62) und M5 (SE 145) (Abb. 23).

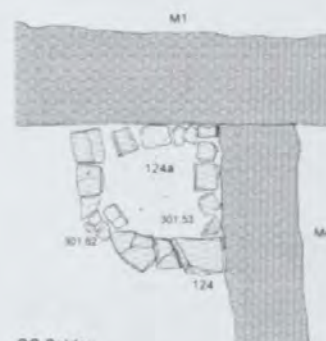
Der L-förmig nach Süden umbiegende Korridor aus Periode 2 erfuhr in seinem Nordflügel eine Aufteilung in zwei rechteckige Räume (Räume 1 und 2) durch Einziehen der 0,5 m breiten Nord-Süd verlaufenden Zwischenmauer M4 (SE 65) aus Basalt- und Tuffbruchsteinen, Ziegelbruchstücken und einzelnen fragilen Kalksteinen (Abb. 24; Fundamentunterkante im Norden 301,7 m, im Süden 301,32 m). Während der nunmehr 5,3 × 2,8 m (ca. 18 × 9 römische Fuß) große, östlich gelegene Raum 2 weiterhin von Süden betretbar war, wurde die Südmauer M3 (SE 64) von Raum 1 nahe der Westwand M5 durchbrochen und ein knapp 1,1 m breiter neuer Eingang geschaffen. Innerhalb von Raum 1 wurde die kurze, in den Raum vorspringen-



Abb. 25: Blick von Süden in Raum 1 mit Schotterfußboden und Feuerstelle SE 124 in der Nordostecke.



Abb. 26: Feuerstelle (SE 124).



OG Paldau
KG Saaz
Parz. 90 – Ausgrabung 2003
Feuerstelle 124 – Detail

Abb. 27: Feuerstelle (SE 124). M. 1:50.

de Mauer M12 bis auf die Fundamentsteine abgetragen, im ganzen Raum wurde darüber eine 2 cm dicke überlagernde Sandausgleichsschicht geschüttet (SE 159a), auf die schließlich eine feinkieselige Schotterschicht als Fußboden aufgebracht wurde (SE 159, Gehniveau bei 301,62 m) (Abb. 25). Die nun ebenfalls überdeckte Feuerstelle SE 126 in der Nordwestecke wurde durch die gleichartig konstruierte Feuerstelle SE 124⁴⁰ ersetzt, die in der entgegengesetzten Nordostecke des Raums 1 aus größeren Ziegelbruchstücken und Bruchsteinen in halbrunder Form errichtet wurde (Abb. 26–27).

Zu einer größeren und zweifelsohne aufwändigeren Umbaumaßnahme kam es im Ostteil des Gebäudes, wo die Ostmauer M11 (SE 118) der Periode 2 vollständig abgetragen und durch die erstaunlicherweise schräg versetzte, nach Süden hin sich Gebäude 2 bis auf 0,15 m annähernde Mauer M6 (SE 77) substituiert wurde (Abb. 28). Auch die Nordostecke des Gebäudes

⁴⁰ Feuerstelle SE 124: Größe 0,8 × 0,8 m, H 0,15 m.

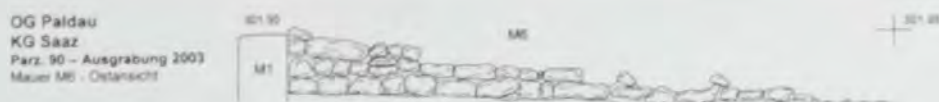


Abb. 28: Ostansicht von Mauer M6 (SE 77). M. 1:50.



Abb. 29: Vorratsgefäß in Grube (SE 76a).



Abb. 30: Grubenkomplex in Raum 2.

selbst, in die – wohl als Stützmaßnahme – ein größerer massiver Basaltsteinblock eingesetzt wurde, war von diesen Umbauarbeiten betroffen. Die neu errichtete Mauer M6 (SE 77, Fundamentunterkante im Norden 301,61 m, im Süden 301,51 m) entsprach in der Breite (0,5 m) der Vorgängermauer M11 (SE 118), in ihrer technischen Ausführung (Schalenbauweise mit behauenen Basaltsteinen) erinnert sie an die nordseitige Mauer M1, wodurch eine Bevorzugung dieser Mauerkonstruktionsart für Außenmauern über mehrere Bauperioden hinweg evident wird, während die Innenwände wesentlich einfacher ausgeführt wurden (vgl. Mauer M4 [SE 65]). So wie auch die anderen Nord-Süd-Mauern wies M6 (SE 77) im Südbereich erhebliche Zerstörungen durch den Pflug auf. Nur die ersten 4,5 m der Mauer waren im Aufgehenden erhalten, südlich davon ließ sich der Fundamentgraben über weitere 10 m verfolgen, wo er schließlich abbrach bzw. ausriss. Bemerkenswert war noch ein am Südende in das Mauerfundament bzw. in den Ausrissgraben eingesetzter, fragmentarisch erhaltener rottoniger Krug oder Topf (o. Abb., Inv. 77/1/20).

Zahlreiche gut erhaltene Fundobjekte der Periode 3 konnten innerhalb des neu geschaffenen Raums 2 festgestellt werden, wovon in erster Linie zwei bis zur Gefäßschulter in den anstehenden Lehm Boden bzw. -untergrund eingelassene große Vorratsgefäße zu erwähnen sind (SE 61b und 76a), die sich jeweils in den beiden Nordecken befanden (Gehniveau bei 301,6 m). Beide Vorratsgefäße (Taf. 6, 61b/20/1; 7, 76a/1/1) waren in enge Gruben gestellt (Abb. 29), die sie fast vollständig ausfüllten. Reste eines weiteren, jedoch weitestgehend zerscherbten großformatigen Gefäßes (Taf. 7, 177/1/22) fanden sich in der ebenfalls an der Nordseite des Raums eingetieften Grube SE 177⁴¹. Knapp westlich der Raummitte war eine Reihe unterschiedlich großer Gruben in den anstehenden Lehm Boden des Raums eingegraben, die sich auch mehrfach überschneiden (SE 178, 179a, 179b, 179c, 179)⁴². Bemerkenswert ist das Vorkommen von beinahe vollständigen Webstuhlgewichten in den Gruben SE 175, 179 sowie 181 (Taf. 5, 179/1; 5, 181/1)⁴³, die auf Textilherstellung im näheren Umfeld hinweisen dürften. Auf jeden Fall ist die beachtliche Konzentration verschiedenster Gruben in Raum 2 von Interesse, die eher auf eine Funktion als Arbeits- oder aber auch Vorratsraum als auf einen Wohnraum hindeuten (Abb. 30).

⁴¹ Grube SE 177: Größe 0,76 × 0,68 m, T 0,52 m.

⁴² Grube SE 178: Größe 1,15 × 0,69 m, T 0,14 m; Grube SE 179a: Größe 0,6 × 0,48 m, T 0,05 m; Grube SE 179b: Größe 0,94 × 0,27 m, T 0,08 m; Grube SE 179c: Größe

0,37 × 0,39 m, T 0,1 m; Grube SE 179: Größe 1,33 × 1,6 bzw. 0,99 × 0,15 m, T 0,3 m.

⁴³ Grube SE 175: Größe 0,46 × 0,35 m, T 0,18 m; Grube SE 181: Größe 0,55 × 0,4 m, T 0,1 m.



Abb. 31: Sohlgräbchen der Schlauchheizung (SE 123).

nach Norden hin abgegrenzt wurde, wurde in Periode 3 von einem schräg bzw. diagonal durch den Raum gezogenen, in den anstehenden Lehmuntergrund eingetieften (Gehniveau bei 301,45 m), eher unregelmäßig ausgeführten Sohlgräbchen durchschnitten (SE 123), das sich in der Nordostecke des Raums in zwei kleinere Gräbchen gabelte. In der Breite schwankte das Gräbchen zwischen 0,4 und 0,7 m, die Tiefe betrug beinahe konstant 0,35 m. Die stark mit Holzkohle und rot verziegeltem Lehm durchsetzte Verfüllung sowie die leicht hitzegeeröteten Gräbchenwände legen eine Interpretation als einfache Schlauchheizung nahe, wobei die geringe Neigung der Grabensohle darauf hindeutet, dass mit einer nicht weiter greifbaren Rauchabzugskonstruktion in der Nordostecke von Raum 4 gerechnet werden muss (Abb. 31). Die Beschickung der Fußbodenheizung müsste konsequenterweise im südwestlichen unergrabenen Bereich von Raum 4 erfolgt sein oder überhaupt von außen in einem Präfurnium. Da auch im gut erhaltenen Nordbereich von Raum 4 keinerlei Reste eines Fußbodens (Estrich, Ziegel etc.) vorhanden waren, ist von einem Holz- bzw. Bretterfußboden über der Schlauchheizung auszugehen, von dem sich aber erwartungsgemäß ebenfalls keine Überreste mehr fanden.

Der große zentrale Raum (oder Hof?) 5 erfuhr in Periode 3 keine wesentlichen Umbauten, sieht man vom Durchbruch von Mauer 3 für einen Eingang in den neu abgetrennten Raum 1 ab. Im Gegensatz zu den zahlreichen Gruben aus Periode 2 waren lediglich zwei Gruben (SE 151 und 154)⁴⁵ der Periode 3 zuzuordnen. Bemerkenswert ist davon die kleine, seichte Grube SE 151, in der sich große Partien eines zerscherbten Gefäßes (Taf. 5, 151/2/20) befanden.

Gebäude 2

An den Mauersockelfundamenten von Gebäude 2 ließen sich keine Veränderungen im überkommenen Baubestand der Periode 2 feststellen, auch konnten keinerlei Objekte im Inneren mit Periode 3 in Verbindung gebracht werden.

Erdkeller SE 78

In den durch die Neuerrichtung von Mauer M6 (SE 77) und von M10 (SE 81) eingeschlossenen Zwickel zwischen den Gebäuden 1 und 2 wurde ein größeres Objekt in den anstehenden Lehmuntergrund eingetieft, das aufgrund seiner Dimensionen am ehesten als Erdkeller anzusprechen ist. Die Nordkante des Kellers verlief annähernd parallel zu Mauer M10 (SE 81), im Osten er-

⁴⁴ Feuerstelle SE 173: Größe 0,43 × 0,33 × 0,04 m.

⁴⁵ Grube SE 151: Größe 0,28 × 0,26 m, T 0,07 m; Grube SE 154: Größe 0,68 × 0,46 m, T 0,3 m.

Die Überlagerung der Objekte SE 178, 179 und 179a durch die Feuerstelle SE 173 erlaubte eine Differenzierung der Periode 3 in die Subphasen 3.1 und 3.2⁴⁴, wobei letztere durch SE 173 sowie die Verfüllung SE 78 (Taf. 8–12) des direkt östlich im Zwickel von Gebäude 1 und 2 gelegenen Erdkellers repräsentiert wird.

Der südlich an den aufgegebenen Raum 3 angeschlossene Raum 4, der durch die neu errichtete Mauer M2 (SE 63)

streckte sich das Objekt bis in das Ostprofil von Schnitt S5. Der Keller erreichte eine Tiefe von 0,75 m (Unterkante 305,25 m), war an seiner Oberkante (306,0 m) 2,8 m breit und ließ sich über 3,2 m bis in das Ostprofil verfolgen. Bemerkenswert ist die Tatsache, dass bei der Eintiefung des Kellers im Südteil darauf geachtet wurde, die Fundamente von Mauer M10 (SE 81) nicht anzugraben, stattdessen wurde die Kellerwand hier in einer leichten Schräge ausgeführt. Im Gegensatz dazu wurde die Nordseite bzw. die nördliche Kellerwand fast senkrecht eingetieft, ebenso wurde im Westen der Keller an die tiefer greifenden Fundamente der Mauer M6 (SE 77) herangegraben, ohne dass sich hierbei jedoch im aufgehenden Mauerwerk erkennbare statische Probleme ergeben hätten. Trotz seiner beachtlichen erhaltenen Tiefe war in der Verfüllschicht SE 78 keinerlei Schichtung zu beobachten.

Südbereich mit Straße und Mauer M7 (SE 73)

Im Südteil der Ausgrabung konnten keine Änderungen im Baubefund der Periode 2 konstatiert werden, die Straße war erwartungsgemäß weiterhin in Verwendung und der hangseitige Straßengraben SE 119 wurde entsprechend offen gehalten.

1.1.4 Siedlungsbefunde der Periode 4 (170/180–230 n. Chr.)

Periode 4.1 (170/180–200 n. Chr.)

Sämtliche Objekte der Periode 3 in Schnitt I von 2002 (Erdkeller SE 14, Pfostengrubenreihe SE 05–11) erfahren eine Überlagerung durch die 0,2–0,4 m dicke Planierschicht SE 02, die sich offensichtlich über die gesamte angeschnittene oberste Siedlungsterrasse erstreckte und hangabwärts nach Süden hin erosionsbedingt oder durch das Pflügen ausdünnte (Abb. 32). Das zahlenmäßig relativ reiche keramische Fundmaterial erlaubte bereits 2002 eine Datierung an das Ende des 2. bzw. den Beginn des 3. Jahrhunderts n. Chr.⁴⁶ Die Konsistenz der Planierschicht, die einige wenige Ziegelbruchstücke und etwas Holzkohle enthielt, kann auf jeden Fall nicht als Einplanierung von Brandschutt etc. betrachtet werden, auch lieferten die Befunde der Periode 3 keinen Hinweis auf gewaltsame Zerstörungen.

Dasselbe Phänomen lässt sich im Bereich der ausgedehnten Gebäude 1 und 2 beobachten (Abb. 33): Hier wurden die ursprünglichen Räume vollständig und mindestens 0,6 m dick mit den homogenen Schichten SE 59, 60, 61, 66, 67, 76 sowie 82 verfüllt, inwieweit die Mauersokkelkronen danach noch sichtbar waren, bleibt unklar. Die Tatsache, dass zwischen dem Niveau der obersten erhaltenen Steinscharen (302,2 m) und dem zweier ziegel- bzw. steingefasster Feuerstellen der darauf folgenden Subphase 4.2 keine Unterschiede bestehen, deutet möglicherweise doch auf eine Sichtbarkeit der Maueroberkanten hin. Inwiefern die Mauersockel allerdings als Fundamente für Holzaufbauten zweckdienlich oder überhaupt noch geeignet waren, kann nicht beurteilt werden. Auf jeden Fall bedeutete die Auffüllung der Räume innerhalb der Gebäude 1 und 2 eine Anhebung der einstigen Siedlungsterrassenoberkante um über einen halben Meter.

Rudimentär greifbar wurden die Planierungen auch im Südteil von Schnitt S4, wo im Bereich der Straße die Planier- bzw. Versturzschiicht SE 74 sowohl über dem Straßenkörper als auch über dem zu diesem Zeitpunkt bereits verfüllten Straßengraben SE 119 lag.

Insgesamt betrachtet können die umfangreichen und zweifelsohne auch aufwändigen Planierungen der Periode 4.1 als Grundlage zur Umgestaltung der Siedlung betrachtet werden. Es ist fraglich, ob zwischen der letzten Nutzungsphase der Gebäude (Periode 3) und der Planierung ein zeitlicher Hiatus anzusetzen ist, genauso muss offen bleiben, aus welchem Grund die Ge-

⁴⁶ Tiefengraber 2002, 120.



Abb. 32: Siedlungsbefunde der Periode 4.1. Parz. 90 (S4-5).



Abb. 33: Blick von Süden auf Gebäude 1 mit den verfüllten Räumen 1 und 2.

bäude der Periode 3 eigentlich aufgegeben wurden. Es liegen – wie bereits oben erwähnt – *de facto* im Grabungsbefund keinerlei Anzeichen einer gewaltsamen Zerstörung (Brandschichten etc.) vor, die derartige Umstrukturierungen erfordert hätten.

Periode 4.2 (200–230 n. Chr.)

Nur mehr wenige Objekte lassen sich der letzten greifbaren Siedlungsphase am Saazkogel zuordnen (Abb. 34). Diese fanden sich sowohl auf der obersten Siedlungsterrasse in Schnitt S1 von 2002 wie auch im Bereich der zuplanierten Gebäude 1 und 2. In beiden Fällen wurden die Objekte entweder in die Planierschichten eingetieft oder – wie bei den auffallend zahlreichen Feuerstellen der Fall – lagen darauf auf. Reste von Gebäuden selbst, etwa in Form von Pfostengruben oder Balkengrübchen, waren nicht mehr festzustellen, auch fehlt jeder Hinweis auf Steinbauten aus dieser Periode.

In Schnitt S1 konnte in der Nordostecke die 0,4 m in die Planierschicht SE 02 eingetiefte Grube SE 03 angeschnitten werden (Oberkante 307,7 m, Unterkante 307,31 m), die mit reichlich Holzkohle verfüllt war⁴⁷. Ebenfalls der Periode 4.2 ist die Feuerstelle SE 02a im Südwestbereich von S1 zuzuweisen, bei der die verziegelte Brandfläche von Ziegel- und Gefäßbruchstücken eingefasst war (Niveau 307,16 m).

Im Bereich der Planierungen über Gebäude 1 sind zwei größere Feuerstellen anzuführen, SE 69 und SE 127, die jeweils über Umstellungen der verziegelten Brandflächen aus Bruchsteinen und Ziegelbruchstücken verfügten. Eine weitere Feuerstelle bzw. eigentlich eine Brandgrube (SE 129) befand sich direkt südlich der überlagerten Mauer M3 (SE 64), an die diese Grube auch angelehnt war⁴⁸. Ähnlich war auch die etwas östlich gelegene, fundreiche Grube SE 84 angelegt⁴⁹, die sowohl Mauer M6 (SE 77) wie auch den sich daneben befindenden Mauerausrissgra-

⁴⁷ Vgl. Tiefengraber 2002, 118.

⁴⁸ Objekt SE 129: Größe 1,47 × 0,82 m, T 0,48 m.

⁴⁹ Grube SE 84: Größe 1,49 × 1,91 m, T 0,65 m.

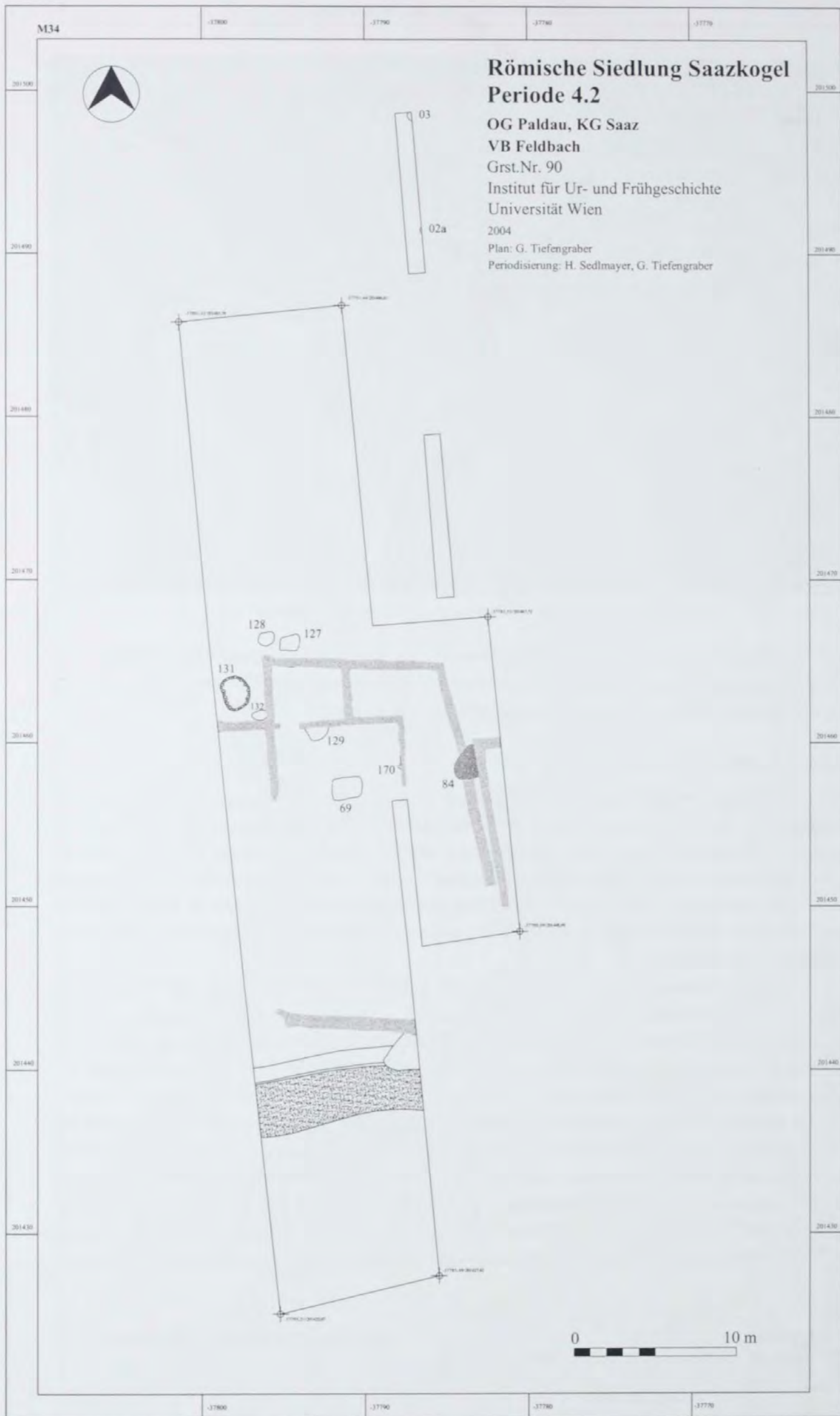


Abb. 34: Siedlungsbefunde der Periode 4.2. Parz. 90 (S4-5).

ben M11 durchstieß, aber direkt an die Ostmauer M9 (SE 80) von Gebäude 2 herangegraben war, ohne diese zu beschädigen. Ob diese abgeschnittenen Gruben auch als Hinweis darauf zu werten sind, dass die Mauersokkelkronen zum Zeitpunkt der Eintiefung der Gruben nicht mehr sichtbar waren und erst im Zuge dessen erkannt wurden, ist kaum zu entscheiden. Ebenfalls zur Periode 4.2 sind zwei Gruben zu rechnen, von denen die knapp westlich von Feuerstelle SE 127 gelegene Grube SE 128 aufgrund ihrer Verfüllung hervorzuheben ist, die neben viel Holzkohle zahlreiche makrobotanische Reste (u. a. Pfirsichkerne) enthielt, welche allerdings noch nicht paläobotanisch untersucht werden konnten.

Eines der bemerkenswertesten Objekte nicht nur dieser Bauperiode, ein Brunnen mit Steinfassung, konnte im Bereich des vormaligen, später aufgefüllten Raums 3 ergraben werden (Abb. 35). Dieser Brunnen bestand aus einem $2,1 \times 1,8$ m großen Schacht, der bis in eine Tiefe von 2,2 m verfolgt werden konnte (Abb. 36–37). Nachdem bei 1,9 m Tiefe eine schräg zum Hang verlaufende Wasserquelle angeschnitten wurde, die binnen kurzer Zeit den Brunnen mit Wasser auffüllte,



Abb. 35: Blick von Süden in Raum 3 mit Brunnenschacht (SE 131).



Abb. 36: Brunnenschacht (SE 131) mit mehreren weißen Kalksteinspolen in der obersten Steinlage des Steinkranzes.

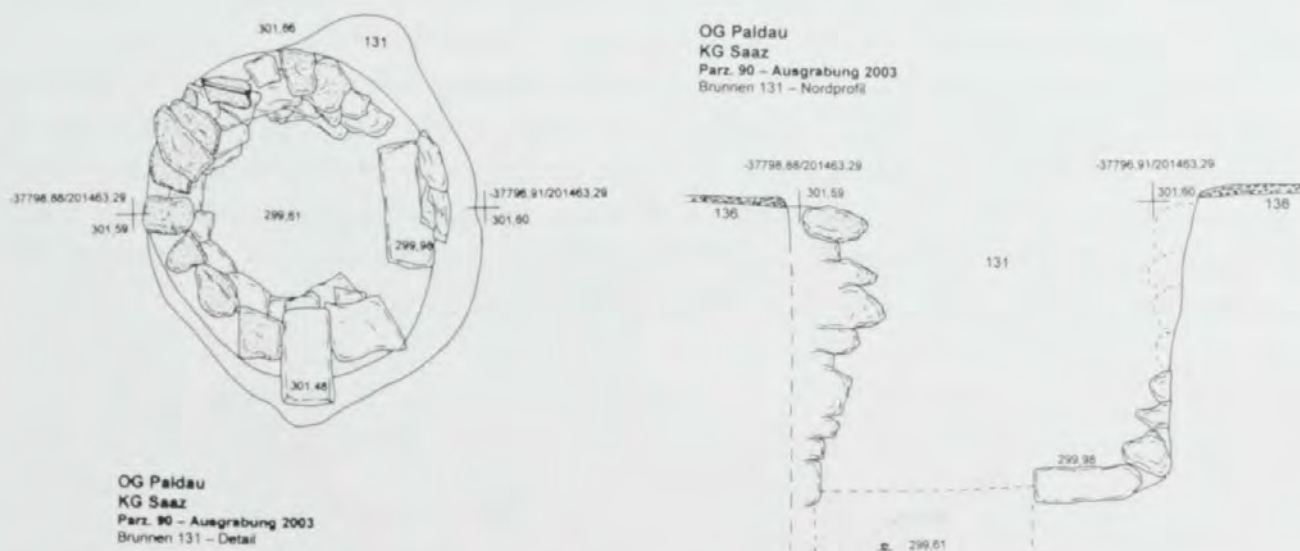


Abb. 37: Brunnen (SE 131). M. 1:50.

war eine vollständige Ausgrabung des Brunnens bzw. seiner untersten, noch feuchten Bereiche leider nicht mehr möglich (erreichtes Niveau 299,61 m). In ca. 2,1 m Tiefe befand sich die unterste (Fundament-)Steinlage des Steinkranzes, wobei es sich bei diesen Auflagesteinen um ausgesprochen große, langrechteckige und gut behauene Basaltblöcke mit einer Größe von $1,2 \times 0,5$ und einer Dicke von 0,3 m handelte. Die steinerne, runde Brunnenfassung mit einem rekonstruierten Innendurchmesser von rund 1,1 m war in ihrem Inneren an der Nord-, West- und Südseite fast vollständig erhalten, die Ostseite war bis auf die untersten vier Steinlagen eingestürzt.

Der Brunnenkranz selbst war aus ausgesprochen unregelmäßigen und weitestgehend unbearbeiteten Basaltbruchsteinen hochgezogen, zwischen denen sich auch vereinzelte Tuffbruchsteine befanden. Nur in der obersten der insgesamt neun Steinlagen konnten mehrere, zumeist äußerst fragile und durch die Feuchtigkeit aufgeweichte größere Kalksteinbruchstücke festgestellt werden, von denen eine Spolie mit Resten einer Profilierung hervorzuheben ist, die am ehesten als Gesimsbruchstück anzusprechen sein dürfte. Über die Herkunft dieses Stücks kann nur gemutmaßt werden, doch drängt sich in Kenntnis der aufwändigen monumentalen Grabbauten am Westrand der Siedlung der Verdacht auf, dass die Kalksteinbauteile aus ebendiesem Gräberfeldareal stammen. Nach Ausweis des Fundmaterials wurde der Brunnen noch in Periode 4.2 wieder aufgegeben und in einem Zug vollständig verfüllt.

Ein markanter Bruch in der Entwicklung der Siedlung am Saazkogel ist zwischen den Perioden 3 und 4 festzustellen, der sich *de facto* in der Aufgabe der großen Gebäude manifestiert. Im gesamten Bereich der Ausgrabungen sind großflächige Planierungen über die Baubefunde der vorhergehenden Perioden hinweg zu beobachten, die den Beginn der Periode 4 (Subphase 4.1) markieren. Sämtliche Räume der Gebäude 1 und 2 wurden mit reich fundhaltigem Erd- und Schuttmaterial verfüllt, das einen *t.p.q.* um 170/180 für diese einschneidende Umbaumaßnahme lieferte. Diese Planierungen blieben nicht nur auf die Bereiche der großen Gebäude mit steinernen Mauersockeln beschränkt, sondern fanden sich auch hangaufwärts bei den bis *dato* mit Holzgebäuden verbauten Siedlungsterrassen wieder.

Dass diese Maßnahmen jedoch nicht das Ende der römerzeitlichen Besiedlung bedeuteten, vermögen eine Reihe von Gruben und Feuerstellen sowie ein aufwändiger Brunnen mit Steinfassung zu belegen, die in Periode 4.2 zusammengefasst werden können und die entweder in diese Planierschichten eingetieft waren (z. B. Brunnen SE 131 oder Gruben SE 84 und 128)⁵⁰ oder aber darauf auflagen, wie die Feuerstellen SE 69 und 127⁵¹. Im Südbereich der Ausgrabung wirft die Planier- oder Versturzschiicht SE 74, die sowohl den Straßengraben SE 119 als auch teilweise den Straßenkörper selbst überlagert, die Frage auf, ob die Straße überhaupt noch weiter in Verwendung stand, die Tatsache der Überlagerung des Straßengrabens setzt logischerweise dessen abgeschlossene Verfüllung bereits zu diesem Zeitpunkt voraus.

Mit Periode 4.2 endet die befundmäßig fassbare Siedlungstätigkeit im Bereich des Vicus am Ende des ersten Drittels des 3. Jahrhunderts n. Chr., vereinzelte Münzfunde aus dem 4. Jahrhundert n. Chr. belegen jedoch eine nicht weiter greifbare Nutzung des Areals. Als einziger ergrabener Befund dieser Periode 5 kann ein Brunnen- oder Beraubungsschacht in der Mitte des massiven zentralen Fundaments des 2004 ergrabenen Grabbezirks betrachtet werden, der auch entsprechendes Keramikfundmaterial enthielt (Kap. I.B.2.3).

⁵⁰ Grube SE 84: Größe $1,49 \times 1,91$ m, T 0,65 m; Grube SE 128: Größe $0,95 \times 0,89$ m, T 0,25 m.

⁵¹ Feuerstelle SE 69: Größe $1,8 \times 1,3$ m, H 0,15 m; Feuerstelle SE 127: Größe $1,21 \times 0,98$ m, H 0,2 m.

1.2 Ausgrabung 2005
auf Parz. 93/4
(S9-11)

Im Winter 2004 wurden von O. Eder und G. Tiefen-
graber auf der frisch ge-
pflügten Ackerparz. 93/4
im östlichen Bereich des Vi-
cus an drei Stellen ober-
flächliche tiefschwarze Be-
funde mit zahlreichen Frag-
menten von verziegeltem
Lehm entdeckt, die auf
vom Pflug angerissene Öfen
bzw. Feuerstellen hindeute-
ten. Im April 2005 wurden
schließlich in einer einwö-
chigen Grabungskampagne
an diesen Stellen drei Such-
schnitte (S9-11) angelegt,
die neben der Klärung der
Befundsituation auch einen
Einblick in die Stratigra-
phie sowie die Möglichkeit
zur Korrelation mit den



Abb. 38: Siedlungsbefunde, Parz. 93/4 (S9-11).

Bauperioden der Ausgrabung 2003 geben sollten (Abb. 38). Obwohl die Ausgrabung 2005 unter zeitlichem und finanziellem Druck stand, waren dennoch in kurzer Zeit wichtige Ergebnisse zur Besiedlungsabfolge und -struktur im Ostbereich des Vicus zu gewinnen.

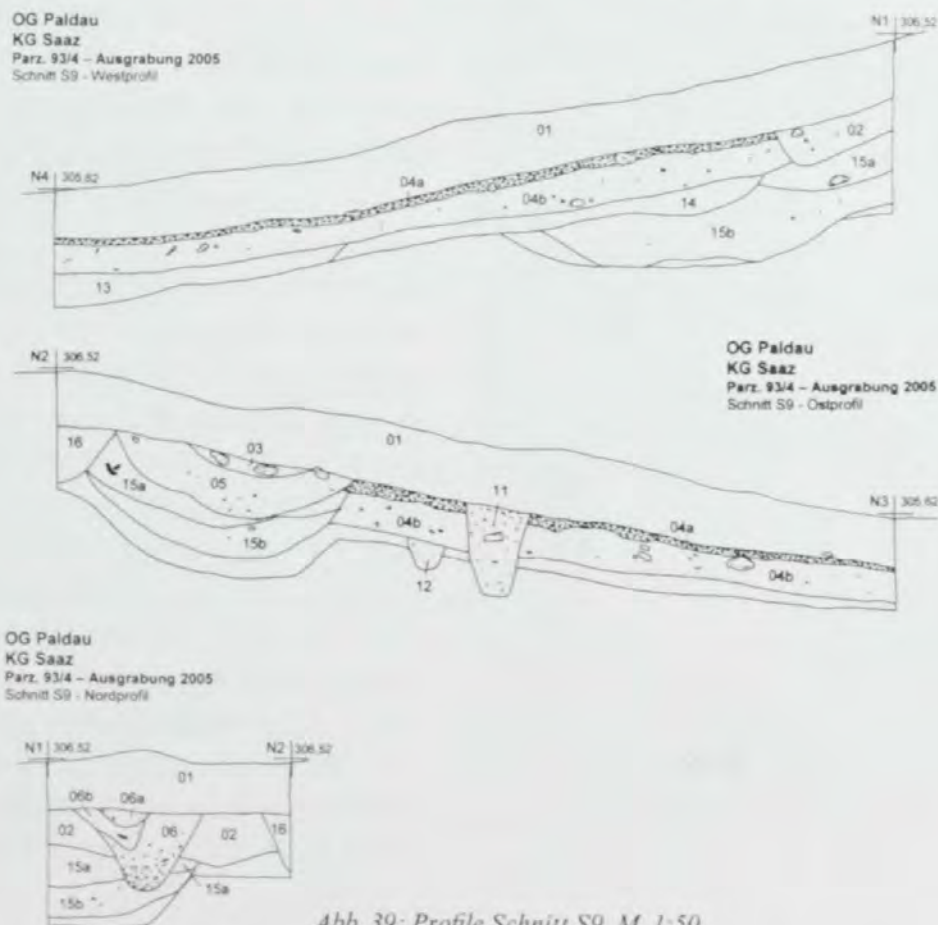


Abb. 39: Profile Schnitt S9. M. 1:50.

1.2.1 Siedlungsbefunde der Perioden 1–2 (70–130/140 n. Chr.)

In Bereich des nördlichst angesetzten Schnitts S9, der sich 7 m westlich und knapp 3 m hangaufwärts von Schnitt S10 befand, waren auf der Oberfläche vereinzelte veriegelte Lehmbrocken festzustellen, die für die Platzwahl des Schnitts ausschlaggebend waren. Bei Beginn der Ausgrabung war die Befundsituation an dieser Stelle auch nach der Geoprospektion noch nicht befriedigend beurteilbar, da eine größere, bereits auf der Ackeroberfläche sichtbare Schotterkonzentration in einer tiefschwarzen Matrix allem Anschein nach die Ergebnisse der Magnetik störend beeinflusste.

Obwohl Schnitt S9 eher klein dimensioniert angelegt war, überraschte die ausgesprochen komplexe stratigraphische Situation, in der allein fünf Phasen (Perioden 1/2–4) differenzierbar waren (Abb. 39).

Die älteste Phase (Perioden 1–2) wird im Nordteil von S9 von einer quer durch den Schnitt verlaufenden Grube oder grabenartigen Struktur SE 15 repräsentiert, die mit zwei klar unterscheidbaren Schichten (SE 15a und 15b) verfüllt war. Die Breite betrug knapp 1,5 m, wobei ein 'Seitenarm' nach Norden hin in das Profil reichte, das Objekt war noch 0,3 m tief erhalten (Unterkante bei 305,2 m). Ebenfalls dieser ersten Phase oder der folgenden Phase 2 ist der gerade noch angeschnittene Rest des Balkengrabens SE 12 mit einer Breite von 0,2 m und einer Tiefe von 0,25 m zuzurechnen, der in das Ostprofil weiterlief.

1.2.2 Siedlungsbefunde der Perioden 2–3 (120–170/180 n. Chr.)

In Phase 2 (Perioden 2–3) wird die grabenartige Struktur SE 15 in S9 von der eher seichten bzw. nur noch in ihrem untersten Bereich erhaltenen Grube SE 14 gestört, die sich nach Westen hin auf unergrabenes Gebiet fortsetzte (Abb. 40). Die 2,9 m lange Grube wies eine maximale Tiefe von 0,2 m auf. Einem jüngeren Abschnitt von Phase 2 (Perioden 2–3) ist die größere, noch 0,3 m tief erhaltene Grube SE 13 in der Südwestecke des Schnitts zuzuweisen, die im Westen und Süden in das Profil reichte. Zahlreiche Keramikfunde, darunter eine fast komplette Dreifußschüssel (Taf. 31, 14/1), erlauben eine chronologische Parallelisierung dieser Befunde mit den Perioden 2–3 der Ausgrabung 2003.



Abb. 40; Schnitt S9 – DOF 2. Blick von Norden.

1.2.3 Siedlungsbefunde der Periode 4.1 (170/180–200 n. Chr.)

Während die Siedlungsreste der Perioden 1–3 in S9 funktionell kaum weiter beurteilt werden können, sind die Befunde der Phase 3 (Periode 4.1) in dieser Hinsicht klar umrissen: Sämtliche Strukturen der älteren Bauphase werden von der 0,3 m dicken, tiefschwarzen Planier- und Unterlageschicht SE 04b überdeckt (Unterkante im Norden 305,6 m, im Süden 305 m), auf die eine noch bis zu 0,1 m dicke Schotterlage SE 04a aufgebracht wurde (Abb. 41; Unterkante im Norden 305,95 m, im Süden 305,32 m). Nach Ausweis des an der Ackeroberfläche über eine größere Fläche verteilten herausgepflügten Schotters, ist mit einer beträchtlichen Ausdehnung dieses nur ausschnitthaft erfassten Befundes zu rechnen, wobei klarerweise aufgrund der Kleinteilig-



Abb. 41: Schnitt S9 – DOF1. Blick von Norden.

keit der Ausgrabung nicht entschieden werden kann, ob hier ein Schotterfußboden vorliegt, wie er aus Gebäude 1 von 2003 schon bekannt war, oder ob man es mit einer größeren geschotterten, platzartigen Struktur zu tun hat. Von Bedeutung ist auf jeden Fall auch die Tatsache, dass es sich bei dem oberflächlich bereits sichtbaren Schotter nicht bloß um verschliffenes bzw. verlagertes Material von der direkt nördlich anschließenden, hier quer zum Hang verlaufenden geschotterten Straße handelt, sondern um eine eigenständige größere Struktur. Die zahlreichen Funde aus der Planierschicht SE 04b ermöglichen eine exakte Parallelisierung dieses Befunds mit den gleichfalls durch materialreiche Planierungen charakterisierten Maßnahmen der Periode 4.1 im Befundabschnitt S4–5.

1.2.4 Siedlungsbefunde der Perioden 3–4.1 (130/140–200 n. Chr.)

Grubenhütte 1

Obwohl im Befundbereich S9–11 bereits durch die Geoprospektion ein Ofen oder eine Feuerstelle, zumindest aber eine markante geomagnetische Anomalie ausgewiesen war, konnte kein derartiges Objekt festgestellt werden. Im südlichsten der drei Schnitte (S11), der annähernd in der Mitte des eher steilen Hanges angelegt wurde, erwies sich eine in der Magnetik kreisrunde Anomalie mit der für hitzebedingte Störungen charakteristischen nordseitigen 'Aura' schlussendlich als Grubenhütte mit mehreren Verfällschichten, von denen eine reichlich Brandschutt und etwas verziegelten Lehm enthielt, die wohl für die Anomalie verantwortlich waren. Die in ihrer Grundrissform weitestgehend rechteckige Grubenhütte SE 10 mit abgerundeten Ecken war quer zur Fallrichtung in den Hang (Terrassenniveau 288,6 m) eingearbeitet und noch bis zu 0,3 m tief erhalten (Unterkante 288,31 m), was angesichts der erheblichen Überprägung durch den Pflug in diesem Bereich doch eine Überraschung darstellte (Abb. 42). Die Länge der Gru-



Abb. 42: Grubenhütte 1 in Schnitt S11 – DOF 2. Blick von Osten.

benhütte betrug 3,3 m, die Breite 2 m. Am West- und Ostende befand sich knapp außerhalb der Grubenhütte jeweils eine eher ovale Pfostengrube (SE 05 und 06)⁵², beide erreichten eine Tiefe von 0,25 m.

Die Grubenhütte war mit zumindest drei durchwegs stärker holzkohlehältigen dunklen Schichten verfüllt, von denen die jüngste und mittig gelegene grubenartige Verfüllung SE 07 – wie bereits erwähnt – reichlich Brandschutt und verziegelten Lehm enthielt. Abgesehen von einer größeren zerscherbten Partie einer Reibschüssel (Taf. 31, 8/1) aus der Verfüllschicht SE 08 liegt nur wenig und äußerst kleinteiliges Keramikfundmaterial aus der Grubenhütte vor; die Reibschüssel aus SE 08 deutet gemeinsam mit einem Topffragment aus SE 07 (Taf. 31, 7/1) auf eine Parallelisierung mit den Perioden 3 und 4.1 der Ausgrabung von 2003 hin. Überlagert wurde die Grubenhütte teilweise von drei länglichen, seichten, maximal 0,1 m tiefen Gräbchen (SE 02, 03 und 04) mit Breiten zwischen 0,25 und 0,37 m, die in Hangfallrichtung orientiert waren.

Grubenhütte 2

Rund 15 m hangaufwärts und etwas östlich von Schnitt S11 versetzt wurde Schnitt S10 angelegt. Auch hier fanden sich in einem oberflächlich sichtbaren, schwarzen Befund mehrere verziegelte Lehmbrocken, die Geoprospektion wies für diesen Bereich jedoch keine nennenswerten Anomalien auf, wie es bei Schnitt S11 der Fall war. Nach dem händischen Abtragen des Humus waren dann auch keinerlei Spuren von Verziegelungen mehr anzutreffen, stattdessen konnte ein weiterer vollständiger Grundriss einer Grubenhütte (SE 02) freigelegt werden, der hinsichtlich seiner Konstruktion deutliche Unterschiede zur Grubenhütte aus Schnitt S11 aufwies. Der

⁵² Pfostengrube SE 05: Größe 0,27 × 0,2 m, T 0,24 m; Pfostengrube SE 06: Größe 0,27 × 0,22 m, T 0,16 m.

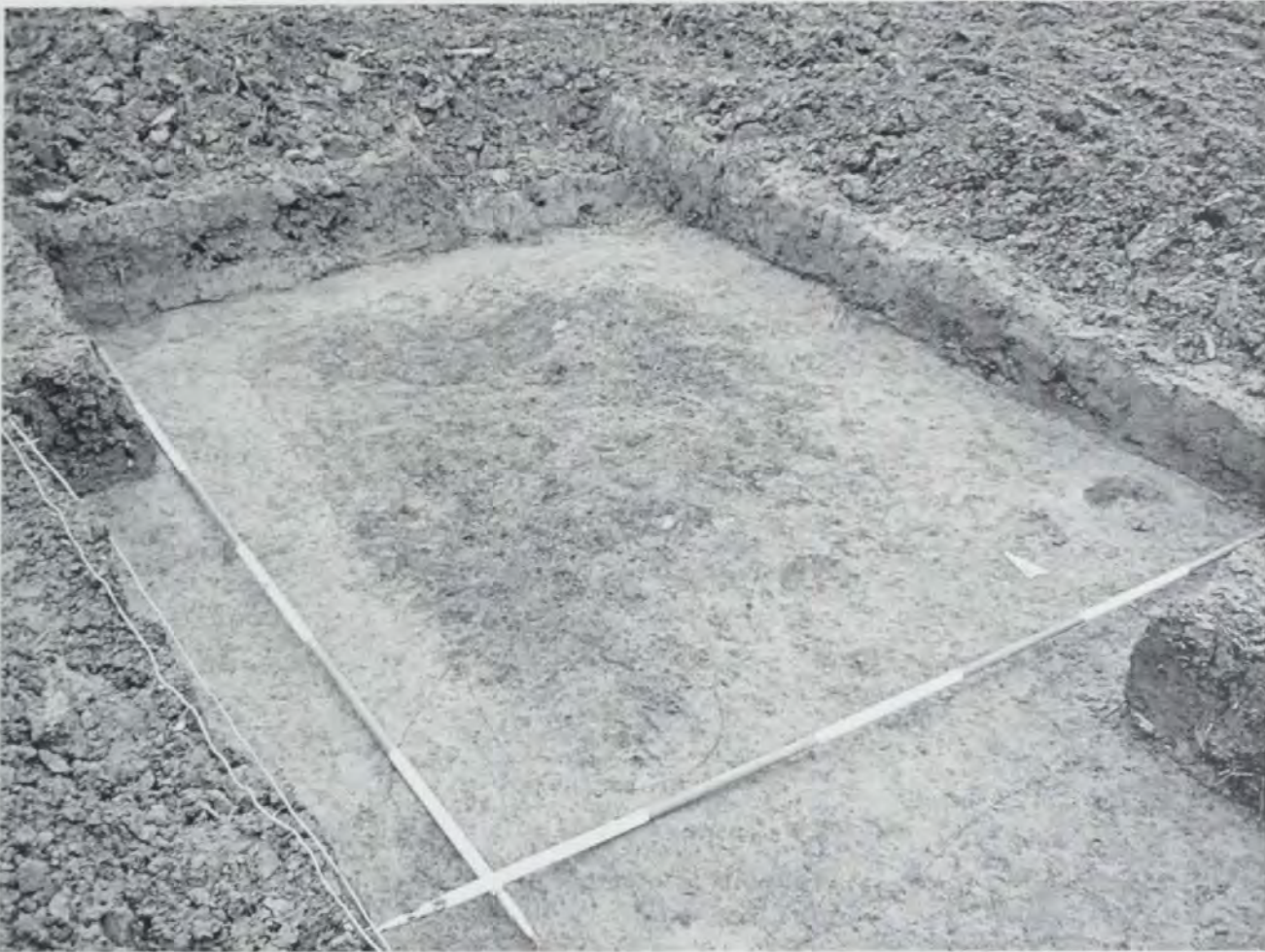


Abb. 43: Grubenhütte 2 in Schnitt S10 – DOF1. Blick von Süden.

in diesem Bereich etwas flachere Hang erlaubte eine Eintiefung des Gebäudes in Hangfallrichtung (Oberkante im Norden 302,82 m, im Süden 302,63 m). Trotz der rezenten landwirtschaftlichen Nutzung und damit verbundenen Störungen durch den Pflug war die Grubenhütte noch bis zu 0,4 m tief erhalten (Unterkante im Norden 302,6 m, in der Mitte 302,31 m und im Süden 302,41 m). Im Grundriss unterschied sich dieses Gebäude dahingehend von der Grubenhütte in Schnitt S11, dass von der 'zentralen' $3 \times 2,2$ m großen Grube nach Süden hin eine $0,9 \times 0,6$ m weite Mulde (Unterkante 302,35 m) vorragte (Abb. 43).

An den Breitseiten im Osten und Westen fanden sich jeweils drei Pfostengruben mit einem Durchmesser von 0,25–0,3 m (SE 14, 18, 15 im Westen⁵³; SE 09, 10, 11 im Osten⁵⁴), vor die südwestlichste Pfostengrube SE 15 war noch eine zusätzliche kleinere Pfostengrube SE 16 gesetzt⁵⁵. Die Abstände zwischen den vorderen und hinteren Pfostenpaaren divergierten doch augenfällig: Während die beiden nördlichen Pfosten einen Abstand von 2,2 m aufwiesen, erweiterte sich der Abstand bei den südlichen Eckpfosten auf 2,6 m, sodass sich insgesamt eine annähernd trapezförmige Pfostenstellung ergab. Zur Unterstützung bzw. Überbrückung wurde in der Mitte an der südlichen Schmalseite ein weiterer Pfosten (SE 04) eingezogen⁵⁶, an der Nordseite konnte kein entsprechendes Pendant festgestellt werden, doch war der dafür relevante Bereich durch die jüngere Grube SE 12 tief greifend gestört⁵⁷. In der nach Süden vorragenden eingetieften Erweiterung wird man wohl einen Eingang bzw. Einstieg erblicken dürfen,

⁵³ Pfostengrube SE 14: Größe $0,14 \times 0,22$ m, T 0,22 m; Pfostengrube SE 18: Größe $0,17 \times 0,18$ m, T 0,23 m; Pfostengrube SE 15: Größe $0,24 \times 0,25$ m, T 0,26 m.

⁵⁴ Pfostengrube SE 09: Größe $0,26 \times 0,27$ m, T 0,19 m; Pfostengrube SE 10: Größe $0,25 \times 0,24$ m,

T 0,2 m; Pfostengrube SE 11: Größe $0,28 \times 0,28$ m, T 0,15 m.

⁵⁵ Pfostengrube SE 16: Größe $0,2 \times 0,18$ m, T 0,11 m.

⁵⁶ Pfostengrube SE 04: Größe $0,23 \times 0,2$ m, T 0,17 m.

⁵⁷ Grube SE 12: Größe $1,25 \times 1,1$ m, T 0,3 m.



Abb. 44: Grubenhütte 2 in Schnitt S10 – DOF 2. Blick von Norden.

zumal außerhalb des Gebäudes rund um diesen Bereich eine Konzentration an eingetretenen kleinstteiligen Funden dokumentiert werden konnte (SE 03) (Abb. 44).

Die Grubenhütte selbst war mit einer homogenen tiefschwarzen und stark mit Holzkohle durchsetzten, 0,4 m dicken Schicht (SE 02) verfüllt, die ansonst aber arm an Funden war und nur wenige Keramikfragmente enthielt. Hervorzuheben sind hierbei jedoch Bruchstücke eines Sigillata-Tellers Drag. 18/31 (Taf. 31, 2/2) und einer Dreifußschüssel 1/3 (Taf. 31, 2/1), die zumindest eine grobe Datierung in die Perioden 3–4 erlauben, sowie eine vollständig erhaltene Steinfeilspitze, die im Zusammenhang mit der kupferzeitlichen Besiedlung des Saazkogels zu sehen ist. Nach dem Ausnehmen der Verfüllschicht SE 02 konnte im Südteil der Grubenhütte eine in den Boden eingetiefte weitere Grube festgestellt werden (SE 17), die mit auffallend hellgelbem Lehm verfüllt war, aber keinerlei sonstigen Funde enthielt⁵⁸.

Zwei weitere, in ihrer Ausrichtung geringfügig versetzte Pfostengruben (SE 07–08) befanden sich knapp 1,5 m südlich der Grubenhütte⁵⁹, einzelne seichte und fast vollkommen fundleere Gruben (SE 05, 06 und 13) lagen ebenfalls südlich und westlich davon⁶⁰.

Das spärliche Fundmaterial aus beiden Grubenhütten und den diese umgebenden Gruben lässt keine genaue Einordnung in eine der anhand der Ausgrabung 2003 entworfenen Bauperioden zu, eine grobe Datierung in das mittlere bis späte 2. Jahrhundert n. Chr. wird durch die wenigen chronologisch besser fixierbaren Funde jedoch gerechtfertigt, was wiederum zumindest eine Parallelisierung mit den Perioden 3 und/oder 4.1 ermöglicht. Augenfällig ist das Fehlen

⁵⁸ Grube SE 17: Größe 0,35 × 0,38 m, T 0,4 m.

⁵⁹ Pfostengrube SE 07: Größe 0,29 × 0,15 m, T 0,45 m; Pfostengrube SE 08: Größe 0,28 × 0,29 m, T 0,2 m.

⁶⁰ Grube SE 05: Größe 0,67 × 0,46 m, T 0,21 m; Grube SE 06: Größe 0,42 × 0,29 m, T 0,08 m; Grube SE 13: Größe 0,53 × 0,44 m, T 0,11 m.

der in weiten Bereichen der Siedlung für den Zeitabschnitt der Periode 4.1 festgestellten Planierschicht im Areal der beiden Grubenhütten (S10, S11), zumal nördlich dieser Strukturen, hangaufwärts, eine Planierung dieser Zeitstellung in S9 vorliegt.

1.2.5 Siedlungsbefunde der Periode 4.2 (200–230 n. Chr.)

In S9 konnte über der Planierung und der Schotterung (SE 04b, SE 04a) eine Befundabfolge mit den Subphasen 4.1 und 4.2 (Periode 4.2.1–2) festgestellt werden: Phase 4.1 (Periode 4.2.1) wird durch die im Ostteil des Schnitts erfasste Grube SE 05 definiert⁶¹, welche die Schotterstrategie SE 04a durchstößt und ihrerseits von der jüngeren Pfostengrube SE 07 gestört wird.

Phase 4.2 (Periode 4.2.2) wird schließlich durch fünf Pfostengruben repräsentiert, die wohl zu einem Pfostenbau gehörten, von dem die Pfostenstellung der Südwestecke angeschnitten wurde. Drei Pfostengruben (SE 07, 08 und 09) verliefen im Nordteil von S9 parallel zur Schnittkante und verfügten über Pfostenabstände von 0,6 m⁶². Im rechten Winkel zur südlichsten Pfostengrube SE 09 und ebenfalls 0,6 m entfernt befand sich östlich davon die Pfostengrube SE 11⁶³. Offen muss bleiben, ob die knapp 1,3 m südlich gelegene Pfostengrube SE 10, die auch einen etwas geringeren Durchmesser aufweist, ebenfalls zu diesem Gebäude zu rechnen oder unabhängig davon zu sehen ist⁶⁴. Bemerkenswert ist die Beobachtung, dass die Pfostengrube SE 08 mit mehreren Bruchsteinen, die wohl als Verkeilsteine für den Pfosten anzusprechen sind, ausgekleidet war. Ob auch die in der Nordostecke angeschnittene Grube SE 16 in die Periode 4 zu stellen ist, kann nicht entschieden werden⁶⁵.

Der jüngsten in S9 greifbaren Phase 4.3 (Periode 4.2.3) gehören die an der Nordkante des Schnitts gelegene, mit Bruchsteinen durchsetzte Grube SE 03⁶⁶ und die unregelmäßig geformte Grube SE 06 an⁶⁷, die wiederum mit mehreren klar differenzierbaren Schichten verfüllt war (SE 06, 06a und 06b). Da die Grube SE 06 die Pfostengrube SE 07 durchschneidet, kann davon ausgegangen werden, dass das Gebäude in Pfostenbauweise zu diesem Zeitpunkt bereits abgetragen war. Die jüngste antike Maßnahme ist in S9 aufgrund des Fundmaterials (Taf. 31, 6b/1) aus der Grube SE 06 mit der Periode 4 zu parallelisieren.

2. GRÄBERFELD WEST – AUSGRABUNGEN 2004 AUF PARZ. 74/10 (S6)

Im Jahr 2004 war es im Zuge einer Lehrgrabung des Instituts für Ur- und Frühgeschichte der Universität Wien möglich, einen größeren Bereich am Westrand des römischen Vicus am Südhang des Saazkogels zu untersuchen. Entsprechend der Ergebnisse der in diesem Areal mehrfach durchgeführten Geoprospektion (Magnetik und Georadar) war mit einem ausgedehnten Steinbau zu rechnen, der über einen zentralen Einbau sowie an allen vier Seiten quadratisch umlaufende Umfassungsmauern mit Seitenlängen von beinahe 30 m verfügte. Größere Störungen an der Bausubstanz zeichneten sich – eigentlich erwartungsgemäß – an den leicht hangabwärts gelegenen Südmauern ab, eine Reihe weiterer geophysikalisch erfasster Objekte war vorerst nicht interpretierbar.

Im Rahmen der Grabung 2004 wurden auch zum ersten Mal am Südhang des Saazkogels intakte prähistorische Befundobjekte angetroffen, wobei es sich um zwei Gruben handelte, die sehr wenig und auch kaum näher klassifizierbares prähistorisches Keramikfundmaterial enthielten. Die Funktion der im Vergleich mit den übrigen Gruben anderer Zeitstellung ausgespro-

⁶¹ Grube SE 05: Größe 1,1 × 1,0 m.

⁶² Pfostengrube SE 07: Größe 0,25 × 0,25 m; Pfostengrube SE 08: Größe 0,22 × 0,23 m; Pfostengrube SE 09: Größe 0,26 × 0,25 m.

⁶³ Pfostengrube SE 11: Größe 0,39 × 0,36 m.

⁶⁴ Pfostengrube SE 10: Größe 0,23 × 0,22 m.

⁶⁵ Grube SE 16: Größe 0,28 × 0,2 m.

⁶⁶ Grube SE 03: Größe 0,45 × 0,7 m.

⁶⁷ Grube SE 06: Größe 0,65 × 0,45 m.

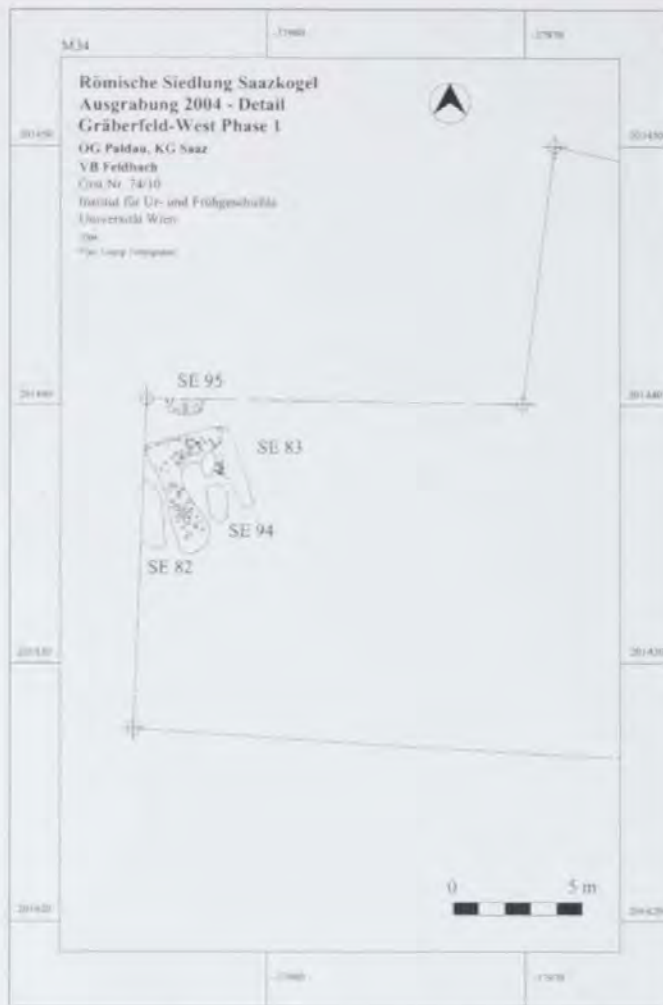


Abb. 45: Gräberfeld West, Gräberfeldphase I (Perioden 3–4), Parz. 74/10 (S6).

Gräbern und Grabbauten vorliegt, lassen sich dennoch die beiden Nutzungsphasen weitestgehend mit Bauperioden der Siedlung in Einklang bringen.

2.1 Gräberfeldphase I (Perioden 3–4)

Im Westteil von Schnitt S6 konnten bei der Ausgrabung 2004 drei Objekte ergraben bzw. angeschnitten werden, die als einfache steinerne Grabbauten anzusprechen sind (Abb. 45). Einer dieser Grabbauten, SE 83, konnte vollständig untersucht werden, die beiden anderen Befunde, SE 82 und 95, erstreckten sich in das West- und Nordprofil des Grabungsschnitts und konnten aus Zeitgründen nicht vollständig freigelegt werden.

Der Erhaltungszustand der drei Objekte muss als ausgesprochen schlecht bezeichnet werden, da diese einerseits durch die Überschneidung mit der Westumfassungsmauer SE 81 (Fundamentunterkante 296,2 m) des jüngeren Grabbezirks gelitten hatten, andererseits bedeutete die Überbauung durch ein ausgedehntes neuzeitliches Gehöft, das auch auf der Josephinischen Karte von 1787 noch wiedergegeben ist, erhebliche Beeinträchtigungen. Die größten Eingriffe sind jedoch mit der Errichtung des Grabbezirks verbunden, im Zuge dessen die älteren Grabbauten offensichtlich weitestgehend abgetragen und aufgelassen wurden, die beiden Gruben SE 83a und 94 dürften zur Entnahme der Brandbestattungen selbst eingetieft worden sein. Dies wird besonders durch zerscherbte Gefäßreste (Taf. 30, 83a/1) und wenige Leichenbrandfragmente in Grube SE 83a evident, wo sogar ein Stück in den steinernen Fundamentrest SE 83 hineingegraben wurde, um die Bestattung möglichst vollständig zu bergen.

chen tiefen Gruben war nicht festzustellen. Bei der annähernd in der Mitte des Grabungsareals von 2004 gelegenen Grube SE 03 mit beinahe senkrechter, schachtartiger Wand könnte davon ausgegangen werden, dass es sich um eine Art Brunnen gehandelt hat, zumal sich der Schacht während der Grabung binnen kurzer Zeit mit Sickerwasser füllte. Grube SE 45, die nur angeschnitten werden konnte und sich in das Nordprofil von Schnitt S6 fortsetzte, erlaubt keine nähere Interpretation.

Im Folgenden sollen die teils aufwändigen römischen Gräber bzw. Grabbauten beschrieben werden. Durch die Überschneidung der westlichen Umfassungsmauer des monumentalen Grabbezirks mit den offensichtlich aufgelassenen älteren und deutlich kleineren Grabbauten war es möglich, zwei Nutzungsphasen in diesem Bestattungsareal herauszuarbeiten, das – um Verwechslungen mit dem auf dem Nordhang des Saazkogels gelegenen ausgedehnten Hügelgräberfeld zu vermeiden – als 'Gräberfeld West' bezeichnet werden soll. Obwohl nur spärliches feinchronologisch verwertbares Fundmaterial aus diesen

Grabbau SE 83

Von den drei Objekten im Westteil kann nur der Grabbau SE 83 besser beurteilt werden, die beiden anderen Objekte sind zu ausschnitthaft untersucht, um weitere Aussagen zu treffen.

Grabbau SE 83 wies in seinem Fundamentgrabengrundriss eine annähernd U-förmige Gestalt auf (Größe $4,5 \times 3,2$ m), wobei die Öffnung nach Südsüdwesten gerichtet war und somit von der klaren Nord-Süd-Ausrichtung des jüngeren Grabbezirks abwich. Die schütterten



Abb. 46: Grabbau (SE 83) mit Überschneidung durch Mauer (SE 81) im Ostbereich. Blick von Süden.

ungesetzten Steinfundamentreste ließen noch grob eine annähernd rechteckige Struktur des Grabbaus erkennen, mit schmaler Rückwand und zwei längeren Seitenwänden, von denen die östliche durch Überbauung weitestgehend zerstört war (Abb. 46). Die Seitenlängen von $3,9 \times 3$ m entsprachen 13×10 römischen Fuß, die Breite der seitlichen Fundamente betrug 0,8 m, das rückseitige Fundament war mit 1,1 m etwas breiter ausgelegt (Fundamentunterkante im Norden 296,5 m, im Süden 296,1 m).

Es ist auffallend, dass der Fundamentgraben besonders im Bereich der südlichen Seitenwandenden deutlich breiter ausgehoben war als der Graben der Rückwand, deren Fundamentsteine diesen gut ausfüllten. Als Baumaterial fanden im Fundament vorwiegend Basalt- und Basalttuffbruchsteine Verwendung, bemerkenswert waren vereinzelte größere Kalksteine, die möglicherweise auch vom Aufgehenden stammen könnten.

Im Inneren des Grabbaus bzw. in dem von den Mauern (oder auch nur einer Steinumstellung) eingefassten Bereich befanden sich die beiden Gruben SE 83a und 94, von denen zumindest SE 83a (bzw. eigentlich die durch diese Grube zerstörte ältere Grabgrube) die zum Grabbau gehörende Bestattung enthalten haben dürfte; SE 94 war bis auf kleinste unspezifische Keramikfragmente und etwas Holzkohle fundleer.

Die Aufgabe des Grabbaus ist zweifelsohne in Zusammenhang mit der Anlage des großen Grabbezirks zu sehen, wie die Überschneidung durch die Westumfassungsmauer klar belegt.

'Grabbauten' SE 95 und SE 82

Von dem nur teilweise ergrabenen, knapp 0,9 m nördlich gelegenen 'Grabbau' SE 95 wurde eine 1,4 m breite, schütterte einlagige Fundamentsteinlage bzw. Steinsetzung angeschnitten, die sich nach 0,6 m in das Nordprofil von Schnitt S6 fortsetzte (Oberkante 296,54 m). Zumeist handelte es sich beim verwendeten Steinmaterial um kleinere Basaltbruchsteine, vereinzelt fanden sich auch Rollsteine. Wenige Basalt- und Rollsteine lagen auch in dem ins westliche Grabungsprofil weiterlaufenden 'Grabbau' SE 82, der durch eine rezente Abfallgrube stark gestört war, sodass keine weiteren Angaben über die Konstruktion hierzu möglich sind. Die erhaltene Länge von 2,5 m lag deutlich unter den Seitenlängen der Fundamente von Grabbau SE 83, die Fundamentgrube von SE 82 war noch in einer Breite von 0,9 m festzustellen, bevor sie in das Profil reichte.

Ohne in den regellos verteilt wirkenden und nur ausschnitthaft angegrabenen Grabbauten eine größere Struktur feststellen zu können, ist die Konzentration der Grabbauten auf engem Raum bemerkenswert, zumal im gesamten östlich anschließenden ergrabenen Bereich keine weiteren zeitgleichen Grabbauten bzw. Gräber aufgedeckt werden konnten. Zweifelsohne kann dies nicht nur mit den Geländeadaptationen beim Bau des Grabbezirks erklärt werden, da diesen ansonst wohl auch die prähistorischen Objekte zum Opfer gefallen wären. Dieser Beobachtung ist auch die Tatsache zur Seite zu stellen, dass sich in den östlich anschließenden, archäologisch untersuchten 30 m keinerlei römische Siedlungsreste bzw. Baustrukturen fanden, sodass doch von einem gar nicht so geringem Abstand zwischen dem Siedlungsrand und dem Beginn des Gräberfelds ausgegangen werden muss.

Anzumerken bleibt noch, dass die Grabbauten der Gräberfeldphase 1 – soweit dies aufgrund der ergrabenen Befunde überhaupt zu beurteilen ist – nicht direkt an der südlich vorbeilaufenden Ausfallstraße lagen, sondern um mindestens 15 m hangaufwärts versetzt waren.

2.2 Gräberfeldphase 2 (Periode 4) – Grabbezirk mit Ädicula

Im Zuge der Auffassung und Abtragung der älteren Grabbauten aus der Gräberfeldphase 1 kam es zu umfangreichen Terrassierungsarbeiten im Bereich zwischen dem westlichen Siedlungsrand und dem Beginn des ursprünglichen Gräberfelds West (Abb. 47). Entsprechend der zunehmenden Hangneigung nach Norden hin, fielen die Einebnungen und Abtragungen an dieser Stelle deutlich stärker aus (Terrassenniveau im Norden 297,8 m, im Süden 295,5 m). Die durch diese Arbeiten neu angelegte Terrasse wurde im Norden von der noch fünf Steinlagen hoch erhaltenen Mauer SE 47 abgestützt bzw. begrenzt, wobei sich knapp nördlich dieser Mauer die nächste und bereits gut einen Dreiviertelmeter höher gelegene künstliche Terrasse anschloss (Terrassenniveau 298,6 m). Das gesamte Gelände wurde zwar vollständig eingeebnet, eine geringe Hangneigung wurde dennoch in Kauf genommen. So betrug der Höhenunterschied zwischen den Fundamenten der Nordmauer SE 47 und der südlichen Umfassungsmauer SE 35 rund 2 m. Wie bereits durch die Ergebnisse der Geoprospektion angedeutet, wurde auf der Terrasse ein Platz geschaffen, der von einer umlaufenden Mauer in Form eines Quadrats komplett eingeschlossen wurde. Insgesamt wurde somit ein Areal von 29 m Länge in Ost-West- und 27 m Breite in Nord-Süd-Richtung umfasst, was einer Fläche von beinahe 800 m² entspricht.

Der Erhaltungszustand der Umfassungsmauern nahm aufgrund der Beschädigungen durch die neuzeitliche Überbauung und den Pflug in diesem Bereich nach Süden hin stark ab, sodass gerade bei der nur mehr abschnittsweise vorhandenen Südmauer SE 35 lediglich die letzte schütterere Fundamentsteinlage (Fundamentunterkante 295,3 m) dokumentiert werden konnte (Abb. 48). Das gleiche Bild bot sich bei der im Südteil überhaupt komplett ausgerissenen Westmauer SE 81, die allerdings im ergrabenen Nordteil im Bereich des durchschnittenen älteren Grabbaus SE 83 noch in zwei – bereits angepflügten – Steinscharen erhalten war. Insbesondere die West- und Südmauern scheinen durch die neuzeitliche Überbauung stark beeinträchtigt worden zu sein, in einem deutlich besseren Erhaltungszustand präsentierte sich die nur mittels einer kleinen Sondage erfasste Ostmauer SE 88 (Abb. 49). Aus Zeitgründen konnte diese jedoch nicht mehr bis zur Fundamentunterkante ergraben werden, immerhin wurden noch drei Steinlagen der Mauer *in situ* angetroffen. Die am besten erhaltene Nordmauer SE 47 war – wie oben bereits erwähnt – noch in fünf, insgesamt 0,75 m hohen Lagen aus gut behauenen Basaltsteinen festzustellen. Allein davon waren drei gut geschichtete Steinlagen in einen nur unwesentlich breiteren Fundamentgraben gesetzt (Fundamentunterkante 297,1 m), die beiden darüber liegenden Steinscharen gehörten bereits zum aufgehenden Mauerwerk (Abb. 50). Der Fundamentgraben wurde nach Einbettung der Fundamentsteine mit einem sandig-grusigen Material verfüllt, das auch als 'Bindemittel' zwischen den einzelnen Basaltsteinen Verwendung fand.



Abb. 47: Gräberfeld West, Gräberfeldphase 2 (Periode 4). Parz. 74/10 (S6).

Ähnlich wie bei den hangseitigen massiveren Nordmauern M1 (SE 62) und M10 (SE 81) der 2003 ergrabenen Gebäude 1 und 2 im Siedlungsareal bildeten auch bei den Umfassungsmauern gut behauene Basaltbruchsteine eine Art Außenschale mit Ansichtsseite, die in ihrem Inneren kleinere Bruchsteine und Füllmaterial enthielt. Es liegen keine Hinweise darauf vor, dass die Umfassungsmauern mit einem Verputz überzogen oder auf eine andere Art verkleidet gewesen wären.

Die Breiten aller vier Umfassungsmauern lagen gering über 0,8 m, lediglich die Westmauer SE 81 ist in einem kurzen Abschnitt über 0,9 m breit. Über die ursprüngliche Höhe der Umfassungsmauern können keine Angaben gemacht werden, die nicht geringe Mauerbreite erlaubte zweifelsohne auch eine höhere Konstruktion. Offen bleiben muss auch die Frage nach dem Eingang in den Grabbezirk: Ein von der knapp südlich vorbeilaufenden Straße herführender Zugang bzw. eine Unterbrechung in der hier ohnehin stark gestörten Mauer konnte jedenfalls nicht (mehr [?]) festgestellt werden. Da jedoch gerade im Südteil – analog zur Nordmauer – ebenfalls mit einer mehrscharigen tieferen Fundamentierung zu rechnen ist, erübrigen sich



Abb. 48: Südmauer (SE 35) des Grabbezirks. Blick von Norden.



Abb. 49: Ostmauer (SE 88) des Grabbezirks. Blick von Westen.



Abb. 50: Nordmauer (SE 47) des Grabbezirks mit davor liegenden neuzeitlichen Objekten. Blick von Süden.

bei der schlechten Erhaltung der Mauerfundamente derartige Überlegungen, war doch in diesem Bereich kein antikes Gelniveau mehr vorhanden.

Im Inneren der ummauerten Fläche lagen vier Objekte, die in funktionellem Zusammenhang mit der Umfriedung selbst standen: Den Kern stellte ein massives rechteckiges Fundament (Fundament 1 – SE 26) dar, das axialsymmetrisch im Zentrum des Bezirks lag (Abb. 51). Die Seitenlänge in Ost-West-Richtung betrug 5 m, in Nord-Süd-Richtung 4,5 m. Das Fundament war in einer Mächtigkeit von 1,9 m erhalten (Oberkante im Norden 297,3 m, im Süden 296,8 m; Fundamentunterkante im Norden 295,4 m), wobei sich nur geringe Reste einer Fundamentgrube ausmachen ließen, die äußeren Fundamentsteine waren zumeist sorgfältig an die Grubenwand herangeschlichtet worden. Die Räume zwischen den einzelnen Steinen und auch den einzelnen Steinlagen waren mit stark sandhaltigem, grusigem Lehm aufgefüllt, vereinzelt fand sich auch eine reine Bindung durch fetten Lehm (SE 26c). Die insgesamt sieben Steinlagen wurden in vier Arbeitsschritten eingebracht (Abb. 52), wobei nach den untersten beiden Lagen eine Ausgleichsschicht aus sandigem Lehm aufgetragen wurde (SE 26d), auf welche die mit



Abb. 51: Fundament 1 (SE 26) mit spätantikem Brunnenschacht in der Mitte. Blick von Westen.

kompaktem Lehm gebundene dritte Steinlage (SE 26c) gesetzt wurde. Die zwei darüber liegenden Steinlagen, bei denen zum Teil gut behauene Basaltquader Verwendung fanden, waren wiederum mit dem schon in SE 26d benutzten sandigen Lehm ausgefüllt (SE 26b). Die beiden obersten Steinlagen, die eine größere Anzahl von eher unregelmäßigen und kleinen Bruchsteinen aufwiesen, waren mit schottrig-lehmigem Material gebunden (SE 26a).

Für das Fundament wurden ausschließlich kompakte und harte Basaltsteine bzw. Basaltblöcke herangezogen, vereinzelte Kalksteinbruchstücke fanden sich nur auf der obersten erhaltenen Steinlage, die – wie vereinzelte Reste eines Kalkmörtels nahe legen – auch die ursprüngliche Fundamentoberkante darstellte. Dieser Mörtelverstrich scheint als Ausgleichsschicht für die daraufgesetzten aufgehenden Bauelemente des Grabmonuments aufgebracht worden zu sein. In der Nordostecke fand sich ein kleiner grautoniger Krug (Taf. 30, 26/1), der in die oberste Steinlage des Fundaments mit eingesetzt bzw. 'eingebaut' war und eventuell als Rest eines – wie auch immer gearteten – 'Bauopfers' zu betrachten ist.

Vom Aufgehenden waren erwartungsgemäß keinerlei Reste mehr *in situ* anzutreffen, eine Reihe von Bauteilen des Grabmonuments fanden sich jedoch in der Verfüllung des in der Spätantike angelegten Brunnen- oder Beraubungsschachts SE 27. Neben zahlreichen größeren Basaltblöcken, die zumeist – so es sich nicht um Teile des Kerns des Grabbaus handelte – von den beiden untersten Steinlagen des Fundaments herrühren dürften, fanden sich zahlreiche kleinere, unförmige Kalksteinbruchstücke, die allesamt jedoch durch die Lagerung im Boden schon stark aufgeweicht waren. Besser erhalten blieben zwei größere Marmorbauteile mit Bearbeitungs-

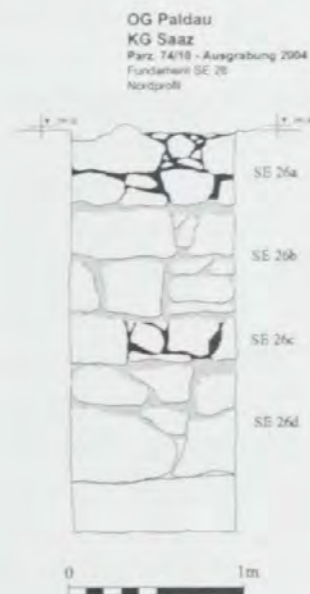


Abb. 52: Fundament 1 (SE 26) – Außensicht von Norden (Sonde 4). M. 1:50.



Abb. 53: Brunnenschacht (SE 27) im Fundament 1 (SE 26) mit Marmorspolien.

einer Marmorsäule klassifiziert werden. Weitere, zumeist kleinteilige Marmorbruchstücke bzw. -splitter sind nicht näher differenzierbar. Der an den Rändern leicht durchscheinende Marmor selbst ist als kompakt fein- bis mittelkörnig zu bezeichnen und lässt kaum Einschlüsse in der reinweißen Kristallstruktur erkennen, ist also als qualitativ hochstehend einzustufen. Nur wenige, ebenfalls reinweiße Marmorfragmente sind daneben von etwas abweichender grobkörniger und deutlich fragilerer Konsistenz.

Eine Kombination von Marmorsäulen und abgeschrägten Blöcken, die wohl zur Giebelkonstruktion gehören, begegnet im Repertoire römischer Grabmonumente im Bereich der Provinz Noricum ausschließlich bei Aediculagrabbauten, die auch einen der größten, mit Sicherheit aber kostspieligsten Funeralbautyp der Kaiserzeit darstellten. Eine Ansprache des zentralen Grabmonuments im Grabbezirk des Gräberfelds West am Südhang des Saazkogels als Aediculagrab dürfte somit gut belegbar sein. Auch die Dimensionen und Mächtigkeit des Fundaments sprechen für einen besonders großen Grabbau, der einer solchen Substruktion bedurfte. Würde man die Ausmaße des Fundaments auf die untersten Sockelmaße des Aufgehenden übertragen, so liegt die Grabaedicula von Saaz deutlich über den Basismaßen der wieder errichteten Priscianus- und Enniergrabbauten in Šempeter bei Celje, die nur knapp mehr als die Hälfte des Fundaments von Saaz betragen⁶⁸. Für das größere, im Grundriss rechteckige Fundament des Spectatiergrabbaus (Tab. 2)⁶⁹ wird eine Fundamenttiefe von 1,1 m und eine Größe von 4,4 × 3,75 m angegeben⁷⁰, das ins Halbrund tendierende Fundament des Enniermonuments⁷¹ liegt mit einer Größe von 2,9 × 2,5 m und einer Tiefe von 1,12 m weit unter den Maßen des Fundaments von Saaz⁷². Ein bei Ausgrabungen 1994 und 1995 am Nordostrand von Virunum angeschnittener, in seiner Grundform annähernd trapezförmiger Grabbezirk barg Reste von drei rechteckigen Fundamenten, die ebenfalls deutlich geringere Seitenlängen aufwiesen als das Fundament von Saaz⁷³. In der Gräberstraße des dem Vicus am Saazkogel im Osten 'benachbarten' Vicus in St. Martin an der Raab konnte das Fundament eines mehrgeschossigen Aediculagrabs freigelegt werden⁷⁴; dieses war zwar wesentlich kleiner als das Saazer

ren (Abb. 53). Zum einen handelte es sich um einen Marmorblock, der an einer Seite bestoßen war, auf den anderen Seiten wies er gut sichtbare, mit unterschiedlichen Werkzeugen ausgeführte Schrämmspuren auf. Der Marmorblock war nicht vollständig quaderförmig zugerichtet, sondern verfügte über eine leichte Neigung (17°) einer Langseite. Die zweite Marmorspolie war zwar schlechter erhalten, dennoch ist eine eindeutige Ansprache möglich: Das halbrunde, an seiner Rückseite gebrochene Marmorwerkstück kann einwandfrei als Teil

⁶⁸ Vgl. Klemenc – Kolšek – Petru 1972, Beil. 1.

⁶⁹ Zur Zuweisung der Fundamente zu den Grabmonumenten s. Kolšek 1997, 137 Abb. 4.

⁷⁰ Klemenc – Kolšek – Petru 1972, 26 Beil. 1 (Objekt Nr. 14).

⁷¹ Kolšek 1997, 137 Abb. 4.

⁷² Klemenc – Kolšek – Petru 1972, 26 Beil. 1 (Objekt Nr. 32).

⁷³ Vgl. Kremer 2001, 283 Abb. 141.

⁷⁴ Artner 1997, 2 ff.

Fundament, ließ jedoch dasselbe Proportionsschema erkennen, bei dem die Seitenlängen um jeweils zwei Fuß differieren.

In seinen Dimensionen deutlich übertroffen wird das Fundament des Grabmonuments von Saaz jedoch von zwei allerdings gemörtelten Fundamenten im Grabbezirk von Faschendorf nahe Teurnia (Tab. 2), von denen das in einem 29×25 m großen Grabbezirk gelegene Grabmonument I Seitenlängen von $6 \times 6,6$ m aufweist⁷⁵. Das nördlich gelegene Fundament des Grabmonuments II verfügte über ähnlich große Seitenlängen, der dazugehörige Grabbezirk wurde hier jedoch nur ausschnitthaft erfasst⁷⁶.

	Länge	Breite	Fundamentstärke
Saazkogel (Grabung 2004)	5 m (ca. 17 Fuß)	4,5 m (15 Fuß)	1,9 m
Šempeter (Spectatiermonument)	4,4 m (ca. 15 Fuß)	3,75 m (ca. 13 Fuß)	1,1 m
Faschendorf (Grabmonument I)	6,6 m (22 Fuß)	6 m (20 Fuß)	0,7 m
Faschendorf (Grabmonument II)	7,1 m (ca. 24 Fuß)	5,95 m (20 Fuß)	?
Virunum I (Grabung 1994/95)	4,6 m (ca. 15 Fuß)	3,85 m (ca. 13 Fuß)	1,6 m
Virunum II (Grabung 1994/95)	2,75 m (9,2 Fuß)	2,4 m (8 Fuß)	?
St. Martin an der Raab (Grabung 1997)	3,6 m (12 Fuß)	3 m (10 Fuß)	0,35–0,5 m

Tabelle 2: Vergleich der Fundamentgrößen von Grabmonumenten in Noricum⁷⁷

Ein Vergleich von Grabmonumentfundamenten mit Seitenlängen von über 4 m lässt eine einheitliche Proportion der Maße zwischen den Längs- und Breitseiten erkennen, wobei die Breitseiten jeweils zwei Fuß schmaler angelegt waren als die Längsseiten. Das Verhältnis der Seiten zueinander liegt bei $1:0,86-0,9$. Die Unterschiede in der Fundamenttiefe dürften in erster Linie auf die verwendeten Baumaterialien und -techniken zurückzuführen sein (trocken gemauertes Bruchsteinfundament, Gussmauerwerk oder gemörteltes Fundament) und nicht auf metrische Vorgaben.

Nach anderen als von Proportionen beeinflussten Überlegungen scheinen auch die Grabbezirke selbst konzipiert worden zu sein, wobei sich bei freistehenden Bezirken doch die Tendenz zur quadratischen bzw. quadratisch-rechteckigen Grundrisslösung abzeichnet. Von dieser Grundform dürften in erster Linie die Grabbezirke abweichen, die auf bereits bestehende Bezirke Rücksicht zu nehmen hatten oder überhaupt an diese angebaut wurden, wie dies auch bei dem monumental Grabbezirk in Virunum der Fall gewesen sein dürfte (Tab. 2)⁷⁸.

Es ist auf jeden Fall bemerkenswert, dass Grabbezirke von eher rechteckiger Grundform ihre längeren Seiten als 'Schauseiten' benützten, die offensichtlich auf vorbeiführende Straßen oder Wege hin ausgerichtet waren, wie es Beispiele aus Faschendorf, Colatio-Stari trg und auch vom Saazkogel gut zu belegen vermögen. Das Verhältnis von Längs- zu Breitseiten liegt bei den rechteckigen Grabbezirken bei $1:0,85-0,93$.

	Länge	Breite	Fläche
Saazkogel	29 m	27 m	783 m ²
Faschendorf	29 m	25 m	725 m ²
Virunum	21,5 m	13,5–16 m	ca. 320 m ²
St. Paul i. Lavanttal (Grabung 1909–11)	10,5 m	10 m	105 m ²
Colatio-Stari trg I	17 m	14,5 m	246 m ²
Colatio-Stari trg II	18 m	18 m	324 m ²

Tabelle 3: Vergleich der Größen von Grabbezirken in Noricum⁷⁹

⁷⁵ Polleres 2003, 161 Taf. 52 mit Abb. 183.

⁷⁶ Polleres 2003, 162.

⁷⁷ Die Maße wurden übernommen von Kremer 2001, 283 ff.; Artner 1997, 2 f.; J. Polleres, Der römische Grabbezirk von Faschendorf, PAR 50/3–4, 2000, 15 ff.

Polleres 2003, 161 f.

⁷⁸ Vgl. Kremer 2001, 285 Abb. 141.

⁷⁹ Die Maße wurden übernommen von Kremer 2001, 283 ff. und Polleres 2003, 161 f.

Von den bislang in Noricum bekannten und auch in ihrer Gesamtgröße abschätzbaren Grabbezirken (Tab. 3) stellt der Bezirk vom Saazkogel den bis *dato* größten Vertreter dar, wobei die Längsseiten mit jeweils 29 m auffallend mit den Längsmaßen des Faschendorfer Grabbezirks übereinstimmen, während letzterer um 2 m schmälere Breitseiten besitzt. Sämtliche anderen Grabbezirke, die in Noricum untersucht werden konnten, liegen in ihren Ausmaßen deutlich unter diesen beiden Bezirken, die auf jeder Seite um mehr als ein Drittel größer angelegt waren. Besonders markant zeigt sich der Größenunterschied im Vergleich der umfriedeten Flächen, wobei die Grabbezirke vom Saazkogel und in Faschendorf weit über 700 m² groß sind, während Grabbezirk II in Colatio-Stari trg mit ca. 320 m² und Bezirk I mit rund 250 m² weit darunter liegen. Der annähernd quadratische Grabbezirk in St. Paul schließt überhaupt nur eine Fläche von knapp über 100 m² ein.

Zur Rekonstruktion des einstigen Grabmonuments von Saaz kann – abgesehen vom Fundament – in erster Linie auf zwei aus dem jüngeren spätantiken Brunnenschacht geborgene Bauelemente zurückgegriffen werden. Obwohl beide Marmorbauteile nur fragmentiert erhalten sind, erlauben sie aufgrund ihrer Dimensionen dennoch einige Rückschlüsse auf den einstigen Grabbau.

Der unverzierte Marmorblock mit schräger Oberseite ist auf einer Länge von 0,33 und einer Breite von 0,3 m (bzw. 1 römischen Fuß) erhalten, die Höhe beträgt an der unbeschädigten, auf Anschluss gearbeiteten Seite 0,36 m, an der weggebrochenen Seite ist der Block noch 0,26 m hoch, wodurch sich für die schräge Oberseite ein auffallend flacher Neigungswinkel von ca. 17° ergibt (Abb. 54). Abgesehen von der Oberseite und dem Bruch an der Längsseite weisen sämtliche Seiten des Marmorblocks deutlich sichtbare Bearbeitungsspuren durch unterschiedliche Meißeltypen auf. Die erhaltene Breitseite sowie eine der beiden Längsseiten verfügen über eher seichte Bearbeitungsspuren mit einem Spitzmeißel, die sich auch auf der Unterseite in breiterer und tieferer Ausführung beobachten lassen. Die zweite Längsseite ist gut erkennbar mit einem Flachmeißel geglättet, der seichte längliche Schrämmspuren zurückließ. Unter Beibehaltung der Oberseitenneigung und unter der Annahme der Funktion als Giebelteil (der Aedicularrückwand) würde sich eine rekonstruierte Länge von 1,3 m für den gesamten Bauteil ergeben, wobei die Höhe mit 0,36 m deutlich unter der Giebelhöhe der bekannten, zumeist üppig dekorierten Giebelteile liegt, die 0,5 m Höhe nicht unterschreiten. Eine Länge von 1,3 m liegt hingegen durchaus im Kanon der überlieferten Tympanonteile, wobei sich besonders die zweiteiligen Tympana in diesem Bereich bewegen. Eine somit rekonstruierte Giebellänge von 2,6 m birgt jedoch erhebliche Probleme bei der Umlegung der Fundamentmaße auf das Aufgehende, zumal das Fundament dann beinahe doppelt so breit angelegt wäre wie der Giebel selbst. Überträgt man die Länge des Fundaments (5 m) auf die Giebelbreite, so würde sich ein Differenzbetrag von zumindest 2,4 m ergeben. Hier drängt sich der Verdacht auf, dass mit einem (vermutlich aber sogar zwei) weiteren Bauteilen in der Giebelmitte zu rechnen sein dürfte, die dann auch die geläufige Giebelhöhe von rund 0,6 m erreichen würden. Bei konstanter Giebelneigung von 17° wäre ein zusätzlicher Giebelteil von annähernd 1,3 m Länge nötig, um auf eine Höhe von 0,7 m zu kommen⁸⁰. Ergänzt man ein zugehöriges symmetrisches Pendant dieses Teils und addiert die Längen der rechnerisch rekonstruierten 'äußeren' Giebelblöcke, so würde die gesamte Giebellänge bei 5,2 m liegen, womit die Länge des Fundaments erreicht wäre. Ein derart groß dimensionierter Giebel ist bislang im überlieferten Architekturteilbestand in Noricum allerdings nicht bekannt, doch scheint eine Giebellösung in diesem Ausmaß für die aus mehreren Bauteilen rekonstruierbare Aedicula mit mehreren Intercolumnien in Šempeter durchaus denkbar.

⁸⁰ Der Neigungswinkel der erhaltenen Tympanonteile bewegt sich für gewöhnlich zwischen 19° und 22°, er kann jedoch bis zu 26° erreichen. Für eine Giebelschräge

unter 19° sind dem Verf. bislang keine Vergleiche bekannt. Zu den Tympana und deren Neigung vgl. Kremer 2001, 181 ff.

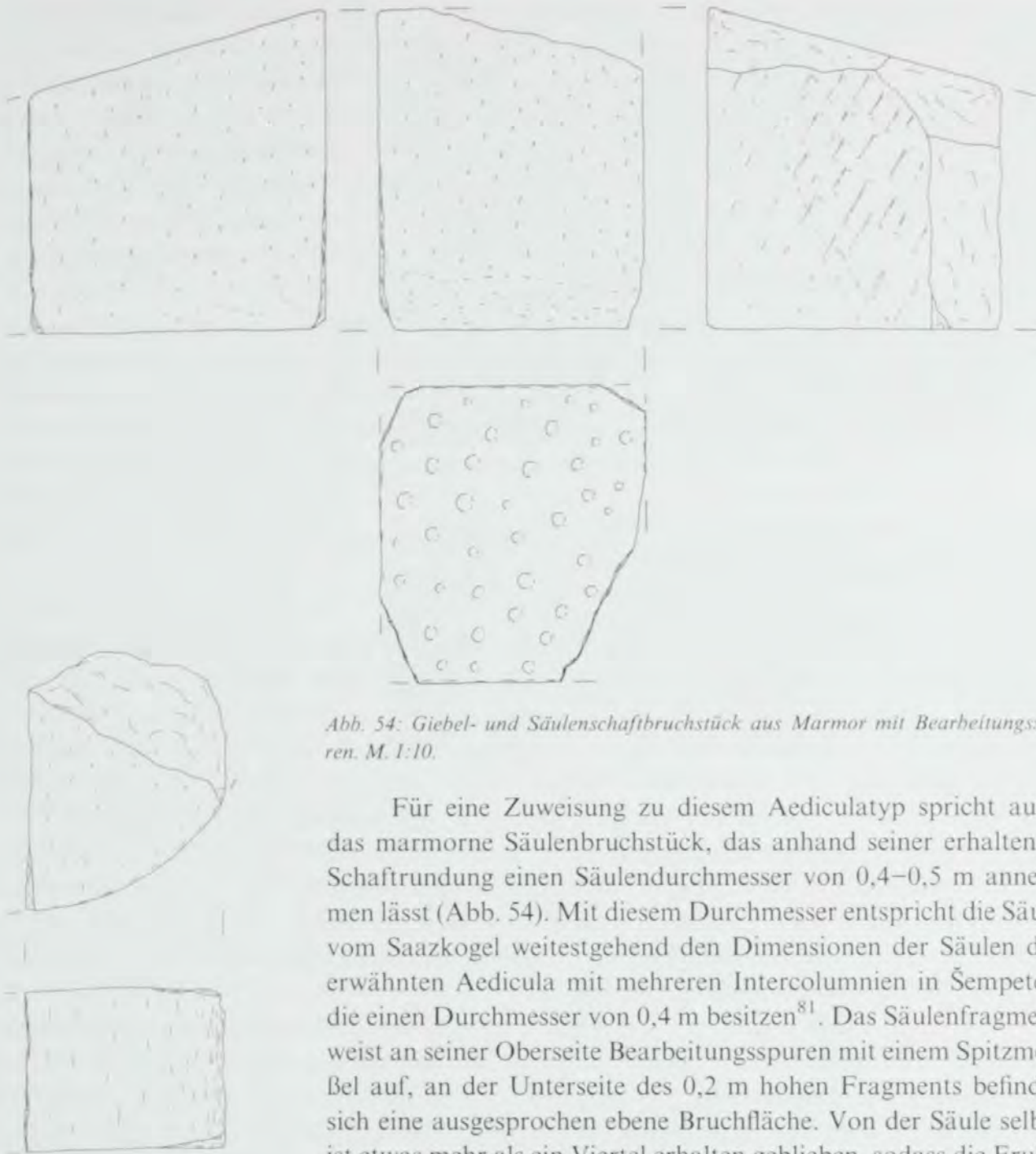


Abb. 54: Giebel- und Säulenschaftbruchstück aus Marmor mit Bearbeitungsspuren. M. 1:10.

Für eine Zuweisung zu diesem Aediculotyp spricht auch das marmorne Säulenbruchstück, das anhand seiner erhaltenen Schafrundung einen Säulendurchmesser von 0,4–0,5 m annehmen lässt (Abb. 54). Mit diesem Durchmesser entspricht die Säule vom Saazkogel weitestgehend den Dimensionen der Säulen der erwähnten Aedicula mit mehreren Intercolumnien in Šempeter, die einen Durchmesser von 0,4 m besitzen⁸¹. Das Säulenfragment weist an seiner Oberseite Bearbeitungsspuren mit einem Spitzmeißel auf, an der Unterseite des 0,2 m hohen Fragments befindet sich eine ausgesprochen ebene Bruchfläche. Von der Säule selbst ist etwas mehr als ein Viertel erhalten geblieben, sodass die Ermittlung des ursprünglichen Säulendurchmessers möglich war. Der

Schaft der Säule lässt keinerlei Reste von Kanneluren erkennen, vielmehr ist er gut geglättet und undekoriert ausgeführt.

Obwohl nur noch wenige aussagekräftige Bruchstücke des ursprünglichen Grabbaus vorhanden sind, erlauben diese dennoch unter Berücksichtigung der Fundamentgröße eine Zuordnung zu einem bislang in der Provinz Noricum nur selten und überwiegend nur durch einzelne Bauteile belegten Grabmonumenttyp, der gleichzeitig auch die größte Variante der steinernen Grabbauten darstellt. Die wesentlich größeren (rekonstruierten) Dimensionen der einzelnen Bauelemente ermöglichen eine Differenzierung von den geläufigeren einfachen bzw. pro- und distylen Grabaediculen, die in ihrer Größe doch deutlich zurückstehen. Aediculen mit mehreren Intercolumnien oder Bauteile davon begegnen G. Kremer zufolge – abgesehen von der mehr-

⁸¹ A. Maver, The Arcade Tomb in Šempeter, Slovenia – an Attempt at a Reconstruction, *AVes* 55, 2004, 373 f. 375 Abb. 33.

fach erwähnten und nicht vollständig erhaltenen Aedicula aus Šempeter – noch mehrmals in Kärnten, wie beispielsweise in Faschendorf und St. Donat, vermutlich auch in zwei 'überbreiten' Giebelplatten in Klagenfurt und Villach⁸². Die Konzentration dieses aufwändigen Aediculatyps in Kärnten ist jedenfalls bemerkenswert, umso mehr überrascht dann auch die Existenz eines derartigen Monuments im Bereich eines Vicus im Osten Noricums. Analog zu einer Inschrift aus Rosenheim bei Baldramsdorf, die vermutlich für die Faschendorfer Aedicula einen *duumvir* und *praefectus iure dicundo* (von Teurnia [?]) als Besitzer nennt⁸³, kommt wohl am ehesten ein nicht weiter klassifizierbarer Magistrat (oder Militär [?]) als Erbauer des Grabmonuments am Saazkogel infrage.

Von der zum Grabbau gehörenden Bestattung selbst haben sich nur geringe Reste erhalten, die sich sowohl verstreut zwischen den Steinen der obersten angerissenen Fundamentsteinlage fanden, als auch im spätantiken zentralen Schacht. In erster Linie handelte es sich um Glasgefäßfragmente, einige wenige Keramikbruchstücke sowie vereinzelte Leichenbrandstücke. Die Bestattung selbst dürfte im Grabbau deponiert gewesen sein, im Fundament fanden sich jedenfalls keine Hinweise auf eine Grabgrube oder -kammer.

Das spärliche Fundmaterial erlaubt grob eine Einordnung in die Perioden 3 bzw. 4, ohne dass dies jedoch weiter präzisiert werden könnte.

3,9 m östlich und knapp 0,5 m nach Norden zurückversetzt befand sich ein zweites Steinfundament (Fundament 2 – SE 30a) mit einer Größe von 1,3 × 1,6 m, das nur aus einer einzigen Steinlage (Oberkante 297,1 m) bestand (Abb. 55). Im Gegensatz zu dem massiven großen Fundament aus Basaltsteinen SE 26 bestand Fundament SE 30a sowohl aus Basalt- als auch aus Tuffbruchsteinen. Das Fundament war in eine Fundamentgrube (SE 30) gesetzt, die deutlich größer dimensioniert war als die Steinsetzung selbst (Fundamentunterkante 296,8 m). Im Westbereich wies die Fundamentgrube eine gröbere neuzeitliche Störung auf. Vom Aufgehenden sind keinerlei Reste mehr vorhanden, auch liegen keine Hinweise auf eine mit dem Fundament in Verbindung zu setzende Bestattung vor. Es kann aufgrund dessen nicht entschieden werden, ob das Fundament zu einem Grabbau, Altar, Titulus oder einem anderen, mit dem Funeralkult in Zusammenhang stehenden Bauwerk gehört.

Ein drittes Fundament (3) konnte in der Nordwestecke von Schnitt S7 angeschnitten werden (Abb. 56). Wegen der nur marginalen Erfassung sind jedoch keinerlei Angaben zur Größe möglich, es wurde lediglich auf einer Länge von 2,2 m die Südkante des Fundaments erfasst (Oberkante 297,6 m), der einige wenige verstürzte bzw. verschleppte Steine vorgelagert waren. Bei sämtlichen Steinen handelte es sich um eher kleinteilige Basaltbruchsteine, Tuff wurde nicht verwendet. Ob dieses Fundament ein- oder mehrlagig war, konnte nicht festgestellt werden, auch muss die Frage nach der Funktion unbeantwortet bleiben.

Ebenfalls in ihrer Funktion unklar bleibt die knapp 1,3 m nördlich von Fundament SE 30a gelegene kleine Grube SE 29, in der sich nur wenig Keramik fand, die aber dennoch eine chronologische Zuordnung in die Gräberfeldphase 2 erlaubt. Die Absenz von Leichenbrand schließt jedenfalls eine Ansprache als Grabgrube aus.

Erwähnenswert bleibt schließlich noch ein Befund, der in dem Sondageschnitt zur Erfassung der östlichen Umfassungsmauer des Grabbezirks zu Tage trat: Direkt westlich an die Ostmauer SE 88 schloss eine bis zu 0,6 m breite und 0,1 m hohe Verstürzschicht aus zumeist stark abgerollten und aufgeweichten faustgroßen Kalksteinbrocken an (SE 89), die sich über die ganze Breite des Schnitts (1,1 m) hinzog (Niveau 297,1 m). Es kann m. E. dabei nicht mit

⁸² Kremer 2001, 327 ff.

⁸³ Vgl. F. Glaser, Teurnia. Römerstadt und Bischofs-sitz (1992) 181.

Sicherheit entschieden werden, ob es sich bei den Kalksteinbruchstücken um Reste eines auf der Umfassungsmauer aufgestellten und herabgestürzten Architekturteils o. Ä. gehandelt hat, oder ob die verstürzten Reste in Zusammenhang mit einem schon bei der Geoprospektion festgestellten, knapp östlich gelegenen Objekt gesehen werden müssen, in dem vermutlich ebenfalls der Rest eines Grabmonuments (oder Tumulus [?]) vermutet werden darf.



Abb. 55: Fundament 2 (SE 30a), Blick von Norden.



Abb. 56: Reste des Fundaments 3 (SE 19) im Südprofil von Schnitt S7.

Fasst man die Ergebnisse der Ausgrabungen 2004 im Gräberfeld West der Siedlung am Südhang des Saazkogels zusammen, so ergibt sich folgendes Bild: In der ersten Belegungsphase des von der Siedlung ab-

gesetzten Gräberfelds kommt es zur Anlage von kleineren Grabbauten, von denen ein annähernd rechteckiger, nach Südsüdwesten hin offener Grabbau komplett erfasst werden konnte, zwei weitere Objekte wurden angeschnitten. Der Grabbau wurde schließlich fast vollständig abgetragen, die Bestattung scheint gezielt geborgen worden zu sein. In einer zweiten Phase kam es zur großflächigen Umgestaltung und zur Anlage eines ummauerten großen Grabbezirks, was mit umfangreichen Terrassierungsmaßnahmen verbunden gewesen sein dürften. Der Grabbezirk enthielt in seinem Zentrum einen massiv fundamentierten monumentalen Grabbau, bei dem es sich nach Ausweis der wenigen erhaltenen Marmorspolien um einen aufwändigen Aediculagrabbau mit mehreren Intercolumnnien gehandelt hat. Knapp östlich des Grabmonuments befand sich ein zweites, jedoch deutlich kleineres und nur einlagiges Steinfundament, ein weiteres konnte im Nordbereich des Grabbezirks am Rande angeschnitten werden.

Der Grabbezirk am Saazkogel stellt einen der größten bislang in ganz Noricum bekannten dar, dasselbe kann für das zentrale Aediculagrab festgehalten werden.

Über den Zeitpunkt der Aufgabe des Grabbezirks kann nur gemutmaßt werden, doch liegen eindeutige Hinweise darauf vor, dass sich zumindest noch Reste des Baumaterials des Grabmonuments selbst vor Ort befunden haben müssen.

2.3 Spätantike Befunde (Periode 5)

Im 4. Jahrhundert n. Chr. kam es im Grabbezirk zu größeren Eingriffen im Bereich des zentralen Grabmonuments. Dabei wurde in die Mitte des Fundaments ein runder Schacht mit knapp 2,5 m Durchmesser hineingeschlagen, bis die unterste Lage aus großen Basaltsteinblöcken in 1,5 m Tiefe erreicht war (Abb. 57–58). Hier verengte sich der Schacht zuerst wegen der kaum mehr bewegbaren Blöcke auf 1,7 m Durchmesser, dann wurde er nach dem Entfernen der Blöcke weitere 0,9 m in den anstehenden Lehm abgetieft, wo schließlich ein Wasser führender Hori-

zont bzw. eine Quelle angeschnitten wurde (Niveau 294,9 m). Innerhalb der Schachts konnten mehrere Verfüllschichten sowie einige Gruben an der Oberfläche dokumentiert werden. Der unter das Steinfundament reichende, in den anstehenden kompakten Lehm eingetiefte schmälere Schacht (I 27) war mit einem fettig-lehmigen Material (SE 27d) verfüllt, in dem sich noch einige größere Marmorsplitter sowie eine Reihe von teils verbogenen Bleivergussresten fanden. Diese Bleifragmente sind zweifelsohne mit dem aufgehenden Grabbau in Verbindung zu bringen, wo sie zur Fixierung der eisernen Klammern in den Ausnehmungen der marmornen Bauteile dienten. Hierbei ließen sich annähernd quaderförmige Bleiblöcke, welche die Form der eckigen Klammerlöcher und die Abdrücke der Eisenklammern wiedergeben, von länglichen gratigen Bleisträngen trennen, welche beim Ausgießen der Zwischenräume von Blockausnehmung und Eisenklammer entstanden (Abb. 59). Gerade die durchwegs verdrehten bzw. verbogenen länglichen Bleistücke deuten auf ein gewaltsames Entfernen der Eisenklammern aus dem Steinblockverband hin, das in Zusammenhang mit der Abtragung des Grabbaus zu sehen sein wird. Vereinzelt Bleigussreste fanden sich auch in der oberen homogenen Schachtverfüllschicht SE 27c, die praktisch den gesamten in das Steinfundament eingetieften Schacht ausfüllte. Innerhalb dieser tiefschwarzen, stark mit Marmor- und vereinzelt Kalksteinsplittern durchsetzten Schicht lagen zahlreiche größere Basaltsteinblöcke, die aus der untersten Fundamentsteinlage SE 26d gerissen wurden und schließlich im Zuge der Verfüllung wieder in den Schacht gelangten. Neben diesen Blöcken enthielt die Verfüllung zahlreiche kleinere, unterschiedlich zugerichtete Basaltbruchsteine, die aus den übrigen höher gelegenen Fundamentsteinscharen gerissen waren. Bemerkenswert und für die Ansprache als Aediculagrab ausschlaggebend waren mehrere Marmorspolien, von denen ein Stück als Säulenfragment bestimmt werden kann, ein zweiter, größerer, an einer Seite gebrochener Marmorblock mit Schrämm Spuren und einer schräg geneigten Kante stellt ein Bruchstück eines mehrteiligen Giebels dar, der wegen des Fehlens jeglicher Dekoration wohl der Rückwand der Aedícula zuzuordnen sein wird. Wenige Dachziegelbruchstücke geben einen wertvollen Hinweis auf die mögliche ursprüngliche Abdeckung der Aedícula mit einem Ziegeldach. Auch von der Bestattung selbst fanden sich in der Verfüllschicht SE 27c Reste in Form von Leichenbrandfragmenten und einigen kleinteiligen Keramik- und Glasbruchstücken. Für eine Datierung der Verfüllung des Schachts sind mehrere spätantike Keramikfragmente von Relevanz, die eine Einordnung in das 4./5. Jahrhundert n. Chr. erlauben. Ebenfalls in diese Zeitspanne sind drei Gruben zu stellen, die von der erhaltenen Oberfläche in die Schachtverfüllung SE 27c eingetieft wurden, wobei im Fall der Gruben SE 27a und 27b eine Überschneidung vorliegt. Von Interesse ist hierbei die Verfüllung der Grube 27a, die neben viel Holzkohle auch Brandschutt und zahlreiche kleine hitzezerötete Marmor- und Kalksteinfragmente enthielt. Der Verdacht liegt nahe, dass der Großteil der Aedícula-bauteile aus Marmor und Kalk in der Spätantike gleich an Ort und Stelle zu Brandkalk verarbeitet wurde, ein Kalkbrennofen o. Ä. wurde im Areal der Ausgrabung 2004 jedoch nicht angetroffen.

Die Tatsache, dass bei der Anlage des Schachts gezielt und tief unter die Fundamentunterkante gegraben wurde, lässt m. E. den Schluss zu, dass man es hierbei nicht mit einem einfachen Beraubungstrichter zu tun hat, sondern mit einem Brunnenschacht, bei dem die durchschlagene, aber massive Fundamentsubstruktion gleichsam als Brunnenfassung miteinbezogen wurde. Untersuchungen des während der Ausgrabung bereits wieder nachsickernden Quell- oder Sickerwassers (Abb. 60) erbrachten 2004 auch den Nachweis für gutes Trinkwasser ohne besondere weitere Eigenschaften⁸⁴.

⁸⁴ Für die Organisation der Wasseruntersuchung, die von der Verbund Austrian Thermal Power durchge-

führt wurde, sei O. Eder, Mühlendorf bei Feldbach, herzlich gedankt.



Abb. 57: Brunnenschacht (SE 27).

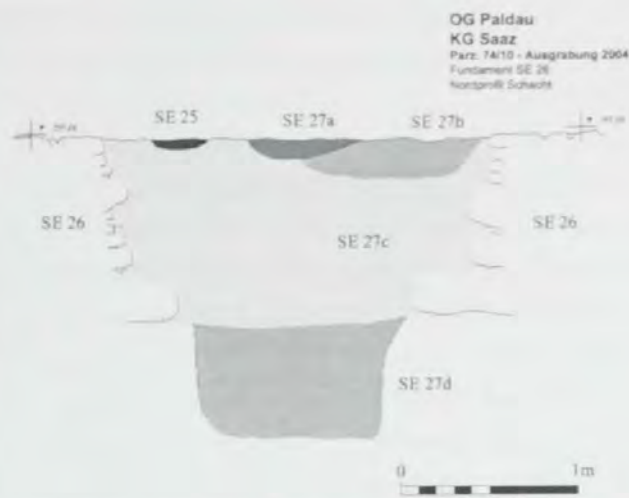


Abb. 58: Nordprofil des Brunnenschachts (SE 27).
M. 1:50.



Abb. 59: Bleiblöcke und Bleigussstränge mit Abdrücken der Eisenklammern aus der Verfüllung des Brunnenschachts (SE 27).



Abb. 60: Brunnenschacht (SE 27) mit Quell- oder Sickerwasser während der Grabung 2004.

3. NEUZEITLICHE BEFUNDE (PERIODE 6)

Sowohl im Bereich der Ausgrabungen im Siedlungsbereich 2002 und 2003 als auch im Gräberfeld West wurden zahlreiche neuzeitliche Objekte ergraben, die sich teilweise mit einem auf der Josephinischen Kriegskarte von 1787 dargestellten und abgekommenen Gebäude bzw. Gehöft auf den heutigen Parz. 74/10 und 80 in Verbindung bringen lassen (Abb. 61–62).

Den Ergebnissen der separaten Publikation dieser Befunde soll hier nicht vorgegriffen werden, demnach erfolgt eine Kurzbeschreibung: Von dem auf der Josephinische Karte abgebildeten Gebäude fanden sich keinerlei Reste von steinernen Mauern bzw. Substruktionen, vielmehr scheint es, dass es sich um einen reinen Holzbau gehandelt hat. An zwei Stellen im Grabungsareal Gräberfeld West von 2004 konnten größere, eher unförmige, aber hinsichtlich der Ausdehnung doch abgrenzbare Stellen mit einer groben Schotterrollierung angetroffen werden, die am ehesten als Fußböden zweier Räume des Gebäudes anzusprechen sein dürften.

Die Rollierungen waren durch einen knapp 10 m langen, weitestgehend fund- und befundleeren Bereich getrennt. Der westlichen Schotterfläche, die von einer kompakten, reich fundhaltigen Schicht überdeckt war, war ein massiv mit zerscherbter Gefäßkeramik und Rollsteinen verfülltes Gräbchen vorgelagert. Nördlich dieser Objekte und etwas hangaufwärts konnten zahlreiche Gruben, Pfostengruben und Balkengräben erfasst werden, die von ausgesprochen kleinen Wirtschafts-(?)Bauten stammten. Dass hier ein überwiegend für Wirtschaftszwecke genutzter Bereich anzunehmen sein dürfte, wird durch eine Reihe von Tierknochen etc. belegt. Die nur ausschnittthaft erfassten neuzeitlichen Objekte auf Parz. 74/10 lassen sich als größeres Wohn- oder Wirtschafts-(?)Gebäude mit zahlreichen kleinen Holzgebäuden zusammenfassen, die insgesamt wohl als Gehöft des 17. und 18. Jahrhunderts anzusprechen sind.

Etwas anders gelagert war die Befundsituation auf Parz. 90, auf der bei den Ausgrabungen 2002 und 2003 zahlreiche neuzeitliche, zumeist jedoch auffallend fundarme Objekte erfasst werden konnten⁸⁵. Hier wurde der nördlich des römischen Gebäudes I hangaufwärts gelegene Bereich erneut terrassiert und mit mehreren kleineren Holzgebäuden, die den oben beschriebenen Bauten auf Parz. 74/10 in ihrer Grundrisslösung mit Pfostengruben an den Ecken und dazwischen eingetieften Balkengräbchen entsprechen, verbaut. Der schlechte Erhaltungszustand macht gerade im höher gelegenen nördlichen Grabungsbereich gesicherte Grundrissrekonstruktionen fast unmöglich, insgesamt sind aber mindestens sechs neuzeitliche Gebäude fassbar. Damit in Zusammenhang ist des Weiteren ein von Rollsteinen unterlegter Ofen bzw. eine Feuerstelle zu sehen. In denselben zeitlichen Kontext wird auch der nur im oberen Abschnitt und in seiner Westhälfte ergrabene, in mehreren Schichten verfüllte Brunnen SE 102 zu stellen sein, der praktisch fundleer blieb. Eine funktionelle Ansprache der neuzeitlichen Befundreste ist kaum möglich, doch scheint es sich am ehesten wiederum um eine Art Gehöft zu handeln (Abb. 63).

Das wenige aussagekräftige, jedoch typologisch klar abweichende Keramikfundmaterial legt einen etwas jüngeren Datierungsansatz nahe (18. Jahrhunderts [?]), als es bei dem Gehöft auf Parz. 74/10 der Fall ist.



Abb. 61: Ausschnitt aus der Josephinischen Kriegskarte von 1787 mit abgekommenen Gebäuden im Bereich der Grabung 2004.

G. TIEFENGRABER

⁸⁵ Ausschnittthaft abgebildet bei Tiefengraber 2002, Abb. 4a–b, sowie 120 ff. mit noch abweichender Datierung (römisch).



Abb. 62: Übersichtsplan der Grabung 2004 mit neuzeitlichen Objekten.

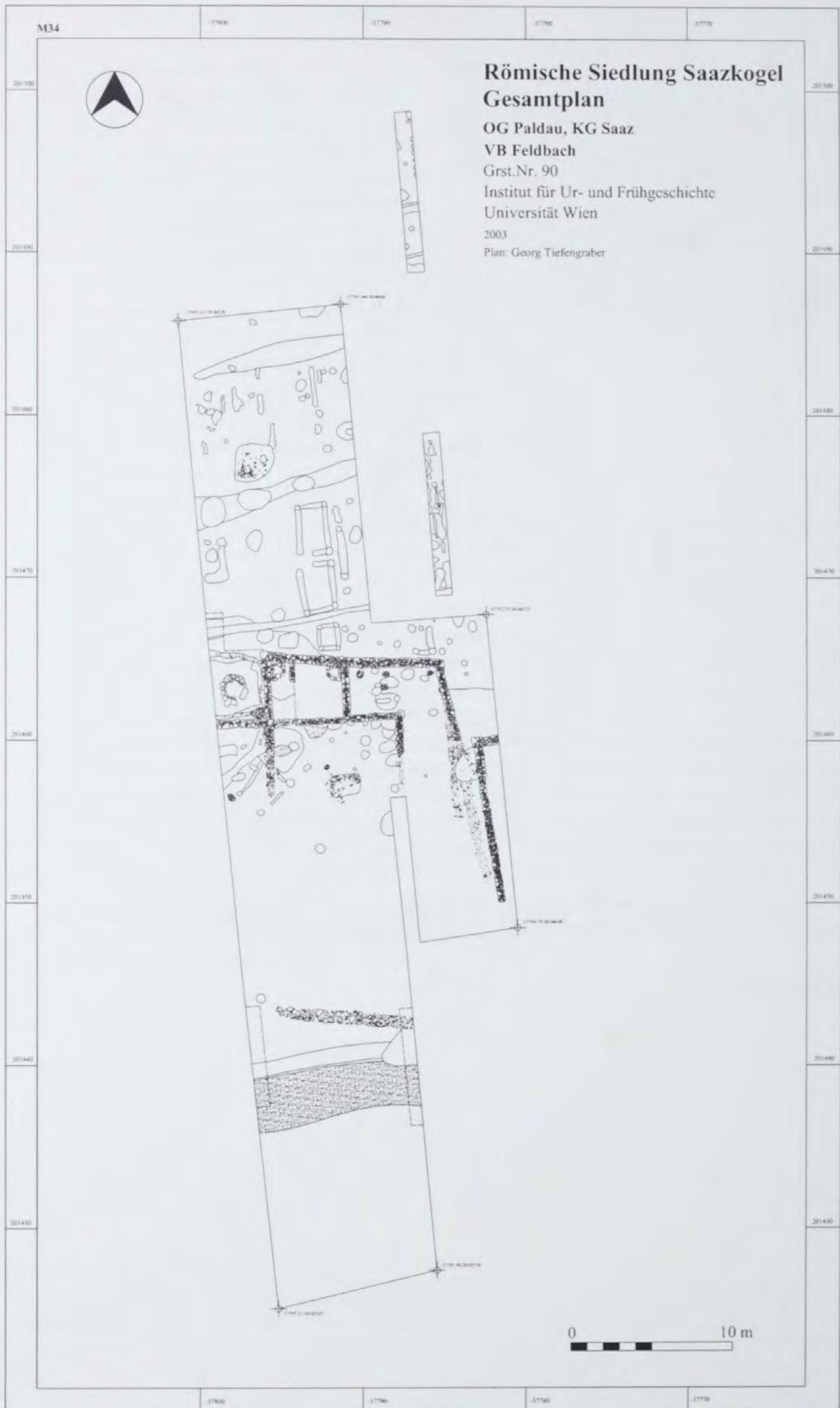


Abb. 63: Übersichtsplan der Grabungen 2002–2003 mit neuzeitlichen Objekten im Nordteil.

C. Die archäologisch-geophysikalische Prospektion am Saazkogel bei Paldau, Steiermark

1. FRAGESTELLUNG

Prähistorische und kaiserzeitliche Funde vom Plateau des Saazkogels bei Paldau erregten schon im 19. Jahrhundert das Aufsehen regionaler Sammler und des Landesmuseums Joanneum in Graz. Die ersten archäologischen Untersuchungen der Tumuli am Saazkogel erfolgten bereits zwischen 1888 und 1901 seitens des Landesmuseums. Neuere Ausgrabungen durch das Institut für Ur- und Frühgeschichte der Universität Wien (A. Lippert) auf dem Plateau wurden erst jüngst durchgeführt⁸⁶.

Ende der 90er-Jahre des vergangenen Jahrhunderts wurden vom Südfuß des Saazkogels früh- und mittelkaiserzeitliche Funde bekannt, welche eine ausgedehnte römische Siedlung vermuten ließen⁸⁷. Bald wurde der Wunsch nach einer archäologischen Untersuchung auch dieses Areals am Saazkogel laut und erste Grabungen konnten bereits 2003 durchgeführt werden. Vorbereitend dafür wurde im Jahr 2001 eine erste geophysikalische Prospektion von einem Team der Universität Ljubljana (Institut für Archäologie, B. Mušič) durchgeführt. Zur Erfassung der vorhandenen Siedlungsbefunde und für die Planung der Grabungssaison 2004 sollte nun eine großflächige archäologisch-geophysikalische Prospektion des gesamten messbaren kaiserzeitlichen Siedlungsareals erfolgen.

2. DURCHFÜHRUNG DER MESSUNG UND AUSWERTUNG

Die Messarbeiten erfolgten im Frühjahr 2004 auf den Parz. 74/3, 74/10, 80/2, 81, 90, 93/3, 93/4, 96/1 und 244⁸⁸. Für die Durchführung der Messung wurde die Gesamtmessfläche in einzelne Messflächen unterteilt, die mit einem digitalen Theodolit ausgesteckt wurden. Die Eckpunkte der Messflächen wurden anschließend im Landeskoordinatensystem eingemessen.

2.1 Magnetik

Für die Magnetikmessungen kam das Messgerät *PICODAS MEP750* mit fünf Cäsiumsensoren in Gradiometeranordnung zum Einsatz. Die unteren vier Sensoren wurden 0,35 m über dem Boden in einem Abstand von 0,5 m montiert. Der fünfte Sensor wurde in einer Höhe von 2,85 m als Referenzsensor zur Korrektur der zeitlichen Änderungen des Erdmagnetfelds eingesetzt. Die Messungen wurden in einem Raster von $0,125 \times 0,5$ m mit einer Genauigkeit von 0,005 nT vorgenommen (636,388 Messpunkte). Insgesamt wurde eine Fläche von $39,774 \text{ m}^2$ magnetisch prospektiert. Die Visualisierung der Messdaten erfolgte in Form eines digitalen Bildes (Magnetogramm), das über die geodätisch gemessenen Eckpunkte georeferenziert und für die anschließende archäologische Interpretation in das GIS ARCVIEW importiert wurde (Abb. 64).

Jede gemessene geomagnetische Teilfläche wird durch ein binäres Daten-File repräsentiert. Die einzelnen Files wurden unter Verwendung eines eigenen Beschreibungsfiles aufgrund ihrer Koordinaten auf ein regelmäßiges Raster von $0,125 \times 0,125$ m resampelt und zum Gesamtraster zusammengesetzt. Zur Visualisierung der Messdaten wurden sie mittels eigens

⁸⁶ Lippert 2001, 32 ff.

⁸⁷ Wedenig 1997, 868.

⁸⁸ Herzlichen Dank an die an der Messung beteilig-

ten Mitarbeiter E. Bayirli, Ch. Haider, Th. Koch-Waldner, B. Leichter, E. Nau und R. Totschnig.



Abb. 64: Magnetogramm der geophysikalischen Prospektion in Saaz 2004. Korrigierte und kontrastverstärkte Rohdaten, dargestellte Fläche 39,774 m².
Messdynamik -8,0, 12,0 nT in 254 Graustufen.



Abb. 65: Amplitudenflächenpläne der Georadarmessung der geophysikalischen Prospektion in Saaz 2004. Dargestellte Tiefenbereiche 0,2–0,6 m, dargestellte Fläche 5,825 m².

entwickelter Software (*ApMag*) in Graustufen übersetzt und als TIFF-Format abgespeichert. Diese Bilder wurden anschließend archäologisch interpretiert.

2.2 Georadar

Für die Georadarmessungen stand ein für archäologische Fragestellung adaptiertes Messsystem *PulseEKKO 1000* sowie ein Messsystem *GSSI SIR-3000* zur Verfügung. Es wurde eine 900 Mhz Antenne (*PulseEKKO 1000*) bzw. 400-Mhz-Antenne (*GSSI SIR-3000*) eingesetzt. Auf der Messfläche wurden insgesamt 5,825 m² (233,018 Messpunkte) in einem Raster von 0,5 × 0,05 m aufgenommen (Abb. 65).

Die umfangreichen Georadarmessdaten wurden mit einem selbst entwickelten PC-Programm ausgewertet (*ApRadar*). Die geophysikalische Auswertung beinhaltet alle Schritte eines modernen reflexionsseismischen Processing. Das Ergebnis dieser Auswertung war ein 3-D-Datablock der absoluten Amplituden. Aus diesem 3-D-Datablock wurden digitale Bilder (Schnitte) erzeugt und visualisiert.

3. ARCHÄOLOGISCHE INTERPRETATION UND ERGEBNISSE

Der Großteil der untersuchten Fläche zeigt Anomalien, die eindeutig auf archäologische Strukturen zurückgeführt werden können. Aufgrund der bisherigen Ausgrabungen scheint es sich dabei in der Mehrheit um römische Strukturen zu handeln (Abb. 66).

In einigen Bereichen des Magnetogramms sind Anomalien zu erkennen, die auf moderne Einbauten bzw. Veränderungen der Oberfläche zurückzuführen sind. Im Bereich dieser modernen Störungen ist eine archäologische Interpretation nur eingeschränkt oder gar nicht möglich. Im südlichen Bereich der Parz. 74/10, nahe der Grenze zu Parz. 74/3, zeichnet sich durch eine



Abb. 66: Saaz, archäologische Interpretation der geophysikalischen Prospektion 2004.

lineare Anordnung von Dipolanomalien eine im Boden verlegte Leitung ab. Im Bereich der Parz. 81 ist eine ausgesprochen starke Anomalie zu erkennen, die auf einen eisernen Schachtdeckel zurückzuführen ist. An der Grenze der Parz. 80/2 und 81 wurde eine starke negative Anomalie von einem weiteren Schachtdeckel erfasst, von dem nach Südosten hin eine Leitung in Richtung des modernen Wegs verläuft. Diese Leitung verläuft entlang des modernen Wegs bis zur heutigen, den Talgrund durchziehenden Straße.

Störungen im Magnetbild verursacht auch die Wegaufschüttung zwischen den Parz. 81 und 90, sodass die direkt an den Weg angrenzenden Bereiche der Messfläche nicht interpretiert werden können. Im südlichen Teil der Parz. 90 lässt sich eine großflächige Anschüttung stark magnetischer Materialien erkennen. Es könnte sich dabei um Ziegelschutt, Metallteile und magnetische Gesteine wie z. B. Basalt handeln. Aufgrund des Magnetogramms kann nicht entschieden werden, ob diese Aufschüttung archäologisch relevant ist oder ob es sich um eine moderne Aufschüttung handelt. Über die ganze Messfläche verteilt finden sich immer wieder kleinere und größere Dipolanomalien. Ihre Orientierung weicht meistens deutlich von der Nordrichtung ab. Sie werden daher von Eisenteilen verursacht. Ob diese Eisenteile archäologisch relevant sind oder ob es sich um modernen Schrott handelt, kann im Einzelfall nicht entschieden werden. Am westlichen Rand der Messfläche, in der Parz. 93/4, sind Störungen durch die westlich davon gelegenen Gebäude zu erkennen, welche die archäologische Interpretation jedoch nicht weiter beeinträchtigen (Abb. 67).

Die bereits bei der ersten Messung von B. Mušić im Jahr 2001 festgestellte große quadratische Einfriedung in Parz. 74/10 konnte durch die neuerlichen Messungen ebenfalls klar lokalisiert werden. Durch die neuen Messungen lässt sich diese Struktur jetzt auch lagemäßig absolut fixieren (Abb. 67). Es handelt sich um eine annähernd quadratische Einfriedung mit ca. 32×29 m Ausdehnung. Die Einfriedung ist mit einer Mauer umgeben, die abschnittsweise unterbrochen bzw. bereits abgetragen ist. Im Zentrum lässt sich eine ca. 5×4 m große rechteckige Struktur, östlich daneben eine weitere, etwas kleinere Struktur von $3,5 \times 2,5$ m erkennen. Es dürfte sich dabei um eine größere Grabanlage handeln. Auch die weiteren Strukturen, die durch die magnetischen Messungen auf dieser Parzelle festgestellt werden konnten, scheinen gleichfalls auf Grabbauten hinzudeuten. Das Magnetogramm lässt möglicherweise in zwei Fällen auch die Interpretation von Dromos-Gräbern zu (Abb. 68–69).

Die Parz. 81 wird in West-Ost-Richtung von einer ca. 5,5 m breiten antiken Straßen-trasse durchquert. Die antike Trasse lässt sich im Magnetogramm nach Westen auf Parz. 74/10 nicht mehr erkennen. Nach Osten wurde die Fortsetzung dieser antiken Straße bereits in der Grabung 2003 in der gesamten Schnittbreite erfasst. Weiter nach Osten ist die Trasse nicht mehr mit Sicherheit zu erkennen und scheint in einen größeren Platz zu münden. Im Bereich der Parz. 81 sind links und rechts des antiken Wegs zahlreiche Strukturen in unterschiedlicher Deutlichkeit vorhanden, die eine Parzellierung und mehrere Gebäudekomplexe andeuten. Diese antiken Parzellen scheinen unterschiedliche Breiten von ca. 15–20 m und von über 30 m Länge aufzuweisen. Es dürfte sich auf Parz. 81 um jeweils vier bebaute Streifen links und rechts der Straße handeln. Die Gebäude im westlichen Bereich der Parz. 81 sind ausgesprochen schlecht erhalten. Es ist anzunehmen, dass die archäologischen Reste hier bereits massiv durch den Pflug beschädigt wurden.

Im östlichen Teil der Parz. 81 kann durch den besseren Erhaltungszustand auch noch die Raumaufteilung im Magnetogramm ausgemacht werden. Das nördlich des Wegs gelegene Gebäude scheint einen von Westen nach Osten verlaufenden Mittelkorridor aufzuweisen. Seine Grundfläche, inklusive eines möglicherweise unverbauten Innenhofs, beträgt mindestens 750 m^2 , konnte aber nach Osten aufgrund des modernen Wegs nicht vollständig von der Messung erfasst werden. Zur Straße hin könnte zumindest in der westlichen Hälfte des Gebäudes eine Portikus bestanden haben. Nördlich anschließend ist ein weiteres, rechteckiges Gebäude



Abb. 67: Saaz, Parz. 74/10, archäologische Interpretation der geophysikalischen Prospektion.

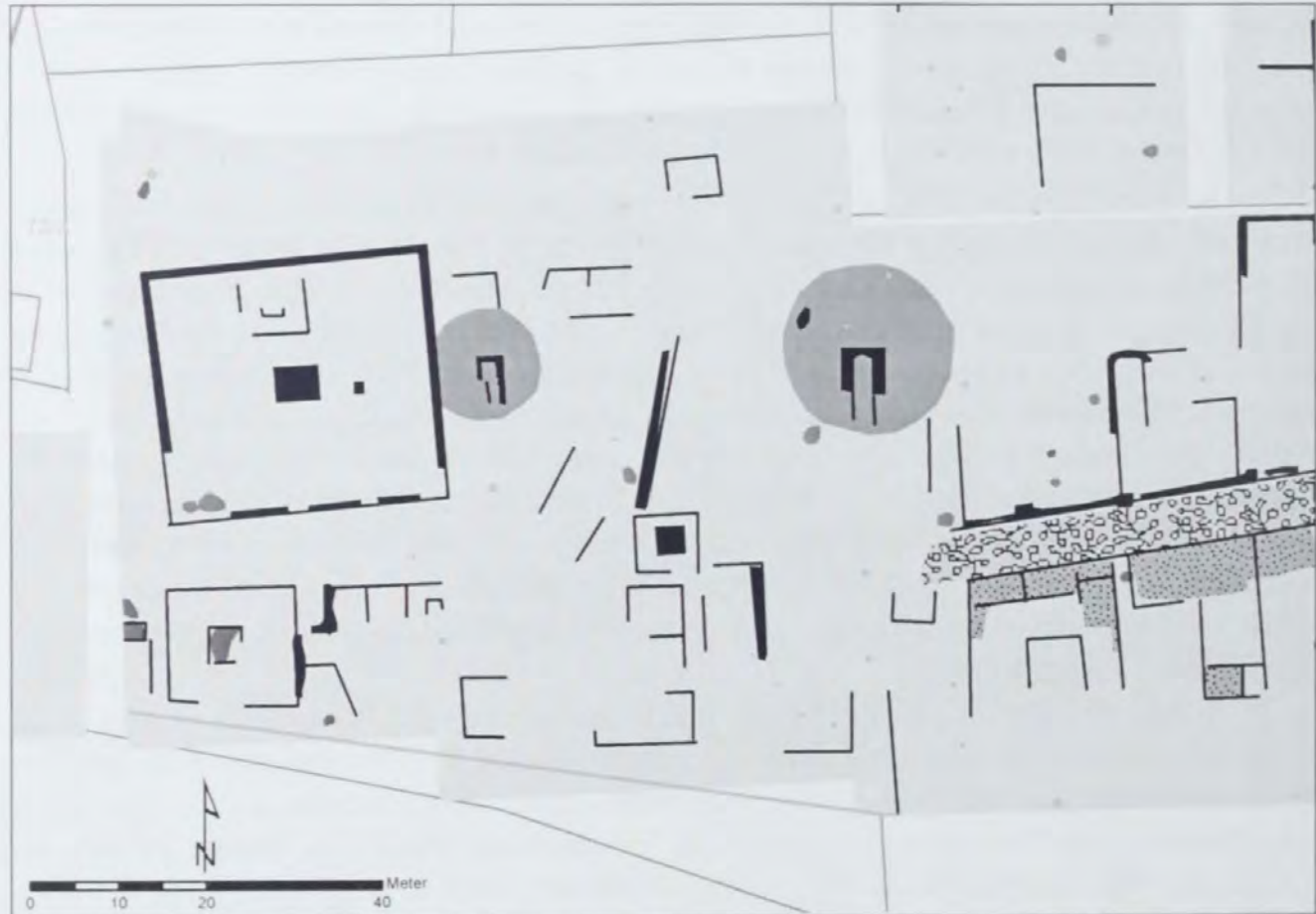


Abb. 68: Saaz, Parz. 74/10, archäologische Interpretation der geophysikalischen Prospektion; dunkelgrau die beiden möglichen Dromos-Gräber.



Abb. 69: Saaz, archäologische Interpretation der geophysikalischen Prospektion und Grabungsergebnisse des Jahres 2004.

mit ca. 600 m² Grundfläche erkennbar. Der östliche Teil wird durch einen annähernd quadratischen Gebäudeteil gebildet, in dem einzelne Räume ausgemacht werden können. Der westliche Teil scheint von einem Garten eingenommen worden zu sein. Zwischen den beiden Gebäuden lässt sich ein Zugangsweg oder Korridor feststellen (Abb. 70).

Das südlich des Wegs erkennbare Gebäude weist zur Straße hin zwei symmetrisch zu einem Eingangskorridor angelegte, ca. 4 × 6 m große Räume auf. Vorgelagert dürfte sich eine Portikus befunden haben. Die westliche Hälfte ist durch einen Innenhof geprägt, während im östlichen Teil eine Reihe von Räumen erkennbar ist. Nach Süden scheint ein Garten anzuschließen.

Auf der Parz. 90 schließt östlich an die Grabungsfläche ein Gebäude oder Gebäudeteil mit mehr als 350 m² Grundfläche an. Es liegt noch in Fortsetzung der auf der Parz. 81 erkennbaren, antiken Parzellierung. Südlich davon wird diese streifenförmige Parzellierung durch ein langrechteckiges Gebäude mit über 900 m² Grundfläche durchbrochen. Die östliche Hälfte des Gebäudes wird durch einen in Ost-West-Richtung verlaufenden Mittelkorridor erschlossen. Der westliche Teil, bei dem es sich möglicherweise auch um ein eigenständiges Gebäude handeln könnte, ist weniger deutlich interpretierbar. Südlich folgt die bereits erwähnte Aufschüttung. Bei der Interpretation wurde versucht, mögliche Mauerverläufe trotz der starken Störungen zu verfolgen. Es deuten sich lang gezogene Gebäude mit relativ großen Räumen an. Die Aussagen zu diesem Bereich sind jedoch mit entsprechender Vorsicht zu betrachten (Abb. 71).

Im gemessenen Bereich auf der Parz. 93/3 lassen sich zahlreiche Mauern bzw. Gebäudeteile erkennen. Bisher ist es jedoch nicht gelungen, einzelne Gebäudegrundrisse klar herauszustrichen. Es dürfte sich in diesem Bereich wahrscheinlich um fünf einzelne Gebäude handeln. Da sich die Strukturen teilweise überlagern, scheinen auch verschiedene Bauphasen eine klare Beurteilung des Magnetogramms zu erschweren.



Abb. 70: Saaz, Parz. 80/2 und 81, archäologische Interpretation der geophysikalischen Prospektion.



Abb. 71: Saaz, Parz. 90 und 93/3, archäologische Interpretation der geophysikalischen Prospektion.



Abb. 72: Saaz, archäologische Interpretation der geophysikalischen Prospektion und Ausrichtung der modernen Gebäude auf Parz. 73.

Die bestehenden modernen Gebäude auf Parz. 73 sind in Ausrichtung und Dimension sehr ähnlich den durch die Messungen festgestellten römischen Gebäudestrukturen (Abb. 72).

Die östlich anschließende Parz. 93/4 zeigt in der südlichen Hälfte beinahe keine magnetischen Anomalien. Eine starke positive Anomalie könnte von einer Grube oder eventuell auch einer Ofenanlage stammen. Sie steht jedoch völlig isoliert und ist daher nicht mit Sicherheit als archäologisch relevant zu bezeichnen. Der obere Teil des Magnetogramms wird durch eine von Südwesten nach Nordosten verlaufende, lineare Anomalie abgetrennt, die auf eine ehemalige Feldgrenze oder eine geschotterte Terrassierung oder Straßentrasse zurückzuführen sein dürfte. Daran nördlich anschließend sind weitere archäologische Strukturen zu erkennen. Ob es sich dabei ebenfalls um römische Strukturen handelt, kann aufgrund der Prospektionsergebnisse nicht entschieden werden, es ist jedoch sehr wahrscheinlich. Ein rechteckiges Gebäude mit fast 900 m² Grundfläche ist einigermaßen deutlich zu erkennen.

Die wiederum östlich anschließende Parz. 96/1 zeigt einzelne parallel zum Hang verlaufende Anomalien, die von separaten Gebäuden stammen dürften (Abb. 73).

In einzelnen Räumen der auf den untersuchten Parzellen festgestellten Gebäude lassen sich eng begrenzte, stark magnetisierte Bereiche erkennen. Es könnte sich dabei um Gruben mit stark magnetisierter Füllung oder um Ziegelschutt und Reste von Hypokausten handeln. Einige runde bis rechteckige Anomalien, die als stark magnetisierte Gruben interpretiert wurden, könnten aufgrund der Dimension und der Lage auch BrunnenSchächte darstellen.

Die Siedlung liegt am Südfuß des Saazkogels etwa 5–25 Höhenmeter über dem Saazer Bach, dessen Bett heute geteilt ist und im Bereich westlich der Parz. 249/4 in Richtung Westen bis zu den Saazer Teichen unterirdisch geführt wird. In römischer Zeit dürfte der Talboden des Saazer Baches noch ein großflächiges Feuchtgebiet umfasst haben, welches später durch Drainagierun-



Abb. 73: Saaz, Parz. 93/4 und 96/1, archäologische Interpretation der geophysikalischen Prospektion.



Abb. 74: Saaz: 3D-Ansicht der archäologischen Interpretation der geophysikalischen Prospektion mit dem digitalen Geländemodell von Südosten.

gen und die Anlage der Saazer Teiche trocken gelegt worden ist. Der Verlauf der römischen Straße, welche wahrscheinlich von Flavia Solva kommend östlich des Saazkogels auf die Raabtal-Trasse trifft, und die Lage der Ansiedlung am Hang dürften darin begründet sein, dass man diesen Feuchtgebieten im Talgrund ausweichen musste. Zudem liegen die Vorteile des nach Süden ausgerichteten Hangs als Siedlungsfläche auf der Hand.

Durch die geophysikalischen Messungen konnte in keiner Richtung ein Ende des Siedlungsareals festgestellt werden (Abb. 74). Nach Westen scheint mit den entdeckten Gräbern ein solches Ende allerdings angedeutet. Nach Süden hin ist eine Begrenzung des Areals durch die topographischen Gegebenheiten eigentlich vorgegeben. Ob die von A. Lippert im Jahr 2000 unmittelbar vor der Laurentiuskirche am Saazkogel freigelegten kaiserzeitlichen Mauerbefunde mit der untersuchten Siedlung am Südhang in unmittelbarem Zusammenhang stehen, konnte durch die archäologisch-geophysikalische Prospektion nicht geklärt werden.

A. EDER-HINTERLEITNER – K. LÖCKER – W. NEUBAUER – S. S. SEREN

The first part of the paper discusses the importance of the study. It highlights the need for a comprehensive understanding of the subject matter. The authors emphasize that this research is a significant contribution to the field.

The methodology section describes the approach used in the study. It details the data collection process and the analytical techniques employed. The authors ensure that the research is conducted with the highest standards of accuracy and reliability.

The results of the study are presented in a clear and concise manner. The authors provide a detailed analysis of the findings, which are supported by statistical evidence. The conclusions drawn from the data are both logical and well-founded.

Finally, the paper discusses the implications of the research. It suggests that the findings have important practical applications and may influence future research in the area. The authors express their hope that this work will be of value to the academic community.

The second part of the paper focuses on the theoretical aspects of the study. It explores the underlying principles and concepts that govern the phenomenon being investigated. The authors provide a thorough review of the existing literature, identifying key areas of agreement and disagreement.

This section also includes a critical evaluation of the current state of knowledge. The authors point out the limitations of previous studies and propose new directions for research. They argue that a more integrated and interdisciplinary approach is needed to fully understand the complexity of the subject.

The theoretical framework developed in this part of the paper serves as a foundation for the empirical research. It provides a clear conceptual model that guides the data collection and analysis. The authors believe that this framework will be useful for other researchers in the field.

In addition, the paper discusses the broader context of the study. It considers the social, cultural, and economic factors that may influence the results. The authors aim to provide a holistic view of the subject, recognizing the interconnectedness of different aspects of the system.

The third part of the paper presents a detailed discussion of the empirical findings. It compares the results of the current study with those of previous research, highlighting both similarities and differences. The authors provide a thorough explanation of the observed patterns and trends.

This section also includes a discussion of the limitations of the study. The authors acknowledge the constraints of the research design and the potential sources of error. They discuss the steps taken to minimize these limitations and ensure the validity of the findings.

The paper concludes with a summary of the main findings and their implications. The authors reiterate the significance of the study and its contribution to the field. They express their confidence in the results and their belief that the research has provided valuable insights into the subject matter.

Finally, the authors provide a list of references, acknowledging the work of other researchers who have contributed to the field. They also include a list of appendices, which provide additional information and data related to the study.

The authors would like to thank the following individuals and organizations for their support and assistance during the course of this research. Their contributions were invaluable and helped to make this study possible.

The authors also wish to express their appreciation to the reviewers for their constructive comments and suggestions. Their feedback was instrumental in improving the quality of the paper.

Finally, the authors would like to thank their families and friends for their love, support, and encouragement throughout the entire process. Their unwavering support was a source of strength and motivation.

D. Zusammenfassende Befundinterpretation

Durch die annähernd flächendeckenden geophysikalischen Messungen und die in insgesamt vier Kampagnen durchgeführten Ausgrabungen, die geodätische Geländeaufnahme, jahrelange Feldbegehungen sowie Prospektion des gesamten Siedlungsareals mit Metalldetektor ist es nunmehr möglich, ein sehr detailliertes Bild von der römischen Siedlung am Saazkogel (Abb. 75) zu entwerfen.

Für die vertikal-chronologische Besiedlungsabfolge bilden in erster Linie die Ergebnisse der Ausgrabung 2003 im zentralen Siedlungsareal eine Basis, die durch die nachfolgenden Grabungen eigentlich nur noch geringfügige Ergänzungen erfuhren.

Die römerzeitliche Besiedlung des Saazkogels kann entsprechend ihrer unterschiedlichen Funktionen in vier Bereiche aufgeteilt werden: Die größte zusammenhängende Fläche wird am Südhang des Hügels vom eigentlichen Siedlungsareal eingenommen, das sich am unteren Hangabschnitt über eine Länge von mindestens 600 m verfolgen lässt und eine unterschiedliche Bebauungsdichte aufweist. Der gesamte Vicus wird annähernd in der Mitte von einer durchschnittlich 4 m breiten geschotterten Straße durchzogen, der im ergrabenen Bereich hangseitig ein Straßengraben vorgelagert ist (Kap. I.B.1.1.2). Ober- und unterhalb der Straße gruppieren sich ausgesprochen große Gebäudekomplexe, die allesamt – soweit dies durch die Geoprospektion erkennbar ist – gewisse Ähnlichkeiten in der Grundrisslösung aufweisen: Rund um einen zentralen Innenraum oder Hof gruppieren sich jeweils zahlreiche verschieden groß dimensionierte Räume. Derartige Gebäude stellen den charakteristischen Haustyp im südostnorischen Gebiet dar, wie es zahlreiche Beispiele aus den Vici in Gleisdorf und Kalsdorf zu belegen vermögen (Kap. IV.3.1). Die Gebäude flankierten die Straße nicht nur einreihig, an mehreren Stellen im westlichen Zentralbereich des Vicus sind sowohl hangauf- als auch hangabwärts weitere, teils ausgedehnte Gebäude in 'zweiter Reihe' positioniert. Vor der Errichtung der Gebäude selbst musste die verschieden starke Hangneigung durch nicht unbedeutende Terrassierungen ausgeglichen werden, sodass sich wohl ein treppenförmiges Gesamtbild des Hangs bot. Die auch weiter hangaufwärts gezogenen Sondageschnitte von 2002 belegten darüber hinaus, dass auch der höhere und zusehends steilere Hangbereich durch Terrassierungen gegliedert war, die mit Holzgebäuden verbaut waren. Die starke Hangneigung war Grund dafür, dass in diesen höher liegenden steileren Arealen keine Geoprospektion durchgeführt werden konnte.

Der Verlauf der Straße ist innerhalb der Siedlung die ersten 150 m im Westen eindeutig verfolgbar, da diese beidseitig von Mauern bzw. Gebäuden flankiert wird. Danach, etwa in der Mitte der Parz. 90, verliert sie sich, auch scheint eine lineare Fortsetzung gegen Osten eher unwahrscheinlich, da in diesem Bereich auf gleicher Höhe die nächsten gut sichtbaren Gebäude anschließen. Es macht vielmehr den Eindruck, dass die Straße hier nach Süden hin abbiegt, um dann – annähernd an der Grenze der Parz. 90 und 93/3 – wieder gegen Norden zu ziehen. Die östlich anschließende Parz. 93/2 konnte wegen der modernen Bebauung nicht prospektiert werden, sodass erst die benachbarte Parz. 93/4 wieder untersucht wurde. Hier trifft man erneut auf die geschotterte Straße, allerdings im oberen Hangbereich und gut 20 Höhenmeter über der vermuteten Anschlussstelle auf Parz. 93/3. Wie dieser Höhenunterschied auf kurzem Weg überwunden wurde, ist nicht mehr zu beurteilen. Der weitere Verlauf nach Osten ist durch Feldbegehungen gesichert, wobei sich die angepflügte Straße als Schotterstreifen noch gut 200 m weiter verfolgen lässt, ehe sie auf einer sanften Kuppe im Bereich eines Bauernhofs in das nördlich anschließende Raabtal übergeht. Hier verlieren sich aufgrund der modernen Bebauung die Anhaltspunkte für die Straßentrasse.

Im Ostteil des Vicus ist ein deutliches Ausdünnen der Bebauungsdichte festzustellen, das – unter anderem – wohl auch auf die zunehmende Hangneigung in diesem Bereich zurückzuführen ist, stattdessen verlagert sich die Bebauung auf einen etwas flacheren und höher gelegenen, terrassierten schmälere Hügelabsatz. Verbunden damit lässt sich eine Veränderung in der Baustruktur selbst bzw. bei den durch die Geoprospektion erfassten Gebäudeformen beobachten, wobei nun deutlich kleinere und teils nur einräumige Häuser dominieren. Zum gegenwärtigen Zeitpunkt kann für diesen Bereich am Ostrand *a priori* nicht ausgeschlossen werden, dass – analog zur Gräberstraße am Westrand des Vicus (Kap. I.B.2) – auch im Osten Gräber bzw. Grabbauten unmittelbar an den Rand der Siedlung anschließen, doch scheint m. E. das mengenmäßig gar nicht geringe Streufundmaterial aus diesem Bereich eher gegen eine solche Annahme zu sprechen.

Betrachtet man den gesicherten Siedlungsbereich, also den Abschnitt zwischen den Parz. 81 und 93/4, in Hinblick auf die interne Bebauungsstruktur, so fällt annähernd in der Mitte auf Parz. 90 ein knapp 40×50 m großes Areal auf, das von der Verbauung ausgenommen war und in dem – wie oben bereits erwähnt – mit einer Änderung des Straßenverlaufes zu rechnen ist. Es wäre verlockend, in dieser Freifläche eine Art 'Hauptplatz' sehen zu wollen, der auch das Zentrum des Vicus repräsentieren würde. Sowohl westlich wie auch östlich davon schließt ein jeweils 150 m langer und bis zu 100 m breiter, dicht bebauter Bereich an. Eine Auflösung der bei der geophysikalischen Prospektion festgestellten, stark verwobenen Baustrukturen in einzelne Gebäude erweist sich als äußerst schwierig, doch kann bei einem Rekonstruktionsversuch auf die Ergebnisse der Ausgrabung 2003 zurückgegriffen werden, wo ein Gebäude (Gebäude 1) großflächig ergraben werden konnte und so eine Vorstellung vom Aussehen eines Hauses mit einer Grundfläche von mindestens 210 m^2 lieferte (Kap. I.B.1.1.2–3). Ebenfalls angeschnitten wurde das direkt benachbarte östliche, langrechteckige und nördlich der Straße gelegene Gebäude 2, das über eine Grundrissgröße von ca. 30×22 m und möglicherweise auch über einen zentralen Raum oder Hof verfügte. Direkt westlich an Gebäude 1 anschließend und nur durch einen rezenten Weg getrennt, sind zwei aneinander grenzende Gebäude auszumachen, von denen eines direkt an der Straße liegt, das zweite lässt sich nördlich und hangaufwärts feststellen. Obwohl die Unterscheidung von Raumstrukturen innerhalb der Gebäude auf erhebliche Schwierigkeiten stößt, scheint doch wiederum bei beiden ein Zentralraum oder Hof herauszufiltern sein, um den sich weitere Räume gruppieren. Ein größerer Gebäudekomplex schließt auch auf der südlich gegenüberliegenden Straßenseite an, der aus mindestens einem, vermutlich aber sogar zwei hintereinander liegenden Häusern besteht. Westlich dieser Gebäude dünnt die Bebauung merklich aus oder es ist bereits von einer stärkeren Zerstörung der Bausubstanz auszugehen. Die relativ großen, von Mauern eingefassten Areale weisen eine kaum greifbare Binnengliederung auf, erst die südwestlichste Baustruktur direkt südlich der Straße repräsentiert wohl wieder ein Gebäude nach dem gleichen Schema, dem auch die oben beschriebenen folgen. Mit diesem Gebäude dürfte auch die Westgrenze des Siedlungsbereichs erreicht sein, westlich davon schließen nun beiderseits der Straße Gräber bzw. Grabbauten und Grabbezirke an, die sich zumindest über eine Länge von 100 m weiterverfolgen lassen, danach ist das Gelände rezent überbaut.

Schwieriger als der Teil der Siedlung westlich der platzartigen Struktur ist das im Osten daran anschließende Areal zu beurteilen, konnten hier doch durch die geophysikalische Prospektion zahlreiche, äußerst verschachtelte Mauerreste geortet werden, die eine Aufschlüsselung der einzelnen Grundrisse nicht unbedingt erleichtern. Zumindest drei besser erhaltene Mauerkomplexe deuten erneut die schon bekannte und mehrfach erwähnte Gebäudegrundform an, eine weiter gehende Interpretation hätte m. E. für diesen Bereich höchstens noch spekulativen Charakter. Die östlich anschließende Parz. 93/2 konnte wegen der Überbauung keiner geophysikalischen Untersuchung unterzogen werden, erst die benachbarte, relativ steile



Abb. 75: Saaz, Befunde der Siedlung und der Gräberfelder.

Ackerparz. 93/4 wurde wieder flächendeckend gemessen. Der Schotterstreifen der angepflügten Straße zieht sich hier im oberen Hangdrittel parallel zum Hang entlang und läuft dann nach Osten auf die nächsten Parzellen weiter auf einer gut sichtbaren Geländestufe, die wohl als ursprüngliche Terrassierung zu betrachten sein wird. Nordwestlich und hangaufwärts an die Straße schließt ein weiteres, im Grundriss rechteckiges Gebäude mit komplexer Innenraumaufteilung an, möglicherweise handelt es sich hier auch um zwei separate Häuser. Das direkt südlich der Straße gelegene Gebäude weist besonders in seinem Südteil erhebliche Zerstörungen durch den Pflug auf, sodass eine weitere Beurteilung kaum möglich ist. Der in diesem Bereich

angelegte Grabungsschnitt S9 von 2005 erbrachte den Nachweis einer äußerst komplexen Stratigraphie, wobei eine Planierschicht mit abschließender Schotterung zu erwähnen ist, die in der nächstfolgenden Phase von einem Holzbau gestört wurde. Auch unter der Planierung befanden sich Reste einer älteren Holzbauphase (Kap. I.B.1.2.1–3; I.B.1.2.5).

Mauerzüge eines weiteren Gebäudes konnten durch die Geoprospektion schon beinahe am Hangfuß lokalisiert werden, wobei sich bei dem zweifelsohne groß dimensionierten Bau keine eindeutige Struktur herauslesen lässt. Der restliche Hangbereich südlich der Straße ist bis auf wenige geophysikalische Anomalien leer oder weitgehend zerstört. Dass hier dennoch mit entsprechenden Strukturen zu rechnen ist, belegen die beiden Grubenhütten 1 und 2, die hier 2005 ergraben werden konnten (Kap. I.B.1.2.4).

Nach Nordosten hin ändert sich nun – wie oben erwähnt – das Bild der Besiedlung: Anstatt großer mehrräumiger Gebäude lassen sich nur mehr deutlich kleinere und überwiegend einräumige Häuser ausmachen, die sich nördlich an der Straße entlang aufgereiht befinden. So hier nicht bereits der Siedlungsrand erreicht ist, kann von einer kräftigen Ausdünnung der Strukturen gesprochen werden, die aber weiterhin auf die Straße Bezug nehmen. Auf die Möglichkeit eines 'Gräberfelds Ost' in diesem Bereich wurde bereits hingewiesen.

Aufgrund der eher ungünstigen Bodenverhältnisse war es mit den angewandten geophysikalischen Methoden praktisch nicht möglich, Holzbaustrukturen, die durch die Ausgrabungen ja hinreichend belegt sind, mit Bestimmtheit zu erfassen. In dieser Hinsicht bieten die Streu- und Detektorfunde eigentlich die einzige Möglichkeit zur Feststellung und Abgrenzung des mit Holzgebäuden verbauten Areals. Dasselbe gilt auch bei der Frage nach der Ausdehnung der frühesten Holzbauphase (Periode 1) in flavischer Zeit, die in ihrer horizontalen Größe ausschließlich durch derartige Funde greifbar wird, wobei diese annähernd über den gesamten zentralen Siedlungsbereich streuen (Kap. II.D). Dass hierbei eine Verschleppung von Fundmaterial durch die großflächigen Terrassierungen und Planierungen der Periode 2 möglich ist, erscheint zwar denk-, jedoch nicht belegbar.

Eine der positiven Überraschungen der Ausgrabung 2004 im Westteil des Vicus war die Verifizierung eines monumentalen Grabbezirks und älterer, darunter liegender Grabbauten (Kap. I.B.2), welche die Existenz einer Gräberstraße nach italisch-römischem Vorbild belegten. Entlang der westlichen Ausfallsstraße sind nördlich und südlich davon mehrere Grabbauten bzw. -bezirke gruppiert, die in unregelmäßiger Folge die Straße flankierten bzw. begleiteten. Von Bedeutung ist hierbei auch die Beobachtung, dass sich nördlich der Straße durch die Geoprospektion zwei annähernd hufeisenförmige Anomalien mit Öffnungen nach Süden hin beobachten lassen, die jeweils von einer beinahe kreisrunden 'Aura' umgeben sind. Ein drittes hufeisenförmiges Objekt wurde 2004 ergraben. Dabei handelte es sich um die letzten Reste eines steinernen Grabbaus, der von der Umfassungsmauer des etwas jüngeren Grabbezirks überlagert bzw. durchschnitten wurde. Die zum Grabbau gehörende Bestattung scheint schon vorher gezielt entnommen worden zu sein. In Anbetracht der hellen kreisrunden geophysikalischen Anomalien kann darüber gemutmaßt werden, ob in diesem Bereich nicht mit älteren Hügelgräbern gerechnet werden soll, die – zumindest teilweise – bei der Anlage des monumentalen Grabbezirks abgetragen wurden. Zwischen den beiden hufeisenförmigen Strukturen östlich des Grabbezirks findet sich eine weitere kreisförmige Anomalie, die ein weiteres abgetragenes Hügelgrab darstellen könnte.

Altbekannt und entsprechend durchstöbert sind die zahlreichen römischen Hügelgräber am Nordhang des Saazkogels, die zweifelsohne ebenfalls als zum Vicus gehörende Begräbnisstätten anzusehen sind (Gräberfeld Nord) (Kap. I.A.4). Die Tumuli gruppieren sich hierbei zu beiden Seiten eines praktisch in der Mitte durch das Gräberfeld verlaufenden Altwegs, der wiederum leicht schräg zum Hang angelegt ist. Verfolgt man den Straßenzug weiter nach Osten, so ist ein Zusammentreffen mit der aus dem Vicus führenden Straße evident. Auf jeden Fall

wird bei den beiden Gräberfeldern des Vicus eine gewisse Ambivalenz sichtbar, die sich einerseits im Gräberfeld West durch Hügelgräber in einer ersten greifbaren Belegungsphase manifestiert, welche direkt an das Siedlungsareal an der Ausfallsstraße positioniert anschließen und in weiterer Folge durch aufwändige monumentale Grabbezirke bzw. -bauten ersetzt werden, sowie andererseits in dem von der Siedlung selbst aus gar nicht direkt sichtbaren Hügelgräberfeld am Nordhang. Die wenigen bislang vorgelegten Funde aus diesen Tumuli belegen zumindest eine kurzzeitige Überschneidung beider Gräberfelder. Bei umfassenderem Kenntnisstand wäre es verlockend, darüber zu befinden, ob sich hinter diesen gänzlich unterschiedlich konzipierten Gräberfeldern unterschiedliche 'ethnische' Komponenten verbergen ('Einheimisch-Autochthone' und 'Allochthone'), oder ob hier lediglich soziale und ökonomische Gründe ausschlaggebend waren.

Einer befriedigenden Interpretation entzieht sich eine bei den Ausgrabungen am Gipfelplateau angeschnittene Gebäudestruktur, die zum größten Teil von der barocken Laurentiuskirche überbaut wurde (Kap. I.A.4). Von diesem Gebäude mit steinerner Mauer oder Mauersockel konnte eine Ecke freigelegt werden, die Mauerstärke entspricht weitgehend der Breite der Außenmauern bei den Gebäuden 1 und 2 im Vicus (Kap. I.B.1.1.2-3). Das nicht allzu umfangreiche Fundmaterial, das mit diesem Bauwerk in Zusammenhang zu bringen ist, gibt keinerlei Hinweise auf eine spezifische Funktion, vielmehr reiht es sich in das Spektrum üblicher Gebrauchsformen der Siedlung ein (Kap. II.H.3.3). Da im Vicus selbst bislang keine Gebäude ausfindig gemacht werden konnten, die in irgendeiner Weise als 'öffentliche' Gebäude im Sinne einer Verwaltungs- oder Kulteinrichtung angesprochen werden könnten, böte es sich an, in diesem in seiner Lage exponierten Gebäude auf dem Gipfelplateau etwas Derartiges zu vermuten, doch ist dies freilich zum gegenwärtigen Zeitpunkt nicht belegbar. Bemerkenswert ist jedoch, dass sich bei den Ausgrabungen 1999 rund um die Kirche bzw. am Plateau keinerlei weitere römische Baureste fanden, was bei der Annahme einer rein profanen Nutzung doch etwas verwundert.

Insgesamt betrachtet ergibt sich am Saazkogel das Bild einer Siedlung, die sukzessive und in kurzer Zeit entlang einer sie durchziehenden Straße gewachsen ist (Abb. 75). Bislang konnten zwei dieser Siedlung zugehörige Gräberfelder lokalisiert werden, die sich sowohl hinsichtlich ihrer Lage als auch ihrer Grabformen und -typen in vielen Punkten unterscheiden. Die Frage nach den zweifelsohne obligaten Kult- und Verwaltungseinrichtungen ist nicht zu beantworten, lediglich der ausschnitthaft erfasste und von der Siedlung abgesetzte Gebäuderest am Gipfelplateau könnte einen Hinweis auf derartige Bauten geben.

Soweit abschätzbar, ist der Vicus am Saazkogel auch von seiner flächenmäßigen Ausdehnung mit ca. 9 ha mit den großflächiger untersuchten Vici von Gleisdorf und Kalsdorf in eine Reihe zu stellen, wobei sich der Gesamtcharakter jedoch klar von diesen beiden Siedlungen unterscheidet.

G. TIEFENGRABER



E. Der Vicus und sein Umfeld (Abb. 76)

Das sich nach Osten hin in die pannonische Ebene erstreckende Raabtal stellte zweifelsohne aufgrund seiner verkehrsgeographisch wichtigen Lage eine bedeutende Ost-West-Verbindung dar, was auch bereits durch die zahlreichen prähistorischen Fundstellen in diesem Bereich belegt ist⁸⁹. Obwohl bislang flächendeckende Surveys o. Ä. nur ansatzweise durchgeführt worden sind⁹⁰, ergibt sich schon jetzt ein beachtlich dichtes Netz an römerzeitlichen Fundpunkten, die praktisch eine flächendeckende Besiedlung nicht nur der zentralen Oststeiermark nachzuweisen vermögen⁹¹. In Relation zur Anzahl der Fundstellen, kann das publizierte Fundmaterial als verschwindend gering eingestuft werden, sodass besonders die Frage nach der chronologischen Dimension nur sehr eingeschränkt beantwortet werden kann. Dies betrifft sowohl den Beginn der konzentrierten römerzeitlichen Siedlungstätigkeit als auch das Abklingen oder Ende in der Spätantike. Dasselbe gilt für die Größe der vornehmlich durch Oberflächenfunde lokalisierten Siedlungen, wobei kaum einmal mit letzter Sicherheit entschieden werden kann, ob man es mit einer Villa, einer kleinen, wie auch immer gearteten Siedlung bzw. einem Gehöft oder gar einem Vicus zu tun hat. Die Forschungen in den Vici von Gleisdorf, am Saazkogel und in St. Martin an der Raab vermögen nun einige neue Erkenntnisse zur Struktur der kaiserzeitlichen Besiedlung in der Oststeiermark und im angrenzenden Burgenland beizutragen, wobei das neu gewonnene Siedlungsmodell am Saazkogel das Netz erheblich zu verdichten vermag. Von Bedeutung sind hierbei der Nachweis für die – eigentlich zu erwartende – Zugehörigkeit eines großen Hügelgräberfelds zu einem Vicus, die differenzierte Lagebeziehung dieser Ensembles zueinander sowie die Tatsache, dass auch Gräberfelder bzw. -straßen nach italisch-römischem Vorbild im Randbereich der Vici zu erwarten sind.

Betrachtet man nun die bislang bekannten größeren Siedlungen in einem Umkreis von rund 20 km um den Saazkogel, so stellt im Nordwesten der ebenfalls im Raabtal gelegene ausgedehnte Vicus von Gleisdorf die nächstgrößere benachbarte Siedlung flussaufwärts dar. Die Entfernung zwischen diesen beiden Vici beträgt knapp 20 km. Aufgrund seiner flächenmäßigen Ausdehnung (9 ha), seiner reichen Gräberfelder und seines Amphitheaters wird im Vicus von Gleisdorf zweifelsohne einer der 'Vororte' im Gebiet der heutigen Oststeiermark zu sehen sein⁹², der – so weit dies zumindest anhand der Keramikfunde feststellbar ist – starken Einfluss auf das untere Raabtal ausübte. Von Interesse ist die von den neuen Grabungsergebnissen am Saazkogel unterstützte Beobachtung, dass sich wohl ebenfalls Tumuli in dem Gleisdorfer Gräberfeld 'Weizerstraße' befanden, welches ursprünglich eine große Nekropole zusammen mit dem direkt an die Siedlung anschließenden Gräberfeld 'Ziegelei Strobl' bildete⁹³. Darauf deuten zumindest die eher unregelmäßig und in größerem Abstand gelegenen Grabbauten mit Dromos hin, die als Einbauten in Hügelgräber hinreichend bekannt sind⁹⁴.

Rund 22 km östlich des Saazkogels und raababwärts befindet sich die nächste größere römische Ansiedlung in St. Martin an der Raab, wo in den letzten Jahren punktuell in einem kaiserzeitlichen Vicus und dessen Gräberfeld Sondagegrabungen durchgeführt wurden⁹⁵.

⁸⁹ Vgl. Lippert 1999, 341 ff.

⁹⁰ Surveys durch das Bundesdenkmalamt (Ausführung Fa. ARGIS) wurden lediglich im Bereich der projektierten Umfahrung Großwilfersdorf-Altenmarkt bei Fürstenfeld im Lafnitztal durchgeführt. Die Ergebnisse sind unpubliziert.

⁹¹ Vgl. auch die Fundkarte bei Artner 1988/89, 6

Abb. 1.

⁹² Maier 1995, 23 ff.

⁹³ Siehe Artner 1988/89, Beil. Plan 3.

⁹⁴ Noch anders interpretiert bei Artner 1988/89, 53 („Grabkapellen mit Vorhallen“).

⁹⁵ Zuletzt zusammenfassend Lamm 2005, 6 ff.

Im Gegensatz zu den Vici von Gleisdorf und Saaz liegt diese Siedlung in der Talebene der Raab, wodurch auch gröbere Zerstörungen durch die permanente landwirtschaftliche Nutzung des Areals bedingt sind. Für die Eruierung der Ausdehnung der Siedlung liegen bislang keine verlässlichen Daten vor, auch schwankt die strukturelle Ansprache immer noch zwischen Villa und Vicus. Die direkt an die Siedlung anschließende Gräberstraße mit monumentalen Grabbauten und vermutlich auch mit weitgehend eingeebneten Hügelgräbern erinnert an die Situation am Saazkogel⁹⁶. Kleinere Hügelgräbergruppen sind im weiteren Umfeld des Vicus schon länger bekannt, dürften jedoch nicht im direkten Kontext damit zu sehen sein.

In den dazwischen liegenden Gebieten im Raabtal können bislang keine Hinweise auf größere Siedlungen angeführt werden, auch fehlen hier größere Hügelgräberfelder, die einen Rückschluss auf derartige Strukturen erlauben würden. Stattdessen finden sich in beachtlicher Dichte kleinere Hügelgräbergruppen, die sich vorwiegend entlang der das Raabtal begleitenden Hügelkämme konzentrieren. Das Fehlen von Grabhügeln im Talbodenbereich des Raabtals selbst ist primär auf die jahrhundertelange landwirtschaftliche Nutzung zurückzuführen und wird wohl kaum das ursprüngliche Verteilungsbild widerspiegeln. Ob in diesen Zwischenräumen mit Villen und zugehörigen landwirtschaftlichen Nutzarealen, einfachen Gehöften oder kleineren Siedlungen zu rechnen ist, muss zum gegenwärtigen Zeitpunkt offen bleiben. Neben diesen Objekten in Tal-, Talrand- oder geringer Hanglage begegnen auch Siedlungen in erhöhten Positionen, wie beispielsweise der 15 km östlich vom Saazkogel gelegene Königsberg bzw. Burgstallkogel bei Brunn/Fehring, der aufgrund des Fundes eines Altars für Iupiter Uxlemitanus immer wieder auch mit einem römerzeitlichen Heiligtum in Verbindung gebracht wird, wodurch möglicherweise auch die ansonst eher unübliche Lage auf einem Hügel erklärbar sein könnte⁹⁷. Parallelen wären im Fall der Gebäudereste unter der Laurentiuskirche am Gipfelplateau des Saazkogels gegeben, eine ähnliche Funktion wäre also möglich.

Während das Raabtal selbst als durchwegs offene und auch weitläufige Siedlungskammer betrachtet werden kann, ändert sich die geographische naturräumliche Situation in den begleitenden Hügelzügen, die äußerst kleinteilige Strukturen hervorbringen und so gänzlich andere Voraussetzungen zur Besiedlung bieten. Entsprechend den dadurch verursachten schlechteren Prospektionsmöglichkeiten nimmt die Zahl der feststellbaren Siedlungsreste hier auch rapide ab und es lässt sich das Bild der kaiserzeitlichen Besiedlung dieser Bereiche fast ausschließlich durch die zahlreichen Hügelgräbergruppen und vereinzelter -felder nachzeichnen.

Das fast vollständig erforschte, rund 7 km südlich des Raabtals gelegene Hügelgräberfeld in Kapfenstein-Köldorf mit 127 Tumuli, von denen mindestens 80 als römerzeitlich eingestuft werden können, ist zweifelsohne ebenfalls nur durch die Nähe zu einem Vicus erklärbar, zumal hier ausgesprochen reich ausgestattete und aufwändige Grabeinbauten in den Hügeln nachgewiesen sind⁹⁸. Der Vicus selbst ist bislang allerdings noch nicht lokalisiert worden. Bemerkenswert ist die Tatsache, dass sich die Belegungszeit des Hügelgräberfelds weitestgehend mit der Besiedlungsdauer des Vicus am Saazkogel deckt, sieht man von den sporadischen spätantiken Funden am Saazkogel ab. Die Nekropole von Kapfenstein weist zu den beiden Vici vom Saazkogel und von St. Martin an der Raab jeweils eine annähernd gleich große Entfernung von ca. 16 km (10 km Luftlinie) auf. Auch für das 6 km westlich gelegene Bad Gleichenberg sind mehrere römerzeitliche Fundstellen überliefert, doch war es bislang nicht möglich, diese funktionell genauer festzumachen ('Römerbrunnen'); ein Zusammenhang mit den auch heute noch genutzten Heil- und Thermalquellen ist nicht zwingend belegbar⁹⁹.

⁹⁶ Vgl. Artner 1997, 2 ff.; E. Pochmarski – M. Pochmarski-Nagele, Ausgrabungen im Bereich der Gräberstraße der römischen Siedlung von St. Martin/Raab, PAR 49/3–4, 1999, 2 ff.; E. Pochmarski – M. Pochmarski-Nagele, Ein weiterer Grabbau an der Gräberstraße der rö-

mischen Siedlung von St. Martin/Raab, PAR 50/1–2, 2000, 2 ff.

⁹⁷ Zuletzt Bauer 1997, 77 ff.

⁹⁸ Urban 1984.

⁹⁹ Vgl. Lippert 1999, 361.

Das südlich des Raabtals gelegene Hügelland ist naturräumlich in erster Linie von zahlreichen, in Nord-Süd-Richtung parallel verlaufenden, schmälere Tälern gekennzeichnet, die wiederum durch kleinere Ost-West-Achsen miteinander in Verbindung stehen. Sowohl Kapfenstein als auch Bad Gleichenberg liegen jeweils in derartigen kleinen Tälern, die nach Süden hin zur Mur entwässert werden. Folgt man diesen Tälern in südlicher Richtung, so finden sich in einer Entfernung von rund 12 km erneut größere Hügelgräberfelder bei Straden und bei Tieschen (Grössinger Tanner), sodass hier ebenfalls mit zwei Vici bzw. Agglomerationen gerechnet werden kann, die zueinander einen Abstand von knapp 7 km aufweisen. Folgt man diesem Verteilungsmuster weiter nach Süden, so wären die nächsten Vici bereits im Murfeld zu suchen, wo sich auch tatsächlich bei Hummersdorf und Dedenitz größere Hügelgräberfelder bzw. Siedlungsreste ausmachen lassen. Im Murfeld selbst scheinen sich nach Westen hin ähnliche Strukturen beobachten zu lassen, wobei zusätzlich eine gewisse Verdichtung der Hügelgräberfelder festzuhalten ist (St. Veit am Vogau, Weinburg am Saßbach, Eichfeld/Ratschendorf, Murfeld/Seibersdorf, Halbenrain).

Schwer zu beurteilen bleibt vorerst das Gebiet westlich des Saazkogels entlang der direkten Verbindung nach Flavia Solva. Hier verdichten sich zwar die Funde bzw. Fundstellen im Bereich von Kirchbach und St. Stefan im Rosental, größere Hügelgräberfelder sind jedoch nicht nachgewiesen¹⁰⁰. Intensivere Feldforschungen in dieser siedlungsgünstigen Mikroregion dürften hier jedoch eine Klärung dieser vermeintlichen Fundlücke bewirken, zumal auch rund 13 km westlich in Allerheiligen/Feiting bei Wildon das nächste ausgedehnte Hügelgräberfeld bekannt ist.

Etwas anders gelagert ist die Siedlungsstruktur nördlich des Raabtals. Rund 10 km nördlich und annähernd parallel zur Raab verlaufend liegt das Tal der Rittschein, das im Osten an der steirisch-burgenländischen Grenze in das größere, ebenfalls weitgehend parallel verlaufende Lafnitztal mündet. Zumindest zwei größere Siedlungen können in diesen Tälern vermutet werden, von denen die Siedlung bei Ottendorf an der Rittschein durch ein Hügelgräberfeld erschließbar ist, in Altenmarkt bei Fürstenfeld können durch Oberflächenfunde sowohl die Siedlung als auch zugehörige Hügelgräber (Schröttenwald) erfasst werden. Mit einer Entfernung von rund 15 km entspricht auch der Abstand zwischen der Siedlung (Vicus?) bei Ottendorf und Gleisdorf den anscheinend geläufigen Distanzen, die Strecke Gleisdorf–Altenmarkt mit knapp 25 km ist hingegen gleich lang wie die Entfernung zwischen den Vici vom Saazkogel und St. Martin an der Raab. Es ist durchaus denkbar, dass hier mit weiteren größeren Siedlungen im dazwischen liegenden Bereich (auf halbem Weg?) gerechnet werden muss, die dann bei Ilz bzw. bei Fehring anzunehmen sein dürften, doch fehlen hierfür, sieht man von den Befunden in Brunn/Fehring ab, derzeit die Belege.

Es bleibt anzumerken, dass auch aus dem Hügelland, das diese Flusstäler trennt, Funde und Fundstellen bekannt sind, wobei besonders die ausgeprägte Höhengründung auf dem Burgberg der Riegersburg zu erwähnen ist¹⁰¹.

Obwohl sich gerade in der Oststeiermark das Fehlen von systematischen Feldforschungen und Prospektionen negativ bemerkbar macht, ist dennoch eine durchwegs regelhafte Strukturierung der römischen Besiedlung postulierbar, wobei Vici bzw. größere dorffartige Siedlungen die jeweiligen Kernzellen zu bilden scheinen. Der Nachweis dieser Siedlungen ist zugegebenermaßen nicht immer unkompliziert, dennoch dürfte – basierend auf den Ergebnissen der Forschungen am Saazkogel – die Kombination Vicus und großes Hügelgräberfeld den Regelfall darstellen. Die einzelnen Vici bzw. Ansiedlungen selbst weisen Entfernungen von

¹⁰⁰ Vgl. Lippert 1999, 363 ff.

¹⁰¹ Bauer 1997, 79 ff.

rund 10–20 km untereinander auf, wobei gerade bei größeren Distanzen die Zwischenräume noch genauer beleuchtet gehören. Ob diese Distanzen auch die Größen der jeweils zugehörigen Territorien einzelner Siedlungen widerspiegeln, sei vorerst dahingestellt. Kaum beurteilbar und deshalb nicht weiter ausgeführt sind die zahlreichen dazwischen liegenden Fundstellen, die strukturell kaum besser erfasst sind. Der im Folgenden kompilierte Fundstellenkatalog vermag abschließend einen guten und ausreichenden Überblick über diese Befunde zu geben (Abb. 76).

Zusammenstellung der kaiserzeitlichen Fundstellen im Umfeld des Vicus am Saazkogel (Bezirk Feldbach, Fürstenfeld und Weiz):

- Fundort 1** Katastralgemeinde: **Altenmarkt bei Fürstenfeld**. Gemeinde: Altenmarkt bei Fürstenfeld. Verwaltungsbezirk: Fürstenfeld.
Flurbezeichnung: Schröttenwald.
Fundart: Hügelgräber.
Literatur: Kojalek 1980; Fuchs 1993a; Kramer 1981, 152 Nr. 121/5.
Flurbezeichnung: Schröttenwald, Steinfeld.
Fundart: Siedlung.
Literatur: Fuchs 1993a.
Flurbezeichnung: Jägerkreuz.
Fundart: Hügelgräber.
Literatur: Kojalek 1980; Fuchs 1993a; Kramer 1981, 152 Nr. 121/4.
Flurbezeichnung: Speltenbach.
Fundart: Hügelgräber.
Literatur: Kramer 1981, 152 Nr. 121/6.
Flurbezeichnung: –.
Fundart: Grabinschrift.
Literatur: RIST 78, Nr. 20; Lippert 1999, 361 Nr. 3.
- Fundort 2** Katastralgemeinde: **Aschau**. Gemeinde: St. Stefan im Rosental. Verwaltungsbezirk: Feldbach.
Flurbezeichnung: Samtleiten.
Fundart: Hügelgräber.
Literatur: Kramer 1984, 466; Lippert 1999, 367 Nr. 134; Kojalek 1983.
- Fundort 3** Katastralgemeinde: **Axbach**. Gemeinde: Paldau. Verwaltungsbezirk: Feldbach.
Flurbezeichnung: Puchberg.
Fundart: Hügelgräber?
Literatur: Kramer 1984, 466; Urban 1984, 237 St 77; Lippert 1999, 365 Nr. 100; Kojalek 1988; Kramer 1981, 144 Nr. 102/7.
- Fundort 4** Katastralgemeinde: **Bad Gleichenberg**. Gemeinde: Bad Gleichenberg. Verwaltungsbezirk: Feldbach.
Flurbezeichnung: –.
Fundart: Hügelgräber. Siedlung. Streufunde.
Literatur: Modrijan 1965, 154; Kramer 1984, 463 f.; Urban 1984, 236 St 62; Lippert 1999, 361 Nr. 8–9; Kojalek 1980.
- Fundort 5** Katastralgemeinde: **Breitenfeld**. Gemeinde: Breitenfeld an der Rittschein. Verwaltungsbezirk: Feldbach.
Flurbezeichnung: Kaisersberg.
Fundart: Hügelgräber?
Literatur: Kojalek 1991.
- Fundort 6** Katastralgemeinde: **Feldbach**. Gemeinde: Feldbach. Verwaltungsbezirk: Feldbach.
Flurbezeichnung: Schloss Hainfeld.
Fundart: Hügelgrab.
Literatur: Kramer 1984, 464; Lippert 1999, 362 Nr. 25.
Flurbezeichnung: Dammwald.
Fundart: Hügelgräber.
Literatur: Kramer 1984, 464; Lippert 1999, 362 Nr. 23; Kojalek 1981; G. Tiefengraber – S. Lehner, Fehring, FÖ 42, 2003 (2004) 736.

Flurbezeichnung: –.

Fundart: Münzfund. Grab, Sarkophag. Hügelgräber.

Literatur: Pichler 1879, 11; Kramer 1984, 463 f.; Lippert 1999, 362 Nr. 25.

Fundort 7 Katastralgemeinde: **Fehring**. Gemeinde: Fehring. Verwaltungsbezirk: Feldbach.

Flurbezeichnung: –.

Fundart: Münzfund.

Literatur: Pichler 1879, 11; Kramer 1984, 463; Lippert 1999, 361 Nr. 22.

Fundort 8 Katastralgemeinde: **Flöcking**. Gemeinde: Ludersdorf-Wilfersdorf. Verwaltungsbezirk: Weiz.

Flurbezeichnung: Lushölzer.

Fundart: Hügelgräber.

Literatur: Urban 1984, 269 St 243; Kramer 1981, 284, 522/1.

Fundort 9 Katastralgemeinde: **Gleichenberg Dorf**. Gemeinde: Bad Gleichenberg. Verwaltungsbezirk: Feldbach.

Flurbezeichnung: Schmalies, Leberwald.

Fundart: Hügelgräber.

Literatur: Modrijan 1965, 154; Kramer 1984, 464; Urban 1984, 236 St 62; Lippert 1999, 361 Nr. 8.

Flurbezeichnung: –.

Fundart: Grabinschrift.

Literatur: RIST 74 Nr. 19; Lippert 1999, 361 Nr. 9.

Fundort 10 Katastralgemeinde: **Gleisdorf**. Gemeinde: Gleisdorf. Verwaltungsbezirk: Weiz.

Flurbezeichnung: –.

Fundart: Siedlung. Gräberfeld. Hügelgräber (?). Vier Grabinschriften.

Literatur: Lorenz – Maier – Lehner 1995; W. Modrijan, Aus Gleisdorfs Ur- und Frühgeschichte, in: Gleisdorf 1229–1978 (1979); Urban 1984, 269 St 241; Kramer 1981, 281, 508/2; RIST 378 f. Nr. 321; 378 Nr. 320; 381 Nr. 323; 380 f. Nr. 322.

Fundort 11 Katastralgemeinde: **Gniebing**. Gemeinde: Gniebing-Weißbach. Verwaltungsbezirk: Feldbach.

Flurbezeichnung: Schwarzwald.

Fundart: Hügelgräber.

Literatur: Kramer 1984, 464; Lippert 1999, 362 Nr. 33; Kojalek 1981, 1983.

Flurbezeichnung: Hofwald.

Fundart: Hügelgräber.

Literatur: Kramer 1984, 464; Lippert 1999, 362 Nr. 34; Kojalek 1990.

Fundort 12 Katastralgemeinde: **Goggitsch**. Gemeinde: St. Margarethen an der Raab. Verwaltungsbezirk: Weiz.

Flurbezeichnung: Mareinberg.

Fundart: Streufunde.

Literatur: BDAST-FA, TAG-LOOP II 2004.

Fundort 13 Katastralgemeinde: **Großwilfersdorf**. Gemeinde: Großwilfersdorf. Verwaltungsbezirk: Fürstenfeld.

Flurbezeichnung: Neufeld.

Fundart: Hügelgräber. Streufunde.

Literatur: Fuchs 1993a.

Flurbezeichnung: Schröttenwald.

Fundart: Hügelgräber.

Literatur: Fuchs 1993a.

Flurbezeichnung: –.

Fundart: Hügelgräber.

Literatur: Fuchs 1993a.

Fundort 14 Katastralgemeinde: **Gutendorf**. Gemeinde: Kapfenstein. Verwaltungsbezirk: Feldbach.

Flurbezeichnung: –.

Fundart: Hügelgrab.

Literatur: Kramer 1984, 465; Lippert 1999, 363 Nr. 60; Kojalek 1981.

Fundort 15 Katastralgemeinde: **Habegg**. Gemeinde: Hatzendorf. Verwaltungsbezirk: Feldbach.

Flurbezeichnung: –.

Fundart: Hügelgräber.

Literatur: Kojalek 1980; Kramer 1981, 137 Nr. 84/2.

- Fundort 16** Katastralgemeinde: **Hainersdorf**. Gemeinde: Hainersdorf. Verwaltungsbezirk: Fürstenfeld.
Flurbezeichnung: –.
Fundart: Grabinschrift.
Literatur: RIST 78 f. Nr. 21.
- Fundort 17** Katastralgemeinde: **Hartl**. Gemeinde: Übersbach. Verwaltungsbezirk: Fürstenfeld.
Flurbezeichnung: –.
Fundart: Hügelgräber.
Literatur: Pichler 1879, 18; Kramer 1981, 158 Nr. 134/3; Kojalek 1981.
- Fundort 18** Katastralgemeinde: **Hatzendorf**. Gemeinde: Hatzendorf. Verwaltungsbezirk: Feldbach.
Flurbezeichnung: Dirling.
Fundart: Hügelgräber.
Literatur: Kojalek 1980; Kramer 1981, 137 Nr. 84/1.
- Fundort 19** Katastralgemeinde: **Höflach**. Gemeinde: Fehring. Verwaltungsbezirk: Feldbach.
Flurbezeichnung: Neuberg.
Fundart: Hügelgräber.
Literatur: Kojalek 1987.
Flurbezeichnung: Hartl.
Fundart: Hügelgrab.
Literatur: Kramer 1984, 464; Lippert 1999, 362 Nr. 24; Kojalek 1987.
- Fundort 20** Katastralgemeinde: **Johnsdorf**. Gemeinde: Johnsdorf-Brunn. Verwaltungsbezirk: Feldbach.
Flurbezeichnung: Königsberg.
Literatur: Heiligtum.
Literatur: Modrijan 1965, 152; RIST 73 Nr. 18; Kramer 1984, 463; P. Scherrer, Grabbau – Wohnbau – Turmburg – Praetorium, BerMatÖAI 4 (1992) 40; Lippert 1999, 363 Nr. 59.
- Fundort 21** Katastralgemeinde: **Kapfenstein**. Gemeinde: Kapfenstein. Verwaltungsbezirk: Feldbach.
Flurbezeichnung: Kapfenstein.
Fundart: Hügelgräber.
Literatur: Kramer 1981, 139 Nr. 88/5.
- Fundort 22** Katastralgemeinde: **Kirchbach**. Gemeinde: Kirchbach in Steiermark. Verwaltungsbezirk: Feldbach.
Flurbezeichnung: Breitberg.
Fundart: Hügelgräber.
Literatur: Kojalek 1980.
Flurbezeichnung: Ziprein, Breinberg.
Fundart: Hügelgräber.
Literatur: Kramer 1984, 465; Urban 1984, 236 St 69; Lippert 1999, 363 Nr. 63; Kojalek 1983.
Flurbezeichnung: bei Schloss Waldegg.
Fundart: Münzfund.
Literatur: Pichler 1879, 57; Kramer 1984, 463; Lippert 1999, 363 Nr. 63.
- Fundort 23** Katastralgemeinde: **Kirchberg an der Raab**. Gemeinde: Kirchberg an der Raab. Verwaltungsbezirk: Feldbach.
Flurbezeichnung: Berndorf-Urlas.
Fundart: Hügelgräber.
Literatur: Kramer 1984, 465; Köhldorfer – Grabner 1998, 46; Lippert 1999, 364 Nr. 64; Kojalek 1983; Kramer 1981, 140 Nr. 90/8.
Flurbezeichnung: Berndorf, Leberfeld.
Fundart: Hügelgräber.
Literatur: Kramer 1984, 465; Köhldorfer – Grabner 1998, 45; Lippert 1999, 364 Nr. 65; Urban 1984, 236 St 70.
Flurbezeichnung: Hofwald.
Fundart: Hügelgrab.
Literatur: Kramer 1984, 465; Köhldorfer – Grabner 1998, 45; Lippert 1999, 364 Nr. 64; Kojalek 1984.
Flurbezeichnung: Ober-Kirchberg.
Fundart: Hügelgräber.
Literatur: Kramer 1984, 465; Lippert 1999, 364 Nr. 64; Kramer 1981, 140 Nr. 90/7.

- Flurbezeichnung: Langwald.
Fundart: Hügelgräber.
Literatur: Kramer 1984, 465; Köhldorfer – Grabner 1998, 45; Lippert 1999, 363 Nr. 64; Kramer 1981, 140 Nr. 90/6.
 Flurbezeichnung: –.
- Fundart:** Siedlung, Villa.
Literatur: Kramer 1990b, 27; Köhldorfer – Grabner 1998, 41; Lippert 1999, 364 Nr. 65.
- Fundort 24** Katastralgemeinde: **Kohlberg**. Gemeinde: Kohlberg. Verwaltungsbezirk: Feldbach.
 Flurbezeichnung: Hofwald.
Fundart: Hügelgräber.
Literatur: Kramer 1984, 465; Lippert 1999, 364 Nr. 68; Kojalek 1983, E. Pochmarski, Eine neue Gruppe norisch - pan-
 nonischer Hügelgräber aus Kohlberg, Feldbacher Beiträge zur Heimatkunde, Südoststeiermark (1994).
- Fundort 25** Katastralgemeinde: **Kohlgraben**. Gemeinde: Söchau. Verwaltungsbezirk: Fürstenfeld.
 Flurbezeichnung: –.
Fundart: Hügelgräber.
Literatur: Kramer 1981, 157 Nr. 132/1; Lippert 1999, 368 Nr. 143.
- Fundort 26** Katastralgemeinde: **Kölldorf**. Gemeinde: Kapfenstein. Verwaltungsbezirk: Feldbach.
 Flurbezeichnung: Kapfenstein.
Fundart: Hügelgräber.
Literatur: Kramer 1984, 465; Urban 1984; Lippert 1999, 363 Nr. 61.
- Fundort 27** Katastralgemeinde: **Krennach**. Gemeinde: Riegersburg. Verwaltungsbezirk: Feldbach.
 Flurbezeichnung: –.
Fundart: Hügelgräber.
Literatur: Kramer 1984, 466; Urban 1984, 238 St 82; Lippert 1999, 366 Nr. 117; Kramer 1981, 148 Nr. 111/14.
- Fundort 28** Katastralgemeinde: **Krottendorf**. Gemeinde: St. Stefan im Rosental. Verwaltungsbezirk: Feldbach.
 Flurbezeichnung: Glatzberg.
Fundart: Hügelgräber.
Literatur: Kramer 1984, 466; Lippert 1999, 367 Nr. 135; Kojalek 1983; Kramer 1981, 150 Nr. 113/4–5.
- Fundort 29** Katastralgemeinde: **Leitersdorf**. Gemeinde: Leitersdorf im Raabtal. Verwaltungsbezirk: Feldbach.
 Flurbezeichnung: Steinberg (s. auch Mühldorf).
Fundart: Hügelgräber.
Literatur: Kramer 1984, 466; Lippert 1999, 365 Nr. 87; Kojalek 1983; Fürnholzer 1998, 173–178.
 Flurbezeichnung: Hainfelder Schlosswald.
Fundart: Hügelgräber.
Literatur: Kramer 1984, 465; Urban 1984, 237 St 71; Lippert 1999, 364 Nr. 73; Kramer 1981, 141 Nr. 94; Kojalek
 1983.
 Flurbezeichnung: Hainfeld.
Fundart: Münzfund.
Literatur: Pichler 1879, 17; Kramer 1984, 464; Lippert 1999, 364 Nr. 73.
- Fundort 30** Katastralgemeinde: **Lödersdorf**. Gemeinde: Lödersdorf. Verwaltungsbezirk: Feldbach.
 Flurbezeichnung: Unterkornbach.
Fundart: Hügelgräber.
Literatur: Kramer 1984, 465; Urban 1984, 237 St 73; Lippert 1999, 364 Nr. 74; Kramer 1981, 142 Nr. 99/2; Kojalek
 1983.
 Flurbezeichnung: Hofwald, Frauenkögel.
Fundart: Hügelgräber.
Literatur: Kramer 1984, 465; Lippert 1999, 364 Nr. 74; Kramer 1981, 141 Nr. 95/2.
- Fundort 31** Katastralgemeinde: **Ludersdorf**. Gemeinde: Ludersdorf-Wilfersdorf. Verwaltungsbezirk: Weiz.
 Flurbezeichnung: Schloss Freiberg.
Fundart: Grabinschrift.
Literatur: RIST 381–383 Nr. 324.
 Flurbezeichnung: –.
Fundart: Streufunde.
Literatur: BDASt-FA, TAG-LOOP II 2004.

- Fundort 32** Katastralgemeinde: **Mahrensdorf**. Gemeinde: Kapfenstein. Verwaltungsbezirk: Feldbach.
Flurbezeichnung: Hofleiten.
Fundart: Hügelgräber.
Literatur: Kramer 1984, 465; Urban 1984, 236 St 68A; Lippert 1999, 363 Nr. 62; Kojalek 1980.
Flurbezeichnung: –.
Fundart: Hügelgrab.
Literatur: Kramer 1984, 465; Lippert 1999, 363 Nr. 62; Kojalek 1981.
- Fundort 33** Katastralgemeinde: **Maierdorf**. Gemeinde: Maierdorf. Verwaltungsbezirk: Feldbach.
Flurbezeichnung: Setzpeter.
Fundart: Hügelgräber?
Literatur: Kramer 1984, 465; Urban 1984, 237 St 74; Lippert 1999, 364 Nr. 78; Kojalek 1980.
- Fundort 34** Katastralgemeinde: Mitterfladnitz. Gemeinde: Eichkögl. Verwaltungsbezirk: Feldbach.
Flurbezeichnung: Karreith.
Fundart: Hügelgräber.
Literatur: Kojalek 1981.
- Fundort 35** Katastralgemeinde: **Mühldorf**. Gemeinde: Mühldorf bei Feldbach. Verwaltungsbezirk: Feldbach.
Flurbezeichnung: Steinberg (s. auch Leitersdorf).
Fundart: Hügelgräber.
Literatur: Kramer 1984, 466; Fűrnholzer 1998, 173 ff.; Lippert 1999, 365 Nr. 87; Kramer 1981, 142 Nr. 99/2; Kojalek 1983.
Flurbezeichnung: –.
Fundart: Hügelgrab.
Literatur: Kramer 1984, 466; Lippert 1999, 365 Nr. 86; Kojalek 1981.
- Fundort 36** Katastralgemeinde: **Oberdorf**. Gemeinde: Oberdorf am Hohegg. Verwaltungsbezirk: Feldbach.
Flurbezeichnung: Mehlteuer.
Fundart: Hügelgrab.
Literatur: Köhldorfer – Grabner 1998, 46; Lippert 1999, 365 Nr. 94; Kojalek 1983.
Flurbezeichnung: –.
Fundart: Hügelgräber.
Literatur: Kramer 1984, 465; Köhldorfer – Grabner 1998, 46; Lippert 1999, 365 Nr. 94.
- Fundort 37** Katastralgemeinde: **Obergroßbau**. Gemeinde: Sinabelkirchen. Verwaltungsbezirk: Weiz.
Flurbezeichnung: –.
Fundart: Streufunde.
Literatur: BDAST-FA, TAG-LOOP II 2004.
- Fundort 38** Katastralgemeinde: **Obgrün**. Gemeinde: Hainersdorf. Verwaltungsbezirk: Fürstenfeld.
Flurbezeichnung: Haidriegelwald I.
Fundart: Hügelgräber.
Literatur: Kramer 1981, 155 Nr. 127/2; Kojalek 1980.
Flurbezeichnung: Haidriegelwald II.
Fundart: Hügelgräber.
Literatur: Kramer 1981, 155 Nr. 127/3; Kojalek 1980.
Flurbezeichnung: Fürstenwald.
Fundart: Hügelgräber.
Literatur: Kojalek 1983.
- Fundort 39** Katastralgemeinde: **Oedt**. Gemeinde: Mühldorf bei Feldbach. Verwaltungsbezirk: Feldbach.
Flurbezeichnung: Burgfried.
Fundart: Grabhügel?
Literatur: Kramer 1984, 465; Urban 1984, 237 St 75; Lippert 1999, 365 Nr. 88; Kojalek 1987; Kramer 1981, 142 Nr. 99/1; W. Schmid, Oedt, FÖ 1, 1925– 1929 (1931) 74.
Flurbezeichnung: In Leber.
Fundart: abgekommene Grabhügel.
Literatur: Kojalek 1981.

- Fundort 40** Katastralgemeinde: **Ottendorf**. Gemeinde: Ottendorf an der Rittschein. Verwaltungsbezirk: Fürstenfeld.
Flurbezeichnung: Hardwald.
Fundart: Hügelgräber.
Literatur: Kramer 1981, 156 f. Nr. 131/1; Urban 1984, 241 St 95; Kramer 1990a; Lippert 1999, 365 Nr. 98.
Flurbezeichnung: Raidlwald.
Fundart: Hügelgräber.
Literatur: Kramer 1981, 157 Nr. 121/2; Lippert 1999, 365 Nr. 98.
Flurbezeichnung: –.
Fundart: Siedlung, Villa.
Literatur: Kramer 1990a, 29; Lippert 1999, 365 Nr. 98; Kojalek 1983.
- Fundort 41** Katastralgemeinde: **Paldau**. Gemeinde: Paldau. Verwaltungsbezirk: Feldbach.
Flurbezeichnung: Gemeindewald.
Fundart: Hügelgräber.
Literatur: Kramer 1984, 466; Lippert 1999, 365 Nr. 101; Kojalek 1983.
Flurbezeichnung: Boretwald.
Fundart: Hügelgräber.
Literatur: Kojalek 1983.
- Fundort 42** Katastralgemeinde: **Perlsdorf**. Gemeinde: Perlsdorf. Verwaltungsbezirk: Feldbach.
Flurbezeichnung: Jaaberg.
Fundart: Hügelgräber.
Literatur: Kojalek 1987; Lippert 1999, 366 Nr. 103.
Flurbezeichnung: Schablaun.
Fundart: Hügelgräber.
Literatur: Kojalek 1987; Lippert 1999, 366 Nr. 103.
Flurbezeichnung: –.
Fundart: Hügelgräber.
Literatur: Kramer 1984, 466; Urban 1984, 238 St 79; Lippert 1999, 366 Nr. 103; Kramer 1981, 144 f. Nr. 103.
- Fundort 43** Katastralgemeinde: **Pertlstein**. Gemeinde: Pertlstein. Verwaltungsbezirk: Feldbach.
Flurbezeichnung: Fuchswald.
Fundart: Siedlung.
Literatur: Kramer 1984, 464; Lippert 1999, 366 Nr. 104.
Flurbezeichnung: Fuchswald.
Fundart: Hügelgräber.
Literatur: Kramer 1984, 466; Urban 1984, 238 St 80; Lippert 1999, 366 Nr. 104; Kramer 1981, 145 Nr. 104.
Flurbezeichnung: –.
Fundart: Flachgräber, Münzfund.
Literatur: Kramer 1984, 464; Lippert 1999, 366 Nr. 104.
- Fundort 44** Katastralgemeinde: **Pircha**. Gemeinde: Ludersdorf-Wilfersdorf. Verwaltungsbezirk: Weiz.
Flurbezeichnung: Friedlhofäcker.
Fundart: Streufunde.
Literatur: ALAF (Archäologische Landesaufnahme und digitaler Fundkataster für Steiermark, ungedr. Bundesdenkmalamt Landeskonservatorat für Steiermark) Kat. Nr.: 697-219/1.
Flurbezeichnung: vlg. Schloßbauer.
Fundart: Siedlung.
Literatur: BDAST-FA, Bericht 1990.
Flurbezeichnung: –.
Fundart: Hügelgräber.
Literatur: Kramer 1981, 284 Nr. 522/2.
- Fundort 45** Katastralgemeinde: **Radersdorf**. Gemeinde: Großwilfersdorf. Verwaltungsbezirk: Fürstenfeld.
Flurbezeichnung: –.
Fundart: Hügelgrab.
Literatur: Kramer 1981, 154 Nr. 126/1; Lippert 1999, 363 Nr. 43; Kojalek 1980.

- Fundort 46** Katastralgemeinde: **Riegersburg**. Gemeinde: Riegersburg. Verwaltungsbezirk: Feldbach.
Flurbezeichnung: –.
Fundart: Hügelgräber. Siedlung.
Literatur: Modrijan 1965, 159; Bauer 1997, 79 ff.; Lippert 1999, 366 Nr. 118; Kramer 1984, 466; Kramer 1981, 148 Nr. 111/13.
- Fundort 47** Katastralgemeinde: **Riegersdorf**. Gemeinde: Hainersdorf. Verwaltungsbezirk: Fürstenfeld.
Flurbezeichnung: Maierbach.
Fundart: Hügelgräber.
Literatur: Fuchs 1993a; Kramer 1981, 155 Nr. 127/1.
Flurbezeichnung: Schuhwald.
Fundart: Hügelgräber.
Literatur: Kramer 1981, 155 Nr. 127/4; M. Grubinger, Römerzeitliche Grabhügelfelder im mittleren Feistritztal (Steiermark), SchSt 2, 1953, 97.
Flurbezeichnung: –.
Fundart: Zwei Hügelgräber. Streufunde.
Literatur: Fuchs 1993a; Kojalek 1979.
- Fundort 48** Katastralgemeinde: **Rittschein**. Gemeinde: Übersbach. Verwaltungsbezirk: Fürstenfeld.
Flurbezeichnung: Hofwald.
Fundart: Hügelgräber.
Literatur: Lippert 1999, 369 Nr. 160; Kojalek 1987.
- Fundort 49** Katastralgemeinde: **Saaz**. Gemeinde: Paldau. Verwaltungsbezirk: Feldbach.
Flurbezeichnung: Saazkogel.
Fundart: Hügelgräber. Grabbauten. Siedlung.
Literatur: Kramer 1984, 464, 466; Urban 1984, 237 St 78; Lippert 1999, 365 Nr. 102; Kramer 1981, 144 Nr. 102/9; Artner 2003; Tiefengraber 2003; Tiefengraber – Lippert 2004.
Flurbezeichnung: Saazkogel, Oberstorcha.
Fundart: Hügelgräber.
Literatur: Kramer 1984, 466; Urban 1984, 237 St 78; Lippert 1999, 366 Nr. 102; Kramer 1981, 144 Nr. 102/10.
Flurbezeichnung: Urschlgraben.
Fundart: Hügelgrab.
Literatur: Kramer 1984, 466; Lippert 1999, 366 Nr. 102; Kramer 1981, 144 Nr. 102/11.
Flurbezeichnung: –.
Fundart: Hügelgrab.
Literatur: Kramer 1984, 466; Lippert 1999, 365 Nr. 102; Kramer 1981, 144 Nr. 102/8.
- Fundort 50** Katastralgemeinde: **Schweinz**. Gemeinde: Riegersburg. Verwaltungsbezirk: Feldbach.
Flurbezeichnung: –.
Fundart: Hügelgräber?
Literatur: Kramer 1984, 466; Lippert 1999, 366 Nr. 119.
- Fundort 51** Katastralgemeinde: **Schiefer**. Gemeinde: Fehring. Verwaltungsbezirk: Feldbach.
Flurbezeichnung: –.
Fundart: Siedlung.
Literatur: Kramer 1984, 463; Lippert 1999, 361 Nr. 22; Kojalek 1981.
- Fundort 52** Katastralgemeinde: **St. Margarethen an der Raab**. Gemeinde: St. Margarethen an der Raab. Verwaltungsbezirk: Weiz.
Flurbezeichnung: Feldwälder.
Fundart: Hügelgräber.
Literatur: Kramer 1981, 278 Nr. 541/6; Urban 1984, 270 St 246; Kramer 1990b, 28; Lippert 1999, 367 Nr. 124.
Flurbezeichnung: Entschendorfgraben.
Fundart: Hügelgräber.
Literatur: Lippert 1999, 367 Nr. 123; Kramer 1990b, 28 f.; Urban 1984, 270 St 246.
Flurbezeichnung: Kaplanberg.
Fundart: Streufunde.
Literatur: BDAST-FA, TAG-LOOP II 2004.

- Flurbezeichnung: –.
- Fundart:** Streufunde.
- Literatur:** BDAST-FA, TAG-LOOP II 2004.
- Fundort 53** Katastralgemeinde: **St. Stefan im Rosental**. Gemeinde: St. Stefan im Rosental. Verwaltungsbezirk: Feldbach.
Flurbezeichnung: Maiersdorf.
- Fundart:** Hügelgräber?
- Literatur:** Kramer 1984, 466; Lippert 1999, 367 Nr. 136; Kojalek 1988.
Flurbezeichnung: Lichendorf.
- Fundart:** Hügelgrab.
- Literatur:** Kramer 1984, 466; Lippert 1999, 367 Nr. 136; Kramer 1981, 150 Nr. 113/6.
Flurbezeichnung: –.
- Fundart:** Hügelgräber. Münzfund.
- Literatur:** Pichler 1879, 49; Kramer 1984, 464; Lippert 1999, 367 Nr. 133; Kramer 1981, 149 Nr. 113/3.
- Fundort 54** Katastralgemeinde: **Stadtbergen**. Gemeinde: Altenmarkt bei Fürstenfeld. Verwaltungsbezirk: Fürstenfeld.
Flurbezeichnung: Buchwald.
- Fundart:** Hügelgräber.
- Literatur:** Kramer 1981, 153 Nr. 121/7; Urban 1984, 239 St 85; Lippert 1999, 361 Nr. 4; Kojalek 1980.
- Fundort 55** Katastralgemeinde: **Stang**. Gemeinde: Hatzendorf. Verwaltungsbezirk: Feldbach.
Flurbezeichnung: Kogelfeld.
- Fundart:** Einzelfund?
- Literatur:** Kojalek 1992.
- Fundort 56** Katastralgemeinde: **Studenzen**. Gemeinde: Studenzen. Verwaltungsbezirk: Feldbach.
Flurbezeichnung: Aufeld.
- Fundart:** Hügelgräber.
- Literatur:** Kojalek 1989.
Flurbezeichnung: Graberberg.
- Fundart:** Hügelgräber.
- Literatur:** Kramer 1984, 466; Urban 1984, 238 St 83; Köhldorfer – Grabner 1998, 46; Lippert 1999, 368 Nr. 152; Kramer 1981, 150 Nr. 116.
- Fundort 57** Katastralgemeinde: **Sulz**. Gemeinde: St. Margarethen an der Raab. Verwaltungsbezirk: Weiz.
Flurbezeichnung: –.
- Fundart:** Hügelgräber.
- Literatur:** Tagespost, 27.04.1928; Kramer 1981, 288 Nr. 541/7; Lippert 1999, 367 Nr. 125.
- Fundort 58** Katastralgemeinde: **Takern II**. Gemeinde: St. Margarethen an der Raab. Verwaltungsbezirk: Weiz.
Flurbezeichnung: Blumental.
- Fundart:** Hügelgräber.
- Literatur:** Kramer 1981, 287 Nr. 541/6; Kramer 1990b, 28.
Flurbezeichnung: Blumentalbach.
- Fundart:** Streufunde.
- Literatur:** BDAST-FA, TAG-LOOP II 2004.
Flurbezeichnung: –.
- Fundart:** Hügelgräber?
- Literatur:** Kramer 1981, 288 Nr. 541/8; Urban 1984, 270 St 247; Lippert 1999, 367 Nr. 126.
- Fundort 59** Katastralgemeinde: **Tiefernitz**. Gemeinde: Oberdorf am Hohegg. Verwaltungsbezirk: Feldbach.
Flurbezeichnung: Boretwald.
- Fundart:** Hügelgräber?
- Literatur:** Kramer 1984, 465; Köhldorfer – Grabner 1998, 46; Lippert 1999, 365 Nr. 95; Kojalek 1984.
Flurbezeichnung: Krichler-Kogel.
- Fundart:** Hügelgrab.
- Literatur:** Kramer 1984, 465; Köhldorfer – Grabner 1998, 45; Lippert 1999, 365 Nr. 95; Kojalek 1984.

- Fundort 60** Katastralgemeinde: Walkersdorf. Gemeinde: Ottendorf an der Rittschein. Verwaltungsbezirk: Fürstentfeld.
Flurbezeichnung: Reischbachwald.
Fundart: Hügelgräber.
Literatur: Kojalek 1983; Lippert 1999, 365 Nr. 99.
Flurbezeichnung: Silberwald.
- Fundort 61** Katastralgemeinde: Wetzawinkel. Gemeinde: Hofstätten an der Raab. Verwaltungsbezirk: Weiz.
Flurbezeichnung: –.
Fundart: Streufunde.
Literatur: BDASt-FA, TAG-LOOP II 2004.
- Fundort 62** Katastralgemeinde: Wetzelsdorf. Gemeinde: Jagerberg. Verwaltungsbezirk: Feldbach.
Flurbezeichnung: Ungerdorfer Wald.
Fundart: Hügelgräber.
Literatur: Kojalek 1980; Kramer 1981, 138 Nr. 86/3
Flurbezeichnung: Mitterbachwald.
- Fundort 63** Katastralgemeinde: Wörth. Gemeinde: Kirchberg an der Raab. Verwaltungsbezirk: Weiz.
Flurbezeichnung: Jungberg.
Fundart: Hügelgräber.
Literatur: Köhldorfer – Grabner 1998, 46; Lippert 1999, 364 Nr. 66.
- Fundort 64** Katastralgemeinde: Ziegenberg. Gemeinde: Ottendorf an der Rittschein. Verwaltungsbezirk: Fürstentfeld.
Flurbezeichnung: Ziegenbachwald.
Fundart: Hügelgrab.
Literatur: Kramer 1981, 157 Nr. 131/3; Kojalek 1980.

S. LEHNER – G. TIEFENGRABER



Abb. 76: Kartierung römischer Befunde im Raabtal, Südostnoricum.

II. Typochronologische und chorologische Analyse
der archäologischen Funde aus
den Grabungen Saaz 2002–2005

Stefan GROH – Helga SEDLMAYER – Georg TIEFENGRABER

unter Mitarbeit von

Susanne LEHNER – Ursula SCHACHINGER



A. Die römertzeitlichen Fundmünzen des Vicus auf dem Saazkogel

I. KATALOG DER FUNDMÜNZEN AUS SAAZ (Taf. 32)

Anordnung des Katalogs:

Laufnummer: Ein Stern bedeutet, dass das Stück abgebildet ist; Konkordanznummer zu FMRÖ VI.

LF-Nr.	Konkor- danz	FNr.	Nominale Datierung	Münz- stätte	Zitat	Stempel- stellung	Gewicht	Besonder- heit
Rom								
Republik								
1*	N1	127	D	-69	Rom Cra 406/1	3	3,30	
M. Antonius								
2*	90	97	D	-32/-31	Wms Cra 544/14	6	3,02	
Claudius I. (41/54)								
3*	-	137	As	41/54	Rom RIC ² 95	6	10,11	
Vespasianus (69/79)								
4*	384	41/2000	As	69/70	Tar RIC 387	5	8,17	
Vespasianus für Domitianus								
5*	-	141	As	69/81	Rom RIC ?	-	7,64	
Vespasianus oder Titus								
6	440	34	As	69/81	Rom RIC ?	1	6,35	
Domitianus (81/96)								
7	465	8	S	85	Rom RIC 257	-	-	
8	528	67/1	Dp	85/96	Rom RIC ?	6	8,32	
Vespasianus für Domitianus, Titus für Domitianus oder Domitianus								
9	568	24/2002	Dp/As	73/96	Rom RIC ?	-	4,50	
Traianus (98/117)								
10	716	3	Dp/As	103/111	Rom RIC 481 od. 479 (Büste?)	5	15,45	
11*	N2	101	As	98/117	Rom RIC ?	-	9,14	
12	-	140	As	98/117	Rom RIC ?	-	8,26	
Hadrianus (117/138)								
13	902	10	S	119	Rom RIC 561a; P 1	-	-	
14	915	49	Dp	134/138	Rom RIC 580 (Büste?)	6	12,14	
15	937	46	S	125/128	Rom RIC 632; P 1	6	22,76	
16	1046	68/2	S	134/138	Rom RIC 782(d) oder (e)	11	15,64	
17	1058	38	As	134/138	Rom RIC 812(d)	6	13,63	
18	1121	53	Dp	117/138	Rom RIC ?	7	6,43	
19	1128	65	As	117/138	Rom RIC ?	7	5,63	
Hadrianus?								
20	N3	111	As	117/138	Rom RIC ?	-	5,40	
21	N4	121	As	117/138	Rom RIC ?	-	4,42	frgt., Rand- ausbruch
Traianus oder Hadrianus								
22	1220	35	S	102/138	Rom RIC 446 od. 967	6	21,42	
Antoninus Pius (138/161)								
23	1273	-	S	139	Rom RIC 535 od. 545A	12	-	
24	1282	60/2	S	139	Rom RIC 582	6	20,09	
25	1297	51	S	140/144	Rom RIC 638(a)	6	15,60	
26	1312	43	Dp	140/144	Rom RIC 670?	3	3,82	
27	1335	13	As	143/144	Rom RIC 737	12	14,31	
28*	-	138	S	145/161	Rom RIC 778	10	16,57	
29	1413	129/2	Dp	145/161	Rom RIC 811 od. 990	11	11,62	
30*	1417	42/2000	Dp	157/158	Rom RIC 993	5	5,76	
31*	-	139	Dp	138/161	Rom RIC ?	-	6,32	
32	1473	60/3	As	138/161	Rom RIC ?	-	8,46	
33*	N5	102	As	138/161	Rom RIC ?	6	10,72	
34	1486	56	Dp/As	138/161	Rom? RIC ?	-	8,81	

Lf-Nr.	Konkor- danz	FNr.	Nominale Datierung	Münz- stätte	Zitat	Stempel- stellung	Gewicht	Besonder- heit	
Antoninus Pius für Faustina I.									
35	1494	55	As	138/141	Rom	RIC 1159	7	5,18	
Antoninus Pius für Diva Faustina I.									
36	1561	129/1	Dp/As	141/161	Rom	RIC 1169b	11	6,68	
Antoninus Pius für Marcus Aurelius									
37	1622	-	S	152/153	Rom	RIC 1309(a)	4	-	
38*	1635	40/2000	Dp/As	145	Rom	RIC - ; P 1 Vf. Typ (... AVRELIVS CAE-SAR AVG PII F, TR POT-COS II, Fides st. I.)	12	8,40	
39	1636	75/1	Dp/As	140/161	Rom	RIC ?	-	4,66	
Antoninus Pius für Faustina II.									
40	1649	76/1	D	147/161	Rom	RIC 502a(3)	12	2,29	
41	1655	129/3	S	147/161	Rom	RIC 1388b	10	22,85	
Hadrianus oder Antoninus Pius									
42	1678	44	As	117/161	Rom	RIC ?	-	8,27	
Marcus Aurelius und Lucius Verus (161/169): Marcus Aurelius									
43*	1688	68/1	Dp	164	Rom	MIR 87-8/55	RIC 865	11	6,17
44	1708	60/1	Dp	168	Rom	MIR 166-8/50	RIC 961	1	12,57
Marcus Aurelius (169/177)									
45	1794	11	S	169	Rom	MIR 182-6/30	RIC 964	-	-
Marcus Aurelius und Lucius Verus bzw. Marcus Aurelius für Faustina II.									
46*	1897	58	Dp/As	161/176	Rom	MIR Fa 9-7/5a	RIC 1639	1	9,63
Marcus Aurelius und Commodus (177/180): Marcus Aurelius									
47*	N6	120	As	175	Rom	MIR 290/9-32	11	3,81	frgt., Rand- ausbruch
Marcus Aurelius und Commodus (177/180): Commodus									
48	1993	47	Dp	178	Rom	MIR 427-18/50	RIC 1591	12	9,96
Hadrianus, Antoninus Pius oder Marcus Aurelius									
49	2066	37	Dp/As	117/180	Rom	RIC ?	5	6,40	
1./2. Jahrhundert n. Chr.									
50	2178	36	S		Rom	RIC ?	-	16,34	
51	2201	25/2002	Dp/As		Rom	RIC ?	-	7,08	frgt., ver- brannt
52	N7	110	Dp/As		?	RIC ?	-	8,54	
2. Jahrhundert n. Chr.									
53	2290	18	Dp/As		Rom?	RIC ?	-	3,58	
54	2305	48	Dp/As		?	RIC ?	-	4,34	
55	2306	66	Dp/As		?	RIC ?	-	3,58	
Pescennius Niger									
56*	N8	100	D	193/194	Ant	RIC 62	-	1,38	halbiert
Septimius Severus bzw. Septimius Severus und Antoninus III. für Iulia Domna									
57	2629	9	D	196/209	Rom	RIC 577	-	-	
Maximinus II. (Daia) (308/313)									
58	8250	2231/ 2001	Fol	313	Sis	RIC 234b Sigle: - B//SIS	6	2,95	
Constantinus oder Söhne									
59*	N9	112	Fol	324/340	?	RIC ?	-	1,01	
Constans oder Constantius II.									
60	12446	75	Maí	355/361	?	C 15/44	-	2,62	
Valentinianus I, Valens oder Gratianus									
61*	N10	113	Cen	364/378	?	C 37/47/34	1	1,45	
Gratianus, Valentinianus II. oder Theodosius I.									
62	16386	2	Maí	367/395	?	RIC ?	-	2,80	

2. AUSWERTUNG DER FUNDMÜNZEN AUS SAAZ

Die zahlreichen Funde römischer Münzen auf dem Saazkogel geben ein gutes Zeugnis von der Entwicklung und der Existenz eines differenzierten Wirtschaftslebens zur Römerzeit. Das gesamte Münzmaterial umfasst 62 Einzelfunde, deren Prägedaten sich von 69 v. Chr. bis ca. 395 n. Chr. erstrecken. Eine Kumulation tritt dabei zwischen 69 und 168/169 n. Chr. auf. Der Großteil der Münzen stammt aus den archäologischen Grabungen von der Kuppe des Saazkogels (A. Lippert) sowie vom Südhang desselben (G. Tiefengraber) und ist somit stratigraphisch erfasst, der Rest besteht aus Oberflächenaufsammlungen mittels Detektor.

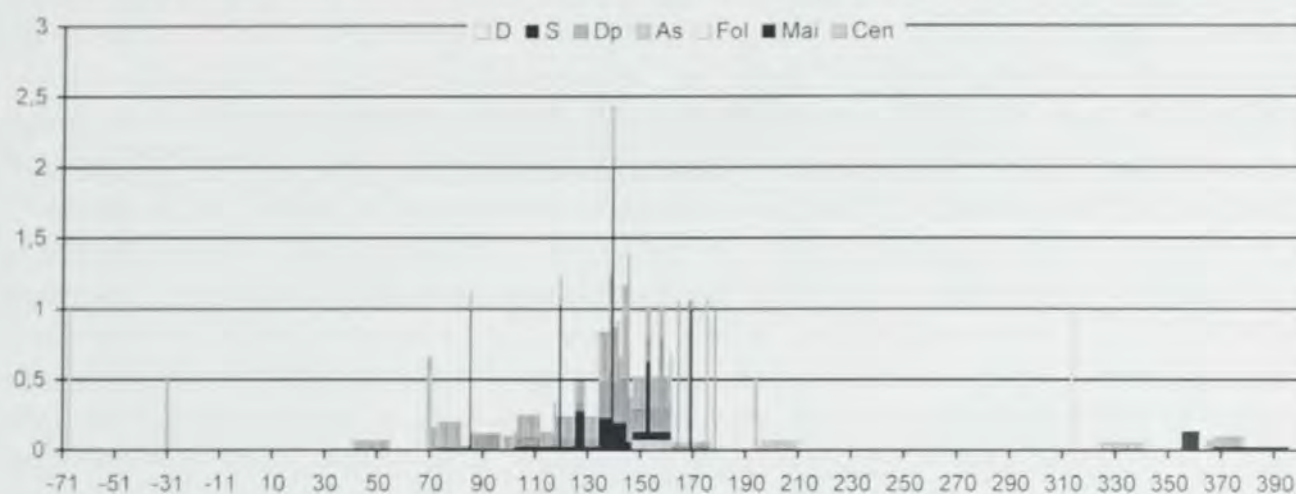


Abb. 77: Chronologische Verteilung aller Einzelfunde vom Saazkogel in absoluten Zahlen nach Nominalien in Jahresabständen.

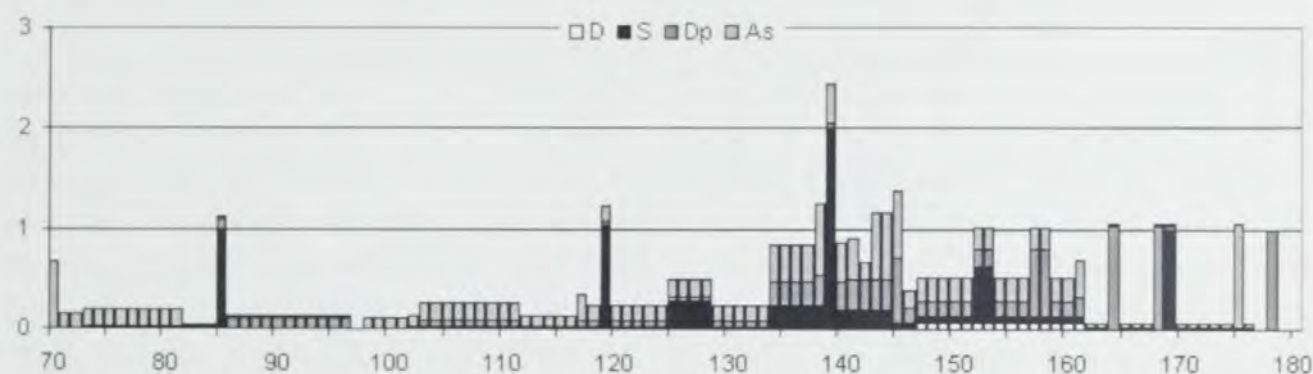


Abb. 78: Ausschnitt aus Abb. 77, chronologische Verteilung der Einzelfunde in absoluten Zahlen nach Nominalien in Jahresabständen zwischen 70 und 180 n. Chr.

Abb. 77 gibt jede einzelne Münze nach ihrer Prägezeit in Jahresabständen wieder, wobei bei Münzen, welche nicht genau auf ein Jahr datierbar sind, ein Mittelwert errechnet wurde, der dann über die jeweiligen Jahre aufgeteilt in die Graphik eingearbeitet wurde. Zu bedenken ist dabei, dass die Prägedaten keine Information über den tatsächlichen Verlustzeitpunkt der einzelnen Münzen geben. Dieser ist in der Regel nicht eruiierbar. Daher spielen Einzelstücke, die chronologisch quasi aus der Reihe tanzen, nur eine untergeordnete Rolle und können mitunter aus dem Geldverkehr späterer Zeitperioden erklärt werden. Denn besonders in den ersten beiden Jahrhunderten n. Chr. und bis ca. 250 n. Chr., einer Zeit, für die die *communis opinio* eine kontinuierliche wirtschaftliche und politische Entwicklung im Imperium Romanum annimmt, kann man in der Regel von sehr langer Zirkulationsdauer römischer Münzen ausgehen. Das heißt, Geld zirkulierte so lange, als es angenommen wurde. Dies gilt naturgemäß auch noch für das 3. und 4. Jahrhundert n. Chr., allerdings mit der Einschränkung, dass in dieser eher unruhigen und zum Teil krisengeschüttelten Zeit eine größere Umlaufgeschwindigkeit infolge ständig steigenden Geldbedarfs und zunehmender Produktion herrschte. Daher kann man auch von ei-

nem schnelleren Rückfluss ausgehen, sodass der Bedarf eher durch zeitgenössisches Material gedeckt war.

Die frühesten Münzen von Saaz sind zwei römisch-republikanische Stücke des ersten vorchristlichen Jahrhunderts, ein Legions-Denar des Marcus Antonius von 32/31 v. Chr. (Nr. 2) und ein mäßig abgenutzter Denar des Jahres 69 v. Chr. (Nr. 1). Legionsdenare des Marcus Antonius treten relativ häufig in den ab flavischer Zeit regelmäßig ausgeprägten Münzspektren auf, wie beispielsweise auch in den Vici von Kalsdorf und Rattenberg. Diese Prägung wird wohl auch hier bis zur Severerzeit zum Geldumlauf gehört haben. Ähnliches wird man von dem noch früheren republikanischen Stück annehmen dürfen. Die Umlaufdauer höhergewichtiger republikanischer Denare wird aber nicht über 103/104 n. Chr. hinausgehen. Beide Münzen weisen stärkere Abnutzungserscheinungen infolge des Geldumlaufs auf. Münzen ab flavischer Zeit treten in einem relativ regelmäßigen Verlustspektrum auf. Man wird also ab dem letzten Viertel des 1. Jahrhunderts n. Chr. von einem römischen Geldverkehr vor Ort sprechen dürfen, da ab dieser Zeit alle für die täglichen Geschäfte relevanten Buntmetallnominalien vorhanden sind. Mit Hadrianus (117/138) beginnt das Fundniveau stark anzusteigen und erreicht gleichzeitig auch seinen höchsten Stand (Abb. 78). Die Zusammensetzung der Nominalien wird immer differenzierter, zu Buntmetallmünzen treten vereinzelt Silber-Denare. Dies kann möglicherweise auf ein ausgeprägtes und gut entwickeltes Wirtschaftsleben im Vicus von Saaz bezogen werden. Nach 169 bricht die Zufuhr neuer Münzen weitgehend ab, das heißt der Geldbedarf vor Ort ist aufgrund äußerer Umstände zurückgegangen. Chronologisch deckt sich dieser Zeitpunkt mit jenem der historischen Überlieferung zu den Markomannenkriegen. Vielleicht könnte man sogar einen unmittelbaren Konnex zwischen dem Versiegen des Geldzustroms und dem wirtschaftlichen Niedergang des Vicus als Folge der Kriegseignisse herstellen. An dieser Stelle sollen Münzspektren anderer römerzeitlicher Siedlungen der Umgebung herangezogen werden.

So lässt das Spektrum des Municipium Flavia Solva (Abb. 79) auf den ersten Blick keine Zäsur im Münzzustrom zur Zeit der Markomannenkriege zwischen 166 und 180 n. Chr. erkennen. Zwar gehen die Verlustzahlen ab 165 n. Chr. etwas zurück, steigen aber mit Prägungen ab 174 n. Chr. wieder auf dasselbe Niveau an wie vor 165 n. Chr. Ein markanter Rückgang zeigt sich erst ab 180 n. Chr., also unter Commodus (180/192), wobei es sich hierbei aber um ein reichsweites Phänomen handelt, das in keiner Weise Aufschlüsse über lokalen Geldverkehr bzw. -zustrom in Flavia Solva gibt. Möglicherweise waren Münzen mit dem Porträt des ungeliebten und der *damnatio memoriae* zum Opfer gefallenen Kaisers Commodus schnellerem Rückfluss unterworfen. Auf jeden Fall steigen die Verluste ab 192 n. Chr. wieder an und halten ein einigermaßen gleich bleibendes Niveau bis zur Mitte des 3. Jahrhunderts n. Chr. Die Markomannenkriege finden demnach kaum Niederschlag in den Münzverlusten von Flavia Solva. Für den südostalpinen Bereich hat P. Kos zudem nachgewiesen, dass unter den Einzelfunden die Münzen ab Marcus Aurelius sogar ansteigen¹⁰².

Betrachtet man das Solvenser Münzmaterial jedoch nach Insulae getrennt, zeigen sich in manchen Bereichen sehr wohl Zäsuren in den einzelnen Spektren. Vereinzelt dürfte es zu einem eklatanten Rückgang oder sogar einem Abbruch im Münzzustrom bzw. der Münzpräsenz gekommen sein. Dies ist bei den Insulae I, XXII, XXVII, XL und XLI der Fall, was mit vorübergehender Nichtnutzung oder Nichtbewohnbarkeit der jeweiligen Gebäude aufgrund von Plünderungen durch die Markomannen gedeutet werden könnte. Diese Evidenz deckt sich mit den neuesten Forschungen von St. Groh, der Zweifel an der Existenz einer flächigen Brandschicht gehegt hat¹⁰³. Darüber hinaus wurden weder Virunum noch Aguntum von den Marko-

¹⁰² P. Kos, *The Monetary Circulation in the Southeastern Alpine Region ca. 300 BC-AD 1000*, Situla 24,

1986, 87 f.

¹⁰³ Groh 1996, 179 ff.

mannen tangiert, auch in den im Territorium von Flavia Solva gelegenen Vici Gleisdorf und Kalsdorf konnten keine markomannischen Zerstörungsspuren nachgewiesen werden. Natürlich könnten vagabundierende germanische Rotten im Zuge ihrer vorübergehenden Präsenz in Noricum auf ihren Plünderungszügen nach Flavia Solva gelangt sein und dort Verheerungen angerichtet haben, welche sich in Form von punktuellen Zerstörungen manifestiert hätten.

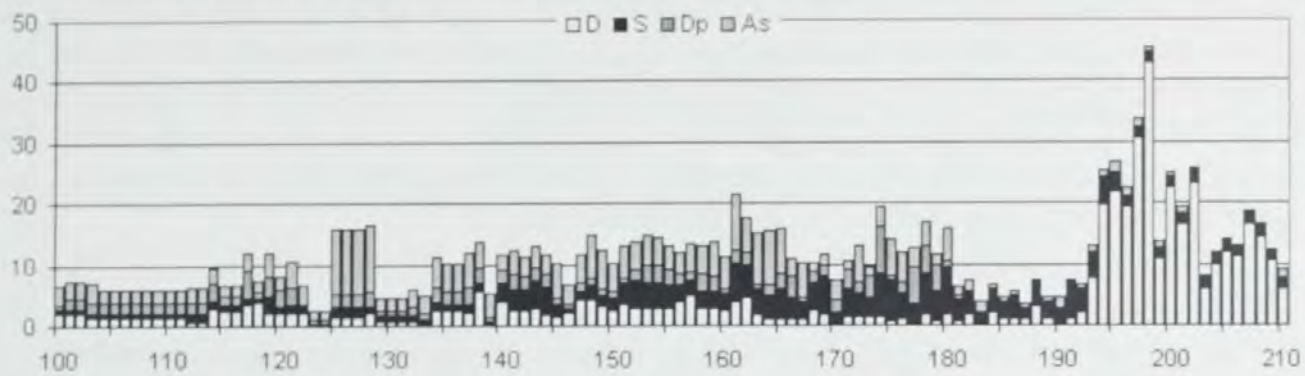


Abb. 79: Ausschnitt aus dem Münzspektrum von Flavia Solva, chronologische Verteilung der Einzelfunde in absoluten Zahlen nach Nominalien in Jahresabständen zwischen 100 und 210 n. Chr.

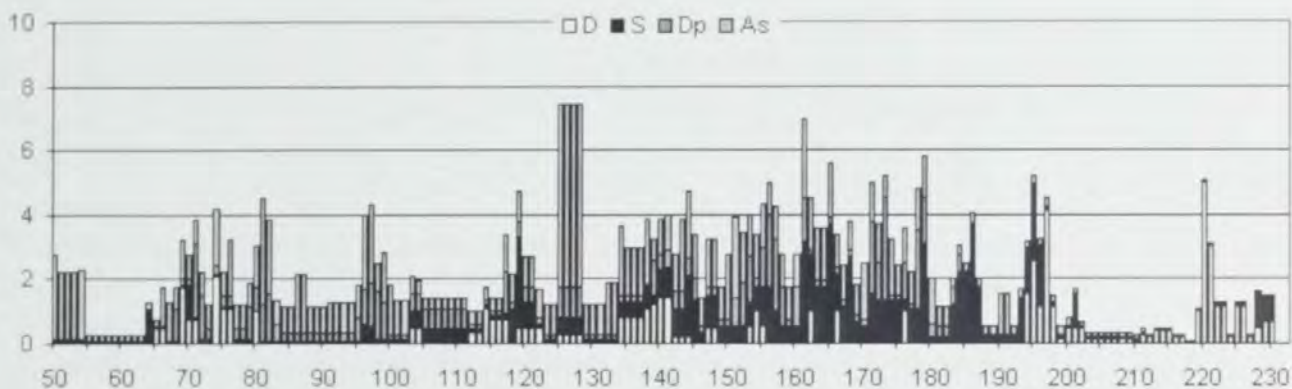


Abb. 80: Verteilung der Einzelfunde aus Kalsdorf zwischen 50 und 230 n. Chr. auf einzelne Prägejahre in absoluten Zahlen.

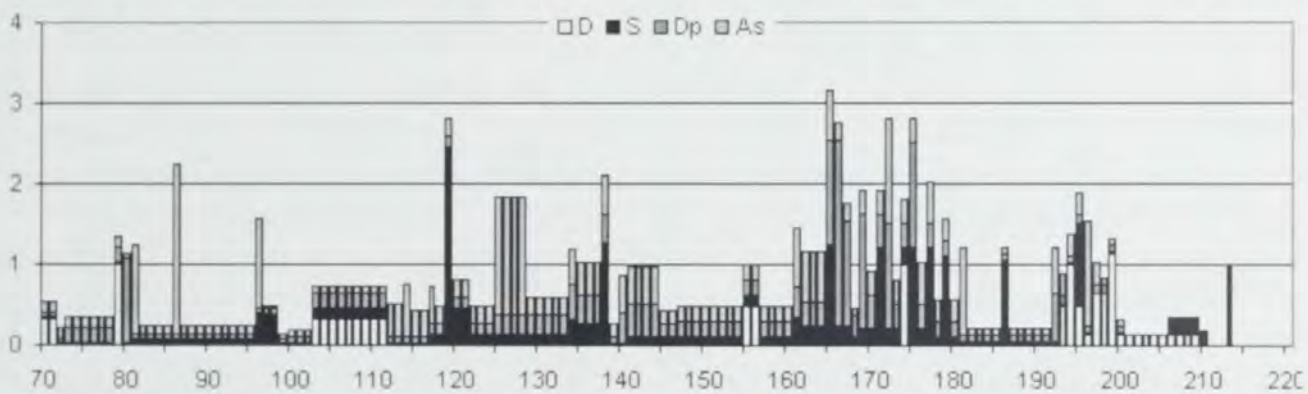


Abb. 81: Chronologische Verteilung aller Einzelfunde aus Rattenberg in absoluten Zahlen nach Nominalien in Jahresabständen.

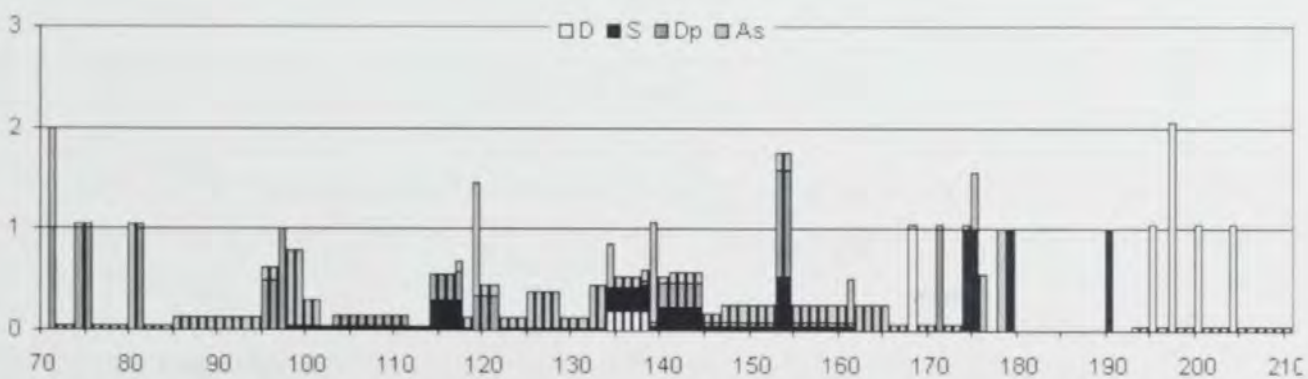


Abb. 82: Chronologische Verteilung der Einzelfunde aus dem Vicus von Gleisdorf in absoluten Zahlen nach Nominalien in Jahresabständen.

Auch das Verlustspektrum des römischen Vicus von Kalsdorf (Abb. 80) lässt sich eher mit jenem von Flavia Solva vergleichen als mit dem von Saaz. Hier schlagen sich schon relativ frühe Stücke ab Tiberius im Fundmaterial nieder und ab flavischer Zeit kann man sicher mit einem regelmäßigen und gut entwickelten bzw. differenzierten Geldverkehr vor Ort rechnen. Zwischen 165 und 180 n. Chr. ist kein Rückgang in den Verlusten erkennbar, sogar frühe Stücke des Commodus sind hier verhältnismäßig stark vertreten. Erst nach 187 klafft eine Lücke bis 192 n. Chr. Frühe Prägungen des Septimius Severus scheinen dann wieder in relativ großer Intensität auf, danach bricht der Zustrom neuer Münzen von 200–220 n. Chr. ab. Ab Elagabalus (218/222) steigt das Verlustniveau wieder an. Kalsdorf weist also im Vergleich zu Saaz einerseits ein früher entwickeltes Münzspektrum auf, andererseits scheint der Geldzustrom zur Zeit der Markomannenkriege nicht rückläufig gewesen zu sein.

Als weiterer Vergleich sei das Fundmünzenmaterial des nicht gerade zur unmittelbaren Umgebung von Saaz gehörenden, sondern im Territorium von Virunum postulierten Vicus von Rattenberg (Abb. 81) angeführt. Hier dürfte sich eine regelmäßige Zirkulation römischer Münzen erst in der ersten Hälfte oder um die Mitte des 2. Jahrhunderts n. Chr. entwickelt haben. Denn erst ab diesem Zeitpunkt zeigt das Münzspektrum eine einigermaßen kompakte Form und es sind alle wichtigen Nominalien des Nahverkehrs präsent. Münzen der Zeit des Marcus Aurelius sind sogar in noch größerer Menge vorhanden als aus den vergangenen Perioden, erst ab Commodus kommt es wieder zu dem gewohnten Bild des Münzverlustrückgangs. Prägungen der ersten Regierungshälfte des Septimius Severus sind wie in Kalsdorf und Flavia Solva wieder relativ stark vorhanden. Das heißt im Unterschied zu Saaz bricht die Münzreihe einerseits nach 165 n. Chr. nicht ab, andererseits steigt sie ab der Severerzeit wieder an.

Zuletzt soll das Münzspektrum des Vicus von Gleisdorf (Abb. 82) vorgestellt werden. Zwar zeichnet sich anhand der Graphik kein deutlicher Schwerpunkt in der Entwicklung der Münzzirkulation ab. Es liegen aus der frühen Prinzipatszeit ebenso viele Stücke vor wie aus der späteren – möglicherweise muss man mit einem geringeren, aber doch gleichmäßigen Zirkulationsvolumen ab dem 2. Jahrhundert n. Chr. rechnen. Eine Zäsur im Zustrom zur Zeit der Markomannenkriege lässt sich aber auch hier nicht mit Bestimmtheit konstatieren. Was jedoch auffällt, ist, dass nach dem üblichen Rückgang unter Commodus das Fundniveau ab der Severerzeit nicht wieder ansteigt. Die wenigen severerzeitlichen und späteren Münzen bis zum Ende des 4. Jahrhunderts n. Chr. belaufen sich auf insgesamt nur 13% des Gesamtmaterials.

In gleicher Weise gestaltet sich das Verlustspektrum von Saaz, wo der Zustrom neuer Münzen gegen Ende des 2. Jahrhunderts n. Chr. bzw. nach 180 n. Chr. ebenfalls nicht mehr ansteigt, sondern im Großen und Ganzen völlig abbricht. Die Präsenz der wenigen Einzelstücke der Zeit nach 192 n. Chr. ist sicher nicht mehr mit regelmäßigem Geldverkehr vor Ort erklärbar. Aus der Zeit nach 180 n. Chr. liegen nur mehr zwei severerzeitliche Denare vor sowie insgesamt fünf Prägungen aus dem 4. Jahrhundert n. Chr. – zwei Folles von 313 und 324/340 n. Chr. (Nr. 58 und 59), zwei Maiorinen der valentinianischen Zeit (Nr. 60 und 62) sowie ein valentinianischer Centenionalis (Nr. 61). Das 3. Jahrhundert n. Chr., das in den meisten vergleichbaren römischen Siedlungen am stärksten ausgeprägt ist, ist hier – ebenso wie in Gleisdorf – nicht vertreten.

2.1 Nominalien

In der Nominalverteilung (Abb. 83) überwiegen – wie erwähnt – prinzipatszeitliche Stücke mit insgesamt 92%.

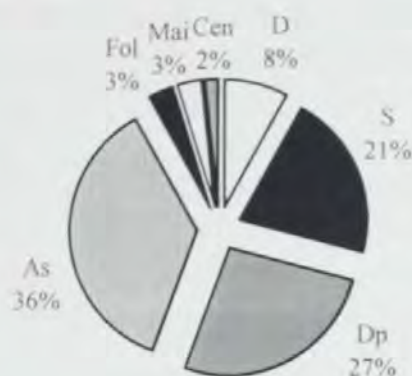


Abb. 83: Prozentuale Verteilung der Fundmünzen von Saaz nach Nominalien.

Aus der prozentualen Zusammensetzung ergibt sich eine klare Dominanz von Buntmetallnominalien, die möglicherweise auf ein differenziertes Wirtschaftsleben vor Ort bis zumindest zur Zeit der Markomannenkriege hindeuten. Hinzu treten nur wenige Denare, deren Prägezeiten sehr weit voneinander abweichen. Von den insgesamt fünf Denaren stammen zwei aus republikanischer Zeit. Sie weisen mäßige Abnutzungsspuren auf, verweilten also wohl längere Zeit im Umlauf. Sie waren vermutlich noch Teil des prinzipatszeitlichen Geldverkehrs. Ihre Gewichte liegen etwas unter der republikanischen Norm von 4,5 g. Republikanische Denare vor dem caesari-schen Bürgerkrieg treten in der Umgebung bzw. den angrenzenden Regionen in nur wenigen Belegstücken auf, die meisten davon stammen aus Flavia Solva. Caesarische Stücke sowie republikanische Legionsdenare sind im Vergleich dazu etwas stärker vertreten.

Ein weiterer Denar aus dem Vicus von Saaz stammt aus der Zeit der Markomannenkriege und die zwei spätesten hier vorhandenen Denare bilden die einzigen Zeugnisse der Severerzeit, aus der sonst keine Belege vorliegen. Beachtenswert an der Präsenz zweier severerzeitlicher Denare ist das Faktum, dass es sich bei dem Stück des Pescennius Niger aus Antiochia von 193/194 n. Chr. um eine halbierte Münze handelt. Zum einen treten Prägungen des Niger in der näheren und auch weiteren Umgebung der heutigen Steiermark und des Burgenlandes nur mit einer Münze aus Flavia Solva auf, zum anderen sind halbierte Denare nur aus Flavia Solva bekannt. Dabei handelt es sich ausnahmslos um severerzeitliche Stücke.

Die Buntmetallmünzen von Saaz sind in der Regel sehr schlecht erhalten, teilweise stark korrodiert und durch Brandeinwirkung zerstört. Somit sind die einzelnen Stücke oftmals stark untergewichtig.

Die Sesterze (Abb. 84) haben ein Durchschnittsgewicht von 16,40 g und weisen eine Spanne von 15,60–22,85 g auf, liegen also weit unter dem augusteischen Standard von 27,28 g. Die Gewichtsverteilung zeigt kein chronologisches Muster, da die leichtgewichtigen Münzen aufgrund von Sekundäreinwirkungen, wie zum Beispiel Brand, an Gewicht verloren haben.

Dasselbe gilt auch für die Dupondien (Abb. 85), die ein Durchschnittsgewicht von nur 8,31 g haben. Die gemessenen Gewichte reichen von 3,82–12,57 g. Dabei sind die schwereren Stücke weniger abgeschliffen bzw. nicht korrodiert oder durch Brand ausgeglüht.

Auch die Asse (Abb. 86) weisen Extremwerte auf, ihre Gewichte schwanken zwischen 3,81 und 14,31 g. Das errechnete Durchschnittsgewicht liegt bei 8,09 g. Aus Abb. 86 ist ersichtlich, dass die extremen Schwankungen erst bei den Münzen ab der Mitte des 2. Jahrhunderts n. Chr. auftreten.

An zahlreichen Prägungen konnte aufgrund des schlechten Erhaltungszustandes nicht einmal das Nominale eruiert werden. Für das Diagramm (Abb. 83) wurde dabei ein Mittelwert

genommen und zu den jeweiligen Nominalien hinzugerechnet. Im Diagramm (Abb. 87) sind diese unsicheren Stücke unter eine Kategorie aufgenommen worden. Ihr Durchschnittsgewicht liegt mit 7,05 g deutlich unter jenem der Dupondien und Asse, was eben auf ihre starken Zerstörungsspuren zurückgeht. Die Gewichte der einzelnen Münzen reichen von 3,58–15,45 g.

Zum Schluss sollen der Vollkommenheit halber die Gewichte der wenigen und in ihrer Aussagekraft stark eingeschränkten späten Prägungen des 4. Jahrhunderts n. Chr. graphisch dargestellt werden (Abb. 88). Die Gewichte der Folles liegen dabei ein wenig unter der jeweiligen Norm ihrer Zeit, jene der Postreformperiode sind allerdings aufgrund ihres schlechten Erhaltungszustandes stärker untergewichtig.

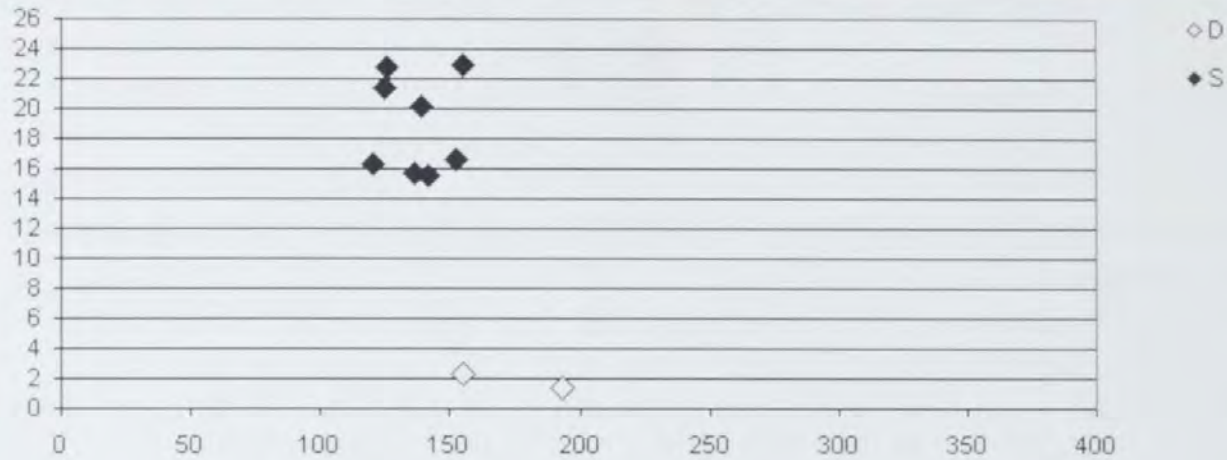


Abb. 84: Verteilung der datierbaren Denare und Sesterze nach Gewichten.

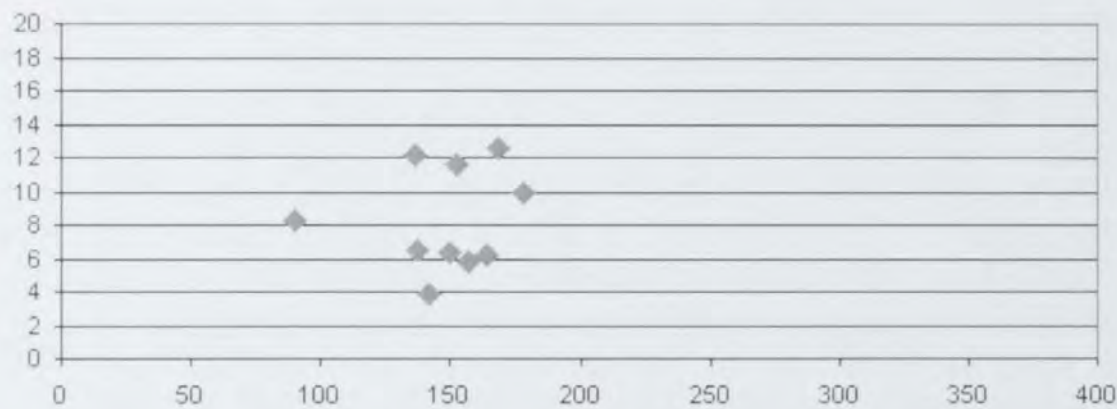


Abb. 85: Verteilung der datierbaren Dupondien nach Gewichten.

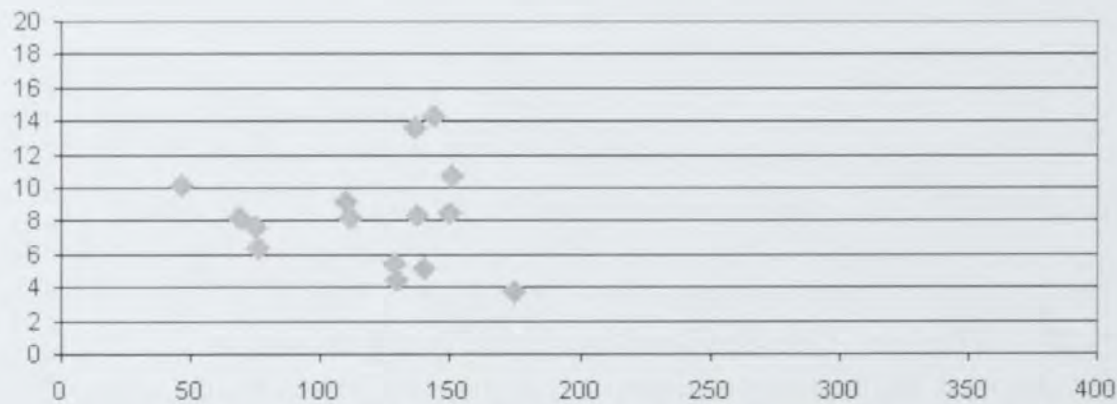


Abb. 86: Verteilung der datierbaren Asse nach Gewichten.

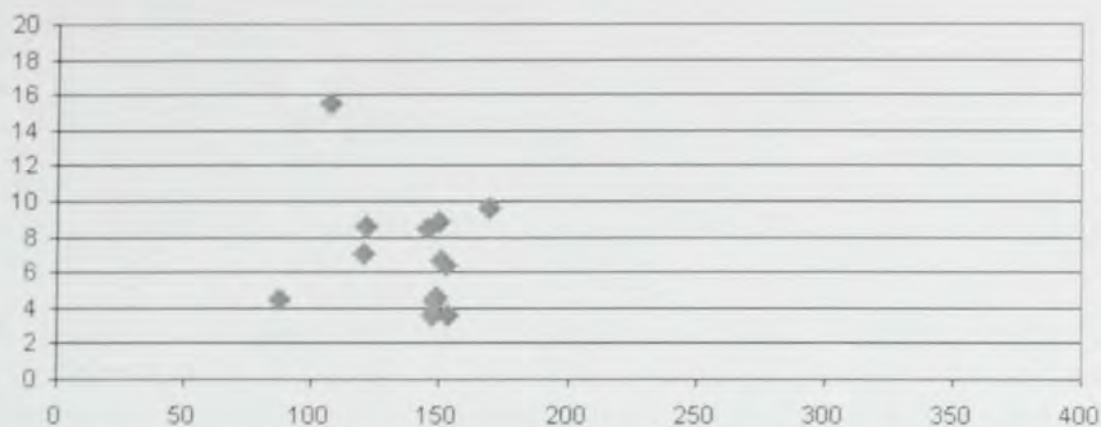


Abb. 87: Verteilung der datierbaren, aber im Nominale nicht genau definierbaren Asse oder Dupondien nach Gewichten.

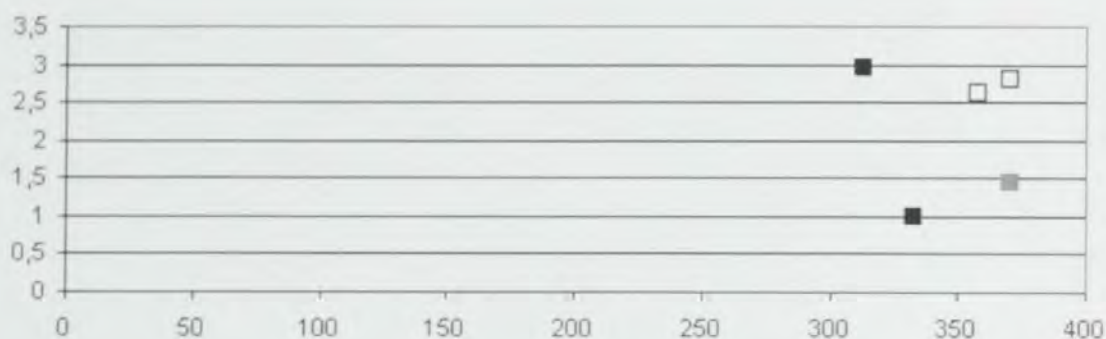


Abb. 88: Verteilung der datierbaren spätantiken Münzen nach Gewichten.

2.2 Münzstätten

Abschließend sei zu den Münzstätten festgestellt, dass das gesamte Material fast ausnahmslos aus Rom stammt. Denn bis zur Mitte des 3. Jahrhunderts n. Chr. hatte Rom überhaupt die Hauptlast der Reichsprägung zu tragen. Provinzialmünzen – als Indikatoren für mögliche Truppendislokationen – sind nicht hierher gelangt und das einzige bestimmbar spätantike Stück aus der Münzstätte Siscia widerspricht zumindest nicht dem Trend der Zeit, dass im 4. Jahrhundert n. Chr. der Hauptzustrom neuer Münzen aus Siscia erfolgt ist.

2.3 Conclusio

Zusammenfassend kann festgestellt werden, dass den Münzfunden zufolge der Geldumlauf im Vicus von Saaz mit oder etwas nach flavischer Zeit einsetzt und um die Mitte des 2. Jahrhunderts n. Chr. seinen Höhepunkt erreicht. Das zirkulierende Volumen ist in erster Linie durch die im Nahverkehr gängigsten Buntmetallnominalien charakterisiert. Nach den Markomannenkriegen bricht der Münzzustrom ab. Abgesehen von der doch auffallenden Präsenz zweier severerzeitlicher Prägungen sind nur mehr vereinzelt römische Münzen hierher gekommen. Für eine geregelte Münzgeldwirtschaft gibt es allerdings nach den Markomannenkriegen keine Zeugnisse mehr.

U. SCHACHINGER

The first part of the document discusses the importance of maintaining accurate records of all transactions. It emphasizes that every entry should be supported by a valid receipt or invoice. This ensures transparency and allows for easy verification of the data.

In the second section, the author outlines the various methods used to collect and analyze the data. This includes both primary and secondary data collection techniques. The analysis focuses on identifying trends and patterns over time, which is crucial for making informed decisions.

The third part of the report details the challenges encountered during the data collection process. These include issues related to data quality, such as missing values and inconsistencies. The author provides strategies to address these challenges, such as data cleaning and validation procedures.

Finally, the document concludes with a summary of the findings and recommendations. It highlights the key insights gained from the analysis and suggests areas for future research. The author stresses the need for continuous monitoring and evaluation to ensure the long-term success of the project.

B. Die römischen Keramikprodukte

1. TERRA SIGILLATA AUS DEN GRABUNGEN 2002–2005 IM VICUS VON SAAZ

In den Grabungskampagnen 2002–2005 im Vicus von Saaz wurden 115 Fragmente von glatten und reliefverzierten Terra Sigillata-Gefäßen gefunden. Dieses sehr kleine Spektrum erlaubt nur bedingt eine statistische Auswertung, dennoch soll es hinsichtlich seiner formenkundlichen Zusammensetzung und chronologischen Signifikanz analysiert werden.

1.1 Formenanalyse

Die Sigillaten waren zumeist stark fragmentiert, 16 Stück fanden sich im umgelagerten Humus (SE 1 und 1a; Abb. 89)¹⁰⁴. Anhand der Tabelle 4 wird die Dominanz der Schüsselformen mit 61 Belegen (53%) evident, von denen 58 auf die Form Drag. 37 entfielen.

Form	Anzahl
Consp. 20	8
Consp. 34	5
Consp. 35	1
Consp. 39	5
Consp. 39–44	6
Consp. 40–44	2
Consp. 41	1
Consp. 43	3
Consp. 45	1
Curle 11	1
Drag. 18/31	10
Drag. 29	1
Drag. 33	6
Drag. 36	1
Drag. 37	58
Drag. 38	1
Drag. 42	2
Nicht zuweisbar	2
Summe	115

Tabelle 4: Terra Sigillata aus den Grabungen 2002–2005 im Vicus von Saaz, Aufgliederung nach Formen (n = 115)

Die zweitstärkste Gruppe waren die Teller (33 bzw. 29%), bei denen die Formen Consp. 20 und 39 aus italischen (tardo-padanischen) sowie Drag. 18/31 aus südgalischen/mittelgalischen Manufakturen dominierten. Die Schalen (17 bzw. 15%) deckten vor allem die padanischen Formen Consp. 34 und 43 sowie Drag. 33 Rheinzaberner Provenienz ab.

Form	Gesamt	Periode 1	Periode 2	Periode 3	Periode 4
Schale	17	3		2	12
Teller	33	1	1	5	25
Schüssel	61	1		7	51
Teller/Schale/Schüssel	4			1	3
Summe	115	5	1	15	91

Tabelle 5: Numerischer Anteil von Sigillataformen am Gesamtspektrum der Perioden 1–4 (n = 115)

¹⁰⁴ Padana: Consp. 20, Inv. 1a/24/1; Consp. 39/43, Inv. 1a/15/1; Consp. 40/44, Inv. 1/51/2; Consp. 40/42/44, Inv. 1a/22/1. MG: Drag. 37, CINNAMUS, Inv. 1/14/1; Drag. 37, ALBUCCIUS, Inv. 1/29/1. Drag. 37, CETTUS, Inv. S9/01/1. RZ: Drag. 37, Inv. 1a/15/2; Drag. 37, mit

Stempelrest retrograd [MA]MMIL[IANI] (Hofmann o. J., Taf. 13, 160.3), MAMMILIANUS, Inv. 1a/18/1; Drag. 37, BELSUS I, Inv. 1/7/6. Drag. 37, JULIUS I, Inv. 1/7/3. Herkunft (?): Drag. 18/31, Inv. 1/15/4; Drag. 18/31, Inv. 1/23/2; Drag. 18/31, Inv. 1/29/4; Drag. 42, Inv. 1a/18/3.



Abb. 89: Terra Sigillata, Oberflächenfunde in S4-5 und S9, M. 1:2.

Tabelle 5 illustriert die Problematik einer Interpretation des Formenspektrums: 91 Sigillaten entfielen auf die Periode 4, davon 64 auf die Phase 1 dieser Periode, in welcher Aufplanierungen vorgenommen wurden¹⁰⁵. Die Stückzahlen der Perioden 1-2 sind wenig repräsentativ, in Periode 3 setzte bereits die Dominanz der Schüssel Drag. 37 mit 46% ein, deren Anteil sich auf 56% in Periode 4 erhöhte.

	Stückzahl
Italien (Padana)	33
Südgallien	1
La Graufesenque	3
Banassac	2
Mittelgallien	21
Rheinzabern	33
nicht zuweisbar	22
Summe	115

Tabelle 6: Töpferzentren zuweisbare reliefverzierte und glatte Terra Sigillata der Grabungen 2002-2004 im Vicus von Saaz (n = 115)

Die Waren verteilten sich folgendermaßen (Tab. 6): Am stärksten waren italischer und Rheinzaberner Import (29%) präsent, gefolgt von mittelgallischen Produkten mit 18,5%. Südgallische Ware war mit nur 5,3% zugegen, 18,4% der Stücke konnten keinem der Produktionszentren mit Sicherheit zugewiesen werden. 60 Sigillaten bzw. 52,6% waren reliefverziert, davon entfielen sechs auf südgallische (10%), 21 auf mittelgallische (35%) und 33 auf Rheinzaberner Produktion (55%). Ein Fragment lag von einer Drag. 29-Schüssel vor, fünf der 56 Drag. 37-Schüsselfragmente ließen sich nicht näher zuweisen.

1.2 Produktionszentren

Italien (Tab. 7)

Aus italischen, tardo-padanischen Produktionsstätten (TSTP) stammten 33 der 115 Sigillaten bzw. 28,7%, keines der Fragmente konnte arretinischer Fertigung zugewiesen werden¹⁰⁶. Die TSTP war zu 40% mit der Formengruppe A (Consp. 20 und 34) sowie zu 55% mit der Formengruppe B (vor allem Consp. 39) präsent. Das Verhältnis der Formengruppe A:B betrug 1:1,4.

¹⁰⁵ SE 59-61, 66-67 und 76.

¹⁰⁶ Zur Begriffsdefinition der tardo-padanischen Terra Sigillata (TSTP) und der Unterteilung in Formengruppen:

S. Zabeňlicky-Scheffenecker, Terra Sigillata tardo-padana, *ReiCretActa* 31-32, 1992, 415 ff.

Form	Padana
Consp. 20	8
Consp. 34	5
Consp. 35	1
Consp. 39	5
Consp. 39-44	6
Consp. 40-44	2
Consp. 41	1
Consp. 43	3
Nicht näher bestimmbar	2
Summe	33
Formengruppe A	13
Formengruppe B	18

Tabelle 7: Nach Formen bestimmbare italische Sigillata ($n = 33$)

Das Fragment einer Schale aus Periode 3.2 war mit einem *planta pedis*-Stempel des *Q.S.P.* versehen¹⁰⁷, die Sigillaten dieses Unternehmens streuten in Oberitalien sowie in Noricum und Pannonien vor allem entlang der Drau und der Bernsteinstraße bis an den norisch-pannonischen Donaulimes¹⁰⁸. Anhand münzdaterter Fundkomplexe (Gräber) lässt sich für den Betrieb des *Q.S.P.* ein Produktionsschwerpunkt in neronisch-spätflavischer Zeit erkennen, im Vicus von Favianis-Mautern waren zwei Fragmente des *Q.S.P.* (*Q.S.S.*) in Periode 1 (70–100 n. Chr.) zugegen¹⁰⁹.

Drei Gefäße, zwei Consp. 20-Teller und eine Consp. 34-Schale, besaßen Appliken; der Tierkopf T31 war bislang nur für Arretina und nicht für TSTP belegt¹¹⁰.

Der Anteil von 28,7% italischen Sigillaten am mit 115 Stück nur sehr kleinen Gesamtspektrum ist für die Belieferung der Südostregion von Noricum charakteristisch, eine Analyse früherer Sigillataimporte in Noricum ergab für Fundplätze in der Limesregion ein Überwiegen südgallischer Importe, im Limeshinterland (bei nur geringen Fundzahlen) ein ausgeglichenes Verhältnis und im Südosten der Provinz eine deutliche Präferenz italischer Waren. In den Vici von Saaz, Gleisdorf und Kalsdorf betrug das Verhältnis italischer zu reliefverzierter südgallischer Sigillata durchschnittlich 6:1¹¹¹, im Vicus von St. Martin an der Raab 3:1¹¹².

Ein ähnliches Bild bot sich in der östlich angrenzenden Provinz Pannonien. Für die Limesregion sei auf den Fundplatz Rennweg 44 in der zivilen Siedlung von Vindobona mit dem Verhältnis italischer zu südgallischer reliefverzierter Sigillata von 1:6 verwiesen. Im südpannonischen Salla hingegen verhielten sich die Sigillatagruppen 1:2 und in Poetovio-Ptuj überwogen italische Sigillaten 4:1¹¹³. Aus Savaria liegt bislang ein repräsentatives Fundspektrum aus Grabungen im Bereich früherer Holzbauten und im Agger der Befestigungsanlage vor. Hier standen 164 italische 52 reliefverzierten südgallischen Sigillaten gegenüber, was einem Verhältnis von 3:1 entspricht¹¹⁴.

¹⁰⁷ OCK 1765.

¹⁰⁸ Gabler 2004, 127 ff. Abb. 9 (Verbreitungskarte).

¹⁰⁹ Groh 2006b, 225 f. (Mautern).

¹¹⁰ Maske (Schindler Kaudelka 2001, M6), Delfin (Schindler Kaudelka 2001, D23), Tierkopf (Schindler Kaudelka 2001, T31) – zum Tierkopf T31: Schindler Kaudelka 2001, 78.

¹¹¹ Groh 2006b, 216 f.

¹¹² Die Terra Sigillata-Zahlen für den Vicus in St. Martin an der Raab stammen aus der vom Autor überarbeiteten Diplomarbeit Lamm 2005. Italischer Import besitzt in St. Martin an der Raab mit 11 Stücken bei einer

Gesamtzahl von 39 Sigillaten einen Anteil von 28%, was sich mit den Prozentzahlen der benachbarten norischen und pannonischen Siedlungen deckt (Lamm 2005, 24 ff. bzw. Katalog und Taf.).

¹¹³ Gabler 2004, 123 ff. (Wien, Rennweg 44); D. Gabler – M. Pichlerová, Terra sigillata aus Gerulata, in: K. Kuzmová – J. Rajtár, Gerulata I (1996) 89 f. (Salla); Istenič 1999, 90 f. (Poetovio).

¹¹⁴ D. Gabler, Die Bauzeit der Stadtmauer von Savaria im Spiegel der Terra Sigillata, in: T. Buócz – D. Gabler, Savariai Városfal (2002) 123 ff.

Anhand der Befunde in der Insula XLI von Flavia Solva und im Vicus Ost von Favianis-Mautern konnte gezeigt werden, dass das Verhältnis der Formengruppe A:B Aufschlüsse über die Anfangsdatierung eines Fundplatzes gibt¹¹⁵. Ein annähernd ausgewogenes Verhältnis der beiden Formengruppen spricht für eine Anfangsdatierung in flavischer Zeit, ein deutliches Überwiegen der Formengruppe B für einen Beginn in trajanischer Zeit¹¹⁶. Die Verteilung in Saaz entspricht jener flavischer Fundplätze¹¹⁷.

Südgallien (Tab. 8)

Das mit nur sechs Stücken sehr kleine Spektrum südgallischer Sigillata zeigt hinsichtlich der Formen und der chronologischen Einteilung eine weite Streuung. Südgallischer Import war am Gesamtspektrum mit 5,2% beteiligt. Drei Fragmente konnten Töpfern aus La Graufesenque und zwei aus Banassac zugewiesen werden, ein Fragment war nicht näher bestimmbar.

Töpfer	Anzahl	Datierung
La Graufesenque		
MODESTUS, GERMANUS II	1	60–70
CRICIRO	1	70–120
MERCATOR	1	90–100
Banassac		
NATALIS	1	110–140/150
GERMANUS/NATALIS	1	110–140/150
Südgallien/allgemein	1	
Summe	6	

Tabelle 8: Reliefverzierte und glatte, einem Töpfer zuweisbare südgallische Terra Sigillata (n = 6)¹¹⁸

Das älteste Stück, eine Drag. 29-Schüssel des MODESTUS/GERMANUS II aus Periode 1 datiert in spätneronisch-flavische, eine stempelsignierte Drag. 33-Schale des CRICIRO in flavische bis hadrianische Zeit. Die in der Provinz stark verbreitete späte La Graufesenque-Ware des MERCATOR war nur mit einem Stück zugegen, zwei Drag. 37-Schüsseln stammten aus der späten Produktion von Banassac in der ersten Hälfte des 2. Jahrhunderts n. Chr.

Dieses Spektrum reflektiert eine schwache, jedoch kontinuierliche 'Belieferung' bzw. Verwendung südgallischer Sigillata in Saaz vom Siedlungsbeginn in flavischer Zeit bis gegen die Mitte des 2. Jahrhunderts n. Chr. Der Zehn-Prozent-Anteil südgallischer Sigillata am Gesamtspektrum reliefverzierter Sigillata lag deutlich unter jenem in Gleisdorf mit 19%, in St. Martin an der Raab mit 23% sowie Kalsdorf und Flavia Solva (Insula XLI) mit 25% und Favianis-Mautern mit 54%¹¹⁹.

Mittelgallien (Tab. 9)

Aus Mittelgallien (Lezoux) wurden 21 Sigillaten importiert, davon ein Teller der Form Drag. 18/31 und 20 Drag. 37-Schüsseln. Vier reliefverzierte Sigillaten waren nicht näher bestimmbar. Mittelgallien deckte in Saaz 35% des gesamten Spektrums reliefverzierter Sigillata ab. Dies entspricht der durchschnittlichen Importmenge reliefverzierter mittelgallischer Sigillata nach Ost-

¹¹⁵ Groh 2006b, 215 ff.

¹¹⁶ Die Stückzahlen für St. Martin an der Raab bezeugen mit acht von elf Stücken ein deutliches Überwiegen der Formengruppe B, hinzu kommt ausschließlich später südgallischer Import bei Absenz von Drag. 29-Schüsseln, was eine Anfangsdatierung ab trajanischer Zeit nahe legt (Lamm 2005, 25 ff. bzw. Katalog und Taf.).

¹¹⁷ Groh 2006b, 215 ff. (Mautern); Groh 1996, 106 (Flavia Solva).

¹¹⁸ Absolute Datierungen nach Mees 1995 bzw. Hofmann o. J. (CRICIRO).

¹¹⁹ Chornitzer 1995a, 88 (Gleisdorf); Lamm 2005, 26 ff. bzw. Katalog und Taf. (St. Martin an der Raab); Lohner 1997, 409 ff. (Kalsdorf); Groh 1996, 108 (Flavia Solva – Insula XLI); der prozentuale Anteil südgallischer Sigillata betrug in Flavia Solva insgesamt ca. 14–16% (Weber-Hiden 1994, 65 f.); Groh 2006b, 212 ff. (Mautern).

noricum: Favianis-Mautern 28%, Gleisdorf 31%, Kalsdorf 34%, Flavia Solva (gesamt) 32%, Flavia Solva (Insula XLI) 41%¹²⁰.

Töpfer	Anzahl	Datierung
BUTRIO	1	120–145
CINNAMUS	9	135–170
CETTUS	1	136–160
ALBUCIUS	1	140–170
LAXTUCISSA	1	150–170
PATERNUS I und II	2	150–190
ADVOCISUS	1	160–190
Summe	16	

Tabelle 9: Reliefverzierte, einem Töpfer zuweisbare mittelgallische Terra Sigillata (n = 16)¹²¹

Eine Besonderheit des Saazer Spektrums ist die schwache Präsenz mittelgallischer Töpfer trajanisch-hadrianischer Zeit, die alleinig durch BUTRIO vertreten waren. Dies entsprach der Verteilung in Gleisdorf, nicht jedoch jener von Kalsdorf und Flavia Solva, wo diese Töpfer gut vertreten waren. In Flavia Solva (Insula XLI) entfielen in Periode I (100/110–150/160 n. Chr.), die den Zeitraum der Periode 2 des Vicus von Saaz (120–130/140 n. Chr.) abdeckte, sechs von 13 Sigillaten aus Lezoux auf frühe mittelgallische Töpfer. In antoninischer Zeit wurde die Beinahe-Monopolstellung des CINNAMUS durch einen Anteil von 60% an der Gesamtmenge mittelgallischer Ware unterstrichen, auch die späten Töpfer PATERNUS II und ADVOCISUS sind belegt.

Rheinzabern (Tab. 10)

Rheinzaberner Produkte waren in Saaz mit 33 Stück glatter und reliefverzierter Sigillata vertreten. Drei Schalen der Form Drag. 33 standen 29 Drag. 37-Schüsseln gegenüber, wovon sich 14 einem Töpfer zuordnen ließen. Der Anteil Rheinzaberner Sigillata an der Gesamtzahl reliefverzierter Ware betrug in Saaz 55%. Berücksichtigt man den langen Verwendungs- bzw. Produktionszeitraum von 70–90 Jahren, relativiert sich der, auf den ersten Blick, hohe Anteil.

Die bestimmbaren Stücke wurden in Tabelle 10 nach Jaccard- und Bernhard-Gruppen aufgelistet. A. Mees führte eine Seriation der Rheinzaberner Formschüsselhersteller mit ihren Punzen und eine Gruppenbildung der Daten mit Hilfe des Jaccard-Korrelationskoeffizienten durch, diese Gruppenbildung und vor allem die chronologische Einteilung der Produktionszeiten einzelner Töpfer anhand geschlossener Fundkomplexe wird in der Bearbeitung der Rheinzaberner Sigillaten übernommen¹²².

¹²⁰ Groh 2006b, 212 ff. (Mautern); Chornitzer 1995a, 88 (Gleisdorf); Lohner 1997, 409 ff. (Kalsdorf); Weber-Hiden 1994, 65 (Flavia Solva, gesamt); Groh 1993, 65 (Flavia Solva – Insula XLI) – der hohe Prozentsatz in der Insula XLI erklärt sich durch einen Zerstörungshorizont mit intakten Brandschichten aus der Zeit um 170/180 n. Chr.; für St. Martin an der Raab sind 23% (fünf Stück) reliefverzierter mittelgallischer Import belegt, wobei das Fehlen von sicher bestimmbarer CINNAMUS-Ware auffällt (Lamm 2005, 28 f. [St. Martin an der Raab]).

¹²¹ Absolute Datierungen der mittelgallischen Sigillata nach Stanfield – Simpson 1990.

¹²² Im Gegensatz zu dem von H. Bernhard 1981 vorgenommenen Clustering-Verfahren mit dem Yule'schen Koeffizienten (Bernhard 1981, 79 ff.) wurde anhand des Jaccard-Korrelationskoeffizienten nicht aufgrund des

Fehlens, sondern nur aufgrund positiver Evidenzen von Merkmalen auf Gruppenbildungen geschlossen. Daraus ergab sich ein Dendrogramm mit sieben sog. Jaccard-Gruppen, die keine chronologische Abfolge darstellen. Diese Jaccard-Gruppen wurden mehreren Korrespondenzanalysen unterzogen, um Fragestellungen hinsichtlich der Modelhersteller, kopierter Punzen, Eierstäbe etc. zu klären bzw. zu illustrieren. In weiterer Folge wurden münzdatierte geschlossene Fundkomplexe für die Datierung der Produktionszeiten der Töpfer aus Rheinzabern herangezogen und damit die Zeithorizonte der einzelnen Jaccard-Gruppen bzw. die parallel produzierenden Töpfer aufgezeigt. Anhand ausgewählter Fundplätze wurde ein Bild von der Verbreitung dieser Gruppen entworfen (Mees 2002, 3 ff.).

Töpfer	Anzahl	Jaccard-Gruppe	Datierung	Bernhard-Gruppe
REGINUS I	1	R	160–180	Ia
IANUARIUS I, Art des IANU I	2	1	160–180	Ia
IANUARIUS II	1	2	180–220	Ia
COMITALIS III	1	1b	180–250	Ib
BELTUS I–III	2	1b	180–250	Ib
ATTILUS	1	4	170–240	IIa
Ware mit Eierstab E25.26	1	4	170–250	IIa
MAMMILIANUS	2	R	170–250	IIa
AUGUSTINUS I	1	R	180–250	IIa
IULIUS I	1	5	180–260	IIb
B. F. ATTONI	1	3	254 <i>t. a. q.</i>	IIa
Summe	14			

Tabelle 10: Reliefverzierte, einem Töpfer zuweisbare Rheinzaberner Terra Sigillata ($n = 14$)¹²³

Ein Viertel der Töpfer (IANUARIUS I, REGINUS I) entfiel auf die in Rheinzabern bereits ab 140 einsetzende, aber erst nach dem Bau des vorderen Limes um 155/160 n. Chr. und vor 179 n. Chr. nachweisbare, frühe Produktion. Am stärksten waren die Töpfer der mittleren Rheinzaberner Produktionszeit vertreten, wogegen die Vertreter der späten Produktionszeit (Jaccard 7, Bernhard III) überhaupt nicht vorhanden waren. Die Laufzeit/Verwendungszeit von Schüsseln der mittleren Produktionszeit wurde anhand deren Vorkommen in datierten Fundkomplexen bis zur Mitte des 3. Jahrhunderts n. Chr. datiert, wenngleich diese schwerpunktmäßig in der Zeit von 180–220/230 streuten.

Der vordergründig hohe prozentuale Anteil Rheinzaberner Sigillata entsprach dem Verteilungsbild, das auch in den benachbarten Vici und im Municipium Flavia Solva gewonnen werden konnte. In Gleisdorf betrug der Anteil 45%, in St. Martin an der Raab 41%, in Kalsdorf 38% und in Flavia Solva 44%¹²⁴. Wie in Saaz waren die Töpfer der späten Rheinzaberner Produktionszeit auch in Gleisdorf, St. Martin an der Raab und Kalsdorf nicht mehr präsent. Die Siedlungen wurden entweder vor der Distribution der späten Rheinzaberner Waren aufgegeben oder man verhandelte diese Produkte kaum mehr in den Südosten der Provinz. Für Letzteres spricht die Absenz in Flavia Solva. Am Limes waren die Töpfer der späten Produktionszeit in geringen Stückzahlen vorhanden, in Favianis-Mautern (Vicus und Kastell) waren diese in Fundkomplexen der Periode 4 (170/180–250/260 n. Chr.) präsent¹²⁵.

1.3 Terra Sigillata der Perioden 1–4

1.3.1 Die Terra Sigillata der Periode 1 (70–100/110 n. Chr.) (Tab. 11)

Das Sigillata-Spektrum der Periode 1 setzt sich aus fünf Sigillaten zusammen, vier TSTP der Formen Consp. 20 und 34 (Formengruppe A) und eine Drag. 29-Schüssel des MODESTUS/GERMANUS II aus La Graufesenque.

¹²³ Gruppeneinteilung nach Mees 2002 und Bernhard 1981; absolute Datierungen der Jaccard-Gruppen nach Mees 2002, 124. 323 ff. insbesondere Beil. IX

¹²⁴ Chornitzer 1995a, 88 (Gleisdorf); Lamm 2005, 29 ff. bzw. Katalog und Taf. (St. Martin an der Raab); Lohner 1997, 409 ff. (Kalsdorf); Weber-Hiden 1994, 65 (Flavia Solva, gesamt); die geringen Anteile von 16% im Vicus Mautern (Groh 2006b, 221 ff.) und 27% in der Insula XLI von Flavia Solva (Groh 1993, 65) sind durch die

Besiedelungsgeschichte der Grabungsplätze mit einer nur schwachen Bebauung im 3. Jh. n. Chr. begründbar.

¹²⁵ I. Weber-Hiden, Die Reliefsigillata von Flavia Solva, ein Überblick, RÖ 15/16, 1987–1988, 237 Tab. 3 (Flavia Solva, gesamt); Groh 2002, 167 ff. (Mautern – Kastell); Groh 2006b, 212 ff. (Mautern – Vicus); A. Kaltenberger, Die Terra Sigillata von Mautern, ungedr. Diss. Wien (1987) Taf. 110 ff. (Mautern – Kastell und Vicus, Alt-funde); Karnitsch 1959, 398 ff. (Ovilavis).

Form	Periode 1	Periode 1.1	Periode 1.2	Periode 1.3
Consp. 20	1			1
Consp. 34	3	1	1	1
Drag. 29	1	1		
Summe	5	2	1	2

Tabelle 11: Nach Formen bestimmbare glatte und reliefverzierte Terra Sigillata der Periode 1 (n = 5)

MODESTUS (50–70) und GERMANUS II (65–75) produzierten in den 50er–70er-Jahren des 1. Jahrhunderts n. Chr., das Stück ist in Periode 1.1 (Grube SE 160) als chronologisches Indiz für die Anlage der Bauten von Periode 1 frühestens in spätneronischer bis flavischer Zeit zu werten. Die meisten Fundorte des GERMANUS II lassen eine spätneronische Datierung zu¹²⁶. Zeitgleicher früher südgallischer Import gelangte auch mit wenigen Stücken in den Vicus von Gleisdorf¹²⁷.

Südgallische Terra Sigillata war in Noricum in spätklaudischer Zeit nur in verschwindend geringer Stückzahl präsent, in flavischen Fundkontexten besaß die Form Drag. 29 zumindest einen 50-Prozent-Anteil¹²⁸. Das Fehlen von italischer Ware der Formengruppe B und die Vergesellschaftung der Sigillata in Periode 1.1 legt einen frühen Datierungsansatz nahe. Im Municipium von Teurnia wird die Anlage der Wohnterrassen, in claudisch-neronische Zeit datiert (münzdatiert nach 66 n. Chr.), wobei in Komplex 3, einer Terrassenmauerhinterfüllung, neben älteren italischen Importen drei TSTP der Formengruppe A und keine der Formengruppe B vorhanden waren¹²⁹.

1.3.2 Die Terra Sigillata der Periode 2 (120–130/140 n. Chr.)

Das Terra Sigillata-Spektrum der Periode 2 besteht aus einem TSTP-Teller der Form Consp. 39 (Formengruppe B), das Stück ist feinchronologisch unsignifikant.

1.3.3 Die Terra Sigillata der Periode 3 (130/140–170/180 n. Chr.) (Tab. 12–13)

Auf Periode 3 entfielen 15 nach Formen bestimmbare Sigillaten, davon zehn glatte und fünf reliefverzierte Gefäße. Das Spektrum glatter Sigillata setzt sich aus Tellern der Formen Consp. 20, Drag. 18/31 und Drag. 36 sowie Schüsseln der Formen Curle 11 sowie Drag. 37 zusammen.

Form	Periode 3	Periode 3.1	Periode 3.2
Consp. 20	2		2
Curle 11	1		1
Drag. 18/31	2		2
Drag. 36	1	1	
Drag. 37	6		6
Sonstige	3	1	
Summe	15	2	11

Tabelle 12: Nach Formen bestimmbare glatte und reliefverzierte Terra Sigillata der Periode 3 (n = 15)

TSTP war mit einem Schalenfragment (*Q.S.P.*) und zwei Consp. 20-Tellern vertreten, eine nicht näher bestimmbare südgallische, drei mittelgallische und eine Rheinzaberner Drag. 37-Schüsseln ließen sich Produktionszentren zuordnen.

¹²⁶ Mees 1995, 78.

¹²⁷ Chornitzer 1995a, 90 Nr. 3.7.

¹²⁸ Groh 2006b, 211 ff. (Mautern); A. Faber, Das römische Auxiliarkastell und der Vicus von Regensburg-Kumpfmühl, Münchner Beiträge zur Vor- und Frühgeschichte 49 (1994) 30 f. (Regensburg-Kumpfmühl).

¹²⁹ Gugl 2000, 109 f.; vgl. dazu Ch. Gugl, Ausgewählte

Fundkomplexe, in: R. Jernej – Ch. Gugl (Hrsg.), Virunum. Das römische Amphitheater, Archäologie Alpen Adria 4 (2004) 144 ff. bzw. einen Fundkomplex aus Ljubljana (Gornji trg), wo in einer Fundvergesellschaftung (münzdatiert 50/54 n. Chr.) weder südgallische Sigillata noch TSTP der Formengruppe B zugegen war (Vičić 1994, 51 ff.).

Töpfer	Anzahl	Periode 3.2	Datierung	Taf.
BUTRIO	1	1	120–145	8, 78/12/5
CINNAMUS	1	1	135–170	8, 78/24/2
Summe	2	2		

Tabelle 13: Reliefverzierte, einem Töpfer zuweisbare Terra Sigillata (Drag. 37) der Periode 3 ($n = 2$)¹³⁰

Die Töpfer BUTRIO und CINNAMUS (Tab. 13) bezeugten die Verwendung mittelgallischer Waren ab hadrianischer Zeit bis um 170 n. Chr., das Fragment einer Drag. 37-Schüssel aus Rheinzabern datierte frühestens in die Jahre ab 160 n. Chr. Der Töpfer BUTRIO war, im Vergleich zu den übrigen frühen Werkstätten von Lezoux, im Gesamtspektrum der mittelgallischen Waren von Flavia Solva und Kalsdorf überproportional stark vertreten.

Der Spektrum der Terra Sigillata von Periode 3 umschreibt einen Zeitraum von ca. 50 Jahren. Alle bestimmbar Gefäße, mit Ausnahme einer Schüssel (Curlé 11) und eines Tellers (Drag. 36), wurden in der Verfüllung des Erdkellers SE 78 angetroffen, sie geben somit Auskunft über dessen Verwendungszeit und den Zeitpunkt der Verfüllung. Als direkter Vergleich für das Fundspektrum bietet sich die Verfüllung eines gegen 170/180 n. Chr. aufgegebenen Erdkellers im Vicus Süd von Favianis-Mautern an¹³¹. TSTP der Form Consp. 20 war in primären Fundsituationen ab hadrianischer Zeit kaum mehr zugegen, das Schalenfragment mit dem *planta pedis*-Stempel *Q.S.P.* ist als *residual* aus flavischer Zeit zu bewerten¹³². Die verstärkte Präsenz der Teller Drag. 18/13 und der Schüssel Curlé 11 entspricht dem Spektrum kontemporärer Vergesellschaftungen (z. B. Favianis-Mautern – Vicus und Kastell Periode 3 [130/140–170/180 n. Chr.]), der Teller Drag. 36 wurde vor allem in trajanisch-frühhadrianischer Zeit verhandelt¹³³. Die schwache Präsenz reliefverzierter Ware aus Lezoux, vor allem des CINNAMUS, in Periode 3 erscheint sehr ungewöhnlich, da diese in den Jahren von 150–170 n. Chr. fast eine Monopolstellung in Noricum besaß¹³⁴. Das Gefäßspektrum ist nur durch das Fehlen primärer Fundvergesellschaftungen in Saaz erklärbar, der überwiegende Anteil der reliefverzierten mittelgallischen Sigillata befand sich in den Planierschichten der Periode 4.1, welche die Aufplanierung von Strukturen der Periode 3 indizieren.

1.3.4 Die Terra Sigillata der Periode 4 (170/180–230 n. Chr.) (Tab. 14)

Auf die Periode 4 entfielen 76 der insgesamt 115 Sigillaten aus Saaz. In Periode 4 beschreiben die Phasen 4.1 und 4.2 zwei grundsätzlich verschiedene Taphonomien, in 4.1 wurde das Gebäude 1 entweder intentionell flächig mit sekundärem Siedlungsmüll einplaniert, um das Areal für eine Neubebauung in Periode 4.2 vorzubereiten, oder im Zuge erosiver bzw. 'non-anthropogener' Prozesse überschüttet (Tab. 14–15).

¹³⁰ Absolute Datierungen der mittelgallischen Sigillata nach Stanfield – Simpson 1990.

¹³¹ St. Groh, Die Terra Sigillata, in: Groh 2001a, 46 ff.

¹³² Vgl. dazu die Periode IB der Insula XLI von Flavia Solva (130/140–150/160 n. Chr.), in der TSTP der Formengruppe B noch in Verwendung stand, die Formengruppe A jedoch nur mehr mit wenigen Reststücken im Umlauf war (Groh 1996, Taf. 6–7).

¹³³ Groh 2002, 164 f.; Groh 2006b, 231 ff. (Mautern,

Vicus Ost); Mees 2002, 114 f. Tab. 25, insbesondere Castleford mit starken Anteilen von Drag. 18/31 und wenigen Drag. 35/36.

¹³⁴ Die von A. Kaltenberger zur Diskussion gestellte These, dass CINNAMUS vor allem an das Militär entlang des Limes belieferte (A. Kaltenberger, Ausgrabungen St. Peter, Salzburg: Die Terra Sigillata 1980–1992, ÖJh 64, 1995, Beibl. 166), ist in Anbetracht der Fundzahlen in Süd- bzw. Südostnoricum nicht haltbar.

Form	Periode 4	Periode 4.1	Periode 4.2
Consp. 20	4	3	1
Consp. 34	2	2	
Consp. 35	1	1	
Consp. 39	4	4	
Consp. 39/43	4	3	1
Consp. 41	1		1
Consp. 43	3	2	1
Consp. 45	1	1	
Drag. 18/31	4	4	
Drag. 33	6	6	
Drag. 37	44	38	6
Drag. 38	1	1	
Drag. 42	1	1	
Summe	76	66	10

Tabelle 14: Nach Formen bestimmbare glatte und reliefverzierte Terra Sigillata der Periode 4 (n = 76)

Die Datierung bzw. das Spektrum der 66 Sigillaten in Periode 4.1 ergaben einen *t.p.q.* für die Neubauten in Periode 4.2, deren Nutzungszeit durch zehn Sigillaten belegt ist.

Töpfer	Periode 4	Periode 4.1	Periode 4.2	Datierung	Taf.
La Graufesenque					
MERCATOR	1	1		90–100	13, 59/22/1
Banassac					
NATALIS	1	1		110–140/150	19, 67/11/4
Mittelgallien					
CINNAMUS	7	7		135–170	12, 59/2/3; 18, 61/15/ 5, 8, 66/8/2; 22, 76/25/ 4, 76/34/3–4
ADVOCISUS	1	1		160–190	22, 76/27/3
LAXTUCISSA	1	1		150–170	13, 59/23/4
PATERNUS	1	1		150–190	22, 76/25/3
PATERNUS II	1	1		160–190	14, 60/14/2
Rheinzabern					
REGINUS I	1		1	160–180	23, 76/27/5; 28, 129/17/1
IANUARIUS I, Art des IANU I	2	2		160–180	19, 67/18/5
Ware mit Eierstab E25,26	1	1		170–250	12, 59/11/4
MAMMILIANUS	1	1		170–250	19, 67/5/1
ATTILUS	1	1		170–240	18, 61/6/1
IANUARIUS II	1	1		180–220	15, 60/41/1
COMITALIS III	1	1		180–250	19, 67/25/3
BELSUS I–III	1		1	180–250	28, 129/27/1
AUGUSTINUS I	1	1		180–250	23, 76/39/4
B. F. ATTONI	1	1		254 <i>t.a.q.</i>	20, 67/5/7
Summe	24	22	2		

Tabelle 15: Reliefverzierte, einem Töpfer zuweisbare Terra Sigillata (Drag. 37) der Periode 4 (n = 24)¹³⁵

Die Terra Sigillata der Periode 4.1 (170/180–200 n. Chr.) (Tab. 14–15)

Drei Fragmente stammten aus südgallischer Produktion, italische TSTP besaß in Periode 4.1 mit 16 Stücken (Formengruppe A:B = 5:11) einen Anteil von 24% am Gesamtspektrum, mittelgallische Ware deckte mit 15 Stück 23% ab, Rheinzaberner Ware dominierte mit 23 Stück bzw. 35%. Die Drag. 37-Schüsseln deckten mit 38 Stück 57% des Imports ab, Teller der Formen Drag. 18/31 und 42 waren mit fünf Stücken zugegen und Schalen der Form Drag. 33 mit sechs.

Die TSTP der Formengruppe B, südgallische Sigillata des MERCATOR aus La Graufesenque und des NATALIS aus Banassac datieren in die erste Hälfte des 2. Jahrhunderts n.

¹³⁵ Absolute Datierungen der südgallischen Sigillata nach Mees 1995, der mittelgallischen Sigillata nach

Stanfield – Simpson 1990 und der Rheinzaberner Sigillata nach Mees 2002, 124, 323 ff. insbesondere Beil. IX.

Chr., sie waren nach 150 n. Chr. nicht mehr im Umlauf. Der mittelgallische Import war charakteristisch für Fundensembles des dritten Viertels des 2. Jahrhunderts n. Chr., die starke Präsenz von Waren des CINNAMUS mit sieben Stücken entsprach der Belieferung nach Noricum in diesem Zeitabschnitt¹³⁶.

Anhand der reliefverzierten Terra Sigillata aus Rheinzabern ließ sich keine deutliche Präferenz eines Töpfers ablesen. Mit der Präsenz der Waren des IANUARIUS I ist in Noricum bereits ab den 60er-Jahren des 2. Jahrhunderts n. Chr. zu rechnen, ein Stück aus einer Mauerausrissgrube datierte in der Insula XLI von Flavia Solva den Umbau von Periode I in Periode II um 150/160 n. Chr., ein 'Nachleben' in Fundensembles nach 185 n. Chr. ist nicht anzunehmen¹³⁷. Ware mit Eierstab E25.26 dürfte bereits ab 170 n. Chr. verhandelt worden sein, sie befand sich in Flavia Solva bereits in den Brandschichten, die das Ende der Periode II der Insula XLI um 170/180 n. Chr. indizieren und der Periode 3 des Kastells und Vicus von Favianis-Mautern, das ebenfalls um 170/180 n. Chr. angesetzt werden kann¹³⁸. Auch der Beginn der Belieferung mit Waren des MAMMILIANUS dürfte zur selben Zeit eingesetzt haben, eine Drag. 37-Schüssel mit Stempelrest befand sich in einer Brunnenverfüllung in Salzburg/Dietrichsruh, die münzdatiert in die Zeit nach 170/171 n. Chr. zu setzen war. Die Vergesellschaftung mit Tellern der Form Drag. 32 deutet auf eine Verfüllung des Brunnens kaum vor 180 n. Chr. hin¹³⁹. Waren des ATTILUS fanden sich in dem vor 180 n. Chr. datierten Fundkomplex Heddernheim (Phase IIB) und waren ebenso schon in der Brandschicht der Insula XLI (Periode II) von Flavia Solva vorhanden, was für einen Beginn der Belieferung ab 170 n. Chr. spricht¹⁴⁰. Für IANUARIUS II wird ein Datierungsansatz nach 175 bzw. gegen 180 n. Chr. angenommen, im nach 180/183 n. Chr. aufgelassenen Keller 7 von Sulz war er siebenmal vertreten und mit AUGUSTINUS I vergesellschaftet; der Produktionsbeginn des COMITIALIS III dürfte ebenso kaum vor 180 n. Chr. anzusetzen sein¹⁴¹.

Die Zusammensetzung der Terra Sigillata aus den Planierschichten in Periode 4.1 bezeugt die Versorgung des Platzes ab dem Beginn der Siedlungstätigkeit bis in die Jahre 180–220 n. Chr. Die Rheinzaberner Sigillata datiert die Einplanierung des Gebäudes aus Periode 3 frühestens gegen 180 n. Chr. In den Planierungen befanden sich ausschließlich Töpfer der Jaccard-Gruppen 1–4. Diese Töpfer gehörten alle der frühen und mittleren Produktionszeit von Rheinzabern an. In den für die Brandzerstörung der Gebäude auf den Wohnterrassen von Teurnia relevanten Fundkomplexen (193/211 n. Chr.) waren Töpfer der Jaccard-Gruppen 1 und 3 bzw. Bernhard Ia, Ib, IIa–c und IIc vorhanden, mittelgallische Reliefschüsseln fehlten jedoch¹⁴². Die Produktions- bzw. Verwendungszeit der Töpfer COMITIALIS III, B. F. ATTONI, ATTILUS, Ware mit Eierstab E25.26 und MAMMILIANUS wurde von A. Mees in Ermangelung datierter Fundkomplexe der mittleren Kaiserzeit bis zur Mitte des 3. Jahrhunderts n. Chr. gesetzt.

Eine Spätdatierung der Planierungsmaßnahmen in das fortgeschrittene 3. Jahrhundert n. Chr. erscheint anhand des Sigillataspektrums wenig plausibel, da in münzdatierten Fundkomplexen aus der Mitte des 3. Jahrhunderts n. Chr. andere Töpfer vergesellschaftet sind. Der späte Rheinzaberner Import, münzdatiert nach 251 n. Chr., wurde in Noricum, bezeugt durch zahlreiche Fundkomplexe aus dem Kastell und Vicus von Favianis-Mautern, vor allem durch Waren des VICTOR I, Ware mit Eierstab E48, VICTORINUS II–III, IULIUS II–IULIANUS I, VICTOR II–IANUCO und COMITIALIS I abgedeckt¹⁴³.

¹³⁶ Groh 1996, Taf. 20–27 (Flavia Solva Insula XLI, Bauperiode II).

¹³⁷ Groh 1996, 112; Mees 2002, 324.

¹³⁸ Groh 1996, 112 (Flavia Solva); Groh 2002, 164 f. (Mautern – Kastell); Groh 2006b, 231 ff. (Mautern – Vicus).

¹³⁹ M. Seebacher, Römische aus einem Brunnen und

einer Zisterne in der sog. Dietrichsruh, ÖJh 68, 1999, Beibl. 243.

¹⁴⁰ Mees 2002, Beil. IX (Heddernheim); Groh 1996, 112 (Flavia Solva – Insula XLI).

¹⁴¹ Mees 2002, 328, 353, 343.

¹⁴² Gugl 2000, 112 f.

¹⁴³ Groh 2002, 169; Groh 2006b, 236 ff. (Mautern).

Die Terra Sigillata der Periode 4.2 (200–230 n. Chr.) (Tab. 14–15)

In Periode 4.2 waren noch zahlreiche *residuals*, vier italische TSTP der Formengruppe A und B, vorhanden. Von den sechs reliefverzierten Drag. 37-Schüsseln ließen sich vier Rheinzaberner Produktion zuordnen, wobei die Töpfer REGINUS I und BELSUS II–III je einmal vertreten waren. REGINUS I gehörte zu den frühesten Rheinzaberner Produzenten, dessen Werkstatt um 180 n. Chr. die Fertigung einstellte. Die Sigillaten des Töpfers BELSUS I–III waren vor 180 n. Chr. noch nicht am Markt, er gehörte der mittleren Rheinzaberner Produktionszeit an (ca. 180–220 n. Chr.), die Präsenz im 246 n. Chr. datierten Keller von Ladenburg belegt nur einen langen Umlauf¹⁴⁴.

1.4 Der Import und die Verwendung von Terra Sigillata in den Vici von Saaz, Gleisdorf, Kalsdorf und Favianis-Mautern sowie im Municipium Flavia Solva

Die Belieferung des Vicus von Saaz mit italischer und reliefverzierter Terra Sigillata soll in der Folge näher untersucht werden. Mit den Ergebnissen der Forschungen in den Vici von Favianis-Mautern, Gleisdorf und Kalsdorf sowie im Municipium Flavia Solva (Insula XXII, XL und XLI) liegen in Noricum mehrere repräsentative Sigillataspektren aus neueren Siedlungsgrabungen vor. Es war beim derzeitigen Forschungsstand nicht möglich, von allen Fundplätzen die Spektren italischer, glatter und reliefverzierter Sigillata in die Analyse einfließen zu lassen. Die Grabungen erstreckten sich über verschieden große Flächen, weshalb die jeweilige Grabungsfläche als wichtiger Parameter bei der Analyse der Sigillata Berücksichtigung fand. Um eine Vergleichbarkeit zu gewährleisten, wurde die Anzahl der Stücke eines Töpfers in Relation zu dessen Produktionszeit gesetzt, d. h. ein Töpfer, der mit einer Laufzeit von 20 Jahren zehnmal vertreten ist, scheint in der Statistik fünfmal pro Jahrzehnt auf¹⁴⁵. Die Anzahl der Gefäße pro Jahrzehnt wurde mit dem jeweiligen Faktor auf die 'Normfläche' von 1000 m² gerechnet, d. h. eine Balkenlänge im Diagramm von z. B. 5,0 im Jahrzehnt von 150–160 n. Chr. bedeutet, dass auf eine Siedlungsfläche von 1000 m² zwischen 150 und 160 n. Chr. fünf reliefverzierte Sigillata-Schüsseln gelangten¹⁴⁶. Mit Ausnahme des Vicus von Saaz, der insgesamt nur 34 reliefverzierte Stücke aufwies, lagen von allen Fundplätzen repräsentative Fundmengen vor¹⁴⁷.

Dieses Modell basiert auf der Annahme, dass der Import von Waren bzw. die Verwendung von nicht lokal produzierten Waren ein Maßstab für Wohlstand, Bevölkerungsdichte und Romanisierung ist. Dieser relative Wohlstand resultiert aus der Produktivität der einzelnen Haushalte und Betriebe sowie aus den funktionierenden Handelsverbindungen, d. h. aus dem Grad der Organisation von Gemeinwesen. Die Präsenz der (zumeist in geringen Mengen vorhandenen) Importwaren lässt jedoch keinen zwingenden Schluss auf den direkten Vertrieb dieser Waren aus dem jeweiligen Produktionsgebiet zum Endabnehmer zu. Geringe Importwarenmengen beim Endverbraucher sind vielmehr als Indiz für die Bedeutung regionaler Marktplätze zu werten. Im Falle des Vicus von Saaz dürfte der Austausch vor allem mit dem regionalen Zentrum in Gleisdorf erfolgt sein.

¹⁴⁴ Mees 2002, 336 f. Beil. IX.

¹⁴⁵ Zur Berechnungsmethode vgl. M. Polak, *South Gaulish Terra Sigillata with Potters' Stamps from Vechten*, *ReiCretActa Suppl.* 9 (2000) 401 – für die reliefverzierte Sigillata wurde eine Datierung nach Zehnjahresintervallen bevorzugt.

¹⁴⁶ Die Grabungsflächen der relevanten Fundplätze setzten sich folgendermaßen zusammen: Vicus von Favianis-Mautern 4650 m² (Groh – Sedlmayer 2006); Vicus von Saaz 720 m²; Vicus von Gleisdorf 1600 m² (Lorenz – Maier – Lehner 1995, Beil. 4. 4a. 6. 8 – Maße den Quadrantenrastern der Befundpläne entnommen); Vicus von Kalsdorf 3500 m² (Lohner 1997, 409); Insula XXII von

Flavia Solva (Ost) 1260 m² (Hudeczek 2002, 210 Abb. 8); Insula XL von Flavia Solva 900 m² (Hudeczek 2002, 205 Abb. 2); Insula XLI von Flavia Solva 1100 m² (Groh 1996, Plan 1).

¹⁴⁷ Mautern 701, Gleisdorf 236, Kalsdorf 237, Flavia Solva – Insula XLI 249; die reliefverzierte Terra Sigillata aus den Insulae XXII und XLI in Flavia Solva fand keine Berücksichtigung, da sie von der Insula XL zum Zeitpunkt der Drucklegung noch nicht vorlag und von der Insula XXII nur ein nicht analysierbarer Überblick mit 78 Stücken zu den ca. 800 reliefverzierten Sigillaten der Grabungen bis 1989 gegeben ist (Weber-Hiden 1994, 65 ff.).

Es steht jedoch außer Frage, dass der Wohlstand einer Hausgemeinschaft bzw. einer Siedlung nicht alleinig an der Anzahl der importierten Waren gemessen werden kann. Die Gesamtheit der materiellen Kultur bzw. dessen, was als Abfall von dieser Kultur geblieben ist, erlaubt einen Einblick in die ökonomischen Grundlagen und Aktivitäten sowie eine quantitative Analyse. Die hier durchgeführte Untersuchung beschränkte sich in Ermangelung vergleichbarer Fundvorlagen auf einzelne Materialgruppen.

Ein wichtiges Kriterium für die Vergleichbarkeit der Befunde und damit auch der Importzahlen in den *Vici* und in Flavia Solva sind identische Bau- bzw. Haustypen. In den ersten bzw. ältesten Steinbauperioden der südostnорischen *Vici* von Saaz, Gleisdorf und Kalsdorf und der *Insulae* XXII-O, XL und XLI von Flavia Solva fand ein für die Region typischer lokaler Hausgrundriss Verwendung. Dabei handelte es sich um das Einraumhaus, das in den ländlichen Siedlungen von Südostnорicum eine lange Tradition besaß¹⁴⁸. Am Beispiel der *Vici* von Gleisdorf, Kalsdorf und Saaz im Territorium von Flavia Solva konnte gezeigt werden, wie der dort bestimmende, aus einem Hauptraum und einem dreiseitigen Umgang bestehende Haustyp ursprünglich nur aus einem Raum bestand, den man danach durch einen Umgang bzw. mehrere kleinere Räume innerhalb dieses Umgangs erweiterte (Kap. IV)¹⁴⁹. In Flavia Solva wurde dieser Haustyp sowohl in den Stadtrandinsulae XL und XLI als auch in der zentral gelegenen *Insula* XXII-O ab dem 1./2. Jahrhundert n. Chr. errichtet¹⁵⁰. Der Bautyp wurde, modifiziert durch den Einbau einfacher Fußbodenschlauchheizungen, bis in die Spätantike verwendet.

Die Sigillataspektren reflektieren neben den allgemeinen Warenströmen bzw. Handelsverbindungen und der Prosperität der Siedlung auch die chronologische Entwicklung des jeweiligen Siedlungsplatzes. Der *Vicus* von Saaz setzte mit der Holzbauperiode 1 in flavischer Zeit ein, auch in Gleisdorf war eine erste Holzbauperiode festzustellen, deren Beginn anhand italischen Imports und starker Präsenz vorflavischer Münzprägungen bereits um die Mitte des 1. Jahrhunderts n. Chr. datiert wurde¹⁵¹. Der Beginn des *Vicus* von Kalsdorf mit einer Holzbauphase dürfte ebenfalls gegen die Mitte des 1. Jahrhunderts n. Chr. fallen, das Fibel- und Münzspektrum sowie einzelne Grabungsbefunde im Westteil des *Vicus* deuten auf einen noch früheren Siedlungsbeginn in claudischer Zeit¹⁵². Die erste Holzbauperiode der *Insula* XXII-O dürfte bereits ab claudischer Zeit eingesetzt haben, in der *Insula* XL dokumentierte man die erste Bebauung im Stadtgebiet von Flavia Solva, deren Beginn in augusteische Zeit bzw. in die erste Hälfte des 1. Jahrhunderts n. Chr. gesetzt wurde¹⁵³.

Das Ende der intensiven Siedlungstätigkeit in den *Vici* von Gleisdorf und Kalsdorf wird gegen die Mitte des 3. Jahrhunderts n. Chr. datiert, im *Vicus* von Saaz erfolgte sie wahrscheinlich bereits etwas früher, und zwar in den 20er–30er-Jahren des 3. Jahrhunderts n. Chr. Die *Insulae* des *Municipium* Flavia Solva waren zumindest bis an das Ende des 4. Jahrhunderts n. Chr. bewohnt, auch wenn zu dieser Zeit nur mehr einzelne Einraumhäuser im ehemals dicht verbauten *Insulaareal* nachgewiesen werden können.

¹⁴⁸ W. Schmid erkannte bereits 1929 anhand seiner Grabungen in Gleisdorf die lokale keltische Tradition des Einraumhauses und dessen Umgestaltung im Bereich des Umgangs (W. Schmid, *Archäologische Forschungen in der Steiermark. Ein frühromisches Bauernhaus in Gleisdorf*, *ÖJh* 25, 1929, Beibl. 68 ff.); vgl. dazu Kap. IV.3.1 (Sedlmayer).

¹⁴⁹ Groh – Sedlmayer 2006 (Mautern).

¹⁵⁰ *Insula* XLI: Periode 1, trajanisch–Mitte 2. Jh. n. Chr. (Groh 1996, 15 ff.); *Insula* XXII-O: Periode 2, 2. Jh. n. Chr. (Sakl-Oberthaler 1994, 64 Abb.); *Insula* XL, Periode 2, Ende 1.–2. Jh. n. Chr. (E. Hudeczek, *Flavia Solva, JberJoanneum N.f.* 8, 1978, 114 f.).

¹⁵¹ Maier 1995, 35 ff. bzw. M. Lehner, *Die Münzen*, in: Lorenz – Maier – Lehner 1995, 61 ff. – kritisch zur

Frühdatering des Grabungsbefundes der Jahre 1988–90 und zur Bauabfolge (Groh 1996, 153 ff.); zum Belegungsbeginn in den Gleisdorfer Gräberfeldern um die Mitte des 1. Jhs. n. Chr. (Artner 1988/89, 48).

¹⁵² Lohner 2003, 107; Artner – Hebert – Kramer 1996, 41 ff.; Heymanns 1997, 325 ff.; U. Schachinger, *Die Münzen aus dem Nordbereich des römischen vicus von Kalsdorf*, *FÖ* 34, 1995 (1996) 497 ff. – die Münzverteilung in Kalsdorf legt mit 61 vorflavischen Prägungen ab Claudius I einen Siedlungsbeginn in zumindest claudischer Zeit nahe (frdl. Mitteilung U. Schachinger).

¹⁵³ Hudeczek 2002, 204 Abb. 4 (*Insula* XXII-O); Hudeczek 2002, 203 Abb. 2 bzw. Groh 1996, 104 ff. (*Insula* XL).

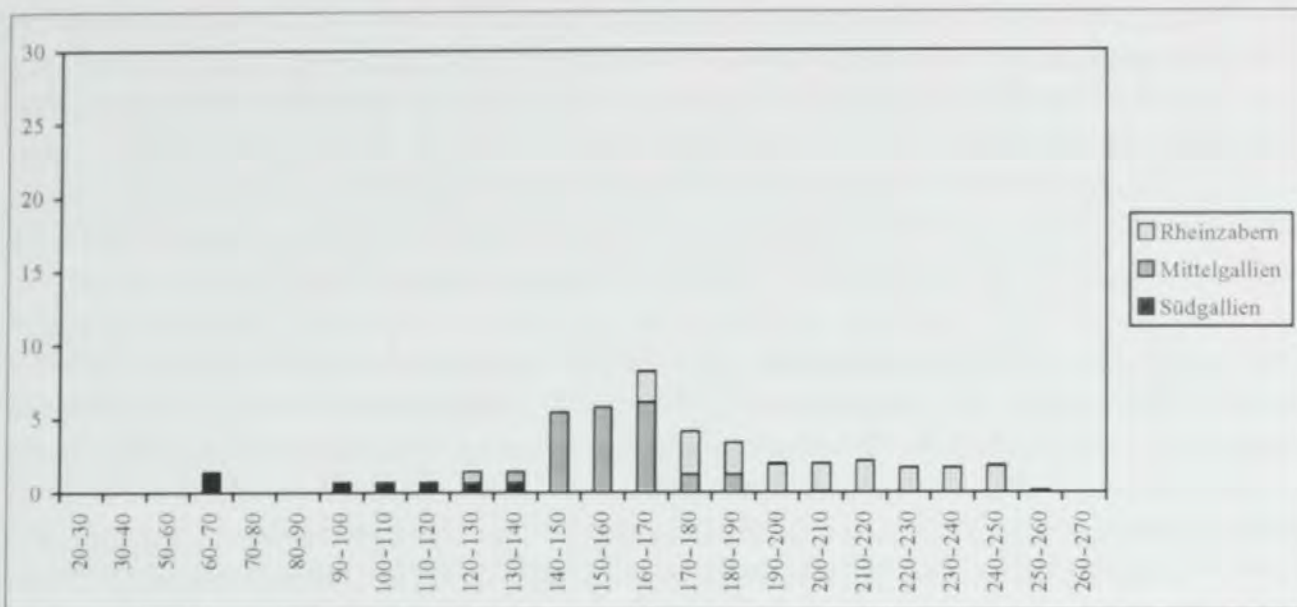


Abb. 90: Belieferung des Vicus von Saaz mit reliefverzierter süd-, mittelgallischer und Rheinzaberner Terra Sigillata sowie Produkten sonstiger Produktionszentren (Anzahl der bestimmbarer Töpfer/Jahrzehnt – Produktionszeiten/1000 m² Siedlungsbefund, n = 35).

Der Vicus von Saaz (Abb. 90) bezeugt, mit Ausnahme einer frühen Drag. 29-Schüssel aus La Graufesenque keinen nennenswerten südgallischen Import, die Verwendung reliefverzierter Sigillata war erst ab Periode 3 in hadrianischer Zeit durch die Verwendung mittelgallischer Produkte verstärkt feststellbar. In den Zeitraum bis ca. 180/190 n. Chr. gelangten im Durchschnitt fünf Drag. 37-Schüsseln pro Jahrzehnt auf 1000 m² Siedlungsfläche. Das durchschnittliche Mehrraumhaus norischer Vici besaß eine Grundfläche von 350–500 m², woraus geschlossen werden könnte, dass in Saaz in Periode 3 höchstens eine Schüssel alle fünf Jahre pro Haushalt angeschafft wurde.

Die Verwendung Rheinzaberner Ware setzte in den 60er-Jahren des 2. Jahrhunderts n. Chr. ein, wobei fast ausschließlich Töpfer der frühen und mittleren Produktionszeit nach Saaz gelangten. Das dabei gewonnene Bild deckte sich gut mit jenem des Vicus von Kalsdorf.

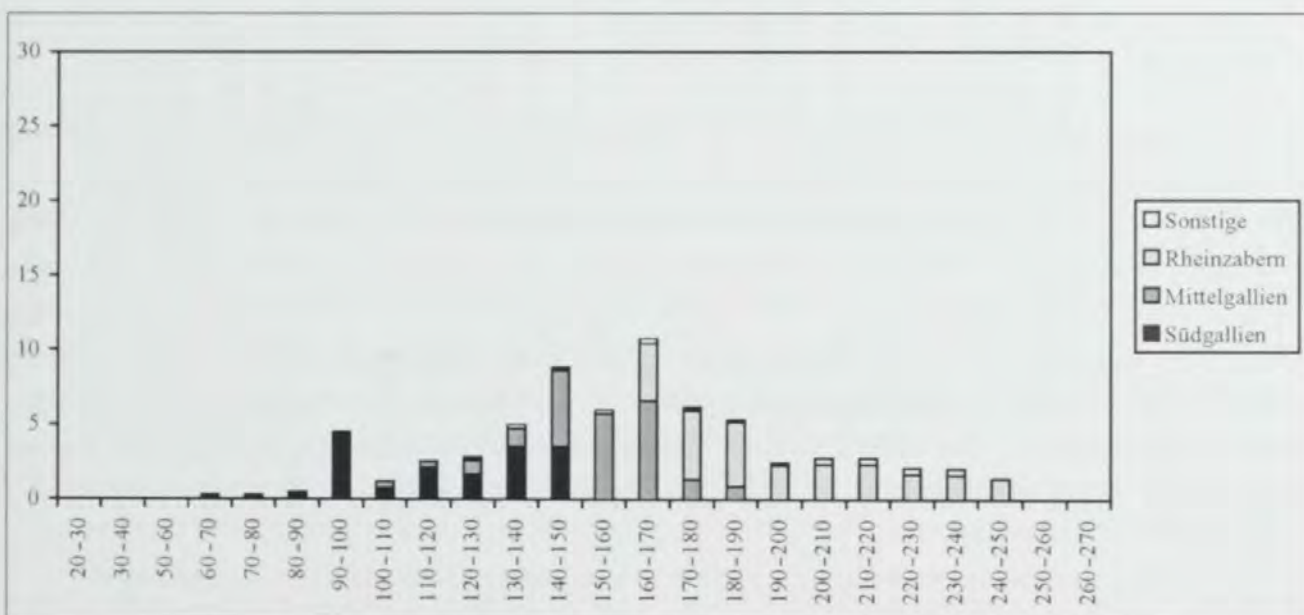


Abb. 91: Belieferung des Vicus in Kalsdorf mit reliefverzierter süd-, mittelgallischer und Rheinzaberner Terra Sigillata sowie Produkten sonstiger Produktionszentren (Anzahl der bestimmbarer Töpfer/Jahrzehnt – Produktionszeiten/1000 m² Siedlungsfläche, n = 237)¹⁵⁴.

¹⁵⁴ Vorlage: Lohner 1997.

Der Vicus von Kalsdorf (Abb. 91) wurde bereits ab flavischer Zeit stärker mit reliefverzierter Terra Sigillata versorgt, südgallische Produkte waren ab trajanischer Zeit besser vertreten, darunter vor allem die späten Sigillaten aus La Graufesenque (MERCATOR) und Banassac-Ware; Letztere fehlte in Saaz fast völlig. Die Verteilung der mittelgallischen Sigillata im Vicus von Kalsdorf entsprach jener in Saaz, wobei in Kalsdorf durchschnittlich sieben Stück pro Jahrzehnt und 1000 m² Fläche in hadrianisch/antoninischer Zeit verhandelt wurden. Die Verteilung der Rheinzaberner Ware folgt mit etwas höheren Werten wiederum jener von Saaz.

Der Fundbestand im Vicus von Gleisdorf (Abb. 92) bezeugt in flavischer Zeit bereits eine mäßige, aber deutlich über dem Niveau von Saaz und Kalsdorf liegende Belieferung mit südgallischen Sigillaten, deren Stückzahl wiederum mit der späten La Graufesenque-Ware einen ersten Höhepunkt erreichte. In hadrianisch/antoninischer Zeit setzte ein stärkerer Import aus Mittelgallien und Rheinzabern ein, Stückzahlen von durchschnittlich 15 Gefäßen pro Jahrzehnt und 1000 m² Siedlungsfläche bzw. von mindestens einer Schüssel alle zwei Jahre pro Haushalt lassen auf die Prosperität des Vicus und seine zentralörtliche Stellung schließen¹⁵⁵.

Die Belieferung des Vicus von Gleisdorf setzte sich, zu einer Zeit, als in Saaz höchstens noch zwei Sigillataschüsseln pro Jahrzehnt Verwendung fanden, auch noch in den letzten Jahrzehnten des 2. und der ersten Hälfte des 3. Jahrhunderts n. Chr. mit 5–10 Stücken pro Jahrzehnt kontinuierlich fort.

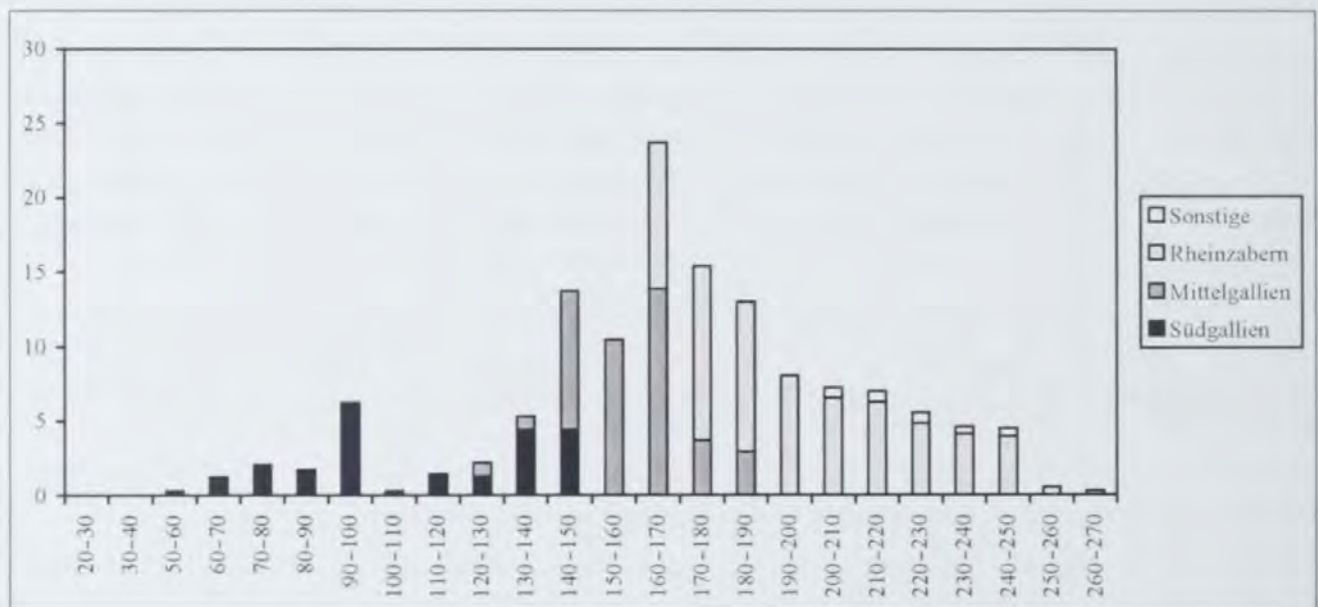


Abb. 92: Belieferung des Vicus von Gleisdorf mit reliefverzierter süd-, mittelgallischer und Rheinzaberner Terra Sigillata sowie Produkten sonstiger Produktionszentren (Anzahl der bestimmbarer Töpfer/Jahrzehnt – Produktionszeiten/1000 m² Siedlungsbefund, n = 236)¹⁵⁶.

Etwas differenzierter stellt sich die Situation in der Stadtrandinsula XLI von Flavia Solva (Abb. 93) dar. Der Siedlungsbeginn erfolgte erst in trajanischer Zeit, weshalb kaum nennenswerter vorflavischer und flavischer Import vorhanden war. Gegen 90 n. Chr. setzte der Import südgallischer Sigillata ein, wobei die späte La Graufesenque-Ware mit Produkten des MERCATOR überrepräsentiert war¹⁵⁷.

¹⁵⁵ Die Errichtung eines Amphitheaters datiert wahrscheinlich auch in hadrianisch/antoninische Zeit und unterstreicht die Bedeutung des Vicus für die Region der Provinz (St. Groh, Amphitheater in Noricum, ÖJh 74, 2005, im Druck).

¹⁵⁶ Bestimmungen nach Chornitzer 1995a, 87 ff. (Än-

derung: 90, Nr. 1 (GERMANUS III).

¹⁵⁷ Der 'peak' in den Diagrammen zu den Jahren 90–100 ergab sich aus dem bei A. Mees sehr eng eingegrenzten Datierungsansatz für MERCATOR aus La Graufesenque (Mees 1995, 86).

Die Sigillatabelieferungen der ersten Hälfte des 2. Jahrhunderts n. Chr. erfolgten in Noricum vor allem mit spätsüdgalischer Banassac-Ware und frühen mittelgallischen Produkten, die in allen ostnoricischen Vici nur schwach zugegen waren. Dies ist entweder durch eine noch wenig intensive Siedlungstätigkeit oder nur wenige Importe in suburbane Regionen erklärbar, für die Insula XLI respektive das Municipium Flavia Solva ist dieser Zeitraum gut belegt.

Die Verteilungskurve der Insula XLI bezeugt unterschiedliche Warenmengen in den urbanen und ländlichen Gebieten Südostnoricums¹⁵⁸. Die Stückzahlen des 2. Jahrhunderts n. Chr. liegen mit durchschnittlich 15–20 Schüsseln pro Jahrzehnt und 1000 m² Siedlungsfläche deutlich über jenen des Vicus von Gleisdorf¹⁵⁹. Die durch eine mächtige Brandschicht belegte Zerstörung der Insula XLI um 170/180 n. Chr. wird in Abb. 93 durch die hohen Fundzahlen von 25–30 Schüsseln in den Jahren 140–170 n. Chr. illustriert. Die danach deutlich einsetzende Siedlungsreduktion bezeugt der mengenmäßig reduzierte Import Rheinzaberner Sigillaten in den Folgejahren und in der ersten Hälfte des 3. Jahrhunderts n. Chr., der jenem in Gleisdorf weitestgehend entspricht.

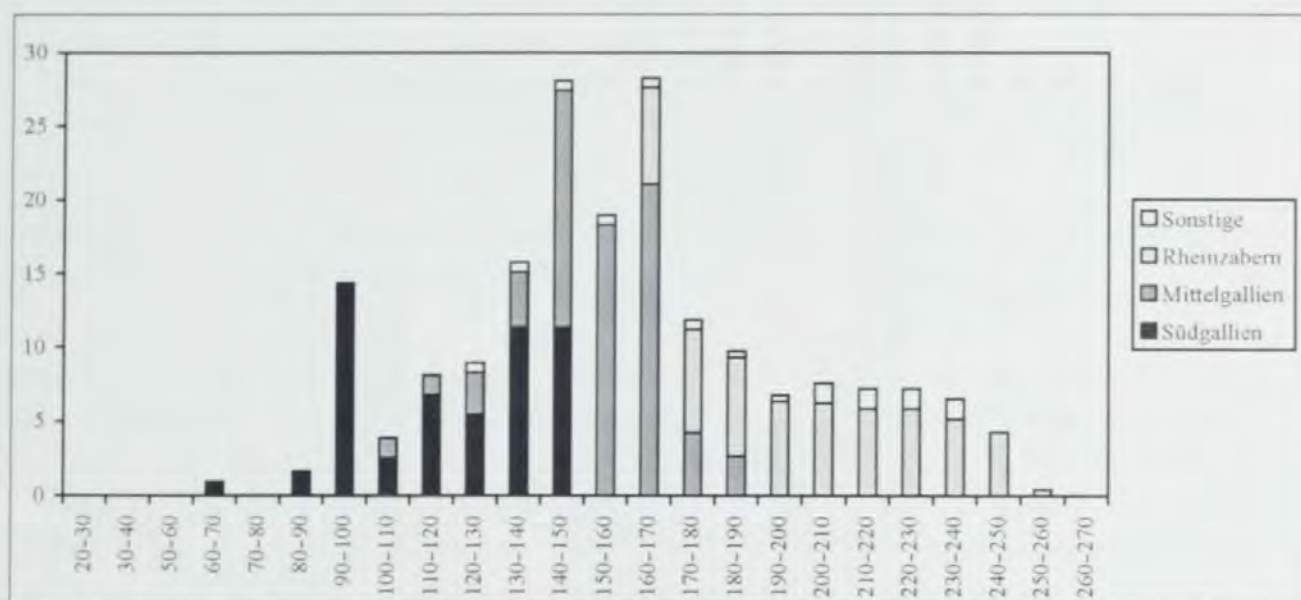


Abb. 93: Belieferung der Insula XLI von Flavia Solva mit reliefverzierter süd-, mittelgallischer und Rheinzaberner Terra Sigillata sowie Produkten sonstiger Produktionszentren (Anzahl der bestimmbarer Töpfer/Jahrzehnt – Produktionszeiten/1000 m² Siedlungsfläche, n = 249)¹⁶⁰.

Als sehr differenziert ist die Verteilungskurve im Vicus des Kastells Favianis-Mautern (Abb. 94) am Donaulimes zu betrachten. Die Parzellierung und Anlage erster komplexer Holzgebäude konnte bereits in flavische Zeit (Periode 1) datiert werden, danach war bis zum Ende der Periode 4 (170/180–250/260 n. Chr.) eine kontinuierliche Bebauung mit einfachen Grubenhütten festzustellen. Am Ende der Periode 3, um 170/180 n. Chr., wurden bereits größere Siedlungsflächen aufgegeben und in der Folgezeit nur mehr dünn besiedelt¹⁶¹.

Primär sticht die starke Belieferung des Vicus mit südgalischer Sigillata aus La Graufesenque ins Auge (Abb. 94), die sogar deutlich über jener der Insula XLI von Flavia Solva liegt,

¹⁵⁸ Vergleichbare Analysen sind für das Municipium Teurnia (Grabungen Wohnterrassen) aufgrund der nur ansatzweise flächig durchgeführten Grabungen und der geringen Stückzahlen an reliefzierter Terra Sigillata nicht möglich (Gugl 2000, 31 bzw. B. Frik-Baumgärtel, Die Terra Sigillata von den Wohnterrassen in Teurnia, ungedr. Diplomarbeit Wien [1996]).

¹⁵⁹ Die Stückzahlen für die Insula XLI dürften in

Wirklichkeit noch deutlich höher liegen, da, anders als bei den Vici, in der Insula XLI nur die stratifizierten reliefverzierten Sigillaten bei der Bearbeitung Berücksichtigung fanden (Groh 1993, 65).

¹⁶⁰ Vorlage: Groh 1993, 65–106.

¹⁶¹ Zur Kastellgeschichte: Groh – Sedlmayer 2002b; zur Vicusbebauung und Periodisierung: Groh – Sedlmayer 2006.

späte Banassac-Ware war nur noch schwach vertreten. Letztere dürfte in die Südostregion der Provinz stärker geliefert worden sein als an den Limes¹⁶². Die Sigillataimporte von 120–160 n. Chr. mit Stückzahlen von jeweils fünf Schüsseln pro Jahrzehnt und 1000 m² Siedlungsfläche sind mit jenen von Kalsdorf gut vergleichbar und sprechen für eine ähnliche Siedlungsintensität

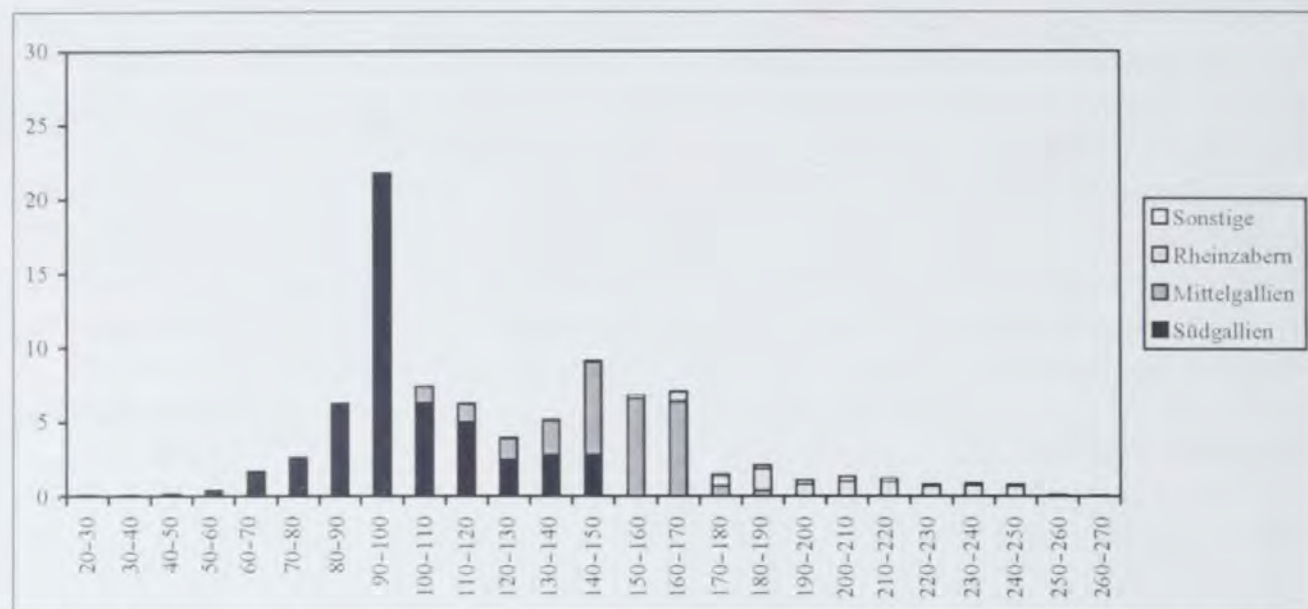


Abb. 94: Belieferung des Vicus Ost von Favianis-Mautern mit reliefverzierter süd-, mittelgallischer und Rheinaberner Terra Sigillata sowie Produkten sonstiger Produktionszentren (Anzahl der Töpfer/Jahrzehnt - Produktionszeiten/1000 m² Siedlungsfläche, n = 701)¹⁶³.

Rheinaberner Sigillata war, erklärbar durch die Siedlungsreduktion in Periode 4, in Favianis-Mautern nur sehr schwach präsent. Die Sigillataspektren der südostnorischen Vici und auch der Stadtinsulae von Flavia Solva bezeugen im Gegensatz dazu eine zwar schwächere, jedoch kontinuierliche Belieferung bis weit in das 3. Jahrhundert n. Chr.¹⁶⁴ In Favianis-Mautern war im Zuge der Markomannenkriege nach 170/180 n. Chr., ohne erkennbare Zerstörung in Kastell und Vicus, eine Aufgabe weitläufiger Siedlungsbereiche feststellbar, die sich auch im stark verminderten Import der folgenden Jahrzehnte niederschlug¹⁶⁵. In der Insula XLI von Flavia Solva fielen alle Gebäude der Periode II um 170/180 n. Chr. einer Brandkatastrophe zum Opfer, der Wiederaufbau in Periode III erfolgte jedoch bald nach der Zerstörung¹⁶⁶. In den Vici von Gleisdorf, Kalsdorf und Saaz konnte man keine Zerstörungshorizonte der Markomannenzeit dokumentieren, für Saaz ist jedoch eine sehr eingeschränkte Siedlungsintensität in Periode 4 anzunehmen.

Die Spektren Rheinaberner Sigillata belegten für die oben genannten Siedlungsplätze eine kontinuierliche Siedlungstätigkeit bis in das 3. Jahrhundert n. Chr., die Markomannenkriege dürften sich auf die Limesregion der Provinz weitaus stärker als auf das südöstliche Hinterland ausgewirkt haben.

Die Töpfer der spätesten Rheinaberner Produktionszeit der Jaccard-Gruppen 2 und 7 bzw. der Bernhard-Gruppe III waren in den ländlichen Siedlungen von Südostnoricum stark unterrepräsentiert bzw. wurden kaum verhandelt, was sich vielleicht durch ein Ende der Siedlungen um bzw. vor der Mitte des 3. Jahrhunderts n. Chr. erklären ließe. In Favianis-Mautern, wo nach einem Zerstörungshorizont gegen Ende der Periode 4 um 250/260 n. Chr. im Kastell

¹⁶² St. Groh, *Importations tardives du sud de la Gaule dans le Norique. La circulation des produits de Banassac dans les Alpes orientales*, S.F.E.C.A.G. Actes du Congrès d'Istres (1998) 315 ff.

¹⁶³ Groh 2006b, 212 ff. (Mautern).

¹⁶⁴ Die gleichmäßige Verteilung der Balken für die

Stückzahlen reliefverzierter Rheinaberner Sigillata ergab sich vor allem aus den in der ersten Hälfte des 3. Jhs. kaum eingrenzbar datierten Töpfer mittlerer und später Produktionszeit (Mees 2002, 323 ff.).

¹⁶⁵ Groh 2006b, 236 ff.

¹⁶⁶ Groh 1996, 87 ff.

und in Teilen des Vicus während der Folgeperiode 5 (270/280–360/370 n. Chr.) eine Wiederbesiedlung nach einem zeitlichen Hiatt von 10–20 Jahren erfolgte, waren diese späten Töpfer in beiden Perioden noch mit repräsentativen Anteilen vertreten¹⁶⁷.

Für die Frühzeit bzw. die Datierung des Beginns der einzelnen Siedlungsplätze war, neben den übrigen Fundspektren, der Anteil südgallischer Sigillaten und die Fundmenge italischer Importe ausschlaggebend. In Abb. 95 wurde der Versuch unternommen, methodisch vergleichbar mit der Analyse der reliefverzierten Terra Sigillata, auch den italischen Import zu visualisieren. Dieser Visualisierung liegt die Unterteilung der italischen, überwiegend tardo-padanischen Sigillata nach Formengruppen zugrunde, Arretina wurde nicht gesondert berücksichtigt. Als Datierungsansatz für die Formengruppe A wurde die zweite Hälfte des 1. Jahrhunderts n. Chr., für die Formengruppe B die erste Hälfte des 2. Jahrhunderts n. Chr. gewählt. Diese Datierungen stellen Richtwerte für die Distribution der italischen Sigillaten in Noricum dar und beschreiben zwei grobe Zeithorizonte, geben Tendenzen wieder, sollten aber nicht als absolute Datierungen betrachtet werden¹⁶⁸. Die Aufgliederung erfolgte wiederum nach Stückzahlen pro Formengruppe und Jahrzehnt für jeweils 1000 m² Siedlung.

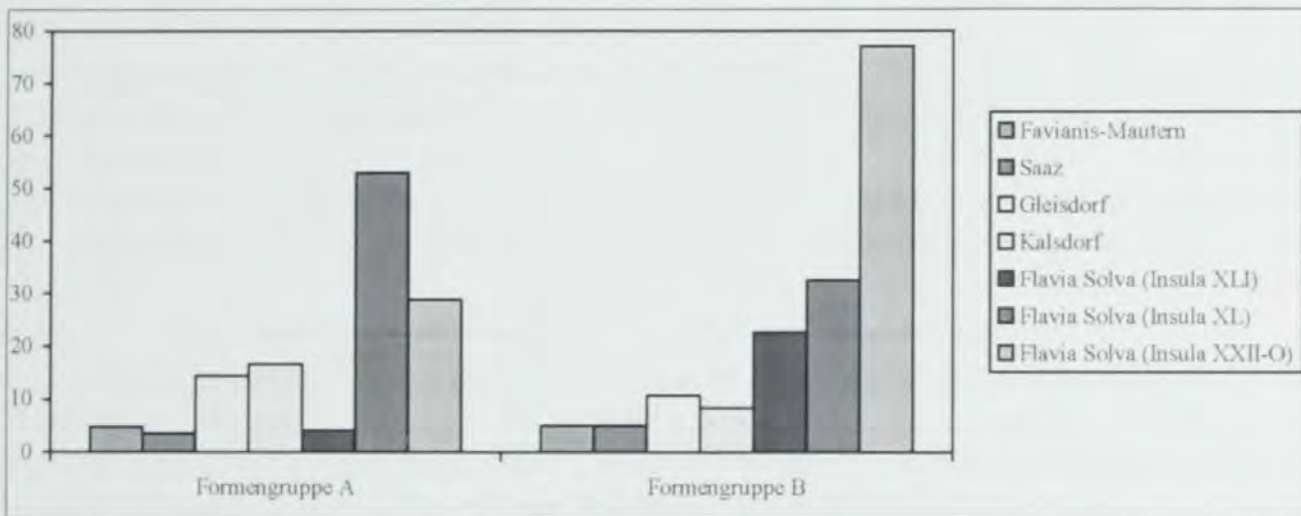


Abb. 95: Belieferung der norischen Vici von Favianis-Mautern, Saaz, Gleisdorf und Kalsdorf sowie der Insulae XXII-O, XL und XLI von Flavia Solva mit italischer Sigillata (Anzahl der Stücke pro Formengruppe/Jahrzehnt/1000 m² Siedlungsfläche; Formengruppe A: 50–100 n. Chr.; Formengruppe B: 100–150 n. Chr.)¹⁶⁹.

¹⁶⁷ Groh 2006b, 236 ff.

¹⁶⁸ Erste arretinische Sigillata fand am Magdalensberg ab spätaugusteischer Zeit Verwendung, TSTP war bereits in claudischen Fundkomplexen auf dem Magdalensberg präsent (Schindler Kaudelka 2001, 151 ff.). Das Verhältnis der Formengruppen zueinander ergibt einen Zeithorizont für die TSTP in Noricum (Groh 1996, 104 ff.).

¹⁶⁹ Saaz: 31 Stück, davon 18 der Formengruppe A und 13 der Formengruppe B; Gleisdorf: 200 Stück, davon 115 der Formengruppe A und 85 der Formengruppe B (E. Schindler-Kaudelka, Die italische Sigillata aus dem Vicus von Gleisdorf, in: Lorenz – Maier – Lehner 1995, 68); Kalsdorf: 438 Stück, davon 292 der Formengruppe A und 146 der Formengruppe B (Lohner 1997, 409, genaue Stückzahlen lassen sich anhand des Diagramms bei Lohner nicht ablesen, zwar wurden 290 reliefverzierte Sigillaten vorgestellt, die Stückzahl der italischen Sigillaten wird aber, wie jene der glatten Sigillata, nicht erwähnt – die 73 vorgestellten südgallischen reliefverzierten Stücke entsprechen 10% der Gesamtmenge im Diagramm Kalsdorf,

daraus resultieren folgende Zahlen: italische Sigillata 438 Stück, südgallische Sigillata 292 Stück (219 glatte und 73 reliefverzierte). Das Verhältnis Formengruppe A:B beträgt in Kalsdorf 2:1, daraus ergaben sich die oben genannten Zahlen, die nur als Näherungswerte verstanden werden können (Lohner 2003, 111 Anm. 7); Mautern (Vicus): 227 Stück, davon 110 der Formengruppe A und 117 der Formengruppe B (Groh 2006b, 215 ff.); Flavia Solva – Insula XLI: 165 Stück, davon 23 der Formengruppe A und 85 der Formengruppe B (Groh 1996, 104 ff., dabei wurden die 165 stratifizierten italischen Sigillaten berücksichtigt, insgesamt lagen aus der Insula XLI 280 italische Gefäßfragmente vor, deren Zusammensetzung nach Formengruppen jedoch nicht angeführt wurde (E. Schindler-Kaudelka, Italische Terra sigillata aus Flavia Solva, FÖ 33, 1994 (1995) 357); Flavia Solva – Insula XXII: 584 Stück, davon 150 der Formengruppe A und 434 der Formengruppe B (Groh 1996, 107 Tab. 5 bzw. 174 Abb. 80); Flavia Solva – Insula XL: 389 Stück, davon 241 der Formengruppe A und 148 der Formengruppe B (Groh 1996, 107 Tab. 5).

Neben den Vici von Saaz, Gleisdorf, Kalsdorf und Favianis-Mautern fanden zusätzlich zur Insula XLI noch die Fundspektren der Insulae XXII-O und XL von Flavia Solva Berücksichtigung (Abb. 95). Die beiden Vici in Saaz und Favianis-Mautern bezeugen, wie auch die Insula XLI von Flavia Solva, nur geringe Belieferungen mit italischer Ware der Formengruppe A. Für den norischen Limes lagen bis zur Bearbeitung der Sigillata von Favianis-Mautern (Vicus Ost, Grabungen 1997–1999) keine repräsentativen Stückzahlen italischer Importe vor, diese gelangten jedoch im Ausmaß von 11% der Gesamtmenge glatter und reliefverzierter Sigillata an den Platz¹⁷⁰. Das Verhältnis italischer zu südgallischer/reliefverzierter Sigillata betrug in der Limesregion etwa 1:1, im Hinterland 2:1 und in der Südostregion der Provinz 3:1–6:1. Trotz einer für den Limes ungewöhnlich starken Belieferung von Favianis-Mautern mit italischen Waren war der Anteil dieser Sigillaten in zeitgleichen Siedlungen Südnoriums um das Drei- bis Sechsfache höher. Favianis-Mautern bzw. die ostnorische Limesregion östlich der Wachau weist ähnliche Belieferungsmuster wie das Einzugsgebiet der Bernsteinstraße auf, Südostnorium und Südpannonien wurden noch um ein Vielfaches stärker mit italischen Waren versorgt¹⁷¹. Südgallische Sigillata verhandelte man hingegen stärker am Limes als im südostnorischen Teil der Provinz. Charakteristisch erscheint die mengenmäßig ausgeglichene Belieferung von Favianis-Mautern und Saaz mit Waren der Formengruppen A und B, ein Spektrum, wie es für in flavischer Zeit gegründete Siedlungen charakteristisch ist. Die Vici von Gleisdorf und vor allem Kalsdorf importierten 14 bzw. 16 Gefäße der Formengruppe A pro Jahrzehnt und 1000 m² Siedlung in der ersten Hälfte des 1. Jahrhunderts n. Chr., was, im Vergleich mit den beiden flavisch datierten Vici von Favianis-Mautern und Saaz (3–4 Gefäße) und mit dem Import der Formengruppe B, einen immens hohen Wert darstellte. Dieses Überwiegen der Formengruppe A deutete auf einen vorflavischen Siedlungsbeginn, wobei Kalsdorf tendenziell noch etwas früher als Gleisdorf anzusetzen wäre.

Die Insula XLI erreichten, bedingt durch den trajanischen Siedlungsbeginn, kaum Gefäße der Formengruppe A, diese können, im Vergleich mit den starken Fundzahlen der Formengruppe B, als reine *residuals* bewertet werden. Besonders beeindruckend sind die hohen Fundzahlen der Insula XL (58 Stück/Jahrzehnt/1000 m²), welche die frühe Datierung der ältesten Holzbausiedlung von Flavia Solva unterstreichen und jene der Insula XXIII-O (28 Stück/Jahrzehnt/1000 m²), in der die erste Holzbauphase in claudischer Zeit angenommen wird.

Für die Frühzeit ist daher im urbanen Bereich Südostnoriums (Insula XXII-O) gegenüber kontemporären (claudischen) ländlichen Regionen (Kalsdorf, Gleisdorf) mit der doppelten Importmenge an italischen Sigillaten zu rechnen. Der Import von Waren der Formengruppe B erreichte in den Vici allgemein einen Wert zwischen 5–10 Stück/Jahrzehnt/1000 m², dies lässt auf eine ausgewogene Belieferung der ländlichen Regionen mit italischen und süd-/mittelgallischen Waren in den ersten Jahrzehnten des 2. Jahrhunderts n. Chr. schließen. Ab hadrianischer Zeit wurde die TSTP jedoch vom Markt verdrängt, wie es am Beispiel der Insula XLI von Flavia Solva nachvollzogen werden kann¹⁷². Dieser Verdrängungsprozess setzte am Limes (Favianis-Mautern) bereits zu Beginn des 2. Jahrhunderts n. Chr. in Periode 2 (100/110–130/140 n. Chr.) ein¹⁷³.

Die Stückzahlen italischer Sigillata der Formengruppe B der Solvenser Insulae illustrieren die offensichtlich auch von der Lage im Stadtgebiet und der Baudichte abhängige Prosperität. Die Insulae XL und XLI waren in der ersten Hälfte des 2. Jahrhunderts n. Chr. mit identischen Haustypen vergleichbar dicht bebaut, die Anlage der ersten Häuser desselben Grundrisses in der Insula XXII-O erfolgte noch im 1. Jahrhundert n. Chr.¹⁷⁴. Auf diese lockere Bebauung

¹⁷⁰ Groh 2006b, 210 ff.

¹⁷¹ Groh 2006b, 215 ff.

¹⁷² Groh 1996, 106 ff.

¹⁷³ Groh 2006b, 227 ff.

¹⁷⁴ E. Hudeczek, Flavia Solva, *JberJoanneum N.f.* 10, 1980, 122; E. Hudeczek, Flavia Solva, *JberJoanneum N.f.* 14, 1984, 110.

folgte die Errichtung eines Mittelkorridorhauses italischen Bautyps, ein Grundriss, der in Flavia Solva in zumindest zwei weiteren Insulae Verwendung fand (Insula IV, XXX). Der Zeitpunkt dieses Umbaus wird in das 3. Jahrhundert n. Chr. gesetzt¹⁷⁵, derselbe Haustyp datiert in der unmittelbar nördlich anschließenden Insula XXX jedoch bereits in das ausgehende 1. und 2. Jahrhundert n. Chr.¹⁷⁶. Vielleicht indiziert die große Menge italischer Sigillata und auch der Amphoren (s. u.) nicht nur die zentrale Lage der Insula XXII-O, sondern auch eine dichtere Verbauung mit einem komplexen Gebäude italischen Typs respektive andere Bewohner. In den Stadtrandlagen (Insula XL und XLI) fanden sich nur 25–30% jener Menge, die in der zentral gelegenen Insula XXII-O beobachtet werden konnte.

Der Gesamteindruck, den das Diagramm der Abb. 95 vermittelt, ist vergleichbar mit jenem der reliefverzierten Sigillata der Abb. 90–94. Es herrschte in Noricum ab dem Beginn der Siedlungstätigkeit ein massives Stadt-Land-Gefälle, das sich im Import niederschlug. Nimmt man den Import pro m² Siedlungsareal als Maßstab für die Prosperität und Wirtschaftskraft einer Siedlung an, dann erreichte der wirtschaftlich potenteste Vicus von Gleisdorf vom 1.–3. Jahrhundert n. Chr. annähernd die Produktivität und den Wohlstand der suburbanen Bereiche eines Municipium. Eine weitere Differenzierung ließ sich auch für die übrigen Vici Südostnoricums feststellen, Kalsdorf und Favianis-Mautern erreichten etwa ein Drittel der Produktivität von Gleisdorf; Saaz wiederum zwei Drittel der Produktivität von Kalsdorf und Favianis-Mautern. Im suburbanen Bereich des Municipium herrschte die vier bis sechsfache Wirtschaftskraft des Vicus von Saaz.

Innerhalb des Stadtgebiets dürfte es jedoch auch gravierende ökonomische Unterschiede gegeben haben, zentral gelegene Insulae wiesen einen 60–75% stärkeren Import als Stadtrandlagen auf.

Zur Bestätigung dieser Hypothese wurden Amphoren als weitere Materialgruppe analysiert (Abb. 96). Dafür lagen Zahlen aus den Vici von Saaz und Favianis-Mautern sowie der Insulae XXII-O und XLI von Flavia Solva vor¹⁷⁷. Der Zeitrahmen des Imports nach Noricum deckte sich für die Hauptvorkommen annähernd mit jenem der italischen Sigillata, zumindest für den Südosten der Provinz ist auch mit gemeinsamen Transportwegen von Aquileia aus zu rechnen. Die Anzahl der Amphoren pro Fundplatz wurde wiederum pro 1000 m² Grabungsfläche berechnet. Als Zeithorizont wurde bei der Analyse nicht der Zeitraum von 50–150 n. Chr., sondern der Zeitraum vom Beginn der jeweiligen Siedlung bis 150 n. Chr. gewählt¹⁷⁸.

Das Diagramm (Abb. 96) zeigt erneut gravierende Unterschiede in der Belieferung urbaner, suburbaner und ländlicher Regionen in Noricum, wobei im Vicus von Saaz mit der Präsenz einer Amphore alle 20 Jahre pro Haushalt wohl kaum von Import als vielmehr von einem 'Generationenergebnis' gesprochen werden kann. Der Vicus von Favianis-Mautern wurde vielleicht durch den Einfluss des Militärs besser mit Amphoren versorgt, es gelangten immerhin ein bis

¹⁷⁵ Saki-Oberthaler 1994, 64 Abb. Phasenplan, unter Berufung auf E. Hudeczek, Flavia Solva – Insula XXII, ungedr. Zwischenbericht über die Grabungen 1980–1988 (1988).

¹⁷⁶ Die, nicht zur Gänze untersuchte, erste Verbauung im Südosten der Insula XXX erfolgte noch im 1. Jh. n. Chr., die Grundrissmauern des Mittelkorridorhauses aus Bauperiode 2 entsprachen weitgehend jenen der Bauperiode 1. Daraus könnte geschlossen werden, dass bereits in Bauperiode 1 ein Mittelkorridorhaus errichtet wurde (E. Hudeczek, Ausgrabung 1970 in Flavia Solva, PAR 21,

1971, 17 ff. bzw. Groh 1996, 175).

¹⁷⁷ Flavia Solva – Insula XLI: 27 Stück (S. Saki-Oberthaler, Römische Amphoren aus der Insula XLI von Flavia Solva. Rettungsgrabungen 1989 bis 1992, RÖ 19/20, 1991–1992, 127 ff.); Flavia Solva – Insula XXII: 146 Stück (Saki-Oberthaler 1994; Saki-Oberthaler 2000, 381 ff.); Mautern (Vicus): 122 Stück (Sedlmayer 2006, 275 ff.); Saaz: 6 Stück (Kap. II.B.4).

¹⁷⁸ Saaz: 70–150; Mautern: 70–150; Flavia Solva – Insula XLI: 100–150; Flavia Solva – Insula XXII-O: 50–150.



Abb. 96: Belieferung der norischen Vici von Favianis-Mautern und Saaz sowie der Insulae XXII-O und XLI von Flavia Solva mit Amphoren (Anzahl der Stücke/Jahrzehnt/1000 m² Siedlungsfläche: Siedlungsbeginn bis 150 n. Chr.).

zwei Amphoren pro Jahrzehnt in einen Haushalt. In der Stadtrandinsula XLI von Flavia Solva stieg der Import auf zwei bis drei Amphoren, in der zentralen Insula XXII-O hingegen waren Amphoren mit sieben Stück pro Jahrzehnt und Haushalt bzw. ein bis zwei Amphoren pro Jahr und Haushalt ein allgemeines Gebrauchsgut.

Die Ergebnisse dieser Analysen unterstützen den methodischen Ansatz, dass Importware als Gradmesser für die Romanisierung, die Produktivität und den Wohlstand eines Siedlungsplatzes bzw. Hauses herangezogen werden kann, wenn man die Faktoren Zeit, Menge und Fläche berücksichtigt. Die relative Armut der ländlichen, in lokalen Traditionen stark verwurzelten, entlegenen Regionen wie z. B. jener von Saaz musste in der mittleren Kaiserzeit in starkem Gegensatz zu der 'suburbanen' materiellen Kultur eines regionalen Hauptortes wie Gleisdorf und der urbanen materiellen Kultur wie in Flavia Solva gestanden haben, auch wenn hier wie dort dieselben Haustypen Verwendung fanden, die zusammen mit dem übrigen Fundmaterial auf einheimische Bevölkerung als Kulturträger schließen lassen.

St. GROH

2. SIGILLATAIMITATIONEN

Imitation Drag. 29/30 mit Steilrand

Taf. 1, 146/2/20.

Gesamtzahl/Siedlung: 1. Periode 1.

Nachweise in Noricum: St. Martin an der Raab, Kapfenstein (*t.p.q.* 140/144 n. Chr.)¹⁷⁹.

Imitation Drag. 29/30 mit rund nach außen verdicktem Rand

Taf. 4, 161/7/20; 4, 161/4/20; 8, 78/31/31; 25, 82/7/22.

Typ/Konkordanz: Pammer 2001, Typentaf. 9, S 3; Artner 1988/89, Abb. 13, S2/1.

Gesamtzahl/Siedlung: 4. Älteste: Periode 2. Hauptvorkommen: Periode 2 (SE 161).

Nachweise in Noricum: St. Martin an der Raab, Gleisdorf (Grab 6, mit A 236 h: 80/180 n. Chr.), Kalsdorf (Grube 6: 150/200 n. Chr.), Colatio-Stari trg¹⁸⁰.

¹⁷⁹ Lamm 2005, 102 ff. Taf. 10, 177; 35, 549 (St. Martin an der Raab); Urban 1984, 121 Taf. 65, B, 6 (Kapfenstein).

¹⁸⁰ Lamm 2005, 100 ff. Taf. 9, 62; 15, 381; 27, 291 (St. Martin an der Raab); Artner 1988/89, 65 f. Taf. 1, Grab 1,

4; 3, Grab 6, 2; Jeschek 2000, Taf. 61, 1–4; 62, 5, 7–9; 62, 9 = 140, 19, 21; Erath – Jeschek 1994, 596 Abb. 918 (Gleisdorf); Pammer 2001, 72 f. Typentaf. 9, S 3; Taf. 10, 26; 37, 70–71 (Kalsdorf); Djura Jelenko 2004, 101 Taf. 3, 19 (Stari trg).

Imitation Drag. 37

Taf. 4, 122/1/20, 155/1/20; 7, 76a/3/22; 8, 78/7/1, 78/11/26, 78/17/43; 12, 59/13/28; 15, 60/7/23, 60/9/30, 60/13/27, 60/32/26, 60/35/23; 18, 61/12/25; 23, 76/15/20, 76/19/24, 76/33/25; 25, 82/7/29; 31, 13/2/4, 13/14/4.

Typ/Konkordanz: Pammer 2001, Typentaf. 9, S 1.1–2.

Gesamtzahl/Siedlung: 19, Oberfläche: 3. Älteste: Periode 2. Hauptvorkommen: Periode 4 (SE 60).

In allen Teilen von Noricum verbreitet, Nachweise in Südostnoricum: St. Martin an der Raab, Saazkogel (Siedlung, FJ. 2000), Gleisdorf, Kalsdorf (Grube 4: 120/150 n. Chr.), Flavia Solva (Grube G7: 280/350 n. Chr.), Frauental an der Laßnitz, Slovenska Bistrica, Spodnja Nova vas¹⁸¹.

Imitation Drag. 44

Abb. 113, 78/31/30; Taf. 5, 154/2/22; 8, 78/6/22, 78/31/30; 12, 59/13/27; 26, 84/5/21; o. Abb. 61/1/35.

Gesamtzahl/Siedlung: 6, Oberfläche: 2. Hauptvorkommen: Perioden 3 (SE 78) und 4.

In allen Teilen von Noricum verbreitet, Nachweise in Südostnoricum: St. Martin an der Raab, Riegersburg, Gleisdorf, Bohova, Slovenska Bistrica, Vransko¹⁸².

Produktion in Poetovio-Ptuj (Keramikbrennofen Cafuta/1975: mittlere Kaiserzeit)¹⁸³.

Imitation Drag. 36 (Variante mit geradem Flachrand), Imitation Drag. 35

Taf. 2, 168/1/20; 26, 74/3/22; o. Abb. 66/5/20, 76/11/20.

Typ/Konkordanz: Artner 1988/89, Abb. 12, LS1/48; Fuchs 1980, Schalen/Teller 3101.

Gesamtzahl/Siedlung: 3 (Drag. 36), 1 (Drag. 35). Älteste: Periode 1. Hauptvorkommen: Periode 4.

Imitationen von Drag. 36 sind hauptsächlich in der norischen Limesregion und in Südostnoricum verbreitet, die Variante mit geradem Flachrand in: Saazkogel (Hügelgräberfeld, FJ. 1999), Gleisdorf (Grab 7b: 100/150 n. Chr.), Kalsdorf (Grube 11: 170/200 n. Chr.), Flavia Solva, Velenik (Grab: 80/100 n. Chr.), Vransko, Colatio-Stari trg (Grab: *t.p.q.* 117/138 n. Chr.), Lentia-Linz, Schönbichl, Zeiselmauer¹⁸⁴.

Kragenschüssel

Taf. 8, 78/3/21.

Gesamtzahl/Siedlung: 1, Oberfläche: 1. Periode 3.

Nachweise in Südostnoricum: Gleisdorf¹⁸⁵.

¹⁸¹ Lamm 2005, 93 ff. Taf. 2, 237; 24, 152; 27, 290; 30, X54; 30, 352/403; 39, 13 (St. Martin an der Raab); Lamm 2001, 86 Abb. 31 (Saazkogel); Pammer 2001, 71 Typentaf. 9, S 1.1; Taf. 20, 76; Typentaf. 9, S 1.2; Taf. 10, 23; Jeschek – Lehner 1994, 193 Abb. 59 (Kalsdorf); Artner 1988/89, 78 Taf. 25, Grab 45, 7; 91 Taf. 43, XXVI, 6; Jeschek 2000, Taf. 65, 27 = 139, 14; 66, 28, 31 (Gleisdorf); Groh 1996, 191 Taf. 35, K87 (Flavia Solva); Fürnholzer 2004, 453 Taf. 1, 7 (Frauental an der Laßnitz); Pahič 1978, 254 f. Taf. 1, 15, 16, 28–29 (Slovenska Bistrica); 8, 8, 10; 10, 6–8 (Spodnja Nova vas).

¹⁸² Sedlmayer 2006, 256; Ch. Gugl – R. Sauer, Mittelkaiserzeitliche Feinkeramik aus den Wohnterrassen von Teurnia – St. Peter in Holz, Kärnten, FÖ 37, 1998 (1999) 215 f. (Noricum); Lamm 2005, 119 Taf. 20, X2/137 (St. Martin an der Raab); Bauer 1997, 98 Taf. 23, R241 (Riegersburg); Jeschek 2000, Taf. 63, 10–11; 141, 26 (Gleis-

dorf); Strmčnik-Gulič 1994, 278 f. Abb. 9, 2 (Bohova); Pahič 1978, 255 Taf. 3, 19, 21 (Slovenska Bistrica); Vidrih Perko 1997, 165 Abb. 1, 16 (Vransko).

¹⁸³ Strmčnik-Gulič 1993, 488 Taf. 3, 1–2; 7, 9–10, 12–13, 15 (Ptuj).

¹⁸⁴ Artner 2003, 152 Abb. 6, 6 (Saazkogel); Artner 1988/89, 28 Abb. 12, LS1/48; Taf. 5, Grab 7b, 8; 24, Grab 42, 6; Jeschek 2000, Taf. 67, 35 (Gleisdorf); Pammer 2001, 78 Taf. 63, 128 (Kalsdorf); Fuchs 1980, 33; 238 Nr. 3101 Taf. A1, Grab 1, 2 (Flavia Solva); Pahič 1978, 255 Taf. 17, 2 (Velenik); Vidrih Perko 1997, 165 Abb. 2, 1 (Vransko); Strmčnik-Gulič 1981, 361 Taf. 16, 2 (Stari trg); Ruprechtsberger 1992, 108 Taf. 8, 1 (Linz); H. Kerchler, Die römerzeitlichen Brandbestattungen unter Hügeln in Niederösterreich, ArchA Beih. 8 (1967) 181 Taf. 9, 5 (Schönbichl); Muschal 1995, Taf. 13, 1 (Zeiselmauer).

¹⁸⁵ Jeschek 2000, Taf. 141, 24 (Gleisdorf).

Imitation Curle 15

Taf. 12, 59/5/33, 59/10/28.

Gesamtzahl/Siedlung: 2. Periode 4 (SE 59).

Imitation Drag, 18/31

Taf. 12, 59/13/21.

Gesamtzahl/Siedlung: 1. Periode 4.

Nachweise in Noricum, Analogie von Taf. 12, 59/13/21: Favianis-Mautern (130/140–170/180 n. Chr.), Zeiselmauer¹⁸⁶.

H. SEDLMAYER

3. FEINWARE, IMPORTE UND IMITATIONEN**3.1 Italische Feinware bzw. deren Imitationen****Schale mit Barbotineschuppendedekor Plesničar-Gec 1977, Taf. 1, 27–28**

Taf. 1, 160/3/22; 2, 147/4/22; 4, 161/3/20; 12, 59/14/21; 20, 67/6/23, 67/19/21.

Gesamtzahl/Siedlung: 6. Hauptvorkommen: Perioden 1 und 4 (SE 67).

In allen Teilen von Noricum verbreitet, Nachweise in Südostnoricum: St. Martin an der Raab, Gleisdorf, Kalsdorf, Frauenberg (Heiligtum: 40/50–100 n. Chr.), Celeia-Celje¹⁸⁷.Absolut datierte Parallele in Emona-Ljubljana (Grab: nach 102 n. Chr.)¹⁸⁸.**Schale mit Barbotineschuppendedekor Plesničar-Gec 1977, Taf. 1, 26, 29–30**

Taf. 2, 147/4/25; 5, 123/2/20.

Gesamtzahl/Siedlung: 2. Perioden 1 und 3.

Nachweise in Noricum: Gleisdorf, Moosham¹⁸⁹.**Schale mit Barbotinespitzblattdekor Plesničar-Gec 1977, Taf. 1, 36, 74**

Taf. 8, 78/17/53.

Gesamtzahl/Siedlung: 1, Oberfläche: 1. Periode 3.

Nachweise in Noricum: Saazkogel (Hügelgräberfeld, FJ. 1999, Bestattung 3, mit A 85: 120–170/180 n. Chr.), Gleisdorf, Colatio-Stari trg, Zeiselmauer, Wels, Seebruck¹⁹⁰.**Schale mit Barbotinebogendedekor Variante von Plesničar-Gec 1977, Taf. 1, 37**

Taf. 20, 67/12/21.

Gesamtzahl/Siedlung: 1. Periode 4.

Nachweise in Noricum: Seebruck¹⁹¹.

¹⁸⁶ Sedlmayer 2006, 259 Taf. 144, 3214/12 (Mautern); É. B. Bónis, Die kaiserzeitliche Keramik von Pannonien, *Dissertationes Pannonicae* II/20 (1942) 264 Taf. 21, 27 (Zeiselmauer).

¹⁸⁷ Sedlmayer 2006, 260 (Noricum); Lamm 2005, 106 ff. Taf. 13, 304; 27, 293/410 (St. Martin an der Raab); Jeschek 2000, Taf. 157, 134, 135, 137 (Gleisdorf); Leger 1999, Taf. 7, 67–68 (Kalsdorf); Groh – Sedlmayer 2005, 234 ff. Taf. 15, 87/5; 17, 67/20–23; 19, 79/1 (Frauenberg); B. Vičič, Römische Funde am Fuß des Mikavški hrib bei Celje, *AVes* 48, 1997, 46 f. Taf. 3, 7 (Celje).

¹⁸⁸ Plesničar-Gec 1972, 199 Taf. 84, Grab 325, 12 (Ljubljana).

¹⁸⁹ Jeschek 2000, Taf. 158, 160 (Gleisdorf); Moucka-Weitzel 1998, 94 Taf. 22, 10 (Moosham).

¹⁹⁰ Artner 2003, 154 Abb. 14, 10 (Saazkogel); Artner 1988/89, 78 Taf. 25, Grab 45, 10 (Gleisdorf); Djura Jelenko 2004, 101 Taf. 2, 7 (Stari trg); Muschal 1995, Taf. 1, 4 (Zeiselmauer); Karnitsch 1959, 21 Abb. 2; E. M. Ruprechtsberger, Römerzeitliche Funde aus Ovilavis/Wels (I), in: K. Holter (Hrsg.), Beiträge zur Topographie des römischen Wels, Quellen und Darstellungen zur Geschichte von Wels 1 (1988) 68 Taf. 2, 5 (Wels); Burmeister 1998, 231 Taf. 67, 567 (Seebruck).

¹⁹¹ Burmeister 1998, 231 Taf. 67, 566 (Seebruck).

Schale mit Ratterdekor Plesničar-Gec 1977, Taf. 1, 76

Taf. 15, 60/16/20.

Gesamtzahl/Siedlung: 1. Periode 4.

Nachweise in Noricum: Kalsdorf¹⁹².**Ox. gebrannte Imitation italischer Feinwareschalen mit Barbotinedekor**

Taf. 1, 142/2/1; 28, 129/12/20.

Gesamtzahl/Siedlung: 2. Perioden 1 und 4.

Nachweise in Noricum: Colatio-Stari trg (Grab 3/V: *t.p.q.* Münze Marcus Aurelius)¹⁹³.**Red. gebrannte Imitation italischer Feinwareschalen Plesničar-Gec 1977, Taf. 1, 12**

Taf. 1, 142/4/20. 146/3/20.

Gesamtzahl/Siedlung: 2. Periode 1.

Gitterbecher Plesničar-Gec 1977, Taf. 2, 11–12¹⁹⁴

Taf. 8, 78/18/22; 26, 84/3/20; 28, 129/18/21.

Gesamtzahl/Siedlung: 3. Ältestes: Periode 3. Hauptvorkommen: Periode 4.

In allen Teilen von Noricum verbreitet, Nachweise in Südostnoricum: Gleisdorf, Kalsdorf, Frauenberg (Heiligtum: 10 v. Chr.–25 n. Chr.; 70–100 n. Chr.), Colatio-Stari trg (Grab: *t.p.q.* 98/102 n. Chr.)¹⁹⁵.**3.2 Pannonische glasierte Feinware****Becher mit Schuppendekor¹⁹⁶**

Taf. 12, 59/17/20.

Typ/Konkordanz: Fuchs 1980, Topf 1308.

Gesamtzahl/Siedlung: 1. Periode 4.

Nachweise in Noricum: Flavia Solva¹⁹⁷.**3.3 Rätische Ware und Imitationen rätischer und rheinischer Feinware****Rätische Ware, Becher Drexel 2b**

Taf. 15, 60/13/37.

Gesamtzahl/Siedlung: 1, Oberfläche: 1. Periode 4.

Schale mit ausgebogenem Rand/Karniesrand und gefalteter Wand

Taf. 18, 61/3/28. 61/3/31.

Gesamtzahl/Siedlung: 2. Periode 4 (SE 61).

¹⁹² Leger 1999, Taf. 9, 87, 88; 14, 138 (Kalsdorf).¹⁹³ Egger 1914, 82 Abb. 60, 5 = Djura Jelenko 2004, 104 Taf. 25, 187 (Stari trg).¹⁹⁴ G. Tassinari, *Ceramica a pareti sottili*, in: G. Olcese (Hrsg.), *Ceramiche in Lombardia tra II secolo a.C. e VII secolo d.C.*, *Documenti di archeologia* 16 (1998) 61 Taf. 19, 1–2 (Salò, Lugone, Lucino, Garlasco (*t.p.q.* Münze Vespasianus), Madonna delle Bozzole); Istenič 1999, 104 TWP 2 Taf. 150, Grab 653, 3 (Ptuj, *t.p.q.* 96/98).¹⁹⁵ Sedlmayer 2006, 262 (Noricum); Jeschek 2000, Taf. 157, 151; Artner 1988/89, 70 Taf. 9, Grab 24, 2 (Gleis-dorf); Leger 1999, Taf. 7, 58–62; 13, 129–131; 14, 135 (Kalsdorf); Groh – Sedlmayer 2005, 228 ff. Taf. 10, 348/2; 17, 67/42–43 (Frauenberg); Strmčnik-Gulič 1981, 350 Taf. 2, 2 (*t.p.q.* 98/102); Djura Jelenko 2004, 105 Taf. 31, 217 (Stari trg).¹⁹⁶ T. Cvjetičanin, *Glazed Pottery from Upper Moesia*, *Arheološke Monographije* 12 (2001) 43 mit Abb.; 109 Abb. 8 (Singidunum, 80/150; Ampelum und Bologna, um 150; Zalalövö, 150/200).¹⁹⁷ Fuchs 1980, 162; 231 Nr. 1308 Taf. A33, 10 (Flavia Solva).

Imitation Becher Drexel 1

Taf. 12, 59/5/41; 31, 4b/11.

Gesamtzahl/Siedlung: 2. Periode 4.

In allen Teilen von Noricum verbreitet, Nachweise in Südostnoricum: Gleisdorf, Kalsdorf, Slovenska Bistrica, Šempeter¹⁹⁸.

Imitationen Becher Drexel 2b und Drexel 3b

Imitationen Drexel 2b: Taf. 15, 60/23/23; 20, 67/6/21; 23, 76/33/45; 31, 4b/11. Imitation Drexel 3b: Taf. 20, 67/14/20. Imitationen Drexel 2/3b: Taf. 20, 67/13/33; 23, 76/38/27; 29, 131/9/30.

Typ/Konkordanz: Artner 1988/89, Abb. 6, T 14; Fuchs 1980, Topf 1604.

Gesamtzahl/Siedlung: 8. Periode 4.

In weiten Teilen von Noricum verbreitet, Nachweise in Südostnoricum: Grafendorf, Gleisdorf, Riegersburg, Flavia Solva (Grube G7: 280/350 n. Chr.; Kulturschicht über Grube G7: 350/400 n. Chr.)¹⁹⁹.

Rheinische Ware und Imitation rheinischer Ware

Taf. 27, 128/1/20; 28, 129/18/22.

Gesamtzahl/Siedlung: 2. Periode 4.

Nachweise von Imitationen in Südostnoricum: Gleisdorf, Frauenberg, Flavia Solva²⁰⁰.

H. SEDLMAYER

4. TRANSPORTKERAMIK²⁰¹**Dressel 6B**

Taf. 4, 165/1/21; 9, 78/23/42; 15, 60/32/27; α. Abb. 66/5/29. 67/17/57. 69/1/24. 78/3/31. 78/6/29. 78/15/62. 78/26/34. 78/31/40. 84/1/41. 146/1/34. 147/5/29. 160/1/22.

Gesamtzahl/Siedlung: 5, Oberfläche: 2. Älteste: Perioden 1 (Wfgrt.) und 2. Hauptvorkommen: Periode 4.

In allen Teilen von Noricum verbreitet, Nachweise in Südostnoricum: St. Martin an der Raab, Flavia Solva (Insula XXII: 50/120 n. Chr.; 40/50–100 n. Chr.; Insula XLI: vor 100/110 n. Chr.; bis 150/160 n. Chr.), Frauenberg, Spodnja Nova vas, Vransko²⁰².

¹⁹⁸ Sedlmayer 2002, 194 f. (Noricum); Artner 1988/89, 18 f.; 73 Taf. 15, Grab 31, 2; 94 Taf. 47, XXXIV, 6; Jeschek 2000, Taf. 158, 166–167, 172–174 (?); 159, 175–176, 182 (Gleisdorf); Leger 1999, 74 ff. Taf. 21, 211–212, 214, 216–218; 22, 221, Drexel 1-Imitationen (?) (Kalsdorf); Pahič 1978, 255 Taf. 4, 22 (Slovenska Bistrica); Kolšek 1976, 41 Taf. 1, Grab 1, 1 (Šempeter).

¹⁹⁹ Sedlmayer 2002, 194 f. (Noricum); J. Fürnholzer, Rettungsgrabungen im Bereich einer römischen Villa in Grafendorf bei Hartberg, FÖ 35, 1996 (1997) 138 Abb. 19 (Grafendorf); Artner 1988/89, 18 Abb. 6, T 14; Taf. 28, Grab 64, 5; 39, Grab 105, 1; Jeschek 2000, Taf. 143, 34; 159, 175–176, 182 (Gleisdorf); Bauer 1997, 80 Fundstelle 1; 94 Taf. 1, R25 (Riegersburg); Groh 1996, 190 Taf. 34, K71; 194 Taf. 53, K269; Fuchs 1980, 162; 234 Nr. 1604

Taf. A34, 3 (Flavia Solva).

²⁰⁰ Erath – Jeschek 1994, 597 Abb. 923 (Gleisdorf); Groh – Sedlmayer 2005, 246 Taf. 29, 42/9 (Frauenberg); Fuchs 1980, 162 Taf. A34, 1–2 (Flavia Solva).

²⁰¹ Zu den im Katalog angegebenen Referenzgruppen s. Groh – Sedlmayer 2006, 747 ff.

²⁰² Sedlmayer 2006, 280 f. (Noricum); Lamm 2005, 103 ff. Taf. 12, 203; 29, 208 (St. Martin an der Raab); Sakl-Oberthaler 2000, 381 ff. Taf. 1, 1–11, 62; Sakl-Oberthaler 1994, 9 f.; 20 f. Taf. 1, 1–3, 13; Groh 1996, 118 Taf. 1, AM4; 5, AM7; 7, AM1; 20, AM6 (Flavia Solva); Artner 1998/99, 243 Taf. 48, 601; 49, 618–619 (Frauenberg); Pahič 1978, 255 Taf. 8, 19 (Spodnja Nova vas); Vidrih Perko 1997, 166 (Vransko).

Dressel 2–4

Taf. 25, 82/5/20.

Gesamtzahl/Siedlung: 1, Oberfläche: 1. Periode 4.

In allen Teilen von Noricum verbreitet, Nachweise in Südostnoricum: Flavia Solva²⁰³.**Beltrán 2**

Taf. 15, 60/31/20.

Gesamtzahl/Siedlung: 1. Periode 4.

Geringe Belege am norischen Limes und in Südnoricum; Nachweise in Südostnoricum: Flavia Solva (Insula XXII: 50/100 n. Chr.; Insula XLI: 100/110–150/160 n. Chr.)²⁰⁴.**Camulodunum 184**

Taf. 3, 147/1/32.

Gesamtzahl/Siedlung: 1. Periode I (Wfrgt.).

In allen Teilen von Noricum verbreitet, Nachweise in Südostnoricum: St. Martin an der Raab, Flavia Solva (Insula XXII: 50/100 n. Chr.)²⁰⁵.

H. SEDLMAYER

5. RÖMISCHE GEBRAUCHSKERAMIK**5.1 Schüssel- und Schalentypen (Abb. 97)****Dickwandige Reibschüssel**

Taf. 2, 174/1/20; 8, 78/30/20; o. Abb. 127/1/29.

Gesamtzahl/Siedlung: 3. Hauptvorkommen: Perioden 1, 3 und 4.

Reibschüssel ohne Innenabsatz

Abb. 119, 60/10/24; Taf. 15, 60/26/29, 60/10/20–22, 60/10/24; 23, 76/26/30; 26, 84/12/20; 31, 8/1.

Gesamtzahl/Siedlung: 8. Hauptvorkommen: Periode 4 (SE 60).

In allen Teilen von Noricum verbreitet, Nachweise in Südostnoricum: St. Martin an der Raab, Saazkogel (Siedlung, FJ. 2000), Gleisdorf, Stallhofen, Kalsdorf, Spodnja Nova vas, Vransko²⁰⁶.**Reibschüssel mit Innenabsatz**

Taf. 15, 60/26/30.

Gesamtzahl/Siedlung: 1. Periode 4.

²⁰³ Sedlmayer 2006, 279 f. (Noricum); Saki-Oberthaler 2000, 387 f. Taf. 14, 82–15, 88; Saki-Oberthaler 1994, 15; 30 Taf. 9, 42–43 (Flavia Solva).²⁰⁴ Sedlmayer 2006, 277 (Noricum); Saki-Oberthaler 2000, 389 Taf. 18, 103–107; Saki-Oberthaler 1994, 13 ff.; 30 Taf. 1, 37; 9, 38–40; Groh 1996, 118; 187 Taf. 7, AM9; 11, AM8 (Flavia Solva).²⁰⁵ Lamm 2005, 102 ff. Taf. 10, 178; 31, 361 (St. Martin an der Raab); Saki-Oberthaler 2000, 388 f. Taf. 16, 91–17, 101; Saki-Oberthaler 1994, 12 f.; 29 Taf. 7, 33–8, 36 (Flavia Solva).²⁰⁶ Lamm 2005, 98 ff. Taf. 7, 39; 26, 260; 29, 157/160 (St. Martin an der Raab); Lamm 2001, 75 ff. Abb. 10 (Saazkogel); Jeschek 2000, Taf. 149, 82–86 (Gleisdorf); Bauer – Herbert – Schachinger 1995, 92 Abb. 82 (Stallhofen); G. Jeschek, Einige Überlegungen zu einer geschlossenen Fundgruppe aus Kalsdorf, Parz. 421/1, Kalsdorfer Kulturberichte. Archäologische Gesellschaft Kalsdorf 1, 1993, 8 Taf. 1, 6 = Pammer 2001, 76 Taf. 11, 30 (Kalsdorf); Pahič 1978, 255 Taf. 9, 14 (Spodnja Nova vas); Vidrih Perko 1997, 169 Abb. 3, 8 (Vransko).

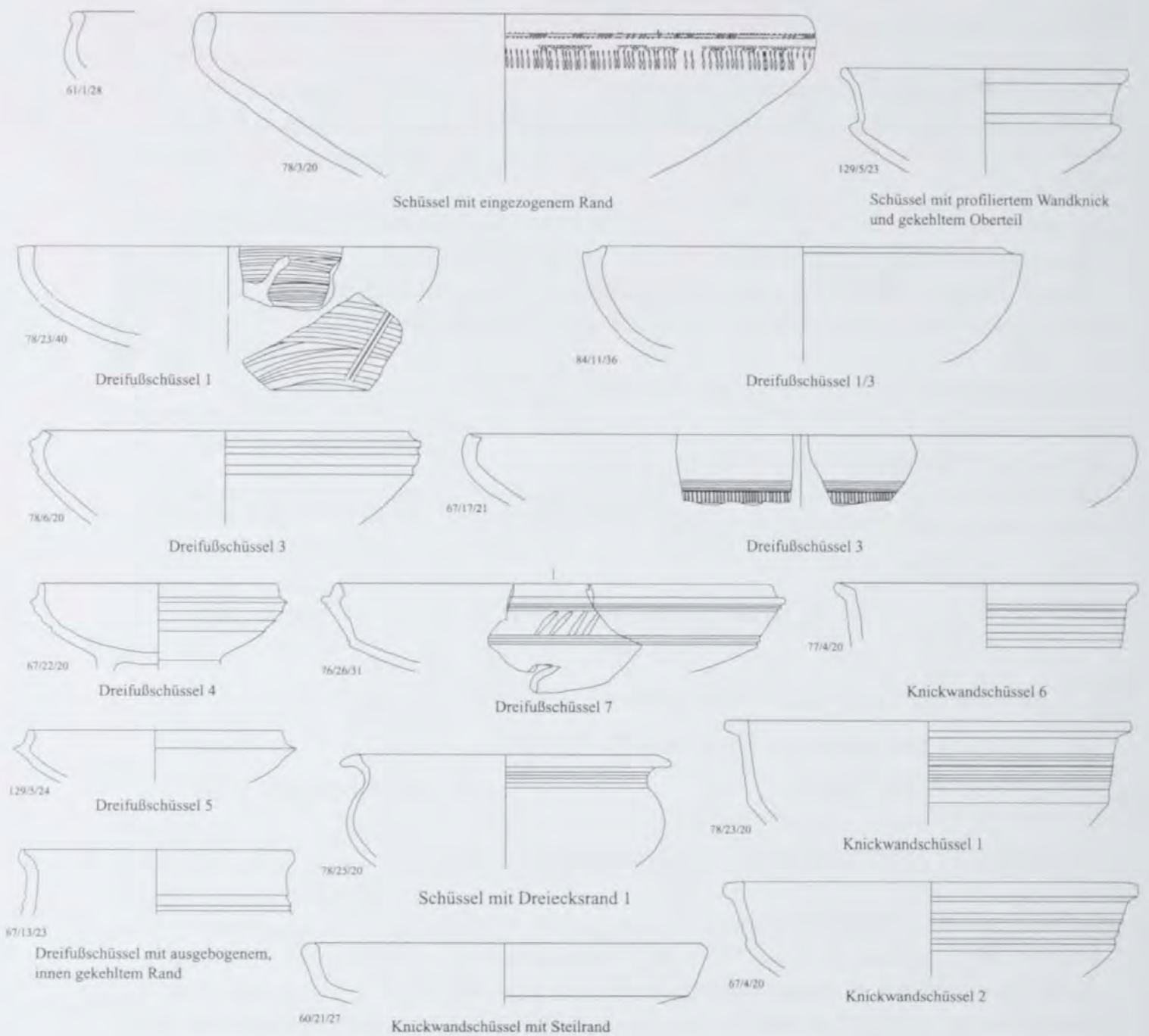


Abb. 97: Saaz, Schüsseltypen der regionalen Gebrauchskeramik. M. 1:4.

Schüssel mit eingezogenem Rand

Abb. 97, 61/1/28. 78/3/20; 110, 147/8/24; 119, 76/22/26; 121, 128/6/21; Taf. 2, 147/1/33. 147/8/24. 174/1/25; 3, 147/8/26; 8, 78/1/21. 78/3/20. 78/11/34. 78/17/29. 78/17/51. 78/23/33; 13, 59/1/24. 59/10/23. 59/16/22; 15, 60/4/22. 60/26/27; 18, 61/1/28. 61/3/33. 61/6/20; 19, 66/4/28; 20, 67/10/22. 67/13/29. 67/17/38; 23, 76/19/22–23. 76/22/26. 76/24/24. 31. 76/33/26; 26, 84/5/24. 84/7/35; 27, 128/6/21–22; 31, 14/3; o. Abb. 59/10/53. 78/23/23.

Gesamtzahl/Siedlung: 37²⁰⁷, Oberfläche: 7. Älteste: Periode 1. Hauptvorkommen: Periode 4 (SE 76).

Nachweise in Südostnoricum: St. Martin an der Raab, Saazkogel (Siedlung, FJ. 2000), Gleisdorf, Kalsdorf (Grube 4: 120/150 n. Chr.; Grube 6: 150/200 n. Chr.; Grube 12: 180/200 n. Chr.), Ratschendorf (Grab 2/90, mit Glasbecher AR 51 und AR 54: 80/150 n. Chr.), Bohova; Variante mit Profilierung über Bauchumbruch: Södingberg; Variante mit kurzem, eingebogenem Rand (vgl. Taf. 2, 147/1/33; 3, 147/8/26); Frauenberg²⁰⁸.

²⁰⁷ Mit: Tiefengraber 2002, 133 Taf. 3, 26–27 (Saaz, SE 02, FJ. 2002).

²⁰⁸ Lamm 2005, 110 ff. Taf. 14, 338; 16, 466; 19, 22; 32, 534; 34, 436; 37, 502 (St. Martin an der Raab); Lamm 2001, 75 ff. Abb. 30 (Saazkogel); Jeschek 2000, Taf. 74, 81; 75, 88–91; 82, 136. 139–140; 83, 141–146; 84, 147 (Gleis-

dorf); Pammer 2001, 71 Taf. 20, 77; 74, 75; 73 Taf. 38, 75–76; 75 Taf. 75, 82–84 (Kalsdorf); Artner 1994, 45 Taf. 13, Hügel 15/V, 5; 46 Taf. 16, Grab 2/90, 11 (Ratschendorf); Strmčnik-Gulič 1994, 278 f. Abb. 10, 1 (Bohova); Wagner 2000, 489 Taf. 10, 2 (Södingberg); Artner 1998/99, 256 Taf. 19, 253 (Frauenberg).

Schüssel und Schale mit profiliertem Wandknick und gekehlem Oberteil

Abb. 97, 129/5/23; Taf. 1, 146/3/21; 2, 147/5/23, 147/5/31, 167/1/20, 174/1/24; 13, 59/10/57; 19, 66/3/20, 66/11/20; 20, 67/3/22, 67/17/43; 26, 74/2/23, 74/3/21, 84/1/22, 84/1/27; 28, 129/5/23.

Gesamtzahl/Siedlung: 15, Oberfläche: 1. Älteste: Periode 1. Hauptvorkommen: Periode 4.

Nachweise in Noricum: St. Martin an der Raab, Saazkogel (Siedlung, FJ. 2000), Gleisdorf, Kalsdorf (Grube 4: 120/150 n. Chr.; Grube 12: 180/200 n. Chr.), Frauenberg (Heiligtum: 25/35–70/100 n. Chr.), Colatio-Stari trg (Garb 3/V: *t.p.q.* Münze Marcus Aurelius), Favianis-Mautern (70–130/140 n. Chr.)²⁰⁹.

Dreifußschüssel 1

Abb. 97, 78/23/40; Taf. 8, 78/23/40; 9, 78/31/27; 13, 59/5/36; 15, 60/13/22; o. Abb. 76/38/55.

Gesamtzahl/Siedlung: 5, Oberfläche: 1. Älteste: Periode 3. Hauptvorkommen: Periode 4.

Vereinzelte Nachweise in Noricum, u. a. in Südostnoricum: St. Martin an der Raab, Kapfenstein, Velenik²¹⁰.

Dreifußschüssel 1/3

Abb. 97, 84/11/36; 121, 84/11/36; Taf. 2, 152/1/21; 8, 78/17/33; 9, 78/11/29; 13, 59/5/23; 15, 60/21/24, 60/26/20; 20, 67/13/21; 26, 84/7/33, 84/11/36; 29, 131/7/24; 31, 2/1.

Gesamtzahl/Siedlung: 11, Oberfläche: 4. Ältestes: Periode 1. Hauptvorkommen: Periode 4 (SE 60, SE 84).

Nachweise in Noricum: St. Martin an der Raab, Saazkogel (Siedlung, FJ. 2000), Gleisdorf (Grab 37, mit A 70 und Consp. 34: 80/100 n. Chr.)²¹¹.

Dreifußschüssel 3

Abb. 97, 67/17/21, 78/6/20; 121, 84/7/29; Taf. 8, 78/6/20; 13, 59/5/20; 19, 66/1/24; 20, 67/10/25, 67/17/21; 23, 76/14/20, 76/24/23, 76/24/34, 76/33/23–24; 25, 82/2/20; 26, 84/7/29; 30, 27a/1.

Typ/Konkordanz: Chornitzer 1995b, Abb. 12, 3; Fuchs 1980, Dreifußschale 4207.

Gesamtzahl/Siedlung: 12, Oberfläche: 2. Ältestes: Periode 3. Hauptvorkommen: Periode 4 (SE 76).

Gesamtzahl/Gräberfeld: 1. Periode 5.

In allen Teilen von Noricum verbreitet, Nachweise in Südostnoricum: Saazkogel (Siedlung, FJ. 2000), Riegersburg, Gleisdorf, Kapfenstein, Pichling bei Köflach, Kalsdorf (Gruben 5 und 6: 150/200 n. Chr.), Frauenberg (Heiligtum: 70–100 n. Chr.), Flavia Solva, Södingberg, Slovenska Bistrica, Spodnja Nova vas, Velenik (Grab: 100/120 n. Chr.), Šempeter (Grab 90: *t.p.q.* Münze Antoninus Pius), Celeia-Celje²¹².

Vergleichsfunde in Emona-Ljubljana (Gräber: bis 50/100 n. Chr.)²¹³.

²⁰⁹ Lamm 2005, 93 ff. Taf. 3, 246, 248; 25, 215; 27, 289; 36, X71–72; 36, 490; 37, 493 (St. Martin an der Raab); Lamm 2001, 75 ff. Abb. 29 (Saazkogel); Jeschek 2000, Taf. 69, 50–54; 70, 55–60; 71, 63–66; 72, 69–70, 72; 73, 77, davon eine Röntgendiffraktometrie-untersuchte Probe mit Zuweisung Ptuj (Gleisdorf); Pammer 2001, 78 Taf. 21, 88; 72 Taf. 74, 79 (Kalsdorf); Groh – Sedlmayer 2005, 229 ff. Taf. 11, 134/82; 13, 130/61–66; 14, 58/18–19, 110/18; 15, 87/31, 87/33–35; 17, 67/78–81; 18, 82/17 (Frauenberg); Egger 1914, 82 Abb. 61, 2 = Djura Jelenko 2004, 105 Taf. 26, 198 (Stari trg); Sedlmayer 2006, 290 Taf. 5, 2543/8; 17, 535/5; 58, 509/2, 1195/14; 157, 3/115 (Mautern).

²¹⁰ Sedlmayer 2006, 292 (Noricum); Lamm 2005, 93 ff. Taf. 3, 245; 30, 351 (St. Martin an der Raab); Urban 1984, 85 Taf. 55, G, 4 (Kapfenstein); Pahič 1978, 255 Taf. 19, 7 (Velenik).

²¹¹ Lamm 2005, 97 ff. Taf. 6, X58; 19, 26; 25, 221; 34, 445, 447; 38, 526 (St. Martin an der Raab); Lamm 2001,

84 f. Abb. 21, 28 (Saazkogel); Artner 1988/89, 77 Taf. 22, Grab 37, 3; 85 Taf. 34, Grab 93, 18; Jeschek 2000, Taf. 104, 297–298 (Gleisdorf).

²¹² Lamm 2001, 89 Abb. 42 (Saazkogel); Bauer 1997, 81 R243 (Fundstelle II); 98 Taf. 23, R238, R243–R244, R246 (Riegersburg); Jeschek 2000, Taf. 85, 155 (Gleisdorf); Urban 1984, 76 Taf. 54, B, 3 (Kapfenstein); Chornitzer 1995b, 200 Abb. 12, 3; Taf. 9, 4 (Pichling bei Köflach); Pammer 2001, 66 Taf. 26, 31; 35, 48, 50 (Kalsdorf); Groh – Sedlmayer 2005, 237 Taf. 17, 67/98 (Frauenberg); Fuchs 1980, 167; 244 Nr. 4207 Taf. A38, 4 (Flavia Solva); Wagner 2000, 489 Taf. 9, 6 (Södingberg); Pahič 1978, 255 Taf. 3, 23; 4, 27 (Slovenska Bistrica); 9, 8 (Spodnja Nova vas); 19, 6; 20, 3; 21, 6, 8 (Velenik); Kolšek 1976, 46 Taf. 28, Grab 90, 5; Taf. 29, Grab 96, 9 (Šempeter); Vogrin 1991, 35 mit Abb. (Celje).

²¹³ Plesničar-Gec 1977, 108 Taf. 7, 19–20 (Ljubljana).

Dreifußschüssel 4

Abb. 97, 67/22/20; 110, 143/1/20; Taf. 1, 143/1/20; 2, 158/1/20, 174/1/28; 3, 147/8/25; 9, 78/5/21, 78/17/34, 78/31/26; 13, 59/10/35; 15, 60/32/23, 60/32/29, 60/35/21; 20, 67/17/29, 67/22/20; 23, 76/24/32; 26, 74/5/21; 28, 129/5/33; 31, 14/1.

Typ/Konkordanz: Chornitzer 1995b, Abb. 12, 1–2; Artner 1988/89, Abb. 11, Dr 2/7b; Fuchs 1980, Dreifußschale 4200; Artner 1998/99, Abb. 24, 593.

Gesamtzahl/Siedlung: 18, Oberfläche: 2²¹⁴. Älteste: Periode 1. Hauptvorkommen: Periode 4 (SE 60).

In allen Teilen von Noricum verbreitet, Nachweise in Südostnoricum: St. Martin an der Raab, Saazkogel (Siedlung, FJ. 2000; Hügelgräberfeld, FJ. 1999, Bestattung 3, mit A 85: 120–170/180 n. Chr.), Riegersburg (Schichten 8/9, mit TS: 150/200 n. Chr.), Gleisdorf (Grab 7b: 100/150 n. Chr.), Giging, Kapfenstein (Grab 45: *t.p.q.* 118 n. Chr.), Pichling bei Köflach, Stallhofen, Kalsdorf (Grube 4: 120/150 n. Chr.; Gruben 5, 6, 7 und 11: 150/170–200 n. Chr.; Grube 12: 180/200 n. Chr.; Grab, mit Consp. 39.1.1; 50/150 n. Chr.), Lassenberg, Muttendorf, Gschmaier (Grab, mit A 238 o: 80/170 n. Chr.), Flavia Solva (Grube G36: 150/160 n. Chr.), Frauenberg (Heiligtum: 25/35–40/50 n. Chr.; Grube O5: 70/100 n. Chr.), Eichfeld, Ratschendorf (Grab 2/90, mit Glasbecher AR 51 und AR 54: 80/150 n. Chr.; Hügel 15/III, mit Imitation Consp. 34 und Kniefibel: 130/160 n. Chr.), Spodnja Nova vas, Colatio-Stari trg (Grab: *t.p.q.* 117/138 n. Chr.)²¹⁵.

Dreifußschüssel 5

Abb. 97, 129/5/24; Taf. 19, 66/7/21; 23, 76/22/20; 28, 129/5/24.

Typ/Konkordanz: Artner 1988/89, Abb. 11, Dr 1/8; Artner 1998/99, Abb. 24, 209.

Gesamtzahl/Siedlung: 3, Periode 4.

Nachweise in Nordnoricum, Vorkommen in Südostnoricum: St. Martin an der Raab, Saazkogel (Siedlung, FJ. 2000), Gleisdorf, Frauenberg, Flavia Solva, Slovenska Bistrica²¹⁶.

Dreifußschüssel 7

Abb. 97, 76/26/31; 113, 78/17/31; 119, 76/26/31; Taf. 4, 126/3/20; 7, 77/2/21; 9, 78/11/32, 78/13/20, 78/15/42, 78/17/20, 78/17/31, 78/26/21, 78/32/20; 13, 59/1/25, 59/10/27, 59/10/38, 59/16/21; 15, 60/9/21, 60/13/24, 60/13/31; 18, 61/12/23, 24, 30; 19, 66/4/20; 20, 67/4/25, 67/10/21; 23, 76/26/31, 76/33/22; 25, 82/7/24–25; 26, 84/1/30; 31, 4b/15, 14/2; o. Abb. 76/38/33.

Typ/Konkordanz: Artner 1988/89, Abb. 11, Dr 4/41.

Gesamtzahl/Siedlung: 31, Oberfläche: 7²¹⁷. Ältestes: Periode 2. Hauptvorkommen: Periode 4 (SE 59).

²¹⁴ Mit: Tiefengraber 2002, 133 Taf. 3, 30 (Saaz, SE 02, FJ. 2002).

²¹⁵ Sedlmayer 2006, 293 (Noricum); Lamm 2005, 113 ff. Taf. 16, 467; 25, 256 (St. Martin an der Raab); Artner 2003, 152 ff. Abb. 6, 4; 14, 7; Lamm 2001, 76 Abb. 34 (Saazkogel); Bauer 1997, 85 Abb. 20, R152; Taf. 14, R152 (Riegersburg); Artner 1988/89, 24 Abb. 11, Dr 2/7b; Taf. 5, Grab 7b, 6; 15, Grab 31, 5; 18, 31b–c, 7; 25, Grab 45, 5; Jeschek 2000, Taf. 96, 229–98, 251 (Gleisdorf); Amtmann 1994, 9 ff. Taf. 2, Grab 2, 5; 3, Grab 10, 16; 5, Grab 30, 35; 5, G, 36, 38; 7, 55 (Giging); Urban 1984, 77 Taf. 54, A, 4; 108 Taf. 62, B, 23; 114 Taf. 63, B, 3; 119 Taf. 64, D, 4 (Kapfenstein); Chornitzer 1995b, 203 Taf. 6, 5; 205 Taf. 7, 6; 207 Abb. 12, 1–2 (Pichling bei Köflach); Bauer – Herbert – Schachinger 1995, 92 Abb. 84 (Stallhofen); Pammer 2001, 66 Taf. 17, 51, 55; 18, 57; Taf. 26, 32; 35, 51–52; 36, 53; 41, 16; 58, 76; 70, 42–44; 71, 49; Garbsch 1965, 170 Nr. 230, 2 Taf. 20, 16 (Kalsdorf); 169 Nr. 224 Taf. 20, 6 (Gschmaier); Groh 1996, 189 Taf. 12, K16–17; Fuchs 1980, 58 Taf. A5, Grab 23, 3; 74 Taf. A14, Grab 48, 6; 243 f. Taf. A38, 2–3, 5–6, 8 (Flavia Solva); Groh – Sedlmayer 2005, 230 Taf. 12, 133/1; Groh – Sedlmayer 2004, 470 Taf. 1, 9/

7; Artner 1998/99, 239 Abb. 24, 593; 257 Taf. 23, 309; 263 Taf. 47, 593 (Frauenberg); Artner 1994, 43 Taf. 9, Hügel 15/III, 5; 46 Taf. 16, Grab 2/90, 8 (Ratschendorf); S. Lamm, *Ausgewählte Fundstücke der Surveys in Lassenberg (1992–1994)*, PAR 50/3–4, 2000, 47 Abb. 8–9 (Lassenberg); Artner 1994, 16 Taf. 2, 11 (Muttendorf); Artner – Franek – Hampel 1995, 60 Taf. 4, 11, 13 (Eichfeld); Pahič 1978, 255 Taf. 10, 10 (Spodnja Nova vas); Strmčnik-Gulič 1981, 360f. Taf. 17, 4 (*t.p.q.* 117/138); Djura Jelenko 2004, 102 Taf. 10, 85 (Stari trg).

²¹⁶ Sedlmayer 2006, 293 f. (Noricum); Lamm 2005, 131 Taf. 27, 156/266 (St. Martin an der Raab); Lamm 2001, 75 ff. Abb. 6 (Saazkogel); Artner 1988/89, 24 Abb. 11, Dr 1/8; Taf. 6, Grab 8, 1; 21, Grab 36, 13–14; 32, Grab 81, 1; Jeschek 2000, Taf. 95, 227; 102, 278, 282 (Gleisdorf); Artner 1998/99, 255 Abb. 24, 209; Taf. 16, 209; 260 Taf. 36, 467 (Frauenberg); Fuchs 1980, 119 Taf. A19, Grab 127, 4 (Flavia Solva); Pahič 1978, 254 Taf. 2, 18 (Slovenska Bistrica).

²¹⁷ Mit: Tiefengraber 2002, 137 Taf. 10, 97 (Saaz, SE 34, FJ. 2002); Taf. 10, 91 (Saaz, SE 01, FJ. 2002).

Nachweise in Noricum: Saazkogel (Hügelgräberfeld, FJ. 1999; Siedlung, FJ. 2000), Riegersburg, Gleisdorf (Analogie von Taf. 15, 60/13/24 in Grab XXVIII: *t.p.q.* 138/161 n. Chr.), Gising, Kapfenstein (Grab 29: *t.p.q.* 125/128 n. Chr.; Grab 39, mit gestempelter TS OCK 1085: 40–120 n. Chr.), Kalsdorf (Grube 5: 150/200 n. Chr.; Grube 12: 180/200 n. Chr.), Frauenberg, Flavia Solva (Grube G7: 280/350 n. Chr.)²¹⁸.

Als Variante des Dreifußschüsseltyps 7 ist die Ausformung mit deutlich ausgeprägter Außenprofilierung am Randumbruch zu verstehen (Taf. 15, 60/13/24), mit Analogien in Gleisdorf²¹⁹.

Dreifüßschüssel mit ausgebogenem, innen gekehltem Rand

Abb. 97, 67/13/23; Taf. 22, 67/13/23.

Gesamtzahl/Siedlung: 1. Intrusion (Periode 4).

Nachweise in Noricum: Flavia Solva (Grube G7: 280/350 n. Chr.)²²⁰.

Knickwandschüssel mit Steilrand

Abb. 97, 60/21/27; Taf. 16, 60/21/27, 60/26/26.

Gesamtzahl/Siedlung: 2. Periode 4 (SE 60).

Hauptsächlich in Westnoricum verbreitet, Nachweis in Südostnoricum: Saazkogel (Siedlung, FJ. 2000), Gleisdorf²²¹.

Knickwandschüssel 6

Abb. 97, 77/4/20; Taf. 5, 154/2/21; 7, 77/4/20; 15, 60/7/31; 19, 66/1/21; 23, 76/7/23, 76/15/28, 76/22/22, 76/33/20; 28, 129/5/28; o. Abb. 67/13/35.

Typ/Konkordanz: Artner 1988/89, Abb. 11, DrS 1/93.

Gesamtzahl/Siedlung: 10, Oberfläche: 4. Älteste: Periode 3. Hauptvorkommen: Periode 4 (SE 76).

Nachweise in Südostnoricum: St. Martin an der Raab, Gleisdorf, Kalsdorf (Grube 4: 120/150 n. Chr.), Flavia Solva, Colatio-Stari trg (Grab: *t.p.q.* 98/102)²²².

Knickwandschüssel 1

Abb. 97, 78/23/20; Taf. 9, 78/15/29, 78/23/20; 15, 60/13/26; 19, 66/7/20; 20, 67/4/26, 67/17/48; 23, 76/19/29, 32; 26, 84/7/31; 27, 128/1/21.

Typ/Konkordanz: Chornitzer 1995b, Abb. 12, 5; Pammer 2001, Typentaf. 9, S 2; Fuchs 1980, Dreifußschalen 4101–4102.

Gesamtzahl/Siedlung: 10, Oberfläche: 3. Älteste: Periode 3 (SE 78). Hauptvorkommen: Periode 4.

Nachweise in Südostnoricum: Ringkogel/Hartberg, St. Martin an der Raab, Saazkogel (Siedlung, FJ. 2000), Riegersburg, Gleisdorf, Kapfenstein (Grab 29: *t.p.q.* 125/128 n. Chr.; Grab 53: *t.p.q.* 134/138 n. Chr.), Pichling bei Köflach, Södingberg, Kalsdorf (Grube 4: 120/150 n.

²¹⁸ Artner 2003, 152 Abb. 8, 3; Lamm 2001, 75 ff. Abb. 23 (Saazkogel); Bauer 1997, 96 Taf. 14, R154 (Riegersburg); Artner 1988/89, 24 Abb. 11, Dr 4/41; Taf. 2, Grab 5, 2; 20, Grab 36, 15; 23, Grab 41, 2; 45, XXX, 4; 92 Taf. 44, XXVIII, 8; Jeschek 2000, Taf. 99, 255–100, 263; 101, 270–274; 102, 281; 103, 289–291 (Gleisdorf); Amtmann 1994, 11 Taf. 3, Grab 11, 17; 13 Taf. 4, Grab 23, 27 (Gising); Urban 1984, 76 Taf. 55, G, 2; 94 Taf. 58, A, 1; 97 Taf. 58, B, 10; 100 Taf. 59, D, 3, 6; 107 Taf. 61, C, 2 (Kapfenstein); Pammer 2001, 66 Taf. 26, 33; 71, 48 (Kalsdorf); Groh – Sedlmayer 2005, 247 Taf. 30, 4/22 (Frauenberg); Groh 1996, 193 Taf. 48, K212, K213; Fuchs 1980, 4 Taf. A8, Grab 35, 3; 155 Taf. A30, Grab 209, 2 (Flavia Solva).

²¹⁹ Artner 1988/89, 92 Taf. 44, XXVIII, 8; Jeschek

2000, Taf. 106, 309–312 (Gleisdorf).

²²⁰ Groh 1996, 193 Taf. 47, K202, K207 (Flavia Solva).

²²¹ Sedlmayer 2006, 295 (Noricum); Lamm 2001, 83 Abb. 20 (Saazkogel); Jeschek 2000, Taf. 90, 192 (Gleisdorf).

²²² Lamm 2005, 110 Taf. 14, 340 (St. Martin an der Raab); Jeschek 2000, Taf. 91, 199; 93, 206; Artner 1988/89, 25 Abb. 11, DrS 1/93; Taf. 33, Grab 90, 9; 36, Grab 93, 11; 50, Grab D, 1 (Gleisdorf); Pammer 2001, 75 Taf. 10, 28; 66 Taf. 18, 61 (Kalsdorf); G. Fuchs, Archäologische Voruntersuchungen im Hügelgräberfeld Altenmarkt, VB Leibnitz, Steiermark, FÖ 35, 1996 (1997) 109 Abb. 9 (Flavia Solva); Strmčnik-Gulič 1981, 350 Taf. 2, 6 (Stari trg).

Chr.; Grube 13: 280/400 n. Chr.; Gruben 11 und 12 mit der Variante mit kurzem, kantigem Rand: 170/180–200 n. Chr.), Frauenberg, Flavia Solva, Ratschendorf (Grab 2/90, mit Glasbecher AR 51 und AR 54: 80/150 n. Chr.), Oswaldgraben, Spodnja Nova vas, Colatio-Stari trg²²³.

Knickwandschüssel 2, Variante mit kurzem, kantigem Rand

Abb. 97, 67/4/20; Taf. 10, 78/17/24; 20, 67/4/20; o. Abb. 76/26/32.

Gesamtzahl/Siedlung: 3. Ältestes: Periode 3. Hauptvorkommen: Periode 4.

Nachweise in Südostnoricum: St. Martin an der Raab, Gleisdorf, Kapfenstein (Grab 45: *t.p.q.* 118 n. Chr.), Flavia Solva, Colatio-Stari trg²²⁴.

Schüssel mit Dreiecksrand 1

Abb. 97, 78/25/20; Taf. 8, 78/25/20; o. Abb. 78/26/23.

Gesamtzahl/Siedlung: 2. Periode 3 (SE 78).

Nachweise in Noricum: Favianis-Mautern (100/110–170/180 n. Chr.)²²⁵.

Vergleichsfunde in Südwestpannonien: Poetovio-Ptuj²²⁶.

Räucherschale

Taf. 18, 61/3/30; 23, 76/15/31. 76/33/43.

Gesamtzahl/Siedlung: 3. Hauptvorkommen: Periode 4 (SE 76).

In allen Teilen von Noricum verbreitet, Nachweise in Südostnoricum: Gleisdorf, Kalsdorf (Grube 5: 150/200 n. Chr.), Frauenberg (Heiligtum: 70–100 n. Chr.), Spodnja Nova vas, Celeia-Celje, Vransko²²⁷.

5.2 Tellertypen (Abb. 98)

Pompeianisch rote Backplatte mit Deckel

Taf. 6, 61b/5/23; 12, 59/1/23; 15, 60/4/21; o. Abb. 59/10/74. 128/1/29. 161/2/2.

Gesamtzahl/Siedlung: 6, Oberfläche: 1. Ältestes: Periode 2. Hauptvorkommen: Periode 4 (SE 59).

In allen Teilen von Noricum verbreitet, Nachweise in Südostnoricum: Frauenberg (Heiligtum: 40/50–70/100 n. Chr.)²²⁸.

²²³ Bauer 1997, 97 Taf. 15, R157 (Riegersburg); 106 Taf. 50, Rn14 (Ringkogel/Hartberg); Lamm 2005, 105 ff. Taf. 12, 275; 17, 2; 24, 153 (St. Martin an der Raab); Lamm 2001, 75 ff. Abb. 33 (Saazkogel); Jeschek 2000, Taf. 80, 116–120; 91, 194. 197; 92, 200–202; 93, 208–211; 109, 329–332. 334–336; 110, 337. 339. 341; 111, 348–352. 355 (Gleisdorf); Urban 1984, 76 Taf. 53, B, 1; 93 Taf. 57, D, 1; 97 Taf. 58, B, 9; 108 Taf. 62, B, 14; 123 Taf. 66, A, 1 (Kapfenstein); Chornitzer 1995b, 207 Abb. 12, 5; Taf. 5, 4; 6, 7 (Pichling bei Köflach); Wagner 2000, 491 Taf. 16, 7 (Södingberg); Pammer 2001, 66 Taf. 58, 81; 59, 84; 71 f. Typentaf. 9, S 2; Taf. 20, 78; 80, 32; 66 Taf. 9, 18; Taf. 18, 59–60; Taf. 71, 50–51 (Kalsdorf); Groh – Sedlmayer 2005, 247 Taf. 31, 4/23 (Frauenberg); Fuchs 1980, 166f.; 242 Nr. 4101 Taf. A37, 8; Nr. 4102 Taf. A38, 1 (Flavia Solva); Bauer 1994, 36 Taf. 1, 5; Artner 1994, 45 Taf. 13, Hügel 15/V, 3. 4; 46 Taf. 16, Grab 2/90, 9 (Ratschendorf); Bauer 1993, 158 Taf. 2, 1 (Oswaldgraben); Pahič 1978, 255 Taf. 10, 1 (Spodnja Nova vas); Egger 1914, 83 Abb. 63 = Djura Jelenko 2004, 105 Taf. 27, 204 (Stari trg).

²²⁴ Urban 1984, 114 Taf. 63, B, 4 (Kapfenstein); Lamm 2005, 105 ff. Taf. 12, 277; 17, 471; 22, 98; 32, 399/401 (St. Martin an der Raab); Jeschek 2000, Taf. 93, 212 (Gleisdorf); Fuchs 1980, 142 Taf. A25, 8 (Flavia Solva); Strmčnik-Gulič 1984, 207 f. Taf. 5, 13 (Stari trg).

²²⁵ Sedlmayer 2006, 291 Taf. 70, 826/3; 90, 1508/18 (Mautern).

²²⁶ I. Mikl-Curk, Archäologische Quellen zur Rolle der Frau, Ptujski Zbornik 6/1, 1996, 169 Taf. 1, Gr. 15, 5; Kujundžić 1982, 70 Taf. 14, Grab 180, 11; 77 f. Taf. 30, Grab 414, 33; Strmčnik-Gulič 1993, 488 Taf. 12, 1–2 (Ptuj).

²²⁷ Sedlmayer 2006, 304 ff. (Noricum); G. Jeschek, Vitrine VII, Nr. 32 Räucherkelch, in: R. F. Hausmann (Hrsg.), Römisches Gleisdorf (1994) 45 Abb. VII, 32; Artner 1988/89, 93 Taf. 46, XXXIII, 5 (Gleisdorf); Pammer 2001, 78 Taf. 27, 45; 49, 18 (Kalsdorf); Groh – Sedlmayer 2005, 236 Taf. 17, 67/116; Artner 1998/99, 254 Taf. 10, 131 (Frauenberg); Pahič 1978, 255 Taf. 16, 1 (Spodnja Nova vas); Vogrin 1991, 38 mit Abb. (Celje); Vidrih Perko 1997, 169 Abb. 3, 6 (Vransko).

²²⁸ Sedlmayer 2006, 307 f. (Noricum); Artner 1998/99, 244; 262 Taf. 45, 571 (?), konkrete Ansprache/Bestimmung fehlt; St. Groh – H. Sedlmayer, Grabungen im römischen Tempelbezirk am Frauenberg bei Leibnitz, AÖ 13/2, 2002, 40; Groh – Sedlmayer 2005, 231 ff. o. Abb. Inv. 67/73–74; 80/4; 87/25; 88/1; 89/6; 110/8–9; 130/69; Taf. 15, 91/10–11; 17, 67/70–72; 19, 79/7; 25, 3/31 (Frauenberg).

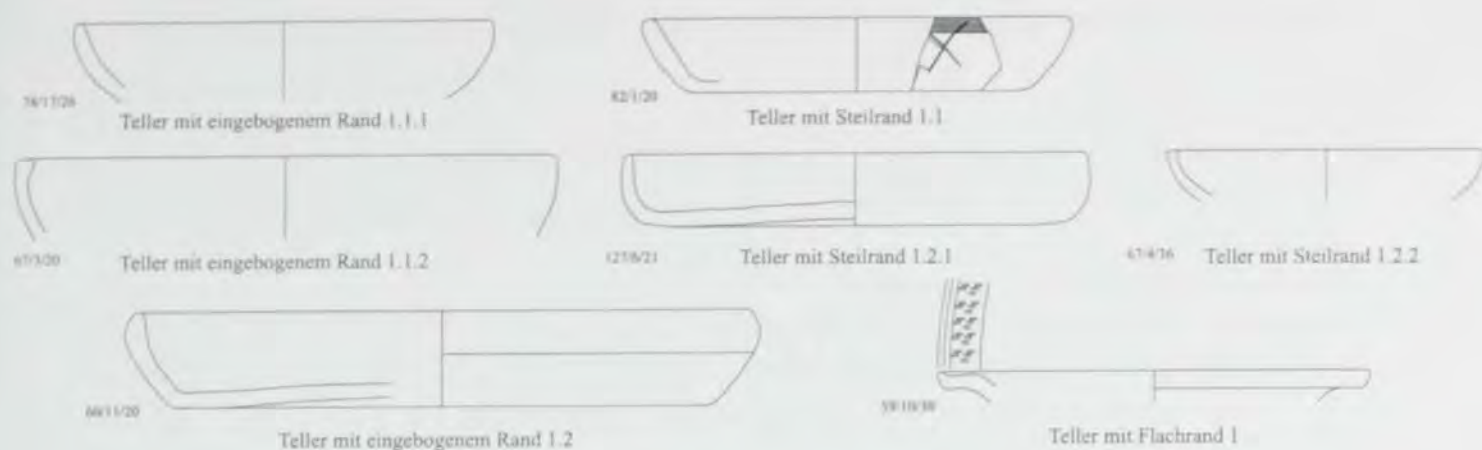


Abb. 98: Saaz, Tellertypen der regionalen Gebrauchskeramik. M. 1:4.

Teller mit eingebogenem Rand 1.1.1

Abb. 98, 78/17/26; 113, 78/17/26; 119, 67/10/23; 121, 84/1/21; Taf. 8, 78/15/26. 78/17/23. 78/17/25–26; 13, 59/5/32; 16, 60/9/20. 60/11/21; 19, 66/12/20; 20, 67/4/37. 67/10/23. 67/24/24; 23, 76/15/41. 76/26/21. 76/33/27; 26, 84/1/21. 27; 29, 131/9/33; o. Abb. 59/1/28. 60/4/31. 60/7/47. 60/29/36. 78/5/29. 78/6/45. 78/15/27. 131/7/29.

Gesamtzahl/Siedlung: 25, Oberfläche: 6. Älteste: Periode 3. Hauptvorkommen: Periode 4 (SE 60).

Nachweise in Südostnoricum: St. Martin an der Raab, Saazkogel (Siedlung, FJ. 2000), Gleisdorf, Kalsdorf (Grube 1: 100/150 n. Chr.; Grube 4: 120/150 n. Chr.; Gruben 5 und 6: 150/200 n. Chr.; Gruben 11 und 12: 170/180–200 n. Chr.; Grube 13: 280/400 n. Chr.), Wildon, Flavia Solva, Frauental an der Laßnitz, Slovenska Bistrica, Šempeter²²⁹.

Produktion in Südwestpannonien: Poetovio-Ptuj (Keramikkloster Cafuta/1975: mittlere Kaiserzeit)²³⁰.

Teller mit eingebogenem Rand 1.1.2

Abb. 98, 67/3/20; Taf. 16, 60/7/29; 20, 67/3/20.

Gesamtzahl/Siedlung: 2, Periode 4.

Nachweise in Südostnoricum: St. Martin an der Raab, Gleisdorf, Slovenska Bistrica, Colatio-Stari trg²³¹.

Teller mit eingebogenem Rand 1.2

Abb. 98, 60/11/20; 119, 60/11/20; Taf. 16, 60/11/20. 60/13/30. 60/24/20. 60/32/21; 20, 67/4/32. 67/17/28; 23, 76/12/20. 76/24/25. 76/33/28; o. Abb. 67/4/42.

Typ/Konkordanz: Artner 1988/89, 29 Abb. 14, Te2/W8.

Gesamtzahl/Siedlung: 10, Oberfläche: 3. Hauptvorkommen: Periode 4 (SE 60).

Nachweise in Südostnoricum: St. Martin an der Raab, Riegersburg (Kulturschichten 8/9, mit mittelgallischer TS: 150/200 n. Chr.), Gleisdorf, Kalsdorf (Grube 6: 150/200 n. Chr.; Grube 12: 180/200 n. Chr.), Flavia Solva, Colatio-Stari trg, Vransko, Šempeter²³².

²²⁹ Lamm 2005, 105 ff. Taf. 12, 280; 16, 382; 17, X20 (St. Martin an der Raab); Lamm 2001, 82 Abb. 14 (Saazkogel); Jeschek 2000, Taf. 144, 43–44, 46–47, 49; 146, 62; 147, 70; 148, 78 (Gleisdorf); Pammer 2001, 80 Taf. 1, 5; 22, 92–96; 28, 48–49; Taf. 39, 80, 82–83; 64, 129, 131–133; 76, 92; 81, 40–42 (Kalsdorf); Bauer 1997, 112 Taf. 43, W18 (Wildon); Bauer – Groh 1994, 607 Abb. 940, 8–9 (Flavia Solva); Fürnholzer 2004, 452 Taf. 1, 2 (Frauental an der Laßnitz); Pahič 1978, 255 Taf. 4, 5, 23–26; 7, 11 (Slovenska Bistrica); Kolšek 1976, 41 Taf. 1, Grab 1, 6 (Šempeter).

²³⁰ Strmčnik-Gulič 1993, 488 Taf. 3, 6, 8–18 (Ptuj).

²³¹ Lamm 2005, 106 ff. Taf. 13, 302; 28, 83 (St. Martin an der Raab); Jeschek 2000, Taf. 145, 51 (Gleisdorf); Pahič 1978, 255 Taf. 4, 4 (Slovenska Bistrica); Egger 1914, 78

Abb. 50, 2 = Djura Jelenko 2004, 103 Taf. 14, 116; Strmčnik-Gulič 1984, 207 f. Taf. 13, 33 (Stari trg).

²³² Sedlmayer 2002, 228 Anm. 592 (Celje); Lamm 2005, 139 ff. Taf. 31, 358; 32, 567; 35, 449; 37, 496 (St. Martin an der Raab); Bauer 1997, 85 Abb. 20, R214; 98 Taf. 20, R214 (Riegersburg); Artner 1988/89, 29 Abb. 14, Te2/W8 Taf. 35, Grab 93, 15; 51, W7, 2; 52, W8, 5; Jeschek 2000, Taf. 145, 55; 146, 66; 147, 72 (Gleisdorf); Pammer 2001, 80 Taf. 39, 81; 76, 94–95 (Kalsdorf); Bauer – Groh 1994, 607 Abb. 940, 11 (Flavia Solva); Strmčnik-Gulič 1981, 353 Taf. 8, 12; Djura Jelenko 2004, 102 ff. Taf. 8, 69; 37, 265 (Stari trg); Vidrih Perko 1997, 165 Abb. 1, 19 (Vransko); Kolšek 1976, 41 Taf. 4, Grab 6, 5 (Šempeter).

Produktion in Emona-Ljubljana (Töpferei: 50/150 n. Chr.)²³³.

Teller mit Steilrand 1.1

Abb. 98, 82/1/20; Taf. 8, 78/23/26; 13, 59/8/23; 24, 76/38/28; 25, 82/1/20; 30, 83a/1; o. Abb. 76/15/39.

Gesamtzahl/Siedlung: 5, Oberfläche: 1. Ältestes: Periode 3. Hauptvorkommen: Periode 4 (SE 76).

Gesamtzahl/Gräberfeld: 1, Periode 4.

Nachweise in Südostnoricum: St. Martin an der Raab, Saazkogel (Siedlung, FJ. 2000), Gleisdorf, Kapfenstein, Franziskanerkogel/Maria Lankowitz, Flavia Solva (Grube G36: 150/160 n. Chr.), Ratschendorf, Slovenska Bistrica, Velenik, Colatio-Stari trg (Grab: *t.p.q.* 98/102 n. Chr.)²³⁴.

Teller mit Steilrand 1.2.1

Abb. 98, 127/6/21; 121, 127/6/21; Taf. 16, 60/26/28; 24, 76/19/38, 76/22/23, 76/26/25–26; 27, 127/6/21; 29, 131/9/23.

Gesamtzahl/Siedlung: 7, Oberfläche: 4. Hauptvorkommen: Periode 4 (SE 76).

Nachweise in Südostnoricum: St. Martin an der Raab, Saazkogel (Siedlung, FJ. 2000), Gleisdorf, Stallhofen, Kalsdorf (Grube 11: 170/200 n. Chr.), Flavia Solva (Grube G36: 150/160 n. Chr.), Colatio-Stari trg, Celeia-Celje²³⁵.

Teller mit Steilrand 1.2.2

Abb. 98, 67/4/36; Taf. 7, 76a/3/23; 8, 78/15/35; 20, 67/4/36; 25, 82/1/21, 82/3/23.

Gesamtzahl/Siedlung: 5, Oberfläche: 2. Älteste: Periode 3. Hauptvorkommen: Periode 4 (SE 82).

Nachweise in Südostnoricum: St. Martin an der Raab, Riegersburg, Flavia Solva (Grube G36: 150/160 n. Chr.), Jagernigg²³⁶.

Teller mit Flachrand 1

Abb. 98, 59/10/30; Taf. 13, 59/10/30, 59/24/20.

Typ/Konkordanz: Artner 1988/89, Abb. 16, -/30b.

Gesamtzahl/Siedlung: 2, Periode 4 (SE 59).

Nachweise in Südostnoricum: Gleisdorf²³⁷.

²³³ Istenič – Plesničar-Gec 2001, 142 ff. Abb. 6, 9; J. Istenič u. a., Local production of pottery and clay lamps at *EMONA* (Italia, Regio X), *ReiCretActa* 38, 2003, 88 Abb. 3, 11 (Ljubljana).

²³⁴ Lamm 2005, 105 ff. Taf. 12, 279; 15, 380; 39, 199 (St. Martin an der Raab); Lamm 2001, 83 Abb. 17; 85 Abb. 27 (Saazkogel); Jeschek 2000, Taf. 147, 73–74 (Gleisdorf); Urban 1984, 99 Taf. 59, C, 1 (Kapfenstein); Bauer 1997, 122 Taf. 37, L105 (Franziskanerkogel/Maria Lankowitz); Groh 1996, 189 Taf. 12, K7 (Flavia Solva); Bauer 1994, 35 f. Taf. 2, 11 (Ratschendorf); Pahič 1978, 255 Taf. 4, 6 (Slovenska Bistrica); 20, 4 (Velenik); Strmčnik-Gulič 1981, 350 Taf. 2, 7 (*t.p.q.* 98/102); Strmčnik-Gulič 1984, 207 f. Taf. 15, 24 (Stari trg).

²³⁵ Lamm 2005, 139 Taf. 31, 359 (St. Martin an der Raab); Lamm 2001, 87 Abb. 36 (Saazkogel); Jeschek 2000, Taf. 145, 50; 148, 79 (Gleisdorf); Bauer – Herbert – Schachinger 1995, 102 Abb. 545 (Stallhofen); Pammer 2001, 80 Taf. 11, 32; 64, 136 (Kalsdorf); Groh 1996, 189 Taf. 12, K5 (Flavia Solva); Strmčnik-Gulič 1981, 354 ff. Taf. 8, 13; 11, 9; Strmčnik-Gulič 1984, 207 f. Taf. 5, 22 (Stari trg); Vogrin 1991, 36 mit Abb. (Celje).

²³⁶ Lamm 2005, 99 ff. Taf. 8, 56; 19, 21 (St. Martin an der Raab); Bauer 1997, 98 Taf. 20, R219 (Riegersburg); Groh 1996, 189 Taf. 12, K6 (Flavia Solva); Hebert 2004, 501 Taf. 3, 21 (Jagernigg).

²³⁷ Artner 1988/89, 32 Abb. 16, -/30b Taf. 14, Grab 30b, 1 (Gleisdorf).

5.3 Kannen- und Krugtypen

Krug mit rund verdicktem Rand

Taf. 4, 165/1/20; 13, 59/5/27, 59/5/43.

Gesamtzahl/Siedlung: 3. Ältestes: Periode 2. Hauptvorkommen: Periode 4 (SE 59).

Nachweise in Südostnoricum: Frauenberg²³⁸.

Kanne und Krug mit ausgebogenem Rand

Abb. 113, 78/32/27; 119, 67/3/25; Taf. 4, 122/2/20, 156/1/20; 7, 76a/3/25; 9, 78/17/47, 78/32/27; 13, 59/13/24; 21, 67/3/25; 27, 84/11/31; 29, 131/9/29; 31, 4b/8; o. Abb. 59/8/22.

Typ/Konkordanz (Krug): Artner 1988/89, Abb. 8, K2/65.

Gesamtzahl/Siedlung: 11. Älteste: Periode 2. Hauptvorkommen: Periode 4 (SE 59).

Nachweise in Südostnoricum: Gleisdorf, Kalsdorf (Grube 6: 150/200 n. Chr.), Frauenberg, Flavia Solva²³⁹.

Kanne und Krug mit ausgebogenem, innen gekehltem Rand

Taf. 9, 78/11/33, 78/32/25; 13, 59/10/46; 21, 67/10/26; 29, 131/9/21, 131/9/31.

Gesamtzahl/Siedlung: 6, Oberfläche: 1. Älteste: Periode 3. Hauptvorkommen: Periode 4 (SE 131).

Nachweise in Südostnoricum: Kalsdorf (Grube 7: 150/200 n. Chr.), Colatio-Stari trg²⁴⁰.

Krug mit Trichterrand

Taf. 24, 76/15/25; 29, 131/1/21.

Gesamtzahl/Siedlung: 3²⁴¹. Hauptvorkommen: Periode 4.

Nachweise in Südostnoricum: Affines in St. Martin an der Raab, Gleisdorf²⁴².

5.4 Bechertypen (Abb. 99)

Becher mit ausgebogenem Rand 1

Abb. 99, 67/23/20; 113, 78/31/20; 121, 84/5/20; Taf. 5, 179/4/20; 9, 78/17/52, 78/23/38, 78/31/20, 78/32/26; 13, 59/10/42; 16, 60/9/23; 18, 61/6/23; 21, 67/10/20, 67/23/20; 26, 74/3/25, 84/5/20; 29, 131/9/24.

Typ/Konkordanz: Pammer 2001, Typentaf. 6, B 1.1–3; Artner 1988/89, Abb. 6, T 7; Fuchs 1980, Topf 1602.

Gesamtzahl/Siedlung: 13, Oberfläche: 5. Älteste: Periode 3. Hauptvorkommen: Periode 4 (SE 67).

Gefäße mit Rädchendekor sind selten in West- und Nordnoricum, jedoch häufig in Südostnoricum: St. Martin an der Raab, Gleisdorf, Stallhofen, Kalsdorf (Grube 4: 120/150 n. Chr.; Grube 6: 150/200 n. Chr.; Grube 12: 180/200 n. Chr.), Flavia Solva (Grube G7: 280/350 n. Chr.), Frauenberg (Heiligtum: 70–100 n. Chr.), Eichfeld (Grab 1/1992, mit A 238 h: 80/150 n. Chr.), Velenik (Grab: 80/100 n. Chr.)²⁴³.

²³⁸ Artner 1998/99, 244; 253 Taf. 4, 45 (Frauenberg).

²³⁹ Jeschek 2000, Taf. 150, 88; Artner 1988/89, 20 Abb. 8, K2/65; 81 Taf. 29, Grab 65, 2 (Gleisdorf); Pammer 2001, 59 Taf. 34, 34 (Kalsdorf); Artner 1998/99, 257 Taf. 23, 308 (Frauenberg); Fuchs 1980, Taf. A40, 1 (Flavia Solva).

²⁴⁰ Pammer 2001, 59 Taf. 41, 8 (Kalsdorf); Djura Jenko 2004, 106 Taf. 37, 266 (Stari trg).

²⁴¹ Mit: Tiefengraber 2002, 134 Taf. 5, 47 (Saaz, SE 14 [Periode 3], FJ. 2002).

²⁴² Lamm 2005, 95 Taf. 3, 414 (St. Martin an der Raab); Jeschek 2000, Taf. 151, 95 (Gleisdorf).

²⁴³ Sedlmayer 2006, 329 (Noricum); Lamm 2005, 132 ff. Taf. 27, 292; 32, 568; 36, 486 (St. Martin an der

Raab); Artner 1988/89, 17 Abb. 6, T 7a; Taf. 7, Grab 9, 1; 32, Grab 83, 1; 32, Grab 84, 2; 71 Taf. 9, Grab 25, 1; Jeschek 2000, Taf. 25, 177, 179; 26, 185; 29, 212 (Gleisdorf); Bauer – Herbert – Schachinger 1995, 93 Abb. 86 (Stallhofen); Pammer 2001, 61 f. Typentaf. 6, B 1.1–2; Taf. 16, 38–39; 68, 23; 62 B 1.3 Taf. 34, 38; Jeschek – Lehner 1994, 193 Abb. 49 (Kalsdorf); Groh – Sedlmayer 2005, 239 Taf. 19, 8/12 (Frauenberg); Groh 1996, 190 Taf. 34, K70; Fuchs 1980, 80 Taf. A16, Grab 63, 1; 161; 233 Nr. 1602 Taf. A33, 2 (Flavia Solva); FÖ 39, 2000 (2001) 687 Abb. 919; Artner 1998/99, 262 Taf. 41, 527 (Frauenberg); Artner – Franek – Hampel 1995, 60 Taf. 1, 4 (Eichfeld); Pahič 1978, 255 Taf. 17, 3 (Velenik).

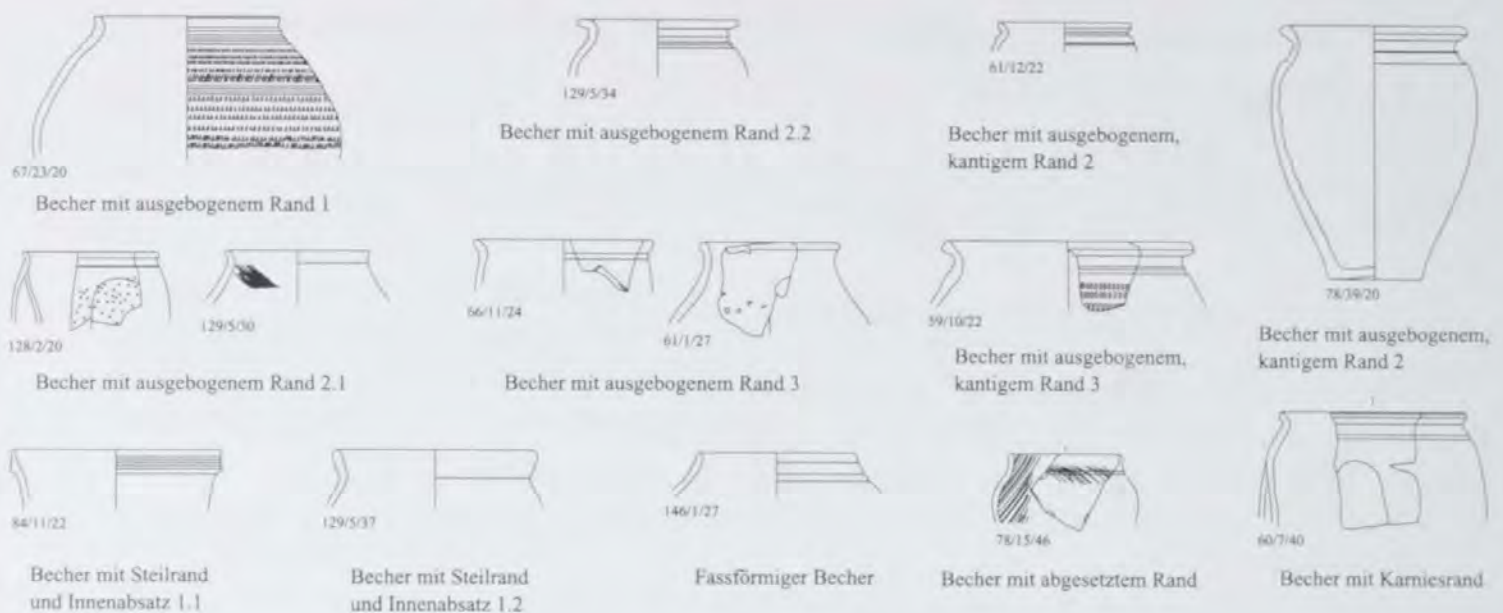


Abb. 99: Saaz, Bechertypen der regionalen Gebrauchskeramik. M. 1:4.

Becher/Faltenbecher mit ausgebogenem Rand 2.1

Abb. 99, 128/2/20, 129/5/30; Taf. 13, 59/10/47; 16, 60/13/34–35; 24, 76/33/31; 28, 128/2/20, 129/5/30, 129/5/38; 30, 27c/4.

Typ/Konkordanz: Pammer 2001, Typentaf. 6, B 1.1.

Gesamtzahl/Siedlung: 7. Hauptvorkommen: Periode 4 (SE 60, SE 129).

Gesamtzahl/Gräberfeld: 1. Hauptvorkommen: Periode 5.

In allen Teilen von Noricum verbreitet, Nachweise in Südostnoricum: St. Martin an der Raab, Kalsdorf (Grube 6: 150/200 n. Chr.), Ratschendorf (Hügel 15/III, mit Imitation Consp. 34 und Kniefibel: 130/160 n. Chr.), Bohova, Vransko²⁴⁴.

Becher mit ausgebogenem Rand 2.2

Abb. 99, 129/5/34; Taf. 16, 60/13/28; 20, 67/10/24; 28, 129/5/34.

Gesamtzahl/Siedlung: 3. Hauptvorkommen: Periode 4.

Nachweise in Noricum: Favianis-Mautern (130/140–170/180 n. Chr.), Zeiselmauer²⁴⁵.

Becher mit ausgebogenem Rand 3

Abb. 99, 61/1/27, 66/11/24; Taf. 1, 146/4/20; 3, 147/1/28; 4, 155/1/21; 9, 78/1/22, 78/23/31; 18, 61/1/27; 19, 66/11/24; 21, 67/3/26; 26, 74/2/22, 74/5/22; 26, 84/7/36; 27, 84/7/25; 28, 129/5/29; 30, 27c/8; o. Abb. 61/12/43, 129/5/39.

Typ/Konkordanz: Chornitzer 1995b, Abb. 12, 17–18; Pammer 2001, Typentaf. 6, B 1.3 und B 2.

Gesamtzahl/Siedlung: 15, Oberfläche: 2. Älteste: Periode 1. Hauptvorkommen: Periode 4.

Gesamtzahl/Gräberfeld: 1. Periode 5.

In allen Teilen von Noricum verbreitet, Nachweise in Südostnoricum: St. Martin an der Raab, Gleisdorf, Pichling bei Köflach (Grab 9, mit Glasbecher AR 51: 50/150 n. Chr.), Kalsdorf (Grube 2: 100/150 n. Chr.; Grube 4: 120/150 n. Chr.; Gruben 6 und 11: 150/170–200 n. Chr.; Grube 13: 280/400 n. Chr.), Flavia Solva, Rassach²⁴⁶.

²⁴⁴ Sedlmayer 2006, 323; 329 (Noricum); Lamm 2005, 147 Taf. 35, 453 (St. Martin an der Raab); Pammer 2001, 61 Typentaf. 6, B 1.1; Taf. 34, 35–37 (Kalsdorf); Artner 1994, 43 Taf. 9, Hügel 15/III, 3 (Ratschendorf); Strmčnik-Gulič 1994, 278 f. Abb. 10, 3 (Bohova); Vidrih Perko 1997, 172 Abb. 6, 3 (Vransko).

²⁴⁵ R. Miglbauer, Die Gefäßkeramik der Grabung Wels Marktgelände, *ReiCretActa Suppl.* 7 (1990) 93 Taf.

6, 1 (Wels); R. Ployer, Linz – Spittelwiese: Funde (in Auswahl), in: E. M. Ruprechtsberger, Neue Beiträge zum römischen Kastell von Lentia/Linz, *LAF* 36 (2005) 194 Taf. 5, 17 (Linz); Sedlmayer 2001, 245 Taf. 11, 202 (Mautern); Muschal 1995, Taf. 5, 6 (Zeiselmauer).

²⁴⁶ Sedlmayer 2006, 330 (Noricum); Lamm 2005, 109 ff. Taf. 14, 336; 34, 443; 35, 564 (St. Martin an der Raab); Jeschek 2000, Taf. 143, 37 (Gleisdorf); Chornitzer

Becher mit ausgebogenem, kantigem Rand 2

Abb. 99, 6i/12/22, 78/39/20; Taf. 1, 142/1/20; 9, 78/39/20; 18, 61/12/22; 19, 66/2/20; 21, 67/12/20; 27, 84/11/38; 31, 4b/10.

Typ/Konkordanz: Pammer 2001, Typentaf. 6, B 1.4.

Gesamtzahl/Siedlung: 7. Ältestes: Periode 1. Hauptvorkommen: Periode 4.

Vornehmlich in der norischen Limesregion verbreitet, Nachweise in Südostnoricum: St. Martin an der Raab, Gleisdorf (Analogie von Taf. 9, 78/39/20 in Grab XXVIII: *t.p.q.* 138/161 n. Chr.), Kalsdorf (Grube 6: 150/200 n. Chr.; Grube 12: 180/200 n. Chr.), Södingberg, Colatio-Stari trg (Grab: *t.p.q.* 98/102 n. Chr.)²⁴⁷.

Becher mit ausgebogenem, kantigem Rand 3

Abb. 99, 59/10/22; Taf. 13, 59/5/35, 59/10/22, 59/10/49; 21, 67/3/24; 24, 76/7/25.

Typ/Konkordanz: Pammer 2001, Typentaf. 6, B 1.5.

Gesamtzahl/Siedlung: 5, Oberfläche: 4²⁴⁸. Hauptvorkommen: Periode 4 (SE 59).

Affine Formen in der norischen Limesregion verbreitet, Nachweise in Südostnoricum: Saazkogel (Siedlung, FJ, 2000), Kalsdorf (Grube 1: 100/150 n. Chr.; Grube 5: 150/200 n. Chr.), Flavia Solva (Grube G36: um 150/160 n. Chr.)²⁴⁹.

Becher mit Steilrand und Innenabsatz 1.1

Abb. 99, 84/11/22; Taf. 16, 60/7/21; 19, 66/12/21; 27, 84/11/22, 84/11/34.

Typ/Konkordanz: Pammer 2001, Typentaf. 6, B 5.2; Fuchs 1980, Becher 2403.

Gesamtzahl/Siedlung: 4, Oberfläche: 1, Hauptvorkommen: Periode 4 (SE 84).

In Nord- und Südostnoricum verbreitet, Nachweise in Südostnoricum: St. Martin an der Raab, Gleisdorf, Kalsdorf (Grube 5: 150/200 n. Chr.), Flavia Solva, Slovenska Bistrica, Spodnja Nova vas, Colatio-Stari trg (Grab 7/V: *t.p.q.* Münze Hadrianus)²⁵⁰.

Becher mit Steilrand und Innenabsatz 1.2

Abb. 99, 129/5/37; 121, 129/5/37; Taf. 13, 59/14/20; 27, 84/5/23; 28, 129/5/37, 129/13/20.

Typ/Konkordanz: Artner 1988/89, Abb. 6, T2; Fuchs 1980, Topf 1208.

Gesamtzahl/Siedlung: 4, Hauptvorkommen: Periode 4 (SE 129).

In Nord- und Südostnoricum verbreitet, Nachweise in Südostnoricum: St. Martin an der Raab, Gleisdorf, Flavia Solva, Colatio-Stari trg (Grab: *t.p.q.* 175/180 n. Chr.)²⁵¹.

1995b, 198 f. Abb. 12, 17–18; Taf. 1, 8; 2, 5 (Pichling bei Köflach); Pammer 2001, 62 Typentaf. 6, B 1.3; Taf. 3, 9; 43, 9; 56, 53; 63 Typentaf. 6, B 2; Taf. 17, 43–45; 34, 41–43; 48, 11; 79, 19 (Kalsdorf); Fuchs 1980, 122 Taf. A20, Grab 139, 14 (Flavia Solva); Hinker 2002, 181 Taf. 3, 24 (Ras-sach).

²⁴⁷ Sedlmayer 2006, 327 f. (Noricum); Lamm 2005, 124 Taf. 23, 129 (St. Martin an der Raab); Artner 1988/89, 92 Taf. 44, XXVIII, 3; Jeschek 2000, Taf. 160, 191 (Gleisdorf); Pammer 2001, 62 Typentaf. 6, B 1.4; Taf. 34, 39; 63 Taf. 68, 26 (Kalsdorf); Wagner 2000, 493 Taf. 24, 1 (Södingberg); Strmčnik-Gulič 1981, 350 Taf. 1, 3; Djura Jelenko 2004, 103 f. Taf. 16, 124; 18, 141 (Stari trg).

²⁴⁸ Mit: Tiefengraber 2002, 136 Taf. 9, 87 (Saaz, SE 01, FJ, 2002).

²⁴⁹ Sedlmayer 2006, 328 f. (Noricum); Lamm 2001, 79 Abb. 2 (Saazkogel); Pammer 2001, 62 Typentaf. 6, B 1.5;

Taf. 25, 21; 63 Taf. 1, 2 (Kalsdorf); Groh 1996, 190 Taf. 14, K60 (Flavia Solva).

²⁵⁰ Sedlmayer 2006, 325 f. (Noricum); Lamm 2005, 127 Taf. 25, 218 (St. Martin an der Raab); Artner 1988/89, 78 Taf. 23, Grab 41, 3; Jeschek 2000, Taf. 25, 171, 173 (Gleisdorf); Pammer 2001, 64 Typentaf. 6, B 5.2; Taf. 25, 24 (Kalsdorf); Fuchs 1980, 164; 236 Nr. 2403 Taf. A35, 4–6 (Flavia Solva); Pahič 1978, 254 Taf. 2, 28 (Slovenska Bistrica); Pahič 1978, 255 Taf. 10, 5 (Spodnja Nova vas); Egger 1914, 84 Abb. 64, 1; 83 Abb. 64, 2; Djura Jelenko 2004, 103 Taf. 16, 125 (Stari trg).

²⁵¹ Sedlmayer 2006, 326 (Noricum); Lamm 2005, 100 ff. Taf. 9, 63; 12, 278; 27, 288 (St. Martin an der Raab); Artner 1988/89, 15 Abb. 6, T2; Taf. 1, Grab 1, 1; 28, Grab 60, 1 (Gleisdorf); Fuchs 1980, 161; 228 Nr. 1208 Taf. A33, 8 (Flavia Solva); Strmčnik-Gulič 1981, 352 Taf. 5, 8 (Stari trg).

Fassförmiger Becher

Abb. 99, 146/1/27; Taf. 1, 146/1/27; 9, 78/17/28.

Typ/Konkordanz: Chornitzer 1995b, Abb. 12, 20.

Gesamtzahl/Siedlung: 2. Hauptvorkommen: Perioden 1 und 3.

Nachweise in Südostnoricum: Pichling bei Köflach (Grab 11, mit A 68 und A 236 c: 50/100 n. Chr.), Frauenberg (Heiligtum: 40/50–70/100 n. Chr.)²⁵².

Produktion in Emona-Ljubljana (Töpferei: 50/150 n. Chr.)²⁵³.

Becher mit abgesetztem Rand

Abb. 99, 78/15/46; 119, 60/23/22; 121, 129/5/25; Taf. 2, 147/1/34; 5, 175/1/20; 9, 78/15/46; 16, 60/13/32, 60/23/22; 24, 76/38/22; 28, 129/5/25, 129/5/35; o. Abb. 60/7/36.

Typ/Konkordanz: Artner 1988/89, Abb. 6, T 11; Fuchs 1980, Topf 1303, 1604; Becher 2102.

Gesamtzahl/Siedlung: 9, Oberfläche: 3. Ältestes: Periode 1. Hauptvorkommen: Periode 4.

In allen Teilen von Noricum verbreitet, Nachweise in Südostnoricum: St. Martin an der Raab, Saazkogel (Hügelgräberfeld, FJ. 1999), Gleisdorf, Kugelstein, Flavia Solva, Spodnja Nova vas, Colatio-Stari trg; hiervon die für Südostnoricum typische kugelbauchige Variante (Artner 1988/89, Taf. 6, Grab 7d, 4) in Gleisdorf, Flavia Solva und Colatio-Stari trg²⁵⁴.

Becher/Faltenbecher mit Karniesrand

Abb. 99, 60/7/40; 119, 60/7/40; Taf. 3, 147/4/24; 9, 78/11/27, 78/15/45, 78/32/22; 16, 60/4/25, 60/7/40, 60/13/33, 60/16/22, 60/23/20–21, 60/29/26–27, 60/32/37; 18, 61/8/20; 19, 66/7/22; 20, 67/6/20; 24, 76/15/43, 76/19/31, 76/22/24; 25, 82/1/24, 82/7/20; o. Abb. 60/21/29, 60/29/28.

Typ/Konkordanz: Fuchs 1980, Becher 2601, 2603.

Gesamtzahl/Siedlung: 23, Oberfläche: 7. Ältestes: Periode 1. Hauptvorkommen: Periode 4 (SE 60).

Hauptsächlich in der norischen Limesregion und in Südostnoricum verbreitet; Nachweise in Südostnoricum: Grafendorf, St. Martin an der Raab, Riegersburg (Kulturschichten 8/9, mit mittelgallischer TS: 150/200 n. Chr.), Gleisdorf, Kalsdorf (Grube 5: 150/200 n. Chr.; Grube 13: 280/400 n. Chr.), Flavia Solva, Jagernigg, Ratschendorf (Grab 2/90, mit Glasbecher AR 51 und AR 54: 80/150 n. Chr.), Slovenska Bistrica, Colatio-Stari trg²⁵⁵.

Produktion in Poetovio-Ptuj: Faltenbecher mit/ohne Karniesrand und mit/ohne Sandbewurf (Keramikkbrennofen 1: 120/150 n. Chr.; Keramikkbrennofen Cafuta/1975: mittlere Kaiserzeit; Abwurf Spodnja Hajdina: mittlere Kaiserzeit)²⁵⁶.

²⁵² Chornitzer 1995b, 200 Abb. 12, 20; Taf. 3, 10, Grab 11, mit Fibel A 236 c (bei Chornitzer 1995b, 200 Anm. 21 „Almgren 236e“) (Pichling bei Köflach); Groh – Sedlmayer 2005, 231 ff. Taf. 14, 58/23, 110/23, 130/85, 130/87; 15, 87/47–49; 18, 67/99–102, 67/107; 19, 8/13–15 (Frauenberg).

²⁵³ Istenič – Plesničar-Gec 2001, 142 ff. Abb. 7, 13 (Ljubljana).

²⁵⁴ Sedlmayer 2006, 322 f. (Noricum); Lamm 2005, 150 Taf. 36, 487 (St. Martin an der Raab); Artner 2003, 158 Abb. 23, 1, kugelbauchig (Saazkogel); Artner 1988/89, 15 Abb. 6, T 11; Taf. 2, Grab 5, 1; 6, Grab 7d, 4, kugelbauchig; 26, Grab 47, 1; Jeschek 2000, Taf. 143, 33, 35, 36, davon 143, 33 kugelbauchig (Gleisdorf); Bauer 1997, 132 Taf. 48, K13 (Kugelstein); Fuchs 1980, 119; 230 Nr. 1303 Taf. A19, Grab 127, 1, kugelbauchig; 161; 234 Nr. 1604 Taf. A33, 11; 163; 235 Nr. 2102 Taf. A34, 7 (Flavia Solva); Pahič 1978, 255 Taf. 12, 6 (Spodnja Nova vas); Egger 1914, 78 Abb. 48, 3 = Djura Jelenko 2004, 104 Taf. 20, 151, kugelbauchig (Stari trg).

²⁵⁵ Sedlmayer 2006, 323 f.; 331 (Noricum); Fűrnholzer

1997, 302 Taf. 1, 3 (Grafendorf); Lamm 2005, 108 ff. Taf. 14, 318; 19, 148; 37, 497 (St. Martin an der Raab); Bauer 1997, 85 Abb. 20, R26; 94 Taf. 1, R26 (Riegersburg); Artner 1988/89, 81 Taf. 28, Grab 64, 4; Erath – Jeschek 1994, 597 Abb. 922; Jeschek 2000, Taf. 160, 193–198 (Gleisdorf); Pammer 2001, 62 Taf. 25, 22; 79, 17–18 (Kalsdorf); Fuchs 1980, 164; 237 Nr. 2601, 2603 Taf. A35, 7, 9; A36, 1; Bauer – Groh 1994, 607 Abb. 940, 1 (Flavia Solva); Hebert 2004, 501 Taf. 3, 22 (Jagernigg); Artner 1994, 46 Taf. 15, Grab 2/90, 5 (Ratschendorf); Pahič 1978, 254 Taf. 1, 11 (Slovenska Bistrica); Djura Jelenko 2004, 101 Taf. 3, 12 (Stari trg).

²⁵⁶ L. Plesničar-Gec, The production of thin-walled pottery at Poetovio: new evidence, *ReiCretActa* 27/28, 1990, 153 Abb. 1–2, von Verf. in den Zeitraum 50/100 datiert; da jedoch auch eine Imitation von Drexel I-Schalen gebrannt wurde, ist eine jüngere Zeitstellung (120/150) anzunehmen; Strmčnik-Gulič 1993, 488 Taf. 1, 9–11; 6, 1–6 (Ptuj); J. Istenič – M. Tomanič Jevremov, Poetovian wasters from Spodnja Hajdina near Ptuj, *AVes* 55, 2004, 320 f. Abb. 9; Taf. 6, 26–28 (Spodnja Hajdina).

5.5 Topftypen (Abb. 100–104)

Auerbergderivat

Abb. 100, 128/6/20; Taf. 10, 78/6/40, 78/23/30; 24, 76/24/30; 28, 128/6/20.

Typ/Konkordanz: Taf. 10, 78/6/40 und 28, 128/6/20 – Pammer 2001, Typentaf. 4, T 6.1.

Gesamtzahl/Siedlung: 4. Hauptvorkommen: Perioden 3 (SE 78) und 4.

Nachweise in Südostnoricum: St. Martin an der Raab, Gleisdorf, Kalsdorf (Grube 6: 150/200 n. Chr.), Analogie von Taf. 10, 78/6/40: Eichfeld (Grab 1/1992, mit A 238 h: 80/150 n. Chr.)²⁵⁷.

Topf mit Dreiecksrand 3.1

Abb. 100, 78/11/25; Taf. 10, 78/11/25; 21, 67/24/23; 29, 131/1/23, 131/9/28.

Gesamtzahl/Siedlung: 4. Ältestes: Periode 3. Hauptvorkommen: Periode 4 (SE 131).

Nachweise in Südostnoricum: Gleisdorf, Frauenberg (Heiligtum: 40/50–70 n. Chr.); Vorläuferform am Frauenberg (mit Aucissafibel und Fibel mit beißendem Tierkopf: augusteisch)²⁵⁸.

Topf mit Dreiecksrand 3.2

Abb. 100, 147/5/21; Taf. 1, 146/1/23, 25; 3, 147/5/21; 5, 154/2/28; 10, 78/17/35, 78/26/32; 18, 61/12/29, 61/6/25; 19, 66/11/23.

Typ/Konkordanz: Pammer 2001, Typentaf. 4, T 7.1.

Gesamtzahl/Siedlung: 9. Älteste: Periode 1. Hauptvorkommen: Perioden 3 (SE 78) und 4 (SE 61).

In der norischen Limesregion und in Südostnoricum verbreitet; Nachweise in Südostnoricum: Gleisdorf, Kalsdorf (Grube 4: 120/150 n. Chr.), Frauenberg (Heiligtum: 25/35–70/100 n. Chr.)²⁵⁹.

Vorläuferformen in Emona-Ljubljana (Gornji trg 30: 15 v. Chr.–0; 15–30/50 n. Chr.)²⁶⁰.

Produktion in Poetovio-Ptuj (Keramikbrennofen Cafuta/1975: mittlere Kaiserzeit)²⁶¹.

Topf mit Dreiecksrand 4.1 und Topf mit nach außen verdicktem Rand und

Innenabsatz

Abb. 100, 161/1/21, 177/1/22; Taf. 4, 161/1/21; 7, 177/1/22; 21, 67/4/23; 27, 84/1/28, 84/11/20; 31, 4b/16.

Typ/Konkordanz: Pammer 2001, Typentaf. 4, T 4.2; Artner 1988/89, Abb. 5, VT 5.

Gesamtzahl/Siedlung: 6, Oberfläche: 1. Ältestes: Periode 2. Hauptvorkommen: Periode 4 (SE 84).

In der norischen Limesregion und in Südostnoricum verbreitet; Nachweise in Südostnoricum: St. Martin an der Raab, Riegersburg (Kulturschicht 8, mit mittelgallischer TS: 150/200 n. Chr.), Gleisdorf, Stallhofen, Kalsdorf (Grube 11: 170/200 n. Chr.), Brinjeva gora, Slovenska Bistrica, Celeia-Celje²⁶².

²⁵⁷ Lamm 2005, 126 Taf. 24, 151 (St. Martin an der Raab); Pammer 2001, 56 Taf. 33, 31 (Kalsdorf); Jeschek 2000, Taf. 1, 2–3, 6; 2, 9 (Gleisdorf); Artner – Franek – Hampel 1995, 60 Taf. 1, 1 (Eichfeld).

²⁵⁸ Jeschek 2000, Taf. 4, 23, 26–27; 7, 48 (Gleisdorf); Groh – Sedlmayer 2005, 232 Taf. 14, 110/29, 130/91; G. Tiefengraber, KG Seggauberg, FÖ 41, 2001 (2002) 683 Abb. 630, mit Aucissafibel und Fibel mit beißendem Tierkopf (Frauenberg).

²⁵⁹ Sedlmayer 2006, 332 (Noricum); Artner 1988/89, 93 Taf. 45, XXXI, 1 (Gleisdorf); Pammer 2001, 56 ff. Typentaf. 4, T 7.1; Taf. 15, 28; 43, 5–6 (Kalsdorf); Groh – Sedlmayer 2005, 230 ff. Taf. 12, 138/1; 14, 110/27; 18, 67/128 (Frauenberg).

²⁶⁰ Vičić 1994, 51 Taf. 8, 15; 14, 8 (Ljubljana).

²⁶¹ Strmčnik-Gulič 1993, 488 Taf. 4, 3 (Ptuj).

²⁶² Sedlmayer 2006, 333 (Noricum); Lamm 2005, 93 ff. Taf. 3, 242; 6, X47; 12, 273; 30, 347, X75; 31, 387; 33, 576 (St. Martin an der Raab); Bauer 1997, 82 R90; 95 Taf. 7, R89–R93; 8, R94 (Riegersburg); Artner 1988/89, 14 Abb. 5, VT 5; Taf. 20, Grab 36, 4; 33, Grab 90, 4; 36, Grab 94, 1; 85 Taf. 35, Grab 93, 1; Jeschek 2000, Taf. 21, 140; 31, 229; 38, 272 (vgl. Taf. 4, 161/1/21; 21, 67/4/23); 38, 274–276 (Gleisdorf); Bauer – Herbert – Schachinger 1995, 93 Abb. 90 (Stallhofen); Pammer 2001, 52 Taf. 54, 34; 55 Typentaf. 4, T 4.2; Taf. 54, 40 (Kalsdorf); Pahič 1980, 106 Beil. 1, 5b (Brinjeva gora); Pahič 1978, 255 Taf. 3, 11, 29; 5, 1, 3–8, 12–14, 16, 19; 7, 1–2, 5 (Slovenska Bistrica); Vogrin 1991, 33 mit Abb. (Celje).

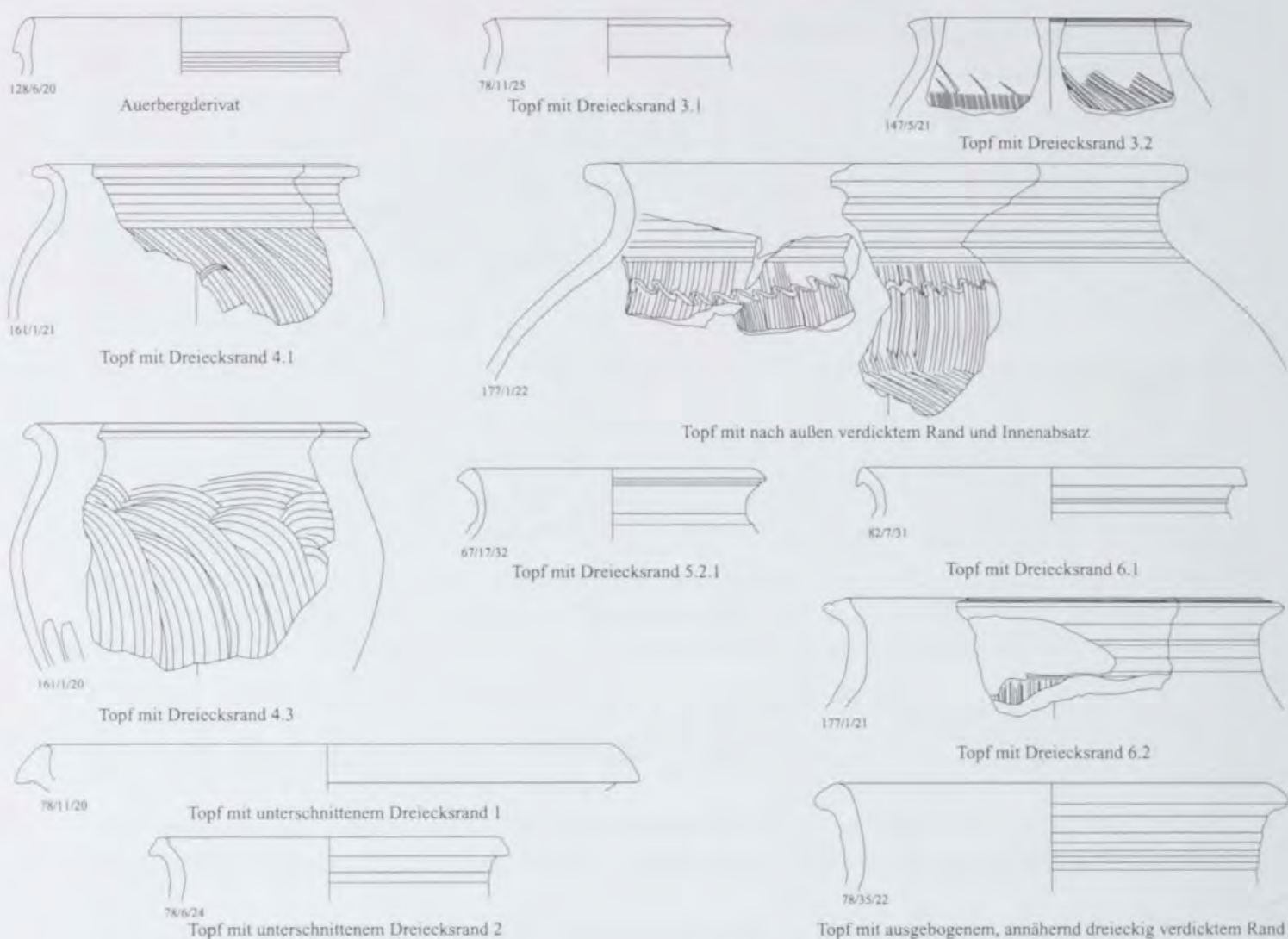


Abb. 100: Saaz, Topftypen der regionalen Gebrauchskeramik. M. 1:4.

Produktion in Poetovio-Ptuj (Keramikkloster Cafuta/1975: mittlere Kaiserzeit)²⁶³.
 Datierter Vergleichsfund in Emona-Ljubljana (Gornji trg 30: 55–100/120 n. Chr.)²⁶⁴.

Topf mit Dreiecksrand 4.3

Abb. 100, 161/1/20; Taf. 4, 161/1/20; 10, 78/15/25; 19, 66/1/27, 66/4/25; 27, 84/1/26.

Gesamtzahl/Siedlung: 5, Oberfläche: 1²⁶⁵. Ältestes: Periode 2. Hauptvorkommen: Periode 4 (SE 66).

In Nordnoricum verbreitet, Nachweise in Südostnoricum: Gleisdorf²⁶⁶.

Topf mit Dreiecksrand 5.2.1

Abb. 100, 67/17/32; Taf. 2, 167/1/21; 5, 154/2/30, 154/4/20; 10, 78/26/29; 19, 66/1/22; 21, 67/4/40, 67/13/25, 67/17/32; 24, 76/19/34–35; 26, 74/2/20; 27, 84/1/24; 29, 131/7/22.

Typ/Konkordanz: Pammer 2001, Typentaf. 1, VT 1, VT 4; Fuchs 1980, Topf 1205.

Gesamtzahl/Siedlung: 13, Oberfläche: 1. Ältestes: Periode 1. Hauptvorkommen: Periode 4 (SE 67, SE 76).

In allen Teilen von Noricum verbreitet, Nachweise in Südostnoricum: Grafendorf, St. Martin an der Raab, Gleisdorf, Pichling bei Köflach, Kapfenstein (Grab 54: *t.p.q.* 117/138 n. Chr.), Kalsdorf (Grube 4: 120/150 n. Chr.; Gruben 11 und 12: 170/180–200 n. Chr.), Frauenberg

²⁶³ Strmčnik-Gulič 1993, 488 Taf. 4, 8 (Ptuj).

²⁶⁴ Vičič 1994, 52 Taf. 22, 8 (Ljubljana).

²⁶⁵ Der Oberflächenfund Inv. 1/14/20 ist in 'Blasen-

ton' gefertigt und datiert spätantik.

²⁶⁶ Sedlmayer 2006, 334 (Noricum); Jeschek 2000, Taf. 12, 76 (Gleisdorf).

(Heiligtum: 25/35–70/100 n. Chr.), Flavia Solva, Bohova, Colatio-Stari trg²⁶⁷.
 Vorläuferformen in Emona-Ljubljana (Gornji trg 30: 15 v. Chr. –0)²⁶⁸. Vergleichsfunde im benachbarten Westpannonien: Savaria-Szombathely (Grab 54: *t.p.q.* Münze Nerva; Grab 51: *t.p.q.* Münze Hadrianus)²⁶⁹.
 Produktion in Poetovio-Ptuj (Keramikkbrennofen Cafuta/1975: mittlere Kaiserzeit)²⁷⁰.

Topf mit Dreiecksrand 6.1

Abb. 100, 82/7/31; Taf. 16, 60/35/20; 18, 61/3/25; 19, 66/4/30; 21, 67/4/21; 25, 82/7/31.

Typ/Konkordanz: Pammer 2001, Typentaf. 3, T 2.2.

Gesamtzahl/Siedlung: 5. Periode 4.

Nachweise in Südostnoricum: St. Martin an der Raab, Gleisdorf, Kapfenstein, Kalsdorf (Grube 6: 150/200 n. Chr.; Grube 8: 100/200 n. Chr.; Grube 13: 280/400 n. Chr.), Celeia-Celje²⁷¹.

Topf mit Dreiecksrand 6.2

Abb. 100, 177/1/21; Taf. 7, 177/1/21; 10, 78/3/24. 78/6/28. 78/37/20; 13, 59/5/21. 59/5/40. 59/8/21; 16, 60/7/34. 60/37/20; 24, 76/15/21; 25, 82/7/28.

Gesamtzahl/Siedlung: 11, Oberfläche: 2. Älteste: Periode 3. Hauptvorkommen: Periode 4 (SE 59).

Nachweise in Noricum: St. Martin an der Raab, Gleisdorf, Flavia Solva (Grube G36: 150/160 n. Chr.), Slovenska Bistrica, Favianis-Mautern (100/110–170/180 n. Chr.)²⁷².

Vergleichsfund in Südwestpannonien: Variante in Poetovio-Ptuj²⁷³.

Topf mit unterschrittenem Dreiecksrand 1

Abb. 100, 78/11/20; Taf. 10, 78/5/20. 78/11/20; 18, 61/1/23; 21, 67/13/22. 67/17/23; 24, 76/24/26.

Gesamtzahl/Siedlung: 8²⁷⁴. Älteste: Periode 3. Hauptvorkommen: Periode 4 (SE 67).

In allen Teilen von Noricum verbreitet, Nachweise in Südostnoricum: St. Martin an der Raab, Kalsdorf (Grube 8: 100/200 n. Chr.), Frauenberg (Heiligtum: 40/50–70 n. Chr.)²⁷⁵.

Topf mit unterschrittenem Dreiecksrand 2

Abb. 100, 78/6/24; Taf. 10, 78/6/24; o. Abb. 60/9/26.

Gesamtzahl/Siedlung: 2. Perioden 3 und 4.

Nachweise in Südostnoricum: Gleisdorf (Grube: 80/120 n. Chr.)²⁷⁶.

²⁶⁷ Sedlmayer 2006, 335 (Noricum); Fürnholzer 1997, 301 Taf. 1, 1 (Grafendorf); Urban 1984, 124 Taf. 66, B, 1 (Kapfenstein); Lamm 2005, 102 ff. Taf. 11, 181; 24, 197 (St. Martin an der Raab); Artner 1988/89, 82 Taf. 30, Grab 69, 2; Jeschek 2000, Taf. 3, 21; 5, 32; 12, 81; Erath – Jeschek 1994, 596 Abb. 915 (Gleisdorf); Fuchs 1994, 129 Taf. 7, 81 (Pichling bei Köflach); Pammer 2001, 44 VT 1 Taf. 12, 1; 50, 1; 45 VT 4 Taf. 65, 2 (Kalsdorf); Groh – Sedlmayer 2005, 230 ff. Taf. 12, 132/2; 14, 130/89; 18, 67/130 (Frauenberg); Fuchs 1980, 78; 228 Nr. 1205 Taf. A15, Grab 58, 3 (Flavia Solva); Strmčnik-Gulič 1994, 278 f. Abb. 9, 6 (Bohova); Strmčnik-Gulič 1984, 207 f. Taf. 2, 2 (Stari trg).

²⁶⁸ Vičič 1994, 51 Taf. 8, 13 (Ljubljana).

²⁶⁹ Mócsy 1954, 190 f. Taf. 11, 51, 1; 12, 54, 2 (Szombathely).

²⁷⁰ Strmčnik-Gulič 1993, 488 Taf. 5, 1–2 (Ptuj).

²⁷¹ Lamm 2005, 114 Taf. 17, 473 (St. Martin an der Raab); Jeschek 2000, Taf. 12, 82; 45, 318 (Gleisdorf); Ur-

ban 1984, 104 Taf. 60, B, 2 (Kapfenstein); Pammer 2001, 52 Typentaf. 3, T 2.2; Taf. 31, 19; 43, 2–3; 77, 7 (Kalsdorf); Vogrin 1991, 34 mit Abb. (Celje).

²⁷² Sedlmayer 2006, 336 Taf. 171, 2209/3 (Mautern); Lamm 2005, 140 Taf. 31, 386 (St. Martin an der Raab); Jeschek 2000, Taf. 6, 41; 20, 132–135 (Gleisdorf); Groh 1996, 190 Taf. 17, K42 (Flavia Solva); Pahič 1978, 255 Taf. 3, 15 (Slovenska Bistrica).

²⁷³ Kujundžić 1982, 67 Taf. 8, Grab 71, 6 (Ptuj).

²⁷⁴ Mit: Tiefengraber 2002, 134 Taf. 5, 43, 48 (Saaz, SE 14 [Periode 3], FJ. 2002).

²⁷⁵ Sedlmayer 2006, 336 f. (Noricum); Lamm 2005, 113 ff. Taf. 16, 465; 36, 488 (St. Martin an der Raab); Pammer 2001, 52 Taf. 43, 2 (Kalsdorf); Groh – Sedlmayer 2005, 234 Taf. 16, 91/27 (Frauenberg).

²⁷⁶ Sedlmayer 2006, 338 (Noricum); Jeschek – Lehner 1996, 526 Abb. 685 (Gleisdorf).

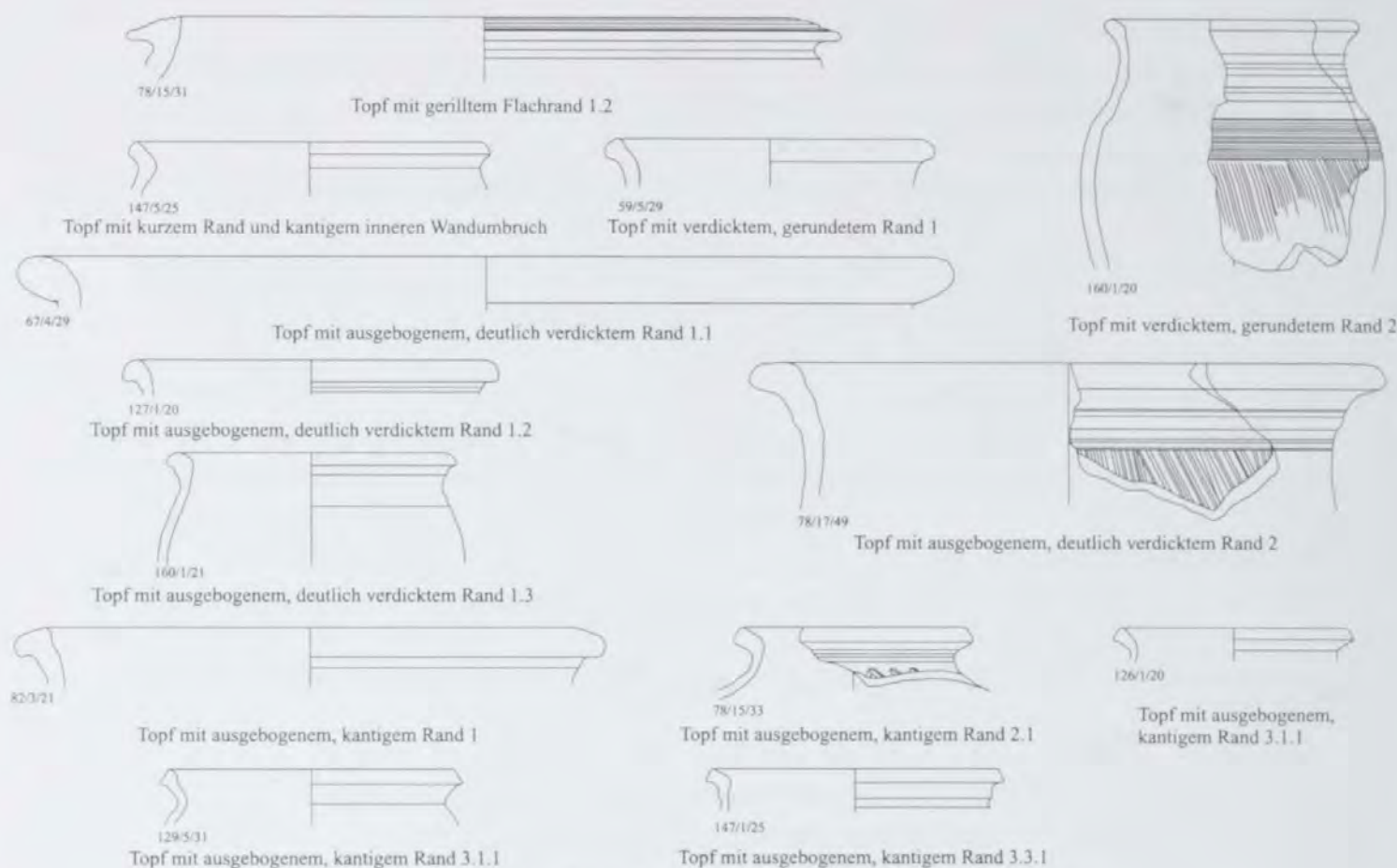


Abb. 101: Saaz, Topftypen der regionalen Gebrauchskeramik. M. 1:4.

Topf mit ausgebogenem, annähernd dreieckig verdicktem Rand

Abb. 100, 78/35/22; Taf. 10, 78/3/22. 78/15/32. 78/17/21. 78/35/22; 31, 4b/2. 6/1.

Gesamtzahl/Siedlung: 6, Oberfläche: 3. Periode 3 (SE 78).

Nachweise in Südostnoricum: Gleisdorf, Riegersburg (Kulturschichten 8/9, mit mittelgallischer TS: 150/200 n. Chr.), Frauenberg (Heiligtum: 40/50–70/100 n. Chr.)²⁷⁷.

Topf mit gerilltem Flachrand 1.2

Abb. 101, 78/15/31; Taf. 10, 78/6/27, 78/15/31; 16, 60/26/32; 19, 66/1/25.

Gesamtzahl/Siedlung: 5²⁷⁸. Hauptvorkommen: Periode 3 (SE 78, SE 14).

Nachweise in Südostnoricum: Gleisdorf²⁷⁹.

Topf mit kurzem Rand und kantigem inneren Wandumbruch

Abb. 101, 147/5/25; Taf. 16, 60/7/27. 60/21/23. 60/21/28; 17, 60/7/25; 27, 84/7/34.

Typ/Konkordanz: Pammer 2001, Typentaf. 1, VT 5; 4, T 4.1.

Gesamtzahl/Siedlung: 6, Oberfläche: 1. Ältestes: Periode 1. Hauptvorkommen: Periode 4 (SE 60).

Nachweise in Südostnoricum: St. Martin an der Raab, Saazkogel (Siedlung, FJ. 2000), Kalsdorf (Grube 4: 120/150 n. Chr.; Grube 6: 150/200 n. Chr.; Grube 12: 180/200 n. Chr.)²⁸⁰.

²⁷⁷ Jeschek 2000, Taf. 9, 62 (Gleisdorf); Bauer 1997, 95 Taf. 8, R100; 85 Abb. 20, R133; 96 Taf. 11, R133 (Riegersburg); Groh – Sedlmayer 2005, 232 ff. Taf. 14, 12/2. 58/24; 16, 85/6; 18, 67/129. 67/133 (Frauenberg).

²⁷⁸ Mit: Tiefengraber 2002, 134 Taf. 5, 44 (Saaz, SE 14 [Periode 3], FJ. 2002).

²⁷⁹ Jeschek 2000, Taf. 6, 40; Erath – Jeschek 1994,

596 Abb. 909 (Gleisdorf).

²⁸⁰ Lamm 2005, 116 Taf. 18, 3 (St. Martin an der Raab); Lamm 2001, 75 ff. Abb. 38 (Saazkogel); Pammer 2001, 45 Typentaf. 1, VT 5; Taf. 6, 3–4; 7, 5; 12, 2; 29, 4; 55 Typentaf. 4, T 4.1; Taf. 15, 24–26; 33, 29–30; 54, 39; 67, 17; 48 Taf. 47, 6 (Kalsdorf).

Topf mit verdicktem, gerundetem Rand 1

Abb. 101, 59/5/29; Taf. 10, 78/15/23; 13, 59/5/29; 17, 60/21/21; 24, 76/22/25.

Gesamtzahl/Siedlung: 4, Oberfläche: 2. Ältestes: Periode 3. Hauptvorkommen: Periode 4. Hauptsächlich in der norischen Limesregion verbreitet, Nachweise in Südostnoricum: St. Martin an der Raab, Gleisdorf, Kalsdorf (Grube 2: 100/150 n. Chr.), Flavia Solva, Oswaldgraben, Brinjeva gora, Slovenska Bistrica²⁸¹.

Topf mit verdicktem, gerundetem Rand 2

Abb. 101, 160/1/20; 110, 160/1/20; Taf. 1, 146/1/22, 160/1/20; 2, 152/1/20, 167/1/22, 174/1/23; 3, 147/1/29, 147/5/20; 5, 123/5/20; 10, 78/17/44; 13, 59/10/52; 17, 60/7/22, 38; 21, 67/17/30; 25, 82/3/29; 27, 84/7/21, 26.

Typ/Konkordanz: Chornitzer 1995b, Abb. 12, 26; Pammer 2001, Typentaf. 1, VT 11; 2, T 1.6; 4, T 6.2.

Gesamtzahl/Siedlung: 16, Oberfläche: 1²⁸². Älteste: Periode 1. Hauptvorkommen: Periode 4 (SE 60, SE 84).

Nachweise in Südostnoricum: St. Martin an der Raab, Saazkogel (Siedlung, FJ. 2000), Gleisdorf (Grube: 80/120 n. Chr.), Pichling bei Köflach, Stallhofen, Kalsdorf (Gruben 5–6 und 11: 150/170–200 n. Chr.), Frauenberg (Heiligtum: 40/50–70 n. Chr.), Flavia Solva (Grube G36: 150/160 n. Chr.), Katsch (Grab 18, mit Gürtelblech Garbsch B2c und Fibel A 238 n: 80/140 n. Chr.)²⁸³.

Topf mit ausgebogenem, deutlich verdicktem Rand 1.1

Abb. 101, 67/4/29; Taf. 21, 67/4/29.

Typ/Konkordanz: Pammer 2001, Typentaf. 1, VT 12.

Gesamtzahl/Siedlung: 1. Periode 4.

Nachweise in Südostnoricum: Kalsdorf (Grube 11: 170/200 n. Chr.), Flavia Solva (Grube G36: 150/160 n. Chr.), Colatio-Stari trg²⁸⁴.

Topf mit ausgebogenem, deutlich verdicktem Rand 1.2–1.3

Abb. 101, 127/1/20, 160/1/21; Taf. 1, 160/1/21; 5, 154/2/24; 24, 76/19/20, 76/24/22, 76/38/30; 27, 84/7/22, 127/1/20, 127/1/25.

Typ/Konkordanz: Pammer 2001, Typentaf. 1, VT 8; Artner 1988/89, 14 Abb. 5, VT9; Fuchs 1980, Topf 1307.

Gesamtzahl/Siedlung: 8, Oberfläche: 1. Ältestes: Periode 1. Hauptvorkommen: Periode 4 (SE 76).

In allen Teilen von Noricum verbreitet, Nachweise in Südostnoricum: St. Martin an der Raab, Saazkogel (Siedlung, FJ. 2000), Gleisdorf, Pichling bei Köflach, Kalsdorf (Grube 4: 120/150 n. Chr.), Flavia Solva (Grube G36: 150/160 n. Chr.; Grube G7: 280/350 n. Chr.), Frauenberg, Södingberg²⁸⁵.

²⁸¹ Sedlmayer 2006, 349 f. (Noricum); Lamm 2005, 111 ff. Taf. 15, 372; 19, 25; 23, 126; 27, 287; 28, 155 (St. Martin an der Raab); Jeschek 2000, Taf. 42, 297 (Gleisdorf); Pammer 2001, 48 Taf. 2, 2 (Kalsdorf); Bauer – Groh 1994, 607 Abb. 941, 18 (Flavia Solva); Bauer 1993, 158 Taf. 2, 7 (Oswaldgraben); Pahič 1980, 106 Beil. 1, 5a (Brinjeva gora); Pahič 1978, 255 Taf. 7, 4, 8 (Slovenska Bistrica).

²⁸² Des Weiteren kleinteiliges Fragment dieses Typs (?), Tiefengraber 2002, 135 f. Taf. 8, 70 (Saaz, SE 01, FJ. 2002).

²⁸³ Lamm 2005, 113 ff. Taf. 16, 463; 23, 123; 30, 346 (St. Martin an der Raab); Lamm 2001, 75 ff. Abb. 32 (Saazkogel); Jeschek – Lehner 1996, 526 Abb. 684; Jeschek 2000, Taf. 11, 73–74; 14, 91; 22, 149; 126, 113–115 (Gleisdorf); Chornitzer 1995b, 203 Abb. 12, 26; Taf. 7, 1; Fuchs 1994, 129 Taf. 7, 91 (Pichling bei Köflach); Bauer – Herbert – Schachinger 1995, 94 Abb. 169 (Stallhofen); Groh – Sedlmayer 2005, 233 Taf. 14, 110/28 (Frauenberg);

Pammer 2001, 46 Typentaf. 1, VT 11; Taf. 23, 3–4; 49 Typentaf. 2, T 1.6; Taf. 30, 14; 56 Typentaf. 4, T 6.2; Taf. 55, 41; Jeschek – Lehner 1994, 190 Abb. 37 (Kalsdorf); Groh 1996, 190 Taf. 17, K43 (Flavia Solva); S. Ehrenreich, Das Gräberfeld von Katsch in der Steiermark, FÖ 32, 1993 (1994) 22 ff. Taf. 9, 8 (Katsch).

²⁸⁴ Pammer 2001, 46 Typentaf. 1, VT 12; Taf. 47, 2–3; 51, 10 (Kalsdorf); Groh 1996, 190 Taf. 14, K56 (Flavia Solva); Strmčnik-Gulič 1984, 207 f. Taf. 11, 1 (Stari trg)

²⁸⁵ Lamm 2005, 100 Taf. 9, 65 (St. Martin an der Raab); Artner 1988/89, 14 Abb. 5, VT9; Taf. 32, Grab 79, 2; 42, XIV,1; Jeschek 2000, Taf. 24, 160 (vgl. Taf. 1, 160/1/21); Taf. 31, 227–228 (Gleisdorf); Chornitzer 1995b, 202 Taf. 4, 2; Fuchs 1994, 129 Taf. 6, 80; 7, 82, 85 (Pichling bei Köflach); Pammer 2001, 45 Typentaf. 1, VT 8; Taf. 12, 4–6 (Kalsdorf); Groh 1996, 190 Taf. 14, K58; 193 Taf. 45, K190; Fuchs 1980, 155; 230 Nr. 1307 Taf. A30, Grab 209, 1 (Flavia Solva); J. Fűrholzer – H. Heymans, Seggauberg,

Topf mit ausgebogenem, deutlich verdicktem Rand 2

Abb. 101, 78/17/49; Taf. 10, 78/17/49, 78/32/23; 13, 59/10/36; 14, 59/10/20; 24, 76/19/37; 27, 84/1/20.

Gesamtzahl/Siedlung: 8²⁸⁶. Älteste: Periode 3. Hauptvorkommen: Periode 4.

In der nordostnорischen Limesregion und in Südostnорicum verbreitet; Nachweise in Südostnорicum: St. Martin an der Raab, Saazkogel (Siedlung, FJ. 2000), Gleisdorf, Södingberg, Kalsdorf (Grube 6: 150/200 n. Chr.; Grube 11: 170/200 n. Chr.), Flavia Solva (Grube G36: 150/160 n. Chr.), Jagernigg, Frauental an der Laßnitz, Slovenska Bistrica²⁸⁷.

Topf mit ausgebogenem, kantigem Rand 1

Abb. 101, 82/3/21; Taf. 10, 78/23/29; 13, 59/10/31; 25, 82/3/21, 82/3/26; 26, 74/3/23.

Typ/Konkordanz: Chornitzer 1995b, Abb. 12, 28.

Gesamtzahl/Siedlung: 5, Oberfläche: 1. Ältestes: Periode 3. Hauptvorkommen: Periode 4 (SE 82).

Nachweise in Südostnорicum: St. Martin an der Raab, Gleisdorf, Pichling bei Köflach, Niederschöckl, Flavia Solva, Bohova, Colatio-Stari trg²⁸⁸.

Vergleichsfindung in Emona-Ljubljana (Gräber: um 150 n. Chr.)²⁸⁹.

Topf mit ausgebogenem, kantigem Rand 2.1

Abb. 101, 78/15/33; Taf. 4, 126/1/22; 10, 78/15/33, 78/17/48; 24, 76/19/21.

Typ/Konkordanz: Pammer 2001, Typentaf. 3, T 2.3.

Gesamtzahl/Siedlung: 4, Oberfläche: 1. Ältestes: Periode 2. Hauptvorkommen: Periode 3 (SE 78).

In allen Teilen von Noricum verbreitet, Nachweise in Südostnорicum: St. Martin an der Raab, Gleisdorf, Kalsdorf (Gruben 6 und 7: 150/200 n. Chr.)²⁹⁰.

Topf mit ausgebogenem, kantigem Rand 3.1.1

Abb. 101, 126/1/20, 129/5/31; Taf. 1, 146/1/26; 4, 62/1/20, 126/1/20; 24, 76/19/33; 28, 129/5/31; o. Abb. 59/1/31.

Typ/Konkordanz: Pammer 2001, Typentaf. 3, T 3.3.

Gesamtzahl/Siedlung: 7, Oberfläche: 1²⁹¹. Ältestes: Periode 1. Hauptvorkommen: Periode 4.

Nachweise in Südostnорicum: St. Martin an der Raab, Kapfenstein, Kalsdorf (Gruben 5 und 6: 150/200 n. Chr.; Grube 11: 170/200 n. Chr.), Pichling bei Köflach²⁹².

FÖ 39, 2000 (2001) 687 Abb. 917 (Frauenberg); Wagner 2000, 491 Taf. 19, 5 (Södingberg).

²⁸⁶ Mit: Tiefengraber 2002, 133 Taf. 2, 23; 137 Taf. 10, 94 (Saaz, SE 02, FJ. 2002).

²⁸⁷ Lamm 2005, 143 Taf. 32, 573 (St. Martin an der Raab); Lamm 2001, 82 Abb. 15; 84 Abb. 24 (Saazkogel); Artner 1988/89, 14 Taf. 31, Grab 73, 5 (Gleisdorf); Wagner 2000, 491 Taf. 18, 3 (Södingberg); Pammer 2001, 44 Taf. 29, 3; 46 Taf. 51, 9 (Kalsdorf); Groh 1996, 189 Taf. 15, K21 (Flavia Solva); Hebert 2004, 500 Taf. 1, 6 (Jagernigg); Fürnholzer 2004, 453 Taf. 1, 8 (Frauental an der Laßnitz); Pahič 1978, 255 Taf. 3, 14; 5, 9; 7, 15 (Slovenska Bistrica).

²⁸⁸ Lamm 2005, 147 Taf. 35, 451 (St. Martin an der Raab); Artner 1988/89, 70 Taf. 8, Grab 21, 1; Jeschek 2000, Taf. 21, 137 (Gleisdorf); Chornitzer 1995b, 205 Abb. 12, 28; Taf. 7, 8 (Pichling bei Köflach); Ch. Hinker, Ein nорisch-pannonisches Hügelgrab mit Dromos in Nieder-

schöckl bei Graz, FÖ 41, 2002 (2003) 214 Taf. 1, 1 (Niederschöckl); Fuchs 1980, 159 Taf. A32, 2 (Flavia Solva); Strmčnik-Gulič 1994, 278 f. Abb. 9, 8 (Bohova); Strmčnik-Gulič 1984, 207 f. Taf. 3, 27 (Stari trg).

²⁸⁹ Plesničar-Gec 1977, 108 Taf. 4, 11 (Ljubljana).

²⁹⁰ Lamm 2005, 140 Taf. 31, 391/569 (St. Martin an der Raab); Jeschek 2000, Taf. 23, 155, 157; 48, 335; 54, 369 (Gleisdorf); Pammer 2001, 52 Typentaf. 3, T 2.3; Taf. 32, 22; 48 Taf. 40, 5 (Kalsdorf).

²⁹¹ Mit: Tiefengraber 2002, 133 Taf. 2, 20 (Saaz, SE 02, FJ. 2002).

²⁹² Lamm 2005, 114 ff. Taf. 17, 474; 29, 158 (St. Martin an der Raab); Urban 1984, 100 Taf. 59, D, 7 (Kapfenstein); Pammer 2001, 53 Typentaf. 3, T 3.3; Taf. 24, 11–12; 51 Taf. 32, 21; 53, 32 (Kalsdorf); Fuchs 1994, 128 Taf. 4, 56 (Pichling bei Köflach).

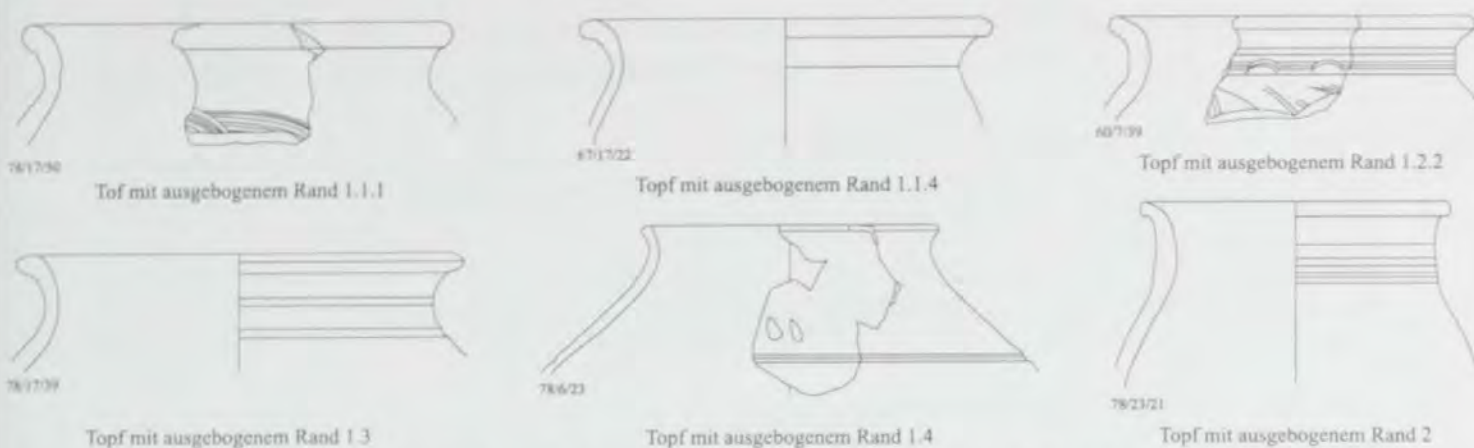


Abb. 102: Saaz, Topftypen der regionalen Gebrauchskeramik. M. 1:4.

Topf mit ausgebogenem, kantigem Rand 3.2.1

Taf. 24, 76/33/42.

Gesamtzahl/Siedlung: 1. Periode 4.

In allen Teilen von Noricum verbreitet, Nachweis in Südostnoricum: Vransko²⁹³.

Topf mit ausgebogenem, kantigem Rand 3.3.1

Abb. 101, 147/1/25; Taf. 3, 147/1/25; 5, 154/2/27; 21, 67/13/28.

Gesamtzahl/Siedlung: 3. Hauptvorkommen: Perioden 1, 3 und 4.

In der norischen Limesregion und in Südostnoricum verbreitet; Nachweise in Südostnoricum: St. Martin an der Raab, Riegersburg, Pichling bei Köflach, Kalsdorf (Grube 2: 100/150 n. Chr.; Grube 11: 170–200 n. Chr.), Colatio-Stari trg²⁹⁴.

Topf mit geteiltem Rand

Taf. 3, 147/8/22.

Typ/Konkordanz: Chornitzer 1995b, Abb. 12, 22.

Gesamtzahl/Siedlung: 1. Periode 1.

Nachweise in Noricum: Saazkogel (Hügelgräberfeld, FJ. 1999), Pichling bei Köflach, Gleisdorf²⁹⁵.

Topf mit ausgebogenem Rand 1.1.1

Abb. 102, 78/17/50; Taf. 1, 146/1/24; 10, 78/17/50; 14, 59/1/20; 16, 60/4/20. 60/32/22; 21, 67/4/39; 24, 76/24/20. 76/33/39; 31, 12/1.4b/3; o. Abb. 66/4/33.

Typ/Konkordanz: Pammer 2001, Typentaf. 1, VT 9.

Gesamtzahl/Siedlung: 11. Älteste: Periode I. Hauptvorkommen: Periode 4 (SE 60, SE 76).

Nachweise in Südostnoricum: St. Martin an der Raab, Gleisdorf, Kalsdorf (Grube 4: 120/150 n. Chr.; Grube 5: 150/200 n. Chr.), Flavia Solva²⁹⁶.

²⁹³ Vidrih Perko 1997, 165 Abb. 4, 7 (Vransko).

²⁹⁴ Lamm 2005, 145 Taf. 34, 435 (St. Martin an der Raab); Bauer 1997, 95 Taf. 6, R80 (Riegersburg); Fuchs 1994, 129 Taf. 7, 93 (Pichling bei Köflach); Pammer 2001, 52 Typentaf. 3, T 3.1; Taf. 54, 35; 63 Taf. 4, 12; 56, 60–62 (Kalsdorf); Strmènik-Gulič 1984, 207 f. Taf. 5, 14 (Stari trg).

²⁹⁵ Artner 2003, 154 Abb. 13, 3 (Saazkogel); Chornit-

zer 1995b, 205 f. Abb. 12, 22; Taf. 7, 7; 8, 4 (Pichling bei Köflach); Artner 1988/89, 88 Taf. 40, III, 5 (Gleisdorf).

²⁹⁶ Lamm 2005, 131 Taf. 27, 264 (St. Martin an der Raab); Jeschek 2000, Taf. 34, 250; Taf. 127, 121; Erath – Jeschek 1994, 596 Abb. 910 (Gleisdorf); Pammer 2001, 46 Typentaf. 1, VT 9; Taf. 12, 7; 13, 8; 23, 2 (Kalsdorf); Bauer – Groh 1994, 607 Abb. 940, 13 (Flavia Solva).

Topf mit ausgebogenem Rand 1.1.4

Abb. 102, 67/17/22; Taf. 3, 147/1/21; 14, 59/5/31; 17, 60/9/29; 21, 67/4/24. 67/4/31. 67/17/22; 24, 76/26/24; 27, 84/11/24; 30, 27c/6.

Typ/Konkordanz: Fuchs 1980, Topf 1102. 1105.

Gesamtzahl/Siedlung: 8, Oberfläche: 1. Ältestes: Periode 1. Hauptvorkommen: Periode 4 (SE 67).

Gesamtzahl/Gräberfeld: 1. Periode 5.

Nachweise in Südostnoricum: Gleisdorf, Flavia Solva, Slovenska Bistrica²⁹⁷.

Topf mit ausgebogenem Rand 1.2.2

Abb. 102, 60/7/39; 119, 60/7/39; 121, 131/1/24; Taf. 4, 161/6/20. 165/1/22; 6, 61b/3/20; 10, 78/3/27. 78/11/31. 78/15/20. 78/15/30; 10, 78/17/36. 78/26/20. 78/31/21. 78/32/21; 11, 78/1/20. 78/11/22. 78/15/22. 78/15/41. 78/17/30. 78/23/27; 14, 59/1/21–22. 59/5/30. 59/8/24. 59/10/29. 59/10/44. 59/10/51; 16, 60/16/21; 17, 60/7/39. 60/9/28. 60/13/21. 60/26/21–22. 60/29/20–22. 60/32/20. 60/32/24; 18, 61/1/20. 61/3/21–23. 61/3/34. 61/12/21. 61/12/28; 19, 66/4/21. 66/4/29. 66/4/31. 66/14/20. 66/11/25; 21, 67/4/27. 67/13/27; 24, 76/3/20–21. 76/7/20–21. 76/33/34. 76/33/40–41. 76/38/26. 76/38/29; 25, 82/3/25. 82/7/23. 82/7/33; 26, 74/5/20; 27, 84/7/23; 28, 128/3/20; 29, 131/1/24. 131/7/21. 131/7/26; 30, 27a/3; 31, 4b/1. 6b/1; o. Abb. 78/23/22.

Typ/Konkordanz: Artner 1988/89, Abb. 5, VT 8.

Gesamtzahl/Siedlung: 70, Oberfläche: 8. Älteste: Periode 2. Hauptvorkommen: Periode 4 (SE 60, SE 76).

Gesamtzahl/Gräberfeld: 1. Periode 5.

Geringe Nachweise in Nordnoricum, größte Dichte der Vorkommen in Südostnoricum: St. Martin an der Raab, Brunn bei Fehring, Saazkogel (Siedlung, FJ. 2000), Riegersburg, Gleisdorf, Kapfenstein, Pichling bei Köflach, Stallhofen, Kalsdorf, Muttendorf, Himmelreich/Werndorf, Flavia Solva (Grube G36: 150/160 n. Chr.), Frauental an der Laßnitz, Brinjeva gora, Bohova, Slovenska Bistrica, Spodnja Nova vas, Velenik (Grab: 100/120 n. Chr.), Colatio-Stari trg (Grab I/V, mit Consp. 34.1, L. GEL(lius) OCK 879: bis 50/60 n. Chr.)²⁹⁸.

Parallelen in Nordostitalien und Südwestpannonien: Emona-Ljubljana (Grab: *t.p.q.* 211/217 n. Chr.; Grab: *t.p.q.* 217 n. Chr.), Poetovio-Ptuj²⁹⁹.

Topf mit ausgebogenem Rand 1.3

Abb. 102, 78/17/39; Taf. 11, 78/17/39. 78/23/25. 78/31/24; 14, 59/10/45; 19, 66/4/22; 25, 82/7/32; 30, 27c/3.

Gesamtzahl/Siedlung: 6. Älteste: Periode 3. Hauptvorkommen: Periode 4.

Gesamtzahl/Gräberfeld: 1. Periode 5.

²⁹⁷ Jeschek 2000, Taf. 35, 257 (Gleisdorf); Fuchs 1980, 66; 226 Nr. 1102 Taf. A8, Grab 36, 4; 152; 226 Nr. 1105 Taf. A29, Grab 204, 5 (Flavia Solva); Pahič 1978, 255 Taf. 7, 12 (Slovenska Bistrica).

²⁹⁸ Sedlmayer 2006, 342 (Noricum); Lamm 2005, 94 ff. Taf. 3, 285; 7, 38; 9, 60–61; 11, 187–188; 13, 299. 312; 14, 322; 15, 374–375; 18, 5; 22, 90–91; 23, 124–125. 127; 26, 546; 27, 227; 28, 406; 29, 412; 31, 389–390; 32, 535. 539; 34, 434. 438. 439. 444; 35, 561. 563. 565; 37, 508; 38, 511. 513. 528. 542 (St. Martin an der Raab); W. Schmid, Der heilige Bezirk von Brunn bei Fehring in Steiermark, ÖJh 31, Beibl. 91 Abb. 26 (Brunn bei Fehring); Lamm 2001, 75 ff. Abb. 5 (Saazkogel); Bauer 1997, 96 Taf. 10, R 121 (Riegersburg); Artner 1988/89, 14 Abb. 5, VT 8; Taf. 40, III, 1; 43, XXVI, 2; 49, Große Pflasterung Abschnitt K, 1; 52, W8, 1; 52, WIV, 1; 92 Taf. 45, XXX, 2; Jeschek 2000, Taf. 30, 223; 33, 237–238; 35, 258; 53, 362–364 (Gleisdorf); Urban 1984, 108 Taf. 62, B, 9 (Kapfenstein); Fuchs 1994, 129 Taf. 7, 84 (Pichling bei Köflach); Bauer – Herbert – Schachinger 1995, 95 Abb. 197 (Stallhofen); Jeschek –

Lehner 1994, 196 Abb. 76 (Kalsdorf); W. Artner, Ein Grab mit norisch-pannonischer Trachtausstattung in Muttendorf, Gem. Dobl, Weststeiermark, NachBLAGStmk 1 (1994) 5 Taf. 1, 2. 5. 7 (Muttendorf); Gutjahr – Tiefengraber 1997, 309 Abb. 6, 1 (Himmelreich/Werndorf); Groh 1996, 190 Taf. 14, K55 = Groh 1997, 184 Abb. 5 (Flavia Solva), ebenda Vergleichsfund Abb. 6 (Ptuj); Fürnholzer 2004, 453 Taf. 2, 1 (Frauental an der Laßnitz); Pahič 1980, 106 Beil. 1, 2a. 3a (Brinjeva gora); Strmčnik-Gulič 1994, 278 f. Abb. 10, 4–7. 9 (Bohova); Pahič 1978, 254 f. Taf. 1, 4–7; 5, 10 (Slovenska Bistrica); 9, 1. 6. 15; 10, 12. 14. 17. 19; 12, 8 (Spodnja Nova vas); 18, 4 (Velenik); Egger 1914, 80 Taf. 55, 2 = Djura Jelenko 2004, 104 Taf. 21, 156; Strmčnik-Gulič 1984, 207 f. Taf. 2, 14; 5, 15 (Stari trg).

²⁹⁹ Plesničar-Gec 1972, 185 Taf. 58, Grab 208, 4; 190 Taf. 69, Grab 250, 9 (Ljubljana); Kujundžić 1982, 67 Taf. 7, Grab 65, 17; Taf. 8, Grab 68, 3; M. V. Gojkovič, The pottery-tile workshop in the roman craft quarter in Ptuj, Ptujski arheološki zbornik (1993) 463 f. Taf. 5, 1 (Ptuj).

In Nordnoricum und in Südostnoricum verbreitet; Nachweise in Südostnoricum: Gleisdorf, Giging, Kalsdorf (Grube 6: 150/200 n. Chr.)³⁰⁰.

Topf mit ausgebogenem Rand 1.4

Abb. 102, 78/6/23; 110, 147/1/22; 113, 78/6/23; 119, 67/19/20; 121, 129/5/20; Taf. 1, 146/1/28, 160/3/20; 2, 174/1/26–27; 3, 147/1/22, 147/1/30–31, 147/5/22, 147/5/24; 4, 62/1/21; 6, 61b/5/21; 9, 78/3/25, 78/5/22, 78/6/23, 78/6/25; 9, 78/11/21, 78/11/24, 78/11/30, 78/15/34, 78/15/39, 78/31/22; 14, 59/10/37, 54; 16, 60/4/27, 60/7/28, 60/7/30, 60/16/23, 60/29/24, 60/35/22; 19, 66/4/32; 21, 67/3/21, 67/3/23, 67/6/24, 67/17/24, 67/19/20; 24, 76/3/22, 76/3/24, 76/15/22, 76/15/27, 76/26/20; 26, 74/2/21; 27, 84/5/22, 84/11/29, 84/11/32, 84/11/35, 84/11/40; 28, 129/5/20; 29, 131/7/25, 27; o. Abb. 60/7/20, 67/4/34.

Typ/Konkordanz: Chornitzer 1995b, Abb. 12, 27; Fuchs 1980, Topf 1501–1502.

Gesamtzahl/Siedlung: 51, Oberfläche: 1. Älteste: Periode 1. Hauptvorkommen: Periode 4 (SE 60, SE 67).

Nachweise in Südostnoricum: St. Martin an der Raab, Gleisdorf, Kapfenstein (Grab 53: *t.p.q.* 134/138 n. Chr.), Pichling bei Köflach, Frauenberg (Heiligtum: 40/50–70 n. Chr.), Flavia Solva (Grube G36: 150/160 n. Chr.; Grab 154, mit Fibel A 238 h: 50/120 n. Chr.), Teipl (Grab 2/91: um 50 n. Chr. [?]), Ratschendorf (Hügel 15/III, mit Imitation Consp. 34 und Kniefibel: 130/160 n. Chr.), Eichfeld, Colatio-Stari trg³⁰¹.

Absolut datierte Parallele in Emona-Ljubljana (Grab: *t.p.q.* Münze Vespasianus)³⁰².

Topf mit ausgebogenem Rand 2

Abb. 102, 78/23/21; Taf. 11, 78/17/38, 78/23/21; 17, 60/21/20; 18, 61/3/24; 24, 76/33/33, 76/33/38; 30, 27a/4.

Typ/Konkordanz: Pammer 2001, Typentaf. 2, T 1.5, T 1.9; Fuchs 1980, Topf 1101, 1104.

Gesamtzahl/Siedlung: 6, Oberfläche: 1. Älteste: Periode 3. Hauptvorkommen: Periode 4 (SE 76).

Gesamtzahl/Gräberfeld: 1, Periode 5.

In Nordnoricum und in Südostnoricum verbreitet; Nachweise in Südostnoricum: St. Martin an der Raab, Saazkogel (Siedlung, FJ. 2000), Gleisdorf, Kalsdorf (Grube 12: 180/200 n. Chr.), Flavia Solva, Frauental an der Laßnitz, Brinjeva gora, Vransko³⁰³.

Vergleichsfund im benachbarten Westpannonien: Savaria³⁰⁴.

³⁰⁰ Sedlmayer 2006, 342 f. (Noricum); Artner 1988/89, 14 Taf. 27, Grab 58, 1; Jeschek 2000, Taf. 12, 80; 50, 346–347 (Gleisdorf); Amtmann 1994, 15 Taf. 6, 45 (Giging); Pammer 2001, 48 Taf. 30, 12 (Kalsdorf).

³⁰¹ Lamm 2005, 125 Taf. 24, 139 (St. Martin an der Raab); Artner 1988/89, 75 Taf. 17, Grab 31b–c, 2; 76 Taf. 19, Grab 32, 4; Jeschek 2000, Taf. 28, 201; 155, 121 (Gleisdorf); Urban 1984, 108 Taf. 62, B, 26; 123 Taf. 66, A, 3 (Kapfenstein); Chornitzer 1995b, 202 Abb. 12, 27; Taf. 5, 3; Fuchs 1994, 128 Taf. 5, 66 (Pichling bei Köflach); Groh – Sedlmayer 2005, 234 Taf. 15, 87/41 (Frauenberg); Groh 1996, 189 Taf. 15, K13, K15; Fuchs 1980, 66; 233 Nr. 1502 Taf. A8, Grab 36, 5; 139; 232 Nr. 1501 Taf. A23, Grab 180, 7; 145; 233 Nr. 1502 Taf. A26, Grab 189, 5; 160; 233 Nr. 1502 Taf. A32, 1, 4, 5; 127; 232 Nr. 1501 Taf. A21, Grab 154, 5 = Garbsch 1965, 191, Nr. 298, I (Flavia Solva); W. Artner, Einige Bemerkungen zur Keramik vom Übergang der Spätlatènezeit – in der (sic) provinzialrömischen Zeit aus der Steiermark, *Alba Regia* 27, 1998, 59 Taf. 1, 2, (Teipl), mit Krug mit geteiltem Rand (vgl. E. Schindler-Kaudelka, Die gewöhnliche Gebrauchskeramik vom

Magdalensberg, *AForschMB* 10 (1989) Taf. 11, 102); Bauer 1994, 36 Taf. 1, 2; Artner 1994, 42 f. Taf. 6, Hügel 15/II, 2; Taf. 9, Hügel 15/III, 1 (Ratschendorf); Artner – Franek – Hampel 1995, 60 Taf. 3, 6 (Eichfeld); Egger 1914, 78 Abb. 48, 2 = Djura Jelenko 2004, 103 Taf. 15, 123 (Stari trg).

³⁰² Plesničar-Gec 1972, 242 Taf. 151, Grab 656, 14 (Ljubljana).

³⁰³ Sedlmayer 2006, 344 (Noricum); Lamm 2005, 108 ff. Taf. 14, 319; 19, 146A (St. Martin an der Raab); Lamm 2001, 81 Abb. 11 (Saazkogel); Jeschek 2000, Taf. 48, 334 = 125, 110; Taf. 53, 366 (vgl. Taf. 18, 61/3/24) (Gleisdorf); Pammer 2001, 49 Typentaf. 2, T 1.5; Taf. 66, 12; 51 Typentaf. 2, T 1.9; Taf. 66, 15 (Kalsdorf); Fuchs 1980, 73; 225 Nr. 1101 Taf. A14, Grab 45, 1; 77 Taf. A15, Grab 56, 2; 140 Taf. A24, Grab 181, 1; 159; 226 Nr. 1104 Taf. A31, 2 (Flavia Solva); Fürnholzer 2004, 453 Taf. 2, 2 (Frauental an der Laßnitz); Pahič 1980, 106 Beil. 1, 4d (Brinjeva gora); Vidrih Perko 1997, 165 Abb. 4, 5 (Vransko).

³⁰⁴ Buocz 1963, 142; 145 Abb. Grab 1, 1 (Savaria).

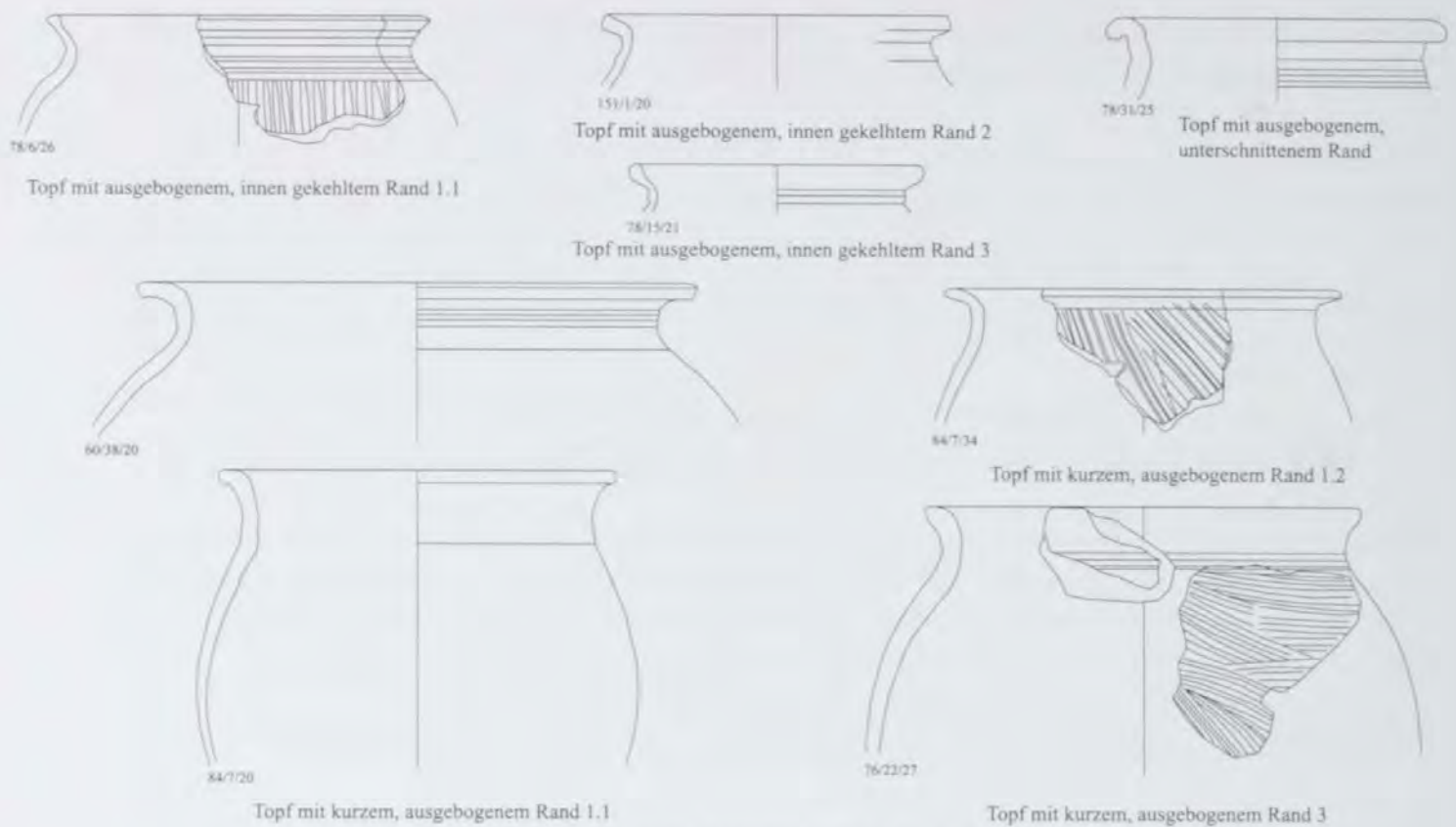


Abb. 103: Saaz, Topftypen der regionalen Gebrauchskeramik. M. 1-4.

Topf mit ausgebogenem, unterschnittenem Rand

Abb. 103, 78/31/25; Taf. 1, 146/1/29; 7, 77/5/20; 12, 78/17/37. 78/23/24. 78/31/25; 21, 67/13/26; 25, 76/33/37; 29, 131/1/27.

Typ/Konkordanz: Artner 1988/89, Abb. 5, VT 7/93.

Gesamtzahl/Siedlung: 8, Oberfläche: 1. Ältestes: Periode 1. Hauptvorkommen: Perioden 3 (SE 78) und 4.

Nachweise in Südostnoricum: St. Martin an der Raab, Gleisdorf, Kapfenstein (Grab 29: *t.p.q.* 125/128 n. Chr.), Pichling bei Köflach, Kalsdorf (Grube 6: 150/200 n. Chr.), Flavia Solva (Grab 99A: *t.p.q.* 81/89 n. Chr.; Grube G7: 280/350 n. Chr.), Frauenberg (Gruben O4 und O5: 70/100 n. Chr.)³⁰⁵.

Topf mit ausgebogenem, innen gekehltem Rand 1.1

Abb. 103, 78/6/26; Taf. 10, 78/3/26. 78/6/26. 78/15/24. 78/23/36. 78/23/39. 78/35/20; 14, 59/10/50; 25, 76/19/25; 27, 84/1/23. 84/7/27; 28, 129/5/27; 31, 4b/6; o. Abb. 84/1/31.

Typ/Konkordanz: Fuchs 1980, Topf 1208. 1306.

Gesamtzahl/Siedlung: 13, Oberfläche: 2. Hauptvorkommen: Perioden 3 (SE 78) und 4 (SE 84).

In allen Teilen von Noricum verbreitet, Nachweise in Südostnoricum: St. Martin an der Raab, Riegersburg, Gleisdorf (Grube: 80/120 n. Chr.), Kalsdorf (Grube 6: 150/200 n. Chr.), Flavia Solva (Grube G36: 150/160 n. Chr.), Vransko³⁰⁶.

³⁰⁵ Urban 1984, 97 Taf. 58, B, 5 (Kapfenstein); Lamm 2005, 123 Taf. 23, 120 (St. Martin an der Raab); Artner 1988/89, 75 Taf. 17, Grab 31c, 1; 14 Abb. 5, VT 7/93; 85 Taf. 35, Grab 93, 4, 9; 95 Taf. 48, Große Pflasterung Abschnitt F und G, 4; Jeschek 2000, Taf. 47, 325 = 125, 111; Erath – Jeschek 1994, 596 Abb. 911 (Gleisdorf); Fuchs 1994, 129 Taf. 7, 92 (Pichling bei Köflach); Pammer 2001, 49 Taf. 31, 16; Jeschek – Lehner 1994, 196 Abb. 72 (Kalsdorf); Y. Pammer-Hudeczek – E. Hudeczek, Neue Befunde aus der Gräberstraße von Flavia Solva, FÖ 41, 2002 (2003) 464 Abb. 16, Grab 99A, 1; Groh 1996, 194 Taf. 52,

K255 (Flavia Solva); Groh – Sedlmayer 2004, 461 ff. Abb. 8; 470 Taf. 1, 9/2; 1, 10/1–3 (Frauenberg).

³⁰⁶ Lamm 2005, 107 ff. Taf. 13, 313; 19, 24 (St. Martin an der Raab); Bauer 1997, 95 Taf. 6, R77 (Riegersburg); Jeschek – Lehner 1996, 526 Abb. 687; Artner 1988/89, 92 Taf. 45, XXX, 1; Jeschek 2000, Taf. 34, 251–252 (Gleisdorf); Pammer 2001, 52 Typentaf. 3, T 3.1; Taf. 32, 23; Groh 1996, 190 Taf. 14, K54; Fuchs 1980, 39; 228 Nr. 1208 Taf. A2, Grab 9, 6; 152; 230 Nr. 1306 Taf. A29, Grab 204, 6 (Flavia Solva); Vidrih Perko 1997, 165 Abb. 5, 3 (Vransko).

Vergleichsfind in Südwestpannonien: Poetovio-Ptuj (Grab 760/West; *t.p.q.* 138/161 n. Chr.)³⁰⁷.

Topf mit ausgebogenem, innen gekehltm Rand 2

Abb. 103, 151/1/20; Taf. 2, 174/1/21; 5, 151/1/20; 17, 60/26/25; 25, 76/24/28. 82/3/31; 28, 129/5/22; 31, 4b/4. 12/2.

Gesamtzahl/Siedlung: 8, Oberfläche: 1. Ältestes: Periode 1, Hauptvorkommen: Periode 4.

In allen Teilen von Noricum verbreitet, Nachweise in Südostnoricum: St. Martin an der Raab, Riegersburg, Gleisdorf, Kapfenstein³⁰⁸.

Topf mit ausgebogenem, innen gekehltm Rand 3

Abb. 103, 78/15/21; Taf. 10, 78/15/21. 78/31/23.

Typ/Konkordanz: Pammer 2001, Typentaf. 1, VT 10.

Gesamtzahl/Siedlung: 2, Periode 3 (SE 78).

In allen Teilen von Noricum verbreitet, Nachweise in Südostnoricum: St. Martin an der Raab, Kalsdorf (Grube 4: 120/150 n. Chr.), Colatio-Stari trg (Grab: *t.p.q.* 117/138 n. Chr.)³⁰⁹.

Topf mit kurzem, ausgebogenem Rand 1.1

Abb. 103, 60/38/20, 84/7/20; 113, 78/23/37; 119, 60/38/20; 121, 84/7/20; Taf. 5, 123/1/20; 6, 61b/20/1; 11, 78/3/28. 78/23/37; 17, 60/13/25. 60/21/31–32. 60/38/20; 18, 61/3/20; 21, 67/17/20; 22, 67/17/33; 24, 76/15/29. 76/33/35. 76/38/24; 27, 84/7/20. 24; 29, 131/7/20. 23; 31, 4b/5; 31, 7/1.

Typ/Konkordanz: Pammer 2001, Typentaf. 1, VT 3; 2, T 1.2. T 1.5; Fuchs 1980, Topf 1103, 1401.

Gesamtzahl/Siedlung: 21, Oberfläche: 1³¹⁰. Älteste: Periode 3. Hauptvorkommen: Periode 4 (SE 60).

Nachweise in Südostnoricum: St. Martin an der Raab, Saazkogel (Siedlung, FJ. 2000), Riegersburg, Gleisdorf, Kalsdorf (Grube 2: 100/150 n. Chr.; Grube 4: 120/150 n. Chr.; Gruben 6, 11 und 12: 150/180–200 n. Chr.; Grube 13: 280/400 n. Chr.), Flavia Solva (Grube G36: 150/160 n. Chr.; Grube G7: 280/350 n. Chr.; Grab 16: *t.p.q.* 147/150 n. Chr.), Jagernigg, Bohova, Slovenska Bistrica, Velenik, Šempeter³¹¹.

Vergleichsfind in Südwestpannonien: Poetovio-Ptuj³¹².

Spätantike Töpfe mit kurzem, ausgebogenem Rand 1 (Taf. 18, 61/14/20; 30, 27c/7) sind vergleichbar mit: Frauenberg (Grab: 4. Jahrhundert n. Chr.)³¹³.

³⁰⁷ Istenič 1999/2000, Katalog 245 Taf. 169, Grab 760, 7 (Ptuj).

³⁰⁸ Urban 1984, 119 Taf. 64, D, 6 (Kapfenstein); Lamm 2005, 107 Taf. 14, 316 (St. Martin an der Raab); Bauer 1997, 95 Taf. 6, R78 (Riegersburg); Artner 1988/89, 76 Taf. 20, Grab 36, 3 (Gleisdorf).

³⁰⁹ Lamm 2005, 109 ff. Taf. 14, 335; 27, 405 (St. Martin an der Raab); Pammer 2001, 46 Typentaf. 1, VT 10; Taf. 13, 9 (Kalsdorf); Strmčnik-Gulič 1981, 360f. Taf. 17, 1 (*t.p.q.* 117/138); Djura Jelenko 2004, 102 Taf. 8, 64 (Stari trg).

³¹⁰ Mit: Tiefengraber 2002, 134 Taf. 5, 45 (Saaz, SE 14 [Periode 3], FJ. 2002).

³¹¹ Lamm 2005, 93 ff. Taf. 2, 239–240; 17, 1; 23, 121–122; 30, 348. 350; 31, 388; 32, 571 (St. Martin an der Raab); Lamm 2001, 75 ff. Abb. 44 (Saazkogel); Artner 1988/89, 93 Taf. 46, XXXIII, 1; 95 Taf. 48, Große Pflasterung Abschnitt F und G, 3; Jeschek 2000, Taf. 22, 145; 35, 259; 44, 307 (Gleisdorf); Bauer 1997, 96 Taf. 8, R101 (Riegers-

burg); Pammer 2001, 44 Typentaf. 1, VT 3; Taf. 29, 2; 50, 2; 65, 1; 48 Typentaf. 2, T 1.2; Taf. 3, 5; 30, 13; 49 Typentaf. 2, T 1.5; Taf. 14, 20; 53 Taf. 77, 8; 46 Taf. 47, 1; 45 Taf. 50, 5; Jeschek – Lehner 1994, 190 Abb. 12, 3. 5 (Kalsdorf); Groh 1996, 190 Taf. 16, K48; 193 Taf. 43, K169; 45, K192; Bauer – Groh 1994, 607 Abb. 941, 17; Fuchs 1980, 232 Nr. 1401 Taf. A2, Grab 9, 3; 45; 226 Nr. 1103 Taf. A3, Grab 16, 4; 232 Nr. 1401 Taf. A4, Grab 22D, 10; 126; 232 Nr. 1401 Taf. A21, Grab 152, 1; 140 Taf. A24, Grab 182, 8; 152 Taf. A29, Grab 203, 4 (Flavia Solva); Hebert 2004, 500 Taf. 2, 10 (Jagernigg); Strmčnik-Gulič 1994, 278f. Abb. 10, 10–11 (Bohova); Pahič 1978, 255 Taf. 5, 20 (Slovenska Bistrica); 21, 11 (Velenik); Kolšek 1976, 46 Taf. 32, KV.IV, 22 (Šempeter).

³¹² Istenič 1999/2000, Katalog 89 Taf. 50, Grab 249, 9 (Ptuj).

³¹³ Steinklauber 2002, 235 Taf. 52, 1, mit Tierkopfarmreif (Frauenberg).

Topf mit kurzem, ausgebogenem Rand 3

Abb. 103, 76/22/27; 113, 154/1/20; 121, 131/1/30; Taf. 4, 126/2/20; 5, 154/1/20; 7, 176/1/20; 11, 78/15/36. 78/17/32. 78/17/80–81. 78/23/35. 78/23/41; 12, 78/23/32; 14, 59/5/24. 59/5/37. 59/10/21. 59/10/25. 59/16/20; 21, 67/4/22. 67/28/20; 24, 76/19/43. 76/22/21. 76/22/27; 25, 76/15/23. 76/19/42. 76/24/21. 76/38/35. 82/1/23; 26, 74/3/20; 29, 131/1/20. 131/1/30. 131/9/27; 30, 27c/5; 31, 4b/7.

Typ/Konkordanz: Pammer 2001, Typentaf. 2, T 1.1. T 1.3. T 1.7; Artner 1988/89, Abb. 6, -/7b.

Gesamtzahl/Siedlung: 30, Oberfläche: 6. Älteste: Periode 3. Hauptvorkommen: Periode 4 (SE 76).

Gesamtzahl/Gräberfeld: 1. Periode 5.

Nachweise in Südostnoricum: St. Martin an der Raab, Leitersdorf im Raabtal, Riegersburg, Gleisdorf (Grab 7b: 100/150 n. Chr.), Pichling bei Köflach, Kalsdorf (Grube 2: 100/150 n. Chr.; Grube 4: 120/150 n. Chr.; Gruben 5–7: 150/200 n. Chr.; Gruben 11–12: 170/180–200 n. Chr.), Himmelreich/Werndorf, Slovenska Bistrica, Spodnja Nova vas, Šempeter³¹⁴.

Absolut datierte Parallele in Emona-Ljubljana (Grab: *t.p.q.* Münze Vespasianus)³¹⁵.

Vergleichsfindung in Südwestpannonien: Poetovio-Ptuj (Grab 197/West, mit A 70: 100/170 n. Chr.)³¹⁶.

Topf mit eingezogenem Rand 1.1

Abb. 104, 129/9/20; Taf. 25, 82/3/20; 28, 129/6/20. 129/7/20. 129/9/20.

Typ/Konkordanz: Pammer 2001, Typentaf. 6, B 5.1.

Gesamtzahl/Siedlung: 4. Hauptvorkommen: Periode 4 (SE 129).

Nachweise in Südostnoricum (mit Rädchen- bzw. Kammstrichdekor): Kapfenstein (Grab 54: *t.p.q.* 117/138 n. Chr.), Kalsdorf (Grube 6: 150/200 n. Chr.). Vorläuferform am Magdalensberg (als „Kochtöpfe“ angesprochen), mit horizontalem bzw. geschachteltem Kammstrich³¹⁷.

Topf mit eingezogenem Rand 2

Abb. 104, 151/2/20; Taf. 1, 160/4/20; 2, 158/1/21; 3, 147/9/20; 5, 151/2/20.

Typ/Konkordanz: Fuchs 1980, Topf 1601.

Gesamtzahl/Siedlung: 4. Hauptvorkommen: Periode 1.

Nachweise in Südostnoricum (mit Rädchendekor): St. Martin an der Raab, Saazkogel (Hügelgräberfeld, FJ. 1999), Giging, Kapfenstein, Kalsdorf, Pichling bei Köflach, Flavia Solva (Grube G36: 150/160 n. Chr.; Grube G7: 280/350 n. Chr.; Grab 33B: *t.p.q.* Münze Antoninus Pius), Rassach, Ratschendorf (Hügel 15/III, mit Imitation Consp. 34 und Kniefibel: 130/160 n. Chr.; Grab 2/90, mit Glasbecher AR 51 und AR 54: 80/150 n. Chr.), Velenik (Grab: 80/100 n. Chr.), Colatio-Stari trg, Rattenberg³¹⁸.

³¹⁴ Lamm 2005, 95 ff. Taf. 4, X5; 25, 217; 33, 574 (St. Martin an der Raab); Fürnholzer 1998, 177 Taf. 1, 10 (Leitersdorf im Raabtal); Bauer 1997, 96 Taf. 9, R103 (Riegersburg); Jeschek 2000, Taf. 35, 253; 36, 263; Artner 1988/89, 17 Abb. 6, -/7b; 67 Taf. 4, Grab 7b, 1; Jeschek 2000, Taf. 5, 34; 18, 118–119. 122; 53, 361 (Gleisdorf); Chornitzer 1995b, 203 Taf. 4, 5 (Pichling bei Köflach); Pammer 2001, 48 Typentaf. 2, T 1.1; Taf. 2, 3; 3, 4; 24, 7–8; 30, 11; 40, 2; 52, 17–19. 21; 66, 9; 48 Typentaf. 2, T 1.3; Taf. 53, 28; 49 Typentaf. 2, T 1.7; Taf. 14, 21; 30, 15; Jeschek – Lehner 1994, 195 Abb. 62, 1 (Kalsdorf); Gutjahr – Tiefengraber 1997, 309 Abb. 6, 2 (Himmelreich/Werndorf); Pahič 1978, 254 f. Taf. 1, 9; 2, 9; 5, 2 (Slovenska Bistrica); 9, 2; 12, 1 (Spodnja Nova vas); Kolšek 1976, 41 Taf. 3, Grab 3, 42; 46 Taf. 32, 9. 17 (Šempeter).

³¹⁵ Plesničar-Gec 1972, 242 Taf. 151, Grab 656, 3 (Ljubljana).

³¹⁶ Istenič 1999/2000, Katalog 75 Taf. 41, Grab 197, 7 (Ptuj).

³¹⁷ Urban 1984, 124 Taf. 66, B, 4 (Kapfenstein); Pammer 2001, 64 Typentaf. 6, B 5.1; Taf. 35, 46 (Kalsdorf); Schindler Kaudelka 1997, 118 Abb. 4, 34. 36 (Magdalensberg).

³¹⁸ Artner 2003, 152 ff. Abb. 6, 1; 13, 2. 4 (Saazkogel); Lamm 2005, 148 Taf. 35, 524 (St. Martin an der Raab); Amtmann 1994, 16 Taf. 7, 56 (Giging); Urban 1984, 76 Taf. 53, B, 4 (Kapfenstein); Fuchs 1994, 128 Taf. 5, 70. 72 (Pichling bei Köflach); Jeschek – Lehner 1994, 193 Abb. 54, 1 (Kalsdorf); Groh 1996, 190 Taf. 14, K61; 190 Taf. 34, K67; Fuchs 1980, 63; 233 Nr. 1601 Taf. A7, Grab 33B, 2 (Flavia Solva); Hinker 2002, 181 Taf. 4, 27 (Rassach); Artner 1994, 43 Taf. 9, Hügel 15/III, 2; 46 Taf. 15, Grab 2/90, 3 (Ratschendorf); Pahič 1978, 255 Taf. 17, 4 (Velenik); Djura Jelenko 2004, 109 Taf. 56, 424 (Stari trg); S. Ehren-

Vergleichsfund (mit Rädchendekor) in Südwestpannonien: Poetovio-Ptuj³¹⁹.

Topf mit eingezogenem Rand 3

Abb. 104, 76a/3/21; Taf. 1, 146/1/20; 7, 76a/3/21; 18, 61/3/32.

Gesamtzahl/Siedlung: 3. Hauptvorkommen: Perioden 1, 3 und 4.

Vornehmlich in Nordnoricum verbreitet, Nachweis in Südostnoricum: St. Martin an der Raab, Saazkogel (Siedlung, FJ. 2000)³²⁰.

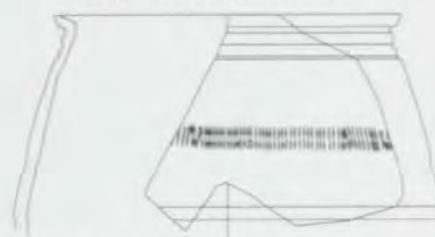
H. SEDLMAYER



Topf mit eingezogenem Rand 1.1



Topf mit eingezogenem Rand 2



Topf mit eingezogenem Rand 3

Abb. 104: Saaz, Topftypen der regionalen Gebrauchskeramik. M. 1:4.

6. LAMPEN UND TERRAKOTTA

Lampe Loeschke X

Taf. 7, 77/4/21; 19, 67/6/22, 67/32/20; 22, 76/15/42, 76/19/41, 76/38/34; 28, 129/19/20; o. Abb. 76/19/41.

Gesamtzahl/Siedlung: 7. Hauptvorkommen: Periode 4 (SE 76).

Die Herstellung der Lampen dürfte entsprechend den Referenzgruppen regional erfolgt sein. Nächste Nachweise einer Lampenproduktion sind anhand von zwei Lampenmodellen in Gleisdorf erbracht³²¹.

Gallische Mater-Terrakotta

Abb. 105, 01/19.

Das kleinteilige Fragment (H 1,4 cm; Wst 0,4 cm) aus dem Siedlungsareal ist in weißem Pfeifenton gefertigt und entspricht aufgrund der Oberflächengestaltung jenen mittelgallischen Terrakotten, welche eine Mater (Dea nutrix) in einem Korbsessel darstellen. Im vorliegenden Fall ist ein Teil der Rückwand des Sessels mit vertikalem Flechtwerk und horizontaler Leiste dargestellt. Die Art der Wiedergabe ist mit der Werkstätte des Pistillus bzw. deren Umfeld (Pullus) in Verbindung zu bringen. Die Herstellungszeit wird in trajanisch-frühantoninische Zeit gesetzt³²².



Abb. 105: Fragment von gallischer Mater-Terrakotta Inv. 01/19. M. 1:2.

H. SEDLMAYER

reich, Die Keramik-, Glas- und Steinfunde vom Kirchbichl bei Rattenberg, in: S. Ehrenreich u. a., Funde vom Kirchbichl bei Rattenberg in der Steiermark aus der Sammlung Mayer und Stadlober in Fohnsdorf, FÖ 36, 1997 (1998) 199 Taf. 9, 2 (Rattenberg).

³¹⁹ Istenič 1999/2000, Katalog 110 Taf. 67, Grab 329, 5; Katalog 214 Taf. 142, Grab 641, 7 (Ptuj).

³²⁰ Sedlmayer 2006, 259 ff. (Noricum); Lamm 2005, 100 Taf. 9, 64 (St. Martin an der Raab); Lamm 2001, 79 Abb. 2 (Saazkogel).

³²¹ Maier 1995, 28 (Gleisdorf).

³²² M. Rouvier-Jeanlin, Les figurines gallo-romaines en terre cuite au Musée des Antiquités Nationales, Gallia suppl. 14 (1972) 169 ff. Nr. 361 (Saône-Tal); Nr. 382 (Mâcon); Nr. 385 (Roanne); Nr. 417 (Bordeaux); G. Schauerte, Terrakotten mütterlicher Gottheiten, BJB Beih. 45 (1985) 327 Nr. 908 Taf. 109, 2 (Trier); 325 Nr. 903–904 Taf. 108, 1–3 = V. von Gonzenbach, Die römischen Terracotten in der Schweiz (1986) 72 Taf. 50, 1; 82, 2, 4 (Regensburg und Augst).

C. Gläser und Glasverarbeitung

Die Anfänge der römischen Siedlung am Südhang des Saazkogels liegen in der zweiten Hälfte des 1. Jahrhunderts n. Chr. In diese Zeit lassen sich die durch einige Exemplare vertretenen Fragmente von Rippenschalen (AR 2.2, IS 3b) einordnen³²³. Diese zählen zu den im ganzen 1. Jahrhundert n. Chr. am häufigsten belegten Glasformen; im frühen 2. Jahrhundert n. Chr. verschwindet dieser Typus aber innerhalb weniger Jahre³²⁴. Die meisten der hier gefundenen Rippenschalen wurden auf einer Drehscheibe geformt, die namengebenden Rippen durch Pressen zwischen zwei Holzbrettchen erzeugt (Taf. 2, 147/12/1. 2; 25, 76/42; 25, 76/19 [?]; 28, 129/20).

Weiters sind einige im Siedlungskontext häufig anzutreffende Fragmente von vierkantigen, bzw. zylindrischen Krügen (Taf. 14, 59/26/1; 17, 60/13. 29; 22, 67/38; 28, 129/21/2; o. Abb. 01/3. 10. 30; 61/22; 66/16 [?]; 67/37/10; 67/40; 129/10/1) anzuführen, die hauptsächlich als Vorrats- oder Transportgefäße Verwendung fanden (AR 156, IS 50)³²⁵. Diese Gefäße wurden meist in eine Halbform geblasen und wiesen am Boden geometrische Verzierungen auf³²⁶. Die Mehrzahl der Funde dieses Typs aus Saaz sind mit plastischen Kreisen versehen, einzelne davon durch plastische Kreuze bzw. Standnuppen gegliedert. Als Handhabe dienten meist relativ breite Bandhenkel, die ebenfalls durch mehrere Fundstücke vertreten sind (Taf. 12, 78/46/1; 14, 59/25/2; o. Abb. 1A/10).

Zu den im 2. und 3. Jahrhundert n. Chr. am weitesten verbreiteten und charakteristischen Formen zählt der steilwandige Becher (AR 98, IS 85), eine Gefäßform, die in dieser Zeit obligatorisch im Zusammenhang mit dem römischen Speiseservice anzutreffen ist³²⁷. Meist aus sehr dünnwandigem Glas geformt, wurden die Ränder überwiegend rund geschmolzen, leicht verdickt und können entweder nach außen oder nach innen gebogen bzw. relativ steil gestellt sein. Der Boden dieses Gefäßtyps kann entweder durch einen aufgelegten Fadenstandring oder durch einen gefalteten Röhrchenstandring gebildet sein, manche weisen jedoch einen glatten, in der Mitte leicht nach innen gewölbten Boden auf³²⁸. Aus Saaz sind alle drei der oben angeführten Varianten belegt (Taf. 1, 146/6 [?]; 14, 59/25; 17, 60/42/1; 22, 67/41/1; 22, 67/37/2. 4; 28, 129/21/1; 31, 15a/2; 36, SF130. SF149; o. Abb. 01/16; 82/8; 67/37/8).

Im Rahmen der Ausgrabung kam eine zylindrische blaugrüne Glasperle (Taf. 22, 67/39) zu Tage, als Streufunde eine weitere zylindrische grüne Perle (Taf. 36, SF129) und eine blau-grün-türkise Frittenmelonenperle (Taf. 31, 15b/1).

Einige Fragmente von teilweise zylindrisch geblasenen Fenstergläsern belegen den relativ hohen Ausstattungsstandard der Siedlung (o. Abb. 59/26/3; 61/23; 67/20; 67/37/9; 67/41/6 [?]).

Ein durchsichtiger, blaugrüner Brocken Rohglas (o. Abb. 129/22), offensichtlich aus zerbrochenen Glasgefäßen zusammenschmolzen, zeugt wohl von einer Wiederverwertung des Altglases innerhalb der Siedlung.

Als Besonderheiten innerhalb der Glasfunde aus dem Vicus von Saaz können einige importierte Stücke angeführt werden, die von der Bedeutung der Siedlung und der einigermaßen luxuriösen Ausstattung der Häuser künden. Dieser Umstand ist wahrscheinlich auf die Nähe zur Bernsteinstraße zurückzuführen, auf der die Luxuswaren aus Italien Richtung Norden und

³²³ Rütli 1991, Bd. 2, 15 ff. Taf. 1–28.

³²⁴ Lazar 2003, 37 ff.

³²⁵ Rütli 1991, Bd. 2, 131 ff. Taf. 111–128.

³²⁶ Lazar 2003, 148 ff.

³²⁷ Rütli 1991, Bd. 2, 90 ff. Taf. 77–86.

³²⁸ Lazar 2003, 87 ff.

Osten transportiert wurden. In diesem Zusammenhang ist das Fragment eines Bogenrippenbechers (AR 52, IS 33; Taf. 22, 67/37/7), eines in Form geblasenen, durch aufgelegte Bogenrippen verzierten Gefäßes aus der zweiten Hälfte des 1. Jahrhunderts n. Chr.³²⁹, weiters das Bruchstück vom Fuß eines Skyphos (AR 97, IS 39; Taf. 22, 67/7), also eines Bechers mit Fuß und zwei Henkeln, dessen Vorbilder in Metall- und Keramikgefäßen zu suchen sind³³⁰, und das Randstück eines Facettenschliffbechers (AR 45, IS 21; o. Abb. 01/16) aus dem ersten Viertel des 2. Jahrhunderts n. Chr.³³¹ zu nennen.

Perioden	Form	Typ	SE (Taf./Inv.)	Summe
1.1	Steilwandiger Becher	AR 38	160 (Taf. 1, 160/5)	1
1.2	Steilwandiger Becher (?)	AR 98, IS 85b (?)	146 (Taf. 1, 146/6)	1
1.3	Rippenschale	AR 2.2, IS 3b	147 (Taf. 2, 147/12/1-2)	2
1-2	Steilwandiger Becher	AR 98, IS 85	15a (Taf. 31, 15a/2)	1
3.2	Kantiger oder zylindrischer Krug	AR 156-160	78 (Taf. 12, 78/46/1)	1
4.1	Rippenschale	AR 2.2, IS 3b	76 (Taf. 25, 76/42)	1
4.1	Rippenschale (?)	AR 2.2, IS 3b (?)	76 (Taf. 25, 76/19)	1
4.1	Skyphos	AR 97, IS 39	67 (Taf. 22, 67/7)	1
4.1	Steilwandiger Becher	AR 98, IS 85	59 (Taf. 14, 59/25/1) 60 (Taf. 17, 60/42/1) 67 (Taf. 22, 67/37/2, 4; 22, 67/41/1; o. Abb. 67/37/8)	6
4.1	Bogenrippenbecher	AR 52, IS 33	67 (Taf. 22, 67/37/7)	1
4.1	Vierkantiger Krug	AR 156, IS 50	67 (Taf. 22, 67/38; o. Abb. 67/40)	2
4.1	Vierkantiger (?) Krug	AR 156, IS 50	59 (Taf. 14, 59/26/1)	1
4.1	Kantiger oder zylindrischer Krug	AR 156-160	59 (Taf. 14, 59/25/2)	1
4.1	Fläschchen mit Dellen	AR 139 (?), IS 83	67 (Taf. 22, 67/41/3)	1
4.1	Steilwandiger Becher	AR 98, IS 85	82 (o. Abb. 82/8)	1
4.2	Rippenschale	AR 2.2, IS 3b	129 (Taf. 28, 129/20)	1
4.2	Vierkantiger Krug	AR 156, IS 50	129 (Taf. 28, 129/21/2)	1
4.2	Vierkantiger Krug (?)	AR 156, IS 50	129 (o. Abb. 129/10/1)	1
4.2	Steilwandiger Becher	AR 98, IS 85	129 (Taf. 28, 129/21/1)	1

Tabelle 16: Übersicht über die signifikanten stratifizierten Glasgefäßtypen von Saaz

Wenige Fragmente stammen aus der 70–100/110 n. Chr. datierenden Anfangsphase der Siedlung, darunter die eindeutig in diese Zeit zu datierenden Fragmente zweier Rippenschalen und eines mit Ritzlinienbündeln verzierten steilwandigen Bechers (AR 38). Als nicht in diesen Kontext passend wäre hier nur das nicht eindeutig einem steilwandigen Becher (AR 98, IS 85) zuzuordnende Stück zu nennen.

Auffallend ist, dass die Masse der bestimm- und datierbaren Glasfragmente aus der zwischen 170/180–200 n. Chr. einzuordnenden Periode 4.1 der Siedlung stammt (Tab. 16). Wobei die Datierung der Gefäßtypen, bis auf wenige Ausnahmen, mit der Datierung der Siedlungsperiode korrespondiert. Hierbei sind einerseits die beiden als luxuriöse Importware zu betrachtenden Fragmente eines Bogenrippenbechers (AR 52, IS 33) und eines Skyphos (AR 97, IS 39), die beide in die zweite Hälfte des 1. Jahrhunderts n. Chr. zu datieren sind, zu nennen. Möglicherweise ist diese Divergenz – so es sich nicht nur um verlagertes Altmaterial handelt – durch die Sonderstellung dieser Gefäße zu erklären, die sie zu einem wertvollen und gut bewahrten Objekt für den Besitzer machte. Andererseits wurden auch die beiden nicht eindeutig als solche anzusprechenden Fragmente zweier Rippenschalen (AR 2.2, IS 3b), eines im 1. Jahrhundert n. Chr. häufig auftretenden Typs, der im frühen 2. Jahrhundert n. Chr. verschwindet, im Material dieser Periode entdeckt, wobei auch hier der Verdacht auf verlagertes Altmaterial vorliegt.

³²⁹ Rütli 1991, Bd. 2, 62, Taf. 53.

³³⁰ Rütli 1991, Bd. 2, 89, Taf. 76.

³³¹ Rütli 1991, Bd. 2, 58, Taf. 51.

Außerdem stammen drei eindeutig als Fensterglas zu identifizierende Stücke aus diesem späten Siedlungszusammenhang.

Der zwischen 170/180 und 200 n. Chr. datierenden Periode 4.2, aus der nur relativ wenige Fragmente stammen, sind grundsätzlich dieselben Gefäßtypen wie 4.1 zuzurechnen. Die Funde aus Grube SE 129, so vor allem das Bruchstück einer Rippenschale (AR 2.2, IS 3b), stammen teilweise aus der älteren Periode 1, daher ist das Vorkommen von älteren Formen in jüngeren Kontexten durch Umlagerung zu erklären.

S. LEHNER

The first part of the document discusses the importance of maintaining accurate records of all transactions. It emphasizes that every entry should be supported by a valid receipt or invoice. This ensures transparency and allows for easy verification of the data.

In the second section, the author outlines the various methods used to collect and analyze the data. This includes both primary and secondary data collection techniques. The primary data was gathered through direct observation and interviews with key personnel. Secondary data was obtained from existing reports and databases.

The third section details the statistical analysis performed on the collected data. This involves the use of descriptive statistics to summarize the data and inferential statistics to test hypotheses. The results of these analyses are presented in a clear and concise manner, highlighting the key findings of the study.

Finally, the document concludes with a summary of the findings and their implications. It discusses the strengths and limitations of the study and offers suggestions for future research. The author expresses confidence in the reliability of the data and the validity of the conclusions drawn.

D. Metallfunde

I. TRACHTBESTANDTEILE

I.1 Fibeln

Aus dem Areal des römischen Vicus am Südhang des Saazkogels stammen bislang insgesamt 29 Fibeln bzw. Fibelfragmente sowie vier Bruchstücke von Fibelspiralen. Anzuschließen sind weiters zwei bereits publizierte Fibeln aus der Ausgrabung 2000 im Umfeld der Laurentiuskirche am Gipfel des Saazkogels und aus dem Bereich des Hügelgräberfelds am Nordhang³³².

Von den 29 Fibeln wurde die überwiegende Mehrzahl mit dem Metalldetektor aufgefunden, nur fünf Fibeln und vier Fibelspiralbruchstücke liegen aus den mehrjährigen Ausgrabungen im Vicusbereich vor (Tab. 17).

Perioden	Typ	SE (Taf./Inv. Nr.)
2-3	A 68/69	75 (Taf. 5, 75/2)
3.2	A 70/73a	78 (Taf. 12, 78/42)
	J 13 D	78 (Taf. 12, 78/43)
4.1	A 85	61 (Taf. 18, 61/17)
	J 13 C	76 (Taf. 25, 76/41)

Tab. 17: Verteilung der stratifizierten Fibeln der Ausgrabung 2003 auf die zugehörigen Perioden

Der Beitrag der Fibeln zur feinchronologischen Datierung der einzelnen Perioden der Ausgrabung 2003 ist als eher gering zu werten, da sich die wenigen Fibeln lediglich in Befunden der Perioden 3.2 und 4.1 fanden. Die zahlreichen Detektorfunde aus dem Siedlungsbereich vermögen hingegen die durch die Perioden vorgegebene Zeitspanne gut abzudecken, wobei sich keine 'Ausreißer' ausmachen lassen. Auch die zahlenmäßige Verteilung der einzelnen Fibeltypen korreliert gut mit den Materialmengen der jeweiligen Perioden aus den Ausgrabungen, wobei ein klares Übergewicht der jüngeren Perioden (3 und 4) festzuhalten ist (Tab. 18).

Fibeltyp	Anzahl
Flügelfibel	1
Doppelknopffibel	1
Knotenfibel mit Stützplatte	1
Kräftig profilierte Fibel	8
Trompetenfibel	1
Kniefibel	10
Vogelfibel	5
Pferdchenfibel	1
Fischfibel	1

Tab. 18: Quantitative Verteilung der Fibeltypen aus dem Vicus am Saazkogel

Nur wenige Fibeln lassen sich noch dem Ende des 1. und dem Beginn des 2. Jahrhunderts zuschreiben, was sich gut mit den Perioden 1 und 2 synchronisieren lässt. Die eher kleine, eingliedrige Doppelknopffibel (Taf. 33, SF45) mit lang gezogenem Bügel und Ansatz eines rahmenförmigen Nadelhalters und Sehnenhaken entspricht weitestgehend Variante A 236 c nach J. Garbsch³³³, ist allerdings zweigliedrig und datiert somit jünger.

³³² Vgl. Lippert 2001, 64 Taf. 11B (Flügelfibel A 238 n/o?) und 66 Taf. 13B; Lamm 2001, 77. 101 Nr. 54 (Kräftig

profilierte Fibel A 70/73 g).

³³³ Garbsch 1965, 29 f. Abb. 4.

In flavische bis hadrianische Zeit datiert Garbsch eingliedrige, eher kurze Flügelfibeln A 238 c, für die jeweils ein Knopf auf der Flügeloberseite charakteristisch ist³³⁴. Der Bügelknopf bei (Taf. 33, SF160) ist vollplastisch ausgebildet, der Fuß ist verbogen und der Nadelhalter unter dem rundlich verdickten Kamm weggebrochen, sodass die feintypologisch relevante Fuß- bzw. Nadelhaltergestaltung als Kriterium wegfällt.

Als Einknotenfibel mit Stützplatte und gestrecktem Fuß ist die Silberfibel (Taf. 33, SF123) anzusprechen, die bis auf den abgebrochenen Nadelhalter und die halbe Spirale komplett erhalten ist. Die eingliedrige Fibel mit oberer Sehne und Spirale mit acht Windungen verfügt über eine kleine, mit schrägen Rillen verzierte Sehnenkappe sowie einen nach hinten gebeugten Bügelknopf, dem zum Kopf hin eine fein gekerbte Profilierung vorgelagert ist. Aufgrund der eher geringen Größe und des ursprünglich wohl geschlossenen Nadelhalters kann die Fibel Variante 9c nach Ch. Gugl zugerechnet werden, für die – neben einer Größe von 4–5,5 cm – ein mehrfach durchlochter oder überhaupt geschlossener Nadelhalter charakteristisch ist, während die Varianten 9a und b über in *opus interrabile*-Technik verzierte Nadelhalter verfügen³³⁵. Durch einen Roh- oder Fehlguss ist die Herstellung von Einknotenfibeln Gugl Variante 9c in Flavia Solva belegt, von wo auch ein silbernes Fibelexemplar mit rillenverzierter Sehnenkappe, gerundetem Fußquerschnitt und dreifach durchlochten Nadelhalter stammt, das in seiner Beschreibung gut mit dem Stück aus Saaz übereinstimmt. Im Gegensatz zu den Varianten 9a und b, die relativ eingeschränkte Verbreitungsgebiete aufweisen, begegnet 9c sowohl im Territorium von Flavia Solva als auch von Poetovio-Ptuj und Celeia-Celje. Zuletzt wurden von H. Heymans vier Fibeln des Typs 9 nach Gugl aus dem Bereich bzw. direkten Umfeld des Vicus von Kalsdorf vorgelegt, von denen zumindest ein kleines Exemplar ebenfalls mit Sicherheit der Variante 9c zugerechnet werden kann³³⁶, während die restlichen drei Stücke für eine feintypologische Ansprache zu fragmentiert überliefert sind³³⁷. Somit deutet sich doch eine Verdichtung dieses Fibeltyps im Territorium von Flavia Solva an, eine Herstellung der silbernen Fibel vom Saazkogel im Municipium kann in Erwägung gezogen werden. Als Datierungsrahmen wird von Gugl die flavische bis trajanische Zeit vorgeschlagen³³⁸.

Kräftig profilierte Fibeln stellen in ihren verschiedensten Varianten mit acht Exemplaren nach den Kniefibeln die quantitativ zweitstärkste Gruppe im Vicus Saaz dar. An die kräftig profilierten Fibeln ist die typologisch eng verwandte Trompetenfibel A 85 aus Periode 4.1 anzuschließen.

Zwei eingliedrige, kräftig profilierte Fibeln mit Stützplatte und nur schwach ausgeprägtem Bügelknopf entsprechen dem Typ A 68/69 bzw. der Variante J 4 B. Während die stark deformierte Fibel (Taf. 33, SF162) einen Detektorfund darstellt, stammt die kleine, besser erhaltene Fibel (Taf. 5, 75/2) aus der Straßenschotterung gemeinsam mit einer Münze des Antoninus Pius für Marcus Aurelius (145/161 n. Chr.). Um ein ausgesprochen kleines Exemplar einer eingliedrigen, kräftig profilierten Fibel mit Stützplatte, bei welcher der Bügelkopf weit nach innen zurückgebogen ist und somit den Bügel beinahe berührt, handelt es sich bei dem ebenfalls stratifizierten Stück (Taf. 12, 78/42) aus Periode 3.2, die dem dritten Viertel des 2. Jahrhunderts n. Chr. entspricht. Die als A 70/73 a zu klassifizierende Fibel scheint demnach in diesem Kontext eher als Altstück anzusehen zu sein, liegt doch die Hauptverwendungszeit dieser Variante nach Ch. Gugl im letzten Drittel des 1. und den ersten Jahrzehnten des 2. Jahrhunderts n. Chr.³³⁹. Derselbe Datierungsrahmen ist für drei weitere eingliedrige, kräftig profi-

³³⁴ Garbsch 1965, 52 ff.

³³⁵ Gugl 1995, 29 f.

³³⁶ Heymans 1997, 363 Taf. 2, 17 (Kalsdorf).

³³⁷ Vgl. H. Heymans, Römerzeitliche Fibeln und Bronzen aus dem Kaiserwald, dem Bereich um Graz und aus der Weststeiermark in der Sammlung Stadlhofer, FÖ 35, 1996 (1997) 153 Taf. 1, 1–3 (Kaiserwald und Bischof-

graben bei Graz). Die jeweils eindeutige Variantenzuweisung von Heymans ist aufgrund des Erhaltungszustands und des Fehlens der typologisch relevanten Kriterien anzuzweifeln.

³³⁸ Gugl 1995, 30.

³³⁹ Gugl 1995, 13.

lierte Fibeln mit Stützplatte und weit nach innen zurückgebogenem Kopf anzunehmen, die alle-
samt als Streufunde vorliegen. Die beiden formal eng verwandten Fibeln (Taf. 33, SF12,
SF57), bei denen der Nadelhalter jeweils fehlt, unterscheiden sich primär durch die rillenver-
zierte Sehnenkappe (SF57) und den breiten Sehnenhaken (SF12). Beide verfügen über Spiralen
mit acht Windungen und oberer Sehne, der vollplastische Bügelknopf ist auf dem leicht S-för-
mig geschwungenen Bügeln deutlich nach hinten geneigt. Aufgrund der fehlenden Fußkon-
struktion ist eine Differenzierung zwischen den Varianten A 70/73 b und d kaum möglich. Für
beide Varianten wird von Ch. Gugl eine Datierung in domitianische bis trajanische Zeit erwo-
gen³⁴⁰. Typologisch entspricht auch das Bruchstück eines Roh- oder Fehlgusses (Taf. 33,
SF16), von dem der Bügelkopf mit gut sichtbaren Gussnahtresten erhalten ist, der Variante A
70/73 b–d, ohne hier genauere Zuweisungen treffen zu können. Auf jeden Fall vermag dieses
Halbprodukt einen klaren Hinweis auf die Herstellung von Fibeln dieser Variante im Vicus am
Saazkogel zu liefern. Das Stück ist etwas größer und breiter ausgebildet als die beiden vorhin
erwähnten Fibeln des Typs A 70/73 b–d, doch ist auch bei SF16 der Kopf stark einbiegend aus-
geführt und der Bügelknopf stark profiliert sowie leicht nach hinten geneigt.

Im Gegensatz zu den bislang beschriebenen kräftig profilierten Fibeln, fehlt dem kleinen
eingliedrigen Fibelbruchstück (Taf. 33, SF132) die Stützplatte. Der schlechte Erhaltungszu-
stand erlaubt nur grob eine Zuordnung zu Typ J 5 (B?), weitere Zuweisungen sind kaum mög-
lich³⁴¹. Wohl ebenfalls von einer kräftig profilierten Fibel wird das Fibelfußbruchstück mit
rechteckigem hohem Nadelhalter (Taf. 33, SF106) herrühren, der auf seiner Rückseite mit an
drei Seiten entlang laufender Wolfszahnverzierung versehen ist und über einen schräg nach
oben gerichteten, mehrmals profilierten Fußknopf verfügt.

Eng verwandt mit den kräftig profilierten Fibeln sind die Trompetenfibeln, bei denen
der Bügelkopf in eine kreisrunde, zumeist leicht schräg nach innen geneigte Kopfplatte mündet.
Der Periode 4.1 ist das bis auf die Nadelspitze vollständige Exemplar (Taf. 18, 61/17) des Typs
A 85 zuzuweisen, das über eine Spirale mit acht Windungen und oberer Sehne, Sehnenhaken so-
wie einen im Querschnitt dreieckigen Fuß mit hohem rechteckigem Nadelhalter und kleinem,
leicht nach oben gerichtetem Schlussknopf verfügt. Die Unterseite des Bügels ist abgeflacht.
Als Datierungsrahmen für diese Fibeln des Typ A 85 bzw. J 6 A kommt das 2. Jahrhundert n.
Chr. in Betracht³⁴², wobei der Schwerpunkt in der ersten Hälfte des Jahrhunderts liegen
dürfte³⁴³.

Die zahlenmäßig größte Gruppe der Fibeln am Saazkogel stellen die Kniefibeln dar, die
in verschiedensten Varianten vorliegen. Von den insgesamt zehn Kniefibeln stammen zwei aus
der Ausgrabung 2003, der Rest liegt als Detektorfunde vor. Als Fibeln vom Typ J 12 A können
die drei zweigliedrigen Kniefibeln mit Spiralhülse (Taf. 33, SF32, SF39, SF161) angesprochen
werden³⁴⁴, wobei bei SF161 auch eine Zuweisung zu J 12 B denkbar wäre, zumal hier der weg-
gebrochene Nadelhalter (längs oder quer gestellt) feintypologisch relevant wäre³⁴⁵. Die voll-
ständig erhaltene Fibel SF32 mit leicht facettiertem Bügel und schmalem Nadelhalter weist auf
der Oberseite der Spiralhülse eine stark verschliffene einfache Wolfszahnverzierung auf, die bei
den anderen Exemplare mit gerundetem Bügel sind unverziert. Sowohl SF32 als auch SF39 ver-
fügen über Spiralen mit acht Windungen.

Ebenfalls zweigliedrig ist die bis auf die Spirale komplette, schmale lang gestreckte, im
Bügelquerschnitt U-förmige Kniefibel (Taf. 33, SF80) mit kurzer, rechteckiger unverzierter
Kopfplatte und hohem, rechteckigem Nadelhalter sowie einem kleinen, kaum abgesetzten
Schlussknopf, die J 13 A entspricht³⁴⁶. Trotz ihres schlechten Erhaltungszustands ist auch das

³⁴⁰ Gugl 1995, 15.

³⁴¹ Jobst 1975, 37 ff.

³⁴² Vgl. Jobst 1975, 42 f.

³⁴³ Sedlmayer 1995, 30.

³⁴⁴ Jobst 1975, 60.

³⁴⁵ Vgl. Jobst 1975, 60 f.

³⁴⁶ Jobst 1975, 64.

Exemplar (Taf. 33, SF59) problemlos als Kniefibel mit rechteckiger Kopfplatte einzuordnen, bei der die große getreppte Kopfplatte an der Vorderseite durch kreisförmige Durchbrüche gegliedert ist. Der Bügel ist facettiert und noch vor dem Fußansatz gebrochen, von der Fibelspirale lässt sich nur die nach vorne gerichtete und abgebrochene Nadel ausmachen, der Rest steckt in einem kompakt korrodierten Eisenklumpen. Kniefibeln mit rechteckiger durchbrochener Kopfplatte sind in der Variante J 13 B zusammengefasst³⁴⁷, zuletzt wurde dieser Typ im Überblick von G. Grabherr bearbeitet und eine späte Datierung in das 3. Jahrhundert n. Chr. vorgeschlagen, wobei der Schwerpunkt im dritten Viertel des Jahrhunderts liegen dürfte³⁴⁸. Für das Exemplar vom Saazkogel wird aufgrund der Ergebnisse der Ausgrabungen 2003 doch eher von einer Datierung in die erste Jahrhunderthälfte auszugehen sein.

Die meisten Kniefibeln aus dem Vicus am Saazkogel (fünf Stück) verfügen über eine halbrunde Kopfplatte, die sowohl unverziert (Taf. 25, 76/41; 33, SF94) als auch mit unterschiedlichen Wolfszahnmustern dekoriert sein kann (Taf. 12, 78/43; 33, SF95; 34, SF131). Je eine unverzierte Fibel J 13 C (Taf. 25, 76/41)³⁴⁹ und eine mit zwei konzentrischen Wolfszahnbögen versehene Kniefibel J 13 D (Taf. 12, 78/43) liegen stratifiziert aus der Ausgrabung 2003 vor³⁵⁰, wobei das Stück (Taf. 12, 78/43) in Periode 3.2 zu stellen ist; die Fibel (Taf. 25, 76/41) stammt aus einer Planierschicht der Periode 4.1. Beide Fibeln sind somit mit Sicherheit in das letzte Drittel des 2. Jahrhunderts n. Chr. zu stellen. Ebenfalls mit konzentrischen Wolfszahnbögen ist SF95 (Taf. 33, SF95) dekoriert, wobei diese zweigliedrige Kniefibel J 13 D über eine Spirale mit sechs Windungen und oberer Sehne sowie einen schmalen, hohen und leicht schrägen Nadelhalter verfügt. Eine Spirale mit acht Windungen und oberer Sehne besitzt die Kniefibel Typ J 13 D mit facettiertem Bügel und einer halbrunden Kopfplatte mit Wolfszahnverzierung in Form eines Bogens, der den Bügelansatz umschließt, sowie randbegleitenden Halbbögen. Dieses Dekorationsschema wurde von H. Sedlmayer aufgrund der Musterkombination als charakteristisch für den norisch-pannonischen Raum beschrieben³⁵¹. Als Datierungsrahmen für die Kniefibeln J 13 D mit halbrunder wolfszahnverzierter Kopfplatte kommt das späte 2. und beginnende 3. Jahrhundert n. Chr. infrage. Derselbe Datierungszeitraum kann auch für die drei unverzierten Kniefibeln mit halbrunder Kopfplatte J 13 C in Betracht gezogen werden. Hervorzuheben bleibt schließlich noch das vollständig erhaltene zweigliedrige Exemplar (Taf. 33, SF94) mit feuerversilberter Oberfläche.

Mit sieben Exemplaren stellt die heterogene Gruppe der Tierfibeln einen zahlenmäßig nicht unbeträchtlichen Anteil am Gesamtfibelbestand dar. Davon wiederum sind fünf Stück bzw. Fragmente als Vogelfibeln anzusprechen und jeweils ein Exemplar als Pferde- bzw. als Fischfibel.

Die plastische Doppeltaubenfibel (Taf. 34, SF146) ist bis auf Spirale und Nadel vollständig und kann dem Typ Ia1 nach H. Winter zugeordnet werden³⁵². Typ Winter IIb1 entspricht die vollplastisch gearbeitete und unverzierte Taubenfibel (Taf. 34, SF92)³⁵³, die gerade im Umfeld von Flavia Solva mehrmals anzutreffen ist³⁵⁴. Vollplastisch gearbeitet und leicht stilisiert ist die bronzene Vogelfibel (Taf. 34, SF104), welcher der Fibelfuß und die Spirale fehlen. Der Kamm am Kopf des Vogels und der betont spitze Schnabel deuten auf eine Ansprache als Hahnenfibel. Über einen ausgeprägten Kamm verfügt auch der Kopf der flach gearbeiteten stilisierten Vogelfibel (Taf. 34, SF153)³⁵⁵, wobei eine gleichartige Fibel wegen der Kombination

³⁴⁷ Jobst 1975, 64 f.

³⁴⁸ Grabherr 2001, 39.

³⁴⁹ Jobst 1975, 65 f.

³⁵⁰ Jobst 1975, 66 f.

³⁵¹ Sedlmayer 1995, 43 f.

³⁵² Winter 1985/86, 338 Nr. 1.

³⁵³ Winter 1985/86, 344 Nr. 19.

³⁵⁴ z. B. Flavia Solva: Kropf – Nowak 1998/99, 153 Taf. 67, 393, Kalsdorf: Heymans 1997, 372 Taf. 11, 112.

³⁵⁵ Entspricht Variante Ia der Vogelfibeln nach J. Matouschek – H. Nowak, Unpublizierte Tierfibeln und Fibeln mit theriomorphen Gestaltungselementen aus österreichischen Privatsammlungen, RÖ 13/14, 1985/86, 101 ff. Nr. 1.

mehrerer unterschiedlicher Tierelemente von J. Kropf und H. Nowak als „Fabeltierfibel“ angesprochen wird³⁵⁶. Obwohl nur fragmentarisch erhalten, lässt sich der fein ritzierte bronzene Flügel (Taf. 34, SF114) mit schematisierter Federdarstellung als Bruchstück einer Pfauenfibel ansprechen³⁵⁷.

Bis auf den Nadelhalter und die Spirale ist die bronzene, vollplastisch gearbeitete Pferdefibelfibel (Taf. 34, SF105) vollständig erhalten. Diese entspricht dem Typ 1b nach J. Matouschek und H. Nowak bzw. Variante A der Pferdefibeln (Gruppe 29) nach Jobst³⁵⁸, wobei eine Häufung dieser Fibeln in Flavia Solva Kropf und Nowak veranlasste, an eine Herstellung des Typs in Flavia Solva zu denken³⁵⁹. Das Verbreitungsgebiet dürfte aber doch deutlich weitläufiger sein, wie es zwei ähnliche Stücke aus Lauriacum zu belegen vermögen³⁶⁰.

Ein Einzelstück ist bislang die fragmentiert erhaltene, flach gearbeitete bronzene Fischfibelfibel (Taf. 34, SF147) geblieben, bei der das Auge kreisrund punziert und der Körper durch S-förmig geschwungene Wellenlinien verziert ist, welche die Schuppen andeuten³⁶¹.

1.2 Gürtelteile

Gürtelschnallen

Als Gürtelschnalle ist mit Sicherheit die aus Bronze gegossene rechteckige Schnalle (Taf. 34, SF33) mit flacher Unterseite und leicht erhöhtem sowie im Querschnitt rundem Steg, an dem der Dorn befestigt war, anzusprechen³⁶². Das ebenfalls gegossene, auf der Unterseite flache, doppelt abgewinkelte und an beiden Enden gebrochene, im Querschnitt trapezoide Bronzefragment (Taf. 34, SF115) dürfte von einer mehr(sechs-?)seitigen Gürtelschnalle stammen, doch erscheint bei diesem Stück eine Zuweisung schwierig.

Riemenzungen

Entsprechend den Darstellungen auf Reliefs stellen diese profilierten metallenen Riemenendstücke einen paarweise getragenen Bestandteil des Gürtels der Frauentracht dar³⁶³, was mitunter auch durch das Vorkommen von jeweils zwei beinahe identen Riemenzungen in Gräbern belegt wird. Vom Saazkogel sind bislang zwei bronzene Riemenzungen als Detektorfunde bekannt geworden, die zwei unterschiedliche Varianten repräsentieren. Zum einen handelt es sich um die knapp über dem profilierten Riemenende gebrochene Riemenzunge mit gerundetem Zwischenstück und kurzem, unprofilierendem Endknopf (Taf. 34, SF73), die weitestgehend Form R2 nach J. Garbsch entspricht. Als Datierungsrahmen wird von Garbsch die spätaugusteische bis hadrianische Zeit in Betracht gezogen, wobei für das Exemplar aus Saaz wohl eher ein späterer Ansatz innerhalb dieser Zeitspanne anzunehmen sein wird. Form R2 ist am Magdalensberg auf jeden Fall noch gut vertreten³⁶⁴.

Die bronzene Riemenzunge (Taf. 34, SF125) mit konischem Mittelstück und profiliertem Endknopf weist an der Außenseite der Riemenlasche über Ritzungen in Form eines Sterns zwei parallele Ritzlinien auf. Der Riemenzungenentyp entspricht der Form R4 nach Garbsch³⁶⁵, das Hauptverbreitungsgebiet scheint sich um Flavia Solva zu konzentrieren. Riemenzungen der Form R4 werden von J. Garbsch in die erste Hälfte des 2. Jahrhunderts n. Chr. datiert³⁶⁶.

³⁵⁶ Kropf – Nowak 1998/99, 163 Taf. 73, 421.

³⁵⁷ Vgl. Gugl 1995, 45 Taf. 19, 145.

³⁵⁸ Jobst 1975, 114 f. (Variante A: in leichtem Galopp mit gestreckten Beinen).

³⁵⁹ Kropf – Nowak 1998/99, 159 Taf. 70, 408, 409.

³⁶⁰ Jobst 1975, 207 Taf. 46, 320, 321.

³⁶¹ Gugl 1995, 45 Taf. 19, 143.

³⁶² Vgl. die reicher verzierte rechteckige Gürtel-

schnalle aus Neviodunum bei S. Petru – P. Petru, Neviodunum (Drnovo pri Krškem), Katalogi in monografije 15 (1978) 97 Taf. 11, 19.

³⁶³ Vgl. Garbsch 1965, 104.

³⁶⁴ z. B. M. Deimel, Die Bronzekleinfunde vom Magdalensberg, AForschMB 71 (1987) 149 Taf. 57, 20.

³⁶⁵ Garbsch 1965, 104 Abb. 56, 3.

³⁶⁶ Garbsch 1965, 106.

Riemenbeschläge

Drei stratifizierte Fundstücke der Ausgrabung 2003 im Vicus am Saazkogel sind möglicherweise als Teile von militärischen Ausrüstungsgegenständen anzusprechen. Eine Verwendung solcher 'Militaria' in zivilen Kontexten ist nicht auszuschließen³⁶⁷.

Aus der Planierschicht SE 67 (Periode 4.1) stammt ein bronzenes gegossenes Schnallenfragment des Typs Oldenstein 1012 (Taf. 22, 67/14), dessen untere Hälfte weggebrochen ist. Der peltaförmige Bügel verfügt über floral verzierte, eingerollte Enden, die Unterseite ist flach gearbeitet. Zahlreiche gleichartige Stücke sind aus Kontexten des mittleren 2. und des frühen 3. Jahrhunderts n. Chr. mit militärischer Komponente bekannt geworden, sodass eine Ansprache als Cingulumschnalle evident ist³⁶⁸.

Zu diesem Gürteltyp könnte auch der Bronzedoppelknopf SF148 (Taf. 36, SF148) mit pilzförmigem Oberteil, rundem Steg und leicht ovalem flachem Gegenknopf gehören. Während G. Grabherr in derartigen Knöpfen Zierteile der Pferdeausrüstung sehen möchte, deuten Bronzeknöpfe aus dem Grab 26 in Carnuntum aufgrund ihrer Fundkombination auf die Funktion als Gürtelbeschlag hin³⁶⁹.

Aus der Erdkellerverfüllung SE 78 stammt auch ein kleiner Bronzebeschlag in Form eines gestreckt sechskantigen Schilds mit länglich-ovalem, profiliertem und nach außen gewölbtem Schildbuckel (Taf. 12, 78/44). Im Inneren des Schildbuckels setzte ein im Querschnitt runder Niet an. Zahlreiche vergleichbare schildförmige Bronzebeschläge fanden sich an Fundstellen, an denen die Präsenz römischen Militärs belegt ist, wobei es sich hier vornehmlich um berittene Hilfstruppen handelte³⁷⁰. Die Darstellung derartiger Miniaturschilder auf Soldatengürteln (von Reitersoldaten) unterstreicht die Funktion als Zierstücke. Ob schildförmige Beschläge auch auf 'zivilen' Gürteln als Zierde angebracht waren, kann nicht beurteilt werden³⁷¹.

2. SCHMUCK

2.1 Armreifen/-ringe

Vom Saazkogel stammen drei Bruchstücke von bronzenen Armringen bzw. -reifen, wovon zwei stratifiziert aus der Grabung 2003 vorliegen (Taf. 12, 78/41; 17, 60/40), der größte erhaltene Armring (Taf. 34, SF124) wurde mit dem Detektor gefunden³⁷². Dieser im Querschnitt runde und noch zu ca. zwei Dritteln vorhandene Armring weist einen Innendurchmesser von 7 cm auf, der stärker fragmentierte Armreifen (Taf. 17, 60/40), der sich Periode 4.1 zuordnen lässt, verfügt über einen gedrückt D-förmigen Querschnitt und einen rekonstruierten Durchmesser von 8 cm³⁷³. An einem Ende ist eine geringfügige Verjüngung des Armreifens zu erkennen. Eine Verjüngung weist auch das stärker fragmentierte Armringfragment (Taf. 12, 78/41) aus Periode 3.2 auf, wobei eine leichte Deformierung die Abnahme des ursprünglichen Durchmessers erschwert, doch wird man diesen zwischen 5,5 und 7 cm annehmen dürfen³⁷⁴.

³⁶⁷ Zur Frage militärischer und ziviler Komponenten: Th. Völling, *Römische Ausrüstungsgegenstände aus Olympia, Germania* 74/2, 1996, 444 f.

³⁶⁸ S. Jilek in: Ertel u. a. 1999, 72 f. Taf. 25, Grab 26, 8 (Carnuntum); Abb. 2, 5 (Viminacium).

³⁶⁹ S. Jilek in: Ertel u. a. 1999, 72 Taf. 25, Grab 26, 12; Grabherr 2001, 59.

³⁷⁰ Vgl. Petculescu 1995, 410 ff. Abb. 2.

³⁷¹ Als Anhänger in den Gräbern 632 und 781 in Poetovio: Istenič 1999, 400 Taf. 140, 3; 176, 5.

³⁷² Entspricht Typ 12 in Augst: Riha 1990, 56 Taf. 18, 528–531.

³⁷³ Ähnlich Typ 8 in Augst: Riha 1990, 55 Taf. 17, 520.

³⁷⁴ Augst Typ 3: Riha 1990, 54 f. Taf. 16, 504.

2.2 Ringe

Zwei massive gegossene Bronzeringe (Taf. 7, 76a/2; 34, SF128) werden hier pauschal unter der Kategorie Schmuck behandelt, obwohl diese Zuweisung gerade bei dem größeren Exemplar (Taf. 7, 76a/2) nicht unbedingt zutreffen muss. Der im Querschnitt annähernd vierkantige Bronzering mit einem Durchmesser von 3,5 cm fand sich im Inneren des in den Boden eingelassenen Vorratsgefäßes SE 76, ob hierbei ein wie auch immer gearteter funktioneller Zusammenhang besteht, sei dahingestellt. Mit einem Innendurchmesser von 2,4 cm ist der kleinere, im Querschnitt rundliche Bronzering (Taf. 34, SF128) durchaus als Schmuck denkbar, die leichte Innenkantung könnte jedoch als Argument dagegen angeführt werden.

So es sich bei den Ringen nicht um Schmuckstücke handelt, sind zahlreiche andere Verwendungsmöglichkeiten denkbar, die vom Gürtelteil bis zum Verschlussring reichen, ohne dass der Grabungsbefund weitere Hinweise hätte liefern können. Diesen beiden massiven Ringen ist ein weiterer, bereits vorgelegter einfacher flachgehämmerter Bronzering aus der Sondagegrabung 2002 anzuschließen, für den eine Funktion als Befestigungs- oder Verschlussring überlegt wurde³⁷⁵.

2.3 Nadeln bzw. Nadelköpfe

Sowohl aus der Ausgrabung 2003 als auch als Streufunde liegen vier unterschiedliche Köpfe von Zier- bzw. Haarnadeln vor, von denen drei Exemplare aus Bronze gefertigt sind, ein Stück mit Ansatz der im rechten Winkel gebogenen kurzen Nadel ist aus Silber hergestellt (Taf. 34, SF135). Der Kopf der mit einer Länge von 2,6 cm eher kurzen Nadel ist leicht eiförmig ausgebildet und unverziert³⁷⁶. Ebenfalls eiförmig bis rundlich ist der Nadelkopf (Taf. 34, SF163) geformt, der mit zahlreichen feinen waagrechten Rippen versehen ist³⁷⁷. Die schmale Nadel selbst ist knapp 1 cm unter dem Kopf abgebrochen. Aus dem Humus über Gebäude 1 der Ausgrabung 2003 stammt der bronzene längliche Nadelkopf Inv. 01/56 mit fein profilierten Enden und einem tropfenförmigen Zwischenstück. Das obere Ende wird von einem kleinen Schlussknopf abgeschlossen, nach unten hin ist der Ansatz der weggebrochenen Nadel erkennbar³⁷⁸. Der Periode 4.1 ist der bronzene Nadelkopf (Taf. 18, 61/18) zuzuweisen, der eine mehrfache Profilierung aufweist, in die ein breiteres rundliches Zwischenstück eingeschoben ist³⁷⁹. Während der Kopf selbst von rundem Querschnitt ist, ist der darunter ansetzende Nadelschaft flach gehämmert.

3. MÖBELBESCHLAG

Als dekorativer Beschlag eines Kästchens fungierte der Löwenkopf (Taf. 12, 78/40). Die nächstliegenden Vergleiche liegen aus Poetovio-Ptuj in Kombination mit Schlossbeschlägen vor³⁸⁰, Parallelen bzw. Affines ist darüber hinaus beispielsweise aus Köln-Junkersdorf, Thure, Septfontaines-Déckt und Diersheim beizubringen³⁸¹. Die Löwenkopfniete von Saaz befand sich in der Verfüllung des Erdkellers SE 78, welcher der Periode 3.2 zuzuordnen ist.

³⁷⁵ Tiefengraber 2002, 127 Taf. 7, 69.

³⁷⁶ Entspricht weitgehend den Typen 15 und 16 in Augst, der Nadelschaft ist jedoch etwas kürzer: Riha 1990, 104 Taf. 47, 1498; 48, 1515. 1518.

³⁷⁷ Kopf ähnlich Typ 9 in Augst: Riha 1990, 101 Taf. 41, 1387.

³⁷⁸ Riha 1990, 111 Taf. 59, 2538–2542 (Typ 26, Variante 1).

³⁷⁹ Ähnlich Typ 26, Variante 1/4 in Augst: Riha 1990, 111 Taf. 60, 2565. 2566.

³⁸⁰ Istenič 1999, 275 Taf. 15, Grab 75, 31. 32.

³⁸¹ E. Riha, Kästchen, Truhen, Tische – Möbelteile aus Augusta Raurica, Forschungen in Augst 31 (2001) 28 Abb. 12; 78 mit Anm. 157. Abb. 30. 46. 47; Taf. 48, 534. 636.

Wegen der nur bruchstückhaften Erhaltung ist eine funktionelle Zuweisung des innen hohlgegossenen bronzenen Löwenkopfs (Taf. 36, SF145), von dem die Schnauze mit der Augenpartie und der Mähnenansatz erhalten ist, nicht möglich. An den Bruchstellen lassen sich deutliche sekundäre Schmelzspuren bzw. Hitzedeformationen ausmachen. Es kann nicht entschieden werden, ob der Löwenkopf zu einer voll- oder halbplastischen Figur zu ergänzen ist, wobei gerade halbplastische Löwenkopfgefäßattaschen oder Tür-/Möbel- bzw. Wagenbeschläge in ähnlicher Ausführung und Größe bekannt sind (s. oben).

4. WAGENTEILE

Zwei Gegenstände, die beide als Streufund getätigt wurden, sind als Teile eines Wagens anzusprechen (Taf. 35, SF30, SF117). Zum Wagen selbst ist der vollständig erhaltene eiserne Achsnagel (Taf. 35, SF117) zu rechnen, der über einen im Querschnitt runden und massiven Nagel mit abgestumpftem Ende sowie eine halbkreisförmige breit gehämmerte Kopfplatte verfügt³⁸². Die Innenbiegung der Kopfplatte, die sich wohl an die Achsdimension anpasste, erlaubt eine Rekonstruktion des Achsdurchmessers von rund 12 cm. Aufgrund seiner Kopfplattenform kann der Achsnagel dem Lauriacenser Typ 1 zugeordnet werden, der halbmond- und sichelförmige Achsnägel subsumiert³⁸³.

Bei dem zweiten Wagenteil handelt es sich um einen bronzenen, knapp 8 cm hohen verzierten Aufsatz für das Wagenjoch oder das Kummet (Taf. 35, SF30), der in einem profilierten Knauf mit zwei Knöpfen und einem eiförmigen Schlussknopf endet. Der Knauf sitzt auf einer mehrflügeligen, gedrückt konischen und leicht deformierten Tülle auf, deren vorderer Flügel fehlt bzw. deren Vorderseite offen war. Die drei anderen Flügel verfügen über annähernd mittig gebohrte Löcher. In seiner Grundform erinnert der Jochaufsatz an die spätlatènezeitlichen Jochaufsätze vom Typ Titelberg³⁸⁴, eine römerzeitliche Datierung steht jedoch wohl außer Frage.

5. WERKZEUG

Trotz der langjährigen Prospektion des Vicusbereichs mit Metalldetektor hält sich die Anzahl römischer Eisenwerkzeuge oder auch nur von Bruchstücken davon erstaunlich in Grenzen. Lediglich ein Eisengegenstand, der aus der Ausgrabung von 2003 stammt, ist eindeutig als Werkzeug anzusprechen (Taf. 6, 61b/6). Die klein dimensionierte Haue 61b/6 war mittels einer konischen Tülle am Stiel befestigt, der Vorderteil ist flach schaufelförmig und spitz zulaufend ausgebildet, den hinteren Teil stellt ein breiter, im Querschnitt rechteckiger und ebenfalls spitz zulaufender Dorn dar.

6. MESSER

Zwei eiserne Messer sind aufgrund ihres guten Erhaltungszustands typologisch genauer zu behandeln: Dabei handelt es sich um das bei der Ausgrabung 2003 zu Tage getretene, knapp 28 cm lange Messer (Taf. 2, 147/13) mit im Querschnitt leicht verbreiteter, rechteckiger Griffplat-

³⁸² Vgl. einen ähnlichen Achsnagel aus Lentia-Linz bei E. M. Ruprechtsberger, Ein Beitrag zu den römischen Kastellen von Lentia: Die Terra Sigillata, LAF 10 (1980) 56 Taf. 2, 1.

³⁸³ Ubl 1997, 260.

³⁸⁴ M. Schönfelder, Das spätkeltische Wagengrab von Boé (Dép. Lot-et-Garonne), Diss. Marburg an der Lahn (2000) 267 Abb. 189, 3. 12.

te und gerader Klinge, das Periode I zugewiesen werden kann. Die Messerspitze ist gering nach oben geschweift, in der Griffplatte lassen sich keine Bohrungen ausmachen. Da auch der hintere Abschluss der Griffplatte bestoßen ist, kann nicht mehr entschieden werden, ob mit einem ringförmigen Griffende gerechnet werden muss, oder ob das Messer ursprünglich auch in einer gerade abgeschnittenen Griffplatte endete.

Das kleinere, rund 11 cm lange Messer (Taf. 35, SF150) verfügt über eine im Querschnitt ovale Griffangel und eine weitestgehend gerade Klinge, die Messerspitze ist weggebrochen.

Beide Stücke entsprechen den „Messern mit lanzettförmiger Klinge“ nach H. Dolenz³⁸⁵.

7. SCHLÜSSEL/SCHLOSS

Nur als Streufunde sind bislang Schlüssel bzw. Schlossteile aus dem Vicus am Saazkogel bekannt. Einerseits handelt es sich dabei um einen vollständigen eisernen Schiebeschlüssel (Taf. 35, SF74) mit leicht beschädigter Ringöse am Ende des lang gestreckten Schaftes sowie doppelt gebogenem und vierstiftigem Bart³⁸⁶. Andererseits liegt mit (Taf. 35, SF50) das hintere rechteckige Bruchstück eines auch im Querschnitt rechteckigen bronzenen Schlossriegels vor.

8. BLEIGEWICHTE UND WAAGE

Ebenfalls nur als Streufunde ist eine Reihe von unterschiedlich geformten Bleigewichten zu betrachten, wobei die Ansprache als Gewicht nicht in jedem einzelnen Fall völlig gesichert erscheint. So wie die Formen selbst, variiert auch das entsprechende Gewicht, in den meisten Fällen lässt sich die ursprüngliche Einheit noch eruieren. Das doppelkonische facettierte kleine Bleigewicht (Taf. 35, SF6) sowie das gedrückt fassförmige Bleistück (Taf. 35, SF142) mit feiner Bohrung in der Mitte weisen ein Gewicht von 12,6 bzw. 14 g auf, was einer halben *uncia* entspricht. Mit 10,8 g (0,4 *unciae*) liegt das Gewicht des kugelförmigen Bleianhängers mit Aufhängung (Taf. 35, SF4/2) knapp darunter, das konische Bleigewicht mit breiter zentraler Bohrung (Taf. 35, SF4/1) ist mit 22,2 g bzw. 0,8 *unciae* genau doppelt so schwer. Während diese kleineren Bleigewichte allesamt sorgfältig gearbeitet sind, wirken die schwereren Gewichtsstücke eher grob ausgeführt. Das konische Gewicht (Taf. 35, SF61) von 76,2 g und das sackförmige Bleistück (Taf. 35, SF64) von 60,2 g, bei dem ein gutes Drittel glatt abgehackt wurde, haben ein reales bzw. im Fall von SF64 rekonstruiertes Gewicht von annähernd drei *unciae*. Eine eher amorphe Form kennzeichnet die beiden jeweils vier *unciae* (= $\frac{1}{3}$ *libra*) schweren massiven Bleigewichte mit 104,2 g (Taf. 35, SF62) und mit 111,6 g (Taf. 35, SF152), wobei bei letzterem Stück ein rechteckiger Eindruck auf der Oberseite zu erwähnen ist. Unklar bleibt, ob auch das spitzkonische Bleistück (Taf. 35, SF118) mit Resten der eisernen Aufhängeöse als Gewicht anzusprechen ist, oder als Bleilot. Das Gewicht von 47,6 g entspricht rund zwei *unciae*, sodass eine Funktion als Bleigewicht durchaus denkbar wäre.

Bei den zwei barrenförmigen Bronzestücken (Taf. 36, SF83, SF85) könnte darüber gemutmaßt werden, ob diese ebenfalls als Gewichte anzusprechen sind, oder ob sie eine andere Funktion (Rohmaterial?) erfüllten, ihr Gewicht liegt jeweils knapp unter einer *uncia*. Fraglich bleibt auch, ob die kleine Bleischeibe (Taf. 36, SF103) mit einem Gewicht von 0,6 g als Feingewicht zu werten ist, oder einem anderen Zweck diente (Etikett?).

³⁸⁵ H. Dolenz, Eisenfunde aus der Stadt auf dem Magdalensberg, AForschMB 13 (1998) 270 f. Taf. 112, ME 118, ME 123.

³⁸⁶ Vgl. Schaltenbrand-Obrecht 1996, 332 Taf. 56, 499.

Betrachtet man die Verteilung der Bleigewichte im Vicusbereich, so ist die Konzentration im Ostteil (Mitte der Parz. 93/4) auffallend, von wo auch der bronzene Waagarmaufsatz (Taf. 36, SF144) stammt, mit leicht konischer Tülle, ovaler Kopfplatte und im Querschnitt rundem Dorn. Der Tüllenansatz ist weggebrochen, die Tülle selbst weist am Ansatz gegenüberliegende Bohrungen auf. Auf der Tülle sind fünf kurze eingeritzte Kerben im konstanten Abstand von 0,5 cm sichtbar. Zahlreiche Vergleichsstücke erlauben eine Ansprache des Stückes als Endhülse eines hölzernen Waagarmes bzw. -balkens, wobei die regelmäßigen Kerben als eine Art Messskala zu bezeichnen sind³⁸⁷.

9. NÄGEL UND MAUERHAKEN

Die größte Gruppe an typologisch ansprechbaren Eisenfunden stellen – nicht unerwartet – unterschiedlich große Nägel dar. Dabei handelt es sich ausnahmslos um im Querschnitt vierkantige Nägel mit – soweit einigermaßen vollständig erhalten – rechteckigem Kopf. Neben einzelnen massiven großen Nägeln, wie z. B. Taf. 29, 131/17 mit einer Länge von über 12 cm und einer Schaftgröße von 1,2 × 1,2 cm, liegt die Länge der meisten Nägel doch klar unter 10 cm³⁸⁸. Nur in einem Fall (Taf. 27, 127/10/2) ist ein Nagel stärker verbogen bzw. im rechten Winkel umgebogen, sonst sind die Nagelschäfte durchwegs gerade oder höchstens leicht verbogen. Ausgesprochen kleine Nägel fehlen bislang aus der Siedlung am Saazkogel, sieht man von einem gut und komplett erhaltenen Schuh Nagel (Taf. 2, 174/3) ab, der mit seinem annähernd bipyramidalen Kopf und im Querschnitt vierkantigem Schaft die geläufige römische Schuh Nagelform schlechthin repräsentiert.

Bei dem geschmiedeten länglichen Eisengegenstand (Taf. 17, 60/63), bei dem ein Ende im rechten Winkel umgebogen ist, während das zweite, spitz zulaufende Ende um 90° versetzt leicht hochbiegt, handelt es sich um einen massiven, im Querschnitt vierkantigen Mauerhaken. Der Eisenhaken stammt aus der Planierschicht der Periode 4.1 in Raum 1 von Gebäude 1. Ein funktioneller Zusammenhang mit diesem Gebäude ist anzunehmen.

10. VARIA

Bronzener Kannendeckel (Taf. 29, 129/23): Ein dreipassförmiger bronzener Kannendeckel mit teils weggebrochener Scharnieröse und einer kleinen Henkelattasche in Form eines grob stilisierten Delfins stellt den einzigen Rest von Bronzegegeschirr im Vicus am Saazkogel dar. Aufgrund der Deckelform ist es nahe liegend zu vermuten, dass dieser von einer Bronzekanne mit kleeblattförmiger Mündung stammt. Bronzedeckel in dreipassförmiger Ausführung stellen einen der am häufigsten anzutreffenden Reste von römischen Bronzegefäßen der Kaiserzeit dar³⁸⁹.

Der Deckel wurde in einer Grube der jüngsten greifbaren Periode 4.2 gefunden, die jedoch stark mit Fundstücken der Periode 1 durchsetzt war, da offensichtlich eine ältere Grube gestört wurde. Eine zuverlässige Datierung auf Grundlage der Befundsituation ist demnach am Saazkogel nicht möglich.

Bronzener Kerzenleuchter (Taf. 36, SF42): Die Tülle mit zentimetergroßer zentraler Bohrung ist in Form eines Kelches aus sechs Blättern ausgeführt, die einzelnen Blätter sind zusätzlich durch seichte Ritzlinien angedeutet. Es könnte sich um den Teil eines Kerzenleuchters handeln³⁹⁰.

³⁸⁷ Ubl 1997, 237 Abb. Kat. Nr. V/B-14b; Grabherr 2001, 66 Taf. 18, B196.

³⁸⁸ Vgl. die Nägel Taf. 22, 67/44/1. 45, 76/48. 14, 59/29.

³⁸⁹ H. Sedlmayer, Die römischen Bronzegefäße in No-

ricum, *Monographies instrumentum* 10 (1999) 26 ff.

³⁹⁰ A. Kaufmann-Heinimann, Götter und Lararien aus Augusta Raurica, *Forschungen in Augst* 26 (1998) 256 Abb. 209 (Mathay).

Bronzener Anhänger mit Ritzung (Taf. 36, SF96): Der rechteckige flach gehämmerte kleine Bronzeanhänger SF96, ein Detektorfund von Parz. 93/4 mit teilweise weggebrochener separater Öse verfügt auf seiner Vorderseite über ein Ritzzeichen aus vier schmalen Ritzlinien in Form des Buchstabens *A* (?). Die Funktion dieses Etiketts ist nicht bekannt.

Bronzener perlformiger Beschlag (Taf. 36, SF107): Als schwierig erweist sich eine genauere Einordnung eines nur bruchstückhaft erhaltenen, leicht gebogenen bronzenen Beschlagteiles (SF107) mit Resten von drei kalottenförmigen Mulden und einer waagrechten feinen Bohrung auf der Oberseite. Eine Ansprache als 'Perlrandbeschlag' wäre überlegenswert.

Bronzener Anhänger in Phallusform (Taf. 36, SF164): Eine beliebte und auch häufig anzutreffende Variante von Anhängern oder Amuletten stellen Stücke mit plastischen Phallusdarstellungen dar, wie es auch bei dem Anhänger SF164 mit ringförmiger Öse vom Saazkogel der Fall ist³⁹¹.

Eisernes Henkelbruchstück (Taf. 29, 129/28): Die Ansprache des S-förmig geschwungenen geschmiedeten bandförmigen Eisenbruchstückes mit schlaufenförmig umgeschlagenem Endstück als Henkel bzw. Stiel eines (eisernen) Schöpfgefäßes (?), einer Pfanne oder am ehesten vielleicht eines Eimers bleibt rein hypothetisch³⁹². Das Stück stammt aus der schon erwähnten fundreichen Grube SE 129 der Periode 4.2, in der sich auch zahlreiche Funde der Periode 1 aussondern ließen.

G. TIEFENGRABER

³⁹¹ Entspricht Anhängertyp 2 in Augst (figürliche Anhänger): Riha 1990, 74 Taf. 31, 720; ähnlich auch Moucka-Weitzel 1998, 161 Taf. 89, 7.

³⁹² Vgl. ähnliche eiserne Eimerhenkel aus Vitodurum bei Schaltenbrand-Obrecht 1996, 325 Taf. 48, 207, 209.

E. Beinfunde

Überraschend gering ist die Anzahl an Beinfunden aus dem Vicus von Saaz, wofür möglicherweise auch die für die Erhaltung von Knochen bzw. Bein eher ungünstigen Erhaltungsbedingungen verantwortlich zu machen sind³⁹³.

Lediglich ein einziger Fund aus Bein konnte bei der Ausgrabung 2003 getätigt werden: Dabei handelt es sich um einen beinernen Spielwürfel (Taf. 2, 147/11) mit Kantenlängen von 1,3 cm, der mit seicht eingetieften Kreisaugen versehen ist. Diese sind nicht immer ganz präzise zentriert, sondern weichen zumeist leicht aus den Fluchten ab. Die Oberfläche ist auf allen Seiten gut geglättet bzw. durch den Gebrauch entsprechend abgegriffen und lässt auf drei Seiten feine Haarrisse erkennen. Erwartungsgemäß ergibt die Zahlensumme der Kreisaugen auf den jeweils gegenüberliegenden Seiten immer sieben.

Der Spielwürfel wurde in der Verfüllung der auch sonst relativ fundreichen Grube SE 147 gefunden, die der (Holz-)Bauperiode I (Subphase 1.3) zuzurechnen ist und in flavische Zeit datiert werden kann. Eine weiterführende feinchronologische Aussagekraft ist von den schlichten beinernen Spielwürfeln mit Kreisaugen wohl nicht zu erwarten.

Die Frage nach der Produktion von Beingegegenständen im Vicusbereich muss unbeantwortet bleiben, im archäozoologisch untersuchten osteologischen Material finden sich auf jeden Fall keine Hinweise auf Bearbeitungsspuren oder gar auf Halb- bzw. Rohprodukte. Ob allerdings im Zentrum des Vicus überhaupt mit Beinbearbeitung gerechnet werden soll, ist kaum anzunehmen, derartige handwerkliche Tätigkeiten wären wohl eher an der Peripherie zu erwarten. Die weitgehende Unkenntnis der inneren funktionellen Struktur nicht nur des Vicus am Saazkogel verbietet es jedoch, vorerst weitere Schlüsse daraus zu ziehen.

G. TIEFENGRABER

³⁹³ Vgl. dazu auch Kap. III (Ch. Grill).

The first part of the document discusses the importance of maintaining accurate records of all transactions. It emphasizes that every entry should be supported by a valid receipt or invoice. This ensures transparency and allows for easy verification of the data.

In the second section, the author outlines the various methods used to collect and analyze the data. This includes both primary and secondary data collection techniques. The analysis focuses on identifying trends and patterns over time, which is crucial for making informed decisions.

The third part of the document provides a detailed breakdown of the results. It shows that there has been a significant increase in sales volume, particularly in the middle and lower income brackets. This suggests that the current marketing strategy is effective in reaching a wider audience.

Finally, the document concludes with several key recommendations. It suggests that the company should continue to invest in research and development to stay ahead of the competition. Additionally, it recommends a more targeted marketing approach to further increase profitability.

The following table provides a summary of the key findings from the data analysis. It shows a clear upward trend in sales over the period studied, with a notable increase in the number of repeat customers.

Year	Sales Volume	Repeat Customers
2018	120,000	15,000
2019	150,000	20,000
2020	180,000	25,000
2021	210,000	30,000

These results indicate a strong and consistent growth in the market. The company is well-positioned to continue its expansion, provided it maintains its focus on quality and customer service.

F. Steinindustrie

Sämtliche im Vicus von Saaz verwendeten Steine stammen nicht aus dessen unmittelbarer Umgebung, sondern mussten erst über teils beachtliche Distanzen herangeschafft werden (Abb. 107). Da der Saazkogel geologisch betrachtet aus sandig-schottrigem Lehm aufgebaut ist, kommt er als Rohstofflieferant für Bausteine nicht infrage. Erst die östlich benachbarten Hügelzüge aus vulkanischen Gesteinen (Basalt, Basalttuff und Tuff) liefern für Bauzwecke geeignetes Gesteinsmaterial. Neben diesen Gesteinen, von denen der relativ harte Basalt in verschiedenen Varietäten als wichtigstes Baumaterial im Vicus Verwendung fand, begegnen auch Gesteine, die auch im weiteren Umfeld nicht anstehen und über größere Entfernungen herans transportiert worden waren (Marmor und Kalkstein). Mengenmäßig von untergeordneter Bedeutung war die Verwendung von Stein als Ausgangsmaterial zur Herstellung von Mahlsteinen und Schleifsteinen, die ebenfalls durch die umliegenden Ressourcen abgedeckt wurden.

1. BASALT UND BASALTTUFF

Der mengenmäßig am häufigsten als Baumaterial in Anspruch genommene Werkstein im Vicus besteht aus dunkelgrauem, eher grobkörnigem und hartem Basalt bzw. aus dem etwas weiche ren und fragileren Basalttuff, der eine Varietät des Basalts darstellt. Der nächste basaltführende Aufschluss liegt knapp 5 km östlich, am Steinberg südlich von Feldbach – ein Hügel, der das Raabtal nach Süden hin begrenzt³⁹⁴. Auch heute noch wird der Steinberg zum Basaltabbau genutzt, sodass mit keinen älteren Abbauspuren mehr gerechnet werden kann.

Basaltsteine finden sich im Vicus zumeist als grob zugerichtete Bruchsteine in einer Größe von 0,3–0,5 m, nur vereinzelt begegnen größere Basaltblöcke mit Seitenlängen von bis zu 1 m, wie sie beispielsweise als unterste Auflagesteine im Steinkranz des Brunnens SE 131 oder im Fundament des Grabmonuments Verwendung fanden. Grundsätzlich verfügten die Außenmauern bzw. -mauersockel der Gebäude über etwas größere und besser zugerichtete Steine als die eher schmälere Innenwände, in denen auch mehr Basalttuff verbaut war, der als Baumaterial qualitativ hinter den Basalt zu stellen ist. Bearbeitungsspuren durch den Meißel sind nur selten am Basalt zu beobachten, zumeist handelt es sich dann um Spuren eines Flachmeißels.

Basalt wurde am Saazkogel nicht nur als Baumaterial verwendet, wegen seiner Grobkörnigkeit eignete er sich auch gut als Mahlstein, wie es der fast vollständig erhaltene Ständer einer Handmühle von Parz. 93/3 (Taf. 36, SF158) und Teile eines Läufers von der Ausgrabung 1999 am Gipfelplateau belegen³⁹⁵.

2. TUFF

Der dem Saazkogel am nächsten gelegene und nur 2 km entfernte, östlich in Sichtweite befindliche Aufschluss am Kalvarienberg bei Unterweißenbach, kam als Hauptlieferant für Steinbaumaterial nicht infrage, da dort nur ein relativ weicher Tuff gewonnen werden konnte³⁹⁶. Dieser findet sich im Gebäudeverband lediglich bei Innenmauern, der Kontakt des Tuffsteins mit Wasser wurde offensichtlich bewusst vermieden. Die starke Bruchaffinität macht den Tuff auch eher

³⁹⁴ Vgl. Flügel – Neubauer 1984, 25.

³⁹⁵ Lippert 2001, 62 Taf. 16, 9.

³⁹⁶ Flügel – Neubauer 1984, 25.

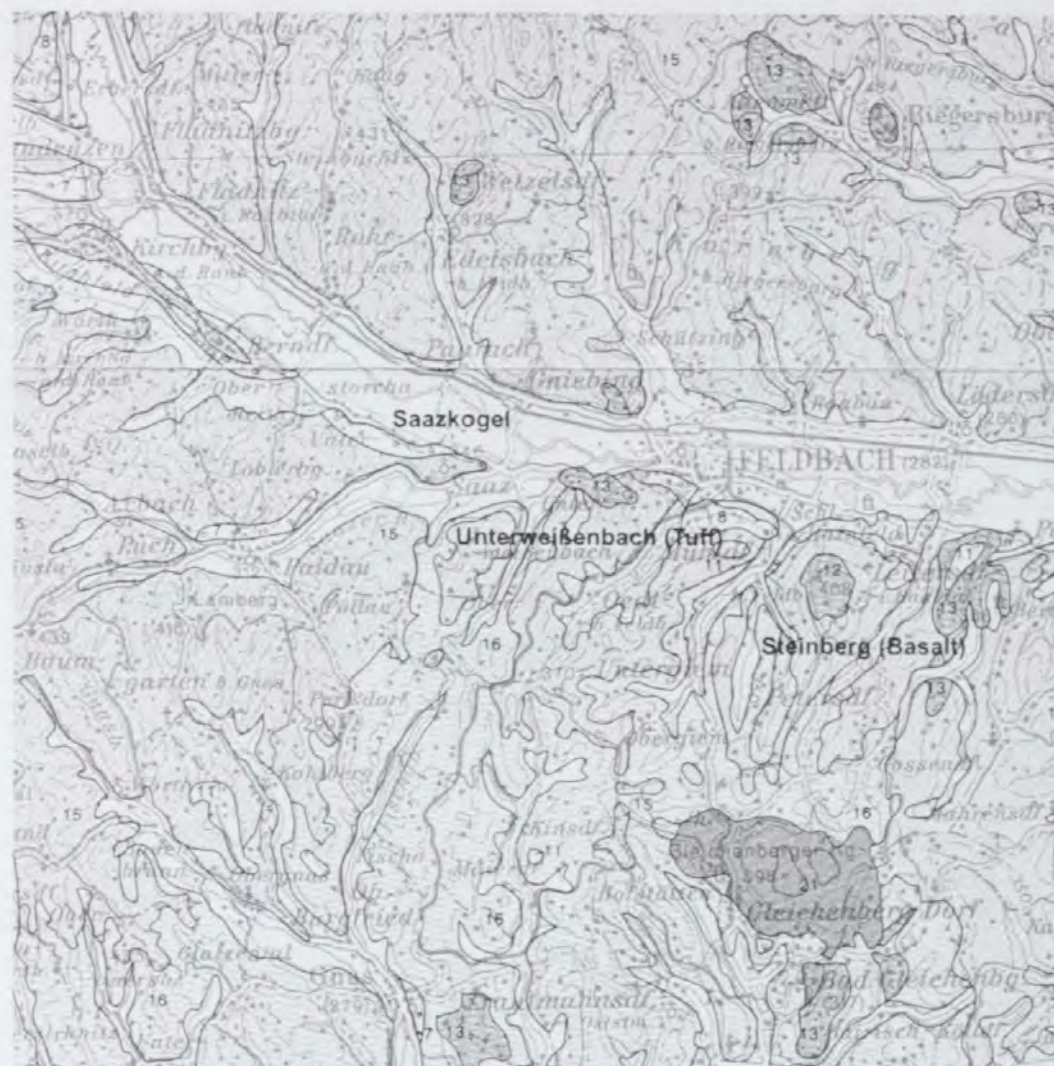


Abb. 107: Lagerstätten.

ungeeignet für größere statische Belastungen, denen er bei der Außenmauer wohl ausgesetzt gewesen wäre.

Bearbeitungs- bzw. Meißelspuren fanden sich bislang keine an den verbauten Tuffsteinen, vielmehr wurden diese alle als unbehauene Bruchsteine in den Mauerverband eingesetzt.

Aus Tuff (oder Sandstein [?]) sind auch die beiden schon stark abgenützten und gebrochenen, vierkantigen Schleifsteine (Taf. 29, 129/26, 131/4) hergestellt.

3. KALKSTEIN

Sowohl im Bereich des 2004 ergrabenen Grabbezirks am Westrand des Vicus als auch bei den Gebäuden im Zentrum fand sich immer wieder zumeist kleinteilig zerbrochener und stark erodierter weicher, reinweißer Kalkstein mit fragil-oolithischer Struktur. Da im näheren Umfeld des Saazkogels bzw. in der Umgebung von Feldbach kein Kalkstein ansteht, ist davon auszugehen, dass dieser erst über weite Distanz herantransportiert werden musste. Die nächsten entsprechenden abbauwürdigen Kalksteinvorkommen finden sich im Bereich um Wildon und südwestlich von Leibnitz in Aflenz und Reznei, sowie – als nächstgelegenes Vorkommen – in St. Anna am Aigen in der Südoststeiermark³⁹⁷. Materialanalysen wurden bislang noch keine durchgeführt, sodass über die Herkunft eigentlich nur spekuliert werden kann.

³⁹⁷ Flügel – Neubauer 1984, 22 f.

Die Masse der Kalksteinfragmente stammt aus dem Bereich des monumentalen Grabbezirks der Ausgrabung 2004, wo besonders die älteren abgetragenen Grabbauten über zahlreiche größere Kalksteinbruchstücke verfügten, unter denen sich auch Teile mit extrem schlecht erhaltenen plastischen Dekorationselementen (Profilierungen bzw. Leisten?) befanden, ohne dass diese jedoch genauer angesprochen werden könnten. Besser erhaltene Spolien waren in die oberste Lage des Brunnenkranzes SE 131 im Bereich der Ausgrabung 2003 verbaut, von denen ein größeres Stück mit Resten einer Profilierung erwähnenswert ist. Kleine Kalksteinbruchstücke fanden sich auch im Verband der Innenmauer M4 (SE 65) von Gebäude I, die in Periode 3 eingezogen wurde.

Aufgrund des schlechten Erhaltungszustandes des äußerst fragilen und aufgeweichten Kalksteins lassen sich nur wenige Bearbeitungsspuren ausmachen, wobei es sich nur mehr um die letzten Reste der Abdrücke von Spitzmeißeln handelt.

4. MARMOR

Zahlreiche eher kleinteilige Marmorbruchstücke und -splitter fanden sich im Bereich des zentralen Fundaments im Inneren des Grabbezirks der Ausgrabung 2004. Davon wiederum stammen nur wenige Splitter von der Oberfläche des Fundaments selbst bzw. aus den Fugen zwischen den Fundamentsteinen, die überwiegende Masse wurde im Zuge der Ausgrabung des spätantiken Brunnenschachts geborgen, der in die Mitte des Fundaments hineingeschlagen worden war. Trotz der gar nicht so geringen Menge an Fragmenten wiesen nur wenige Reste der ursprünglichen Oberfläche auf, zwei Marmorstücke waren eindeutig als Bauelemente anzusprechen (Giebelteil und Säulenschaftbruchstück) (Kap. I.B.2.2; Abb. 54).

Materialanalysen des Marmors sind noch ausständig, die Seltenheit von römischen Marmorspolien in der mittleren und südlichen Oststeiermark unterstreicht auf jeden Fall die Bedeutung der Stücke vom Saazkogel. Versucht man eine makroskopische Beschreibung des Marmors, so stellt sich dieser folgendermaßen dar: Anhand der Körnung allein lassen sich zwei Gruppen aussondern, wobei die zahlenmäßig klar dominante Gruppe von fein- bis mittelkörnigem, reinweißem und leicht durchscheinendem, qualitativem Marmor gebildet wird, aus dem auch die besser erhaltenen Werkstücke gearbeitet sind; eine zweite Variante, die nur an wenigen Bruchstücken zu beobachten ist, verfügt über eine grobkörnige, fragil-bröselige Kristallmatrix, die zwar ebenfalls reinweiß ist, jedoch mitunter geringe Einschlüsse erkennen lässt. Qualitativ steht die hochwertige Marmorvariante 1 klar über der zuletzt beschriebenen Variante 2. Ob hinter diesen beiden Varianten auch zwangsläufig unterschiedliche Steinbrüche oder einfach nur verschiedene metamorphe Stufen in ein und demselben Aufschluss zu sehen sind, sei dahingestellt und ist ohne petrographische Analyse nicht beantwortbar.

Als mögliche Herkunft des Marmors am Saazkogel können die Brüche am Pacherengebirge (Pohorje) oder im Kainachgraben im Süden der Gleinalpe ins Kalkül gezogen werden, mit den Kärntner Marmorsteinbrüchen in Gummern und Spitzelofen wird aufgrund der beträchtlichen Entfernung wohl eher nicht zu rechnen sein.

An den erhaltenen Oberflächen der Marmorbauteile lassen sich durchwegs Bearbeitungsspuren mit unterschiedlich großen, zumeist jedoch eher feinen Spitzmeißeln erkennen, im Falle des Giebelteils sind überhaupt zwei Varianten des Spitzmeißels (fein und grob) mit einem Flachmeißel kombiniert. Sowohl der Säulenschaft als auch die Giebelteiloberseite weisen eine Glättung auf, die keinerlei Werkzeugspuren mehr zeigt (Kap. I.B.2.2). Aus dem Siedlungsgebiet liegen bislang keine Marmorfunde vor.

...the ... of ...

...the ... of ...

...the ... of ...

...the ... of ...

...the ... of ...

...the ... of ...

...the ... of ...

...the ... of ...

...the ... of ...

...the ... of ...

...the ... of ...

...the ... of ...

...the ... of ...

G. Textilindustrie

Obwohl erwartungsgemäß keinerlei textile Reste mehr erhalten waren, fanden sich indirekte Hinweise auf die Herstellung von Textilien im Siedlungsbereich am Saazkogel. Zusammen mit einem bereits 2002 geborgenen Webgewicht³⁹⁸ liegen insgesamt fünf vollständige tönerner Webgewichte sowie Bruchstücke von mindestens fünf weiteren Gewichten vor. In der Mehrzahl handelt es sich dabei um vierkantig-pyramidale Tongewichte mit abgeflachter Ober- und Unterseite, die wenige Zentimeter unter der Oberseite waagrecht durchbohrt wurden (Taf. 5, 181/1; 27, 84/10; o. Abb. 175/2). Daneben begegnet auch eine gerundet sackförmige Webgewichtform, die allerdings nur einmal auftritt (Taf. 5, 179/1). Die Realgewichte dieser ausnahmslos unverzierten Tongegenstände schwanken alle – je nach Erhaltungszustand – zwischen 0,8 und 1 kg.

Ein zu diesen Webgewichten gehörender Webstuhl oder auch nur eine Webgrube konnten nicht festgestellt werden, was jedoch auffiel, war die Konzentration von Webgewichten in Raum 2 von Gebäude 1 und in der Verfüllung des daneben gelegenen Erdkellers SE 78, aus dem allein zwei Webgewichtsbruchstücke stammten (Taf. 12, 78/9. 78/20/1). In drei Gruben, die in den Lehmfußboden von Raum 2 eingetieft waren (Abb. 106), fanden sich fast vollständige Webgewichte (Taf. 5, 179/1. 181/1; o. Abb. 175/2), die möglicherweise einen konkreten Hinweis auf die Textilproduktion in diesem Raum während der Periode 3.2 zu liefern vermögen, in die auch der Erdkeller SE 78 zu stellen ist.

Aus den jüngeren Bauperioden 4.1 und 4.2 liegen ebenfalls noch vereinzelte Webgewichte vor, die – so es sich nicht nur um verlagerte Altstücke handelt – auf ein Weiterbestehen der Textilherstellung im näheren Umfeld hindeuten.

G. TIEFENGRABER



Abb. 106: Grube (SE 175) mit Webgewicht.

³⁹⁸ Vgl. Tiefengraber 2002, 144 Taf. 7, 68.

INTRODUCTION

The first part of the book is devoted to a general survey of the history of the subject. It begins with a brief account of the early attempts to explain the phenomena of light and heat, and then proceeds to a more detailed consideration of the theories of Newton, Huygens, and Young. The second part of the book is devoted to a more detailed consideration of the theories of Newton, Huygens, and Young. It begins with a discussion of the experiments of Newton on the dispersion of light, and then proceeds to a discussion of the experiments of Huygens on the diffraction of light, and finally to a discussion of the experiments of Young on the interference of light. The third part of the book is devoted to a more detailed consideration of the theories of Newton, Huygens, and Young. It begins with a discussion of the experiments of Newton on the dispersion of light, and then proceeds to a discussion of the experiments of Huygens on the diffraction of light, and finally to a discussion of the experiments of Young on the interference of light.

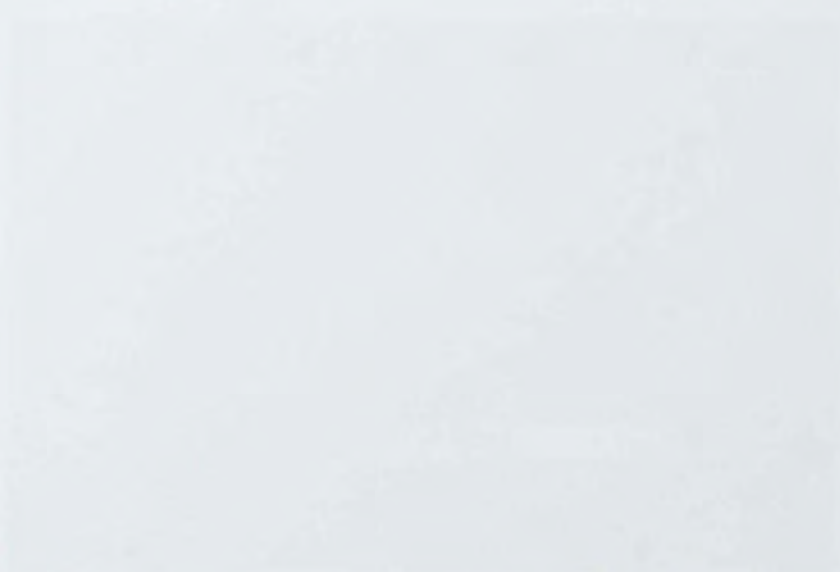


Fig. 1. A diagram illustrating the refraction of light by a convex lens.

H. Kontextbezogene Analysen des römischen Fundmaterials aus den Grabungen im Vicus von Saaz 2002–2005

1. PERIODE I (70–100/110 N. CHR.) (Taf. 1–3)

1.1 Fundstreuungen/Fundzahlen in den Befunden der Periode I

Aus den elf fundführenden Befundobjekten der Periode I liegen NMI 89 vor. Unter den Fundensembles finden sich nur zwei, welche mehr als zehn Fundstücke aufweisen: In der Verfüllung von Grube SE 146 liegen noch NMI 16 vor; die diesen Befund schneidende Grube SE 147 weist 36 gefäßkeramische NMI und 3 weitere signifikante Funde aus Glas, Bein und Metall auf. Der Erhaltungsgrad ist in allen Befunden sehr gering, ausschließlich in SE 147 ist ein Viertel der Funde noch mit einem Erhaltungsgrad ab R25 vorhanden. Gefäßkeramische Funde dominieren das Spektrum.

1.2 Die Periodisierung – Datierungsansätze aufgrund der Befund-/Fundsituationen in Periode I

Die Befunde der Periode I sind alle in eine relativchronologische Abfolge eingebunden und repräsentieren die ältesten Belege von Siedlungsaktivität am Befundplatz.

Absolutchronologische Daten liefern Funde aus folgenden Befundobjekten der Periode I:

Oval-unregelmäßige Grube SE 160 TS (60–70 n. Chr.).

Rundlich-ovale Grube SE 147 Italische Feinware (100/120 n. Chr.), Glas (bis 100/120 n. Chr.).

Zum ältesten Siedlungshorizont dieses Befundabschnitts zählt die Grube SE 160, deren Verfüllung anhand der Sigillata nicht vor 60/70 n. Chr. anzusetzen ist. Die Überlagerung dieses Befunds durch zwei weitere, gleichfalls in Periode I angelegte Gruben verdeutlicht die auf mehreren unterschiedlichen Prozessen basierende Befundgenese in Periode I, zugleich lässt sich mit einer der SE 160 überlagernden Gruben (SE 147) die jüngste Nutzung in Periode I erfassen: Mit dem ab 100 n. Chr. datierenden signifikanten Fund aus diesem Kontext (SE 147) dürfte die Verfüllung dieses Objekts in die frühtrajanische Zeit, um 100/110 n. Chr., anzusetzen sein.

1.3 Das Gefäßrepertoire der Periode I (Abb. 108)

Die regional produzierte, fein gemagerte Gefäßkeramik ist hauptsächlich reduzierend gebrannt, zwei Drittel aller fein gemagerten Gefäße repräsentieren die Produkte in RF 5red (NMI 12), RF 8red (NMI 9) und RF 9 (NMI 4). Unter den grobkeramischen regionalen Produkten dominieren solche der RF 4 (NMI 17) neben jenen in RF 6 (NMI 8). Unter den signifikanten Funden ist der Anteil der Drehscheibenware nicht unbeträchtlich. 37 regionale Produkte, hauptsächlich Schalen, Schüsseln und Töpfe in fein gemagerten RF sind auf der schnell drehenden Scheibe produziert. Für acht keramische Funde ist die Herstellung in groben RF mit Handaufbau und Nachdrehen gesichert, weitere 28 Gefäßteile sind hinsichtlich der Produktionsweise nicht näher einzuordnen.

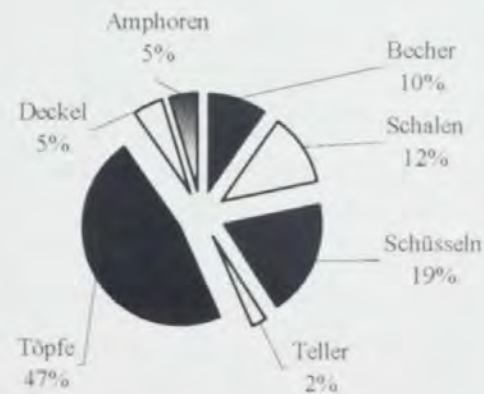


Abb. 108: Saaz, Gefäßformenanteile in Periode I.

Becher: Die Becher liegen hauptsächlich aus den während der Perioden 1.2 und 1.3 verfüllten Gruben SE 146 und SE 147 vor und stammen demnach durchwegs aus den Komplexen der jüngsten Nutzungsphasen von Periode 1. Der Beleg eines engobierten Bechers mit Karniesrand lässt auf eine frühe regionale Imitation rheinischer Importware schließen, gleichfalls auf die Adaption einer Importform könnte der Becher mit abgesetztem Rand hinweisen. Der reduzierend gebrannte fassförmige Becher ist als typische südostnorische Form anzusprechen. Aus Glas sind ausschließlich zwei näher zuordenbare Formen, AR 38 und AR 98/IS 85b (?), gefertigt.

Schalen: Die Schalen gelangen fast ausschließlich als Fernhandelswaren in den Vicus von Saaz. Neben Sigillata- und Glasimporten sind es insbesondere Imitationen italischer Feinwaren (aus pannonischer Produktion[?]), welche das Spektrum dominieren (NMI 6). Dem regionalen Formenkreis entstammt ausschließlich die Schale mit profiliertem Wandknick und gekehltm Oberteil in RF 5red.

Schüsseln, Deckel: Unter den Schüsseln ist ein Überwiegen der Tafelkeramik festzustellen. Von den 16 NMI zählen zwei Drittel zu den fein gemagerten Produkten. Es liegen ausschließlich ein Sigillatagefäß sowie eine Sigillataimitation (Drag. 29/30) vor, das gesamte übrige Repertoire beruht auf dem einheimischen, stark eisenzeitlichen Traditionen verbundenen Spektrum, dominiert von Formen mit eingezogenem Rand und mit profiliertem Wandknick und gekehltm Oberteil. Die Kochschüsseln des regionalen Formenkreises beschränken sich auf Dreifußschüsseln, diesen grobtonigen Schüsseln dürften auch die wenigen Deckel, welche jeweils große Durchmesser aufweisen, zugehörig sein. Die singuläre Präsenz einer dickwandigen Reibschüssel deutet auf den bemerkenswerten Aspekt der Akzeptanz romanischer Gebrauchsformen in Periode 1.

Teller: Welchen geringen Anteil jedoch diese Gebrauchsformen römischer Art im Gefäßspektrum einnehmen, verdeutlicht die kaum nennenswerte Zahl der Teller (NMI 2), welche, in Sigillata bzw. als Sigillataimitation gefertigt, keineswegs Koch-, sondern Tafelgeschirr repräsentieren.

Töpfe: Die Töpfe sind die am häufigsten vertretene Gefäßgattung. Unter den 39 signifikanten Funden ist ein Drittel fein gemagert, sowohl oxidierend (NMI 6) wie auch reduzierend gebrannt (NMI 8) Exemplare belegt, welche mit ausgebogenem Rand 1.4 und mit eingezogenem Rand Gefäße der Vorratshaltung repräsentieren. Unter den grobkeramischen Töpfen sind solche mit verdicktem, gerundetem Rand (NMI 7) und mit Dreiecksrand (NMI 5, davon 3 mit Dreiecksrand 3.2) am häufigsten. Da es sich hauptsächlich um kleinteilige Fragmente handelt, ist nur in wenigen Fällen die Kammstrichrauung festzustellen; diese Oberflächengestaltung dürfte jedoch üblich gewesen sein, zumal zahlreiche Wand- bzw. Boden-/Wandteile (141 Frgt.) mit Kammstrich aus den Befunden der Periode 1 vorliegen. Sekundäre Kochrückstände (NMI 3) sind ausschließlich auf grob gemagerten Gefäßen festzustellen, sekundäre Schmauchungen (NMI 9), mit einer in RF 9 gefertigten Ausnahme, gleichfalls. Dass nicht alle grobtonigen Töpfe in erster Linie zu Kochzwecken, sondern manche auch zur Bevorratung dienen, zeigt die Pichung auf dem Rand bzw. der Schulter, welche auf fünf Gefäßen festzustellen ist. Hervorzuheben ist das Wandfragment eines Topfs mit Fischgrätdekor, welcher als Oberflächenfund zwar nicht zu periodisieren ist, jedoch aufgrund typologischer Vergleiche dem ältesten Siedlungshorizont nach der Mitte des 1. Jahrhunderts n. Chr. zuzuordnen ist (Abb. 109, 01/24/20)³⁹⁹.

³⁹⁹ Schindler Kaudelka 1997, 120 Abb. 2, 14, 19 (Magdalensberg); Jeschek 2000, Taf. 56, 377–378 (Gleisdorf);

Kolšek 1976, Taf. 21, Grab 51, 18 (Šempeter).

Transportgefäße: Eine augenfällige Vielfalt weisen die nur in geringen Resten vorhandenen Amphoren auf. Neben den üblichen Dressel 6B-Amphoren aus Istrien sind noch drei weitere Gefäße unterschiedlicher Provenienz zu belegen. Aus dem ostmediterranen Raum stammt Camulodunum 184, eine Weinamphore; aus Spanien Dressel 2-4 und aus Oberitalien möglicherweise Aquincum 78 (?).

Die am häufigsten belegten regionalen Gefäßtypen sind in Periode I folgende (Abb. 110):

Tafelkeramik

Schüssel mit eingezogenem Rand (3)

Schüssel/Schale mit profiliertem Wandknick und gekehltem Oberteil (4)

Küchenkeramik

Dreifußschüssel 4 (4)

Topf mit ausgebogenem Rand 1.4 (11)

Topf mit verdicktem, gerundetem Rand 2 (7)



1/24/20

Abb. 109: Grobkeramischer Topf, Oberflächenfund in S4-5, Inv. 01/24/20 M. 1:3.

1.4 Handel: Importe von Fernhandelsgütern in Periode I

Über die Produktionstätigkeit während der Periode I liegen keine Informationen vor, gleichwohl lassen die nicht unbeträchtlichen Anteile importierter Waren indirekt auf die Wirtschaftskraft der Siedler schließen. Der Anteil an importierten Fernhandelsgütern beträgt 16%, wobei von NMI 87 des Gesamtspektrums 14 durch Importgefäße repräsentiert werden. Die qualitativ mangelhaften Feinwaren italischer Art (NMI 3), die Amphoren (NMI 4) und die TS-Nachweise (NMI 5) liegen in vergleichbaren Mengen vor. Glasgefäße sind selten (NMI 2).

1.5 Charakterisierung der materiellen Kultur der Vicani in Periode I

Die materielle Kultur der Periode I ist in erster Linie anhand der keramischen Funde zu interpretieren. Das Gesamtspektrum zeigt ein deutliches Übergewicht der Küchen- und Vorratsgefäße mit 60%. Die Tafelgefäße sind mit 40% vertreten und in Hinblick auf die Spezifizierung der Traditionen von Bedeutung, zumal die Schüsseln der Tafelkeramik direkt auf den regionalen La-Tène-zeitlichen Vorläufern fußen. Die Akzeptanz von Fremdformen zeigt sich am deutlichsten bei den Trinkschalen, deren fast ausschließlicher Import hervorzuheben ist. Alle übrigen Belege einer möglichen Aufnahme von mediterranen römischen Einflüssen im lokalen Alltagsgeschehen sind marginal: Der singuläre Nachweis einer Reibschüssel als Küchengerät sowie geringe Hinweise auf Olivenöl- und Weinimporte verdeutlichen allerdings die zwar seltenen, jedoch vorhandenen überregionalen Kontakte. Neben der Hauptmasse des Geschirrpertoirs zeigt auch das Vorhandensein eines Beinwürfels alte La-

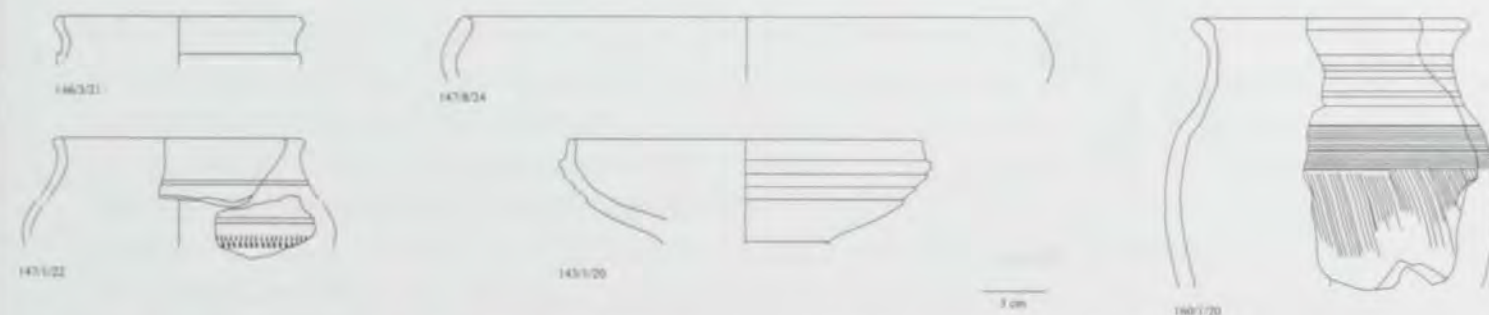


Abb. 110: Saaz, die häufigsten regionalen Gefäßtypen der Periode I.

Tène-Tradition, zumal ein solches Spielzeug in Noricum bereits in der offenen späteisenzeitlichen Siedlung von Neubau zu beobachten ist⁴⁰⁰.

2. PERIODE 2 (120–130/140 N. CHR.) (Taf. 4)

2.1 Fundstreuungen/Fundzahlen in den Befunden der Periode 2

Von 22 Befunden der Periode 2 sind 14 fundführend. Die signifikanten Funde (NMI 29) sind aus acht Befunden beizubringen, wobei die Belege naturgemäß in wenig repräsentativen Zahlen verkörpert sind. Das einzige vergleichsweise aussagekräftige Spektrum stammt aus dem Feuerstellenbereich mit NMI 6 im Ofen (SE 126) und NMI 9 in der Aschengrube (SE 161). Aus diesen beiden Befunden liegen auch die wenigen gut erhaltenen Gefäßteile vor, davon vier mit Erhaltungsgrad von R/W25–R/B50.

2.2 Die Periodisierung – Datierungsansätze aufgrund der Befund-/Fundsituationen in Periode 2

Die Befunde der Periode 2 bilden im Großteil der Fälle die ältesten Siedlungsnachweise in der Relativabfolge, zumal diese nur vereinzelt die älteren Befunde der Periode 1 direkt überlagern. Die chronologische Einordnung der Befunde ist anhand absolut datierter Funde nicht möglich, zumal der einzige näher datierte Fund, eine italische Feinware der Jahre 100/120 n. Chr., bereits in der Vorläuferperiode 1 als signifikante Form auftritt. Der mit Periode 2 initiierte Bebauungsplan des Vicus lässt auf durchgreifende Veränderungen schließen, zugleich zeigt das materielle Spektrum der Periode 2 ein typologisch stark gewandeltes Repertoire, was möglicherweise auf einen Hiatt im Siedlungsgeschehen mindestens des hier vorgelegten Befundabschnitts hindeutet. Datiert man das Ende der Periode 2 also aufgrund der absolutchronologisch gut einzuordnenden Befunde der Periode 3 in die Jahre vor 140 n. Chr., ist von einem Zeitansatz der Periode 2 zwischen ca. 120 und 130/140 n. Chr. auszugehen.

2.3 Regionale und importierte Gefäße der Periode 2 (Abb. 111)

Das regionale Spektrum wird von fein gemagerter Gefäßkeramik dominiert (NMI 13), wobei die Produkte hauptsächlich in RF 5ox (NMI 4) und RF 5red (NMI 6) hergestellt sind. Die elf grobkeramischen Gefäße sind in unterschiedlichen Fabrikaten gefertigt, wovon RF 4 am häufigsten vorkommt (NMI 4). Aufgrund der hohen Zahl fein gemagerter Gefäße ist auch der Anteil der Drehscheibenware im Spektrum der regionalen Keramik sehr groß (NMI 16). Die Importkeramik (NMI 4) repräsentiert 14% des Gesamtgefäßspektrums (NMI 28).

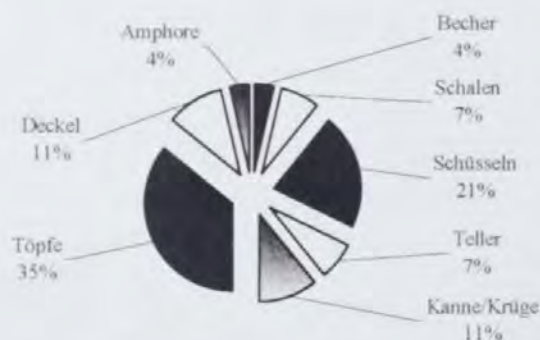


Abb. 111: Saaz, Gefäßformenanteile in Periode 2.

Becher, Schalen: Die Trinkgefäße sind im Vergleich zur Periode 1 stark unterrepräsentiert; es liegen nur ein regional produzierter Becher mit ausgebogenem Rand 3 sowie zwei Schalen vor, davon eine aus dem regionalen Formenkreis und eine Imitation italischer Feinware. Weitere Hinweise auf die Präsenz von Bechern liefern neben dem typologisch zuweisbaren Beleg drei Wandfragmente von Faltenbechern mit und ohne Überzug bzw. Sandwurf.

⁴⁰⁰ Moser 2001, 104 f. Taf. 1, 5 (Neubau).

Schüsseln, Deckel: Die Schüsseln gehören in der hohen Mehrzahl der Fälle dem Tafelservice an und repräsentieren im Unterschied zu den Gefäßen der Periode 1 keine traditionellen Regionalformen, sondern Imitationen von Sigillatagefäßen (Drag. 29/30 und Drag. 37). Direkte Nachweise von Sigillataimporten fehlen hingegen vollständig. Es liegt ausschließlich eine Dreifußschüssel vor, welche typologisch eine deutlich entwickelte, klar von den Typen der Periode 1 unterschiedene Kontur aufweist; dem Mangel an offenen Kochgefäßen entspricht die sehr geringe Zahl der grobtonigen Deckel (NMI 3).

Teller: Die Vorkommen der Teller beschränken sich auf zwei Importformen, einen italischen Teller der Tafelkeramik sowie den ältesten Nachweis einer pompeianisch roten Platte.

Kannen/Krüge: Auch die ältesten Nachweise einer Kanne sowie von zwei Krügen liegen aus Periode 2 vor. Hergestellt in feinen Fabrikaten, sind die Krüge als Tafel- bzw. Vorratskeramik ausgewiesen. Die Verwendung als Vorratsgefäß könnte zudem die sekundäre Lochung eines Randteils indizieren. Die Kanne hingegen ist eine grobtonige Scheibenware (RF 11) und könnte auch als Kochgefäß gedient haben.

Töpfe: Der Anteil der Töpfe am Gesamtgefäßspektrum ist zwar geringer als in Periode 1, ergibt aber dennoch mehr als ein Drittel aller NMI. Die Zahl der fein gemagerten, schiebenge-drehten Töpfe ist klein und repräsentiert weniger als ein Viertel aller Töpfe. Hier besteht demnach ebenfalls ein Unterscheidungskriterium im Vergleich mit dem Spektrum der Periode 1. Das Typenrepertoire der grobtonigen Töpfe setzt sich auch deutlich von jenem der Periode 1 ab, als Leitformen können nun Töpfe mit ausgebogenem, kantigem Rand 3 und mit Dreiecksrand 4 angeführt werden. Zudem sind die ältesten Belege der Töpfe mit ausgebogenem Rand 1.2.2, welche in weiterer Folge stark an Bedeutung gewinnen werden, hervorzuheben. Letztere dienen ebenso wie die Töpfe mit Dreiecksrand als Kochgefäße, worauf sekundäre Gebrauchsspuren schließen lassen. Die grobtonigen Kochgefäße weisen, soweit dies der Erhaltungsgrad erkennen lässt, durchwegs Kammstrichrauung der Oberfläche auf. Die Töpfe mit ausgebogenem, kantigem Rand 3 dürften zur Bevorratung gedient haben, zumal ein Gefäß in einer feiner gemagerten Referenzgruppe gefertigt ist und ein weiteres, in grober RF 1 hergestellt, am Rand sowohl innen wie auch außen gepicht ist.

Transportgefäße: Im Unterschied zum differenzierten Spektrum der Periode 1, mit vier Nachweisen unterschiedlicher Amphorentypen, ist für Periode 2 nur der Einzelfund eines Dressel 6B-Amphorenteils anzuführen.

Die am häufigsten belegten lokalen Gefäßtypen sind in Periode 2 folgende:

Tafelkeramik

Faltenbecher (3)

Imitation Drag. 29/30 (2)

Imitation Drag. 37 (2)

Küchenkeramik

Dreifußschüssel 7 (1)

Topf mit ausgebogenem, kantigem Rand 3.1.1 (3)

2.4 Charakterisierung der materiellen Kultur der Vicani in Periode 2

Soweit anhand der geringen Funde eine hypothetische Charakterisierung der materiellen Kultur überhaupt möglich ist, lässt sich offenbar als ein deutlicher Gegensatz zur Periode 1 die starke Rückläufigkeit bei der Verwendung von tatsächlichen Importformen im alltäglichen Gebrauch feststellen. Dies dürfte auf der Herkunft aus dem funktionalen Zusammenhang rund um eine Herdstelle beruhen. Glasgefäße sind für Periode 2 nicht belegt und an Sigillata ist nur ein signifikanter Fund beizubringen. Bemerkenswert erscheint in diesem Zusammenhang die Ablöse der traditionellen Gefäßtypen der Tafelkeramik durch regionale Imitationen von Im-

portgefäßen (Faltenbecher, Sigillataschüsseln). Betrachtet man das Gesamtgefäßspektrum, ist in Hinblick auf die Formenanteile keine deutliche Veränderung festzustellen, 44% Tafelgefäßen stehen hohe Anteile von Küchen- bzw. Vorratskeramik gegenüber, wobei die große Menge an Töpfen, die als Kochgefäße verwendet wurden, sich in erster Linie aus der Fund-/Befundsituation von SE 126 und SE 161 in und um eine Herdstelle ergibt. Das Material dieser Verfüllungen verdeutlicht am augenscheinlichsten die Charakteristika der materiellen Kultur von Periode 2: Im Herd selbst liegen vor allem Kochgefäße (1 Dreifußschüssel, 2 Töpfe mit Gebrauchsspuren) vor. In der Aschengrube vor dem Herd ist ein kleines Spektrum an Tafelkeramik mit einer Feinwareschale, einem Sigillatateller und zwei Imitationen von Sigillataschüsseln neben Kochgefäßen samt pompeianisch roter Platte vorhanden.

3. PERIODE 3 (130/140–170/180 N. CHR.) (Taf. 5–12)

3.1 Fundstreuungen/Fundzahlen in den Befunden der Periode 3

Aus 15 der 23 Befundobjekte von Periode 3 liegen Funde vor, darunter aus 13 die signifikanten Formen, NMI 261. Die große Mehrzahl der Befunde beinhaltet weniger als zehn Funde, 15 NMI stammen aus dem Grubenbefund SE 154; ein repräsentatives Spektrum, welches die Aufgabe der Strukturen von Periode 3 indiziert, liegt aus der Verfüllung von Keller SE 78 vor, mit NMI 201. Die Fragmentierung ist unterschiedlich, in der Kellerverfüllung SE 78 befinden sich immerhin 12 Gefäße mit einem Erhaltungsgrad zwischen R25 und R/B50 bzw. R55. Allerdings stehen diese Funde mit guter Erhaltung einer hohen Zahl stark fragmentierter Gefäßteile gegenüber. Anders ist die Situation in den beiden Gruben mit intentional eingegrabenen Vorratsgefäßen, deren Erhaltungsgrad in beiden Fällen gut ist, sieht man von der nunmehr fehlenden Randpartie des Exemplars Taf. 7, 76a/1/1 ab. Funktional zum Vorratsgefäß Taf. 7, 61b/20/1 dürfte der gleichfalls gut erhaltene Deckel Taf. 7, 61b/2/20 gehören (Erhaltungsgrad RW/50), welcher kombiniert mit Ersterem in der Grube SE 61b gefunden wurde.

3.2 Die Periodisierung – Datierungsansätze aufgrund der Befund-/Fundsituationen in Periode 3

Die Befunde der Periode 3 sind durchwegs relativchronologisch eingebunden.

Absolutchronologische Daten liefern Funde aus folgenden Befundobjekten der Periode 3:

Grube SE 154 TS (135–170 n. Chr.).

Keller SE 78 TS (135/145–170 n. Chr.), Imitation italischer Feinware (um 100 n. Chr.), Kniefibel (170/180–220 n. Chr.).

Die Nutzungszeit der Periode 3 im Zeitraum zwischen 130/140 und 170/180 n. Chr. lässt sich aufgrund der Befundabfolgen und der Fundkombinationen erschließen. Die Aufgabe der Strukturen ist durch die Fundvergesellschaftung in der Verfüllung von Keller SE 78 für die Jahrzehnte um 170/180 n. Chr. markiert.

3.3 Das Gefäßrepertoire der Periode 3: Regionale Produkte und Importe (Abb. 112)

Das regionale Spektrum wird in ausgewogenem Maß durch grobkeramische (NMI 118) und feinkeramische (NMI 91) Gefäße repräsentiert. Unter den feinkeramischen regionalen Produkten dominieren solche in RF 5ox (NMI 22) und RF 5red (NMI 40), die grobkeramischen Gefäße sind in der überwiegenden Mehrzahl in RF 4 gefertigt (NMI 69). Die regionale Drehscheibenware wird zu annähernd zwei Drittel durch feinkeramische Gefäße repräsentiert (NMI 78), augenfällig ist der in Relation zu den älteren Befunden deutlich angestiegene Anteil

an grobkeramischen, auf der Drehscheibe gefertigten Gefäßen (NMI 29, hauptsächlich Schüsseln und Deckel). Letztlich ist aber für die Mehrzahl der grob gemagerten, zumeist hohen, geschlossenen Formen die Herstellung mit Handaufbau und Nachdrehen weiterhin am gebräuchlichsten. Der Anteil der Importe am Gesamtgefäßspektrum beträgt 7%.

Becher, Schalen: Die seit Periode 1 stetig zu verzeichnende Rückläufigkeit der Trinkgefäßanteile am Gesamtspektrum gilt auch in Periode 3. Neben den 13 signifikanten Bechern sind noch weitere fünf Gefäßwände von Faltenbechern erwähnenswert, wovon ein Teil mit Überzug und einer mit Überzug und Sandbewurf dekoriert ist. Noch stärker als bei den Bechern zeichnet sich bei den Schalen die fehlende Akzeptanz ab. So erscheint es bemerkenswert, dass keine einzige zeitgenössische Sigillataschale aus dem Fundbestand der Periode 3 beizubringen ist.

Schüsseln, Deckel: Die Bedeutung der Schüsseln im Gefäßrepertoire bleibt bestehen und wird sogar noch verstärkt durch das Auftreten zahlreicher Kochschüsseln, darunter 17 Dreifußschüsseln, aber nur fünf Knickwandschüsseln sowie zwei Schüsseln mit Dreiecksrand. Zeitgleich mit der Zunahme der Kochgefäße ist auch ein vermehrtes Vorkommen der Deckel (NMI 32) zu verzeichnen. Die ausschließliche Präsenz zweier Reibschüsseln, darunter eine dickwandige, zeigt die nach wie vor geringe Akzeptanz dieser Gefäßform, umso bemerkenswerter ist demnach die Feststellung, dass anhand der Fabrikate der beiden Gefäße eine regionale Herstellung erwogen werden könnte. Die Zahl der Tafelkeramik-Schüsseln ist im Spektrum der Periode 3 geringer, zumal annähernd die Hälfte der regionalen Schüsselformen zur Küchenkeramik zählt. Trotz des eingeschränkteren Befunds an Tafelgefäßen zeigt sich dennoch ein ausgewogenes Bild der Verteilung von Traditionellem, Adaptiertem und Importiertem. Die Schüsseln mit eingezogenem Rand sind als das traditionelle Element (NMI 6) zu bewerten, die Imitationen von Sigillata (NMI 11), insbesondere der Typen Drag. 37 und 44, hingegen als Adaptionen von Fremdformen. Der Anteil von tatsächlichen Importen bleibt demgegenüber vergleichsweise gering (NMI 7).

Teller: Erstmals ist im Gefäßrepertoire des Vicus eine höhere Akzeptanz der Teller nicht nur als Tafel-, sondern auch als Kochgeschirr in Periode 3 zu verzeichnen. Neben fünf Sigillataformen der Tafelkeramik liegen zehn regional gefertigte, durchwegs fein gemagerte und engobierte Teller mit eingebogenem Rand 1.1.1 und mit Steilrand 1.2.2 vor, die in drei Fällen aufgrund der sekundären Gebrauchsspuren als Backplatten anzusprechen sind. Hiermit ist unter den offenen Küchengefäßen eine deutliche Verschiebung zugunsten der Teller festzustellen, wobei bis zu einem Drittel der offenen Kochgefäße nunmehr durch Teller repräsentiert ist.

Kannen/Krüge: Die Zahl der Kannen und Krüge bleibt weiterhin gering, die Referenzgruppen deuten auf den ausschließlichen Gebrauch als Tafel- oder Vorratsgefäße hin. Bemerkenswert ist das erstmalige Vorkommen eines Glaskrugs in Periode 3.

Töpfe: Die hohe Zahl der grobkeramischen Gefäße bleibt, gleich Periode 2, bestehen; an fein gemagerten, dem Vorratsbereich zuzuweisenden Töpfen sind ausschließlich 17 nennenswert, die übrigen 88 Belege zählen zu den meist reduzierend gebrannten, groben und durchwegs handaufgebauten/nachgedrehten Produkten. Das Ausformen grobkeramischer Töpfe auf der schnell drehenden Töpferscheibe ist selten nachzuweisen (3 NMI). Jene Töpfe, die als Kochgefäße Verwendung fanden, lassen fallweise noch eine Kammstrichrauung der Oberfläche erkennen; der Erhaltungsgrad der typologisch anhand der Randausformung bestimmbareren Fragmente ist jedoch häufig zu gering, um Aussagen über mögliche Überarbeitungen des zuge-

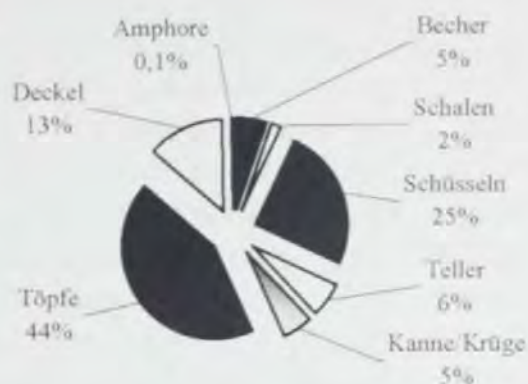


Abb. 112: Saaz, Gefäßformenanteile in Periode 3.

hörigen Gefäßkörpers zu tätigen. Die große Zahl der zu Töpfen gehörigen Wand-/Bodenfragmente mit Kammstrich (261 Frgt.) lässt jedenfalls auf einen hohen Anteil von Gefäßen mit Oberflächenrauung unter den vorliegenden NMI schließen. Von den 18 Töpfen mit noch zugehörigen oder rekonstruierbaren Abschnitten mit Kammstrich weisen acht sekundäre Gebrauchsspuren durch den Kontakt mit (Herd-)Feuer auf. Aufgrund der gepichteten Rand- oder Schulterteile sind 21 signifikante grobtonige Töpfe als Vorratsgefäße bestimmbar; von diesen lässt ein Drittel sekundäre Schmauchung erkennen, was möglicherweise auf Arbeitsschritte beim Herdfeuer vor der Anbringung der Pichung hindeutet.

Transportgefäß: Der einzige Nachweis einer Amphore Dressel 6B liegt aus der Verfüllung SE 78 vor, aus der neben dem signifikanten Henkel auch Wandteile beizubringen sind.

Die am häufigsten belegten lokalen Gefäßtypen sind in Periode 3 folgende (Abb. 113):

Tafelkeramik

- Schüssel, Sigillataimitation (10)
- Schüssel mit eingezogenem Rand (7)
- Teller mit eingebogenem Rand 1.1.1 (7)
- Becher mit ausgebogenem Rand 1 (5)
- Krug mit ausgebogenem Rand (3)

Küchenkeramik

- Dreifußschüssel 7 (8)
- Topf mit ausgebogenem Rand 1.2.2 (16)
- Topf mit ausgebogenem Rand 1.4 (11)
- Topf mit kurzem, ausgebogenem Rand 3 (9)

Die Übereinstimmungen des Typenrepertoires der Periode 3 mit Fundkomplexen der zweiten Hälfte des 2. Jahrhunderts n. Chr. bzw. konkreter der Jahrzehnte zwischen 160 und 180 n. Chr. in der benachbarten südostnorischen Region lassen sich anhand eines Vergleichs mit den zwei gut datierten Grubenbefunden (Gruben 6 und 9) aus dem Vicus von Kalsdorf aufzeigen⁴⁰¹. Auf die Zeitstellung der Verfüllung von Grube 6 im fortgeschrittenen 2. Jahrhundert n. Chr. ist anhand des Beifunds einer Rheinzaberner Sigillata des Cerialis IV und anhand einer Übereinstimmung mit dem Verfüllmaterial der Grube 9 von Kalsdorf zu schließen. Grube 9 weist eine *t.p.q.*-Datierung von 170/171 auf sowie wiederum den Beifund einer frühen Rheinzaberner TS (Reginus I). Die Gegenüberstellung (Abb. 114–116) der Leitformen aus den Verfüllungen der Gruben 6 und 9 von Kalsdorf und des Kellers SE 78 von Saaz (die jüngste Maßnahme in Periode 3) illustriert das Spektrum typischer südostnorischer, im Territorium von Flavia Solva üblicher Gebrauchskeramik der 160er–180er-Jahre des 2. Jahrhunderts n. Chr. Bei diesem aufgrund der Fundvorlagen von Kalsdorf ausschließlich auf die Gesamtheit der lokalen Gebrauchskeramik beschränkten Spektrenvergleich zeigen sich über die formtypologischen Affinitäten hinaus auch Übereinstimmungen bei den Formanteilen, insbesondere in der Gegenüberstellung von SE 78 (Saaz) und Grube 6 (Kalsdorf), also von zwei Komplexen mit hohen Fundzahlen. In beiden Fällen sind als die bevorzugten Gefäßkategorien Schüsseln und Töpfe zu nennen, wohingegen Teller/Backplatten jeweils in geringer Zahl vorkommen.

Die in diesem Vergleich festgestellten Übereinstimmungen von Fundmaterial aus geschlossenen Komplexen in den Vici von Saaz und Kalsdorf verdeutlichen also nicht nur die sehr guten typologischen und somit funktional determinierten Parallelerscheinungen in Südostnoricum, sondern auch die Affinitäten in Hinblick auf die Repräsentanzen der Formen. Diese Formanteile lassen sich bei guter Materialbasis im Sinne von kulturellen Markern interpretieren, wobei das

⁴⁰¹ Pammer 2001, 22 f. Taf. 29–39 (Grube 6); 30 f. Taf. 45–46 (Grube 9) (Kalsdorf).

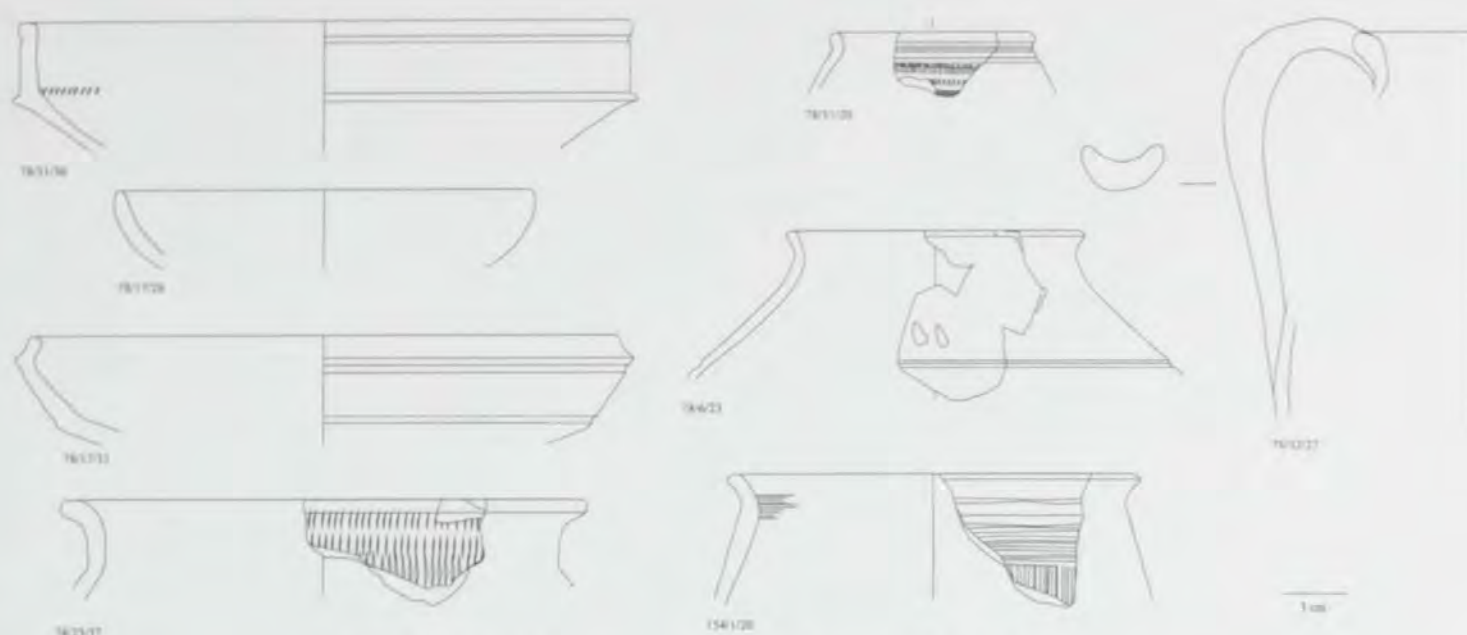


Abb. 113: Saaz, die häufigsten regionalen Gefäßtypen der Periode 3.

Essverhalten bzw. die Kochsitten Auskunft über die mehr oder weniger starke Öffnung einer Gesellschaft für Einflüsse von außen geben. Diese im Rahmen von Interaktionen und im Sinne von Adaptionen feststellbaren Tendenzen sind in Periode 3 in verhaltenem Maß nachzuweisen und werden in Periode 4 deutlicher ersichtlich.

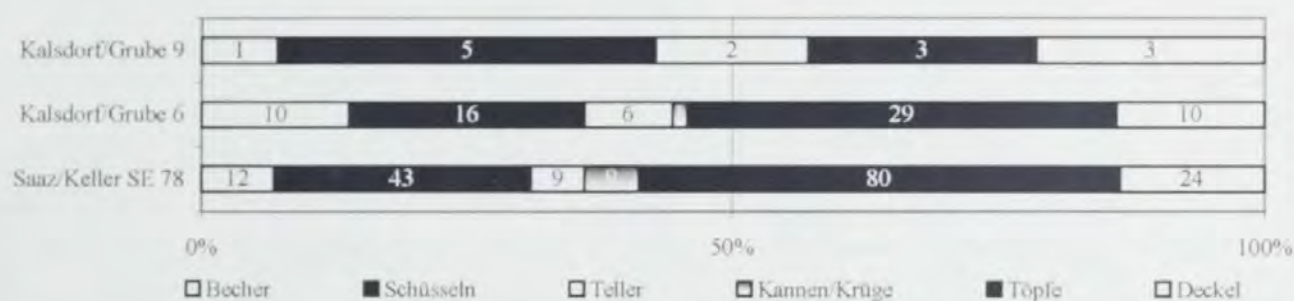
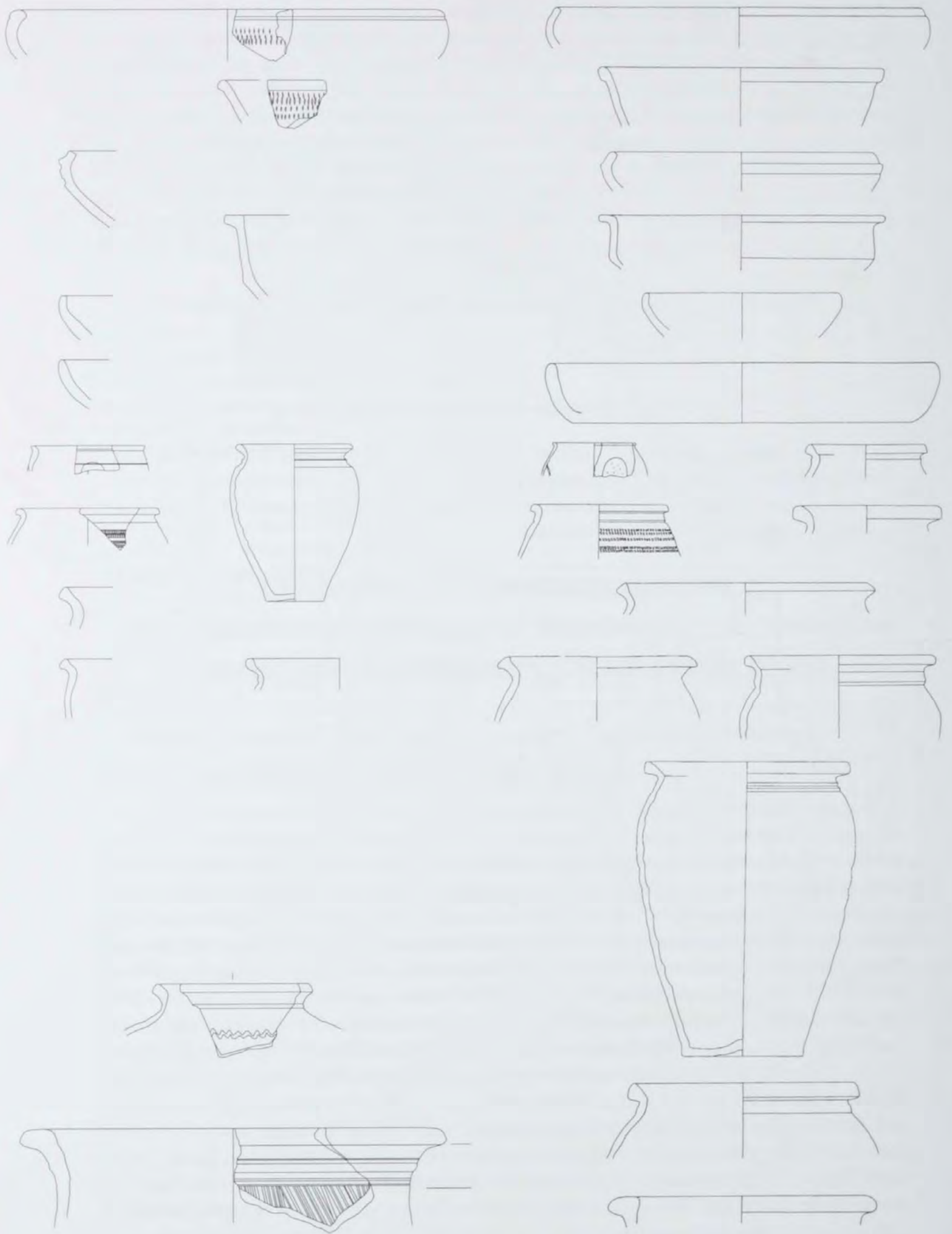


Abb. 114: Gefäßformenanteile der lokalen Gebrauchskeramik in den Gruben 6 und 9 von Kalsdorf und in der Kellerverfüllung (SE 78) von Saaz.

Die Interpretierbarkeit solcher Spektren beschränkt sich jedoch auf geschlossene, nach Möglichkeit materialreiche Fundkomplexe aus Siedlungsgrabungen, was sich letztlich bei einer Betrachtung der vorgelegten Funde aus den Grabungen 2000 auf dem Gipfel des Saazkogels zeigen lässt. Rein typologisch beurteilt, erlaubt dieser Bestand eine Parallelisierung mit dem Spektrum der Periode 3 bzw. der Perioden 3–4 des Vicus von Saaz, sieht man von einem älteren Fund ab⁴⁰². Die geringe Zahl an vorgelegten signifikanten gefäßkeramischen Funden (NMI 38) verdeutlicht bereits die mangelnde Repräsentativität, zumal in dem hier angeführten Vergleich (Abb. 117) diesen NMI 38 der Gipfelgrabung des Jahres 2000 NMI 239 aus der Periode 3 bzw. NMI 1077 der Perioden 3–4 des Vicus Saaz (Grabungen 2003/2004) gegenüberstehen. Festzustellen ist demnach, dass die Gefäßkeramik aus den Gipfelgrabungen zwar in Hinblick auf Typologisches mit den Vicusspektren vergleichbar ist, die Gefäßformenanteile reflektieren jedoch ein außerordentlich ponderiertes Bild, mit einem 42-Prozent-Anteil von Schüsseln und 26% Töpfen. In Hinblick auf den ursprünglichen funktionalen Zusammenhang der Funde aus den Gipfelgrabungen ist festzustellen, dass ein hoher Prozentsatz der Schüsseln als Kochgefäße

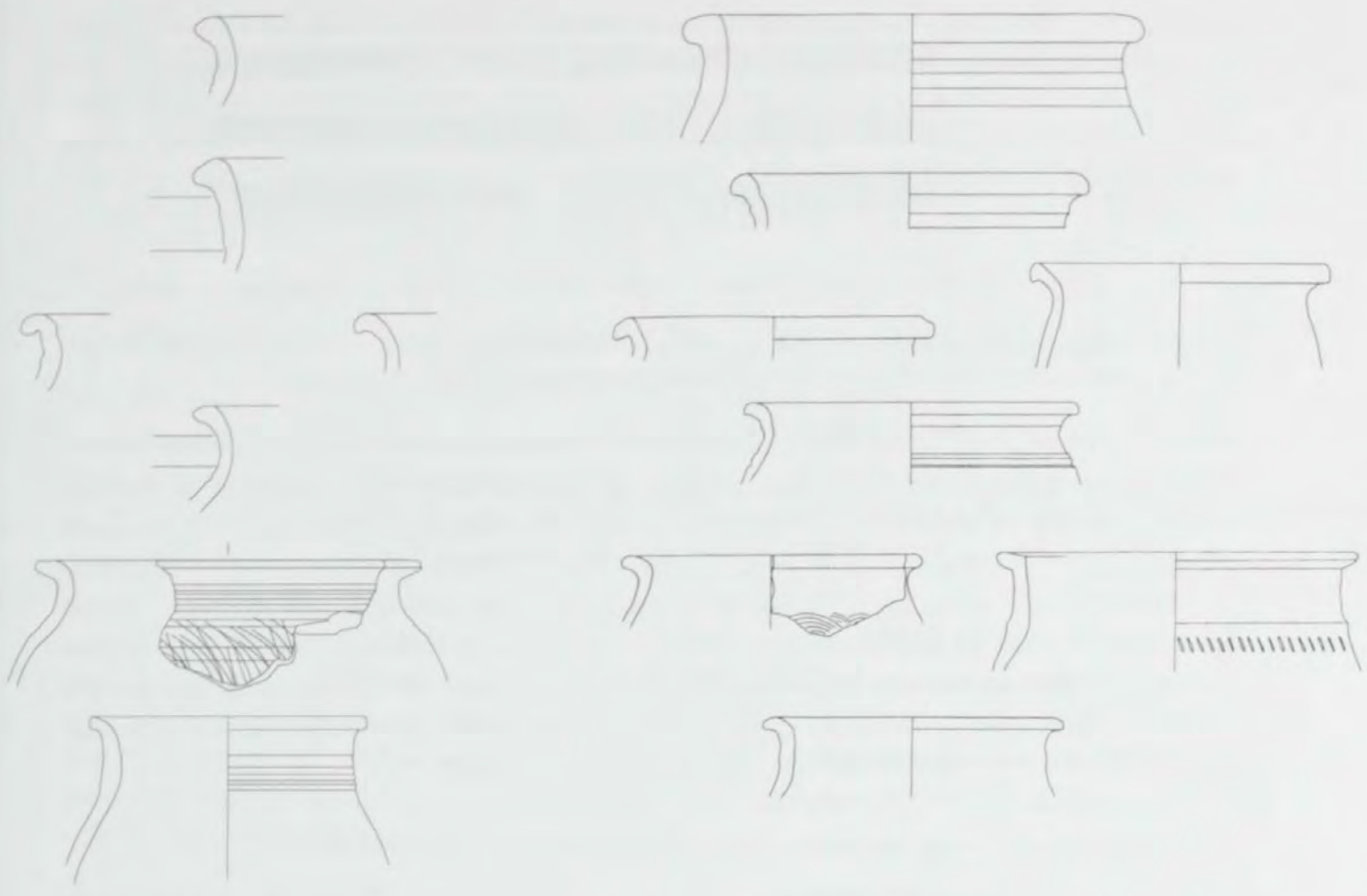
⁴⁰² Lamm 2001, 86 Abb. 32 (Saazkogel, FJ. 2000).



Saaz SE 78

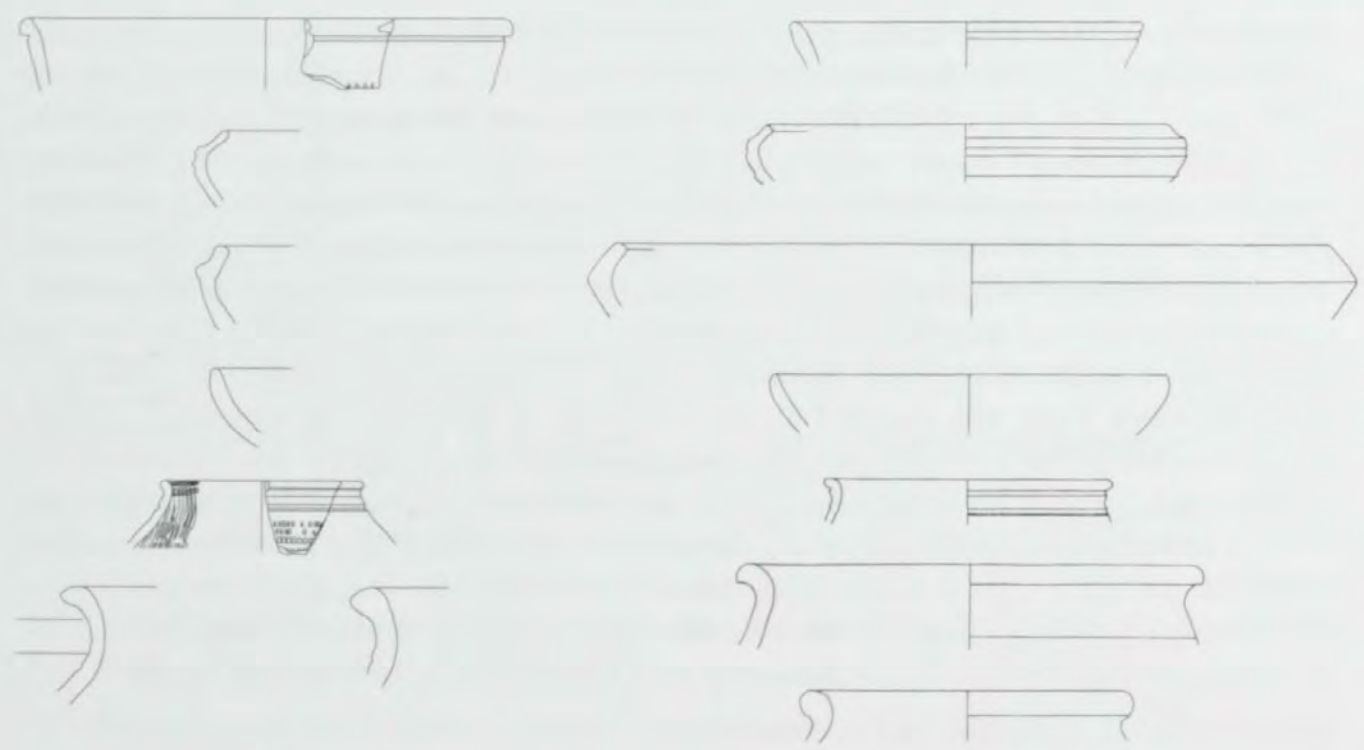
Kalsdorf Grube 6

Abb. 115: Gegenüberstellung der Gebrauchskeramiktypen von Saaz (Kellerverfüllung [SE 78]) und Kalsdorf (Grube 6).



Saaz SE 78

Kalsdorf Grube 6



Saaz SE 78

Kalsdorf Grube 9

Abb. 116: Gegenüberstellung der Gebrauchskeramiktypen von Saaz (Kellerverfüllung [SE 78]) und Kalsdorf (Gruben 6 und 9).

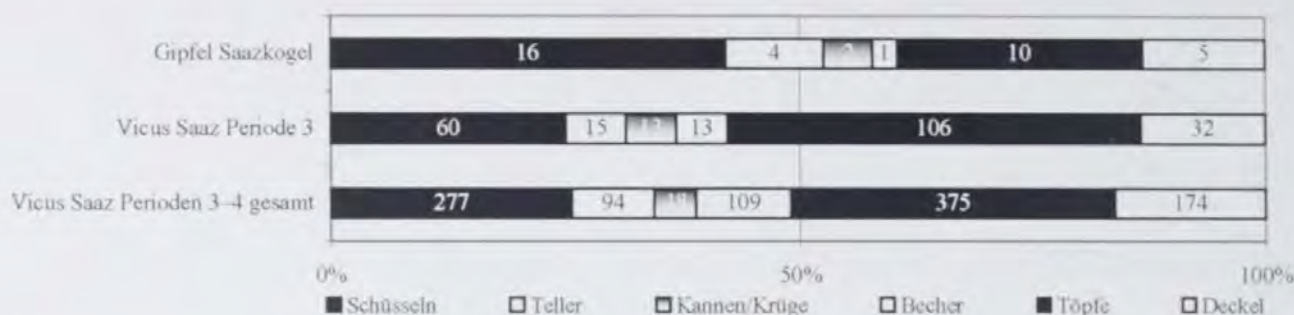


Abb. 117: Gefäßformenanteile der lokalen Gebrauchskeramik in den Vicusbefunden der Periode 3 sowie der Perioden 3-4 insgesamt von Saaz und des Fundbestands der Grabungen 2000 auf dem Gipfel des Saazkogels.

anzusprechen ist, wobei das Vorkommen einer Reibschüssel bemerkenswert ist. Dieser Zusammenhang mit einem Kochbereich ist auch durch ein Eisengerät indiziert, zumal der in der Erstpublikation als „Fischstecher“ angesprochene Fund als Fleischhaken Manning 2 zu rekonstruieren ist, eine Form, die auch in sakralen Kontexten auftritt⁴⁰³.

3.4 Handwerkliche Produktion in Periode 3

Erstmalige Hinweise auf eine handwerkliche Produktion liefern die Webgewichte aus den beiden Grubenbefunden SE 175, SE 179 und SE 181 sowie aus der Kellerverfüllung SE 78. Erwähnenswert ist darüber hinaus das Fragment einer Schlacke aus der Verfüllung SE 78.

3.5 Charakterisierung der materiellen Kultur der Vicani in Periode 3

In Periode 3 ist anhand der geringen Präsenz von Importgütern (5% des Gesamtgefäßspektrums) zwar nur ein sehr eingeschränkter Kontakt mit überregionalen Warenströmen festzustellen, die Adaption von Fremdformen im alltäglichen Gebrauch ist aber dennoch von größerer Bedeutung als in den Vorläuferperioden. So ist beispielsweise erstmals eine Öllampe nachzuweisen und im breit gefächerten Repertoire der Schüsseln des Tafelservices erscheinen vermehrt Imitationen von Sigillataimporten. Zudem ist erstmals die größere Akzeptanz von Tellern festzustellen, die nicht nur als Ess-, sondern auch als Kochgeschirr fungieren. In Hinblick auf die formalen Veränderungen im lokalen Gefäßrepertoire ist ein deutlicher Einfluss aus dem südwestpannonischen Raum zu konstatieren, welcher sich im Gebrauch von Schüsseln mit Dreiecksrand und zweier Topftypen (Topf mit ausgebogenem Rand 1.2.2, Topf mit kurzem, ausgebogenem Rand 3) abzeichnet. Die Aufnahme der erwähnten Topftypen in das lokale Repertoire deutet auf enge Kontakte insbesondere mit den Siedlungszentren Poetovio-Ptuj und Emona-Ljubljana hin. Familienbande zwischen Bewohnern von Poetovio-Ptuj und dem südostnorischen Vicus von Kalsdorf sind anhand einer Grabinschrift aufzuzeigen⁴⁰⁴; solche grenzüberschreitenden Kontakte sind demnach nicht nur im städtischen Zusammenhang⁴⁰⁵, sondern auch in einem Vicusmilieu vorstellbar. Möglicherweise beruhen auf den Interaktionen mit den italisch-pannonischen Nachbarn die verstärkte Akzeptanz der Teller/Backplatten als Gebrauchsgeschirr sowie die regionale Produktion dieser Gefäßgattung, zumal hier ein Einfluss auf die südostnorischen Hersteller durch die Vorbildwirkung der Produktionszentren in Emona-Ljubljana und Poetovio-Ptuj anzunehmen sein könnte. Die Akzeptanz von Fremdformen

⁴⁰³ Djura Jelenko 2004, II ff.; 102 Taf. 6, 44–45, 48–49 (Stari trg); R. Miglbauer, Ein römischer Verwahrfund aus Wels, OÖ, Bayerische Vorgeschichtsblätter 53, 1988, 291 Taf. 42, 1, Kombinationsgerät Schöpflöffel/Fleischhaken (Wels); Burmeister 1998, 218 Taf. 37, 223 (Seebruck); Ch. Schwanzar, Metall-, Glas- und Beinfunde der Grabungen 1984/85, 1995 sowie Altfunde, in: P. Assmann (Hrsg.), Die

römische Straßenstation Gabromagus (Windischgarsten), Studien zur Kulturgeschichte von Oberösterreich 9 (2000) 66 Taf. 14, 107 (Windischgarsten).

⁴⁰⁴ R1St 63: *M. Ulpius Saturnus domu Ulpia Poetovione*; die zweimalige Nennung von Ulpius/-a lässt eine trajanische Datierung vorstellbar erscheinen.

⁴⁰⁵ Groh 1997, 181 ff. (Flavia Solva; Poetovio-Ptuj).

im lokalen Milieu wird durch das Vorhandensein einer Kniefibel deutlich, ein im Vicus Saaz insbesondere aufgrund von Streufunden häufig belegter Typ. Kniefibeln bilden vom 2. bis in die erste Hälfte des 3. Jahrhunderts n. Chr. einen üblichen Bestandteil der südostnorischen Frauentracht, wobei diese als Broschen mittig über der Brust getragen werden⁴⁰⁶. Unter die einfachen Fibeltypen des alltäglichen norischen Gebrauchs sind die kräftig profilierten Fibeln zu reihen, von denen zwei aus Befunden der Perioden 3 bzw. 2–3 vorliegen.

4. PERIODE 4 (170/180–200/230 N. CHR.) (Taf. 12–29; 31, 4a–b. 6)

4.1 Periode 4.1 (170/180–200 n. Chr.) (Taf. 12–26; 31, 4a–b)

4.1.1 Fundstreuungen/Fundzahlen in den Befunden der Periode 4.1

Aus den elf Befunden der Periode 4.1 liegt mit NMI 805 die größte Fundmenge vor. Die Aufbringung der Planierungen (SE 59–61, 66–67, 76 und 82 in S4–5, SE 02 in S1 und SE 4b in S9) ist auf ein kurzfristiges Ereignis zurückzuführen, welches, verbunden mit der Einebnung mehrerer Gebäude, den Bauplatz einer neuen Nutzung in Periode 4.2 zugänglich macht. Die Planierungen sind zugleich großflächig und materialreich, die keramischen Funde sind durchwegs stark fragmentiert, wobei von NMI 724 aus den Planierschichten ausschließlich 20 einen Erhaltungsgrad zwischen R25 und R/B77 aufweisen. Außerhalb der Gebäude dürfte synchron mit den Planierungen der Hausbereiche auch die Einplanierung des Mauerversturzes SE 74 über der Straße und über Strukturen in S9 erfolgt sein, wobei auch hier kleinteiliges Siedlungsmaterial in die Planierung gelangte.

4.1.2 Die Periodisierung – Datierungsansätze aufgrund der Befund-/Fundsituationen in Periode 4.1

Die Planierungen überlagern alle bis Periode 3 relevanten Siedlungsbefunde und markieren somit eine deutliche Zäsur in der Siedlungsentwicklung. Da Befundabschnitte dieser in Periode 4.1 aufgebrachten Schichten durch die auf diesen Verebnungen neuerlich eingerichteten Siedlungsstrukturen superponiert werden, ergibt sich eine gute Einbindung in die Relativchronologie des Platzes.

Absolutchronologische Daten liefern Funde aus folgenden Befundobjekten der Periode 4.1:

- Planierung SE 59 TS (170–250 n. Chr.), Feinware Drexel 1 (120/180 n. Chr.).
- Planierung SE 60 *t.p.q.* 168 n. Chr. (Dp Marcus Aurelius), TS (180–220 n. Chr.), Feinware Drexel 2b (180/200–270/280 n. Chr.).
- Planierung SE 61 TS (170–240 n. Chr.), Trompetenfibel (120–170/180 n. Chr.).
- Planierung SE 66 TS (135–170 n. Chr.; ab 150/200 n. Chr.).
- Planierung SE 67 *t.p.q.* 85/96 n. Chr. (Dp Domitianus), TS (180–250 n. Chr.), Imitationen Feinware Drexel 2b (180/200–270/280 n. Chr.) und Drexel 3b (180–270/280 n. Chr.).
- Planierung SE 76 *t.p.q.* 147/161 n. Chr. (D Antoninus Pius für Faustina II), TS (180–250 n. Chr.), Imitation Feinware Drexel 2b (180/200–270/280 n. Chr.), Kniefibel (ab 130/160 n. Chr.).

4.1.3 Das Gefäßrepertoire aus den Befunden der Periode 4.1 im Vergleich mit jenem der Periode 3 (Abb. 118)

Aus den Befunden der Periode 4.1 liegen an regionalen gefäßkeramischen Produkten NMI 651 vor, an Importen NMI 72. Der Importanteil beträgt somit 10%. Dieser Bestand ist in Hinblick auf die Präsenz der Importe im Gesamtgefäßspektrum mit jenem der Periode 3 annähernd

⁴⁰⁶ Hudeczek 2004, Nr. 22 (St. Johann ob Hohenburg), Nr. 24 (Landscha), Nr. 25, 30 (Seggauberg).

vergleichbar, wo der Importanteil gering ausfällt (7%). Im Unterschied zum Spektrum der Periode 3 ist in jenem der Periode 4.1 ein Überwiegen der grobkeramischen regionalen Produkte gegenüber den feinkeramischen festzustellen, welche weniger als die Hälfte aller Gefäße (rund 318) repräsentieren. Die Fabrikate der feinkeramischen Gefäße sind in der Mehrzahl wiederum in RF 5ox (NMI 112) und RF 5red (NMI 109) gefertigt. Auch bei den grobkeramischen Fabrikaten lässt sich kein Unterschied zum Bestand der Periode 3 erkennen, Gefäße in RF 4 dominieren das Spektrum (NMI 147), gefolgt von solchen in RF 6 (NMI 89). Vergleichbar mit Periode 3 ist auch der Anteil der Grobkeramik an der Drehscheibenware mit rund einem Drittel (NMI 87).

Becher, Schalen: Becher und Schalen nehmen 14% des Gesamtgefäßspektrums von Periode 4.1 und 7% von Periode 3 ein. Bedeutsam ist in Periode 4.1 die Komponente der Becher, wobei für die stark vertretenen Faltenbecher/Becher mit Karniesrand aus regionaler Herstellung möglicherweise die Produkte aus den Töpferzentren in Poetovio-Ptuj als Vorbild dienen. Darüber hinaus werden in seltenen Fällen auch rätische Becher imitiert, wobei die exakte Kopie der Randprofile und des Dekors gute Kenntnisse der Originale von Drexel 1, 2b und 3b voraussetzt. Das Vorkommen Letzterer erstmals in den Planierungen unterscheidet den Fundbestand der Periode 4.1 deutlich von jenem der Periode 3. Auf diesen rätischen Imitationen könnte auch die regionale Ausformung der Becher mit abgesetztem Rand fußen, die mit kugelbauchiger Kontur als typische südostnorische Variante auftreten. Eine weitere Unterscheidung vom Fundbestand der Periode 3 ergibt sich durch das Auftreten von drei Räucherschalen ausschließlich in den Kontexten der Periode 4.1. Sigillata- und Glasgefäße spielen im Gesamtspektrum eine unbedeutende Rolle.

Schüsseln, Deckel: Schüsseln nehmen 25% des Gesamtgefäßspektrums der Perioden 3 und 4.1 ein. In Periode 4.1 sind weniger Koch- als Speisegeräße vorhanden, NMI 82:NMI 99. Unter den signifikanten Typen der Kochschüsseln befinden sich hauptsächlich Dreifußschüsseln (70%), wohingegen Knickwandschüsseln zwar ähnlich wie in Periode 3 vorhanden, jedoch keineswegs von größerer Bedeutung sind. Bemerkenswert ist das ausschließlich in den Planierungen der Periode 4.1 vermehrte Auftreten von Reibschüsseln, welche durchwegs alle in einem Fabrikat (RF 10) und zum überwiegenden Teil in einer typologischen Ausformung (Reibschüssel ohne Innenabsatz) auftreten. Die Zahl der grobtonigen Deckel entspricht etwa jener der Kochschüsseln, des Weiteren sind eine Reihe feintoniger Deckel zu verzeichnen. Das Typenrepertoire der regionalen Schüsseln des Tafelservices ist gut vergleichbar mit jenem aus den Befunden der Periode 3, am häufigsten sind die Schüsseln mit eingezogenem Rand. Der Anteil der Sigillataschüsseln im Repertoire der Tafelgefäße ist höher als in Periode 3 und beträgt 27%. Zudem ist das frequente Vorkommen von Importen aus Rheinzabern ein deutliches Unterscheidungskriterium bei der Beurteilung der Fundbestände aus den Perioden 3 und 4.1.

Teller: Teller nehmen 10% des Gesamtgefäßspektrums von Periode 4.1 und 6% von Periode 3 ein. Ein Drittel der in Periode 4.1 vorhandenen Teller gehört ausschließlich dem Tafelservice

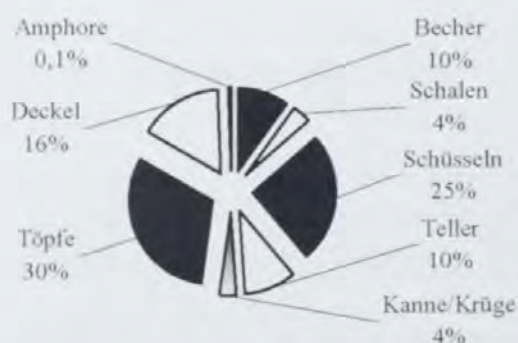


Abb. 118: Saaz, Gefäßformenanteile in Periode 4.1

an, darunter befinden sich in der Mehrzahl Imitationen von Sigillatatellern. Die Zahl der tatsächlichen Importgefäße in Sigillata ist zwar ähnlich hoch wie jene der Imitationen; allerdings ist ausschließlich für NMI 5 ein bis in Periode 4.1 reichender Gebrauch anzunehmen, zumal es sich bei NMI 7 um Altstücke handelt. Die bereits in Periode 3 feststellbare Tendenz, vermehrt Teller zum Backen zu verwenden, lässt sich anhand der Belege aus den Planierungen der Periode 4.1 noch deutlicher

herausstreichen. Zwei Drittel aller Tellerfunde repräsentieren nunmehr flachbodige, als Backplatten geeignete Exemplare, welche zu 50% auch die entsprechenden Gebrauchsspuren mit verbrannter oder geschmauchter Außenwand aufweisen. Im Unterschied zur Periode 3 ist im Fundrepertoire der Periode 4.1 eine stärkere Tendenz zu Steilrandtellern und ein häufigeres Vorkommen der Teller mit eingebogenem Rand 1.2 zu konstatieren.

Kannen/Krüge: Kannen/Krüge nehmen 4% des Gesamtgefäßspektrums von Periode 4.1 und 5% von Periode 3 ein, der Fundanfall bleibt somit annähernd gleich.

Töpfe: Töpfe repräsentieren 30% des Gesamtgefäßspektrums von Periode 4.1 und 44% von Periode 3. Die feintonigen Gefäße repräsentieren im Spektrum der Periode 4.1 rund ein Viertel aller Töpfe und sind somit vergleichsweise häufiger als in Periode 3 anzutreffen, wo rund 16% Feintoniges vorhanden ist. Die Anteile der Drehscheibenware sind mit jenen in Periode 3 (NMI 38) vergleichbar, wobei ein unwesentlich höherer von grobtoniger Scheibenware (NMI 9) auftritt. Im Unterschied zum Repertoire der Periode 3 ist in Periode 4.1 eine sehr deutliche Gewichtung zugunsten zweier dominierender Typen erkennbar, welche annähernd 50% aller grobtonigen Töpfe repräsentieren: 26% die Töpfe mit ausgebogenem Rand 1.2.2 (NMI 45), 23% jene mit kurzem, ausgebogenem Rand 1, 1.1 und 3 (NMI 40). In Periode 3 ist deren Gesamtanteil am Spektrum der grobtonigen Töpfe mit 32% geringer als in Periode 4.1. Wie bereits in Hinblick auf den erstmaligen bedeutenderen Nachweis dieser Typen in Periode 3 erwähnt, ist davon auszugehen, dass der formale Entwicklungsschritt mit einer deutlichen Tendenz zu annähernd trichterartig ausladenden, einfachen Randprofilen auf einer verstärkten Interaktion mit dem südwestpannonischen Raum fußen dürfte.

Die Beobachtungen zu den Gefäßen mit Kammstrichrauung bzw. mit Pichung stimmen mit jenen der Periode 3 überein. An 25 signifikanten Formen ist eine Pichung der Rand- bzw. Schulterpartie zu beobachten, wobei eine sekundäre Schmauchung durch Feuerkontakt für diese Gefäße in geringerem Maße festzustellen ist, als für die Gefäße mit Kammstrichrauung ohne Pichung, welche als Kochgefäße anzusprechen sind. Für NMI 16 ist diese Funktion gesichert, bei zahlreichen weiteren Gefäßen ist aufgrund des derzeitigen Erhaltungsgrads die Zuweisung der kleinteiligen Fragmente von Wand-/Bodenteilen mit Kammstrich (876 Frgt.) zwar nicht mehr konkret möglich, jedoch zu vermuten.

Transportgefäße: Die Zahl der Amphorennachweise ist gering, vier signifikante Funde indizieren die Präsenz von Dressel 2-4, Beltrán 2 und Dressel 6B.

Die am häufigsten belegten lokalen Gefäßtypen sind in Periode 4.1 folgende (Abb. 119):

Tafelkeramik

Imitationen, Sigillata (17)

Schüssel mit eingezogenem Rand (19)

Krug mit ausgebogenem Rand (4)

Becher/Faltenbecher mit Karniesrand (19)

Becher mit abgesetztem Rand (6)

Küchenkeramik

Dreifußschüssel 7 (19)

Teller mit eingebogenem Rand 1.1.1 (14)

Teller mit eingebogenem Rand 1.2 (10)

Reibschüssel ohne Innenabsatz (6)

Topf mit ausgebogenem Rand 1.2.2 (45)

Topf mit ausgebogenem Rand 1.4 (23)

Topf mit kurzem, ausgebogenem Rand 1, 1.1 und 3 (40)

Trotz einer Reihe von Übereinstimmungen mit dem Spektrum der Periode 3 ergeben sich deutliche Unterschiede zwischen Periode 3 und 4.1 aufgrund folgender Kriterien: In Hinblick auf

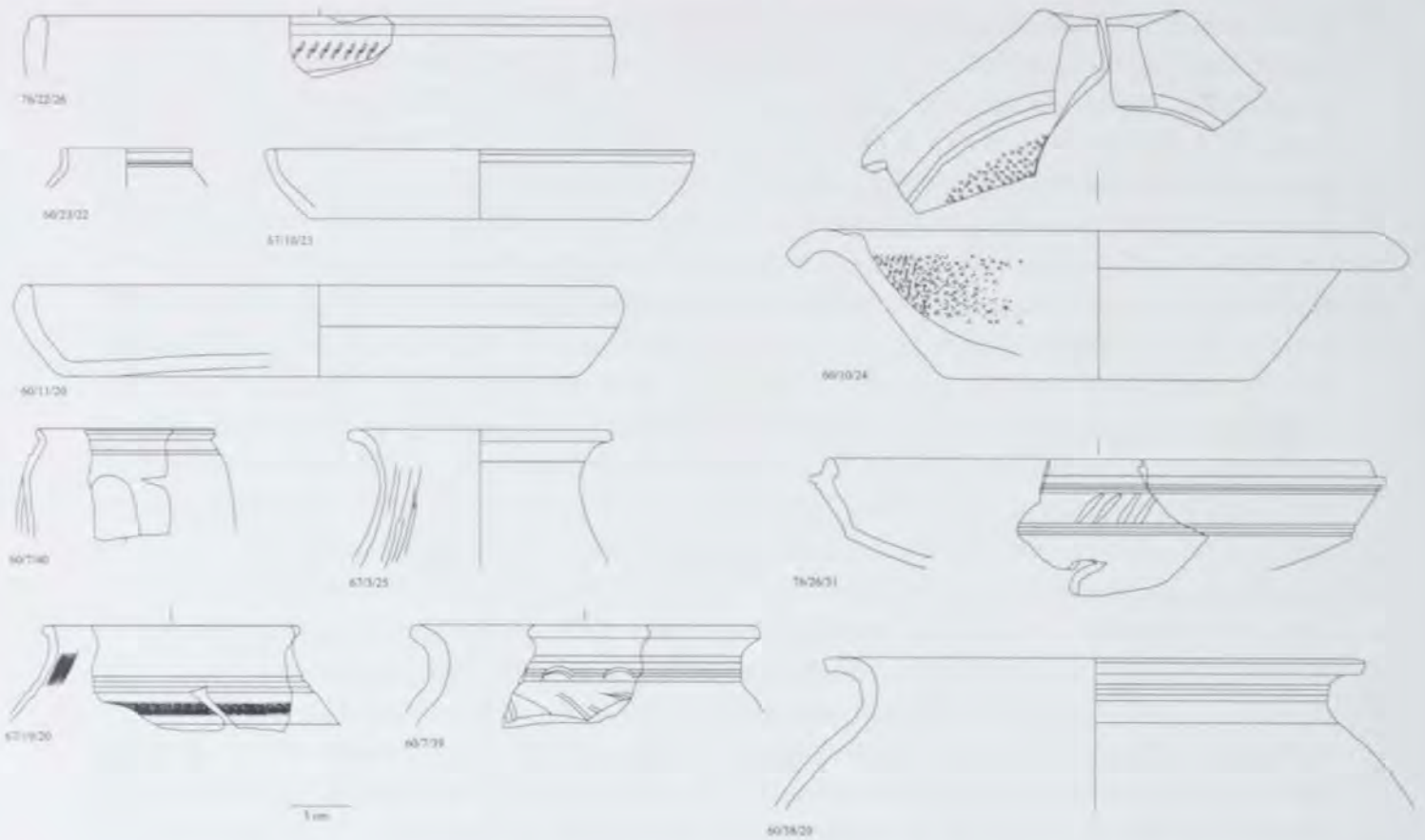


Abb. 119: Saaz, die häufigsten regionalen Gefäßtypen der Periode 4.1.

die Importgefäße ist ausschließlich in Periode 4.1 ein signifikanter Anteil von Rheinzaberner Produkten festzustellen. Zudem ist aufgrund der Imitationen von rätischer Ware anzunehmen, dass, im Unterschied zur Vorläuferperiode, die späten Ausformungen von Drexel 2b und 3b erstmals in Periode 4.1 bekannt sind. Das Typenrepertoire der Teller, welche als Backplatten fungieren, ist reichhaltiger als in Periode 3; zugleich nehmen auch die Nachweise jener Teller zu, deren Gebrauchsspuren auf die tatsächliche Verwendung als Backplatten schließen lassen. Die verstärkte Übernahme mediterraner Kochsitten in der regionalen Küche belegen zudem die ausschließlich im Spektrum der Periode 4.1 feststellbaren signifikanten Anteile von Reibschüsseln. Ähnlich wie bei spezifischen Becherformen (mit Karniesrand) und bei den Tellern könnte der verstärkte Einfluss aus dem Bereich der Produktionszentren von Poetovio-Ptuj diese Adaptionen im lokalen Milieu bewirken. Ein solcher Einfluss dürfte insbesondere auch aufgrund der Verschiebungen bei den Typenanteilen der Töpfe wirksam sein, zumal die in Periode 4.1 das Spektrum dominierenden Formen einen engen Bezug zu Südwestpannonien erkennen lassen. Sieht man von diesen hervorzuhebenden signifikanten Funden ab, welche als besondere Charakteristika im Spektrum der Periode 4.1 auftreten, sind bei einer Gegenüberstellung der Gesamtgefäßspektren von Periode 3 und 4.1 vor allem drei Gesichtspunkte bemerkenswert: ein gleich bleibender Anteil bei den Schüsseln, eine Zunahme bei den Bechern und Tellern und eine Abnahme der Töpfe in Periode 4.1. Aufgrund aller oben genannten Unterscheidungskriterien kann nicht davon ausgegangen werden, dass die Planierungen der Periode 4.1 unmittelbar nach der Aufgabe der Befunde der Periode 3 erfolgen. Das Differieren der Gesamtspektren und die absolut datierbaren Rheinzaberner Sigillaten und rätischen Feinwareimitationen legen für das Material der Periode 4.1 einen jüngeren Zeitansatz nahe. Die in signifikanten Mengen vorhandenen Reibschüsseln sowie die vermehrten Nachweise der Teller/Backplatten lassen darüber hinaus auf Variationen im funktionalen Zusammenhang schließen. Daraus ergibt sich letztlich der Schluss, dass das einplanierte Material nicht mit dem dokumentierten Gebäude 1 der Peri-

ode 3 in unmittelbarem Zusammenhang steht, sondern aus anderen Siedlungszusammenhängen, nach einer Zäsur des vor Ort erfassten Befunds, eingebracht ist.

4.2 Periode 4.2 (200–230 n. Chr.) (Taf. 26–29; 31, 6)

4.2.1 Fundstreuungen/Fundzahlen in den Befunden der Periode 4.2

Aus den elf Befunden der Periode 4.2 liegen NMI 191 vor, davon NMI 164 Gefäßkeramik. Die Gefäßfragmente sind sehr kleinteilig, wobei der größtmögliche Erhaltungsgrad mit R25 erreicht wird. In allen Befunden ist Altmaterial in kleineren Komponenten vorhanden, die Verfüllung der Grube (SE 129) ist allerdings zum überwiegenden Teil mit sekundär aus älteren Befunden disloziertem Abfall vermengt.

4.2.2 Die Periodisierung – Datierungsansätze aufgrund der Befund-/Fundsituationen in Periode 4.2

Die Befunde der Periode 4.2 sind alle in die Planierschichten der Periode 4.1 eingetieft und stellen zugleich die jüngsten antiken Baumaßnahmen des Befundplatzes dar.

Absolutchronologische Daten liefern Funde aus folgenden Befundobjekten der Periode 4.2:

Grube SE 128 Imitation rheinischer Ware (ab 200/220 n. Chr.).

Grube SE 129 *t.p.q.* 147/161 n. Chr. (S Antoninus Pius für Faustina II), TS (180–250 n. Chr.), rheinische Ware (ab 200/220 n. Chr.).

Brunnen SE 131 TS (ab 150/200 n. Chr.).

Eine Datierung der Befunde von Periode 4.2 in die ersten Jahrzehnte des 3. Jahrhunderts n. Chr. indizieren die Vorkommen der rheinischen Feinware und deren Imitation. Eine Überlagerung durch spätantike Baubefunde ist nicht festzustellen.

4.2.3 Das Gefäßrepertoire der Periode 4.2 (Abb. 120)

Aus den Befunden der Periode 4.2 liegen an regionalen gefäßkeramischen Produkten NMI 152 vor, an Importen NMI 12. Der Importanteil ist somit stärker rückläufig als in Periode 4.1 und entspricht Periode 3 mit 7%. Im Unterschied zur Periode 4.1 setzt sich das regionale Gefäßrepertoire in Periode 4.2 hauptsächlich aus feintonigen, zumeist reduzierend gebrannten Gefäßen zusammen (NMI 79). Die häufigsten Fabrikate repräsentieren RF 5red (NMI 38) sowie RF 9 und RF 5ox (NMI 17 bzw. 15). Die grobtonigen Gefäße (NMI 65), welche nunmehr 45% des Spektrums der regionalen Gefäße ausmachen, sind wie in den Vorläuferperioden hauptsächlich in RF 4 gefertigt. Aufgrund der hohen Anteile der feintonigen Gefäße liegen auch die Nachweise der schnell gedrehten Töpferwaren vergleichsweise häufig vor; rund 60% der signifikanten Belege sind auf der schnell drehenden Scheibe gefertigt, darunter auch so mancher grobtonige (NMI 17).

Becher, Schalen: Die mit 4% im Repertoire vertretenen Schalen sind alle als Altstücke anzusprechen. Bei den vergleichsweise häufig belegten Bechern fällt das völlige Fehlen der Becher mit Karniesrand auf, was möglicherweise eine Abkehr von den im 2. Jahrhundert n. Chr. beliebten Produkten andeutet. Als zeitgenössische Produkte sind sicherlich die Becher mit abgesetztem Rand zu bewerten, welche in Anlehnung an die späten rätischen Feinwareprodukte hergestellt werden. Die

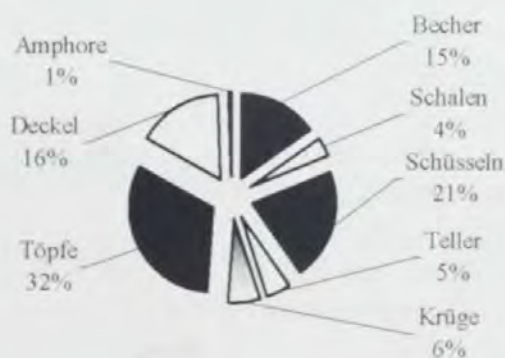


Abb. 120: Saaz, Gefäßformenanteile in Periode 4.2.

häufig vertretenen Becher mit abgesetztem Rand dürften gleichfalls als zeittypisch zu bewerten sein, zumal diese durch immerhin drei Exemplare in der Verfüllung der Grube (SE 84) auftreten. Am bemerkenswertesten sind freilich die Nachweise der rheinischen Feinware, belegt durch ein Importgefäß und eine regionale Imitation.

Schüsseln, Deckel: Die Verteilung von Koch- und Tafelgefäßen fällt zugunsten Letzterer aus (NMI 15:NMI 20) und entspricht annähernd jener der Periode 4.1. Die Dreifußschüsseln sind weiterhin die am häufigsten belegten Kochschüsseln, wobei im Rahmen des zahlenmäßig eingeschränkten Spektrums der Typ Dreifußschüssel 1/3 bzw. 3 am frequentesten vorliegt (NMI 4). Die Vorkommen der grobtonigen Deckel entsprechen weitestgehend jenen der Kochschüsseln. Als Nachklang auf das frequente Vorkommen der Reibschüsseln in den Planierungen der Periode 4.1 ist der typologisch und herstellungstechnisch vergleichbare Fund aus SE 84 erwähnenswert. Unter den Schüsseln der Tafelkeramik sind wie in allen früheren Perioden die Schüsseln mit eingezogenem Rand am häufigsten.

Teller: Trotz des zahlenmäßig wenig bedeutenden Spektrums erscheint es doch erwähnenswert, dass, abgesehen von sekundär verlagerten padanischen Produkten, keine Importteller auftreten und dass es auch keinerlei Nachweise von Imitationen solcher Importe in Periode 4.2 gibt. Die regionalen Produkte zählen alle zu den flachbodigen Tellern, welche auch als Backplatten Verwendung finden können, und treten ausschließlich in zwei Typen auf, wobei die zeitgenössische Verwendung des Tellers mit Steilrand 1.2.1 sowohl durch den gut erhaltenen Fund in der Herdstelle (SE 127) als auch durch ein kleinteiliges Fragment in der Verfüllung des Brunnens (SE 131) indiziert ist. Das einzige Exemplar mit den spezifischen Gebrauchsspuren der Backplatten ist sodann auch das Exemplar aus dem Herd SE 127.

Krüge: Der Anteil der Krüge am Gefäßrepertoire ist um ein Geringes größer als in Periode 4.1, bei den Gefäßen handelt es sich durchwegs um feintonige, oxidierend oder reduzierend gebrannte Gefäße.

Töpfe: Die einleitend erwähnte Besonderheit, dass feintonige Töpfe im Spektrum überwiegen, zeigt sich naturgemäß auch bei der Gewichtung des Typenrepertoires, wobei der wohl für die Vorratshaltung bestimmte Topf mit ausgebogenem Rand 1.4, der traditionsreichste seit dem Siedlungsbeginn belegte Typ, in Periode 4.2 am häufigsten von allen Topftypen vorkommt. Im grobkeramischen Spektrum hat das für Periode 4.1 Gesagte Gültigkeit, wobei in verstärktem Maß Töpfe mit kurzem, ausgebogenem Rand zu beobachten sind.

Transportgefäße: Um einen sekundär verlagerten Fund handelt es sich bei dem Nachweis einer Dressel 6B-Amphore in Grube SE 84.

Die am häufigsten belegten lokalen Gefäßtypen sind in Periode 4.2 folgende (Abb. 121):

Tafelkeramik

- Becher mit abgesetztem Rand (3)
- Becher mit ausgebogenem Rand 1 (4)
- Becher mit Steilrand und Innenabsatz 1.1 und 1.2 (5)
- Schüssel mit eingezogenem Rand (4)

Küchenkeramik

- Teller mit eingebogenem Rand 1.1.1 (4)
- Teller mit Steilrand 1.2.1 (2)
- Dreifußschüssel 1/3 und 3 (4)
- Topf mit ausgebogenem Rand 1.4 (7)
- Topf mit kurzem, ausgebogenem Rand 1.1, 1.2 und 3 (8)
- Topf mit ausgebogenem Rand 1.2.2 (6)

Die hohe Dominanz der Töpfe mit ausgebogenem Rand 1.2.2 ist ein spezifisches Kriterium insbesondere der Periode 4 von Saaz, welches offenbar auch in anderen benachbarten Fundorten

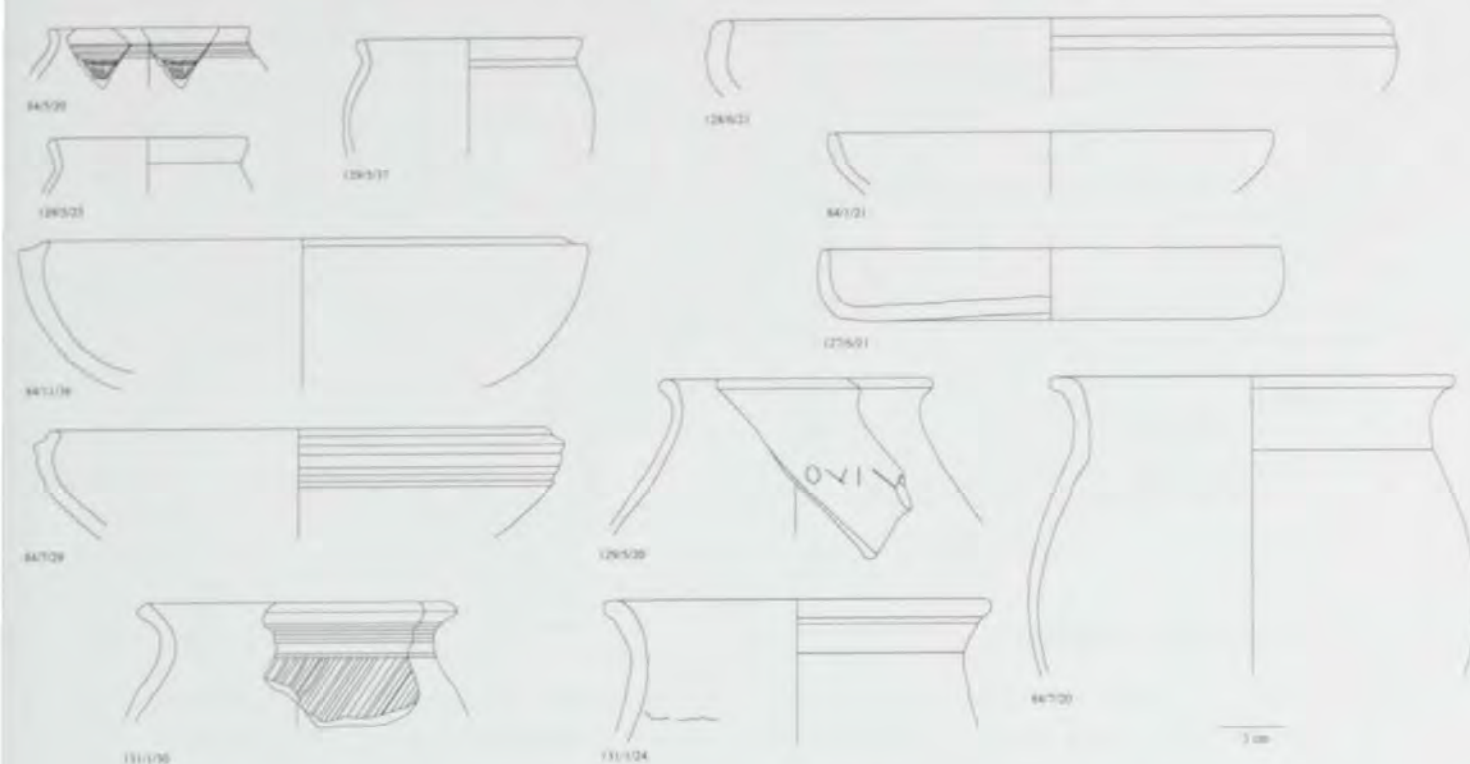


Abb. 121: Saaz, die häufigsten regionalen Gefäßtypen der Periode 4.2.

von Bedeutung ist, so etwa in St. Martin an der Raab. Im Gesamtspektrum des Siedlungsmaterials von St. Martin an der Raab, einem (vermutlichen) Vicus 24 km von Saaz entfernt, lässt das besonders häufige Vorkommen ebendieses Typs darauf schließen, dass ein beträchtlicher Anteil der Gefäßkeramik ursprünglich aus Zusammenhängen stammt, welche zeitgleich mit Periode 4 von Saaz anzusetzen sind. Eine Betrachtung der Gesamtgefäßvorkommen beider Fundorte ergibt in weiten Bereichen eine Übereinstimmung bei den Formanteilen (Abb. 122), die besten Vergleichsmöglichkeiten bieten Töpfe (34%), Schüsseln (24%, 27%), Teller (8%) und Deckel (15%); im Unterschied zu Saaz ist der Anteil der Amphoren in St. Martin an der Raab höher (1%, 5%). Die häufigsten regionalen Gefäßkeramiktypen der Perioden 4.1 und 4.2 von Saaz sind durchwegs auch in St. Martin an der Raab gut belegt (s. unten). Besonders augenfällig ist in diesem Zusammenhang gleichwohl das Fehlen von Dreifußschüsseln 7 in St. Martin an der Raab, zumal dieser Typ zwischen Solva und Saaz sowie Kapfenstein, mit Spitzen in Kalsdorf und Gleisdorf, regional weit verbreitet ist. Die Funde der Dreifußschüssel 7 in Saaz markieren aufgrund des Vorhandenseins der für Gleisdorf typischen Produkte mit dekorierten Wänden das Absatzgebiet dieses Herstellungszentrums; eventuell ist das Fehlen der Dreifußschüsseln 7 in St. Martin an der Raab auf einen anderen Versorgungsradius zurückzuführen. Dies zeigt sich in Hinblick auf die Dreifußschüsseln deutlich bei Typ 1/3, der in Saaz und St. Martin an der Raab mit vergleichbarer Häufigkeit vorkommt, hingegen in Gleisdorf in wesentlich geringerem Maß aufscheint und abseits des Raabtals von keinerlei Bedeutung ist.

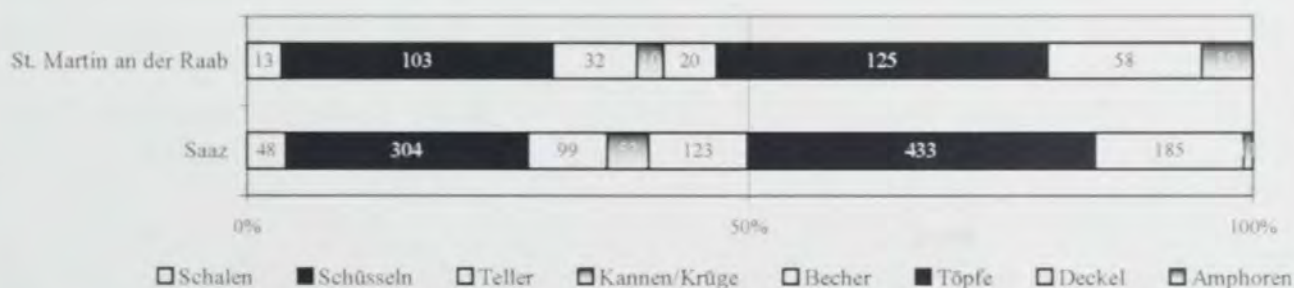


Abb. 122: Gefäßformenanteile im Gesamtspektrum der Siedlungsgrabungen von Saaz und St. Martin an der Raab.

Tafelkeramik	Saaz Periode 4.1	Saaz Periode 4.2	St. Martin an der Raab
Schüssel mit eingezogenem Rand	19	4	6
Becher/Faltenbecher mit Karniesrand	19	10	4
Becher mit abgesetztem Rand	6	3	1
Becher mit ausgebogenem Rand I	6	4	3
Becher mit Steilrand und Innenabsatz 1.1 und 1.2	3	5	4
Küchenkeramik			
Dreifußschüssel 1/3	4	3	6
Dreifußschüssel 7	19	1	-
Teller mit eingebogenem Rand 1.1.1	14	4	2
Teller mit eingebogenem Rand 1.2	10	-	4
Teller mit Steilrand 1.2.1	5	2	1
Reibschüssel ohne Innenabsatz	6	1	4
Topf mit ausgebogenem Rand 1.2.2	45	6	37
Topf mit ausgebogenem Rand 1.4	23	7	1
Topf mit kurzem, ausgebogenem Rand 1 und 3	40	8	11

4.3 Graffiti auf Gefäßkeramik (Abb. 123)

Die große Mehrzahl der Gefäße mit sekundären Ritzungen stammt aus den Fundbeständen der Periode 4⁴⁰⁷, auch sind ausschließlich aus diesen stratifizierten Kontexten Namen- und Warenangaben beizubringen. Aus älteren Kontexten in Befunde der Periode 4 verlagerte Gefäßteile (italische Sigillaten) weisen zwei Namensreste auf; das Fragment auf der Außenwand könnte *MAT*[- - -], also beispielsweise Mateio oder Maturus gelesen werden (Abb. 123, 74/6/1)⁴⁰⁸, auf dem Boden ist ein offenbar kurzer Name mit der Endung [- - -]NVS oder [- - -]XVS zu lesen (Abb. 123, 66/19/1). Auf dem Boden einer mittelgallischen Sigillataschale ist *PL* angegeben (Abb. 123, 59/6/1), eventuell das Kürzel für Placidus/Placida⁴⁰⁹. Auf dem regional hergestellten Deckel ist der auch auf dem Magdalensberg überlieferte Name *CILO* zu lesen (Abb. 123, 67/8/20)⁴¹⁰. Der Streufund eines formtypologisch vermutlich Periode 4 zuzuweisenden Tellers ist mit einem unvollständig erhaltenen Namen versehen, welcher eventuell ähnlich dem pannonischen Enna oder dem norischen Elvia oder Elvima lauten könnte (Abb. 123, 1/27/20)⁴¹¹. Ein Vorratsgefäß ist mit der Inhaltsangabe *OVI V*[- - -] beschriftet (Abb. 123, 129/5/20). X-Zeichen sind auf zwei Gefäßen angebracht, einem Teller und einer Dreifußschüssel. Nicht näher bestimmbare Marken sind darüber hinaus auf vier Gefäßen der Periode 4 und zwei der Periode 3 festzustellen.

4.4 Die Gefäßkeramik aus dem Gräberfeldareal (Taf. 30)

Aus dem untersuchten Abschnitt des Gräberfelds liegen einige wenige signifikante römische Gefäßkeramikfunde vor, welche durchwegs sekundär umgelagert als Verfüllmaterial von spätantiken Gruben in den Boden gelangten. Die spätantike Zeitstellung dieser Maßnahmen wird durch die in diesen Grubenbefunden vorhandene Keramik (Inv. 27c/7, 27b), die Befundsituation mit Überlagerungen und die im Unterschied zu anderen Fundkontexten dieses Areals fehlende Kombination mit Neuzeitkeramik (z. B. SE 26/oberste Lage) indiziert. Da das Typenrepertoire und Spezifika der Herstellung (Grobkeramik auf schnell drehender Scheibe, horizontaler Kammstrich) auf eine Zuweisung der meisten Funde zur Periode 4 schließen lassen, sei an dieser Stelle darauf hingewiesen, dass die ursprünglich wohl als Grabkeramik deponierten Gefäße ein sehr eingeschränktes Repertoire regionaler Herkunft ohne Importanteil reflektieren. Die Gefäßformen verteilen sich wie folgt: Töpfe (6), Becher (3), Kannen (2), Deckel (2), Schüssel (1), Teller (1).

⁴⁰⁷ NMI II; Periode 4. NMI 2: Periode 3. NMI 1: Streufund.

⁴⁰⁸ Hainzmann 2001, 338; Hainzmann 1998, 74.

⁴⁰⁹ OPEL III, 144.

⁴¹⁰ OPEL II, 56.

⁴¹¹ OPEL II, 117; Hainzmann 1998, 77 Tab. 4.

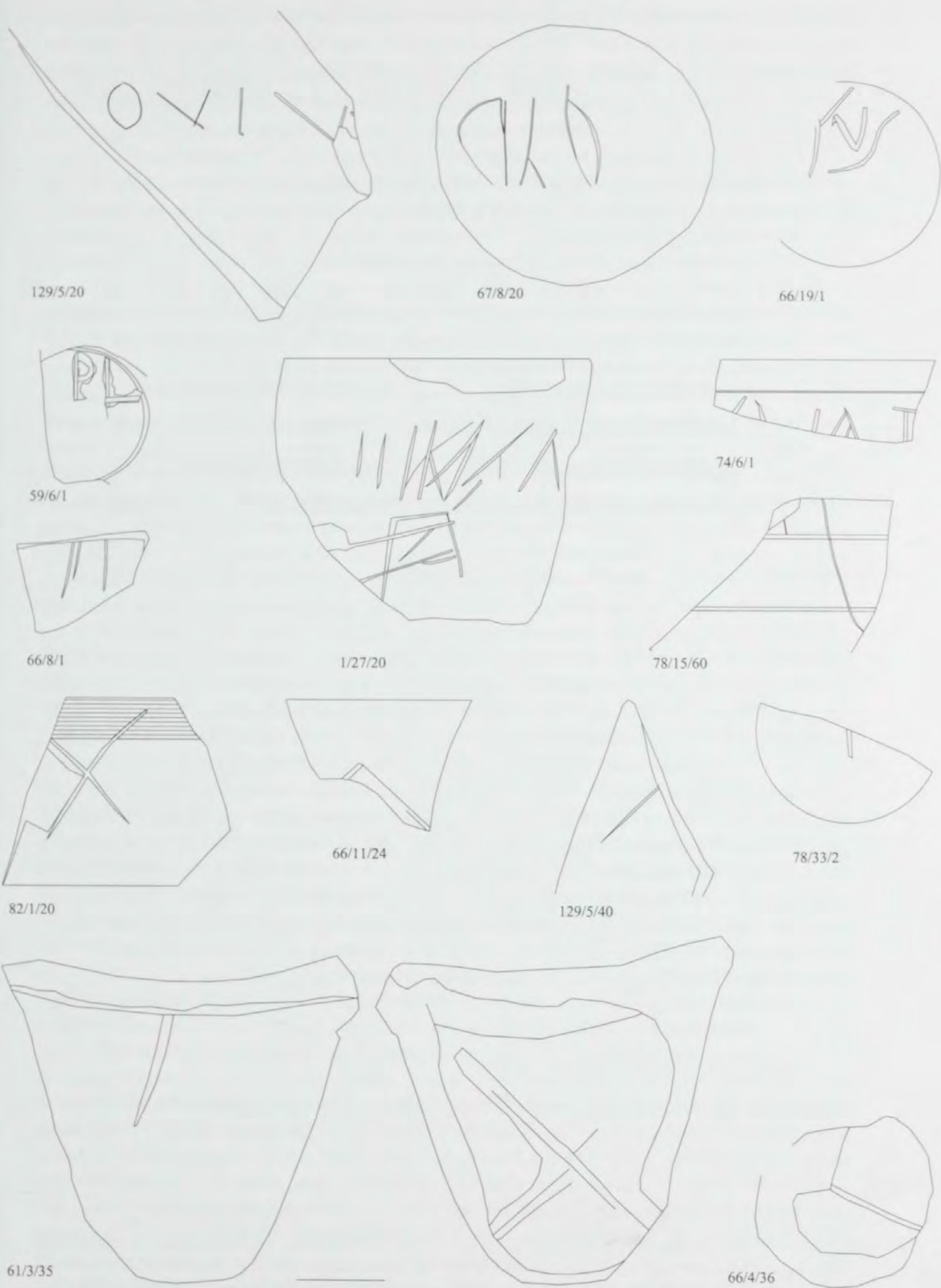


Abb. 123: Saaz, Graffiti auf Gefäßkeramik. M. 1:1.

4.5 Charakterisierung der materiellen Kultur der Vicani in den Perioden 4.1 und 4.2

Da anhand der Formanteile in den Gesamtspektren der Gefäßkeramik aus den Befunden der Periode 4.1 und 4.2 gute Übereinstimmungen festzustellen sind, kann davon ausgegangen werden, dass zwischen der Siedlungsphase, welche durch das einplanierte Material gekennzeichnet ist (4.1) und jener, welche durch kleinteilige, auf diesen Planierungen angelegte Strukturen charakterisiert ist (4.2), keine deutliche Zäsur vorliegt. Auch lässt das Typenrepertoire aus den Befundzuständen der Perioden 4.1 und 4.2 keine tief greifenden Veränderungen erkennen, vielmehr setzen sich die mit Periode 4.1 beginnenden Tendenzen, wie vermehrtes Vorkommen von Bechern, Einsatz von Tellern/Backplatten im Küchenbereich und Massierung von einfach profilierten Töpfen in Periode 4.2, fort. Die durch einen kurzfristigen Bruch in der Siedlungsentwicklung bzw. durch eine verstärkte überregionale Interaktion hervorgerufene Adaption von Fremdeinflüssen ist somit am deutlichsten an der Wende von Periode 3 zu Periode 4 zu erfassen. Die häufigen Vorkommen von Bechern/Faltenbechern mit Karniesrand, von Tellern/Backplatten und insbesondere von Töpfen mit einfachen Randbildungen (Töpfe mit kurzem, ausgebogenem Rand und ausgebogenem Rand 1.2.2) lassen auf einen Einfluss aus dem nordostitalischen-südwestpannonischen Raum (Poetovio-Ptuj, Emona-Ljubljana) schließen. Insbesondere die vergleichsweise zahlreichen Belege von Reibschüsseln und von Tellern/Backplatten im Spektrum der Periode 4.1 veranschaulichen eine erstmalige verstärkte Hinwendung der ansässigen Bevölkerung bzw. einer durch Zuzug aus dem Süden (?) stärker durchmischten Gruppe zu mediterranen Gebräuchen. Auf Kontakte mit dem benachbarten Pannonien weist die Fibel A 85. Dass die traditionellen Elemente jedoch weiterhin prägend sind, zeigen die in allen Spektren hohen Formanteile von Töpfen und Schüsseln, wobei Letztere als die markantesten Belege der lokalen Traditionspflege zu interpretieren sind. Schüsseln spielen als Kochgeschirr in der seit Periode 1 vorhandenen Ausformung der Dreifußschüssel ungebrochen die größte Rolle. Darüber hinaus verdeutlichen die Vorkommen der Speiseschüsseln am besten die konservative Grundhaltung der Bevölkerung. Ist aufgrund der Vorkommen italischer und gallischer Sigillateller für die älteren Siedlungsperioden 1–3 noch eine partielle Akzeptanz dieser Fremdformen unter der Tafelkeramik festzustellen, lässt sich eine solche Tendenz in Periode 4, also in einem Zeitrahmen, wo mit der Zufuhr Rheinzaberner Produkte zu rechnen wäre, nicht mehr feststellen. Vielmehr ist ein Anstieg der regionalen Ausformungen der Speiseschüsseln bei gleichzeitigem Rückgang der Imitationen von Importen in Periode 4.2 zu verzeichnen. Dieser Mangel an Fremdeinflüssen lässt sich allerdings nicht stringent mit einer stärkeren wirtschaftlichen Rezession und einem somit einhergehenden Verebben überregionaler Kontakte erklären, zumal mit dem Vorkommen eines rheinischen Feinwarebechers und der Imitation einer solchen Feinware zwar eingeschränkte, jedoch sehr wohl vorhandene Hinweise auf bestehende Handelskontakte der südostnorischen Region mit den Westprovinzen zu erfassen sind.

5. PERIODE 5 (SPÄTANTIK)

Die bereits in den Planierungen der Periode 4.1 aufgetretenen spätantiken Gebrauchskeramikfunde (Taf. 18, 61/14/20; 22, 67/13/23; o. Abb. 59/10/72; 67/24/34; 67/17/59) werden durch ein weiteres Exemplar aus SE 84 der Periode 4.2 (Taf. 27, 84/11/24, Topf mit ausgebogenem Rand 1.1.4, 'Blasenton') sowie durch Oberflächenfunde (o. Abb. 1/14/20, Topf mit Dreiecksrand 4.3, 'Blasenton') ergänzt. Die spärlichen Nachweise von regionaler Gefäßkeramik spätantiker Zeitstellung im Siedlungsbefund lassen darauf schließen, dass es sich um dislozierte Objekte handelt, welche möglicherweise aus einem höher gelegenen Bereich (Bergkuppe) in die Kulturschichten eingeschwemmt sind. Im Gräberfeldareal sind Störungen spätantiker Zeitstel-

lung festzustellen, wobei sich überlagernde Gruben hauptsächlich mit dislozierter mittelkaiserzeitlicher Keramik sowie mit geringen Resten spätantiker Gefäße (Topf mit kurzem, ausgebo- genem Rand 1 (Inv. 27c/7) und Wandteile) verfüllt sind. Die Art der Geländenu- tzung spätantiker Zeit lässt sich auch in diesem Fall nicht konkretisieren.

6. DAS RÖMISCHE GEFÄSSSPEKTRUM DER PERIODEN 1–4 IM ÜBERBLICK: DIVERSIFIKATION DER FORMANTEILE UND KONVERGENZ VON FORMVORKOMMEN (Abb. 124)

Hinweise auf eine lokale Produktion der Gefäßkeramik liegen bislang nicht vor. Die Einheitlichkeit und die Konstanz der Referenzgruppen RF 1–RF 11 lassen auf die kontinuierliche Be-

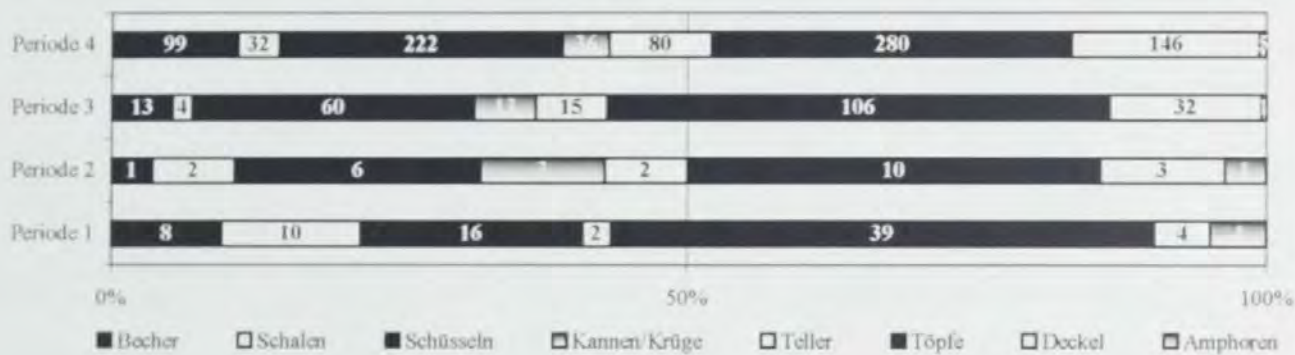


Abb. 124: Saaz, Gefäßformenanteile der Perioden 1–4.

lieferung aus Werkstätten im regionalen Bereich schließen. Aufgrund der deutlichen Affinitäten zu den Fabrikaten und aufgrund der exakten formtypologischen Übereinstimmungen mit den Produkte des Vicus von Gleisdorf (Kap. B.2–3, B.5) ist eventuell eine Herkunft aus diesem Herstellungszentrum anzunehmen⁴¹². Das Typenrepertoire aus regionaler Erzeugung zeigt zum einen größtmögliche Übereinstimmungen mit jenem aus Gleisdorf (Abb. 125–126) und zum anderen sehr geringe Affinitäten zu den Spektren der nächstliegenden pannonischen Fundstätten (Katafa, Zalalövö, Szombathely)⁴¹³, wodurch die Zugehörigkeit des Vicus Saaz zur ostnorischen Region verdeutlicht wird. In allen Perioden dominieren die Anteile der Töpfe und Schüsseln, wobei Letztere jeweils zu gleichen Teilen als Koch- und Speisegeräte fungieren. Diese hohe Frequenz von Schüsseln unter der Tafelkeramik ist aus der eisenzeitlichen regionalen Tradition herzuleiten. Ein letztlich auch auf La-Tène-zeitlichen Traditionen fußendes Charakteristikum im Spektrum der Periode 1 ist der hohe Anteil von Bechern. Deren Vorkommen nehmen im Verlauf der Perioden 2 und 3 ab, ohne dass ein adäquater Ersatz in den keramischen Spektren festzustellen ist. In Periode 4 erreichen die Vorkommen der Becher sodann wiederum relational jene der Periode 1. In Hinblick auf die Schalen ist aufgrund der Beliebtheit der italienischen Sigillata- und Feinwareprodukte bzw. deren Imitationen ein für diese Fundgruppe erstaunlich hoher Anteil in den Perioden 1 und 2 zu verzeichnen. Die Rückläufigkeit der Nachweise in den jüngeren Perioden, mit 32 Altstücken in Periode 4, zeigt, dass jüngere Sigillataproducte nicht als Ersatz für diese älteren Importformen herangezogen werden. Kannen

⁴¹² Schmid 1929, Beibl. 67 ff. (Gleisdorf).

⁴¹³ V. Cserményi – E. Toth, Eine römische Straßenstation und die Straßenstrecke zwischen Salla und Arrabona, Savaria 13–14, 1979/80, 192 Abb. 16 (Katafa); A. R. Facsády, Graue Hauskeramik, in: Römische Forschungen in Zalalövö, ActaArchHung 27, 1975, 185 Abb. 13–19; I. Bil-

kei – J. Solti, Graue Hauskeramik, in: Römische Forschungen in Zalalövö, ActaArchHung 28, 1976, 178 Abb. 36–60; R. Müller, Die Hügelgräber aus der Kaiserzeit in Zalalövö, Aert 98, 1971, 22 f. Abb. 12–15 (Zalalövö); Mócsy 1954, 190 f. Abb. 3–15; Buocz 1963, 142 Abb. Gräber 1–18 (Szombathely).

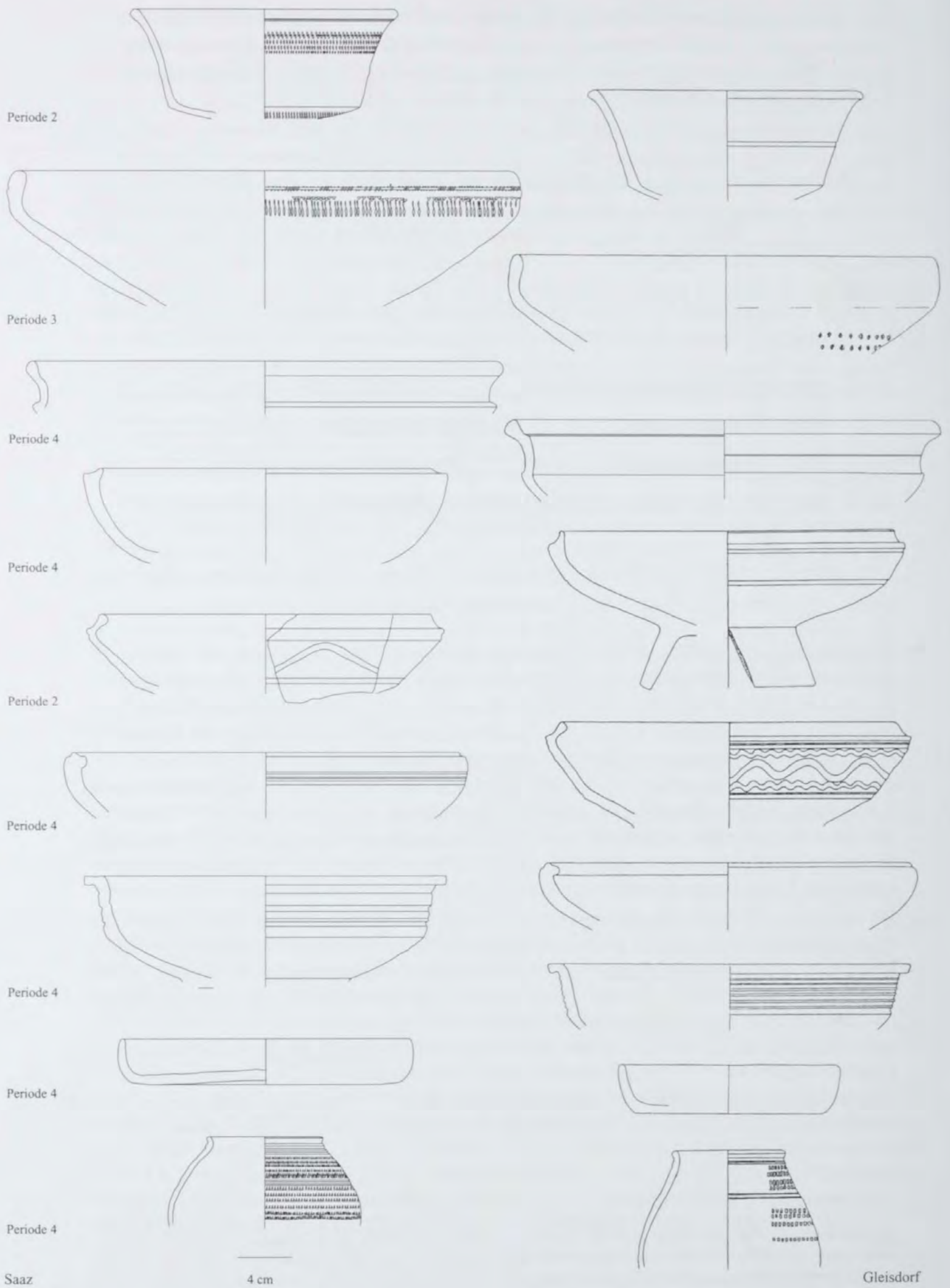


Abb. 125: Gegenüberstellung der Gebrauchskeramiktypen von Saaz und Gleisdorf.

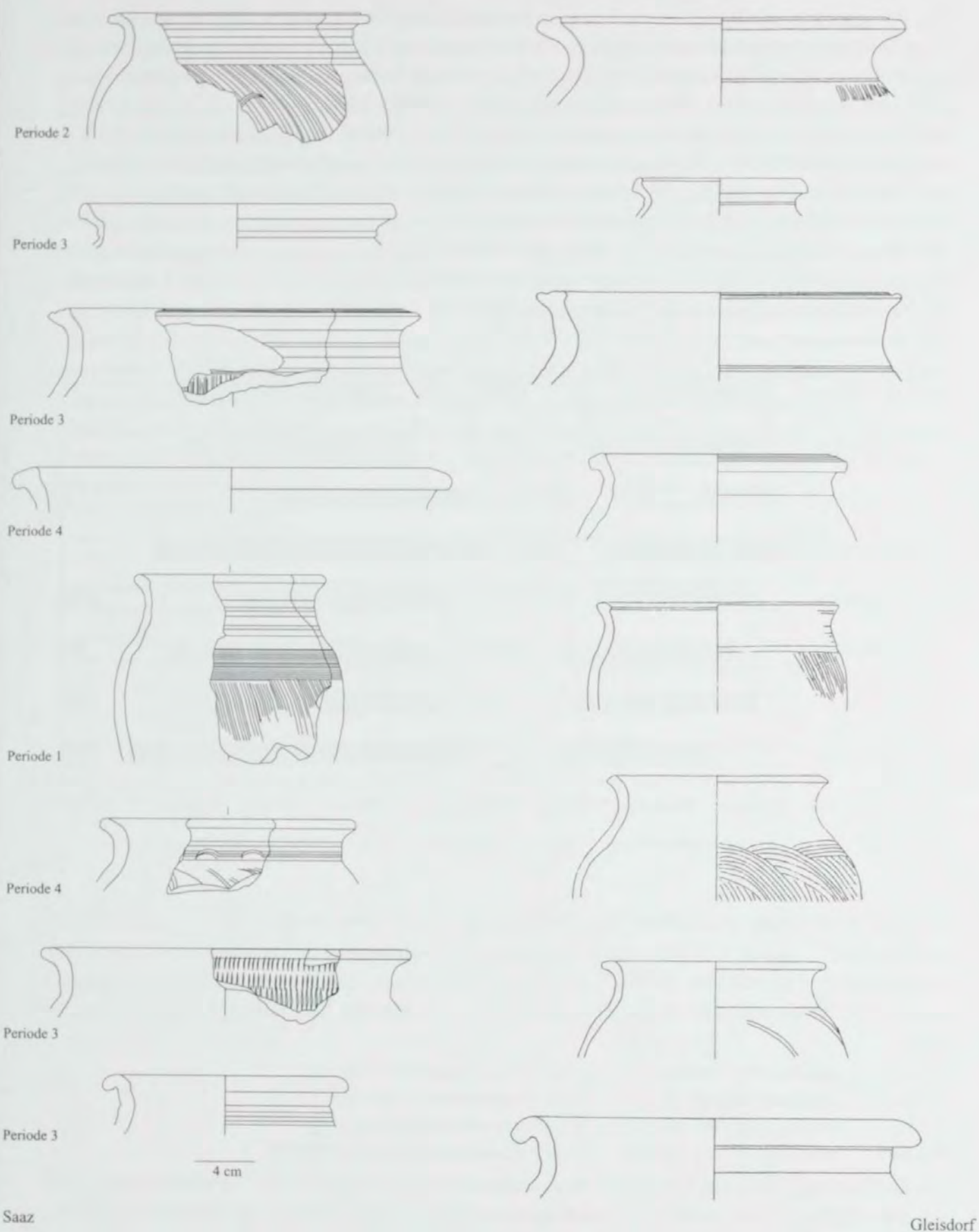


Abb. 126: Gegenüberstellung der Gebrauchskeramiktypen von Saaz und Gleisdorf.

und Krüge sind nicht vor Periode 2 nachzuweisen; ab diesem Zeitpunkt sind die Vorkommen dieser Gefäßgattungen konstant niedrig. In den Perioden 1–3 sind importierte Teller bzw. deren Imitationen als Tafelkeramik beliebt. Der Anteil von Tellern steigt an der Wende von Periode 3 (6%) zu Periode 4 (9%) geringfügig, wobei sich für Periode 4 ein deutlicher Wandel insofern feststellen lässt, als Teller nunmehr primär in der Form von Backplatten und somit in einem multifunktionalen Zusammenhang vorkommen. Der Anteil der Deckel steigt exponentiell mit demjenigen der Kochschüsseln, für das Verschließen der Töpfe dürften nicht so sehr Deckel als vielmehr verpichte organische Materialien herangezogen worden sein, worauf entsprechende Sekundärspuren an Gefäßen aller Perioden schließen lassen. Lebensmittelimporte sind anhand einiger Amphorenbruchstücke aus den Befunden der Perioden 1 und 2 zu belegen, die Vorkommen in jüngeren Zusammenhängen dürften durchwegs auf sekundären Verlagerungen beruhen.

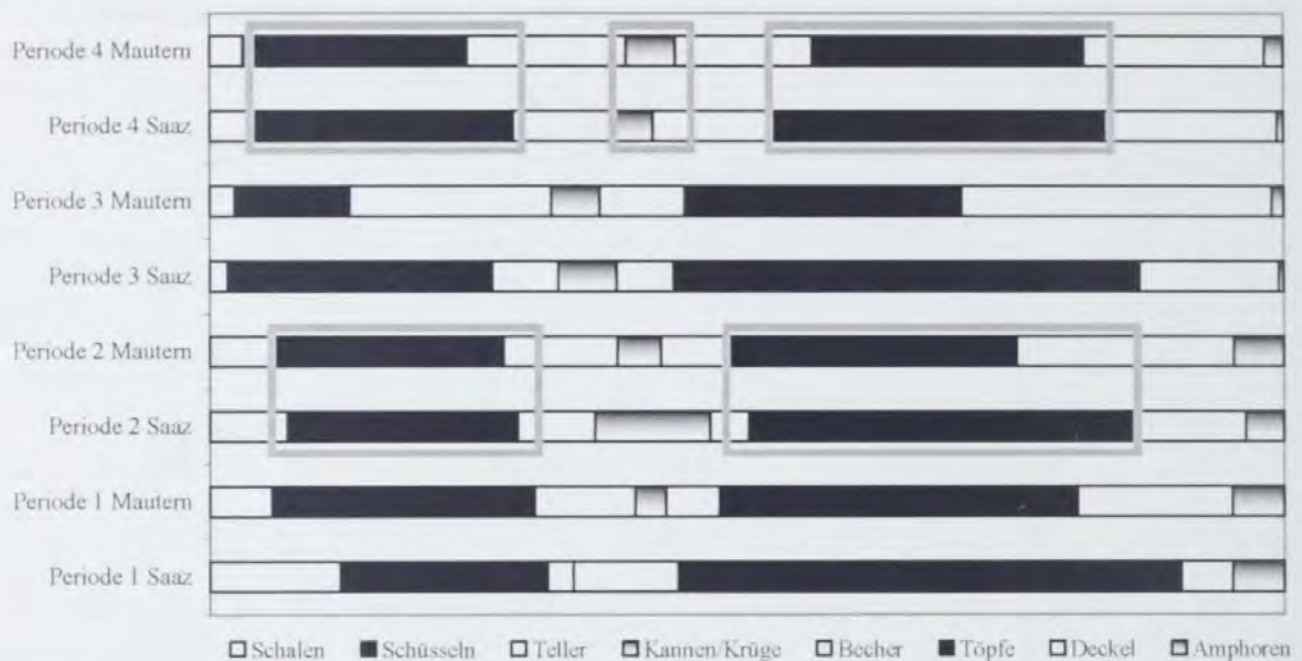


Abb. 127: Gefäßformenanteile der Perioden 1–4 im Vicus Saaz und im Vicus Favianis-Mautern.

Anhand einer Gegenüberstellung der Gefäßanteile in den ostnorischen Vici Saaz und Favianis-Mautern⁴¹⁴ lassen sich die unterschiedlichen Entwicklungen im Landesinneren und in der Limesregion verdeutlichen. Hinsichtlich der Periodisierung der Siedlungsplätze sind ausreichend Übereinstimmungen vorhanden, sodass eine synoptische Darstellung möglich ist (Abb. 127):

Periode 1	Vicus Saaz 70–100/110	Vicus Favianis-Mautern 70–100
Periode 2	Vicus Saaz 120–130/140	Vicus Favianis-Mautern 100/110–130/140
Periode 3	Vicus Saaz 130/140–170/180	Vicus Favianis-Mautern 130/140–170
Periode 4	Vicus Saaz 170/180–200/230	Vicus Favianis-Mautern 170/180–250/260

Die für Favianis-Mautern festgestellten unterschiedlichen kulturellen Einflüsse zweier Gruppen aus den Westprovinzen und dem norisch-pannonischen Raum während der ältesten Siedlungsperiode lassen sich anhand des Vergleichs mit dem Formenrepertoire von Saaz aufzeigen, zumal Letzteres ein noch deutlicheres aus den späteisenzeitlichen norischen Traditionen resultierendes Formenspektrum mit hohen Schüssel- und Topfanteilen aufweist. Für Periode 2 ist in Favianis-Mautern (trajanisch-hadrianisch) ein Perpetuieren der norisch-pannonischen Einflüsse festzustellen, was sich anhand guter Übereinstimmungen mit dem Formenrepertoire

⁴¹⁴ Sedlmayer 2006, 444 ff. (Mautern).

von Saaz (hadrianisch) zeigt. Im Unterschied zur Limesregion ist in Saaz eine geringere Repräsentanz insbesondere von Tellern und Bechern während der hadrianischen Zeit (Periode 2) gegeben. Völlig divergierende Spektren lassen sich für den antoninischen Abschnitt aufzeigen. Im Vicus Saaz ist ein konservatives Milieu mit weitestgehend unverändertem Gefäßrepertoire dokumentierbar, wohingegen in Favianis-Mautern durch den Zuzug von *camp-followers* aus dem moesisch-unterpannonischen Raum starke Akkulturationen römischer Prägung erfolgen. Für die Zeit nach den Markomannenkriegen (Periode 4) ist im Vicus Saaz eine erstmalige verstärkte Akzeptanz von römischen Gebrauchsformen (Teller, Reibschüsseln) aufzuzeigen, zugleich lässt sich anhand der Formanteile von Schüsseln, Kannen/Krügen und Töpfen eine Affinität zum Spektrum der ostnori-schen Limesregion erfassen. Die gute Vergleichbarkeit der Formvorkommen in Saaz und Favianis-Mautern während der Periode 4 dürfte auf Interdependenzen im ostnori-schen Raum beruhen, zumal für Periode 4 im Vicus von Favianis-Mautern neue Siedler indiziert sind, deren Herkunft aufgrund spezifischer Gefäßtypen aus Südostnoricum anzunehmen ist. Größtmögliche Übereinstimmungen der Gefäßrepertoire im südostnori-schen Hinterland (Saaz) und in der ostnori-schen Limesregion (Favianis-Mautern) lassen sich demnach anhand des hier vorgelegten Vergleichs in der hadrianischen und in der severischen Zeit erfassen.

H. SEDLMAYER

III. Tierreste aus den Grabungen Saaz 2002–2003

Christoph GRILL



1. EINLEITUNG

Im Zuge von zwei in den Jahren 2002 und 2003 durchgeführten Grabungskampagnen konnten aus so unterschiedlichen Strukturen wie Planier- und Versturzsichten aufgelassener Häuser, Versturzbereichen von Mauern, Gruben, Erdkellern und Brunnenverfüllungen auch Tierknochen in zumeist ausgesprochen schlechtem Erhaltungszustand geborgen werden. Die Knochen sind von weicher, bröseliger Konsistenz und weisen eine in der Regel hellbraune Farbe auf. Nur wenige Knochen sind vollständig erhalten, Verbiss wurde nur an zwei Resten festgestellt.

2. ERGEBNISSE

Die Gesamtzahl des tierischen Fundguts beträgt 486 Knochen, die ein Gewicht von insgesamt 3,7 kg aufweisen. Die auf den ersten Blick relativ große Stückzahl täuscht, aufgrund der schlechten Erhaltungsbedingungen sind viele Knochen, und hier vor allem einzelne Zähne, in kleinste – aber doch noch bestimmbare – Fragmente zerfallen, die dann aber nicht mehr eindeutig einem bestimmten Skelettelement bzw. Zahn zugeordnet werden konnten. Das Knochenfundgut besteht somit aus relativ wenigen 'vollständigen' Resten, deren exakte Zahl aber nicht mehr zu bestimmen ist.

Dennoch war es möglich, alle drei Hauptwirtschaftstierarten, Rind, die kleinen Wiederkäuer (Schaf, Ziege) und das Hausschwein, sowie auch Hauspferd und Hund nachzuweisen (Abb. 128–129). Hausgeflügel fand sich in keinem der ausgewerteten Befunde, von Wildtieren ist gerade einmal das Geweihfragment eines Rehs oder Rothirsches erhalten.

Bei 71 Knochen sind weder Art noch Skelettelement bestimmbar, drei Reste können nur Arten über 100 kg (Rind oder Pferd), zwei Knochen nur Arten unter 100 kg Körpergewicht (zumeist Kleinwiederkäuer oder Schwein) zugeordnet werden. Zahlenmäßig beträgt der Anteil der unbestimmbaren Fragmente am Gesamtfund zwar immerhin 15%, da es sich dabei jedoch um Splitter von durchschnittlich etwa 0,2 g handelt, sind die 34,4 g Gesamtgewicht (rund 1% des Gesamtfundbestands) nur von untergeordneter Bedeutung.

Einige Knochen und Zähne stammen aus neuzeitlichen bzw. gestörten Befunden, die an dieser Stelle nur kurz Erwähnung finden, dann, bei der eigentlichen archäozoologischen Auswertung aber keinerlei Beachtung erfahren sollen: Es sind dies einige Langknochenfragmente von Rindern und Kleinwiederkäuern, drei unversehrte Molaren von einem (?) Hauspferd sowie zwei menschliche Schädelfragmente aus dem Baggeraushub im Bereich von SE 60, die möglicherweise aus dem römischen Befund stammen könnten.

Einige Knochenfragmente weisen Brandspuren unterschiedlich starker Hitzeeinwirkung auf, kenntlich an Feuertemperatur bedingten Verfärbungsphänomenen⁴¹⁵. Sie reichen bei den Funden aus Saaz von braunen und schwarzen Farbtönen (300–400°C) über graue bis blaugraue Verfärbungen (um 550°C), bis zum kreideartigen Weiß vollständiger Kalzinierung (ab ca. 800°C).

Mehr als die Hälfte der Knochen, 281 Stück, stammt aus den Planier- und Versturzsichten SE 60 und SE 61, dem Gewicht nach 3,1 kg, also immerhin knapp 85%. Befunde wie der Erdkeller SE 78, die drei Gruben SE 84, 127 und 129 sowie die Brunnenverfüllung SE 131 enthalten nur äußerst wenige Knochen, bemerkenswert ist hier aber, dass aus keiner der Gruben Rinderreste vorliegen und der Großteil der Reste in Grube SE 84 unbestimmbare Kleinstsplitter mit einem durchschnittlichen Gewicht von 0,35 g sind. Aus dem Erdkeller konnten nur

⁴¹⁵ Vgl. J. Wahl, Beobachtungen zur Verbrennung menschlicher Leichname, Archäologisches Korrespondenzblatt 11, 1981, 273 Tab. I.

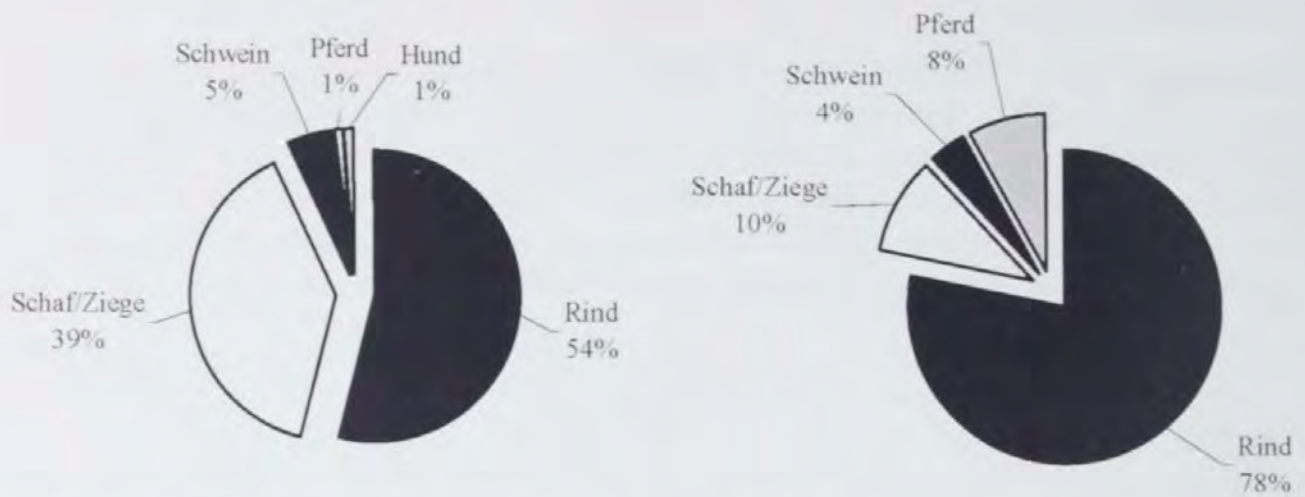


Abb. 128: Verteilung der Arten nach der Knochenzahl.

Abb. 129: Verteilung der Arten nach dem Knochengewicht.

Teile einer stark fragmentierten Unterkiefermolarreihe (P3–M2) eines Rinds geborgen werden, aus der Brunnenverfüllung gerade ein Langknochensplitter eines Rinds. Das Geweihfragment stammt aus Grube SE 129.

2.1 Hausrind (*Bos primigenius* f. *taurus*)

Betreffend Stückzahl und Knochengewicht dominiert das Hausrind mit 207 Fragmenten oder einem Gewicht von etwa 2,7 kg. Nach der Knochenzahl sind dies mit etwa 54% etwas über die Hälfte, nach dem Gewicht sogar 78%, also etwa vier Fünftel des Gesamtfundbestands (Abb. 128–129). Die Mindestindividuenzahl beträgt fünf.

Einige Aufschlüsse über den Umgang mit Schlachtvieh gibt die Skeletteilrepräsentanz der Rinder, die mittels der Methode der relativen Knochenteilgewichte dargestellt wird (Abb. 130)⁴¹⁶. Fleischreiche Elemente wie Wirbel, Schulterblatt, Humerus und Femur sind grundsätzlich unterrepräsentiert, die weniger Fleisch tragenden Partien wie etwa Unterkiefer, Tibia und Metatarsus dagegen sehr stark bzw. stark überrepräsentiert. Annähernd ausreichend vorhanden sind nur Becken, Radius/Ulna und Tarsalia.

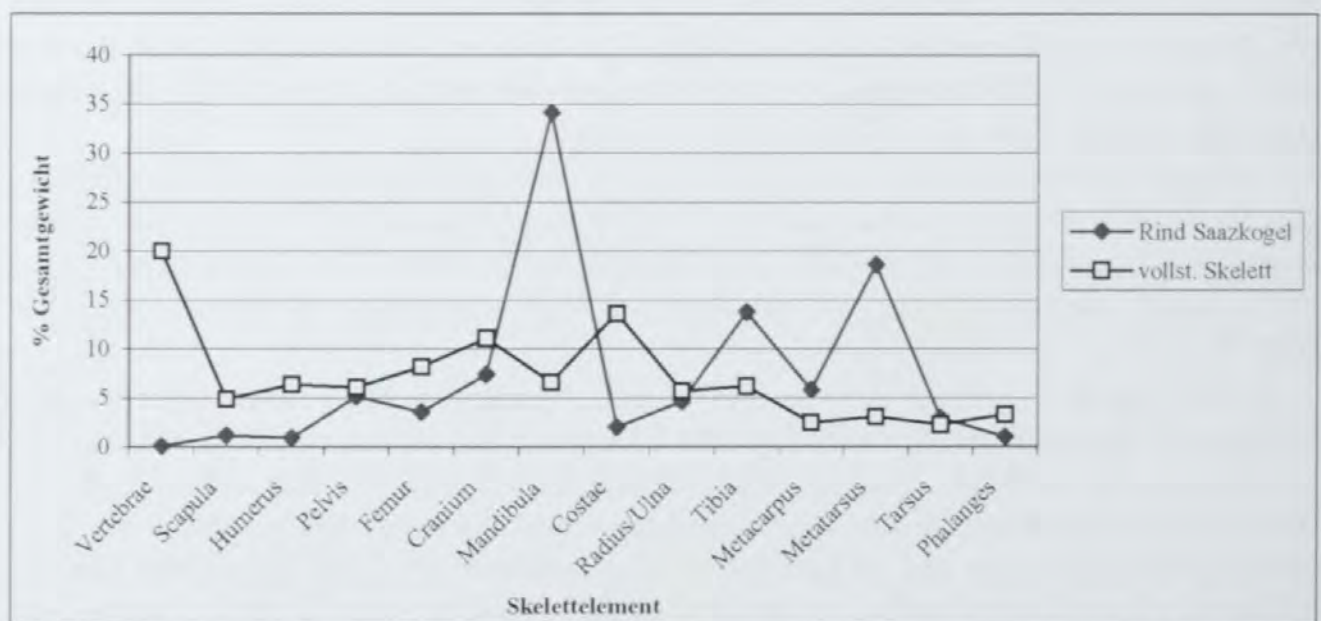


Abb. 130: Skeletteilrepräsentanz der Hausrinder verglichen mit einem vollständigen, mittelalterlichen Skelett (nach Reichstein 1994).

⁴¹⁶ Reichstein 1994, 27.

Diese Zusammensetzung spricht eher für Knochenabfälle, die in einem frühen Stadium der Schlachtkörperzerlegung anfallen: Weniger Fleisch tragende bzw. auch anderweitig schlechter verwendbare Elemente werden kurz nach der Tötung des Tiers abgetrennt und sofort entsorgt, hauptsächlich wahrscheinlich aus Transportgründen, d.h. um nicht unnötiges Gewicht befördern zu müssen oder mehr Platz für die besser verwertbaren Teile der Tiere bzw. für andere Güter zu haben.

Hinsichtlich des Schlachalters der Rinder kann gesagt werden, dass der Großteil der Tiere erst im Erwachsenenalter geschlachtet wurde, bei der großen Menge der Unterkiefer ist der Zahnwechsel bereits vollständig abgeschlossen, auch die Epiphysenfugen der postkranialen Skelettelemente sind zumeist vollständig verwachsen. Die Mindestindividuenzahl betreffend würde das bedeuten, dass zumindest vier Tiere ausgewachsen, ein Rind jedoch zum Zeitpunkt der Tötung noch nicht adult war.

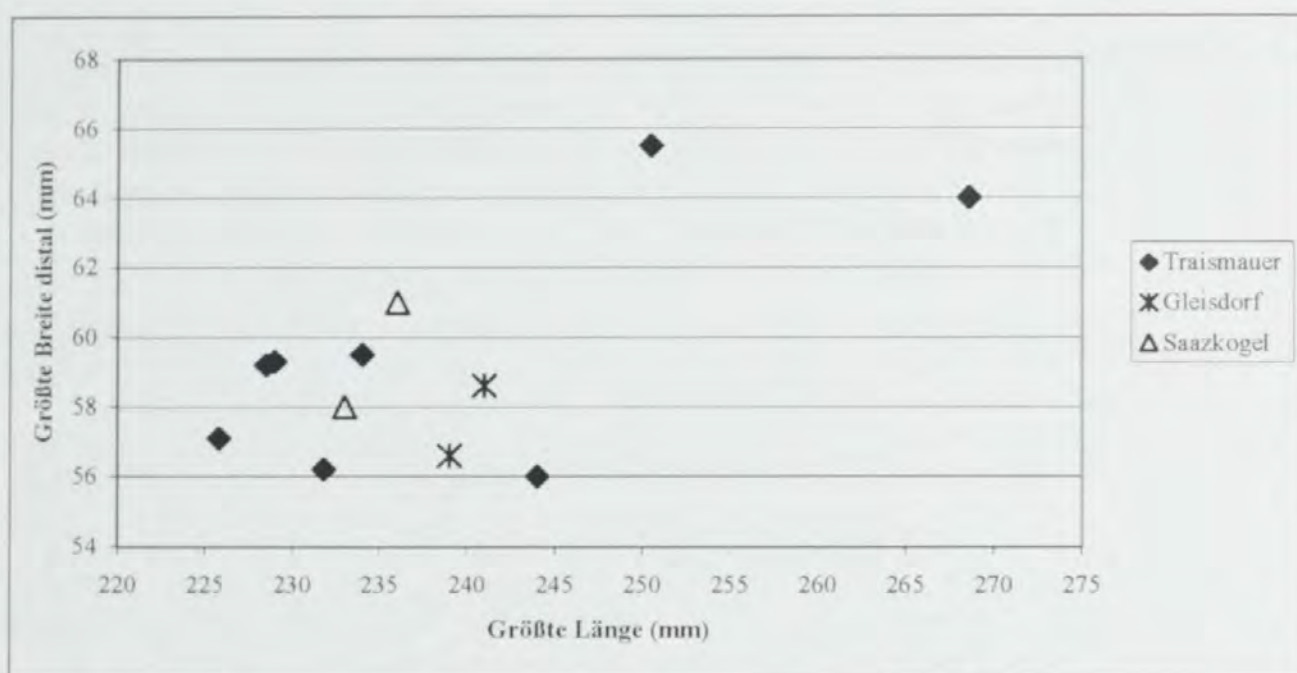


Abb. 131: Hausrind, Metatarsus, Korrelation von 'Größter Länge' und 'Größter Breite distal' verglichen mit den Funden aus Augustianis-Traismauer und Gleisdorf (nach Riedel 1993 und Adam – Czeika 1995).

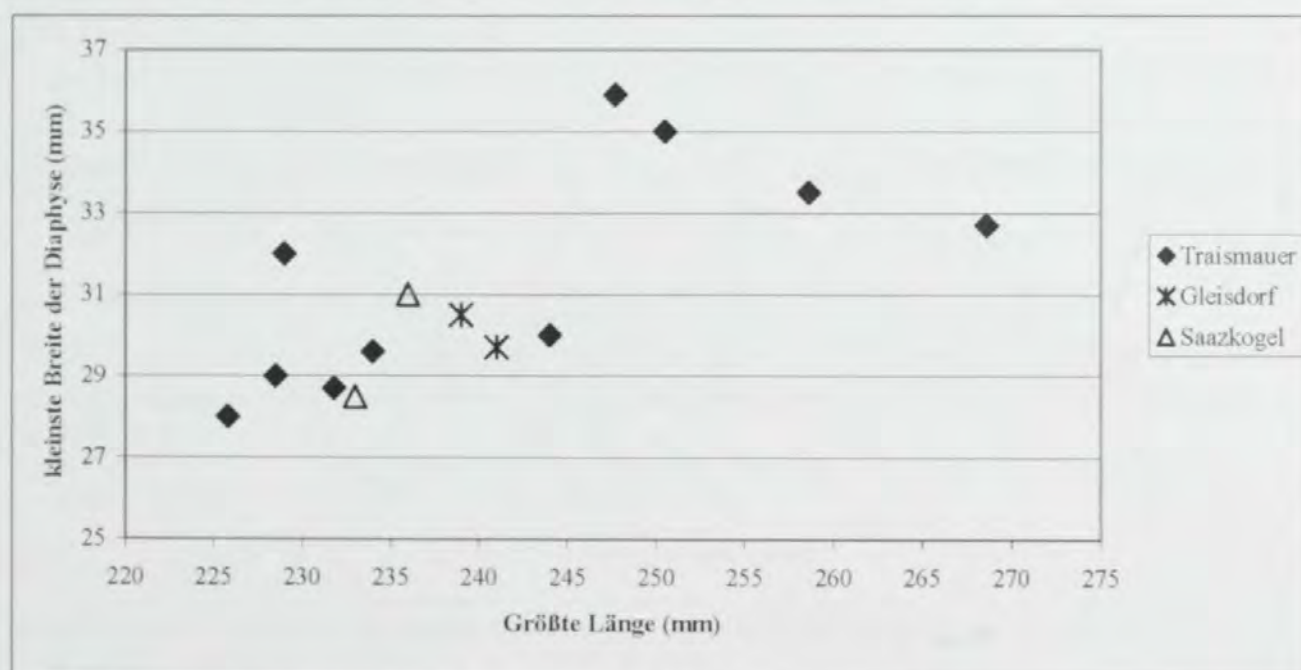


Abb. 132: Hausrind, Metatarsus, Korrelation von 'Größter Länge' und 'Kleinster Breite der Diaphyse' verglichen mit den Funden aus Augustianis-Traismauer und Gleisdorf.

Trotz des schlechten Erhaltungszustands der Knochen gelang es, drei im Grunde zwar vollständige, aber in viele Einzelteile zerfallene Metapodien dergestalt zusammensetzen, dass es möglich war, sämtliche Maße abzunehmen. In den Diagrammen (Abb. 131–132) wird die Länge zweier Metatarsen jeweils einmal mit der 'Größten Breite distal' und der 'Kleinsten Breite der Diaphyse' in Beziehung gesetzt und mit Metatarsen aus verschiedenen etwa zeitgleichen österreichischen Fundorten verglichen. Dabei bewegen sich die Wertepaare der Saazer Mittelfußknochen etwa im Bereich der Vergleichsfunde, die großen, sich deutlich von den übrigen abgrenzenden Metatarsen aus dem Kastellvicus von Augustianis-Traismauer werden von A. Riedel als mögliche Stiere oder Ochsen angesprochen, er schließt allerdings auch das Vorhandensein mehrerer Rassen unterschiedlicher Größe nicht aus⁴¹⁷.

Die beiden Mittelfußknochen von Saaz stammen demnach möglicherweise von Kühen, genauere Angaben zum Geschlecht können in Ermangelung auswertbarer, geschlechtsspezifischer Elemente nicht gemacht werden. Ein Unterkiefer hat keinen P2 ausgebildet.

2.2 Hausschaf oder Hausziege (*Ovis ammon* f. *aries*/*Capra aegagrus* f. *hircus*)

Von den kleinen Wiederkäuern sind 149 Knochen mit einem Gewicht von ca. 0,35 kg erhalten. Die geschätzte Mindestindividuenzahl beträgt vier. Nach der Knochenzahl stellen die Kleinwiederkäuer mit 39% die zweitstärkste Gruppe der Haustiere, eine Tatsache die sich zwar auch bei der Darstellung der Knochen mittels des Gewichts nicht ändert, mit 10% aber doch drastisch reduziert wird und auf die Kleinstückigkeit des Materials zurückzuführen ist.

Die Skeletteilrepräsentanz der Ovicaprinen (Abb. 133) weist starke Parallelen zum Hausrind auf: Fleischreiche Elemente, ausgenommen Humeri, sind stark unterrepräsentiert bzw. fehlen wie im Falle von Wirbel und Becken gänzlich, Skelettelemente mit eher minderwertiger Fleischqualität wie etwa Schädel, Unterkiefer und Tibia dagegen sind stark, Mittelfußknochen schwach überrepräsentiert. Äußerst interessant ist dabei die Selektion von gleichen Skelettelementen bei großen wie auch bei kleinen Wiederkäuern: Unterkiefer, Tibien und Metatarsen liegen bei beiden weit bzw. etwas über dem Erwartungswert, wobei der hohe Wert der Kleinwiederkäuer-Schienbeine unter anderem auch auf deren leichte Bestimmbarkeit in stark fragmentiertem Zustand zurückzuführen sein könnte. Gegenteilig zur Verteilung beim Haus-



Abb. 133: Skeletteilrepräsentanz der Kleinwiederkäuer verglichen mit einem vollständigen Moorschnuckenskelett (nach Reichstein 1994).

⁴¹⁷ Riedel 1993, 96 ff. und 274.

rind verhalten sich eigentlich nur die bereits erwähnten Humeri und Schädelteile, die vor allem Oberkieferanteile bzw. lose Molaren beinhalten.

Ähnlich wie beim Hausrind ist auch das Schlachalter der Kleinwiederkäuer zu beurteilen: Nach Zahnalter und Epiphysenschluss sind es hauptsächlich die Überreste erwachsener Tiere, die in den Befund gelangten; kein einziger Knochen oder Zahn konnte als juvenil oder subadult identifiziert werden, was aber natürlich das Vorhandensein junger Tiere nicht ausschließt.

Für die Charakterisierung von Körpergröße und Wuchsform fehlen die notwendigen vollständigen Knochen, geschlechtsspezifisches Material ist nicht vorhanden.

2.3 Hausschwein (*Sus scrofa* f. *domestica*)

Äußerst gering ist mit nur 21 Resten (145,2 g) die Zahl der Hausschweinknochen, die von zumindest drei Tieren stammen. Der Anteil am Gesamtfundbestand ist sowohl hinsichtlich der Stückzahl als auch des Knochengewichts ungefähr gleich und liegt bei 5 bzw. 4%. Anders als bei den Wiederkäuern stellen sich auch die Verteilung der Skelettelemente und das Schlachalter dar: Fleischreiche Teile wie etwa Humeri überwiegen, Zähne oder Elemente des Autopodiums fehlen. Die Tiere wurden mehrheitlich jung geschlachtet, es liegen keinerlei Knochen zur Geschlechtsbestimmung oder zur Maßabnahme vor.

2.4 Hauspferd (*Equus ferus* f. *caballus*)

Das Hauspferd ist mit zwei Metapodien mindestens eines erwachsenen Individuums vertreten, der Gewichtsanteil der Hauspferdeknochen beträgt immerhin 8% (Abb. 129). Beim ersten Fragment handelt es sich um den linken, proximalen Gelenksteil eines Metacarpus, wobei der Breitenwert mit 51,5 mm in etwa dem Mittel von Augustianis-Traismauer entspricht⁴¹⁸ und etwas unter dem Durchschnitt von Carnuntum liegt⁴¹⁹. Das zweite Metapodium ist ein vollständig erhaltener Metatarsus mit einer Länge von 260 mm. Die daraus nach dem Faktor von E. May errechnete Widerristhöhe ergibt 1,36 m eines für römische Verhältnisse eher kleinwüchsigen Pferds⁴²⁰. Wo genau der Metatarsus von Saaz hinsichtlich Größe und Wuchsform im römischen Vergleich einzuordnen ist, geht aus den Diagrammen (Abb. 134–135) hervor, in denen Funde aus dem mitteleuropäischen Raum unter der Bezeichnung 'Imperium Romanum' zusammengefasst wurden, um auf diese Weise eine repräsentative Vergleichsgruppe zu schaffen. Die österreichischen Fundorte wurden gesondert bezeichnet.

Innerhalb dieser repräsentativen Serie fügt sich der Saazer Metatarsus eher ins untere Drittel ein. Seine Wuchsform betreffend ist er als kurz und gedrungen zu bezeichnen und neigt insgesamt mehr zur Breitwüchsigkeit. Bemerkenswert ist die breite Diaphyse und das relativ schmale distale Gelenk.

2.5 Haushund (*Canis lupus* f. *familiaris*)

Vom Hund stammt ein Unterkieferfragment mit Teilen der Molarreihe (P3–M3) sowie ein loser Unterkieferschneidezahn. Beide gehören zu erwachsenen Tieren, die Mindestindividuenzahl beträgt eins.

⁴¹⁸ Riedel 1993, 282

⁴¹⁹ Kunst 1997, 217

⁴²⁰ Vgl. E. May, Widerristhöhe und Langknochen-

maße bei Pferden – ein immer noch aktuelles Problem, Zeitschrift für Säugetierkunde 50, 1985, 368–382.

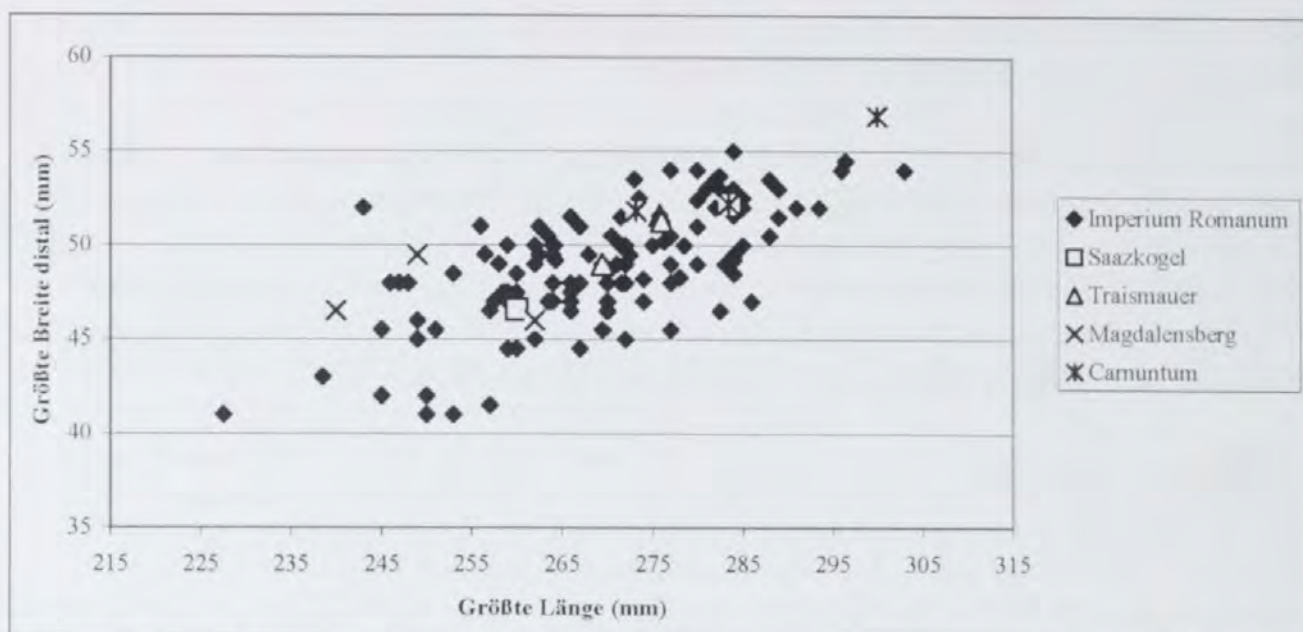


Abb. 134: Hauspferd, Metatarsus, Korrelation von 'Größter Länge' und 'Größter Breite distal' verglichen mit den Funden aus Augustanis-Traismauer, Magdalensberg, Carnuntum und diversen mitteleuropäischen, unter 'Imperium Romanum' zusammengefassten Funden (nach Riedel 1993, Ehret 1964, Hornberger 1970, Kunst 1997).

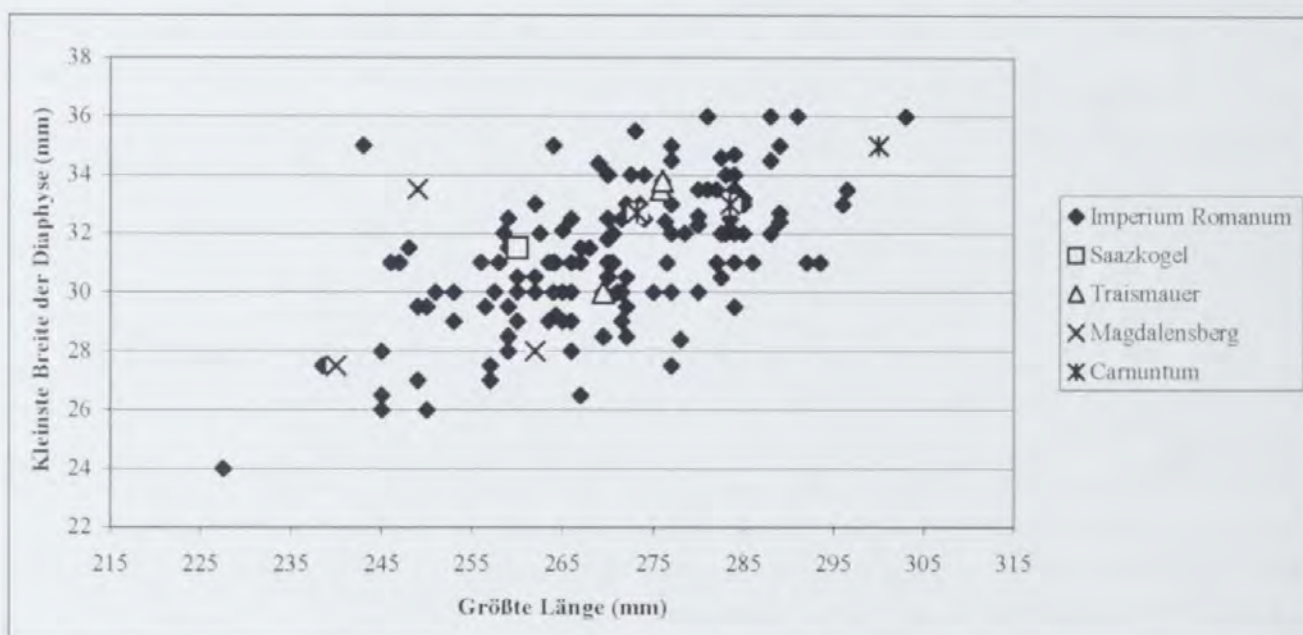


Abb. 135: Hauspferd, Metatarsus, Korrelation von 'Größter Länge' und 'Kleinster Breite der Diaphyse' verglichen mit den Funden aus Augustanis-Traismauer, Magdalensberg, Carnuntum und diversen mitteleuropäischen, unter 'Imperium Romanum' zusammengefassten Funden.

3. SCHLUSSFOLGERUNGEN

Eine befriedigende, abschließende Beurteilung der Saazer Tierknochen erweist sich als schwierig, da die Masse der Funde aus Planierschichten der Periode 4.1 stammt und somit keine befundmäßigen Rückschlüsse auf ihre ursprüngliche Funktion erlaubt. Fest steht, dass die Faunulae nicht aus den unmittelbaren 'Hauptnutzungsperioden' stammen, sondern erst dann in den jeweiligen Befund gelangten, nachdem die eigentliche zugehörige Struktur mehr oder weniger aufgelöst war (betrifft vor allem die Planierschichten SE 60, 61, 67 und 76). Könnte man davon ausgehen, dass das Material weitestgehend aus der vorhergehenden Periode 3 des Vicus stammt, wären z. B. Fragestellungen hinsichtlich der täglichen Anforderungen einer derartigen Einrichtung möglich. Neben der Grundsubsistenz der Bewohner des Vicus selbst muß hier auch die Frage nach Verkehr von Gütern und Personen angedacht werden, der natürlich eine Befriedigung menschlicher und tierischer Bedürfnisse bedingt. Leute müssen gepflegt,

Tiere gefüttert und getränkt werden, Last-, Zug- und Reittiere (Ochsen, Pferde) ausgetauscht und mit Sicherheit auch aufgrund von Verletzungen oder einfach altersbedingt geschlachtet werden. Würde man von derartigen Überlegungen auf den faunistischen Befund rückschließen, so müssten einerseits eher junge (Fleischlieferanten), andererseits aber ältere bzw. von der Arbeit gezeichnete Tiere (Arbeitstiere) in einzelnen Befunden der Nutzungsphasen (z. B. Gruben) überliefert sein. Dieser Idealfall tritt natürlich nur in den seltensten Fällen ein, da ja die Erhaltung der Knochen von unterschiedlichsten Parametern (Bodenverhältnisse, Entsorgungsstrategien, Zerstörung durch Beackerung usw.) abhängig ist.

Wie sollen nun also die Knochen aus diesen Planierschichten bzw. 'Zwischensiedlungsphasen' interpretiert werden? Die Siedlung wurde zwar aus unbekanntem Grunde aufgelöst bzw. reduziert oder aber auch nur verlagert, die Tatsache vorhandener Tierreste belegt jedoch einen nicht gänzlichen Stillstand, sondern nach wie vor gewisse, am selben Ort stattfindende Aktivitäten. Trotz einer geringeren Frequentierung dieses Platzes waren die Gebäuderuinen doch in irgendeiner Art und Weise dienlich und sei es auch nur, um Knochenabfall zu entsorgen.

Beurteilt man die tierischen Überreste isoliert, so entsprächen die fleischreichen Knochen der juvenilen Schweine durchaus der oben genannten Vorstellung von der Versorgung der Bewohner des Vicus selbst wie auch des Durchzugsverkehrs mit Fleisch. Da aber dem Gewicht nach 80% der Tierknochen aus Rinderknochen mit minderwertiger Fleischqualität bestehen, ist diese Überlegung keinesfalls zu rechtfertigen. Vielmehr ist hier an eine Schlachtung von Rindern zu denken, die vor Ort zerlegt und deren überflüssige Teile sofort aus Transportgründen entsorgt wurden.

Befunde wie der Erdkeller SE 78, die drei Gruben SE 84, 127 und 129 sowie die Brunnenverfüllung entziehen sich aufgrund ihrer Fundarmut und des hohen Fragmentierungsgrades der Knochen einer aussagekräftigen archäozoologischen Beurteilung.

Ch. GRILL



IV. Vici der frühen und mittleren
Kaiserzeit in Noricum
(Stand der Forschung 2005)

Helga SEDLMAYER

Vici et castella et pagi hi sunt qui nulla dignitate civitatis ornantur, sed vulgari hominum conventu incoluntur, et propter parvitatem sui maioribus civitatibus adtribuuntur. Vicus autem dictus ab ipsis tantum habitationibus, vel quod vias habeant tantum sine muris. Est autem sine munitione murorum; licet et vici dicantur ipsae habitationes urbis. Dicitur autem vicus eo quod sit vice civitatis, vel quod vias habeat tantum sine muris.
Isid. Etymol. XV 2, 11f.

1. VON DEN OFFENEN SIEDLUNGEN DER SPÄTEN LA-TÈNE-ZEIT ZU JENEN DER MITTLEREN KAISERZEIT IN NORICUM

1.1 Offene Siedlungen der späten La-Tène-Zeit in Noricum

Die Erforschung der offenen, also nicht befestigten spätlatènezeitlichen Siedlungen von Noricum beschränkt sich auf wenige Befundvorlagen bzw. Fundberichte, welche keine allgemeinen Aussagen über die Besiedlung des Geländes außerhalb der befestigten Höhensiedlungen zulassen. Grundsätzlich ist von Agglomerationen kleiner Strukturen wie Grubenhütten und Einraumhäusern in Pfostenbauweise auszugehen, an Wirtschaftszweigen ist neben der landwirtschaftlichen Produktion (Neubau, Hellbrunn) die Metall- (Hasreith), Keramik- (Herzogenburg) und Textilherstellung (Hellbrunn, Puch bei Hallein, Neubau, Herzogenburg) zu erfassen. Die militärische Komponente ist anhand spezifischer Funde aus Hellbrunn und Puch bei Hallein festzustellen:

Hellbrunn: In einem auf ca. 50 m Länge untersuchten Areal konnte neben einem rechteckigen Blockbau von 8,6 m² (3,45 × 2,5 m) eine rechteckige Arbeitsgrube von 2 m² (2 × 1 m) festgestellt werden. Aus der Verfüllung des Blockbaus liegt neben einer spätlatènezeitlichen Schwertkette und zahlreichen Schleifsteinen auch eine Nähnadel vor, aus der Arbeitsgrube das Fragment einer Handmühle. Die drei vorgefundenen Fibeln entsprechen dem Mittel- und Spätlatèneschema⁴²¹.

Puch bei Hallein: Auf einer Fläche von ca. 290 m² wurden zwei Gebäude in Leichtbauweise anhand von Rollsteinlagen und Pfostensetzungen erfasst. Das Spätlatène-Fundmaterial verdeutlicht ähnlich wie in Hellbrunn ein Nebeneinander von militärischem und zivilem Milieu. Neben Spinnwirteln treten ein Speerschuh und eine Reihe von Schleifsteinen auf⁴²².

Neubau: Ausschließlich zwei Gebäudebefunde sind aus dieser im Hinterland der Befestigung von Lentia-Linz eingerichteten Siedlung vorgelegt, welche auf einen mehrphasigen Pfostenbau mit annähernd quadratischem Grundriss (Einraumhaus) und ein Gebäude mit Rampe schließen lassen könnten⁴²³. Darüber hinaus wurden langrechteckige Lehmflächen als Fußböden von Gebäuden gedeutet sowie Siedlungsgruben und ein Brunnen untersucht⁴²⁴. Die wirtschaftliche Bedeutung dieser auf die Verarbeitung land-/forstwirtschaftlicher Güter (fünf Mühlsteine von mindestens drei Handmühlen, ein Rindenschäler) sowie die Textilproduktion (Webgewichte, Spinnwirtel) spezialisierten Siedlung wird durch den Fund von Schrötlingsformen herausgestrichen⁴²⁵. Militaria liegen im Unterschied zu den Siedlungsbefunden von Hellbrunn und Puch bei Hallein bislang nicht vor, hingegen ein Ringgriffmesser und Wetzsteine, also weitere Geräte des alltäglichen Bedarfs⁴²⁶.

⁴²¹ M. Hell, Keltische Siedlungsfunde aus Hellbrunn in Hallein, ArchA 21, 1957, 60 ff. Abb. 1–8 (Hellbrunn).

⁴²² F. Moosleitner, Spätkeltische Siedlungsreste in Puch bei Hallein, in: Festschrift zum 50-jährigen Bestehen des Instituts für Ur- und Frühgeschichte der Leopold-Franzens-Universität, Universitätsforschungen zur Prähistorischen Archäologie 8 (1992) 385 ff. Abb. 3, 13–14; 5, A; 6, 5 (Puch bei Hallein).

⁴²³ 756 m² messender Schnitt: E. Beninger, Spätkelti-

sche Hausbauten von Neubau, Gem. Traun, JbOÖMV 101, 1956, 128 ff.; 129 mit Plan (Neubau).

⁴²⁴ M. Pertelwieser, Traun, FÖ 27, 1988 (1989) 289; M. Pertelwieser, Traun, FÖ 28, 1989 (1990) 202; Jandaurek 1956, 22 ff. (Neubau).

⁴²⁵ Moser 2001, 101 ff. Taf. 2, 10–12; Jandaurek 1956, 33f. Taf. 4, 37; 6, 47; 8, 55. 58 (Neubau).

⁴²⁶ Jandaurek 1956, 33 Taf. 4, 38; 8, 56–57 (Neubau).

Herzogenburg: Im Unterschied zu den mit Gräben, Wall und weiteren festen Konstruktionen befestigten Höhensiedlungen weist die Siedlung von Herzogenburg eine territoriale Begrenzung durch zwei Gräben (ursprünglich Bachläufe [?]) auf. Diese Siedlung ist als ein bedeutendes Beispiel spätlatènezeitlicher Ansiedlungen mit Grubenhütten und Töpferei erwähnenswert. Auf einer 1800 m² großen Fläche konnten neben dem La-Tène D1-datierenden Keramikbrennofen drei Grubenhütten sowie zahlreiche Reste von Holzständerbauten dokumentiert werden. Die Grundfläche der Hütten beträgt ca. 12 m² (3 × 4 m), die Dachkonstruktion der eingetieften Bauten ruht auf zwei an den Schmalseiten befindlichen Firstpfosten. Neben der Keramikproduktion ist als weiterer Produktionszweig die Textilherstellung durch den Fund von Spinnwirteln und eines Webgewichts indirekt nachzuweisen⁴²⁷.

Hasreith: Eine Grubenhütte von 6,5 m² (4,3 × 1,5 m) und ein Ständerbau von 117 m² (13 × 9 m) der Perioden La-Tène C2/D1 bzw. D1/D2 sind als Reste einer auf Eisen- und Buntmetallverarbeitung spezialisierten Siedlung zu erfassen⁴²⁸.

1.2 Zur Kontinuität der offenen Siedlungen in Noricum von der späten Eisenzeit zur frühen römischen Kaiserzeit

Eine Siedlungskontinuität mit Befundabfolgen ist bislang in den offenen Siedlungsplätzen nicht mit der nötigen Stringenz zu belegen, allerdings lässt sich aufzeigen, dass Flächen mit Clustern von spätlatènezeitlichen Funden auch als Siedlungsareale römischer Vici dienen (Tab. 19). Bemerkenswert sind in diesem Zusammenhang die Fundvorkommen in Kalsdorf⁴²⁹, Baldersdorf⁴³⁰ und Bedaium-Seebruck⁴³¹, wo jeweils ein charakteristisches Spätlatènespektrum aus dem Areal des römischen Vicus vorliegt. In Hörbing sind sowohl spätkeltische als auch frühromische Befunde belegt, eine detaillierte Analyse steht aber noch aus⁴³².

Fundort	Befund, La-Tène	Befund, römisch	Kontinuitätskriterien
Kalsdorf	Cluster von Streufunden	Vicus mit Ein- und Mehrraumhäusern Metallverarbeitung	?
Hörbing	Grubenförmiges Objekt	Gebäude entlang Bach Keramikbrennofen	?
Baldersdorf	Cluster von Streufunden	Gebäude in Parzellen (?) Metallverarbeitung	Metallverarbeitung

Tabelle 19: Siedlungskontinuität (?) in Südnoricum

Für die Kastellvici der norischen Limesstrecke ist, abgesehen von Lentia-Linz, ein Fehlen von Hinweisen auf Siedlungskontinuität von der keltischen zur römischen Zeit festzustellen. Zudem weisen ausschließlich die Kastellplätze Boiodurum-Passau und Lentia-Linz Bezüge zu Siedlungszentren keltischer Zeit auf. In Lentia-Linz (Tab. 20) ist die kontinuierliche Besiedlung der Höhenrücken auf dem Martinsfeld⁴³³ anzunehmen und auf der Keplerwiese am Schlossberg zu belegen; hierbei dürfte es sich im Gegensatz zu den befestigten Plätzen von Linz-Freinberg und Linz-Gründberg um offene Siedlungen handeln. In der frühromischen Zeit werden diese Befunde ergänzt durch weitere Siedlungsaufschlüsse in Hanglage (Flügelhofgasse)⁴³⁴ bzw. in

⁴²⁷ H. Windl, Eine spätlatènezeitliche Siedlung in Herzogenburg, p. B. St. Pölten, NÖ, ArchA 51, 1972, 61 mit Plan (Herzogenburg).

⁴²⁸ Die Abteilung für Bodendenkmale des Bundesdenkmalamtes. Jahresbericht 2001, FÖ 40, 2001 (2002) 48 (Hasreith).

⁴²⁹ Tiefengraber 1999, 33 ff.

⁴³⁰ Ch. Gugl, Das Umland Teurnias vom 2. Jahrhundert v. Chr. bis ins 1. Jahrhundert n. Chr., AVes 52, 2001, 323 (Baldersdorf).

⁴³¹ W. Irlinger, Die keltische Siedlung in Stöfling,

AJahrBay 1990 (1991) 76 ff. (Stöfling); Burmeister 1998, 14 ff. (Seebruck).

⁴³² Die Abteilung für Bodendenkmale des Bundesdenkmalamtes. Jahresbericht 2002, FÖ 41, 2002 (2003) 48; Bernhard 2000, 677 ff.; Die Abteilung für Bodendenkmale des Bundesdenkmalamtes. Jahresbericht 1997, FÖ 36, 1997 (1998) 42; Hebert 1989; Hebert 1988 (Hörbing).

⁴³³ Offenberger – Zeller 2000; Kastler 2000, 56 ff. (Linz).

⁴³⁴ Ruprechtsberger 1992, 9 ff. Abb. 2 (Linz).

der an die Hügelkette unmittelbar anschließenden Ebene (Lessingstraße)⁴³⁵. Neue Vicusabschnitte, die zeitgleich mit dem mittelkaiserzeitlichen Ausbau des Kastells eingerichtet werden, liegen fernab dieses alten Siedlungszentrums donau nah in der Niederung⁴³⁶.

Fundort	Befund, La-Tène	Befund, römisch	Kontinuitätskriterien	Bedeutungsverlust
Lentia-Linz	Befestigte Höhensiedlungen beiderseits der Donau Administratives Zentrum (Münzprägung) Offene Siedlungen auf Höhenrücken südlich der Donau	Lagerhalle auf Höhenrücken (1. Jahrhundert n. Chr.) Schwellbalkenbauten in Hanglage (1. Jahrhundert n. Chr.) Streifenhäuser in der Ebene (2./3. Jahrhundert n. Chr.)	Wirtschaftsstrategischer Faktor	Civitas-Hauptort (Municipium Ovilavis) 25 km entfernt eingerichtet

Tabelle 20: Siedlungskontinuität in Lentia-Linz (nordwestnorische Limesstrecke)

1.3 Kontinuität und Bedeutungsverlust von Civitas-Hauptorten in Südnoricum

Siedlungskontinuität ist im zentralen südnorischen Bereich vereinzelt festzustellen (Tab. 21); an manchen Fallbeispielen ist abzulesen, dass eine Siedlungstätigkeit noch bis in die Frühphase der römischen Okkupation erfolgt, dann allerdings ein jähes Ende findet. Ein Abbruch der Siedlungsentwicklung wird für die Höhensiedlung der Gracarca am Ende der Eisenzeit angenommen, die jüngste Baustruktur, in Mörtelbautechnik errichtet, datiert in augusteische Zeit⁴³⁷. Offenbar eine kontinuierliche Siedlungsentwicklung ist in der auf die Metallaufbereitung bzw. -verarbeitung spezialisierten Siedlung auf der Gurina festzustellen. Die Gesamtstatistik des Fundspektrums belegt zwar keinen Hiatus, jedoch rückläufige Tendenzen in der Siedlungsentwicklung ab 50 n. Chr.⁴³⁸. Die Errichtung eines Umgangstempels auf dem Areal eines ehemaligen Brandopferplatzes lässt auf eine nicht nur aus der wirtschaftlichen, sondern auch aus der kultischen Bedeutung des Orts resultierende Kontinuität schließen⁴³⁹. Die Einrichtung des administrativen Zentrums in Teurnia-St. Peter in Holz indiziert gleichwohl einen Bedeutungsverlust des vermutlichen Civitas-Hauptorts der Ambilini auf der Gurina.

In Zusammenhang mit den Siedlungszäsuren frühromischer Zeit ist das prominenteste Beispiel sicherlich der Zentralort am Magdalensberg, das alte Virunum, selbst. Das städtische Siedlungszentrum von Virunum wird um die Mitte des 1. Jahrhunderts n. Chr. von den Hängen des Magdalensbergs in das Tal transferiert, eine nicht städtische Ansiedlung ist gleichwohl für die flavische Zeit und bis in das späte 2. Jahrhundert n. Chr. auf den Terrassen rund um das Gipfelplateau des Magdalensbergs nachzuweisen⁴⁴⁰.

Die Bedeutung der keltischen Siedlung auf dem Frauenberg bei Leibnitz unterstreichen neben den beiden Heiligtümern auch die Nachweise der Münzprägung. Das administrative Zentrum wird spätestens mit der Stadterhebung des Vicus Solva zum Municipium unter Vespasianus von der Kuppe des Bergs in das Tal verlagert. Auf dem Frauenberg ist nicht nur eine Kult-, sondern auch eine Siedlungskontinuität von der Spätlatènezeit bis in die Spätantike belegt⁴⁴¹.

⁴³⁵ Ruprechtsberger 1984, 8 ff. Abb. 3 (Linz).

⁴³⁶ Karnitsch 1962, 35 ff. Taf. 32, 5 (Linz).

⁴³⁷ P. Gleischer, Urzeitliche Siedlungsreste im Bereich der Gracarca am Klopeiner See in Unterkärnten, Carinthia 183, 1993, 40 f. Abb. 5; 75; 81; 88 ff. Abb. 36–37; P. Gleischer, Weitere Siedlungsgrabungen auf der Gracarca am Klopeiner See, Carinthia 189, 1999, 19–25 Abb. 6–10;

29, 5, 7 (Gracarca).

⁴³⁸ Jablonka 2001, 188 ff. Abb. 5 (Gurina).

⁴³⁹ Gamper 2004 (Gurina).

⁴⁴⁰ Piccottini 1980, 91 ff. Abb. 80; Schindler-Kaudelka 1980, 112; Dolenz 2003, 710; Dolenz 2004 (Magdalensberg).

⁴⁴¹ Tiefengraber 1999, 6 ff. (Frauenberg).

Fundort	Befund, La-Tène	Befund, römisch	Kontinuitätskriterien	Bedeutungsverlust
Frauenberg bei Leibnitz	Heiligtümer Administratives Zentrum (Münzprägung) Siedlung mit Pfostenbauten in UK-Wallanlage	Heiligtum Gebäude auf Terrassierungen und Verebnungen	Kultkontinuität Metallverarbeitung	Civitas-Hauptort (Municipium Flavia Solva) in Ebene verlagert
Virunum-Magdalensberg	Römisches Emporium Befestigung mit Heiligtum (?) am Berggipfel	Heiligtum (?) Gebäude auf Terrassierungen rund um Gipfelplateau	Kultkontinuität (?)	Civitas-Hauptort (Municipium Virunum) in Ebene verlagert
Gurina	Händlersiedlung Befestigung (?) Heiligtum	Heiligtum Hypokaustierte Gebäude auf Terrassen	Kultkontinuität Wirtschaftsstrategischer Faktor	Stellung als Civitas-Hauptort verloren (?) Administratives Zentrum in das Municipium Teurnia verlagert

Tabelle 21: Siedlungskontinuität in Südnoricum

2. BEZUG DER VICI ZU DEN VERKEHRSWEGEN IN NORICUM (Abb. 136)

Folgende Vici liegen an den Hauptverkehrsrouten in Noricum:

Südnoricum: Der Vicus von Kalsdorf liegt an der Hauptverkehrsrouten von Solva in Richtung Norden und von hier gegen Osten; unweit von Kalsdorf steht ein Meilenstein in Lebern (20 Meilen von Solva)⁴⁴². Im Vicus von Kalsdorf ist eine platzartig erweiterte Straßenkreuzung mit Schotterrollierungen festgestellt worden (Straßenbreite 16 m, Weite des Platzes 30 m)⁴⁴³. – Meclaria-Maglern liegt an der Hauptverkehrsrouten nach Italien, der weitere Straßenverlauf in Richtung Südwesten wird durch den Meilenstein von Camporosso in Valcanale gekennzeichnet. An der nach Nordwesten geführten Straße Richtung Teurnia liegt Baldersdorf, wobei die Trassenführung entlang der Drau durch die Meilensteine in Wollanig und Teurnia markiert ist⁴⁴⁴. – Die Straße über die Tauernroute Teurnia-Katschberg-Radstädter Tauern führt durch den Vicus von Immurium-Moosham. Die Streckenführung ist durch mehrere Meilensteine gut rekonstruierbar, davon befindet sich einer in Immurium-Moosham selbst⁴⁴⁵. – An der von Aguntum gegen Westen führenden Straße befinden sich die Vici von Strassen und Sebatum-San Lorenzo di Sebato, in denen jeweils Meilensteine vorliegen (in Sebatum-San Lorenzo di Sebato sind 56 Meilen von Aguntum angegeben)⁴⁴⁶.

Nordnoricum: Die Weggabelung zweier Verkehrsrouten von Iuvavum-Salzburg nach Westen sowie von Boiodurum-Passau nach Süden bedingt die Bedeutung des Vicus von Bedaium-Seebruck. Die Straßenführung von Iuvavum-Salzburg westwärts nach Bedaium-Seebruck ist durch zahlreiche Meilensteine markiert⁴⁴⁷. Die Trasse Iuvavum-Ovilavis ist durch Meilensteinfunde sehr gut nachvollziehbar, an dieser Trasse liegt der Vicus von Tarnantone-Pfongau. – Die Limesstraße ist in Boiodurum-Passau durch eine an den Streifenparzellen in Richtung Südfront des Kastells vorbeiziehende, West-Ost-orientierte Straße mit geschottertem

⁴⁴² Winkler 1985, 73 Nr. 49 (Lebern).

⁴⁴³ U. Lohner, Kalsdorf, FÖ 33, 1994 (1995) 601 Abb. 932 (Kalsdorf).

⁴⁴⁴ Winkler 1985, 69 Nr. 1 (Camporosso in Valcanale). Nr. 53 (Oberwollanig). Nr. 55 (St. Peter in Holz).

⁴⁴⁵ Winkler 1985, 76 ff. Nr. 77–84 (St. Margarethen im Lungau). Nr. 85 (Moosham). Nr. 86. 94 (Mauterndorf). Nr. 87–92 (Tweng). Nr. 93, 95–103 (Radstädter Tauern).

Nr. 104 (Untertauern). Nr. 105–112 (Hütttau).

⁴⁴⁶ Winkler 1985, 75 Nr. 61 (Strassen). Nr. 71 (San Lorenzo di Sebato).

⁴⁴⁷ Winkler 1985, 85 Nr. 142 (Sillersdorf). Nr. 144 (Holzhausen). Nr. 146 (Surberg). Nr. 147 (Pfaffing). Nr. 148 (Erlstätt). Nr. 149 (Seebruck). Nr. 151–152 (Söchtenau).

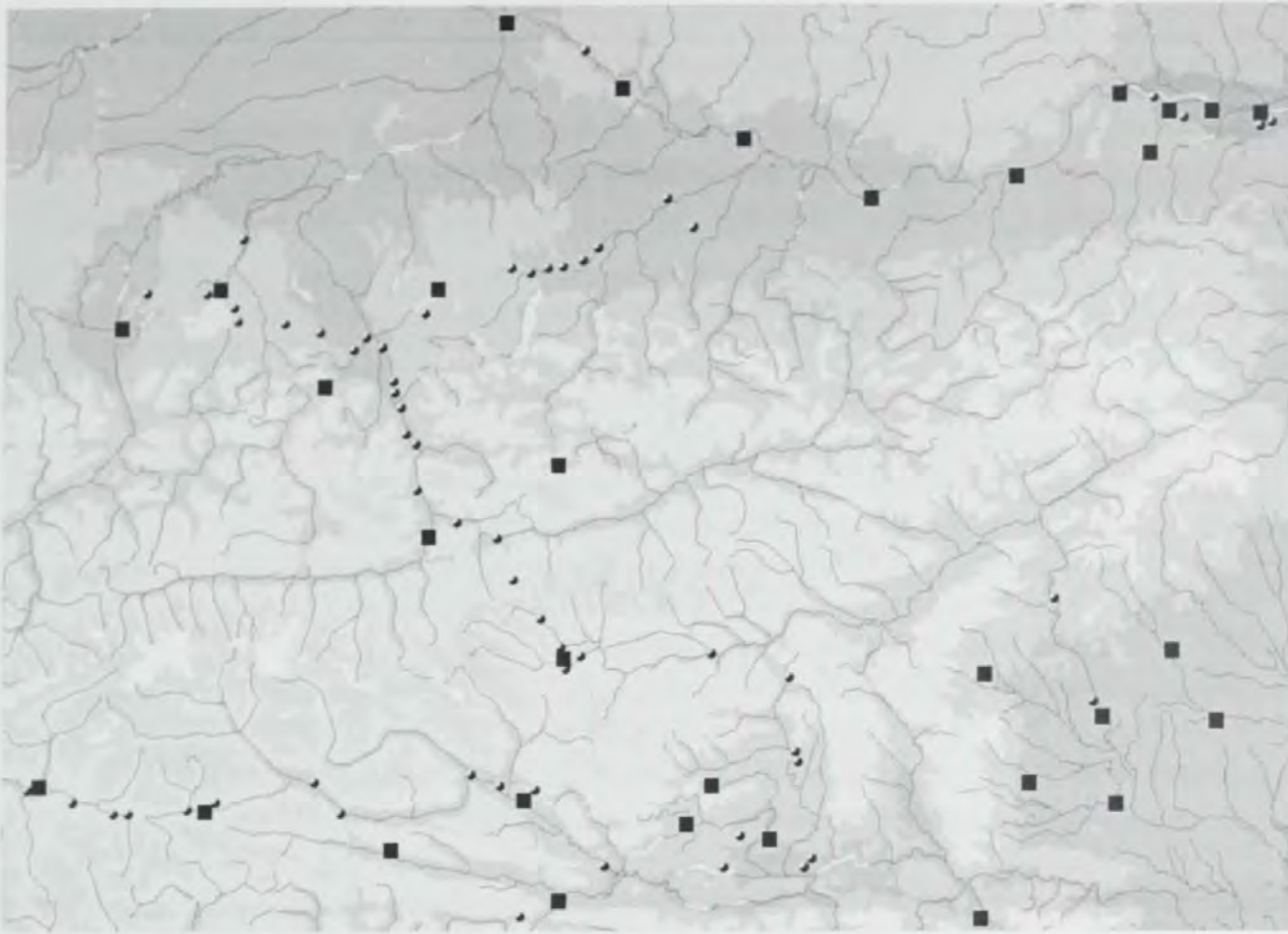


Abb. 136: Vicusbefunde (Rechteck) und Meilensteine (Punkt) in Noricum.

Körper (Höhe 0,3–0,4 m, größte Breite 6 m) dokumentiert⁴⁴⁸. Eine Parallelstraße zur Limesstraße ist im Vicusabschnitt Linz-Hahnengasse erfassbar (größte Breite 6 m); die auf diese Straße im rechten Winkel zielenden Querstraßen weisen eine Breite von 3 m auf⁴⁴⁹. In Arelape-Pöchlarn ist der Verlauf der Limesstraße durch einen Meilenstein markiert⁴⁵⁰. Im Vicus Süd von Favianis-Mautern liegt ein bis zu 6,5 m breiter, Nord-Süd-orientierter Straßenkörper vor. Diese Stichstraße dürfte auf die südlich an Favianis-Mautern vorbeigeführte Nebenrasse der Limesstraße treffen, deren West-Ost-Verlauf durch die Geleisstraße in Mauternbach und den Meilenstein in Hollenburg dokumentiert ist⁴⁵¹. Die Hauptverkehrsstraße ist im Vicus Augustianis-Traismauer Ost-West-orientiert; ein zweiphasiger geschotterter Straßenkörper weist in der ältesten Periode eine maximale Breite von 4 m auf⁴⁵². Der weitere Verlauf der Limesstraße ist durch die Meilensteine von Gemeinlebarn, Comagenis-Tulln und Nitzing gekennzeichnet⁴⁵³.

⁴⁴⁸ Wandling 1989, 234, Übersichtsplan (Passau).

⁴⁴⁹ Karnitsch 1962, 35 Taf. 34 (Linz).

⁴⁵⁰ Winkler 1985, 83 Nr. 128 (Pöchlarn).

⁴⁵¹ Winkler 1985, 130 Abb. 6 (Mauternbach); 83 Nr. 127 (Hollenburg).

⁴⁵² Parz. 996/1: Gattringer 1974, 114 ff.; Parz. 960: J.-W. Neugebauer, Rettungsgrabungen im Unteren Trai-

sental in den Jahren 2000 und 2001, FÖ 40, 2001 (2002) 193 Abb. 4, 1–4; 5, 1–2 (Traismauer).

⁴⁵³ A. Gattringer – J.-W. Neugebauer – H. Ubl, Zur Bedeutung der Auffindung zweier römischer Meilensteine im Jahre 1998 in Gemeinlebarn, Stadtgemeinde Traismauer, Niederösterreich, FÖ 37, 1998 (1999) 179 ff.

3. DREI OFFENE SIEDLUNGSTYPEN DER FRÜHEN UND MITTLEREN KAISERZEIT

3.1 Vici mit Ein-/Mehrraumhäusern – Gleisdorf, Kalsdorf, Saaz, Frauenberg bei Leibnitz, Colatio-Stari trg, Tarnantone-Pfongau (Abb. 137 und Tab. 22–23)

In Südostnoricum sind als typische Strukturen der offenen zivilen Siedlungen Ein- bzw. Mehrraumhäuser zu erfassen, die entlang einer Straße errichtet sind, fallweise in rechteckigen, umfriedeten Hofarealen. Als ältester bislang vorgelegter schlüssiger Beleg ist das Einraumhaus bzw. die Einraumhütte flavischer Zeit von Saaz (Kap. I.B.1.1.1), ein quadratischer Ständerbau, beizubringen. Die geringe Größe von 4 m² deutet auf die Funktion als Wirtschaftsgebäude hin, wenngleich die Abfälle eine Einbindung in den als Wohnareal genutzten Bereich der Siedlung indizieren (Kap. II.H.1). Der Ausbau in Holz-Fachwerk ist in Saaz für die hadrianische Zeit zu postulieren (Kap. I.B.1.1.2), in Gleisdorf wird bislang ein Wechsel von der Holz- zur Holz-Stein-Architektur um die Mitte des 2. Jahrhunderts n. Chr. angenommen⁴⁵⁴. In manchen Fällen ist eine Erweiterung des ursprünglichen Einzelobjekts durch Zubauten zu erfassen⁴⁵⁵; diese Bereicherung eines Kernraums durch nachträgliche Ein- und Anbauten wurde bereits bei den ältesten systematischen Untersuchungen von W. Schmid in Gleisdorf festgestellt⁴⁵⁶. Die Einraumhäuser weisen in Gleisdorf eine maximale Größe von 52 m² (7 × 7,5 m) auf, das Mehrraumhaus 85 m² (9 × 9,5 m) in einem 363 m² (16,5 × 22 m) großen umfriedeten Areal⁴⁵⁷.

In Nordwestnoricum ist nur ein ziviler Vicus mit Ein-/Mehrraumhäusern festzustellen, in welchem bislang offenbar keine anderen Hausformen (streifenförmige Verbauung, Korridorhaus) vorliegen: In Tarnantone-Pfongau ist neben einem hypokaustierten Einraumhaus von mindestens 29 m² (8 × mindestens 3,6 m), ein Mehrraumhaus mit einem hypokaustierten Kernraum und zwei weiteren Räumen sowie einem Umgang mit insgesamt 259 m² (18,5 × 14 m) dokumentiert. Ein weiteres Mehrraumhaus mit Windfang misst 85 m² (9 × 9,5 m). Über die Strukturierung einer 201 m² (15,5 × 13 m) großen Konstruktion wird in den Fundberichten nichts ausgeführt, die Datierung der Gebäude wird ab dem 2. Jahrhundert n. Chr. angenommen⁴⁵⁸.

Erwähnenswert ist in Zusammenhag mit den Mehrraumhäusern eine im 3. Jh. n. Chr. in Sebatum-San Lorenzo di Sebato, Südwestnoricum, belegte Variante mit Windfang und hypokaustiertem Wohnraum, welche Anklänge an den Typ des rätischen Hauses zeigt⁴⁵⁹.

Mehrraumhäuser					
Fundort	Parzellenmaße	Gebäude	Größter Raum, m ²	Konstruktion	Boden
Saaz (Kap. I.B.1.1.2)	max. 575 m ²	Gebäude 1	?	Holz-Stein	Schotter
Gleisdorf ⁴⁶¹	363 m ²	Mehrraumhaus D in Hof	85 m ²	Holz-Stein	?
	min. 219 m ²	Mehrraumhaus	86 m ² bzw. 75 m ² (nach nachträglichen Einbau)	Holz	Lehm
Kalsdorf ⁴⁶¹	?	Umgangshaus jüngere Periode	126 m ²	Holz-Stein	Estrich
	min. 572 m ²	Gebäudekomplex 3	123 m ²	Holz-Stein	?
Frauenberg bei Leibnitz ⁴⁶²	min. 283 m ²	Gebäude 1	36 m ²	Holz-Stein (?)	?, 1 Raum hypokaustiert

⁴⁵⁴ Lorenz – Maier 1991, 315; Lohner 2003, 108 f. Abb. 4–5; zur Relativ- und Absolutchronologie von Befunden und Funden: Pammer 2001, 7 ff. (Kalsdorf).

⁴⁵⁵ Lorenz – Maier 1991, 315 (Kalsdorf).

⁴⁵⁶ Schmid 1929, 67 ff. Abb. 35 (Gleisdorf).

⁴⁵⁷ Maier 1995, 44 ff.; Lohner 2000, 17 ff. (Gleisdorf).

⁴⁵⁸ Feldinger 1989; Feldinger 1988 (Pfongau).

⁴⁵⁹ Lunz 2002, 789 Abb. 6; <http://www.sebatum.it/noFlash.htm>: Rekonstruktion des Grabungsbefunds 'Puinland-Haus'; das ebenda als „Thermenanlage des Gutshofes im Peintneracker“ angesprochene Haus mit Windfang, quadratischem Raum samt zentraler Herdstelle und hypokaustiertem Wohnraum dürfte gleichfalls diesem Typ entsprechen.

Mehrraumhäuser					
Fundort	Parzellenmaße	Gebäude	Größter Raum, m ²	Konstruktion	Boden
Pfongau ⁴⁶³	?	Gebäude A	?	Stein	? 1 Raum hypokaustiert

Tabelle 22: Mehrraumhäuser in norischen Vici mit Ein-/Mehrraumhäusern

Einraumhäuser					
Fundort	Parzellenmaße	Gebäude	m ²	Konstruktion	Boden
Saaz (Kap. I.B.I.I.I)	–	Holzgebäude (SE 138–143)	4 m ²	Holz	Lehm (?)
Gleisdorf ⁴⁶⁴	–	Einraumhaus C	52 m ²	Holz-Stein	?
		Einraumhaus G	49 m ²	Holz-Stein	?
		Einraumhaus A	42 m ²	Holz-Stein (?)	Estrich
		Einraumhaus Objekt 1	17 m ²	Holz (Ständer)	Kies
		Einraumhaus Objekt 3	16 m ²	Holz (Ständer)	Lehm/Mörtel
Kalsdorf ⁴⁶⁵	–	Umgangshaus ältere Periode	126 m ²	Holz-Stein	Estrich
Colatio- Stari trg ⁴⁶⁶	310 m ²	Einraumhaus Objekt II	52 m ²	Holz-Stein (?)	?
Pfongau ⁴⁶⁷	–	Gebäude B	85 m ²	Stein	?
	–	Gebäude D	min. 21 m ²	Stein	hypokaustiert

Tabelle 23: Einraumhäuser in norischen Vici mit Ein-/Mehrraumhäusern

3.2 Vici mit Mischbebauung (Ein-/Mehrraumhäuser und Streifenverbauung – Immurium-Moosham, Bedaium-Seebruck; Ein-/Mehrraumhäuser und Korridorhaus – Karlstein) (Abb. 138 und Tab. 24–26)

Nur in Westnoricum sind bislang zivile Vici belegt, in welchen ein kontemporäres Nebeneinander unterschiedlicher Bebauungsmuster in Rechteck- und Streifenparzellen zu erfassen ist. In Immurium-Moosham und Bedaium-Seebruck sind zum einen die rechteckigen, umfriedeten Hofareale mit Mehrraumhäusern, wie sie auch in Südostnoricum gängig sind, festzustellen, zum anderen streifenförmige Parzellen mit Komplexbauten bzw. Streifenhäusern, wie sie in den Kastellvici der Limesregion auftreten.

In Bedaium-Seebruck ist in einem kleinräumigen Siedlungsbefund die Flächennutzung sowohl durch ein Ein-/Mehrraumhaus als auch durch streifenförmige Verbauung zu dokumentieren. Der Wandel vom Ein- zum Mehrraumhaus lässt sich an einem modern gegrabenen Befund gut beobachten: Der Kernraum, ein 56 m² (8 × 7 m) messendes Geviert, wird in mehreren Umbauphasen mit zusätzlichen festen Konstruktionen in Stein ergänzt. Das Fehlen von Feuerstellen bzw. Heizungen in den älteren Bauphasen wird von S. Burmeister dahingehend interpretiert, dass es sich bis zum späten Anbau des Raums mit Kanalheizung um kein Wohnhaus, sondern um eine dem Handwerk oder Handel vorbehaltene Konstruktion handelt⁴⁶⁸. Da

⁴⁶⁰ Maier 1995, 45 f. Beil. 22 (Gebäude D) (Gleisdorf).

⁴⁶¹ Lohner 1999, 31 Abb. 7 (Umgangshaus); Pammer 2001, 13 Abb. 1 (Gebäudekomplex 3) (Kalsdorf).

⁴⁶² Steinklauber 2002, 36 f. Planbeil. 1 (Frauenberg).

⁴⁶³ Feldinger 1988, 317 (Pfongau).

⁴⁶⁴ Maier 1995, 39 Beil. 15 (Objekt 3); 44 f. Beil. 21 (Gebäude C); 52 Beil. 24–25 (Objekt 1; Gebäude G); 54 Beil. 20 (Gebäude A) (Gleisdorf).

⁴⁶⁵ Lorenz – Maier 1991, 315; Lohner 1999, 31 Abb. 7

(Kalsdorf).

⁴⁶⁶ Egger 1914, 71 f. Abb. 42; Djura Jelenko 2004, 24 f. Abb. 13–14 (Stari trg).

⁴⁶⁷ Feldinger 1989 (Gebäude D); Feldinger 1988; E. M. Feldinger, Ein römisches Büstengefäß aus Pfongau/Gemeinde Neumarkt, in: Das Kunstwerk des Monats, Salzburger Museum C. A. (Juni 1989) mit Abb. (Gebäude B); <http://www.fronfeste.at> (Pfongau).

⁴⁶⁸ Burmeister 1998, 57 ff. Beil. 4 (Seebruck).

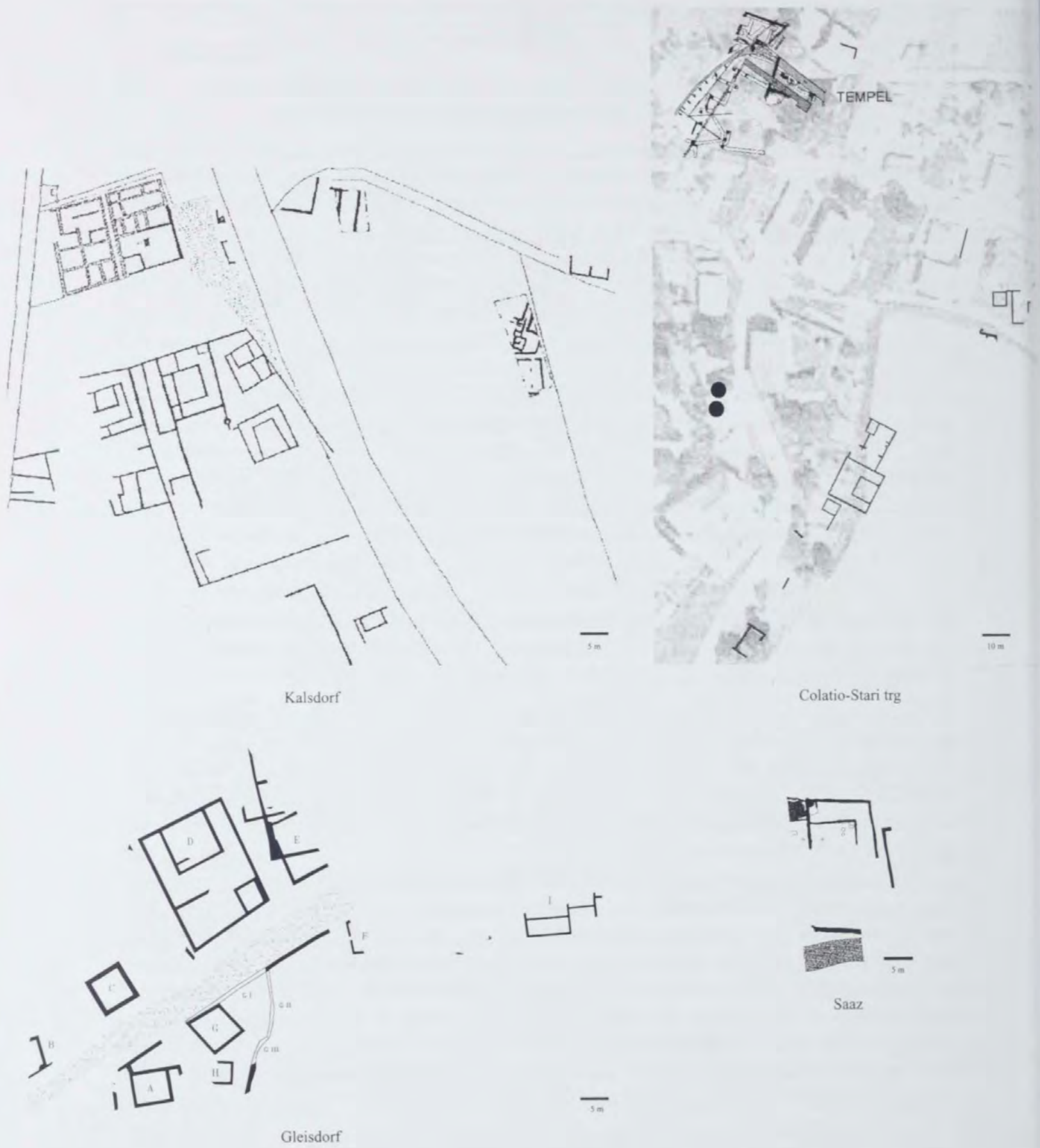
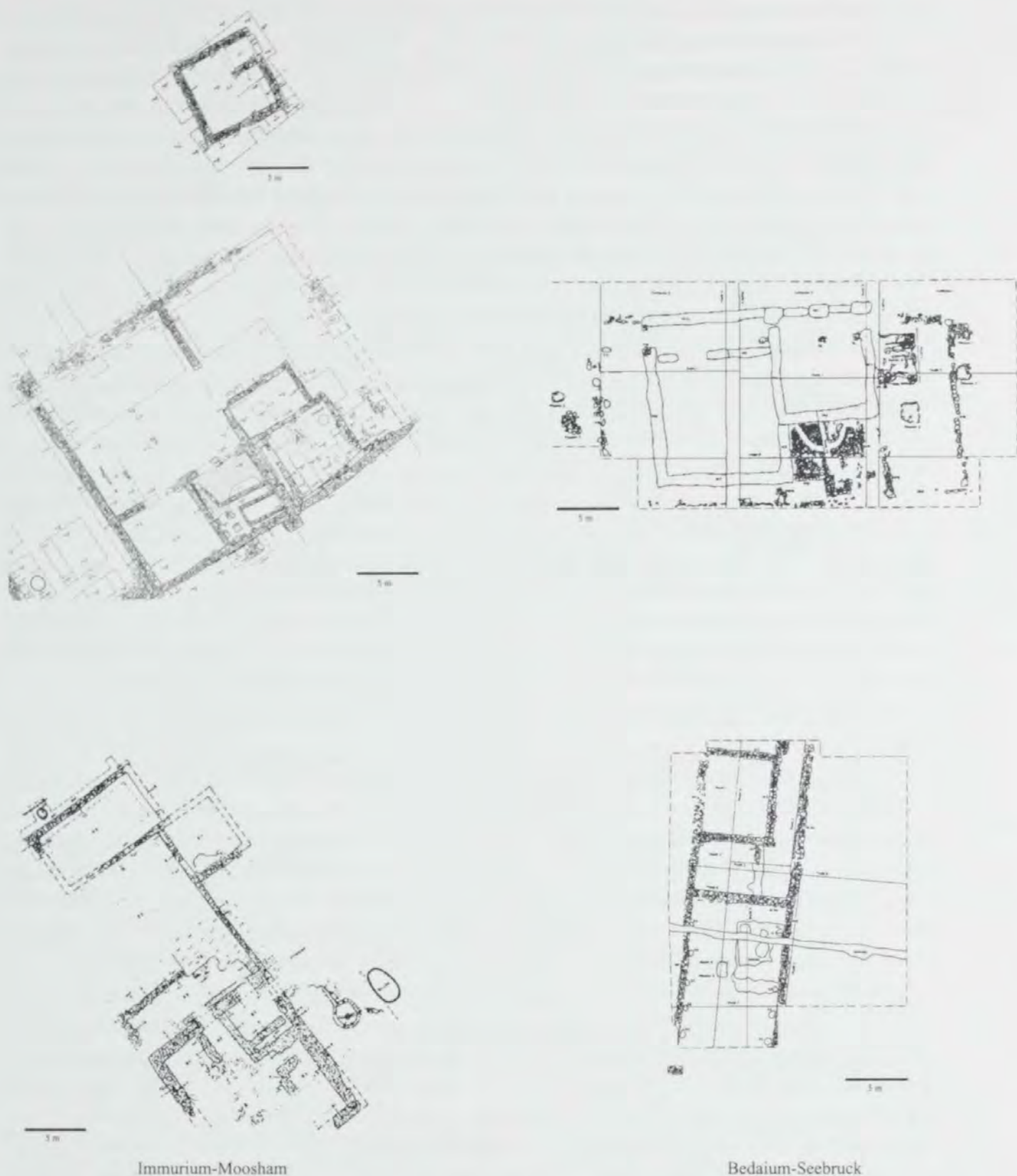


Abb. 137: Ein- bzw. Mehrraumhäuser in den Vicusbefunden von Kalsdorf, Gleisdorf, Saaz und Colatio-Stari trg.



Immurium-Moosham

Bedaium-Seebruck

Abb. 138: Ein- bzw. Mehrraumhäuser sowie streifenförmige Verbauung in den Vicusbefunden von Immurium-Moosham und Bedaium-Seebruck.

die Umbauten jedoch auch Eingriffe in ältere Baustrukturen (Bodenniveaus) bedingten, ist das Vorhandensein bodenebener Feuerstellen allerdings in älteren Bauzuständen nicht gänzlich auszuschließen; auch muss eingeräumt werden, dass in den vergleichbaren Ein- und Mehrraumhäusern von Südostnoricum zwar üblicherweise Feuerstellen⁴⁶⁹, jedoch durchwegs keine Fuß-

⁴⁶⁹ H.-Th. Lorenz – Ch. Maier, Kalsdorf, FÖ 29, 1990 (1991) 258 (Kalsdorf); Schmid 1929, 68 Abb. 35H (Gleisdorf).

bodenheizungen vorkommen, sieht man von den Strukturen am Frauenberg bei Leibnitz und von der Schlauchheizung in Saaz (Abb. 31) ab⁴⁷⁰. In Bedaium-Seebruck erscheint es besonders augenfällig, dass die Errichtung der Umfassungsmauer (M 15), welche das Grundstück mit einer Fläche von 435 m² (29 × 15 m) einhegt, nicht vor der jüngsten Ausbauphase nachzuweisen ist. Das Einraumhaus wird in flavischer Zeit erbaut, die Aus- und Umbauten des Hauses sind bis nach 200 n. Chr. zu verfolgen⁴⁷¹.

Unmittelbar gegenüber diesem Ein-/Mehrraumhaus besteht in Bedaium-Seebruck eine partiell dokumentierte streifenförmige Verbauung; ein Gebäude mit einer Mindestlänge von 26 m und einer Breite von 7,5 m, mit mehreren Raumeinheiten, wird in flavischer Zeit errichtet und mit zwei Umbauten bis in das 2. Jahrhundert n. Chr. genützt. Die Fundamente bestehen aus grobem, in die Fundamentgräben verfülltem Geröll⁴⁷².

Im Vicus von Immurium-Moosham kann im Ostabschnitt der bislang untersuchten Siedlungsbefunde ein Areal mit zwei Mehrraumhäusern in rechteckig umfriedeten Höfen, mit zwei Einraumhäusern und mit einem Badegebäude von einer anders strukturierten Nutzung im Westabschnitt mit zwei offenbar in eine streifenförmige Parzellierung eingepassten Wohn-/Werkhäusern und einer Mansio unterschieden werden. Die beiden Mehrraumhäuser (Haus C, Haus F) weisen einen hypokaustierten Kernraum auf, welcher an drei Seiten von vier bis fünf Wohn- und Arbeitsräumen flankiert wird. Die Innenmaße dieses (in Haus C partiell) hypokaustierten Raums betragen maximal 30 m² (5 × 6 m), die Gesamtfläche der Gebäude mit großen umfriedeten Hofarealen beläuft sich auf bis zu 504 m².⁴⁷³ Die Funktion der Häuser als kombinierte Wohn- und Werkareale ist anhand typischer Funde aus der Metallverarbeitung zum einen⁴⁷⁴ sowie repräsentativer Ausgestaltung der Wohnräume mit polychromer Wandmalerei und Stuck zum anderen nachvollziehbar. Für den gleichfalls in mehrere Raumeinheiten (davon zwei hypokaustierte) gegliederten Gebäuderest Haus J wird eine Interpretation als Mansio vorgeschlagen⁴⁷⁵.

Die beiden Einraumhäuser (Haus E, Haus G) messen 54 m² (7,5 × 7,25 m) bzw. 60 m² (8 × 7,45 m) und sind in einem Fall (Haus E) mit einem Windfang ausgestattet⁴⁷⁶. Sowohl Mehr- als auch Einraumhäuser weisen Fundament- bzw. Sockelmauern auf, das Aufgehende dürfte anhand der Rutenputzreste aus den Mehrraumhäusern C und F in einer Holz-Fachwerk-Konstruktion zu rekonstruieren sein. Die Errichtung der Mehrraumhäuser wird in claudischer Zeit, jene der Einraumhäuser in claudischer bis flavischer Zeit angesetzt; die Siedlung hatte mit diesen Baustrukturen bis in die erste Hälfte des 3. Jahrhunderts n. Chr. Bestand⁴⁷⁷.

Für zwei der Gebäude (Haus A und B) im Vicus von Immurium-Moosham könnte eine Rekonstruktion als Streifenhäuser anzunehmen sein, zumal die in einen annähernd quadratischen Grundriss eingeschriebenen Wohn- und Werkräume im straßenabgewandten Areal jeweils eine vorgelagerte Freifläche aufweisen, wobei dieser Hof in einem Fall durch einen Tabernenbau (?) zur Straße hin abgeschlossen wird. Die Grundfläche der Wohn- und Werkräume beträgt in Haus B 220 m² (12,2 × 18 m), die Gesamtfläche der Parzelle maximal 489 m² (33,3 × 12,2–14,7 m). Die erhaltenen Fundamente sind in Stein errichtet. Außerhalb des Gebäudes findet sich ein Wasserbecken und eine Grube mit dem Abfall eines Mosaizisten. Die Errichtung dieser Gebäude wird in claudischer bis flavischer Zeit angesetzt⁴⁷⁸.

⁴⁷⁰ Zu frühromischer Schlauchheizung vgl. G. Piccotini, Die Südhang-Bauten NG/2 und SH/1 – SH/16 und die Osthang-Bauten OH/1 – OH/6, Magdalensberg-Gra- bungsbericht 16 (1998) 143 Abb. 114. 122 (Magdalens- berg).

⁴⁷¹ Burmeister 1998, 62 ff. Beil. 4–5 (Seebruck).

⁴⁷² Burmeister 1998, 69 ff. Beil. 7 (Seebruck).

⁴⁷³ Fleischer 1966–67, 168 ff. Abb. 71; Fleischer 1998, 17 (Moosham).

⁴⁷⁴ Fleischer 1998, 17 ff. Plan Vorsatz vorne; 30 ff. Plan Vorsatz hinten (Moosham).

⁴⁷⁵ Fleischer 1998, 41 ff. Abb. 42 (Moosham).

⁴⁷⁶ Fleischer 1998, 27 ff. Abb. 22; 39 Abb. 40; Fleischer 1966–67, 219 ff. Abb. 97 (Moosham).

⁴⁷⁷ Fleischer 1998, 17 ff.; 47 (Moosham).

⁴⁷⁸ Fleischer 1998, 12 ff. Abb. 6. 9; 47; Fleischer 1964–65, 123 ff. Abb. 58 (Moosham).

Eine andere Form der Mischbebauung ist in Karlstein festzustellen, wo neben den üblichen Ein- und Mehrraumhäusern auch ein Korridorhaus vorliegt. Die Größe der kleinen Rechteckbauten beträgt maximal 28 m² (4 × 7 m); das als Mehrraumhaus angesprochene Gebäude weist einen rechteckigen, hypokaustierten Kernraum auf, um den sich an drei Seiten ein großflächiger Raum mit Einbau gruppiert⁴⁷⁹. Das Korridorhaus von Karlstein ist ein mit mehreren, teils hypokaustierten, um einen Gang gruppierten Räumen ausgestattetes Haus; die Gesamtfläche beläuft sich auf 244 m² (19 × 12,85 m)⁴⁸⁰.

Mehrraumhäuser					
Fundort	Parzellenmaße	Gebäude	Größter Raum, m ²	Konstruktion	Boden
Immurium-Moosham ⁴⁸¹	504 m ²	Haus C	38 m ²	Holz-Stein	Estrich; Lehm 1 Raumteil hypokaustiert
	399 m ²	Haus F	41 m ²	Holz-Stein	Estrich; Lehm
Bedaium-Seebruck ⁴⁸²	435 m ²	Fläche 3 (ab Phase 6)	154 m ²	Holz-Stein	Estrich
Karlstein ⁴⁸³	186 m ²		27 m ²	?	?, 1 Raum hypokaustiert

Tabelle 24: Mehrraumhäuser in norischen Vici mit Mischbebauung

Einraumhäuser					
Fundort	Parzellenmaße	Gebäude	m ²	Konstruktion	Boden
Immurium-Moosham	–	Haus E	54 m ²	Stein	Lehm; Estrich
		Haus G	60 m ²	Stein	?
Bedaium-Seebruck ⁴⁸⁴		Fläche 3 (Phase 5)	56 m ²	Holz-Stein	Estrich
Karlstein ⁴⁸⁵			28–33 m ²	?	?

Tabelle 25: Einraumhäuser in norischen Vici mit Mischbebauung

Streifenförmige Verbauung					
Fundort	Parzellenmaße	Gebäude	Größter Raum, m ²	Konstruktion	Boden
Immurium-Moosham ⁴⁸⁶	min. 258 m ² max. 379 m ²	Haus A	22 m ²	Holz-Stein (?)	Mosaik; Estrich ursprünglich hypokaustiert
	489 m ²	Haus B	min. 17 m ²	Holz-Stein (?)	Estrich
Bedaium-Seebruck ⁴⁸⁷	min. 195 m ²	Fläche 4	42 m ²	Holz-Stein	Estrich; Kies

Tabelle 26: Streifenförmige Verbauung in norischen Vici mit Mischbebauung

3.3 Vici mit Bebauung in Streifenparzellen – Boiodurum-Passau, Lentia-Linz, Favianis-Mautern, Augustianis-Trismauer, Zwentendorf, Comagenis-Tulln (Tab. 27)

In Noricum ist ausschließlich in den Kastellvici eine das gesamte Siedlungsgebiet erfassende streifenförmige Parzellierung zu dokumentieren. Die regelhafte Verbauung dieser Parzellen mit Streifenhäusern, welche straßenseitig einen Keller aufweisen, ist entsprechend dem bisherigen Forschungsstand ausschließlich für einen Befund in Lentia-Linz festzustellen, in allen anderen Vici lässt sich eine bedarfsorientierte Nutzung mit unterschiedlichen Strukturen aufzeigen. Am deutlichsten zeigt sich diese heterogene Bebauung bei der Betrachtung der Kellerbefunde, welche in der Mehrzahl der norischen Kastellvici (Boiodurum-Passau, Wallsee⁴⁸⁸, Favianis-Mautern, Augustianis-Trismauer) ausschließlich in geringer Dichte belegt sind.

⁴⁷⁹ Reinecke 1961, 167 f. Abb. 1. 6 (Karlstein).

⁴⁸⁰ Reinecke 1961, 162 ff. Abb. 2–5 (Karlstein).

⁴⁸¹ Fleischer 1998, 17 ff. Vorsatz vorne (Haus C);
30 ff. Plan Vorsatz hinten (Haus F) (Moosham).

⁴⁸² Burmeister 1998, 57 ff. Beil. 4–5 (Seebruck).

⁴⁸³ Reinecke 1961, 167 Abb. 6 (Karlstein).

⁴⁸⁴ Burmeister 1998, 57 Beil. 4 (Seebruck).

⁴⁸⁵ Reinecke 1961, 167 f. Abb. 6 (Karlstein).

⁴⁸⁶ Fleischer 1998, 12 ff. Abb. 2. 6. 9; Fleischer 1964–
65, 123 ff. Abb. 58 (Moosham).

⁴⁸⁷ Burmeister 1998, 69 ff. Beil. 7 (Seebruck).

⁴⁸⁸ Tscholl 1979, 112 ff. Abb. 9–11 (Wallsee).

Fundort	Parzellenmaße	Vorherrschender Gebäudetyp	Nachweise von Kellern
Boiodurum-Passau	Breite 4–8/10 m	Schwellbalken-/Ständerkonstruktionen	1 Erdkeller, 8 m ²
Lentia-Linz	rund 474 m ²	Streifenhäuser in Schwellbalken-/Ständerkonstruktionen	3 Steinkeller, davon einer 22 m ² 1 Erdkeller/Brunnenhaus, rund 10 m ²
Wallsee	?	?	2 Steinkeller, davon einer 44 m ²
Favianis-Mautern	min. 400–575 m ²	Periode 1 Streifenparzellen mit Mehrraumhäusern in Schwellbalken-/Ständerkonstruktionen Grubenhütten in Streifenparzellen Perioden 2–4 Grubenhütten in Streifenparzellen Komplexbauten, Holz bzw. Holzfachwerk, in Streifenparzellen mit Keller	mehrere Erdkeller, davon einer 11 m ² 1 Erdkeller/Brunnenhaus, rund 13 m ² 6 Steinkeller, davon einer 15 m ²
Augustianis-Traismauer	?	Periode 1 Schwellbalken-/Ständerkonstruktionen Periode 2 Komplexbau (?), Holzfachwerk, in Streifenparzellen mit Keller	mehrere Erdkeller 1 Steinkeller, 16 m ²
Comagenis-Tulln	min. 204 m ²	Streifenhäuser, Holzfachwerk	?

Tabelle 27: Norische Vici mit Bebauung in Streifenparzellen

Streifenförmige Verbauung, mit/ohne Keller: Im Vicus von Boiodurum-Passau ist in großflächig untersuchten Arealen die Konstruktion von Gebäuden in Streifenparzellen anhand von Balkengrübchen und Pfostengruben in mehreren Bauphasen von der Mitte des 2. bis in das zweite Drittel des 3. Jahrhunderts n. Chr. dokumentiert, wobei sich auch eine Richtungsänderung in der Parzellierung von West-Ost auf Nord-Süd festhalten lässt. Für einen Teilabschnitt lässt sich die Orientierung auf den unmittelbar vorbeilaufenden Straßenkörper dokumentieren. Die lichte Weite zwischen den Balkengraben der Längskonstruktionen schwankt zwischen 4 und 8/10 m. Die Kombination dieser Schwellen- bzw. Ständerkonstruktionen, die innerhalb der Parzellengraben möglicherweise auch nur partiell überdacht sind, mit Erdkellern lässt sich nur in einem Fall am Ende des 2./Anfang des 3. Jahrhunderts n. Chr. dokumentieren: der Keller misst 8 m² (3 × 2,7 m), ist 1 m eingetieft, weist einen Kieselboden auf und ist am Haupt des Gebäudes, also im straßenseitigen Bereich, eingerichtet⁴⁸⁹.

Tatsächlich um Streifenhäuser in Holz-Fachwerk-Konstruktion mit Kellereinbauten handelt es sich bei den Befunden in Linz (Hahnengasse), deren erste Brandzerstörung anhand der Verfüllmaterialien aus den Kellern KII (holzverschalt) und KIV (Stein) um die Mitte des 2. Jahrhunderts n. Chr. datiert. Eine weitere Zerstörung ist in der zweiten Hälfte des 3. Jahrhunderts n. Chr. anzunehmen, zumal sich in der Brandschutt-Verfüllung des Kellers I eine Münze des Claudius II (268/270 n. Chr.) findet⁴⁹⁰. Die Parzellenbreite ist anhand von Befunden in den Suchschnitten B, E, F mit mindestens 12,4 m anzunehmen, die tatsächliche Parzellenlänge und die Raumaufteilung ist aufgrund des in wenigen Schnitten dokumentierten Befunds im Detail nicht rekonstruierbar; P. Karnitsch nimmt eine Gesamtlänge von 38,2 m an, die Gesamtfläche der Parzelle würde demnach rund 474 m² betragen. In drei Streifenparzellen ist die Einrichtung straßenseitiger Keller in Stein (KI, KIII, KIV) zu erfassen. Für den Steinkeller KI sind die Gesamtgröße, 22 m² (4,64 × 4,8 m), sowie die Ausstattung mit gemauerter Treppe und einem nach außen trichterförmig erweiterten Lichtschacht aufzuzeigen; letztere Grundrisslösung ist auch an KIII zu beobachten; darüber hinaus ist im mittleren Teil (?) einer Streifenparzelle ein Brunnenhaus (Keller KII) nachzuweisen⁴⁹¹.

⁴⁸⁹ Wandling 1989, 232 ff. Übersichtsplan; Niemeier (KI) (Linz).
1993, 88 ff. (Passau).

⁴⁹⁰ Karnitsch 1962, 24 ff. (KII); 32 ff. (KIV); 35 ff.

⁴⁹¹ Karnitsch 1962, 35 ff. Taf. 34 (Linz).

In Favianis-Mautern sind Parzellen mit Streifenhäusern bzw. Komplexbauten sowie straßenseitigen bzw. mittig im Grundstück gelegenen Kellern in allen Regionen des Vicus verstreut festzustellen. Diese Konstruktionen sind vom späten 1. Jahrhundert n. Chr. bis in das 3. Jahrhundert n. Chr. nachzuweisen⁴⁹². Als Besonderheit sind die beiden in Steinbauweise errichteten Keller mit Wandnischen zu erwähnen. Von diesen ist einer integrativer Bestandteil eines in seiner Gesamtlänge bei Altgrabungen untersuchten Streifenhauses, dessen Brandzerstörung um die Mitte des 3. Jahrhunderts n. Chr. anzunehmen ist. Dieses in der älteren Forschung irrigerweise als „Villa von Mautern“ bezeichnete Gebäude misst 575 m² (50,9 × 11,3 m), der mittig in der Parzelle angelegte Keller 15 m² (2,7 × 5,8 m)⁴⁹³. Die hier festgestellte Parzellenbreite von 11,3 m entspricht weitestgehend den bereits in der ältesten Holzbauphase vorgegebenen Maßen, wobei im Vicus Ost (Parz. 800/4) Parzellengrößen von 400 m² (10 × 40 m) vorliegen⁴⁹⁴.

Die zahlreichen Baustellenbeobachtungen, Fundbergungen und fallweise archäologischen Untersuchungen im Kastellvicus von Augustianis-Traismauer liegen bislang zwar in Fundberichten, jedoch ohne Kartierungsgrundlage und ohne Detailauswertung vor. Unter den zahlreichen Fundmeldungen sind in Hinblick auf eine streifenförmige Verbauung im Vicus jene von Interesse, die Hinweise auf Kellerstrukturen (Erdkeller, kellerartige Gruben) geben (Parz. 72; Parz. 941/2; Parz. 943/3; Parz. 995/1; Parz. 1000)⁴⁹⁵ bzw. die weitaus selteneren, welche eine tatsächliche streifenförmige Gliederung anhand der Parzellengräben aufzeigen: Für die Parz. 83/3 von Augustianis-Traismauer, im bevorzugten Siedlungsareal östlich des Kastells, sind Streifenhäuser exemplarisch dokumentierbar, welche mit der Schmalseite auf die nördlich vorbeiführende Straße ausgerichtet sind und (fallweise) holzverschaltete Keller aufweisen. Die ursprünglich in Holz errichtete Streifenbebauung flavischer (?) Zeit wird partiell in Stein umgebaut, wie ein unmittelbar an der früheren Parzellierung ausgerichtetes Gebäude mit Rollschotterfundamenten zeigt. Die Böden sind teilweise mit einem Estrich versehen und der Steinbau weist auch einen Keller von 16 m² (3,5 × 4,5 m) auf. Raumeinheiten mit polychromer Wandmalerei sind aufgrund der vorhandenen Funde vorstellbar⁴⁹⁶.

Auf mindestens 204 m² (34 × 6 m) ist ausschnittsweise eine Streifenparzelle im Vicus West von Comagenis-Tulln (Albrechts-/Donaugasse) dokumentiert, welche mit der nördlichen Schmalseite an einen Straßengraben anschließt. Die gemörtelten Fundamentmauern umschließen im mittleren Abschnitt Estrichflächen, deren Zugehörigkeit zu den Strukturen des Streifenhauses zwar wahrscheinlich, aber nicht gesichert ist. Die Zeitstellung des Gebäudes wird zwischen dem Ende des 2. und dem 3. Jahrhundert n. Chr. angenommen⁴⁹⁷.

Über der Struktur eines West-Ost-orientierten Streifenhauses könnte auch der spätrömische Steinbau im Vicus Süd von Comagenis-Tulln entstanden sein, jedenfalls wird von den Fundamentmauern berichtet, dass diese unmittelbar über den Balkengräben eines Holzgebäudes errichtet sind; das Gebäude der Steinbauphase misst mindestens 102 m² (17 × 6 m). Der Vorgängerbau dürfte mit figuraler Wandmalerei ausgestattet gewesen sein, jedenfalls sind in den Putz des jüngeren Hauses sekundär bemalte Reste eingemörtelt⁴⁹⁸.

⁴⁹² Groh 2006a, 115 ff.; 163 ff.; Groh 2001b, 18 ff. Abb. 9–11. 26–29; Pieler 2002, 379 Abb. 63; Die Abteilung für Bodendenkmale des Bundesdenkmalamtes. Jahresbericht 2003, FÖ 42, 2003 (2004) 21 f. (Mautern).

⁴⁹³ Weißhäupl – Riedl 1935, 221 ff. Abb. 69–71 (Mautern).

⁴⁹⁴ Groh 2006a, 106 ff.; Groh – Sedlmayer 2002a, 567 Abb. 2 (Mautern).

⁴⁹⁵ Die Abteilung für Bodendenkmale des Bundesdenkmalamtes. Jahresbericht 2002, FÖ 41, 2002 (2003) 33 Abb. 34; Gattringer 1971, 84; Gattringer 1975, 167 f.; Gattringer 1976, 276 f.; Gattringer 1980, 548 f.; Hirsch – We-

werka 1991, 32 f. (Traismauer).

⁴⁹⁶ Die Abteilung für Bodendenkmale des Bundesdenkmalamtes. Jahresbericht 2003, FÖ 42, 2003 (2004) 34 Abb. 35; Die Abteilung für Bodendenkmale des Bundesdenkmalamtes. Jahresbericht 2002, FÖ 41, 2002 (2003) 33 Abb. 36 (Traismauer).

⁴⁹⁷ Hirsch 1996, 276 f. Abb. 198–199; Wewerka 1998, 432 f. Abb. 438–444, 447 (Tulln).

⁴⁹⁸ Die Abteilung für Bodendenkmale des Bundesdenkmalamtes. Jahresbericht 1998, FÖ 37, 1998 (1999) 39 f. Abb. 45; Hirsch 1998, 450 f. Abb. 464, 471 (Tulln).

Streifenparzellen mit Grubenhütten: Als Besonderheit der östlichen Kastellvici von Noricum Favianis-Mautern, Zwentendorf⁴⁹⁹ und Comagenis-Tulln sind rechteckige Grubenhütten anzuführen, deren Anlage in den Streifenparzellen in ein- oder zumeist mehrfacher Ausführung die Strukturierung der Parzellen in Wohn- und Arbeitsbereiche belegen. Grubenhütten sind als traditionelle Bauformen in den Schwemmland- und Lößgebieten im Alpenvorland während der Spätlatènezeit nachzuweisen (Kap. IV.1.1) und treten auch im nordostnорischen Limeshinterland (Unterradlberg⁵⁰⁰) und in Südostnорicum (Saaz [Kap. I.B.1.2.4]) auf. Im Vicus von Favianis-Mautern sind Grubenhütten ab der ältesten Bauperiode belegt⁵⁰¹, wobei gleichwohl der Höhepunkt der Vorkommen im 2. und frühen 3. Jahrhundert n. Chr. liegt und im Falle der Fundplätze Parz. 800/4 und Parz. 568/1 festgestellt werden kann, dass die komplexe Bebauung mit Mehrraumhäusern der ältesten Siedlungsperiode im Verlauf der jüngeren mittelkaiserzeitlichen Belegung durch Grubenhütten abgelöst wird⁵⁰². Die durchschnittliche Größe der Hütten liegt bei 10 m² (3,4 × 2,8 m), die Dachkonstruktion ruht in den meisten Fällen auf einer Zweipostenkonstruktion⁵⁰³.

Für den Vicus von Comagenis-Tulln sind kellerartige Gruben sowie Rechteckgruben vorgelegt, die möglicherweise als Arbeitsgruben zu deuten sind: Ca. 100 m nördlich des Streifenhauses (Albrechts-/Donaugasse) im Vicus West wurden streifenförmige Balkengräben auf 11 m Breite und mindestens 7 m Länge in Nord-Süd-Richtung beobachtet, wobei die Fortsetzung dieser Gräben nach Norden in Form von Ständerkonstruktionen (Pfostengruben) rekonstruierbar scheint. In diesem Vicusareal sind auch römisch datierende Rechteckgruben vorhanden, die möglicherweise als Grubenhütten bzw. Arbeitsgruben anzusprechen sind. Die mittelkaiserzeitliche Datierung der Befunde wird durch Gebrauchskeramikfunde und eine Münze des Commodus (182 n. Chr.) indiziert⁵⁰⁴. Ähnlich dem Befund im Vicus West von Comagenis-Tulln könnten auch im Vicus Süd zahlreiche teils kellerartig eingetiefte Gruben als Teil von Strukturen mit im rechten Winkel angelegten Balkengräben verstanden werden; die Zeitstellung der Gräben bleibt allerdings entsprechend dem Grabungsbericht offen⁵⁰⁵.

Streifenparzellen mit Brunnenhäusern: In den Kastellvici Lentia-Linz und Favianis-Mautern sind trapezoide bis quadratische Kellergruben als integrativer Bestandteil von Streifenparzellen dokumentiert, die mittig eine Zisterne bzw. einen Brunnenschacht aufweisen. Die Anlage dieser Brunnenhäuser datiert in flavische Zeit (Favianis-Mautern) bzw. vor der Mitte des 2. Jahrhunderts n. Chr. (Lentia-Linz)⁵⁰⁶.

4. FUNKTION DER RÖMISCHEN VICI IN NORICUM

Verwaltungszentren: Über die Funktion der Vici als Verwaltungszentren liegen in Noricum keine Quellen vor, die wenigen Inschriftfunde in den Vici mit der Nennung von Beamten beziehen sich jeweils auf jene von Civitas-Vororten, wobei diese zwar nicht zwingend, jedoch in der hohen Mehrzahl sehr wohl aus jenem städtischen Zentrum stammen, dem der Vicus territorial

⁴⁹⁹ Groh 2006a, 174 ff.

⁵⁰⁰ Quadrant 0/10: Hirsch 1994, 225 Abb. 41, in Verfüllung früh-/mittelkaiserzeitliche Fibel A 15; Quadrant 0/20: Rodriguez 1995, 172 Taf. 1, 1–5, in Verfüllung spät-römische Keramik (Unterradlberg).

⁵⁰¹ Groh 2006a, 118 ff.; Stiglitz 1971, 71 f.; Hofer 2000, 246 ff. Abb. 147. 149. 152. 154. 156; Parz. 702: Pieler 2002, 380 Abb. 63; H. Zabehlicky, Mautern, ÖJh 60, 1990, Grabungen 58; Zabehlicky 1991/92, 40; 42; Wewerka 2000, 216 Abb. 71–72; Groh 2001b, 40 Abb. 38 (Mautern).

⁵⁰² Groh 2006a, 118 ff.; Groh – Sedlmayer 2002a,

567; Hofer 2000, 246 ff. Abb. 147. 152. 156 (Mautern).

⁵⁰³ Groh 2006a, 118 ff.; Groh 2001b, 40 Abb. 38 (Mautern).

⁵⁰⁴ Hirsch 2002, 389 ff. Abb. 94–97; Die Abteilung für Bodendenkmale des Bundesdenkmalamtes. Jahresbericht 2002, FÖ 41, 2002 (2003) 35 f. (Tulln).

⁵⁰⁵ Über die Zeitstellung der Balkengräben wird nicht berichtet: Hirsch 1995, 377 ff. Abb. 72, Profil; Abb. 75, Plan (Tulln).

⁵⁰⁶ Groh 2006a, 147 ff.; Keller KII (3,10 × 3,4 × 3,25 m): Karnitsch 1962, 24 ff. (Linz).

angehören dürfte. Als einzige Quellen für Magistrate kleinerer, unabhängig von der Administration der Städte funktionierender Verwaltungseinheiten lässt sich eine Inschrift aus St. Margarethen im Lavanttal heranziehen, mit der Nennung von *pag(i) mag(istri)*⁵⁰⁷.

Kultplätze und Veranstaltungsorte: Öffentliche Kultbezirke mit Altären oder Tempeln sind in den norischen Vici zumeist nur dann festzustellen, wenn eine Platzkontinuität und zugleich wohl auch eine Kultkontinuität festzustellen ist. Die Kultkontinuität ist für den Frauenberg bei Leibnitz gesichert, für Plätze wie den Gipfel des Magdalensbergs wird diese diskutiert. Die Nachgrabungen im Umgangstempel der Gurina lassen darauf schließen, dass eine Kultkontinuität von der Eisenzeit bis in die römische Zeit erwägbar ist (Kap. IV.1.3). Am prominentesten ist in diesem Zusammenhang sicherlich der Befund am Frauenberg bei Leibnitz, wo sich hoch über dem Leibnitzer Feld und somit über dem Municipium Flavia Solva ausge dehnte Siedlungsareale um den auf einer der höchsten Kuppen des Bergs errichteten Tempelbezirk erstrecken⁵⁰⁸. In der römischen Zeit werden hier die Kulte für Isis und Mars postuliert.

Eine kleine, wohl kaum permanent bewohnte Ansiedlung befand sich während des 1. und 2. Jahrhunderts n. Chr. auch unmittelbar unter dem Gipfelplateau des Magdalensbergs, für das der mögliche Standort eines Tempels bislang ergebnislos diskutiert wird. Auf der Gurina ist die Verehrung des Herkules anhand mehrerer Statuetten nachzuweisen⁵⁰⁹, ein Umgangstempel liegt auf dem höchsten Punkt des Siedlungsplatzes⁵¹⁰. Ein Tempelbezirk mit Umgangstempel und Weihungen an Jupiter optimus maximus und Mars Augustus befindet sich im Vicus von Colatio-Stari trg⁵¹¹. Ein Heiligtum des Bedaius ist in Bedaium-Seebruck aufgrund mehrerer Altäre dieser lokalen Gottheit angezeigt⁵¹².

Unabhängig von alten Traditionen erfolgt die Neuerrichtung eines Mithrasheiligtums in Immurium-Moosham zu Beginn des 3. Jahrhunderts n. Chr.⁵¹³.

Private Kultpraktiken sind anhand der Funde kleiner Altäre, Statuetten und Kultgefäße als übliche Phänomene in den Siedlungen erfassbar. Betrachtet man die aus Grabungsbefunden bekannten Belege, lassen sich Kulthandlungen für folgende Gottheiten verifizieren: Epona (Altar, aus Schuttstrate zwischen Häusern, Gleisdorf)⁵¹⁴, Jupiter Dolichenus (Statuette, aus einem Siedlungsabschnitt mit Häusern und Abfallstraten Metall verarbeitender Betriebe, Feldkirchen)⁵¹⁵, Iuno und Merkur (Statuetten des Hauskults, Verwahrfund [?] in Haus, Bedaium-Seebruck)⁵¹⁶. Orientalischen Kulturen ist eventuell der Gebrauch von Schlangen- bzw. Eidechsengefäßen zuzuschreiben (Favianis-Mautern)⁵¹⁷.

Der epigraphische Nachweis von Kultgemeinschaften ist für Favianis-Mautern namhaft zu machen, wo *Collegia Herculis et Dianae* belegt sind⁵¹⁸.

Neben Kultfeierlichkeiten ist gewiss die Veranstaltung von Spielen für die regionale Bedeutung einer Siedlung bezeichnend. So geben etwa die Tonmasken von Favianis-Mautern⁵¹⁹ einen Hinweis auf theatralische oder kultische Inszenierungen und das Amphitheater von Gleisdorf lässt als eines der wenigen öffentlichen Gebäude mit monumentalen Ausmaßen in einem norischen Vicus auf die zentralörtliche Stellung der Siedlung schließen⁵²⁰.

⁵⁰⁷ E. Weber, „Pagi Magistri“ in Noricum, MUAG 35, 1985, 85 ff. mit Abb. (St. Margarethen im Lavanttal).

⁵⁰⁸ Groh – Sedlmayer 2004, 459 ff.; W. Modrijan, Die Ausgrabungen auf den „Stadläckern“ (Perl-Acker) auf dem Frauenberg bei Leibnitz im Jahre 1953, SchSt 5, 1955, 30 ff. Abb. 1 (Frauenberg).

⁵⁰⁹ Jablonka 2001, 209 Taf. 135. 138–139 (Gurina).

⁵¹⁰ Gamper 2004 (Gurina).

⁵¹¹ Egger 1914, 63 ff. Abb. 39–41; Djura Jelenko 2004, 11f. Abb. 5–10. 56 (Stari trg).

⁵¹² Burmeister 1998, 175 (Seebruck).

⁵¹³ W. K. Kovacovics, Das Mithrasheiligtum von Im-

murium-Moosham, in: Fleischer – Moucka-Weitzel 1998, 287 ff. (Moosham).

⁵¹⁴ Maier 1995, 60 Abb. 66 (Gleisdorf).

⁵¹⁵ Ch. Gugl in: Galik – Gugl – Sperl 2003, 45 (Feldkirchen).

⁵¹⁶ Burmeister 1998, 91 f. Taf. 22, 23–24 (Seebruck).

⁵¹⁷ Sedlmayer 2006, 366 f. Abb. 169 (Mautern).

⁵¹⁸ Alföldy 1974, 272 (Mautern).

⁵¹⁹ H. Kenner, Die Masken von Mautern an der Donau, ÖJh 38, 1950, Beibl. 161 ff. (Mautern).

⁵²⁰ Maier 1995 30 f. Abb. 8G. 16 (Gleisdorf).

Wirtschaftszentren (Tab. 28–29): Die Funktion der Vici an den Haupthandelsrouten bzw. bei den Kastellen als Warenumserschlagplätze wird durch die gute Versorgung der Siedler mit Importwaren verdeutlicht und zeigt sich auch insbesondere in der Tatsache, dass der Importstrom in den abseits dieser infrastrukturell erschlossenen Gebiete in Noricum deutlich abnimmt⁵²¹. Der Handel mit regional oder lokal hergestellten Waren wird im Keramiksektor durch das Graffito auf einer Reibschüssel aus Boiodurum-Passau indiziert, wo der Kaufpreis des Gefäßes (mortarium) mit einem halben Denar angegeben wird⁵²², darüber hinaus ist beispielsweise im Textilsektor auf die Bleietiketten aus Immurium-Moosham und Kalsdorf zu verweisen⁵²³. Das als Macellum angesprochene monumentale Bauwerk am Rande des Vicus von Sebatum-San Lorenzo di Sebato könnte auf einen Umschlagplatz schließen lassen⁵²⁴, zudem wird die Verteilerfunktion der Vici durch platzartige Erweiterungen der Hauptstraßen in den Siedlungen von Kalsdorf und Saaz indiziert.

Für die Bedeutung der Vici als Standorte unterschiedlicher Handwerkszweige liegen zahlreiche archäologische Quellen vor:

Eisenverhüttung bzw. -verarbeitung: Die Nachweise der Eisenverarbeitung sind in den Vici von Noricum durchwegs vorhanden, wobei die Eisenverhüttung in einer Reihe von Ansiedlungen anhand entsprechender Schlackenfunde zu belegen ist:

Südnoricum Gleisdorf, Pichling bei Köflach (ab spätem 1. Jahrhundert n. Chr.), Feldkirchen (frühes 1. Jahrhundert n. Chr.), Baldersdorf (ab 1. Jahrhundert n. Chr. [?])⁵²⁵.

Nordnoricum Hallstatt, Boiodurum-Passau, Lentia-Linz⁵²⁶.

Eisenschmiedeabfälle sind darüber hinaus in Kalsdorf, Strassen, Immurium-Moosham, Karlstein, Wallsee, Favianis-Mautern und Augustianis-Traismauer belegt⁵²⁷.

Buntmetallverarbeitung: Abfälle des Buntmetallgusses liegen aus den Vici aller norischen Regionen vor, neben den indirekten Belegen für die Buntmetallverarbeitung wie Halbfabrikate und Gusstiegel sind im Vicus Favianis-Mautern insbesondere die In-situ-Werkstattbefunde mit kleinen Schmelzöfen erwähnenswert⁵²⁸.

⁵²¹ Abseits der Handelsrouten, ohne Importe: Fuchs 1994 (Pichling bei Köflach); an Verkehrsknotenpunkt, Importzufuhr: Lohner 1997, 409 ff. (Kalsdorf).

⁵²² W. Wandling – H. Wolff, Fragment einer Reibschale mit Graffito aus dem Lagerdorf des mittelkaiserzeitlichen Kastells Boiodurum, Ostbayerische Grenzmarken 30, 1988, 161 ff. Abb. 1–2 (Passau).

⁵²³ Weber 1968–71, 229 ff. (Moosham); Alföldy 1993, 1 ff. (Kalsdorf).

⁵²⁴ Di Stefano – Scaroina 2002, 840 ff. Abb. 2–20 (San Lorenzo di Sebato).

⁵²⁵ Erath – Jeschek 1994, 596 f. (Parz. 169/1); Maier 1995, 29 Abb. 11; H. Preßlinger, Metallurgische Untersuchungsergebnisse der Schlacken und Metallprodukte, in: Lorenz – Maier – Lehner 1995, 177 ff.; der Zusammenhang des bei Maier 1995, 46 vorgelegten Befunds von „Brandverfärbungen“ mit Fließschlacken als Teil des Gebäudebefunds D erscheint fragwürdig (Gleisdorf); Fuchs 1993b; Fuchs 1994, 123 ff. Taf. 4, 45–8, 117; Fuchs 2000a; Fuchs 2000b, 44 f. Abb. 22, Schnittplan; Fuchs 1998 (Pichling bei Köflach); S. Schretter, Ein frühromischer Fundkomplex aus Feldkirchen, Carinthia 186, 1996, 193–199 Abb. 2–3; Galik – Gugl – Sperl 2003 (Feldkirchen); Dolenz 1942, 28 ff. mit Lageplan; Abb. 2 („Röstofen N“); Abb. 4 („Ofenanlage V“); Praschniker 1940, 112 ff. Abb. 2 („Röststelle mit Eisenschlacken“) (Baldersdorf).

⁵²⁶ F. Morton, Analyse von Eisenschlacken aus der römischen Niederlassung in der Lahn bei Hallstatt sowie von Eisenerzen aus der weiteren Umgebung von Hallstatt, Germania 30, 1952, 107 (Hallstatt); Niemeier 1991, 117; Niemeier 1993, 88; Wandling 1989, 235 Abb. 4 (Passau); H. Preßlinger, Werkstoffkundliche Untersuchungen an metallurgischen Funden aus den archäologischen Grabungen im Bereich der Martinskirche in Linz, LAF 31 (2000) 204 ff. (Martinsfeld); H. Preßlinger, Metallkundliche Untersuchungen von Eisenschlacken aus dem Ofenbereich, in: Ruprechtsberger 1992, 84 ff. (Flügelhofgasse) (Linz).

⁵²⁷ Lorenz – Maier 1991, 315; U. Lohner, Kalsdorf, FÖ 31, 1992 (1993) 512 (Kalsdorf); Karwiese 1975, 59; Maister 1930–1934; Swoboda 1935, 100 ff. (Strassen); Fleischer 1998, 17 ff. Taf. 89, 4 (Haus C); 27 ff. (Haus E); Fleischer 1964–65, 205 f. (Moosham); M. Menke, Vor- und frühgeschichtliche Topographie in Karlstein und Bad Reichenhall, Führer zu vor- und frühgeschichtlichen Denkmälern 19 (1971) 145 (Karlstein); Tscholl 1977/78, 165 f. Abb. 20; Taf. 17, 2 (Wallsee); Sedlmayer 2006, 403 ff.; Pieler 2004, 799; Groh – Sedlmayer 2002a, 568; Hofer 2000, 246 ff. Abb. 147, 150–151, 158; Pieler 2002, 379 Abb. 63, Obj. 2; Hofer 2001, 528 Abb. 116 (Mautern); Gattringer 1974, 114 f. (Traismauer).

⁵²⁸ Wewerka 2000, 218 Abb. 79 (Mautern).

Südnoricum	Kalsdorf (ab frühem 1. Jahrhundert n. Chr.), Gleisdorf, Saaz (Taf. 33, SF16; 36, SF83, SF85), Frauenberg bei Leibnitz, Meclaria-Maglarn (1. Jahrhundert n. Chr.), Immurium-Moosham (1. Jahrhundert n. Chr.) ⁵²⁹ .
Nordnoricum	Bedaum-Seebruck (2. Jahrhundert n. Chr.), Lentia-Linz (1. Jahrhundert n. Chr.), Favianis-Mautern, Augustianis-Traismauer ⁵³⁰ .

Die Darstellung eines Vicusbewohners, der anhand berufstypischer Werkzeuge (Treibhammer und Zange) als Schmied charakterisiert ist, lässt sich singular aus dem Vicus von Kalsdorf beibringen: Der Kelte Nammonius Mussa besitzt entsprechend der Namensformel ausschließlich peregrines bzw. lateinisches Recht⁵³¹.

Beinverarbeitung, Gerberei: Werkstücke belegen die Verarbeitung von Bein im Vicus Lentia-Linz, der Abfall einer Beinschnitzerei, darunter auch eine Beinnadel, werden für den Vicus Comagenis-Tulln erwähnt⁵³². Die Kombination von Eisenschmiedearbeiten und Beinschnitzerei ist in den Vici von Wallsee⁵³³ und Favianis-Mautern belegt, die Gerberei in Favianis-Mautern⁵³⁴.

Gefäßproduktion, Choroplastik: Ausschließlich in wenigen Vici ist die lokale Produktion von Gefäßkeramik bislang zu belegen, wobei für Gleisdorf in Südnoricum und Favianis-Mautern in Nordnoricum eine Herstellung in mehreren Werkstatteinheiten festzustellen ist⁵³⁵; in Gleisdorf und Favianis-Mautern ist auch jeweils die auf römischen Vorbildern fußende Choroplastik anhand indirekter Nachweise (Model) zu belegen, wohingegen die Baukeramikproduktion bislang in keinem Vicus nachzuweisen ist:

Südnoricum	Gleisdorf (zwei Brennöfen, Lampenmodel) ⁵³⁶ , Kalsdorf (kein Brennofen, aber Fehlbrände) ⁵³⁷ , Hörbing (ein Brennofen) ⁵³⁸ .
Nordnoricum	Arelape-Pöchlarn (ein Brennofen), Favianis-Mautern (zehn mittelkaiserzeitliche, zwei spätantike Brennöfen, Lampenmodel) ⁵³⁹ .

Glasproduktion: Die Herstellung von Glas ist ausschließlich für den südostnorischen Vicus von Gleisdorf gesichert⁵⁴⁰, wo in dem partiell dokumentierten Befund einer Glasmacherwerk-

⁵²⁹ Lehner 2000, 43; Artner – Hebert – Kramer 1991, 43 (Kalsdorf); H.-Th. Lorenz – Ch. Maier, Gleisdorf, FÖ 28, 1989 (1990) 252; Maier 1995, 39 (Gleisdorf); Groh – Sedlmayer 2004, 463 Taf. 1, 9/9 (Frauenberg); Dolenz – Luik 2003, 165 Taf. 1, 5 (Maglarn); Fleischer 1998, 17 ff. Taf. 89, 4 (Haus C) (Moosham).

⁵³⁰ Burmeister 1998, 101 Taf. 26, 80; 28, 112–113 (Seebruck); Kastler 2000, 52; 60 Taf. 20, 233; 21, 234; 25, 308 (Martinsfeld); Ruprechtsberger 1984, 11 Taf. 23–24 (Lesingstraße) (Linz); Wewerka 2000, 218 Abb. 79; Pieler 2004, 799; Sedlmayer 2006, 408 f. (Mautern); Gattringer 1971, 77 Abb. 76; Die Abteilung für Bodendenkmale des Bundesdenkmalamtes, Jahresbericht 2003, FÖ 42, 2003 (2004) 34 (Traismauer).

⁵³¹ Hudeczek 2004, 43 mit Abb.; Hainzmann 2001, 339; W. Haid, Nammonius Mussa, ein römerzeitlicher Goldschmied aus Kalsdorf, SchSt 13, 1966/67, 25 ff.

⁵³² Ruprechtsberger 1984, 92 Taf. 20, 1–2 (Linz); H. Ubl, Eine römische Abfallgrube in Tulln, PAR 21/1–2, 1971, 3 (Tulln).

⁵³³ Tscholl 1977/78, 165 f. Abb. 20; Taf. 17, 2 (Wallsee).

⁵³⁴ Sedlmayer 2006, 405 ff.; 492 ff. (Mautern).

⁵³⁵ Bei den in Boiodurum-Passau vorgefundenen Brennöfen dürfte es sich nicht um Keramikbrenn-, sondern vielmehr um Backöfen handeln: Wandling 1989, 233 Abb. 1; Niemeier 1993, 88 (Boiodurum-Passau).

⁵³⁶ Schmid 1929, 73 ff. Abb. 37; Maier 1995, 28 (Gleisdorf).

⁵³⁷ Lehner 2000, 43 (Kalsdorf).

⁵³⁸ U. Steinklauber, Der spätantike Töpferofen von Hörbing bei Deutschlandsberg, FÖ 30, 1991 (1992) 179; In

Hörbing wird die Datierung des Keramikbrennofens aufgrund einer Radiokarbondatierung in den Zeitabschnitt 540–620 n. Chr. vorgeschlagen. Für diesen Siedlungsplatz sind aufgrund der bisherigen Vorlagen keine spätantiken Strukturen bekannt, das Gefäßspektrum aus dem letzten Brand des Ofens legt keine spätantike, sondern vielmehr eine mittelkaiserzeitliche Datierung nahe: Die Abteilung für Bodendenkmale des Bundesdenkmalamtes, Jahresbericht 2002, FÖ 41, 2002 (2003) 48; Bernhard 2000; Die Abteilung für Bodendenkmale des Bundesdenkmalamtes, Jahresbericht 1997, FÖ 36, 1997 (1998) 42; Hebert 1988 (Hörbing). – Zu weiteren Radiokarbondaten von Proben in der Steiermark, die weit über den tatsächlichen Nutzungs- und Verbergungszeitraum hinausweisen und in keinem Zusammenhang mit den römischen Befunden stehen, s. U. Steinklauber, Untersuchung und Konservierung eines provinzialrömischen Grabhügels in Stuben (Steiermark), FÖ 42, 2003 (2004) 438 (Stubenberg); Steinklauber 2002, 237 (Frauenberg).

⁵³⁹ K. Wais, Pöchlarn, FÖ 6, 1951–55 (1967) 98 (Pöchlarn); Groh 2006a, 155 ff.; Sedlmayer 2006, 379 ff.; Groh – Sedlmayer 2002a, 567 ff. Abb. 5, 7; R. Risy – H. Zabelhicky, Handwerk im römischen Mautern, in: Katalog Römermuseum Favianis – St. Severin Mautern/Donau (1998) 56; Wewerka 2000, 218 Abb. 80–81 = Hofer 2001, 528 Abb. 115; Die Abteilung für Bodendenkmale des Bundesdenkmalamtes, Jahresbericht 2004, FÖ 43, 2004 (2005) 26 f. Abb. 22; Pieler 2004, 799 Abb. 82, 97; Weißhäupl – Riedl 1935, 231 Nr. G 1422; 233 (Mautern).

⁵⁴⁰ Maier 1995, 53 f. (Gleisdorf).

stätte zwar der Kühl-, jedoch nicht der Schmelzofen dokumentiert ist. Zahlreiche im Umkreis dieser Struktur vorgefundene Glastropfen lassen gleichwohl auf die angesprochene Funktion schließen.

Textilproduktion: Die Herstellung von Textilien ist in Noricum von überregionaler Bedeutung⁵⁴¹. Indirekte Nachweise der Textilherstellung sind durch Webgewichte (Saaz [Taf. 5, 179/1, 181/1; 27, 84/10; o. Abb. 175/2], Feldkirchen, Lentia-Linz, Augustianis-Traismauer, Favianis-Mautern) und andere Geräte der Textilproduktion wie beispielsweise Spindeln durchwegs zu verzeichnen⁵⁴². Im Vicus Lentia-Linz finden sich in einem nach der Mitte des 2. Jahrhunderts n. Chr. zu datierenden Niveau die Holzreste eines Webstuhls gemeinsam mit zwölf Tongewichten⁵⁴³. In Favianis-Mautern wurde ein Ensemble von Webgewichten in einem Kellerraum dokumentiert⁵⁴⁴. Einen außergewöhnlichen Fundkomplex liefert in Hinblick auf die Woll- und Stoffverarbeitung das Depot mit beschrifteten Bleietiketten aus Kalsdorf⁵⁴⁵. Ein vergleichbarer Einzelfund liegt zudem aus dem Vicus von Immurium-Moosham vor, wo auf einem Bleiplättchen die Ver- oder Überarbeitung von drei Mänteln erwähnt wird⁵⁴⁶.

Landwirtschaftliche Produktion: Die Lagerung und Verarbeitung der im Ackerbau erzielten Erträge ist in den norischen Vici des Alpenvorlands als üblicher Wirtschaftszweig zu erfassen. Hinweise darauf liefern neben den botanischen Nachweisen von Makroresten beispielsweise in Bedaium-Seebruck, Lentia-Linz und Favianis-Mautern⁵⁴⁷ auch die baulichen Einrichtungen. In Lentia-Linz ist ein Speicherbau ab dem 1. Jahrhundert n. Chr. in der hochwasserfreien Zone des Vicus nachzuweisen⁵⁴⁸. Unter den festen Installationen, welche auf eine über den Normalbedarf hinausgehende Produktion bzw. Verarbeitung landwirtschaftlicher Güter durch die Vicusbewohner hinweisen, sind des Weiteren die Darren bzw. Räucherkamern hervorzuheben, die aus einer Reihe von norischen Vici in Nordnoricum vorliegen:

Darren in zivilen Vici Bedaium-Seebruck (ab 80/100), Karlstein⁵⁴⁹.

Darren in Kastellvici Boiodurum-Passau (*t.p.q.* 212), Favianis-Mautern (180/250)⁵⁵⁰.

Die ausschließlich in Kastellvici nachweisbaren Großküchen und Großbäckereien lassen eine auf den Bedarf des Militärs abgestimmte Produktion vermuten: Die Fundvergesellschaftung von drei groß dimensionierten Reibschüsseln (max. Mdm 90 cm) mit gleichfalls groß dimensionierten Bocktellern (max. Mdm 27 cm) indiziert eine gewerbliche Verarbeitung von Lebensmitteln im Kastellvicus von Wallsee; die Fundstelle liegt nahe bei der Südwestecke des Kastells, ca. 40 m von diesem entfernt⁵⁵¹. Um eine Bäckerei mit drei Backöfen dürfte es sich bei dem Befund im Kastellvicus Boiodurum-Passau handeln⁵⁵², in Favianis-Mautern liegt die Batterie von sieben groß dimensionierten Backöfen mit Durchmesser von über 1 m vor⁵⁵³.

⁵⁴¹ Alföldy 1974, 111.

⁵⁴² Webgewichte: Ch. Gugl in: Galik – Gugl – Sperl 2003, 90 Taf. 16, 162 (Feldkirchen); Karnitsch 1962, 43 Taf. 30, 15–17 (Linz); Gattringer 1971, 78 (Traismauer); H. Riedl, Das Lagerdorf von Mautern, Jahresbericht des Bundesgymnasiums Krems 1935 (1935) 14; H. Thaller, Grabungen in Mautern a.d. Donau 1952, PAR 2, 1952, 44; Sedlmayer 2006, 415 ff. (Mautern). – Spindeln: G. Jeschek, Bronze- und Beinfunde, in: Lorenz – Maier – Lehner 1995, 176 Abb. 36 (Gleisdorf); Burmeister 1998, 238 Taf. 90, 785–787 (Seebruck); Gattringer 1971, 79 (Traismauer).

⁵⁴³ Karnitsch 1962, 43 Taf. 30, 15–17 (Linz).

⁵⁴⁴ Pieler 2004, 799 Abb. 92 (Mautern).

⁵⁴⁵ Alföldy 1993, 1 ff. (Kalsdorf).

⁵⁴⁶ Weber 1968–71, 229 ff.

⁵⁴⁷ H. Küster, Botanische Untersuchungen zur Landwirtschaft in den Rhein-Donau-Provinzen vom 1. bis zum 5. Jahrhundert nach Chr., in: Bender – Wolff 1994, 28 Abb. 3, 4 (Seebruck); H. L. Werneck, Ur- und frühgeschichtliche sowie mittelalterliche Kulturpflanzen und

Hölzer aus den Ostalpen und dem südlichen Böhmerwald, ArchA 30, 1961, 79 (Mautern); 89 f. (Linz); Sedlmayer 2006, 451 ff. (Mautern).

⁵⁴⁸ J. Offenberger in: Offenberger – Zeller 2000, 12 f. Abb. 8; K. W. Zeller in: Offenberger – Zeller 2000, 34 f. Planbeil. 2 (Zeller); Kastler 2000, 58 f. (Linz).

⁵⁴⁹ Burmeister 1998, 42 ff. Abb. 15–20 (Seebruck); Reinecke 1961, 168 Abb. 8 (Karlstein).

⁵⁵⁰ Niemeier 1991, 119 Abb. 87 (Passau); M. Pollak, Spätantike Grabfunde aus Favianis/Mautern, MPK 28 (1993) 10 Planbeil. 3, IV; H. Riedl, Spätromische Gräber in Mautern, ÖJh 35, 1943, 74 f. Abb. 23; Groh 2006a, 148 f. (Mautern).

⁵⁵¹ Tscholl 1979, 113 ff. Abb. 7–11; ergänzt wird dieser Befund durch den Nachweis einer weiteren groß dimensionierten Reibschüssel (Mdm 87 cm) in einer Abfallgrube im südlichen Randbereich des Vicus: E. Tscholl, KG Wallsee, FÖ 24/25, 1985/86 (1987) 304 (Wallsee).

⁵⁵² Wandling 1989, 233 Abb. 1; Niemeier 1993, 88 (Passau).

⁵⁵³ Pieler 2002, 378 Abb. 64 (Mautern).

Wirtschaftszweige in La-Tène-Tradition	Wirtschaftszweige und Techniken römischer Art	Fundort
Eisenverhüttung und -verarbeitung Buntmetallverarbeitung Gefäßkeramikproduktion	Glasproduktion Imitation von Importen in der Gefäßkeramikproduktion Choroplastik	Gleisdorf
Eisen- und Buntmetallverarbeitung Gefäßkeramikproduktion		Kalsdorf
Buntmetallverarbeitung Textilherstellung		Saaz
Eisenverhüttung und -verarbeitung		Pichling bei Köflach

Tabelle 28: Alte und neue Produktionsformen in den Vici von Südostnoricum

Wirtschaftszweige in La-Tène-Tradition	Wirtschaftszweige und Techniken römischer Art	Fundort
Buntmetallverarbeitung	Aufbereitung von Lebensmitteln (Darre)	Ziviler Vicus Bedaium- Seebruck
Eisenverarbeitung, kombiniert mit Beinverarbeitung Buntmetallverarbeitung Gefäßkeramikproduktion Textilherstellung Lederproduktion	Imitation von Importen in der Gefäßkeramikproduktion Choroplastik Aufbereitung von Lebensmitteln (Darre) Großbäckerei	Kastellvicus Favianis- Mautern

Tabelle 29: Alte und neue Produktionsformen in den Vici von Nordnoricum

Handwerkliche Traditionen und Adaptionen (Tab. 28–29): In den offenen Siedlungen keltischer Zeit stehen vereinzelt Nachweise von Metallverarbeitung (Neubau, Hasreith) und Keramikproduktion (Herzogenburg) den Belegen der landwirtschaftlichen Produktion (Neubau) und der Textilverarbeitung (Hellbrunn, Puch bei Hallein, Neubau, Herzogenburg) gegenüber (Kap. IV.1). In den römischen Vici von Noricum ist eine deutliche Verdichtung der Nachweise dieser genannten Produktionsformen festzustellen, wobei das Metallhandwerk eine besondere Rolle spielt. Des Weiteren ist in Einzelfällen eine Spezialisierung auf das Töpferhandwerk mit der Einrichtung von mehreren gleichzeitig arbeitenden Betrieben an einem Standort festzustellen, so im Kastellvicus Favianis-Mautern und im zivilen Vicus Gleisdorf. An neuen durch die Römer vermittelten Techniken ist in diesem Zusammenhang insbesondere die Choroplastik, also die Herstellung von Lampen und Terrakotten, nachzuweisen; außerdem ist die Imitation von Fernhandelswaren im Gefäßkeramiksektor bedeutsam. – Hinsichtlich der Produktion und Verarbeitung von Lebensmitteln ist eine Steigerung der Produktionsmengen festzustellen, verdeutlicht durch die Aufbereitung der Ernte in festen Installationen wie Darren und die Verarbeitung in Großküchen und Bäckereien.

5. ZUSAMMENFASSENDES ZU DEN VICI IN NORICUM

Zusammenfassend ist vorrangig festzustellen, dass der Forschungsstand zu den Vici in Noricum aufgrund der Quellenlage regional sehr unterschiedlich ist. Die Kastellvici sind vergleichsweise gut erforscht. Für alle Standorte von Auxiliarkastellen des norischen Donaulimes liegen, mit Ausnahme von Mauer bei Amstetten, Informationen zu den Kastellvici vor. Die großflächigen, durch Notgrabungen bedingten, archäologischen Untersuchungen in Favianis-Mautern tragen im Verlauf des letzten Jahrzehnts enorm zu einer Erweiterung des Kenntnisstandes der dynamischen Entwicklungen einer Siedlung in der Limesregion bei. Im Hinterland ist die tatsächliche Definition von ausschließlich in Kurzberichten beschriebenen bzw. in zu kleinräumigen Ausschnitten dokumentierten Siedlungsbefunden schwierig, da eine definitive Interpretation dersel-

ben als Teile von nicht städtischen Siedlungen (*vici*), Straßenstationen (*mansiones*) oder Gutshöfen häufig unmöglich ist. Gleichförmige Orientierung der Strukturen als Hinweis auf den Bezug der Bauten zu einem vorbeiführenden Straßenkörper wie auch kleinräumige Wirtschaftseinheit mit Parzellen- bzw. Grundstücksgrößen bis 500/600 m² werden als Definitivskriterien bei der Zuweisung zu Vici berücksichtigt.

In Noricum ist die Siedlungskontinuität von der keltischen zur römischen Zeit ein seltenes Phänomen und lässt sich im Einzelfall zumeist aufgrund einer bestehenden Kultkontinuität (z. B. Heiligtümer am Frauenberg bei Leibnitz) oder einer wirtschaftlichen Notwendigkeit (z. B. Warenumserschlagplätze auf der Gurina und in Lentia-Linz) erklären. Im seltenen Fall, dass keltische Siedlungen wie der Frauenberg bei Leibnitz oder Lentia-Linz in römischer Zeit ohne Hiatt weiterbestehen, verlieren diese Plätze viel von ihrer zentralörtlichen Bedeutung und es kommt zu neuen Zentrumsbildungen im Umland (z. B. Solva-Wagna und Ovilavis-Wels). Eine Länderschließung, die von in ihrer Größe entsprechenden Einzugsgebieten auch der nicht städtischen Siedlungen ausgeht, könnte aufgrund der Befunde in Südwest- und Südostnoricum vermutet werden, zumal die Distanzen zwischen den Ansiedlungen vergleichbar sind:

Südwestnoricum	Strassen – Sebatum-San Lorenzo di Sebato	45 km – 30 Meilen
	Gurina – Meclaria-Maglern	46 km – 31 Meilen
	Gurina – Iulium Carnicum-Zuglio, mit Passüberquerung	36 km – 24 Meilen
	Teurnia – Immurium-Moosham, mit Passüberquerung	42 km – 28 Meilen
Südostnoricum	Pichling – Kalsdorf	33 km – 22 Meilen
	Hörbing – Solva	32 km – 21 Meilen
	Gleisdorf – Kalsdorf	28 km – 18 Meilen
	Gleisdorf – Saaz	22 km – 14 Meilen

Die Ansprache solcher Einzugsgebiete als *pagi* könnte die Inschrift von St. Margarethen im Lavanttal indizieren, die als einzige Quelle in Noricum eine Verwaltungseinheit unabhängig von der munizipalen nennt. Gleichwohl ist festzustellen, dass bislang aus keinem der norischen Vici der Nachweis einer eigenständigen Verwaltung vorliegt.

Anders als in der keltischen Gesellschaft ist es in der römischen möglich, dass das Metallhandwerk außerhalb der Zentralorte betrieben wird. Die Eisenverhüttung bzw. das Eisenschmieden ist in den Vici aller Landesteile von Noricum nachzuweisen, die Verarbeitung von Buntmetall ist mit besonderer Häufigkeit im Alpenvorland bis zum Donaulimes sowie im südostnoricischen Hügelland belegt. Die Nähe zu den Lagerstätten der Bodenschätze ist ausschlaggebend für die Siedlungsgründungen in den abseits der Hauptverkehrsrouen gelegenen Ortschaften (z. B. Pichling bei Köflach, Saaz).

Anders als in der keltischen Gesellschaft, wo die Zentralorte zugleich militärische und wirtschaftliche wie auch kulturelle und kultische Zentren repräsentieren, sind die römischen Kastellvici auf ihre Grundfunktion als Versorgungszentren des militärischen Stützpunkts beschränkt. Die archäologisch nachgewiesenen handwerklichen Tätigkeiten reichen beispielsweise in Favianis-Mautern von der Eisen- und Buntmetallverarbeitung samt Beinschnitzerei zur Lederverarbeitung, Textilproduktion und Töpferei. Darüber hinaus ist für die Kastellvici eine in Noricum ansonst den Gutshöfen sowie den Vici des nordnoricischen Hinterlands (Bedaium-Seebruck; Karlstein) vorbehaltene Funktion eigen, nämlich die in großem Maßstab betriebene Aufbereitung von Lebensmitteln. Die Funktion als Warenumserschlagplätze ist anhand der Importstatistik von mediterranen und weströmischen Gütern sowie anhand von Baubefunden (Lagerhalle in Lentia-Linz) zu belegen.

Die Traditionsverbundenheit der Vicusbewohner zeigt sich am deutlichsten in den gewählten Bauformen. Einraumhäuser, hergeleitet von einfachen keltischen Ständerbauten, sind in den Vici des 1. und 2. Jahrhunderts n. Chr. eine übliche Bauform, darüber hinaus sind Mehrraumhäuser häufig als Weiterentwicklung der Einraumhäuser zu verstehen. Große umhegte Hofareale rechteckiger Form sind als übliche Grundstückseinheiten zu erfassen. Die streifen-

förmige Parzellierung und die an diese Parzelleneinteilung angepasste Bauweise sind ausschließlich in den Kastellvici vorherrschende Phänomene. Selbst in diesen Kastellvici ist es allerdings üblich, die Verbauung der Streifenparzellen individuellen Bedürfnissen anzupassen. Streifenhäuser mit geschlossenen Dachlandschaften dürften die Ausnahme bilden, vielmehr ist mit einer Erschließung durch Komplexbauten, Mehrraumhäuser sowie Grubenhütten zu rechnen. Im Hinterland sind ausschließlich vereinzelte Belege von streifenförmiger Verbauung zu beobachten (z. B. Bedaium-Seebruck, Immurium-Moosham), welche zudem kombiniert mit anderen Bauformen zeitgleich auftreten. Die Akzeptanz neuer Bauformen erfolgt bedarfsorientiert und rohstoffabhängig, wie sich dies am besten in Hinblick auf die Verteilung der Nachweise von Fußbodenheizungen in den Vici zeigt, welche nur im inneralpinen Bereich regelhaft auftreten. In wie geringem Maß die Adaption der römischen Bauformen durch die einheimische Bevölkerung erfolgt, zeigt sich am besten anhand der Tradition des Einraumhauses. Dieser im 1. und 2. Jahrhundert n. Chr. in den Vici insbesondere von Südost- und Nordwestnoricum verbreitete Bautyp wird aufgrund von Neuansiedlungen des späten 3. Jahrhunderts n. Chr. in der Limesregion ein- und weitergeführt, wobei als einzige Veränderung der ursprünglichen Bauform eine Fußbodenheizung ergänzt wird (z. B. Favianis-Mautern⁵⁵⁴).

6. ÜBERBLICK ÜBER DIE ARCHÄOLOGISCHEN BAUBEFUNDE VON VICI DER FRÜHEN UND MITTLEREN KAISERZEIT IN NORICUM (Tab. 30)

Siedlungstyp	Fundort	
	Südnoricum	Nordnoricum
Siedlung mit Ein-/Mehrraumhäusern	Frauenberg bei Leibnitz Gleisdorf Kalsdorf Saaz Stari trg (Colatio)	Pfongau (Tarnantone)
Siedlung mit Ein-/Mehrraumhäusern und Korridorhaus		Karlstein
Siedlung mit Ein-/Mehrraumhäusern und Streifenverbauung	Moosham (Immurium)	Seebruck (Bedaium)
Siedlung mit Häusern samt Windfang und hypokaustiertem Raum	San Lorenzo di Sebato (Sebatum)	
Siedlung auf Terrassen	Baldersdorf Frauenberg bei Leibnitz Gurina Magdalensberg, Gipfel (Virunum) Maglern (Meclaria)	Hallstatt Linz (Lentia)
Siedlung mit Grubenhütten		Unterradlberg
Siedlung mit Bebauung in Streifenparzellen		Linz (Lentia) Mautern (Favianis) Passau (Boiodurum) Schlögen Traismauer (Augustianis) Tulln (Comagenis) Wallsee
?	Feldkirchen Hörbing Pichling bei Köflach Strassen	Pöchlarn (Arelape) Urreiting

Tabelle 30: Überblick über die archäologischen Baubefunde von Vici der frühen und mittleren Kaiserzeit in Noricum

⁵⁵⁴ Groh 2006a, 111 ff.

Fundort: Baldersdorf.

Siedlungstyp: Siedlung auf Terrassen.

Typische Hausformen: ?

Literatur: Praschniker 1940, 112 ff.; Dolenz 1942, 28 ff. mit Lageplan; F. Glaser, Baldersdorf in der Römerzeit, in: K. Karpf – Th. Meyer, Die große Geschichte einer kleinen Kirche, Beiträge zur Kulturgeschichte Oberkärntens I (2004) 18 ff. Abb. 2–3.

Fundort: Feldkirchen.

Siedlungstyp: ?

Typische Hausform: Gebäude mit nachträglich hypokaustiertem Raum.

Literatur: Ch. Gugl in: Galik – Gugl – Sperl 2003, 12 ff.; 37 Abb. 2; Abb. 6–9.

Fundort: Frauenberg bei Leibnitz.

Siedlungstyp: Siedlung auf Terrassen und mit Ein-/Mehrraumhäusern.

Typische Hausformen: Mehrraumhaus, Grubenhütte.

Literatur: Steinklauber 2002, 36 f. Planbeil. 1; Die Abteilung für Bodendenkmale des Bundesdenkmalamtes. Jahresbericht 2004, FÖ 43, 2004 (2005) 59; Groh – Sedlmayer 2004.

Fundort: Gleisdorf.

Siedlungstyp: Siedlung mit Ein-/Mehrraumhäusern.

Typische Hausformen: Einraumhäuser, Mehrraumhäuser in umfriedeten Hofarealen.

Literatur: Schmid 1929, 67 ff. Abb. 35; Maier 1995, 44 ff.; Lohner 2000, 17 ff.

Fundort: Gurina.

Siedlungstyp: Siedlung auf Terrassen.

Typische Hausformen: Haus mit Windfang, Gebäude mit hypokaustiertem Raum.

Literatur: Jablonka 2001, 18 ff. Nr. 21, 22, 27; Gamper 2004; Gamper 2005a; Gamper 2005b.

Fundort: Hallstatt.

Siedlungstyp: Siedlung auf Terrassen.

Typische Hausformen: Gebäude mit hypokaustiertem Raum.

Literatur: F. Wiesinger – F. Morton, Die römische Siedlung in der Lahn bei Hallstatt, ÖJh 33, 1941, Beibl. 89 ff. Abb. 37; F. Morton, Von meinen Ausgrabungen in der Lahn (1940 und vornehmlich 1941) und meinen Fundbeobachtungen auf dem Salzberge und in Obertraun, JbOÖMV 91, 1944, 299 f. mit Abb., Schnittplan; F. Morton, Die Villa an der Römerstraße in Hallstatt, JbOÖMV 108, 1963, 130 ff. Abb. 1, Plan; F. Morton, Die Grabungen in der römischen Niederlassung in der Lahn (Hallstatt) 1954 bis 1956 und 1964, JbOÖMV 110, 1965, 200 ff. mit Abb., Plan; F. Morton, Neue Funde aus Hallstatt, JbOÖMV 111, 1966, 162 f. Abb. 1, Gesamtplan.

Fundort: Hörbing.

Siedlungstyp: ?

Typische Hausformen: ?

Literatur: Hebert 1988; Hebert 1989; Die Abteilung für Bodendenkmale des Bundesdenkmalamtes. Jahresbericht 1997, FÖ 36, 1997 (1998) 42; Bernhard 2000; Die Abteilung für Bodendenkmale des Bundesdenkmalamtes. Jahresbericht 2002, FÖ 41, 2002 (2003) 48.

Fundort: Kalsdorf.

Siedlungstyp: Siedlung mit Ein-/Mehrraumhäusern.

Typische Hausformen: Mehrraumhäuser in umfriedeten Hofarealen, Mehrraumhaus als erweitertes Einraumhaus.

Literatur: Artner – Hebert – Kramer 1991; Lorenz – Maier 1991, 315; G. Fuchs – J. Gajdošník – J. Hruška – U. Lohner, Geophysikalische Untersuchungen im römischen Vicus von Kalsdorf, FÖ 35, 1996 (1997) 115–128; Lehner 2000; M. Lehner, Kalsdorf, FÖ 39, 2000 (2001) 679 f.; Pammer 2001, 7 ff.; Lohner 2003, 108 f. Abb. 4–5.

Fundort: Karlstein.

Siedlungstyp: Siedlung mit Ein-/Mehrraumhäusern und Korridorhaus.

Typische Hausformen: Einraumhäuser, Mehrraumhaus mit Umfriedung und hypokaustiertem Raum, Korridorhaus mit hypokaustierten Räumen.

Literatur: Reinecke 1961, 162 ff. Abb. 2–6.

Fundort: Linz (Lentia).

Siedlungstyp: Siedlung auf Terrassen und mit Bebauung in Streifenparzellen.

Typische Hausformen: Streifenhäuser mit Keller.

Literatur: Karnitsch 1962, 24 ff. Taf. 34; Ruprechtsberger 1984, 8 ff. Abb. 3; Ruprechtsberger 1992, 9 ff. Abb. 2.

Fundort: Magdalensberg, Gipfel (Virunum).

Siedlungstyp: Siedlung auf Terrassen.

Typische Hausformen: Einraumhaus.

Literatur: Piccottini 1980, 91 ff. Abb. 80; Schindler-Kaudelka 1980, 112; Dolenz 2003, 710; Dolenz 2004, 173 f. Abb. 4. 7–8.

Fundort: Maglern (Meclaria).

Siedlungstyp: Siedlung auf Terrassen.

Typische Hausformen: Gebäude mit quadratischem, hypokaustiertem Raum.

Literatur: H. Dolenz, Archäologische Funde aus Stadt und Bezirk Villach, Neues aus Alt-Villach 9/10, 1972/1973, 31 ff. Abb. 16; Dolenz – Luik 2003, 160 ff. Abb. 2.

Fundort: Mautern (Favianis).

Siedlungstyp: Siedlung mit Bebauung in Streifenparzellen.

Typische Hausformen: Mehrraumhäuser, Grubenhütten, Streifenhäuser mit Keller.

Literatur: Weißhäupl – Riedl 1935, 221 ff. Abb. 69–71; Stiglitz 1971, 71 f.; H. Zabehlicky, Mautern, ÖJh 60, 1990, Grabungen 58; Zabehlicky 1991/92, 40; 42; Hofer 2000, 246 ff. Abb. 147. 149. 152. 154. 156; Wewerka 2000, 216 Abb. 71–72; Groh 2001b, 18 ff. Abb. 9–11. 26–29; 40 Abb. 38; Groh – Sedlmayer 2002a, 567 Abb. 2; Pieler 2002, 379 f. Abb. 63; Die Abteilung für Bodendenkmale des Bundesdenkmalamtes. Jahresbericht 2003, FÖ 42, 2003 (2004) 21 f.; Die Abteilung für Bodendenkmale des Bundesdenkmalamtes. Jahresbericht 2004, FÖ 43, 2004 (2005) 26 f. Abb. 22; Pieler 2004, 797 ff. Abb. 82; Groh – Sedlmayer 2006.

Fundort: Moosham (Immurium).

Siedlungstyp: Siedlung mit Ein-/Mehrraumhäusern und Streifenverbauung.

Typische Hausformen: Ein- und Mehrraumhäuser, streifenförmige Verbauung.

Literatur: Fleischer 1998; Fleischer 1964–65; Fleischer 1966–67.

Fundort: Passau (Boiodurum).

Siedlungstyp: Siedlung mit Bebauung in Streifenparzellen.

Typische Hausformen: Komplexbauten (?) in Streifenparzellen, mit/ohne Keller.

Literatur: Niemeier 1993, 88 ff.; Wandling 1989, 232 ff., Übersichtsplan.

Fundort: Pfongau (Tarnantone).

Siedlungstyp: Siedlung mit Ein-/Mehrraumhäusern.

Typische Hausformen: Einraumhaus mit Hypokaustum, Mehrraumhäuser mit/ohne hypokaustiertem Raum.

Literatur: Feldinger 1989; Feldinger 1988; <http://www.fronfeste.at>.

Fundort: Pichling bei Köflach.

Siedlungstyp: ?

Typische Hausformen: ?

Literatur: Fuchs 1993, 767 f.; Fuchs 1994, 123 ff. Taf. 4, 45–8, 117; Fuchs 1998; Fuchs 2000a; Fuchs 2000b, 44 f. Abb. 22, Schnittplan.

Fundort: Pöchlarn (Arelape).

Siedlungstyp: ?

Typische Hausformen: Gebäude mit Steinfundamenten.

Literatur: Die Abteilung für Bodendenkmale des Bundesdenkmalamtes. Jahresbericht 2003, FÖ 42, 2003 (2004) 26 f. Abb. 25–26.

Fundort: Saaz.

Siedlungstyp: Siedlung mit Ein-/Mehrraumhäusern auf Terrassen.

Typische Hausformen: Einraumhaus, Mehrraumhaus mit/ohne Keller, Grubenhütten.

Literatur: Kap. I–IV; Lippert 2001; Tiefengraber 2002.

Fundort: San Lorenzo di Sebato (Sebatum).

Siedlungstyp: Siedlung mit Häusern samt Windfang.

Typische Hausformen: Einraumhaus, Mehrraumhäuser mit Windfang und hypokaustiertem Raum.

Literatur: <http://www.sebatum.it/noflash.htm>; Di Stefano – Scaroina 2002; Lunz 2002; R. Constantini, Sebatum, Città romane 4, Atlante tematico di topografia antica suppl. 12 (2002); I. Gräber, Antike Siedlungskontinuität im Raum Sebatum/St. Lorenzen im Pustertal, ungedr. Diplomarbeit Wien (2005).

Fundort: Schlögen.

Siedlungstyp: Siedlung mit Bebauung in Streifenparzellen.

Typische Hausformen: ?

Literatur: H. Bender – G. Moosbauer, Das römische Donaukastell Schlögen in Oberösterreich, Passauer Universitätschriften zur Archäologie 8 (2003) 225 Abb. 5.

Fundort: Seebruck (Bedaium).

Siedlungstyp: Siedlung mit Ein-/Mehrraumhäusern und Streifenverbauung.

Typische Hausformen: Ein- und Mehrraumhäuser, streifenförmige Verbauung.

Literatur: Burmeister 1998, 62 ff. Beil. 4–5; 69 ff. Beil. 7.

Fundort: Stari trg (Colatio).

Siedlungstyp: Siedlung mit Ein-/Mehrraumhäusern.

Typische Hausformen: Einraumhaus in Umfriedung.

Literatur: Egger 1914, 67 ff. Abb. 42; Djura Jelenko 2004, 24 ff. Abb. 13–14.

Fundort: Strassen.

Siedlungstyp: ?

Typische Hausformen: Gebäude mit hypokaustiertem Raum.

Literatur: Maister 1930–1934, 193; Swoboda 1935, 100 ff.; Karwiese 1975, 59; A. Höck, Die ländliche Besiedlung Osttirols zur Römerzeit, VLMTir 85, 2005, 68 Abb. 10.

Fundort: Traismauer (Augustianis).

Siedlungstyp: Siedlung mit Bebauung in Streifenparzellen.

Typische Hausformen: Streifenhäuser mit/ohne Keller.

Literatur: Gattringer 1971, 84; A. Gattringer, Traismauer, FÖ 11, 1972 (1973) 106 f.; Gattringer 1974, 114 ff.; Gattringer 1975; Gattringer 1976; Gattringer 1980; Hirsch – Wewerka 1991; Die Abteilung für Bodendenkmale des Bundesdenkmalamtes. Jahresbericht 2002, FÖ 41, 2002 (2003) 33 Abb. 34, 36; Die Abteilung für Bodendenkmale des Bundesdenkmalamtes. Jahresbericht 2003, FÖ 42, 2003 (2004) 34 Abb. 35.

Fundort: Tulln (Comagenis).

Siedlungstyp: Siedlung mit Bebauung in Streifenparzellen.

Typische Hausformen: Streifenhaus, Grubenhütten („rechteckige Arbeitsgruben“).

Literatur: Hirsch 1995, 377 ff. Abb. 72, Profil; Abb. 75, Plan; Hirsch 1996, 276 f. Abb. 198–199; Wewerka 1998, 432 f. Abb. 438–444, 447; Die Abteilung für Bodendenkmale des Bundesdenkmalamtes. Jahresbericht 1998, FÖ 37, 1998 (1999) 39 f. Abb. 45; Hirsch 1998, 450 f. Abb. 464, 471; Hirsch 2002, 389 ff. Abb. 94–97; Die Abteilung für Bodendenkmale des Bundesdenkmalamtes. Jahresbericht 2002, FÖ 41, 2002 (2003) 35 f.

Fundort: Unterradlberg.

Siedlungstyp: Siedlung mit Grubenhütten.

Typische Hausformen: Grubenhütten.

Literatur: N. Hirsch, Grabung auf dem Gelände der Fa. Egger in Unterradlberg, FÖ 31, 1992 (1993) 153 f. Abb. 115; Hirsch 1994, 225 Abb. 41–42; Rodriguez 1995, 172 Taf. 1, 1–5.

Fundort: Urreiting.

Siedlungstyp: da zwei gleich ausgerichtete Gebäude vorhanden sind, wird eine Interpretation als Vicus vorgeschlagen.

Typische Hausformen: Streifenhaus (Interpretation als *cottage house* bei K. Genser, Die ländliche Bediedlung und Landwirtschaft in Noricum während der Kaiserzeit (bis einschließlich 5. Jahrhundert), in: Bender – Wolff 1994, 348 Abb. 17.8).

Literatur: A. Narobe, Urreiting, FÖ 3, 1942 (1943) 64 ff. Abb. 5–6; Taf. 15–16; A. Narobe, Urreiting, FÖ 3, 1948 (1949) 77 f. Taf. 4; M. Hell, Ein gallo-römischer Eisenschlüssel mit Bronzegriff aus Salzburg, JSM 4, 1958, 49 Taf. 2.

Fundort: Wallsee.

Siedlungstyp: Siedlung mit Bebauung in Streifenparzellen.

Typische Hausformen: Gebäude mit Keller.

Literatur: H. Stiglitz, Wallsee, FÖ 10, 1971 (1972) 87; Tscholl 1977/78, 160 ff. Abb. 4; Tscholl 1979, 112 ff. Abb. 9–11; E. Tscholl, KG Wallsee, FÖ 24/25, 1985/86 (1987) 304; Die Abteilung für Bodendenkmale des Bundesdenkmalamtes. Jahresbericht 1995, FÖ 34, 1995 (1996) 32; Die Abteilung für Bodendenkmale des Bundesdenkmalamtes. Jahresbericht 2000, FÖ 39, 2000 (2001) 36; E. Tscholl, Archäologische Mosaiksteine aus Wallsee, RÖ 23/24, 2000/2001, 168 ff. Die Abteilung für Bodendenkmale des Bundesdenkmalamtes. Jahresbericht 2003, FÖ 42, 2003 (2004) 35.

H. SEDLMAYER



V. Zusammenfassung

Helga SEDLMAYER – Georg TIEFENGRABER



Der römische Vicus am Saazkogel stellt mit einer Ausdehnung von knapp 9 ha eine der größten bislang bekannten kaiserzeitlichen Siedlungen in der Oststeiermark dar, mit Sicherheit kann er aber neben den Vici von Gleisdorf und Kalsdorf als einer der am besten erforschten Vici in Südostnoricum bezeichnet werden.

Basierend auf den Ergebnissen der Ausgrabungen von 2002–2005, der langjährigen Prospektionsarbeiten und einer annähernd flächendeckenden geophysikalischen Untersuchung lässt sich ein detailliertes Gesamtbild der Siedlung entwerfen, das unter Einbeziehung der auch heute noch im Gelände sichtbaren dazugehörenden Hügelgräber am Nordhang wichtige Rückschlüsse auf ähnliche dorftartige Strukturen im Grenzgebiet der Provinzen Noricum und Pannonien erlaubt, die sich zumeist lediglich noch über ihre umfangreichen ausgedehnten Hügelgräberfelder erschließen lassen. Unter diesem Aspekt stellt der Vicus am Saazkogel nur eine Station in einem komplex verzweigten Netz von gleichartigen Siedlungen dar, die sich primär und auch erwartungsgemäß entlang der die Oststeiermark durchziehenden Fluss- und Bachtäler in einem annähernd gleich großen Abstand von 10–20 km aneinander reihen. Die dazwischen liegenden Gebiete scheinen ebenfalls weitestgehend aufgesiedelt gewesen zu sein, wobei nur selten differenziert werden kann, ob es sich bei den Siedlungsstellen um Reste von Villen, Gehöften oder andersartigen kleinen Siedlungen gehandelt hat, die durchwegs mit einzelnen Hügelgräbergruppen in Verbindung zu bringen sind.

Zweifelsohne ist die Anlage der Siedlung am Saazkogel durch die verkehrsgeographisch günstige Position an der Einmündung des Saaztals in das Raabtal bedingt. Hier trifft die Straße im Raabtal, welche Savaria-Szombathely sowie Sala-Zalalövö über den größeren Vicus von Gleisdorf mit Binnennoricum verband, auf die von Südwesten herführende Straße, die wiederum eine Hauptverbindung zwischen Flavia Solva und dem westlichen Pannonien bzw. der Bernsteinstraße darstellte. Ein wohl eher lokal bedeutender Weg führte vom Saazkogel aus nach Süden in Richtung Bad Gleichenberg und Kapfenstein-Kölldorf, wo die nächsten benachbarten Vici zu vermuten sind, die ihrerseits wieder als 'Transitstationen' auf dem Weg in das südlich gelegene Murfeld zu verstehen sind.

Betrachtet man die Struktur des Vicus am Saazkogel, so fällt seine ausgeprägte Mehrteiligkeit unter Einbeziehung des gesamten Hügels auf. Die Siedlung selbst lässt sich am Südhang des Saazkogels auf einer Länge von mindestens 600 m verfolgen, wobei sie annähernd in der Mitte von einer geschotterten, hangparallelen Straße durchzogen wird. Nördlich und südlich dieser Straße gruppieren sich unterschiedlich große, im Grundriss zumeist sehr ähnliche Gebäudekomplexe, die ihrerseits wieder auf künstlichen Terrassen angelegt sind, sodass ein ursprünglich wohl stufenartiger Gesamteindruck des Hangs entstehen musste. Die bislang oberste greifbare Siedlungsterrasse verfügte über keinerlei Reste einer Steinbebauung mehr, dafür jedoch über zahlreiche Reste von Holzbauten. Annähernd in der Mitte der Siedlung lässt die geophysikalische Prospektion eine größere Freifläche erkennen, die anscheinend auch mit einer Änderung im Verlauf der Straße zu verbinden ist, welche nicht über diese platzartige Struktur verläuft, sondern etwas weiter südlich und hangabwärts versetzt wieder greifbar wird. Während im Westteil des Vicus die Siedlungsstruktur durch die erwähnten Gebäudekomplexe recht gut zu erfassen ist, sind im deutlich steileren Ostteil stärkere Zerstörungen durch die landwirtschaftliche Nutzung und die moderne Bebauung zu beobachten. Besser erhalten sind hier in erster Linie die etwas höher gelegenen Bereiche an der Straße, die nun deutlich nach Osten hin auszudünnen beginnen. Auch überwiegen hier schließlich eher kleinere, bisweilen überhaupt einräumige Gebäude, die sich bis auf den Kamm des Hügels zum Raabtal hin weiterverfolgen lassen. Hier enden dann die letzten greifbaren und bislang nur anhand von Streufunden dokumentierten Siedlungsreste, Hinweise auf ein – analog zum Gräberfeld West – im Osten anschließendes Gräberfeld fehlen.

Im deutlich flacheren Westteil wird die auch heute noch auf den Äckern gut sichtbare geschotterte Straße von unterschiedlich großen Grabbauten flankiert, die zum Teil in unmittelbarer Nachbarschaft zu den letzten feststellbaren Gebäuden liegen. Von diesem in mehreren Phasen belegten Gräberfeld bzw. von dieser Gräberstraße konnte ein ausgedehnter ummauerter Grabbezirk fast vollständig freigelegt werden; darunter befanden sich Reste älterer Grabbauten, die vermutlich als Einbauten in Hügelgräbern anzusprechen sind und die auch im östlich anschließenden Bereich von der geophysikalische Prospektion erfasst wurden. Im Zentrum des Grabbezirks erstreckte sich ein massives Bruchsteinfundament, das – nach Ausweis einiger aussagekräftiger Marmorspolien aus einem ebenda sekundär eingetieften spätantiken Brunnenschacht – als Unterlage für eine monumentale zweistöckige Grabaedicula mit mehreren Intercolumnien diente. Innerhalb des Grabbezirks konnte ein weiteres kleines Fundament vollständig freigelegt werden, ein drittes Fundament wurde angeschnitten. Von der zur Grabaedicula gehörenden Bestattung fanden sich geringe Reste im spätantiken Brunnenschacht.

Diesem Ensemble aus eigentlicher Siedlung und Gräberstraße mit Hügelgräbern und etwas jüngeren monumentalen Grabbauten nach italisch-römischer Manier ist nun das große und umfangreiche Hügelgräberfeld am Nordhang des Saazkogels gegenüberzustellen (Gräberfeld Nord), zu dem von der Siedlung aus keine direkte Sichtverbindung bestand. Das Gräberfeld selbst, welches aus über 100 Tumuli besteht, wird annähernd in der Mitte von einem wohl schon in der Antike begangenen Weg durchschnitten, an dem entlang sich die Hügel gruppieren. Dieser Weg befindet sich interessanterweise auf derselben Hanghöhe wie die Straße im Ostteil der Siedlung, sodass davon auszugehen ist, dass eine Abzweigung dieser Straße nach Westen zu durch das Gräberfeld verlief. Ob auch im Bereich des Hügelgräberfelds mit andersartigen Grabbautypen gerechnet werden kann, ist nicht zu beantworten.

Offen muss auch die Frage nach der Funktion eines Gebäudes unter der heutigen Laurentiuskirche auf dem Gipfelplateau des Saazkogels bleiben, das nur ausschnitthaft ergraben werden konnte. Da keinerlei weiteren römerzeitlichen Baureste in diesem markanten Bereich festgestellt wurden, können nur Vermutungen darüber erfolgen, ob es sich dabei um ein Gebäude von profaner oder sakraler Nutzung handelte; das spärliche Fundmaterial deutet jedoch eher Ersteres an.

Die Ausgrabungen im Bereich des Vicus selbst ermöglichten es, die Abfolge der Besiedlung in mehreren Phasen zu rekonstruieren. Der älteste Horizont flavisch-trajanischer Zeit ist durch Holzbaustrukturen charakterisiert. Ein Ausbau in Stein und die damit verbundene Neustrukturierung der Siedlung mit einem einheitlich in Hangfallrichtung orientierten System von Grundstückseinheiten ist nicht vor der hadrianischen Zeit anzunehmen. Das typische Wohn- und Werkgebäude dieser Periode ist in Saaz ebenso wie in anderen Teilen von Südost- und Westnoricum üblicherweise das Ein- bzw. Mehrraumhaus in einem umfriedeten Areal. Anhand der Bauabfolgen in dem über zwei Siedlungsperioden hinweg dokumentierbaren Gebäude I von Saaz lässt sich eine Adaption und Erweiterung der Hausstruktur feststellen, wobei der in hadrianischer Zeit definierte Raster in einer jüngeren Ausbauphase gesprengt wird und die asymmetrische Vergrößerung der Parzelle durch eine Neuorientierung der Außenmauer zu belegen ist.

Die Niederlegung der frühmittelkaiserzeitlichen Strukturen und ein Neubeginn der Aktivitäten gegen Ende des 2. Jahrhunderts n. Chr. ist im Vicus von Saaz anhand der Befunde in unterschiedlichen Siedlungsabschnitten aufzuzeigen. Hierbei lässt die Analyse der Fundspektren darauf schließen, dass mit einem längerfristigen Hiatt in der Belegung der Wohn- und Werkgebäude zu rechnen ist. Mit dem Neueinsetzen der Siedlungstätigkeit gegen Ende des 2. Jahrhunderts n. Chr. ist zugleich auch ein letztmaliges Prosperieren zu erfassen, zumal durch den Befund des Aedikulagrabbezirks im Gräberfeld West indirekt auf eine distinkte Wirtschafts-

kraft in severischer Zeit zu schließen ist. Zugleich ist aber auch davon auszugehen, dass sich das Siedlungszentrum verlagerte, zumal die zu Beginn des 3. Jahrhunderts n. Chr. erfolgte Reduktion der Befunde im Areal der zuvor florierenden Wohn- und Arbeitsbereiche auf einen Bedeutungsverlust von Siedlungsarealen hindeutet. Diese Verlagerung des Siedlungsschwerpunkts dürfte in weiterer Folge zu einem Abbruch der Nutzung geführt haben, jedenfalls ist in den mittleren Jahrzehnten des 3. Jahrhunderts n. Chr. mit der Aufgabe des Siedlungsplatzes am Südhang des Saazkogels zu rechnen. Über die Lokalisierung jüngerer Strukturen, welche aufgrund geringer Belege spätantiker Keramik und Münzen im Umfeld des abgekommenen Vicus zu suchen sind, ist bislang nichts bekannt. Auch die Grabungen am Gipfelplateau des Kogels erbrachten keine Nachweise einer spätantiken Nutzung.

Von größtem Interesse ist in Zusammenhang mit der Siedlungsentwicklung in Saaz zweifelsohne die Frage nach den Gründen für die Strukturänderungen: Der Ausbau des Vicus in Stein bzw. Fachwerkarchitektur in hadrianischer Zeit lässt sich mit Befunden in weiteren gut erforschten südostnorischen Ansiedlungen (Kalsdorf, Gleisdorf) vergleichen, wobei jeweils ein starkes Prosperieren in den mittleren Jahrzehnten des 2. Jahrhunderts n. Chr. zu weiträumig dokumentierbaren Veränderungen in der Bauweise führte. Ein Hiatt der Siedlungsentwicklung während der letzten Jahrzehnte des 2. Jahrhunderts n. Chr. ist in der nunmehr für Saaz dokumentierbaren Deutlichkeit in den benachbarten Vici bislang nicht zu erfassen und ausschließlich im städtischen Zentrum der Region, Flavia Solva, mit der nötigen Stringenz zu belegen. Ebendort wird aufgrund der archäologischen Nachweise (Brandhorizonte) auf eine Zerstörung von Siedlungsarealen im Zuge der Markomannenkriege geschlossen. In Saaz fehlen jedoch die signifikanten Befunde einer gewaltsamen Zerstörung in allen untersuchten Siedlungsabschnitten, die Gründe für eine zeitweilige Siedlungsaufgabe könnten gleichwohl mit der Unbill kriegerischer Ereignisse im Land in Verbindung zu bringen sein und demnach im Sinne von wirtschaftlichen und sozialen Kollateralschäden zu interpretieren sein. Es erstaunt in diesem Zusammenhang allerdings, dass der Neubeginn des Vicus sehr radikal vollzogen wurde, wobei die Gesamtheit der älteren Strukturen von einer mächtigen, in zwei unterschiedlichen Siedlungsabschnitten nachgewiesenen Planierung überdeckt wurde. Dies könnte vielleicht auf eine Verquickung unterschiedlicher Faktoren hindeuten, die gemeinsam zum Zeitpunkt des Siedlungsabbruchs zusammenwirkten: Hypothetisch kann auf ein längerfristiges Verlassen der Baustrukturen nahe dem Talboden geschlossen werden, zugleich auf einen möglichen Rückzug und auf eine Reduktion der Siedlungstätigkeit auf dem Gipfel bzw. Kamm des Kogels und auf eine Zerstörung der bestehenden tiefer gelegenen Baustrukturen durch Naturgewalten wie Solifluktion.

In Hinblick auf den Konservativismus einer Gesellschaft sind die Belege der materiellen Kultur in Saaz von Bedeutung. Das Perpetuieren typischer Merkmale ohne große Veränderungen ist von flavisch-trajanischer Zeit bis in das späte 2. Jahrhundert n. Chr. zu dokumentieren. Das Loslösen von diesen Invarianten scheint offenbar erst mit den umwälzenden Ereignissen des ausgehenden 2. Jahrhunderts n. Chr. vollzogen worden zu sein, wobei die Veränderungen im Spektrum durch eine stärkere Durchmischung von Autochthonem und Allochthonem aus dem benachbarten Pannonien erfolgt sein dürften. Diese Entwicklungsschritte in der materiellen Kultur können anhand der Befunde und Funde von Saaz erstmals modellhaft für einen südostnorischen Vicus dargestellt werden.

[The page contains extremely faint, illegible text, likely bleed-through from the reverse side of the document. The text is arranged in approximately 25 horizontal lines across the page.]

VI. Anhang

I. ABKÜRZUNGEN

- Ae = Bronze.
 Ant = Antiochia.
 B, Bfrgt. = Bodenfragment(e).
 Ba = Barbotine.
 BA = Boden außen.
 BI = Boden innen.
 Br = Breite (Keramik und Kleinfunde in Zentimeter, Befunde in Meter).
 Bdm = Boden- bzw. Standingdurchmesser.
 Cen = Centenionalis.
 D (mit Maßangabe) = Dicke (Keramik und Kleinfunde in Zentimeter, Befunde in Meter).
 D = Denar.
 Dm = Durchmesser.
 Dp = Dupondius.
 Dreh = Drehscheibe.
 Fe = Eisen.
 FJ. = Fundjahr.
 Fol = Follis.
 Frgt., -frgt., frgt. = Fragment(e), -fragment(e), fragmentiert.
 G = Gewicht (in Gramm).
 H = Höhe (Keramik und Kleinfunde in Zentimeter, Befunde in Meter).
 hand = handaufgebaut.
 hand/nach = handaufgebaut/nachgedreht.
 Inv. = Inventar-/ Fundnummer.
 K = Kammstrich.
 L = Länge (Keramik und Kleinfunde in Zentimeter, Befunde in Meter).
 Mai = Maiorina.
 max. = maximal.
 Mdm = Mundsaumdurchmesser (in Zentimeter).
 MG = Mittelgallien.
 min. = mindestens.
 NMI = Mindestfundzahl.
 OF = Oberfläche.
 ox = oxidierend gebrannt.
 P = Pichung.
 P 1 = Paludamentrest auf linker Schulter.
 Parz. = Parzelle.
 Pass = Passscherben.
 Pb = Blei.
 R, Rfrgt. = Randfragment(e).
 RA = Rand außen.
 Rad = Rädchendekor.
 Rat = Ratterdekor.
 red = reduzierend gebrannt.
 RF = Referenzgruppe.
 RI = Rand innen.
 RZ = Rheinzabern.
 S (Befund) = Schnitt.
 S (Münze) = Sesterz.
 Sam = Aufsammlung.
 SE = stratigraphische Einheit.
 sek. g = sekundär geschmaucht.
 sek. v = sekundär verbrannt / verbacken.
 SG = Südgallien.

Sis	=	Siscia.
St	=	Standring.
T	=	Tiefe.
Tar	=	Tarraco.
TN	=	Terra Nigra.
t.a.q.	=	<i>terminus ante quem</i> .
t.p.q.	=	<i>terminus post quem</i> .
Ü	=	Überzug.
UK	=	Urnenfelderkultur.
Vf	=	Variante fehlt (im Zitierwerk).
W, Wfrgt.	=	Wandfragment(e).
WA	=	Wand außen.
WI	=	Wand innen.
Wms	=	Wandmünzstätte.
Wst	=	Wandstärke (in Zentimeter).

2. KERAMISCHE REFERENZGRUPPEN

Referenzgruppe	Härte	Magerungshäufigkeit	Sortierung	Glimmer Vorkommen/Länge	Quarz Vorkommen/Länge	Sonstiges	Farbe am Bruch (häufigste Farbwerte)
Anm.: optische Klassifizierung der Repräsentanten unter Stereomikroskop mit sechs- bis zehnfacher Vergrößerung; Schätzwert der Längenmaße anhand Mikroraster, der Magerungshäufigkeit anhand Sedlmayer 2002, Abb. 245 und der Sortierung anhand V. Gassner, Die Keramik mit Ausnahme der Terra sigillata, in: V. Gassner u. a., Das Kastell Mautern – Favianis, RLÖ 39 (2000) Abb. 173.							
RF 1	hart	12	e	häufig/ bis 1 mm	häufig/ bis 3 mm	schwarze Partikel/ bis 1 mm	7,5YR 8/0, 7/4
RF 2	hart	11	g	häufig/ bis 1 mm	häufig/ bis 2 mm		10YR 5/1, 4/1
RF 3	hart	12	g	häufig/ bis 1 mm	häufig/ bis 3 mm		7,5YR 3/0
RF 4 RF 4rot	hart	9	g	häufig/ bis 1 mm	häufig/ bis 3 mm	rote Partikel/ bis 1 mm	10YR 8/1, 7/3, 5/2 7,5YR 6/4, 6/6
RF 5ox RF 5red	mittel	7	b	häufig/ < 1 mm	häufig/ bis 1 mm		7,5YR 6/6, 5YR 6/8 7,5YR 7/0
RF 6	hart	11	e	mittel/ < 1 mm	häufig/ bis 2 mm	schwarze Partikel/ bis 1 mm	7,5YR 8/0
RF 7	mittel	7	c	häufig/ bis 1 mm	selten/ bis 2 mm	schwarze Partikel/ bis 1 mm	7,5YR 4/0 10YR 5/1
RF 8ox RF 8red	weich	7	c	häufig/ bis 1 mm	selten/ bis 2 mm	schwarze Partikel/ bis 2 mm	7,5YR 7/4 7,5YR 6/0
RF 9	hart	8	c	häufig/ bis 1 mm	mittel/ bis 2 mm	schwarze Partikel/ bis 2 mm	7,5YR 8-5/0
RF 10	weich	4	f	häufig/ < 1 mm	mittel/ bis 1 mm	schwarze/rote Partikel/ bis 1 mm	7,5YR 8/4
RF 11	weich	8	g	häufig/ < 1 mm	häufig/ bis 2 mm	schwarze/rote Partikel/ bis 2 mm	7,5YR 3/0

3. ABGEKÜRZTE TYPENANSPRACHEN UND ZITIERWERKE

- A O. Almgren, Studien über nordeuropäische Fibelformen, Mannus-Bibliothek 32 (1923).
- AR Rütli 1991.
- Beltrán M. Beltrán Lloris, Las anforas romanas en España (1970).
- C H. Cohen, Description historique des monnaies frappées sous l'Empire Romain 1–8 (1972²).
- Consp. E. Ettliger u. a., Conspectus formarum terrae sigillatae italico modo confectae, Materialien zur römisch-germanischen Keramik 10 (1990).
- Cra M. Crawford, Roman Republic Coinage (1974).
- Drag. H. Dragendorff, Terra Sigillata. Ein Beitrag zur Geschichte der griechischen und römischen Keramik, BJb 96/97, 1895, 18–155.
- Dressel H. Dressel, CIL XV/2, 1899 Taf. 2.
- Drexel H. Drexel, Kastell Faimingen, ORL B VI Nr. 66c (1911).
- FMRÖ Österreichischen Akademie der Wissenschaften (Hrsg.), Die Fundmünzen der römischen Zeit in Österreich.
- Garbsch Garbsch 1965.
- IS C. Isings, Roman Glass from Dated Finds (1957).
- J Jobst 1975.
- Manning W. H. Manning, Catalogue of the Romano-British Iron Tools, Fittings and Weapons in the British Museum (1985).
- MIR Österreichischen Akademie der Wissenschaften, phil.-hist. Klasse, Numismatischen Kommission (Hrsg.), Moneta Imperii Romani.
- MIR 18 W. Szaivert, Die Münzprägung der Kaiser Marcus Aurelius, Lucius Verus und Commodus (161/192), MIR 18 (1986).
- OCK A. Oxé – H. Comfort, Corpus Vasorum Arretinorum, Antiquitas 3/41 (2000).
- OPEL II–III O. Harl (Hrsg.), Onomasticon provinciarum Europae Latinarum 2–3 (1999; 2000).
- Osw. F. Oswald, Index of Figure Types on Terra Sigillata (1936–1937; 1964²).
- RIC The Roman Imperial Coinage.
- RIC I C. H. V. Sutherland, The Roman Imperial Coinage 1, from 31 B.C. to AD 69 (1923).
- RIC I² C. H. V. Sutherland, The Roman Imperial Coinage 1, from 31 B.C. to AD 69 (1984²).
- RIC II H. Mattingly – E. Sydenham, The Roman Imperial Coinage 2, Vespasian to Hadrian (1926).
- RIC III H. Mattingly – E. Sydenham, The Roman Imperial Coinage 3, Antoninus Pius to Commodus (1930).
- RIC IV/1 H. Mattingly – E. Sydenham, The Roman Imperial Coinage 4/1, Pertinax to Geta (1936).
- RIC VI C. H. V. Sutherland, The Roman Imperial Coinage 6, from Diocletian's Reform (A.D. 294) to the death of Maximinus (A.D. 313) (1967).
- Ri.-Fi. H. Ricken, Die Bilderschüsseln der römischen Töpfer von Rheinzabern. Textband mit Typenbildern zum Katalog VI der Ausgrabungen von Wilhelm Ludowici bearbeitet von Ch. Fischer, Materialien zur römisch-germanischen Keramik 7 (1963).
- Ri.-Lud. W. Ludowici, Katalog VI meiner Ausgrabungen in Rheinzabern 1901–1914. Die Bilderschüsseln der römischen Töpfer von Rheinzabern. Bearbeitet von H. Ricken, Veröffentlichungen des Historischen Museums der Pfalz. (1948²).
- RISt E. Weber, Die römerzeitlichen Inschriften der Steiermark, Veröffentlichungen der historischen Landeskommission für Steiermark, Arbeiten zur Quellenkunde 35 (1969).
- Vindonissa Ch. Unz – E. Deschler-Erb, Katalog der Militaria von Vindonissa, Veröffentlichungen der Gesellschaft Pro Vindonissa 14 (1997).
- Winter Winter 1985/86.

4. VERZEICHNIS DER ABGEKÜRZT ZITIERTEN LITERATUR

- Adam – Czeika 1995 A. Adam – S. Czeika, Die Tierknochen der römischen Siedlung von Gleisdorf, in: Lorenz – Maier – Lehner 1995, 183–207.
- Alföldy 1974 G. Alföldy, *Noricum* (1974).
- Alföldy 1993 G. Alföldy, Die Personennamen auf den Bleietiketten von Kalsdorf (Steiermark) in *Noricum*, in: F. Heidermanns – H. Rix – E. Seebold (Hrsg.), *Sprachen und Schriften des antiken Mittelmeerraums*, Festschrift J. Untermann, *Innsbrucker Beiträge zur Sprachwissenschaft* 78, 1993, 1–32.
- Amtmann 1994 B. Amtmann, Das Fundmaterial des provinzialrömischen Hügelgräberfeldes von Gising in der Steiermark, *FÖ* 33, 1994 (1995) 7–23.
- Archäologie Feldbach 2001 Südoststeirischer Verein für Heimatkunde (Hrsg.), *Archäologie im Raum Feldbach*, *Feldbacher Beiträge zur Heimatkunde der Südoststeiermark* 8, 2001.
- Artner 1988/89 W. Artner, Die provinzialrömischen Gräber von Gleisdorf in der Oststeiermark, *MUAG* 38/39 (1988/89).
- Artner 1994 W. Artner, Die Ausgrabungen und Funde im Bereich des Hügelgräberfeldes von Ratschendorf 1974–1992, in: Hebert u. a. 1994, 36–48.
- Artner 1997 W. Artner, Ein römischer Grabbau in St. Martin an der Raab, *PAR* 47/1–2, 1997, 2–4.
- Artner 1998/99 W. Artner, Der Frauenberg bei Leibnitz, Steiermark, in der Spätlatènezeit und in der vorclaudischen Kaiserzeit, *ArchA* 82/83, 1998/99, 221–341.
- Artner 2003 W. Artner, Hügel 41 des norisch-pannonischen Hügelgräberfeldes in Saaz, Gemeinde Paldau, Oststeiermark, *ArchA* 87, 2003, 147–164.
- Artner – Franek – Hampel 1995 W. Artner – Ch. Franek – U. Hampel, Die Ausgrabungen im Bereich der Hügelgräbergruppe „Edelwiese“ in der Gemeinde Eichfeld bei Radkersburg, Steiermark, *FÖ* 34, 1995 (1996) 53–67.
- Artner – Hebert – Kramer 1991 W. Artner – B. Hebert – D. Kramer, Die vorläufigen Ausgrabungsergebnisse auf der Parzelle 1166/1 in Kalsdorf, *AÖ* 2/2, 1991, 41–44.
- Bauer 1993 I. Bauer, Das Fundmaterial der Grabung 1992/93 im Oswaldgraben in der Steiermark, *FÖ* 32, 1993 (1994) 155–164.
- Bauer 1994 I. Bauer, Einzel- und Altfunde aus der Gemeinde Ratschendorf, in: Hebert u. a. 1994, 35–36.
- Bauer 1997 I. Bauer, Römerzeitliche Höhensiedlungen in der Steiermark, *FÖ* 36, 1997 (1998) 71–192.
- Bauer – Groh 1994 I. Bauer – St. Groh, *Wagna*, *FÖ* 33, 1994 (1995) 605–607.
- Bauer – Herbert – Schachinger 1995 I. Bauer – B. Hebert – U. Schachinger, Das römerzeitliche Gehöft von Aichegg bei Stallhofen (unter Einbeziehung des nachantiken Fundmaterials), *FÖ* 34, 1995 (1996) 73–136.
- BDAST-FA, TAG-LOOP II Berichte zu den Begehungen anlässlich des Baues der Erdgasleitung, ungedr. Bundesdenkmalamt LOOP II, Landeskonservatorat für Steiermark Graz.
- Bender – Wolff 1994 H. Bender – H. Wolff, Ländliche Besiedlung und Landwirtschaft in den Rhein – Donau – Provinzen des Römischen Reiches, *Passauer Universitätsschriften zur Archäologie* 2 (1994).
- Bernhard 1981 H. Bernhard, Zur Diskussion um die Chronologie Rheinzaberner Reliefköpfe, *Germania* 59, 1981, 79–94.
- Bernhard 2000 A. Bernhard, Hörbing, *FÖ* 39, 2000 (2001) 677–679.
- Buocz 1963 T. P. Buocz, A kertész utcai római temető, *Savaria* 1, 1963, 131–148.
- Burmeister 1998 S. Burmeister, Vicus und spätrömische Befestigung von Seebuck-Bedaum, *Materialhefte zur Bayerischen Vorgeschichte* 76 (1998).
- Chornitzer 1995a V. Chornitzer, Die reliefierte Terra Sigillata, in: Lorenz – Maier – Lehner 1995, 87–164.
- Chornitzer 1995b V. Chornitzer, Rettungsgrabung in der römischen Gräberstraße von Pichling bei Köflach 1994 (VB Voitsberg, Steiermark), *FÖ* 34, 1995 (1996) 195–219.
- Dal Ri – Di Stefano 2002 L. Dal Ri – St. Di Stefano, Archäologie der Römerzeit in Südtirol, *Forschungen zur Denkmalpflege in Südtirol* 1 (2002).
- Di Stefano – Scaroina 2002 St. Di Stefano – L. Scaroina, Il macellum di San Lorenzo di Sebato, in: Dal Ri – Di Stefano 2002, 840–856.
- Djura Jelenko 2004 S. Djura Jelenko, Dr. Hans Winkler in njegov prispevek k arheologiji Mislinjske doline, *Katalog Koroški pokrajinski muzej Slovenj Gradec* (2004).
- Dolenz 1942 H. Dolenz, Ausgrabungen in Baldersdorf (Kreis Spittal a. d. Drau), *Carinthia* 132, 1942, 28–52.
- Dolenz 2003 H. Dolenz, Ottmanach, *FÖ* 42, 2003 (2004) 710.
- Dolenz 2004 H. Dolenz, Die Ausgrabungen auf dem Magdalensberggipfel im Jahre 2004, *Rudolfinum* 2004 (2005) 169–176.
- Dolenz – Luik 2003 H. Dolenz – M. Luik, Neue Erkenntnisse zur römischen Siedlung Meclaria/Maglern in der Marktgemeinde Arnoldstein, *Carinthia* 193, 2003, 157–178.
- Egger 1914 R. Egger, Ausgrabungen in Noricum 1912/13, *ÖJh* 17, 1914, Beibl. 5–86.
- Ehret 1964 R. Ehret, Tierknochenfunde aus der Stadt auf dem Magdalensberg bei Klagenfurt in Kärnten II. Carnivora, Lagomorpha, Rodentia und Equidae, *Kärntner Museumsschriften* 34 (1964).

- Erath – Jeschek 1994 G. Erath – G. Jeschek, Gleisdorf, FÖ 33, 1994 (1995) 596–597.
- Ertel u. a. 1999 Ch. Ertel – V. Gassner – S. Jilek – H. Stiglitz, Untersuchungen zu den Gräberfeldern in Carnuntum, RLÖ 40 (1999).
- Feldinger 1988 E.-M. Feldinger, Neumarkt-Land, FÖ 27, 1988 (1989) 317.
- Feldinger 1989 E.-M. Feldinger, Neumarkt-Land, FÖ 28, 1989 (1990) 251.
- Fleischer 1964–65 R. Fleischer, Immurium-Moosham. Die Grabungen 1964 und 1965, ÖJh 47, 1964–65, Beibl. 105–204.
- Fleischer 1966–67 R. Fleischer, Immurium-Moosham. Die Grabungen 1966 und 1967, ÖJh 48, 1966–67, Beibl. 165–230.
- Fleischer 1998 R. Fleischer, Die Ergebnisse der Grabungen 1964–1970, in: Fleischer – Moucka-Weitzel 1998, 9–51.
- Fleischer – Moucka-Weitzel 1998 R. Fleischer – V. Moucka-Weitzel, Die römische Straßenstation Immurium – Moosham im Salzburger Lungau, ASalzb 4 (1998).
- Flügel – Neubauer 1984 H. W. Flügel – F. Neubauer, Erläuterungen zur Geologischen Karte der Steiermark 1:200.000, Geologie der Österreichischen Bundesländer in kurzgefassten Einzeldarstellungen, Geologische Bundesanstalt Wien (1984).
- Fuchs 1980 G. Fuchs, Die römerzeitlichen Gräberfelder von Flavia Solva, ungedr. Diss. Graz (1980).
- Fuchs 1993a G. Fuchs, Berichte zur Landesaufnahme, ungedr. Bundesdenkmalamt, Landeskonservatorat für Steiermark Graz (1993).
- Fuchs 1993b G. Fuchs, Pichling bei Köflach, FÖ 32, 1993 (1994) 767–768.
- Fuchs 1994 G. Fuchs (Hrsg.), Rettungsgrabung auf Parzelle 322/49 der KG Pichling bei Köflach, Steiermark, FÖ 33, 1994 (1995) 109–138.
- Fuchs 1998 G. Fuchs, Pichling bei Köflach, FÖ 37, 1998 (1999) 821.
- Fuchs 2000a G. Fuchs, Pichling bei Köflach, FÖ 39, 2000 (2001) 680–681.
- Fuchs 2000b G. Fuchs, Römerzeitliche Siedlungsbefunde in Köflach-Pichling, AÖ 11/2, 2000, 44–45.
- Fürnholzer 1997 J. Fürnholzer, Feststellungsgrabung in einem römerzeitlichen Hügelgräberfeld in Grafendorf bei Hartberg, Steiermark, FÖ 36, 1997 (1998) 299–304.
- Fürnholzer 1998 J. Fürnholzer, Feststellungsgrabung im römerzeitlichen Hügelgräberfeld am Steinberg, Leitersdorf im Raabtal, FÖ 37, 1998 (1999) 173–178.
- Fürnholzer 2004 J. Fürnholzer, Feststellungsgrabung im römerzeitlichen Grabhügel beim Gehöft vulgo Höchkiegerl, Frauental an der Laßnitz, Steiermark, FÖ 43, 2004 (2005) 441–458.
- Gabler 2004 D. Gabler, Zur frühen Terra Sigillata der Zivilsiedlung von Vindobona, WAS 6 (2004) 101–161.
- Galik – Gugl – Sperl 2003 A. Galik – Ch. Gugl – G. Sperl, Feldkirchen in Kärnten. Ein Zentrum norischer Eisenverhüttung, AForsch 9 (2003).
- Gamper 2004 P. Gamper, Ausgrabungen auf der Gurina, <http://gurina.dellach.at/gurina-21-06-2004.htm>
- Gamper 2005a P. Gamper, Ausgrabungen auf der Gurina, <http://gurina.dellach.at/gurina-24-06-2005.htm>
- Gamper 2005b P. Gamper, Ergebnisse der Grabungskampagne 2005 – Vorbericht, <http://gurina.dellach.at/gurina-27-12-2005.htm>
- Garbsch 1965 J. Garbsch, Die norisch-pannonische Frauentracht im 1. und 2. Jahrhundert, Münchner Beiträge zur Vor- und Frühgeschichte 11 (1965).
- Gattringer 1971 A. Gattringer, Traismauer, FÖ 10, 1971 (1972) 75–85.
- Gattringer 1974 A. Gattringer, Traismauer, FÖ 13, 1974 (1975) 114–118.
- Gattringer 1975 A. Gattringer, Traismauer, FÖ 14, 1975 (1976) 167–168.
- Gattringer 1976 A. Gattringer, Traismauer, FÖ 15, 1976 (1977) 276–277.
- Gattringer 1980 A. Gattringer, Traismauer, FÖ 19, 1980 (1981) 548–549.
- Grabherr 2001 G. Grabherr, Michllhallberg. Die Ausgrabungen in der römische Siedlung 1997–1999 und die Untersuchungen an der zugehörigen Straßentrasse, Schriftenreihe des Kammerhofmuseums Bad Aussee 22 (2001).
- Groh 1993 St. Groh, Reliefverzierte Terra Sigillata aus der Insula XLI von Flavia Solva, FÖ 32, 1993 (1994) 65–106.
- Groh 1996 St. Groh, Die Insula XLI von Flavia Solva. Ergebnisse der Grabungen 1959 und 1989 bis 1992, SoSchrÖAI 28 (1996).
- Groh 1997 St. Groh, Flavia Solva und Poetovio – Nachbarstädte und Handelspartner in römischer Zeit, in: G. Erath – M. Lehner – G. Schwarz (Hrsg.), Komos, Festschrift Th. Lorenz (1997) 181–184.
- Groh 2001a St. Groh (Hrsg.), Die Grabungen 1998 im Kastellvicus Süd von Mautern an der Donau/Favianis, ErghÖJh 1 (2001).
- Groh 2001b St. Groh, Der archäologische Befund auf Parzelle 702/7 im Kastellvicus Süd von Mautern/Favianis, in: Groh 2001a, 17–44.
- Groh 2002 St. Groh, Terra Sigillata, in: Groh – Sedlmayer 2002b, 156–174.
- Groh 2006a St. Groh, Befunde, in: Groh – Sedlmayer 2006, 21–196.
- Groh 2006b St. Groh, Terra Sigillata, in: Groh – Sedlmayer 2006, 210–253.

- Groh – Sedlmayer 2002a St. Groh – H. Sedlmayer, Neue Grabungen im Vicus des Auxiliarkastells Favianis (Noricum) – ein Handwerksbezirk im östlichen Kastellvicus, in: Ph. Freeman – J. Bennett – Z. T. Fiema – B. Hoffmann (Hrsg.), *Limes XVII, Proceedings of the XVIIIth International Congress of Roman Frontier Studies held in Amman, Jordan (September 2000)*, BARint 1084/2 (2002) 567–572.
- Groh – Sedlmayer 2002b St. Groh – H. Sedlmayer, Forschungen im Kastell Mautern-Favianis. Die Grabungen der Jahre 1996 und 1997, RLÖ 42 (2002).
- Groh – Sedlmayer 2004 St. Groh – H. Sedlmayer, Neue Aufschlüsse zur Bebauungsgeschichte am Frauenberg bei Leibnitz, Steiermark – Baustellenbeobachtungen und Notbergungen des Österreichischen Archäologischen Instituts 2003, FÖ 43, 2004 (2005) 459–473.
- Groh – Sedlmayer 2005 St. Groh – H. Sedlmayer, Der norisch-römische Kultplatz am Frauenberg (Österreich), *Protohistoire Européenne* 9 (2005).
- Groh – Sedlmayer 2006 St. Groh – H. Sedlmayer, Forschungen im Vicus Ost von Mautern-Favianis. Die Grabungen der Jahre 1997–1999, RLÖ 44 (2006).
- Gugl 1995 Ch. Gugl, Die römischen Fibeln aus Virunum (1995).
- Gugl 2000 Ch. Gugl, Archäologische Forschungen in Teurnia, *SoSchrÖAI* 33 (2000).
- Gutjahr – Tiefengraber 1997 Ch. Gutjahr – G. Tiefengraber, Römische Grabhügelgruppe in der Flur Himmelreich, KG Werndorf, VB Graz-Umgebung, FÖ 36, 1997 (1998) 305–311.
- Hainzmann 1998 M. Hainzmann, Kelten in der Steiermark – zur Namensevidenz, *SchvSt Kleine Schriften* 18 (1998) 67–81.
- Hainzmann 2001 M. Hainzmann, Der Raum Drau-Mur-Raab aus epigraphischer Sicht, in: A. Lippert (Hrsg.), *Die Drau-, Mur- und Raab-Region im 1. vorchristlichen Jahrtausend, Universitätsforschungen zur Prähistorischen Archäologie* 78 (2001) 335–341.
- Hebert 1988 B. Hebert, Hörbing, FÖ 27, 1988 (1989) 320–321.
- Hebert 1989 B. Hebert, Hörbing, FÖ 28, 1989 (1990) 253–254.
- Hebert 2004 B. Hebert, Eine römerzeitliche Fundstelle bei Jagernigg, Steiermark, FÖ 43, 2004 (2005) 499–505.
- Hebert u. a. 1994 B. Hebert u. a., Ratschendorf: Funde aus dem Gemeindegebiet und Grabungen im norisch-pannonischen Hügelgräberfeld „Hügelstaudach“, FÖ 33, 1994 (1995) 31–79.
- Heymans 1997 H. Heymans, Die Fibeln aus dem römerzeitlichen Vicus von Kalsdorf bei Graz, FÖ 36, 1997 (1998) 325–375.
- Hinker 2002 Ch. Hinker, Die norisch-pannonischen Hügelgräberfelder von Rassach und Tanzelsdorf, Steiermark, FÖ 41, 2002 (2003) 167–201.
- Hirsch 1994 N. Hirsch, Das Grabungsjahr 1994 in Unterradlberg, FÖ 33, 1994 (1995) 220–225.
- Hirsch 1995 N. Hirsch, Die Grabungen im „Bereich Roter Turm“, Stadtgemeinde Tulln, FÖ 34, 1995 (1996) 377–384.
- Hirsch 1996 N. Hirsch, Grabungen Albrechtsgasse/Donaugasse in Tulln, FÖ 35, 1996 (1997) 276–277.
- Hirsch 1998 N. Hirsch, Grabungen im Stadtgebiet von Tulln, Wiener Straße 24–26, FÖ 37, 1998 (1999) 447–453.
- Hirsch 2002 N. Hirsch, Rettungsgrabung im Altstadtgebiet von Tulln, FÖ 41, 2002 (2003) 388–394.
- Hirsch – Wewerka 1991 N. Hirsch – B. Wewerka, Rettungsgrabung in der Zivilstadt des Römerlagers Augustianis/Traismauer, FÖ 30, 1991 (1992) 32–33.
- Hofer 2000 N. Hofer, Archäologische Untersuchungen im westlichen Vicusbereich des römischen Lagers Favianis/Mautern, NÖ, FÖ 39, 2000 (2001) 244–249.
- Hofer 2001 N. Hofer, Von der Bronzezeit zum Mittelalter – Ergebnisse der zweijährigen Rettungsgrabung in der Burggartengasse in Mautern, Niederösterreich, FÖ 40, 2000 (2001) 520–545.
- Hofmann 1988 B. Hofmann, L'atelier de Banassac, *Revue Archéologique Sites* 33 (1988).
- Hofmann o. J. B. Hofmann, Catalogue des estampilles sur vaisselle sigillée, *Revue Archéologique Sites* 27 (o. J.).
- Hornberger 1970 M. Hornberger, Gesamtbeurteilung der Tierknochenfunde aus der Stadt auf dem Magdalensberg in Kärnten (1948–1966), *Kärntner Museumsschriften* 59 (1970).
- Hudeczek 2002 E. Hudeczek, Flavia Solva, Entwicklung und Topographie, in: M. Šašel-Kos – P. Scherrer, *The autonomous towns of Noricum and Pannonia*, *Situla* 40, 2002, 203–212.
- Hudeczek 2004 E. Hudeczek, Die Römersteinsammlung des Landesmuseums Joanneum (2004).
- Istenič 1999/2000 J. Istenič, Poetovio, Zahodna Grobišča I (The Western Cemeteries I), *Katalogi in monografije* 33/1 (Text) (1999) und 33/2 (Katalog und Tafeln) (2000).
- Istenič – Plesničar-Gec 2001 J. Istenič – L. Plesničar-Gec, A pottery kiln at *Emona*, *ReiCretActa* 37, 2001, 141–146.
- Jablonka 2001 P. Jablonka, Die Gurina bei Dellach im Gailtal, *Aus Forschung und Kunst* 33 (2001).
- Jandaurek 1956 H. Jandaurek, Eine keltenszeitliche Großsiedlung bei Neubau, *OÖHbl* 10, 1956, 22–36.
- Jeschek 2000 G. Jeschek, Die grautonige Keramik aus dem römischen Vicus von Gleisdorf, *VIKAGraz* 5 (2000).

- Jeschek – Lehner 1994 G. Jeschek – M. Lehner, Eine winterliche Baustellenbeobachtung des Bundesdenkmalamtes im römischen vicus von Kalsdorf, FÖ 33, 1994 (1995) 189–203.
- Jeschek – Lehner 1996 G. Jeschek – M. Lehner, Gleisdorf, FÖ 35, 1996 (1997) 525–526.
- Jobst 1975 W. Jobst, Die römischen Fibeln aus Lauriacum, FiL 10 (1975).
- Karnitsch 1959 P. Karnitsch, Die Reliefsigillata von Ovilava, Schriftenreihe des Instituts für Landeskunde von Oberösterreich 12 (1959).
- Karnitsch 1962 P. Karnitsch, Die Linzer Altstadt, LAF 1 (1962).
- Karwiese 1975 St. Karwiese, Der Arger Arguntinus (1975).
- Kastler 2000 R. Kastler, Martinskirche Linz – Die antiken Funde, LAF 31 (2000).
- Klemenc – Kolšek – Petru 1972 J. Klemenc – V. Kolšek – P. Petru, Šempeter, Katalogi in monografije 9 (1972).
- Köhldorfer – Grabner 1998 J. Köhldorfer – R. Grabner, Region Kirchberg im Wandel der Zeit I (1998).
- Kojalek 1979–1992 K. Kojalek, Berichte zur Landesaufnahme, ungedr. Bundesdenkmalamt, Landeskonservatorat für Steiermark Graz (1979; 1980; 1981; 1983; 1984; 1987; 1988; 1989; 1990; 1991; 1992).
- Kolšek 1976 V. Kolšek, Vzhodni del antične nekropole v Šempetru, Katalogi in monografije 14 (1976) 135–140.
- Kolšek 1997 V. Kolšek, Die Rekonstruktion des Ennier-Grabmonuments in Šempeter im Savinjatal, in: B. Djurič – I. Lazar (Hrsg.), Akten des 4. Internationalen Kolloquiums über Probleme des provinzialrömischen Kunstschaffens, Celje 8.–12. Mai 1995, Situla 36 (1997).
- Kramer 1981 D. Kramer, Vom Neolithikum bis zur römischen Kaiserzeit. Untersuchungen zur ältesten Besiedlungsgeschichte der Steiermark mit besonderer Berücksichtigung der mittelsteirischen Höhsiedlungen, ungedr. Diss. Salzburg (1981).
- Kramer 1984 D. Kramer, Ur- und Frühgeschichte des Bezirkes Feldbach, in: R. Grasmug, 8 Jahrhunderte Feldbach, in: 100 Jahre Stadt Feldbach (1984) 37–51.
- Kramer 1990a D. Kramer, Ur- und Frühgeschichte, in: E. Kremshofer, Markt Hartmannsdorf, Geschichte und Geschichten (1990) 17–41.
- Kramer 1990b D. Kramer, Aus der Ur- und Frühgeschichte, in: A. Lancsak – A. Rechberger – A. Monschein, St. Margarethen an der Raab (1990) 17–33.
- Kremer 2001 G. Kremer, Antike Grabbauten in Noricum, SoSchrÖAI 36 (2001).
- Kropf – Nowak 1998/99 J. Kropf – H. Nowak, Fibeln von Flavia Solva aus Privatbesitz, RÖ 21/22, 1998/99.
- Kujundžić 1982 Z. Kujundžić, Poetovijske nekropole, Katalogi in monografije 20 (1982).
- Kunst 1997 G. K. Kunst, Equidenskelette aus dem Vorland des Auxiliarkastelles Carnuntum, in: M. Kandler (Hrsg.), Das Auxiliarkastell Carnuntum 2, SoSchrÖAI 30 (1997) 183–218.
- Lamm 2001 S. Lamm, Die römischen Funde vom Saazkogel 2000, in: Archäologie Feldbach 2001, 75–102.
- Lamm 2005 S. Lamm, Das Fundmaterial der Ausgrabung des Instituts für Klassische Archäologie in St. Martin an der Raab 1997, ungedr. Diplomarbeit Graz (2005).
- Lazar 2003 I. Lazar, Rimsko Steklo Slovenije, The roman glass of Slovenia (2003).
- Leger 1999 J. Leger, Feinware aus Kalsdorf, ungedr. Diplomarbeit Graz (1999).
- Lehner 2000 M. Lehner, Neue Grabungen im römischen vicus von Kalsdorf, AÖ 11/2, 2000, 43–44.
- Lippert 1999 A. Lippert, Die archäologischen Grundlagen, in: I. Draxler – A. Lippert, Pollenanalytische Daten und eine archäologische Bestandsaufnahme zur frühen Siedlungsgeschichte im Gebiet zwischen Raab und Mur (Österreich, Slowenien, Ungarn), Abhandlungen der Geologischen Bundesanstalt 56/1 (1999) 337–396.
- Lippert 2001 A. Lippert, Archäologische Forschungen am Saazkogel, in: Archäologie Feldbach 2001, 32–74.
- Lohner 1997 U. Lohner, Die reliefverzierte Terra Sigillata aus dem römischen Vicus von Kalsdorf bei Graz, FÖ 36, 1997 (1998) 409–445.
- Lohner 1999 U. Lohner, Zivile Vici im Umfeld von Flavia Solva, in: N. Hanel – C. Schucany (Hrsg.), Colonia – municipium – vicus. Struktur und Entwicklung städtischer Siedlungen in Noricum und Obergermanien, BARint 783 (1999) 29–41.
- Lohner 2000 U. Lohner, Die Baubefunde des römischen Vicus von Gleisdorf aus den Grabungsjahren 1988–1990 im Überblick, in: Jeschek 2000, 11–22.
- Lohner 2003 U. Lohner, Ein ziviler Vicus in Kaldorf bei Graz im Territorium von Flavia Solva, in: E. Krenn – U. Schachinger (Hrsg.), Neue Forschungen aus Flavia Solva, Archäologische Gesellschaft Steiermark Beih. 3 (2003) 105–114.
- Lorenz – Maier 1991 H.-Th. Lorenz – Ch. Maier, Kalsdorf, FÖ 30, 1991 (1992) 315.
- Lorenz – Maier – Lehner 1995 Th. Lorenz – Ch. Maier – M. Lehner (Hrsg.), Der römische Vicus von Gleisdorf, VIKAGraz 2 (1995).
- Lunz 2002 R. Lunz, Sebatum. Die Fundmünzen aus den Jahren 1938–1940, in: Dal Ri – Di Stefano 2002, 782–839.
- Maier 1995 Ch. Maier, Der vicus von Gleisdorf, in: Lorenz – Maier – Lehner 1995, 21–60.

- Maister 1930–1934 K. Maister, Hof, FÖ 1/11–16, 1932 (1933) 193.
- Mees 1995 A. W. Mees, Modellsignierte Dekorationen auf südgallischer Terra Sigillata, FBerBadWürt 54 (1995).
- Mees 2002 A. W. Mees, Organisationsformen römischer Töpfer-Manufakturen am Beispiel von Arezzo und Rheinabern, Monographien RGZM 52/1–2 (2002).
- Mócsy 1954 A. Mócsy, Frühromische Gräber in Savaria (Szombathely), AErt 81, 1954, 190–191.
- Modrijan 1965 W. Modrijan, Steiermark, in: L. Franz – A. Neumann, Lexikon Ur- und Frühgeschichtlicher Fundstellen Österreichs (1965).
- Moser 2001 St. Moser, Die latènezeitliche Siedlung von Neubau bei Traun – neue Funde keltischer Schrötlingformen in OÖ, JbOÖMV 146/1, 2001, 101–128.
- Moucka-Weitzel 1998 V. Moucka-Weitzel, Die Kleinfunde von Immurium-Moosham, in: Fleischer – Moucka-Weitzel 1998, 52–286.
- Muschal 1995 B. Muschal, Römische Gefäßkeramik aus dem Kohortenkastell Zeiselmauer (Cannabiaca?), NÖ. Feinware und helltonige Gebrauchskeramik, ungedr. Diss. Wien (1995).
- Niemeier 1991 J.-P. Niemeier, Der mittelkaiserzeitliche Kastellvicus Boiodurum, Passau-Innstadt, AJahrBay 1990 (1991) 117–120.
- Niemeier 1993 J.-P. Niemeier, Römischer Vicus – mittelalterliche Scherindustrie – neuzeitliche Porzellanmanufaktur: Grabungen in Passau-Innstadt, Vorträge Niederbayerischer Archäologentag 11, 1993, 85–99.
- Offenberger – Zeller 2000 J. Offenberger – K. W. Zeller, Martinskirche Linz, LAF 32 (2000).
- Pahič 1978 St. Pahič, Najdbe z rimske ceste Slovenska Bistrica–Pragersko, AVes 29, 1978, 129–289.
- Pahič 1980 St. Pahič, Prvi podatki o grobi hišni lončenini z Brinjeve gore, AVes 31, 1980, 89–112.
- Pammer 2001 Y. Pammer, Grobkeramik aus Siedlungsgruben des römerzeitlichen Vicus von Kalsdorf, ungedr. Diplomarbeit Graz (2001).
- Piccottini 1980 G. Piccottini, Die Befestigungsanlage auf dem Gipfel des Magdalensberges, Magdalensberg-Grabungsbericht 14 (1980) 13–109.
- Pichler 1879 F. Pichler, Text zur archäologischen Landkarte (1879)
- Pieler 2002 F. Pieler, Ausgrabungen auf dem Grundstück Mautern, Missongasse 11, FÖ 41, 2002 (2003) 377–384.
- Pieler 2004 F. Pieler, Rettungsgrabung im Bereich des westlichen Vicus von *Favianis* in Mautern, Melkerstraße, FÖ 43, 2004 (2005) 794–806.
- Plesničar-Gec 1972 L. Plesničar-Gec, Severno Emonsko Grobišče, Katalogi in monografije 8 (1972).
- Plesničar-Gec 1977 L. Plesničar-Gec, Keramika emonskih necropol, Dissertationes et monographiae 20 (1977).
- Polleres 2003 J. Polleres, Der römische Grabbezirk von Faschendorf, in: B. Asamer – W. Wohlmayr (Hrsg.), Akten des 9. Österreichischen Archäologentages am Institut für Klassische Archäologie der Paris Lodron-Universität Salzburg, 6.–8. Dezember 2001 (2003) 161–164.
- Praschniker 1940 C. Praschniker, Ausgrabungen in Baldersdorf (Kärnten), AnzWien 12–15, 1940, 112–119.
- Reichstein 1994 H. Reichstein, Die Säugetiere und Vögel aus der frühgeschichtlichen Wurt Elisenhof, Studien zur Küstenarchäologie Schleswig-Holsteins A/8 (1994) 1–214.
- Reinecke 1961 P. Reinecke, Kaiserzeitliche Bauten bei Langacker Gemeinde Karlstein, Landkreis Berchtesgaden, MGSLk 101, 1961, 161–171.
- Riedel 1993 A. Riedel, Die Tierknochenfunde des römerzeitlichen Lagervicus von Traismauer/Augustiana in Niederösterreich, Annalen des Naturhistorischen Museums Wien 95, 1993, 179–294.
- Riha 1990 E. Riha, Der römische Schmuck aus Augst und Kaiseraugst, Forschungen in Augst 10 (1990).
- Rodriguez 1995 H. Rodriguez, Germanische Keramikfunde aus Unterradlberg, in: J. Tejral – H. Friesinger – M. Kazanski (Hrsg.), Neue Beiträge zur Erforschung der Spätantike im mittleren Donauraum, Spisy archeologického ústavu av Čr Brno 8 (1995) 171–214.
- Rogers 1974 G. B. Rogers, Poteries sigillées de la Gaule Centrale, Gallia 28 suppl. (1974).
- Rütti 1991 B. Rütti, Die römischen Gläser aus Augst und Kaiseraugst, Forschungen in Augst 13/1–2 (1991).
- Ruprechtsberger 1984 E. M. Ruprechtsberger, Archäologische Ausgrabung 1982 in der Lessingstraße in Linz, LAF 12 (1984).
- Ruprechtsberger 1992 E. M. Ruprechtsberger, Ausgrabungen im antiken Lentia: Die Funde aus Linz – Tiefer Graben/Flügelhofgasse, LAF 20 (1992).
- Sakl-Oberthaler 1994 S. Sakl-Oberthaler, Die römischen Transportamphoren aus der Insula XXII in Flavia Solva, SchSt 17, 1994, 8–64.
- Sakl-Oberthaler 2000 S. Sakl-Oberthaler, Die römischen Transportamphoren aus den Altgrabungen in Flavia Solva, FÖ 39, 2000 (2001) 381–424.
- Schaltenbrand-Obrecht 1996 V. Schaltenbrand-Obrecht, Die Eisenfunde, Vitodurum 7/Monographien der Kantonsarchäologie Zürich 27 (1996).

- Schindler-Kaudelka 1980 E. Schindler-Kaudelka, Die importierten Kleinfunde aus dem Bereich der Gipfelbefestigung auf dem Magdalensberg, *Magdalensberg-Grabungsbericht* 14 (1980) 111–140.
- Schindler Kaudelka 1997 E. Schindler Kaudelka, Tonnenförmige Kochtöpfe vom Magdalensberg, *ReiCretActa* 35, 1997, 117–125.
- Schindler Kaudelka 2001 E. Schindler Kaudelka u. a., Italische Terra Sigillata mit Appliken in Noricum, *AForsch* 6 (2001).
- Schmid 1929 W. Schmid, Archäologische Forschungen in Steiermark, *ÖJh* 25, 1929, Beibl. 67–148.
- Sedlmayer 1995 H. Sedlmayer, Die römischen Fibeln von Wels, Quellen und Darstellungen zur Geschichte von Wels/Sonderreihe zum Jahrbuch des Musealvereines Wels 4 (1995).
- Sedlmayer 2002 H. Sedlmayer, Sigillataimitationen. Feinware. Amphoren. Römische Gebrauchskeramik. Germanische Keramik. Glas. Kleinfunde. Zusammenfassende Auswertung des kaiserzeitlichen und spätantiken archäologischen Fundmaterials der Grabungen 1996–1997 in Mautern a. d. Donau, in: Groh – Sedlmayer 2002b, 174–343; 351–370.
- Sedlmayer 2006 H. Sedlmayer, Sigillataimitationen. Feinwareimporte und deren Imitationen. Transportkeramik. Römische Gebrauchskeramik. Die Töpfereibetriebe – Fundverteilungen in den Infrastrukturen der Werkstätten und Streuung der Produkte in der Siedlung. Metallindustrie. Beinindustrie. Textilindustrie. Zur materiellen Kultur im Vicus Ost von Favianis-Mautern, in: Groh – Sedlmayer 2006, 253–269; 275–369; 379–399; 403–413; 415–419; 444–539.
- Stanfield – Simpson 1990 J. A. Stanfield – G. Simpson, Les potiers de la Gaule Centrale, *Revue Archéologique Sites* 37 (1990).
- Steinklauber 2002 U. Steinklauber, Das spätantike Gräberfeld auf dem Frauenberg bei Leibnitz, Steiermark, *FÖ Materialh. A/10* (2002).
- Stiglitz 1971 H. Stiglitz, Mautern, *FÖ* 10, 1971 (1972) 71–72.
- Strmčnik-Gulič 1981 M. Strmčnik-Gulič, Antično grobišče v Starem trgu pri Slovenj Gradcu, *AVes* 32, 1981, 348–389.
- Strmčnik-Gulič 1984 M. Strmčnik-Gulič, Najnovejši podatki iz Starega trga pri Slovenj Gradcu, *AVes* 35, 1984, 185–224.
- Strmčnik-Gulič 1993 M. Strmčnik-Gulič, Taking care of the legacy of the past, *Ptujski arheološki zbornik* (1993) 488–501.
- Strmčnik-Gulič 1994 M. Strmčnik-Gulič, Villa rustica at Bohova, *Balácai Közlemények* 3, 1994, 278–291.
- Swoboda 1935 E. Swoboda, Aguntum, *ÖJh* 29, 1935, Beibl. 100–102.
- Tiefengraber 1999 G. Tiefengraber, Die spätlatènezeitliche Keramik der Steiermark, ungedr. Diplomarbeit Graz (1999).
- Tiefengraber 2002 G. Tiefengraber, Ausgrabung in der römischen Straßen- und Handwerkersiedlung in Saaz bei Paldau, Steiermark, *ArchA* 86, 2002, 117–148.
- Tiefengraber 2003 G. Tiefengraber, Saaz, *FÖ* 42, 2003 (2004) 744–746.
- Tiefengraber – Lippert 2004 G. Tiefengraber – A. Lippert, Saaz, *FÖ* 43, 2004 (2005) 937–940.
- Tscholl 1977/78 E. Tscholl, Römisches Limeskastell in Wallsee, *RÖ* 5/6, 1977/78, 109–230.
- Tscholl 1979 E. Tscholl, Funde im Aushub eines Kellers auf Parz. 35/2 KG Wallsee, Bezirkshauptmannschaft Amstetten, *RÖ* 7, 1979, 112–127.
- Ubl 1997 H. Ubl (Hrsg.), Katalog zur Schausammlung „Römerzeit“ des Museums Lauriacum-Enns, *FiL* 12/2 = Sonderbd. I/2 (1997).
- Urban 1984 O. Urban, Das Gräberfeld von Kapfenstein und die römischen Hügelgräber in Österreich, *Münchener Beiträge zur Vor- und Frühgeschichte* 35 (1984).
- Vičič 1994 B. Vičič, Die frühromische Siedlung unterhalb des Schloßbergs in Ljubljana, *AVes* 45, 1994, 47–80.
- Vidrih Perko 1997 V. Vidrih Perko, The roman tile factory at Vransko near Celeia (Noricum). Part two: Ceramic finds, *ReiCretActa* 35, 1997, 165–172.
- Vogrin 1991 A. Vogrin, Die archäologische Fundstätte Kreuh, in: A. Vogrin, *Celeia antiqua* (1991) 15–51.
- Wagner 2000 J. Wagner, Ein Siedlungsplatz der Latène- und Römerzeit in Södingberg, Steiermark, *FÖ* 39, 2000 (2001) 425–533.
- Wandling 1989 W. Wandling, Die Ausgrabungen im mittelkaiserzeitlichen Kastellvicus Boiodurum 1987/1988, *Ostbairische Grenzmarken* 31, 1989, 232–245.
- Weber 1968–71 E. Weber, Ein Bleietikett aus Immurium-Moosham, *ÖJh* 49, 1968–71, Beibl. 229–234.
- Weber-Hiden 1994 I. Weber-Hiden, Die reliefverzierte Terrasigillata der Insula XXII von Flavia Solva, *SchSt* 17, 1994, 65–86.
- Wedenig 1997 R. Wedenig, Saaz, *FÖ* 36, 1997 (1998) 868.
- Weißhäupl – Riedl 1935 R. Weißhäupl – H. Riedl, Eine Villa rustica in Mautern a. D., *ÖJh* 29, 1935, Beibl. 221–235.
- Wewerka 1998 B. Wewerka, Grabungen im Bereich Albrechtsgasse/Donaugasse in Tulln, *FÖ* 37, 1998 (1999) 428–441.

- Wewerka 2000 B. Wewerka, Ein spätantikes Gräberfeld im Bereich der Burggartengasse in Mautern/Favianis, FÖ 39, 2000 (2001) 213–244.
- Winkler 1985 G. Winkler, Die römischen Straßen und Meilensteine in Noricum – Österreich, Schriften des Limesmuseums Aalen 35 (1985).
- Winter 1985/86 H. Winter, Römische Vogelfibeln von österreichischen Fundstellen aus Privatbesitz, RÖ 13/14, 1985/86, 323–369.
- Zabehlicky 1991/92 H. Zabehlicky, Mautern 1990–1991, ÖJh 61, 1991/92, Grabungen 40–44.

Abkürzungen folgen <http://www.oear.at/publik/autoren.html>

5. AUTORENVERZEICHNIS

DI Alois Eder-Hinterleitner, Archeo Prospections, ZAMG – Zentralanstalt für Meteorologie und Geodynamik, Hohe Warte 38, 1190 Wien; E-Mail: archeo@zamg.ac.at

Mag. Christoph Grill, Hans-Riehl-Gasse 12a, 8043 Graz.

Univ.-Doz. Mag. Dr. Stefan Groh, Österreichisches Archäologisches Institut, Franz-Klein-Gasse 1, 1190 Wien; E-Mail: stefan.groh@oeai.at

Mag. Susanne Lehner, Eichenweg 19/E/2, 8042 Graz; E-Mail: susanne.lehner@chello.at

Univ.-Prof. Dr. Andreas Lippert, Universität Wien, Institut für Ur- und Frühgeschichte, Franz-Klein-Gasse 1, 1190 Wien; E-Mail: andreas.lippert@univie.ac.at

Mag. Klaus Löcker, Archeo Prospections, ZAMG – Zentralanstalt für Meteorologie und Geodynamik, Hohe Warte 38, 1190 Wien; E-Mail: archeo@zamg.ac.at

Mag. Dr. Wolfgang Neubauer, VIAS – Vienna Institute for Archaeological Science, Franz-Klein-Gasse 1, 1190 Wien; E-Mail: wolfgang.neubauer@univie.ac.at

Mag. Dr. Ursula Schachinger, Schaftalstraße 26, 8010 Graz; E-Mail: ursula.schachinger@uni-graz.at

Mag. Dr. Helga Sedlmayer, Österreichisches Archäologisches Institut, Franz-Klein-Gasse 1, 1190 Wien; E-Mail: helga.sedlmayer@oeai.at

Dr. Sirri S. Seren, Archeo Prospections, ZAMG – Zentralanstalt für Meteorologie und Geodynamik, Hohe Warte 38, 1190 Wien; E-Mail: archeo@zamg.ac.at

Mag. Dr. Georg Tiefengraber, Eichenweg 19/E/2, 8042 Graz; E-Mail: georg.tiefengraber@gmx.at

6. ABBILDUNGSNACHWEISE

Alle Abbildungsrechte liegen bei den Autoren, ausgenommen:

Abb. 115: Pammer 2001, Taf. 29, 3; 31, 18; 32, 20. 22. 23; 34, 35. 38–39; 35, 44–45. 50; 36, 54; 37, 70; 38, 75; 39, 80. 82.

Abb. 116: Pammer 2001, Taf. 29, 2; 30, 11–14; 31, 16. 19; 33, 28; 45, 1–2. 6. 8; 46, 15–16. 18.

Abb. 125: Jeschek 2000, Taf. 25, 179; 61, 2; 70, 60; 82, 140; 85, 155; 92, 200; 103, 291; 104, 297; 148, 79.

Abb. 126: Jeschek 2000, Taf. 20, 135; 21, 137; 22, 149; 23, 151; 35, 259; 38, 272; 47, 325; 53, 362.

Abb. 137: Lohner 2003, Abb. 4; Lorenz – Maier – Lehner 1995, Beil. 7; Djura Jelenko 2004, Abb. 56.

Abb. 138: Fleischer 1966–67, Abb. 71; Fleischer 1998, Abb. 2. 22; Burmeister 1998, Beil. 5. 7.

Alle Gefäßkeramikzeichnungen: E. Pichler – H. Sedlmayer, Wien.

Alle Kleinfundzeichnungen: G. Tiefengraber, Graz.

Alle Fotos der Münzen: U. Schachinger, Graz.

Alle Fotos der Terra Sigillata: Institut für Ur- und Frühgeschichte, Wien.

VII. Katalog

Helga SEDLMAYER

mit Bestimmungen von

Georg TIEFENGRABER (Befunddaten, Kleinfunde)

Stefan GROH (Terra Sigillata)

Susanne LEHNER (Glas)

Ursula SCHACHINGER (Münzen)



Periode 1 (70–100/110 n. Chr.) – Siedlung S4–5

Periode 1.1 – Holzgebäude (SE 138–143)

Gesamtgewicht: Artefakte G 371, Summe G 371.

Artefakte NMI: Regionale Gefäßkeramik: 4. Importkeramik: 1.

Längliches oval rechteckiges Balkenrübchen (SE 139), 2,18 × 0,2 × 0,2.

Regionale Gebrauchskeramik

Form (?) – RF fein, Inv. 139/1/21. RF grob, Inv. 139/1/20.

Pfostengrube (SE 142), 0,5 × 0,48 × 0,15.

Terra Sigillata

Schale Consp. 34 – Padana, Mdm 11, R7, Inv. 142/2/2 (Taf. 1).

Imitation italischer Feinware

Schale, Imitation italischer Feinware Plesničar-Gec 1977, Taf. 1, 12 – RF 5red, Dreh, Mdm 10, R9, Inv. 142/4/20 (Taf. 1).

Schale, Imitation italischer Feinware – RF 5ox, Dreh, Ü/Ba WA, Mdm 8, R7, Inv. 142/2/1 (Taf. 1).

Regionale Gebrauchskeramik

Becher mit ausgebogenem, kantigem Rand 2 – RF 11, Dreh, Mdm 9, Bdm 4,8, R/B35, Inv. 142/1/20 (Taf. 1).

Becher – RF 5ox, Dreh, Rat WA, W1, Inv. 142/5/20 (Taf. 1).

Töpfe – RF 2, hand/nach, K WA, Bdm 10, B18, Inv. 142/1/21 (Taf. 1). RF grob, hand, K WA, Wst 0,9, W1, Inv. 142/3/20.

Rest eines länglichen Balkenrübchens (SE 143), 0,58 × 0,2 × 0,09.

Regionale Gebrauchskeramik

Dreifußschüssel 4 – RF 4, Dreh, sek. Kochrückstände WI, Mdm 16, R11, Inv. 143/1/20 (Taf. 1; Abb. 110).

Periode 1.1 – Oval-unregelmäßige Grube (SE 160), 1,16 × 0,69 × 0,08.

Gesamtgewicht: Artefakte G 785, Summe G 785.

Artefakte NMI: Regionale Gefäßkeramik: 5. Importkeramik: 3.

Terra Sigillata

Schüssel Drag. 29 – LG, Feston aus glatten Bögen mit Spirale und Rosette (Mees 1995, Taf. 140, 6 MODESTUS), Feston aus Girlanden (Mees 1995, Taf. 70, 1 GERMANUS II; Taf. 85, 2 GERMANUS III), MODESTUS, GERMANUS II, W3, Dat. 60–70, Inv. 160/2/1 (Taf. 1).

Imitation italischer Feinware

Schale, Imitation italischer Feinware Plesničar-Gec 1977, Taf. 1, 27–28 – Rat/Ba WA, Mdm 9, R10, Inv. 160/3/22 (Taf. 1).

Transportkeramik

Dressel 6B – RF 86, max. Wst 1,3, 3 Wfrgt., G 110, Inv. 160/1/22.

Regionale Gebrauchskeramik

Becher – Rad WA, Mdm 8, RW12, Inv. 160/3/21 (Taf. 1).

Topf mit eingezogenem Rand 2 – RF 9, Dreh, Rad WA, sek. g WA, Mdm 9, R25, Inv. 160/4/20 (Taf. 1).

Topf mit ausgebogenem Rand 1.4 – RF 5red, Dreh, Streichbrett WI, Mdm 12, R9, Inv. 160/3/20 (Taf. 1).

Topf mit verdicktem, gerundetem Rand 2 – RF 4, hand/nach, K WA, sek. g WA/RI, Mdm 12, R14, Inv. 160/1/20 (Taf. 1; Abb. 101, 110).

Topf mit ausgebogenem, deutlich verdicktem Rand 1.3 – RF 7, Dreh, sek. g WA/WI, Mdm 13, R21, Inv. 160/1/21 (Taf. 1; Abb. 101).

Form (?) – RF 9, Dreh, Rad WA, Wst 0,4, W1, Inv. 160/1/25. RF 5ox, Dreh, Mischatmosphäre, Wst 0,5, B1, Inv. 160/1/24.

Form (?) – RF grob, hand, K WA, max. Wst 0,7, 10 Wfrgt., Inv. 160/1/23.

Glas

Steilwandiger Becher AR 38 – durchsichtig blaugrün (570), mit vereinzelt großen Luftblasen und einer Fehlernoppe, horizontales schmales Ritzlinienbündel, relativ dickwandig, Größe 5,1 × 5, Wst 0,25, W3, G 8,6, Inv. 160/5 (Taf. 1).

Periode 1.2 – Rundlich-rechteckige Grube (SE 146), 2,4 × 2,6 × 0,3.

Gesamtgewicht: Artefakte G 935, Summe G 935.

Artefakte NMI: Regionale Gefäßkeramik: 13. Importkeramik: 2. Glas: 1.

Terra Sigillata

Schale Consp. 34 – Padana, W1, Inv. 146/7/1 (Taf. 1).

Imitation italischer Feinware

Schale, Imitation italischer Feinware Plesničar-Gec 1977, Taf. 1, 12 – RF 5red, Dreh, Mdm 10, R13, Inv. 146/3/20 (Taf. 1).

Transportkeramik

Dressel 6B – RF 86, Dreh, W1, Inv. 146/1/34.

Regionale Gebrauchskeramik

Imitation Drag. 29/30 – RF 8red, Dreh, Mischatmosphäre, Ü WA, Mdm 22, R12, Inv. 146/2/20 (Taf. 1).

Schale mit profiliertem Wandknick und gekehltm Oberteil – RF 5red, Dreh, Mischatmosphäre, Mdm 11, R5, Inv. 146/3/21 (Taf. 1; Abb. 110).

Dreifußschüssel – RF 4, Wst 0,5, Fuß1, Inv. 146/1/33.

Fassförmiger Becher – RF 5red, Dreh, Mdm 7, R29, Inv. 146/1/27 (Taf. 1; Abb. 99).

Topf mit eingezogenem Rand 3 – RF 5ox, Dreh, Mdm 16, R15, Inv. 146/1/20 (Taf. 1).

Topf mit ausgebogenem, unterschrittenem Rand – RF 4, sek. g RA, Mdm 22, R3, Inv. 146/1/29 (Taf. 1).

Töpfe mit Dreiecksrand 3.2 – RF 4, hand/nach, sek. g RA, Mdm 14, R10, Inv. 146/1/25 (Taf. 1). RF 4, hand/nach, sek. g WA/WI, Mdm 24, R4, Inv. 146/1/23 (Taf. 1).

Topf mit ausgebogenem Rand 1.1.1 – RF 6, Mdm 11, R16, Inv. 146/1/24 (Taf. 1).

Töpfe mit ausgebogenem Rand 1.4 – RF 5ox, Dreh, Streichbrett WI, Mdm 10, R10, Inv. 146/1/28 (Taf. 1). RF 5ox, Mischatmosphäre, Mdm 13, R5, Inv. 146/4/20 (Taf. 1).

Topf mit verdicktem, gerundetem Rand 2 – RF 4, P WA, sek. g RI, Mdm 23, R12, Inv. 146/1/22 (Taf. 1).

Topf mit ausgebogenem, kantigem Rand 3.1.1 – RF 4, Mdm 14, R5, Inv. 146/1/26 (Taf. 1).

Becher/Topf – RF 9, Dreh, max. Wst 0,5, B2, Inv. 146/1/32. RF 9, Dreh, Rad WA, max. Wst 0,4, 6 Wfgrt., Inv. 146/1/31.

Deckel – RF 6, Dreh, Dm 36, R7, Inv. 146/1/21 (Taf. 1).

Form (?) – RF grob, hand, K WA, max. Wst 1, 12 Wfgrt., Inv. 146/1/30.

Baustoff

Baukeramik – Tubulus, 1, sek. v., Inv. 146/4/21.

Glas

Steilwandiger Becher, oben verdickter, rund geschmolzener außen leicht gekehltter Rand AR 98, IS 85b (?) – durchsichtig farblos, Mdm 7,4, Wst 0,1–0,3, R6, G 0,03, Inv. 146/6 (Taf. 1).

Metall

Klinge (?) – Fe, im Querschnitt dreieckig, Größe 4,1 × 1,4 × 0,1–0,3, G 8,6, Inv. 146/8 (Taf. 1).

Periode 1.1 – Oval-rechteckige Grube (SE 168), 0,86 × 0,78 × 0,22.

Gesamtgewicht: Artefakte G 55, Summe G 55.

Artefakte NMI: Regionale Gefäßkeramik: 1.

Regionale Gebrauchskeramik

Imitation Drag. 36 – RF 8red, Dreh, Mdm 19, R4, Inv. 168/1/20 (Taf. 2).

Form (?) – RF 8ox, Dreh, Rat WA, Wst 0,2, W1, Inv. 168/1/22.

Form (?) – RF grob, hand, K WA, Wst 0,6, W1, Inv. 168/1/21.

Periode 1.2 – Runde seichte Grube (SE 174), 0,2 × 0,15 × 0,03.

Gesamtgewicht: Artefakte G 1455, Faunen G 16, Summe G 1471.

Artefakte NMI: Regionale Gefäßkeramik: 8. Import: 2. Metall: 1.

Transportkeramik

Amphore Aquincum 78 (?) – Oberitalien (?), F87, Dreh, Wst 1,5, G 70, W1, Inv. 174/1/38.

Amphore – Spanien, F103, Dreh, Wst 0,8, G 10, Hals1, Inv. 174/1/37.

Regionale Gebrauchskeramik

Schüssel mit eingezogenem Rand – RF 5red, Dreh, R1, Inv. 174/1/25 (Taf. 2).

Schüssel mit profiliertem Wandknick und gekehltm Oberteil – RF 5red, Mischatmosphäre, Dreh, R1, Inv. 174/1/24 (Taf. 2).

Schüssel – Dreh, Ü WA/WI/Rat WA, Wst 0,5, W1, Inv. 174/1/33.

Dickwandige Reibschüssel – grobe Quarzmagerung, Mdm 26, R6, Inv. 174/1/20 (Taf. 2).

Dreifußschüssel 4 – RF 4, Dreh, sek. g RA/R1, Mdm 18, R13, Inv. 174/1/28 (Taf. 2).

Dreifußschüssel – RF grob, sek. g WA, Wst 0,5, Fuß/B1, Inv. 174/1/35.

Töpfe mit ausgebogenem Rand 1.4 – RF 4, Mdm 15, R6, Inv. 174/1/26 (Taf. 2). RF 5red, Dreh, Mdm 10, R6, Inv. 174/1/27 (Taf. 2).

Topf mit ausgebogenem, innen gekehltm Rand 2 – RF 6, P WA, Mdm 17, R6, Inv. 174/1/21 (Taf. 2).

Topf mit verdicktem, gerundetem Rand 2 – RF 6, Mdm 15, R5, Inv. 174/1/23 (Taf. 2).

Form (?) – RF 5red, Dreh, max. Wst 0,4, St/B2, Inv. 174/1/32. RF 9, Rad WA, Wst 0,4, W1, Inv. 174/1/34.

Form (?) – RF grob, hand, K WA, 1 mit geschachteltem K WA, 1 mit K/P WA, max. Wst 1, 13 Wfrgt., Inv. 174/1/29, 174/1/31. RF grob, hand/nach, 1 mit Bodenmarke (Striche), max. Wst 1, 4 Bfrgt., Inv. 174/1/30.

Neuzeitintrusion

Form (?) – RF grob, braune Glasur WI, sek. g WA, Wst 0,4, B1, Inv. 174/1/36.

Metall

Schuhnagel – Fe, bipyramidaler Kopf, kurzer, spitz zulaufender, vierkantiger Schaft, L 2,1, Kopf 0,9 × 0,8 × 0,9, Schaft 0,1 × 0,1, G 1,2, Inv. 174/3 (Taf. 2).

Periode 1 – Rundliche Grube (SE 152), 0,53 × 0,19 × 0,45.

Gesamtgewicht: Artefakte G 385, Summe G 385.

Artefakte NMI: Regionale Gefäßkeramik: 2.

Regionale Gebrauchskeramik

Dreifußschüssel 1/3 – RF 9, Mischatmosphäre, sek. g WA, Mdm 17, R2, Inv. 152/1/21 (Taf. 2).

Topf mit verdicktem, gerundetem Rand 2 – RF 2, K WA, sek. Kochrückstände WI, Mdm 19, R9, Inv. 152/1/20 (Taf. 2).

Form (?) – RF 9, Dreh, Wst 0,4, B1, Inv. 152/1/23.

Form (?) – RF grob, hand, K WA, max. Wst 0,9, 6 Wfrgt., Inv. 152/1/22. RF grob, hand/nach, Wst 1, B1, Inv. 152/1/24.

Periode 1 – Oval-längliche Grube (SE 158), 0,88 × 0,37 × 0,1–0,35.

Gesamtgewicht: Artefakte G 255, Summe G 255.

Artefakte NMI: Regionale Gefäßkeramik: 2.

Regionale Gebrauchskeramik

Dreifußschüssel 4 – RF 11, Dreh, Mdm 16, R8, Inv. 158/1/20 (Taf. 2).

Topf mit eingezogenem Rand 2 – RF 9, Dreh, Rad WA, Mdm 11, R13, Inv. 158/1/21 (Taf. 2).

Form (?) – RF grob, hand, K WA, max. Wst 0,6, 4 Wfrgt., Inv. 158/1/22.

Periode 1 – Ovale Grube (SE 167), 1,06 × 0,67 × 0,18.

Gesamtgewicht: Artefakte G 1050, Summe G 1050.

Artefakte NMI: Regionale Gefäßkeramik: 3.

Regionale Gebrauchskeramik

Schüssel mit profiliertem Wandknick und gekehltm Oberteil – RF 5red, Dreh, Mdm 16, R7, Inv. 167/1/20 (Taf. 2).

Becher – RF 5ox, Dreh, Wst 0,4, B1, Inv. 167/1/23.

Topf mit Dreiecksrand 5.2.1 – RF 4, hand/nach, Mdm 14, R15, Inv. 167/1/21 (Taf. 2).

Topf mit verdicktem, gerundetem Rand 2 – RF 6, sek. g RA, Mdm 16, R10, Inv. 167/1/22 (Taf. 2).

Form (?) – RF grob, Dreh, Wst 0,7, B1, Inv. 167/1/25. RF grob, hand, K WA, Wst 1, 10 Wfrgt., davon 1 großteilige Gefäßwand, Inv. 167/1/26. RF grob, hand/nach, Wst 0,9, B1, Inv. 167/1/24.

Periode 1.3 – Rundlich-ovale Grube (SE 147), 0,63 × 0,49 × 0,6.

Gesamtgewicht: Artefakte G 8111, Summe G 8111.

Artefakte NMI: Regionale Gefäßkeramik: 32. Importkeramik: 4. Glas: 1. Bein: 1. Metall: 1.

Terra Sigillata

Schale Consp. 34 – Padana, Applike (Maske) abgeplatzt, Mdm 11, R10, Inv. 147/3/3 (Taf. 2).

Teller Consp. 20 – Padana, Appliken: Masken (Schindler Kaudelka 2001, M6), Delfin (Schindler Kaudelka 2001, D23), Pass 147/129/146/67, Mdm 18, R15, Inv. 147/3/4 (Taf. 2).

Imitation italischer Feinware

Schale, Imitation italischer Feinware Plesničar-Gec 1977, Taf. 1, 27–28 – Dreh, Ü WA/WI/Ba WA, R1, Inv. 147/4/22 (Taf. 2).

Schale, Imitation italischer Feinware Plesničar-Gec 1977, Taf. 1, 26, 29–30 – RF 8ox, Dreh, Ü/Ba WA, R/WI, Inv. 147/4/25 (Taf. 2).

Imitationen italischer Feinware – Dreh, Wandknick, Ü WA/WI/Rat WA, Wst 0,2, W1, Inv. 147/4/26. Dreh, Rat WA, Wst 0,15, W1, Inv. 147/1/41. Dreh, Ü WA/WI/Rat WA, W1, Inv. 147/4/20 (Taf. 2), 147/4/21 (Taf. 2), 147/10/20 (Taf. 2).

Transportkeramik

Camulodunum 184 – RF 95, Dreh, Ü WA, weißer Ü, W1, Inv. 147/1/32 (Taf. 3).

Dressel 6B – RF 86, Dreh, Wst 1,6, W1, Inv. 147/5/29.

Regionale Gebrauchskeramik

Schüsseln mit profiliertem Wandknick und gekehltem Oberteil – RF 5red, Dreh, Mdm 30, R5, Inv. 147/5/23 (Taf. 2). RF 5red, Dreh, Mdm 21, R4, Inv. 147/5/31 (Taf. 2).

Schüsseln mit eingezogenem Rand – RF 8red, Ü WI, Mdm 28, R25, Inv. 147/8/26 (Taf. 3). RF 8red, Mischatmosphäre, Ü WI, zugehöriger Boden mit Standring, Mdm 30, R3, Inv. 147/1/33 (Taf. 2). RF 5ox, Mischatmosphäre, Dreh, Ü WA/WI, Mdm 26, R25, Inv. 147/8/24 (Taf. 2; Abb. 110).

Schüsseln – RF 8red, Dreh, Mdm 19, R8, Inv. 147/8/21 (Taf. 3). RF 8red, Dreh, Ü WA/WI, Mdm 24, R10, Inv. 147/1/24 (Taf. 3).

Dreifußschüssel 4 – RF 11, Mdm 20, R8, Inv. 147/8/25 (Taf. 3).

Dreifußschüsseln – RF 4, Dreh, Wst 0,7, Fuß/B1, Inv. 147/8/30. RF grob, Wst 0,7, Fuß1, Inv. 147/1/40.

Becher mit abgesetztem Rand – RF 8red, Mdm 7, R40, Inv. 147/1/34 (Taf. 2).

Becher mit Karniesrand – RF 8ox, Dreh, Ü WA/WI, Mdm 7, R5, Inv. 147/4/24 (Taf. 3).

Becher – RF 8red, Mischatmosphäre, Dreh, Streichbrett WI, W1, Inv. 147/4/23 (Taf. 3). RF 5red, Dreh, Mdm 7, R20, Inv. 147/1/26 (Taf. 3).

Topf mit eingezogenem Rand 2 – RF 9, Dreh, Rad WA, Mdm 12, R/W78, Inv. 147/9/20 (Taf. 3).

Topf mit Dreiecksrand 3.2 – RF 4, hand/nach, K WA/WI/P WA, Mdm 13, R23, Inv. 147/5/21 (Taf. 3; Abb. 100).

Topf mit Dreiecksrand – RF 6, KP WA, P WA abgerieben, Mdm 17, R11, Inv. 147/8/20 (Taf. 3), Lit.: Fuchs 1980, Taf. A32, 3, Profilleiste WA (Flavia Solva).

Topf mit kurzem Rand und kantigem inneren Wandumbruch – RF 4, Mdm 17, R6, Inv. 147/5/25 (Abb. 101).

Töpfe mit verdicktem, gerundetem Rand 2 – RF 2, Mdm 20, R8, Inv. 147/1/29 (Taf. 3). RF 4, hand/nach, K WA, sek. g WI/Kochrückstände WI, Mdm 18, R10, Inv. 147/5/20 (Taf. 3).

Topf mit geteiltem Rand – ähnlich RF 9, gröber, Dreh, Mdm 9,2, R50, Inv. 147/8/22 (Taf. 3).

Topf mit ausgebogenem Rand 1.1.4 – RF 6, hand/nach, K WA/WI/P RA/RI, Mdm 21, R75, Inv. 147/1/21 (Taf. 3).

Töpfe mit ausgebogenem Rand 1.4 – RF 8red, Dreh, Mdm 11, R32, Inv. 147/5/22 (Taf. 3). RF 8ox, Dreh, Rat WA, Mdm 11, R27, Inv. 147/1/22 (Taf. 3; Abb. 110). RF 8ox, Mischatmosphäre, Dreh, Streichbrett WI, Mdm 10, R12, Inv. 147/1/30 (Taf. 3). RF 8ox, Mischatmosphäre, Dreh, Mdm 12, R7, Inv. 147/1/31 (Taf. 3). RF 5red, Dreh, Streichbrett WI, Mdm 8, R17, Inv. 147/5/24 (Taf. 3). RF 5red, Dreh, Mdm 10, R12, Inv. 147/1/28 (Taf. 3).

Topf mit ausgebogenem, kantigem Rand 3.3.1 – RF 4, Mdm 14, R6, Inv. 147/1/25 (Taf. 3; Abb. 101).

Töpfe – RF 2, sek. g WI, Mdm 14, R3, Inv. 147/8/23 (Taf. 3). RF 4, Mdm 15, R8, Inv. 147/1/27 (Taf. 3). RF 4, K WA, sek. Kochrückstände WI, Mdm 15, R27, Inv. 147/1/20 (Taf. 3). RF grob, hand/nach, K WA, B/W1, Inv. 147/7/20.

Form (?) – RF 9, Dreh, Rad WA, max. Wst 0,4, W2, Inv. 147/8/29. RF 9, Dreh, Rad WA, max. Wst 0,4, W3, Inv. 147/1/36.

Form (?) – RF grob, Dreh, Rad WA, max. Wst 0,4, W6, Inv. 147/5/28. RF 11, Dreh, Wst 0,5, B1, Inv. 147/1/37. RF grob, starke Profilierung, Wellenband WA, Wst 0,8, W1, Inv. 147/1/39. RF grob, hand, K/Wellenlinie WA, max. Wst 0,6, W3, Inv. 147/8/28. RF grob, hand/nach, K WA, Wst 0,7, B1, Inv. 147/1/38. RF grob, hand, K WA, max. Wst 1,2, 79 Wfrgt., Inv. 147/8/27, 147/5/26, 147/1/35. RF grob, hand, K WA, max. Wst 0,9, B2, Inv. 147/5/27.

Deckel – RF 4, hand/nach, K WA, sek. g WA/Kochrückstände WI, Dm 23, R24, Inv. 147/6/20 (Taf. 3). RF grob, R1, Inv. 147/1/42.

Baustoff

Hüttenlehm – I, verbrannt, Inv. 147/5/30.

Glas

Rippenschalen AR 2,2, IS 3b – drehscheibengeformt, Innenseite matt, Drehrillen, durchsichtig zart saftgrün (577), ohne Luftblasen und Einschlüsse, G 7,4, Mdm 11, Wst 0,2–0,45, R4, Inv. 147/12/1 (Taf. 2). Drehscheibengeformt, durchsichtig blaugrün (563), Rest einer Rippe mit darunter liegendem Gefäßkörper, Größe 1,1 × 2,5, Wst 0,25, W1, G 1,6, Inv. 147/12/2 (Taf. 2).

Form (?) – durchsichtig blaugrün (570), Wst 0,25, W1, G 0,06, Inv. 147/12/3.

Bein

Beinwürfel – komplett, Größe 1,3 × 1,3 × 1,3, Dm/Augen 0,22, G 2,4, Inv. 147/11 (Taf. 2).

Metall

Messer – Fe, komplett, gerade Klinge, kompakte Griffplatte, L 27,6, Griffplatte 2 × 0,6 × 11, Klinge 16,6 × 2,8 × 0,5, G 97,6, Inv. 147/13 (Taf. 2).

Periode 1 – Spitzovale Grube (SE 125), 0,41 × 0,22 × 0,2.

Gesamtgewicht: Artefakte G 25, Summe G 25.

Regionale Gebrauchskeramik

Form (?) – RF grob, hand, K WA, W1, Inv. 125/1/20.

Periode 1 – Sohlgräbchen bzw. Grube (SE 130), Br 1,15, T 0,8.

Gesamtgewicht: Artefakte G 155, Summe G 155.

Artefakte NMI: Regionale Gefäßkeramik: 2.

Imitation italischer Feinware

Imitation italischer Feinware – red, Dreh, Wst 0,2, W1, Inv. 130/2/20.

Regionale Gebrauchskeramik

Becher – RF 8red, Mischatmosphäre, Mdm 11, R5, Inv. 130/1/21.

Deckel – RF 6, Dreh, sek. g RA/RI, Dm 40, R5, Inv. 130/1/20.

Perioden 1–2 (70–130/140 n. Chr.) – Siedlung S9**Perioden 1–2 – Balkengraben (SE 12), Br 0,2, T 0,25.**

Gesamtgewicht: Artefakte G 100, Summe G 100.

Artefakte NMI: Regionale Gefäßkeramik: 1. Gerät: 1.

Regionale Gebrauchskeramik

Topf mit ausgebogenem Rand l.l.1 – RF 4, sek. v, Mdm 13, R10, Inv. 12/1 (Taf. 31).

Becher – RF 9, Dreh, Wst 0,4, B1, Inv. 12/2.

Gerät

Schleifstein – Sandstein, rechteckiger Querschnitt, Größe 2 × 3, Inv. 12/3.

Perioden 1–2 – Grube/Graben (SE 15a–b), Br 1,5, T 0,3.

Gesamtgewicht: Artefakte G 213,4, Summe G 213,4.

Artefakte NMI: Glas: 2.

Regionale Gebrauchskeramik

Töpfe – RF 7, Wst 0,7, B1, Inv. 15a/3. RF grob, hand, K WA, hand, Wst 0,7, 3 Wfrgt., Inv. 15a/4. RF grob, hand, K WA, hand, Wst 1,2, W1, Inv. 15b/2.

Glas

Steilwandiger Becher mit Standring – durchsichtig saftgrün (319), wenige Luftblasen, leicht unebene OF, rekonstruierte H 6, Mdm 5, Stdm. 3, R/B18, Wst 0,1, G 1,4 bzw. 6,4, Inv. 15a/2 (Taf. 31).

Melonenperle – blaugrün-türkis, leicht porös, undurchsichtige Glasfritte, rekonstruierter Dm 1,3, H 1,2, Wst 0,3, G 0,6, Inv. 15b/1 (Taf. 31).

Baustoff

Baukeramik – Form (?), 1, Inv. 15b/3.

Periode 2 (120–130/140 n. Chr.) – Siedlung S4–5

Periode 2 – Mauer M1 (SE 62), 11,2 × 0,53 × 0,4–0,5.

Gesamtgewicht: Artefakte G 75, Faunen G 130,8, Summe G 205,8.

Artefakte NMI: Regionale Gefäßkeramik: 2.

Regionale Gebrauchskeramik

Topf mit ausgebogenem Rand 1.4 – RF 5ox, Mischatmosphäre, Dreh, Mdm 10, R5, Inv. 62/1/21 (Taf. 4).

Topf mit ausgebogenem, kantigem Rand 3.1.1 – RF 11, Mdm 13, R7, Inv. 62/1/20 (Taf. 4).

Form (?) – RF 9, Dreh, Rad WA, Wst 0,3, W1, Inv. 62/1/23. RF 7, Dreh, Rad WA, Wst 0,5, W1, Inv. 62/1/24.

Form (?) – RF grob, hand, K WA, Wst 0,6, W1, Inv. 62/1/22.

Periode 2 – Mauer M7 (SE 73), nur Fundament/letzte Schar erhalten, 8,48 × 0,85.

Gesamtgewicht: Artefakte G 150, Summe G 150.

Regionale Gebrauchskeramik

Form (?) – RF grob, hand, K WA, Wst 0,5, W2, Inv. 73/1/20.

Baustoff

Baukeramik – Form (?), 2, Inv. 73/1/22.

Neuzeitintrusion

Form (?) – Dreh, Glasur WI grünbraun, Glasur WA dunkelbraun, Wst 0,3, W1, Inv. 73/1/21.

Periode 2 – Mauer M8 (SE 79), südlich im rechten Winkel an M3 angesetzt, 4,29 × 0,35 × 0,05–0,25.

Gesamtgewicht: Artefakte G 100, Summe G 100.

Regionale Gebrauchskeramik

Becher – RF 5ox, Dreh, Wst 0,4, W1, Inv. 79/1/20.

Form (?) – RF grob, Wst 1, 3 Wfrgt., Inv. 79/1/21.

Baustoff

Baukeramik – Form (?), 7, Inv. 79/1/22.

Periode 2 – Mauer M3 (SE 64), 7,09 × 0,38 × 0,25. **Mauer M5 (SE 145)**, Mauerausrisssgraben, geht in SE 133 über, nördlich M2, 4,2 × 0,5. **Mauer M9 (SE 80)**, W-Mauer von Gebäude 2, 10,4 × 0,48 × 0,05–0,6. **Mauer M10 (SE 81)**, N-Mauer von Gebäude 2, 1,48 × 0,7 × 0,3–0,6. **Mauerausrisssgraben (SE 118)**, O-Mauer von Gebäude 1, 9,5 × 0,5. **Mauerausrisssgraben (SE 134)**, schließt an M5 (NW-Ecke) an, dann nach W, L 3,2 max. Br 0,3–0,5. **Mauerausrisssgraben (SE 135)**, nördlich parallel M2, läuft in W-Profil, L 2,2, max. Br 0,2. **Schotterschicht (SE 136)**, innerhalb SE 133–135, von SE 59 überlagert und SE 131 gestört, max. Größe 2,9 × 3,2.

Keine Funde.

Periode 2.1 – Feuerstelle (SE 144), oval, verziegelt, 0,25 × 0,48 × 0,2.

Gesamtgewicht: Artefakte G 20, Summe G 20.

Imitation italischer Feinware

Imitation italischer Feinware – red, Dreh, Wst 0,15, W1, Inv. 144/1/20.

Periode 2 – Ofen (SE 126) an Mauer M1, halbrunde Stein-/Ziegelsetzung mit Verziegelung, 0,82 × 1,12 × H 0,2.

Gesamtgewicht: Artefakte G 1475, Summe G 1475.

Artefakte NMI: Regionale Gefäßkeramik: 5. Metall: 1.

Regionale Gebrauchskeramik

Schale – RF 9, Dreh, Mdm 10, R8, Inv. 126/1/23 (Taf. 4).

Dreifußschüssel 7 – ähnlich RF 6, viel Glimmer, Dreh, Wellenlinie WA, Mdm 24, R7, Inv. 126/3/20 (Taf. 4).

Topf mit ausgebogenem, kantigem Rand 2.1 – RF 4, sek. v, Mdm 20, R8, Inv. 126/1/22 (Taf. 4).

Topf mit ausgebogenem, kantigem Rand 3.1.1 – RF 5red, Mischatmosphäre, Dreh, Mdm 11, R30, Inv. 126/1/20 (Taf. 4; Abb. 101).

Topf mit kurzem, ausgebogenem Rand 3 – RF 2, hand/nach, K WA, sek. g WA/Kochrückstände WI, Mdm 18, Bdm 11, R/B50, Inv. 126/2/20 (Taf. 4).

Metall

Band mit hochgebogenem und durchlochtem Ende – Fe, Größe $5,9 \times 1,8 \times 0,4$, Dm/Loch 0,6, G 18,6, Inv. 126/4 (Taf. 4).

Periode 2 – Aschengrube (SE 161), rundlich seicht, mit Holzkohle und Asche, Br 1,35, T 0,2.

Gesamtgewicht: Artefakte G 875, Summe G 875.

Artefakte NMI: Regionale Gefäßkeramik: 6. Import: 3.

Terra Sigillata

Teller Consp. 39 – Padana, Mdm 18, R5, Inv. 161/2/1 (Taf. 4).

Imitation italischer Feinware

Schale, Imitation italischer Feinware Plesničar-Gec 1977, Taf. 1, 27–28 – Dreh, Ü/Ba WA, Mdm 9, R12, Inv. 161/3/20 (Taf. 4).

Küchenkeramikimport

Pompeianisch rote Platte – Dreh, Ü WI, Wst 0,6, B1, Inv. 161/2/2.

Regionale Gebrauchskeramik

Imitation Drag. 29/30 – RF 5red, Dreh, Ü WA/WI/Rat WA, Mdm 19, R18, Inv. 161/7/20 (Taf. 4). RF 5red, Dreh, Ü WA/WI, Mdm 20, R3, Inv. 161/4/20 (Taf. 4).

Topf mit Dreiecksrand 4.1 – RF 6, viel Glimmer, hand/nach, K WA, Mdm 16, R/W25, Inv. 161/1/21 (Taf. 4; Abb. 100).

Topf mit Dreiecksrand 4.3 – RF 4, viel Glimmer, hand/nach, K WA, sek. g WA/RI, Mdm 17, R/W50, Inv. 161/1/20 (Taf. 4; Abb. 100).

Topf mit ausgebogenem Rand 1.2.2 – RF 4, sek. g RI, Mdm 19, R11, Inv. 161/6/20 (Taf. 4).

Form (?) – RF grob, hand, K WA, Wst 0,6, W1, Inv. 161/1/22.

Deckel – RF 9, Dreh, Wst 0,4, R1, Inv. 161/1/23.

Periode 2 – Rundlich-ovale Grube (SE 153), $0,32 \times 0,23 \times 0,48$.

Gesamtgewicht: Artefakte G 2, Summe G 2.

Regionale Gebrauchskeramik

Faltenbecher – RF 5ox, Ü WA, Wst 0,2, W1, Inv. 153/1/20.

Periode 2 – Rundlich-ovale Grube (SE 148), $0,53 \times 0,34 \times 0,15$.

Gesamtgewicht: Artefakte G 10, Summe G 10.

Regionale Gebrauchskeramik

Form (?) – RF grob, hand, K WA, W1, Wst 0,5, Inv. 148/1/20.

Periode 2 – Runde Grube (SE 155), $0,61 \times 0,63 \times 0,12$.

Gesamtgewicht: Artefakte G 80, Faunen G 2,2, Summe G 82,2.

Artefakte NMI: Regionale Gefäßkeramik: 2.

Regionale Gebrauchskeramik

Imitation Drag. 37 – RF 5ox, Dreh, Mdm 21, R11, Inv. 155/1/20 (Taf. 4).

Becher mit ausgebogenem Rand 3 – RF 5red, Dreh, Mdm 9, R5, Inv. 155/1/21 (Taf. 4).

Periode 2 – Pfostrube (SE 156), rundlich-unregelmäßig, Verkeilstein, $0,53 \times 0,57 \times 0,2$.

Gesamtgewicht: Artefakte G 82, Summe G 82.

Artefakte NMI: Regionale Gefäßkeramik: 1.

Regionale Gebrauchskeramik

Kanne mit ausgebogenem Rand – RF 11, Dreh, Mdm 7, R20, Inv. 156/1/20 (Taf. 4).

Form (?) – RF grob, hand, K WA, max. Wst 0,6, 2 Wfrgt., Inv. 156/1/21, 156/2/20.

Periode 2.1 – Oval-unregelmäßige Grube (SE 166), 0,68 × 0,46 × 0,3.

Gesamtgewicht: Artefakte G 57, Summe G 57.

Regionale Gebrauchskeramik

Topf mit Profilleiste – RF 5ox, Dreh, Ü/Rat WA, Wst 0,4, W1, Inv. 166/2/20.

Form (?) – RF 9, Dreh, Rad WA, W1, Wst 0,4, Inv. 166/1/21.

Form (?) – RF grob, hand, K WA, W1, Wst 0,7, Inv. 166/1/20.

Periode 2.2 – Rundlich-ovale Grube (SE 165), 0,96 × 0,59 × 0,38.

Gesamtgewicht: Artefakte G 331, Summe G 331.

Artefakte NMI: Regionale Gefäßkeramik: 2. Importkeramik: 1.

Imitation italischer Feinware

Schale, Imitation italischer Feinware – red, Dreh, Ü WA/WI, Wst 0,3, W1, Inv. 165/2/21.

Transportkeramik

Dressel 6B – RF 86, Dreh, Mdm 9, R10, Inv. 165/1/21 (Taf. 4).

Regionale Gebrauchskeramik

Faltenbecher – RF 5ox, Dreh, Ü WA/WI/Sandbewurf WA, Wst 0,2, W1, Inv. 165/2/20. RF 8ox, Dreh, Wst 0,3, W1, Inv. 165/1/26.

Krug mit rund verdicktem Rand – RF 5red, Mischatmosphäre, Dreh, Ü WA, sek. gelocht, Mdm 9, R20, Inv. 165/1/20 (Taf. 4).

Topf mit ausgebogenem Rand 1.2.2 – RF 7, Kerbe RA, sek. g RI, Mdm 14, R11, Inv. 165/1/22 (Taf. 4).

Form (?) – RF 5red, Dreh, Rad WA, Wst 0,3, W2, Inv. 165/1/25. RF 9, Dreh, Rad WA, Wst 0,6, W1, Inv. 165/1/24.

Form (?) – RF grob, hand, K WA, Wst 0,8, 5 Wfrgt., Inv. 165/1/23.

Baustoff

Hüttenlehm – 1, Inv. 165/1/27.

Periode 2 – Rechteckige Grube (SE 121), Teil in W-Profil, viel Holzkohle, Verziegeltes, 1,03 × 0,57 × 0,35.

Gesamtgewicht: Artefakte G 850, Summe G 850.

Artefakte NMI: Regionale Gefäßkeramik: 3.

Imitation italischer Feinware

Imitation italischer Feinware – Dreh, Ü WA/WI, Wst 0,2, W1, Inv. 121/1/25.

Regionale Gebrauchskeramik

Schüssel – RF 5red, Dreh, Mdm 20, R4, Inv. 121/1/21 (Taf. 4).

Topf mit ausgebogenem, kantig verdicktem Rand 3.1.1 – RF 1, P RA/RI, Mdm 23, R6, Inv. 121/1/22 (Taf. 4).

Deckel – RF 4, Dreh, Mdm 30, R3, Inv. 121/1/20 (Taf. 4).

Form (?) – RF 9, Dreh, Rad WA, Wst 0,4, W1, Inv. 121/1/24.

Form (?) – RF grob, hand, K WA, max. Wst 0,7, 3 Wfrgt., Inv. 121/1/23. RF grob, hand/nach, Wst 1, B1, Inv. 121/1/26.

Baustoff

Baukeramik – Imbrex, 1, sek. v, Inv. 121/2/20.

Periode 2 – Pfostengrube (?), ovale Grube (SE 122), 0,59 × 0,28 × 0,22.

Gesamtgewicht: Artefakte G 67, Summe G 67.

Artefakte NMI: Regionale Gefäßkeramik: 3.

Regionale Gebrauchskeramik

Imitation Drag. 37 – RF 5ox, Dreh, Mdm 19, R5, Inv. 122/1/20 (Taf. 4).

Krug mit ausgebogenem Rand – RF 5ox, Dreh, Auflagefläche von Henkel (?), Mdm 9, R10, Inv. 122/2/20 (Taf. 4).

Konischer Deckel mit nach unten verdicktem Rand – RF 8red, Dreh, Wst 0,6, R1, Inv. 122/2/21.

Form (?) – RF grob, hand, K WA, max. Wst 0,5, W2, Inv. 122/2/22.

Perioden 2–3 (120–170/180 n. Chr.) – Siedlung S4–5

Perioden 2–3 – Straße (SE 75), Straßenschotterung, zieht durch S4, Br 4,5–5, H 0,3.

Gesamtgewicht: Artefakte G 4,66, Summe G 4,66.

Artefakte NMI: Münze: 1. Metall: 1.

Münze

Dp/As Antoninus Pius für Marcus Aurelius RIC ? – Rom, Dat. 140/161, G 4,66, Inv. 75/1.

Metall

Kräftig profilierte Fibel A 68/69 – Ae, drei Windungen der Spirale erhalten, gestreckter, im Querschnitt halbrunder Bügel mit gering profiliertem Bügelknopf, Nadelhalter und Teil der Spirale mit Sehne fehlen, G 3,1, L 3,4, Br 1, H 1,4, Inv. 75/2 (Taf. 5).

Perioden 2–3 (120–170/180 n. Chr.) – Siedlung S9

Perioden 2–3 – Grube (SE 14), L 2,9, T 0,2.

Gesamtgewicht: Artefakte G 600, Summe G 600.

Artefakte NMI: Regionale Gefäßkeramik: 4.

Regionale Gebrauchskeramik

Imitation Drag. 37 – RF 8red, Dreh, Ü WA/WI/Rat WA, Mdm 17, R/W7, Inv. 14/4 (Taf. 31).

Dreifußschüssel 4 – RF 6, Dreh, Kochrückstände WA/WI, Mdm 16,4, Bdm 4,5, R/B60, Inv. 14/1 (Taf. 31).

Dreifußschüssel 7 – RF 6, Dreh, Kochrückstände WA, Mdm. 23, R/W8, Inv. 14/2 (Taf. 31).

Schüssel mit eingezogenem Rand – RF6 rot, Dreh, Mdm 30, R/W5, Inv. 14/3 (Taf. 31).

Töpfe – RF 5red, Dreh, Rad WA, Wst 0,6, W1, Inv. 14/5. RF grob, hand, K WA, Wst 1,3, W1, Inv. 14/6.

Baustoff

Mörtel – 1, Inv. 14/7.

Perioden 2–3 – Grube (SE 13), T 0,3.

Gesamtgewicht: Artefakte G 140, Summe G 140.

Artefakte NMI: Regionale Gefäßkeramik: 2.

Regionale Gebrauchskeramik

Schüssel – RF 5red, Dreh, Ü/Rat WI, Mdm 25, R/W8, Inv. 13/1 (Taf. 31).

Imitation Drag. 37 – RF 5ox, Dreh, Mdm 21, R7, Inv. 13/2 (Taf. 31).

Töpfe – RF grob, hand/nach, konzentrische Bodenmarke BA, Wst 1, B1, Inv. 13/3. RF grob, hand, K WA, Wst 1, W1, Inv. 13/4.

Baustoff

Baukeramik – 1, Inv. 13/6.

Mörtel – 1, Inv. 13/5.

Periode 3 (130/140–170/180 n. Chr.) – Siedlung S4–5

Periode 3 – weiterbestehende Mauern M1 (SE 62), M3 (SE 64), M5 (SE 145), M8 (SE 79), M9 (SE 80), M10 (SE 81), s. Befundbeschreibung Periode 2.

Periode 3 – Mauer M2 (SE 63), Südmauer Raum 3, $3,06 \times 0,26 \times 0,4$. Mauer M4 (SE 65), Quermauer zwischen Raum 1 und 2, $3,09 \times 0,5 \times 0,25-0,5$.

Keine Funde

Periode 3 – Schlauchheizung (SE 123), längliches Gräbchen, NO-Bereich gegabelt, viel Holzkohle, starke Verziegelung, Br $0,5-0,7$, T $0,3-0,45$.

Gesamtgewicht: Artefakte G 474, Summe G 474.

Artefakte NMI: Regionale Gefäßkeramik: 4. Prähistorische Gefäßkeramik: 1.

Imitation italischer Feinware

Schale, Imitation italischer Feinware – red, Dreh, Wst 0,2, W3, Inv. 123/6/20.

Schale, Imitation italischer Feinware Plesničar-Gec 1977, Taf. 1, 26. 29–30 – RF 8ox, Dreh, Ü/Ba WA, R1, Inv. 123/2/20 (Taf. 5).

Regionale Gebrauchskeramik

Topf mit kurzem, ausgebogenem Rand 1.1 – RF 4, sek. g RI, Mdm 15, R11, Inv. 123/1/20 (Taf. 5).

Topf mit verdicktem, gerundetem Rand 2 – RF 6, hand/nach, Mdm 17, R4, Inv. 123/5/20 (Taf. 5).

Konischer Deckel mit nach unten verdicktem Rand – RF grob, R1, Inv. 123/1/23.

Form (?) – RF 5ox, Dreh, Wst 0,4, B/St1, Inv. 123/1/21. RF 9, Dreh, Rad WA, max. Wst 0,4, 5 Wfrgt., Inv. 123/1/22, 123/5/22.

Form (?) – RF grob, hand, K WA, max. Wst 0,8, 6 Wfrgt., Inv. 123/5/21.

Prähistorische Gefäßkeramik

La-Tène, Tonne mit Wulstrand – schwarz WI, beigebraun WA, grau Bruch, sandgemagert, stark glimmerhältig, raue OF, zwei gerundete Rippen auf Schulter, Mdm 14, R25, max. H 5,3, Wst 0,8, Inv. 123/3.

Baustoff

Hüttenlehm – 1, gebrannt, Inv. 123/4/20.

Periode 3 – Runde seichte Grube (SE 151), $0,28 \times 0,26 \times 0,07$.

Gesamtgewicht: Artefakte G 490, Summe G 490.

Artefakte NMI: Regionale Gefäßkeramik: 2.

Regionale Gebrauchskeramik

Topf mit eingezogenem Rand 2 – Dreh, Rad WA, Mdm 9, Bdm 6,6, R/B18, Inv. 151/2/20 (Taf. 5; Abb. 104).

Topf mit ausgebogenem, innen gekehltem Rand 2 – RF 6, Dreh, sek. g RI, Mdm 16, R10, Inv. 151/1/20 (Taf. 5; Abb. 103).

Form (?) – RF 9, Dreh, Rad WA, Wst 0,3, W1, Inv. 151/1/22.

Form (?) – RF 9, hand, K WA, Wst 0,6, 6 Wfrgt., Inv. 151/1/21.

Periode 3 – Oval-unregelmäßige Grube (SE 154), $0,68 \times 0,46 \times 0,3$.

Gesamtgewicht: Artefakte G 2590, Summe G 2590.

Artefakte NMI: Regionale Gefäßkeramik: 13. Importkeramik: 2.

Terra Sigillata

Schale – Bdm 4, St15, Inv. 154/3/2 (Taf. 5).

Schüssel Curle 11 – Mdm 19, R12, Inv. 154/6/1 (Taf. 5).

Regionale Gebrauchskeramik

Imitation Drag. 44 – RF 5red, Dreh, Ü WI, Mdm 29, R5, Inv. 154/2/22 (Taf. 5).

Schüssel – RF 5red, Dreh, Ü WA/WI, Mdm 20, R5, Inv. 154/2/23 (Taf. 5).

Knickwandschüssel 6 – RF 4, Dreh, sek. g RA/RI, Mdm 23, R9, Inv. 154/2/21 (Taf. 5).

Knickwandschüssel – RF 9, Dreh, Wst 0,7, W1, Inv. 154/2/34.

Schüssel – RF 6, Mdm 30, R4, Inv. 154/2/25 (Taf. 5).

Topf mit Dreiecksrand 3.2 – RF 9, Mdm 22, R5, Inv. 154/2/28 (Taf. 5).

Töpfe mit Dreiecksrand 5.2.1 – RF 4, hand/nach, P RA, Mdm 22, R20, Inv. 154/4/20 (Taf. 5). RF 1, P RA, Mdm 13, R5, Inv. 154/2/30 (Taf. 5).

Topf mit Dreiecksrand – RF 4rot, P RA, Mdm 19, R8, Inv. 154/2/29 (Taf. 5).

Topf mit ausgebogenem, kantigem Rand 3.3.1 – RF 4, Mdm 19, R4, Inv. 154/2/27 (Taf. 5).

Topf mit ausgebogenem, deutlich verdicktem Rand 1.3 – RF 6, Mdm 23, R4, Inv. 154/2/24 (Taf. 5).

Topf mit kurzem, ausgebogenem Rand 3 – RF 2, hand/nach, K WA, sek. g RA/RI, Mdm 18, R12, Inv. 154/1/20 (Taf. 5; Abb. 113).

Töpfe – RF 4rot, Dreh, Rad WA, Bdm 5,2, B100, Inv. 154/5/20 (Taf. 5). RF 5ox, Mischatmosphäre, Dreh, Bdm 6, B100, Inv. 154/1/21 (Taf. 5).

Form (?) – RF 11, Dreh, Rad WA, Wst 0,3, W1, Inv. 154/2/35. RF 9, Dreh, Rad WA, V-förmige Rad-Kerben, Wst 0,3, W1, Inv. 154/2/36.

Form (?) – RF grob, hand, K/P WA, Wst 0,6, 2 Wfrgt., Inv. 154/2/33. RF grob, hand/nach, K WA, davon 1 geschachtelter K WA, 1 mit K/Wellenlinie WA, max. Wst 0,6, 10 Wfrgt., Inv. 154/1/22, 23, 154/2/32. RF grob, hand/nach, Wst 0,8, 4 Bfrgt., Inv. 154/2/31.

Deckel – RF 7, Dreh, Dm 28, R14, Inv. 154/2/20 (Taf. 5). RF 4rot, Dm 15, R7, Inv. 154/2/26 (Taf. 5).

Baustoff

Baukeramik – Tubulus (?), 1, Inv. 154/2/37.

Periode 3.1 – Länglich-ovale Grube (SE 178), 1,15 × 0,69 × 0,14.

Gesamtgewicht: Artefakte G 40, Summe G 40.

Regionale Gebrauchskeramik

Becher – RF 5ox, Dreh, Ü WA/W1, Wst 0,4, B/W1, Inv. 178/2/20.

Form (?) – RF grob, hand, K WA, Wst 0,7, W2, Inv. 178/1/20.

Periode 3 – Runde Grube (SE 175), 0,46 × 0,35 × 0,18.

Gesamtgewicht: Artefakte G 400, Summe G 400.

Artefakte NMI: Regionale Gefäßkeramik: 2. Keramikgerät: 1.

Regionale Gebrauchskeramik

Becher mit abgesetztem Rand – RF 5red, Dreh, Ü WA, Mdm 11, R6, Inv. 175/1/20 (Taf. 5).

Form (?) – RF grob, hand, K WA, Wst 0,7, W1, Inv. 175/1/23. RF grob, hand/nach, Wst 1, B1, Inv. 175/1/22.

Deckel – RF 5ox, Dreh, Ü WA, sek. g RA/RI, Pass 175/61b, Dm 18, R23, Inv. 175/1/21.

Webgewicht

Orange, sandgemagert, sandig raue OF, komplett, H 13,4, Größe 3,5 × 3,6 bzw. 7,5 × 8,4, G 920,8, Inv. 175/2 (Abb. 106).

Periode 3.1 – Unregelmäßig L-förmige Grube (SE 179), 1,33 × 1,6 bzw. 0,99 × 0,15.

Gesamtgewicht: Artefakte G 590, Summe G 590.

Artefakte NMI: Regionale Gefäßkeramik: 1. Keramikgerät: 1.

Imitation italischer Feinware

Schale, Imitation italischer Feinware – Dreh, Ba WA, W1, Inv. 179/5/20 (Taf. 5).

Regionale Gebrauchskeramik

Becher mit ausgebogenem Rand 1 – RF 5red, Dreh, Rad WA, Mdm 6, R8, Inv. 179/4/20 (Taf. 5).

Topf – RF 5red, Dreh, Ü WA, Wand mit breiten Rillen, Ü abgerieben, Wst 0,5, W30, Inv. 179/4/21.

Form (?) – RF grob, hand, K WA, max. Wst 0,9, 4 Wfrgt., Inv. 179/2/20, 179/4/22.

Webgewicht

Beigeorange, mittelstark gemagert, sandig raue OF, unregelmäßig gerundet geformt, oberer Abschluß fehlt, H 13,9, Größe 5,5 × 5,1 bzw. 8 × 8,5, G 915,4, Inv. 179/1 (Taf. 5).

Periode 3 – Ovale Grube (SE 181), 0,55 × 0,4 × 0,1.

Gesamtgewicht: Artefakte G 784,6, Summe G 784,6.

Artefakte NMI: Keramikgerät: 1.

Webgewicht

Orangebeige, sandgemagert, leicht sandig raue OF, komplett, H 12,4, Größe 3,4 × 4,0 bzw. 7,5 × 7,9, G 784,6, Inv. 181/1 (Taf. 5).

Periode 3.1 – Mauer M6 (SE 77), 14,3 × 0,8 × 0,05–0,5.

Gesamtgewicht: Artefakte G 1174, Summe G 1174.

Artefakte NMI: Regionale Gefäßkeramik: 4. Importkeramik: 1. Lampe: 1.

Lampe

Lampe – RF 5ox, Modelware, sek. v, Bdm 4, B30, Inv. 77/4/21 (Taf. 7).

Terra Sigillata

Teller Drag. 36 – Ba RA, Mdm 19, R5, Inv. 77/3/1 (Taf. 7).

Typ (?) – sek. v, Bdm 8, St16, Inv. 77/5/1.

Imitation italischer Feinware

Imitation italischer Feinware – RF 5red, Dreh, Bdm 6, Wst 0,3, B15, Inv. 77/4/23.

Regionale Gebrauchskeramik

Dreifußschüssel 7 – RF 9, Dreh, Mdm 23, R8, Inv. 77/2/21 (Taf. 7).

Dreifußschüsseln – RF grob, hand/nach, Wst 0,9, Fuß/B1, Inv. 77/4/22. RF 4, Wst 1, Fuß1, Inv. 77/2/24.

Knickwandschüssel 6 – RF 6, Dreh, sek. g WA, Mdm 18, R3, Inv. 77/4/20 (Taf. 7; Abb. 97).

Krug/Topf – RF 5ox, Mischatmosphäre, Dreh, 1 großteiliges Bauchfrgt., max. Wst 0,4, W20, Inv. 77/1/20.

Topf mit ausgebogenem, unterschrittenem Rand – RF 6, P RA, sek. g RA/RI, Mdm 20, R7, Inv. 77/5/20 (Taf. 7).

Form (?) – RF 5red, Dreh, Rad WA, Wst 0,3, W1, Inv. 77/4/25. RF 9, Dreh, Rad WA, Wst 0,4, W1, Inv. 77/2/23.

Form (?) – RF grob, hand, K WA, davon 1 mit vertikalem und horizontalem K WA, max. Wst 0,7, 17 Wfrgt., Inv. 77/2/22, 77/5/21, 77/4/24.

Deckel – RF 11, Dreh, Dm 21, R8, Inv. 77/2/20 (Taf. 7).

Periode 3.2 – Feuerstelle (SE 173), ovale verzierte Fläche, 0,43 × 0,33 × 0,04.

Gesamtgewicht: Artefakte G 235, Summe G 235.

Regionale Gebrauchskeramik

Töpfe – RF 5red, Dreh, Ü WA, Bdm 10, Wst 0,5, St/W27, Inv. 173/1/20. RF grob, hand, K WA, Wst 0,8, 2 Wfrgt., Inv. 173/1/21.

Periode 3 – Runde Grube mit Vorratsgefäß (SE 61b), 0,33 × 0,51 × 0,44.

Gesamtgewicht: Artefakte G 703 (ohne 61b/20/1).

Artefakte NMI: Regionale Gefäßkeramik: 7. Metall: 1.

Küchenkeramikimport

Pompeianisch roter Plattendeckel – W1, Inv. 61b/5/23 (Taf. 6).

Regionale Gebrauchskeramik

Schüssel – RF 5red, Dreh, Mdm 17, R4, Inv. 61b/5/20 (Taf. 6).

Imitation TS – RF 5red, Dreh, R1, Inv. 61b/5/24.

Reibschüssel – RF 5ox, Dreh, Kragen1, Inv. 61b/5/22 (Taf. 6).

Topf mit ausgebogenem Rand 1.4 – RF 1, P RA, Mdm 17, R7, Inv. 61b/5/21 (Taf. 6).

Topf mit ausgebogenem Rand 1.2.2 – RF 6, hand/nach, P RA/RI, zugehörige Wände, K WA, Mdm 21, Wst 0,5, R10, Inv. 61b/3/20 (Taf. 6).

Topf mit kurzem, ausgebogenem Rand 1.1 – RF 4, hand/nach, Mdm 21, Bdm 20,7, R/B50, Inv. 61b/20/1 (Taf. 6).

Form (?) – RF grob, hand, 1 K WA, 2 K WA/WI, 3 Wfrgt., Inv. 61b/5/25–26. RF grob, hand/nach, max. Wst 1, 2 Bfrgt., Inv. 61b/5/27, 61b/3/21.

Deckel – RF 7, Dm 17, R/W50, Pass 61b/76, Inv. 61b/2/20 (Taf. 6).

Metall

Haue – Fe, breites, sich verjüngendes Blatt, gegenüberliegendes spitzes Ende, kurze, konische Tülle, mittig angenietet, Größe 9 × 2,7 × 0,7, Tülle 3,7 × 1,3, G 37,8, Inv. 61b/6 (Taf. 6).

Periode 3 – Runde Grube mit Vorratsgefäß (SE 76a), 0,31 × 0,39 × 0,35.

Gesamtgewicht: Artefakte G 795 (ohne 76a/1/1).

Artefakte NMI: Regionale Gefäßkeramik: 6. Metall: 1.

Regionale Gebrauchskeramik

Imitation Drag. 37 – RF 5red, Ü WA/WI, Mdm 25, R5, Inv. 76a/3/22 (Taf. 7).

Teller mit Steilrand 1.2.2 – RF 8ox, Mdm 16, R5, Inv. 76a/3/23 (Taf. 7).

Krug mit ausgebogenem Rand – RF 5red, Ü WA/WI, Mdm 10, R30, Inv. 76a/3/25 (Taf. 7).

Topf mit eingezogenem Rand 3 – RF 5ox, Pass 76a/76, Mdm 16, R5, Inv. 76a/3/21 (Taf. 7; Abb. 104).

Topf – RF4, hand/nach, Bdm 14,7, BW100, Inv. 76a/1/1 (Taf. 7).

Form (?) – RF grob, hand, K WA, W1, Inv. 76a/3/27. RF grob, hand/nach, B1, Inv. 76a/3/26.

Deckel – RF 4, hand/nach, K WA, Pass 76a/76, Dm 24, R20, Inv. 76a/3/20 (Taf. 7). Sek. geschmaucht RA, Dm 24, R3, Inv. 76a/3/24 (Taf. 7).

Metall

Ring – Ae, im Querschnitt annähernd quadratisch, komplett, Dm 3,3, D. 0,5 × 0,6, G 18,6, Inv. 76a/2 (Taf. 7).

Periode 3 – Rundlich-ovale Grube (SE 176), 0,48 × 0,38 × 0,18.

Gesamtgewicht: Artefakte G 190, Summe G 190.

Artefakte NMI: Regionale Gefäßkeramik: 2.

Regionale Gebrauchskeramik

Schüssel, Imitation TS – RF 5red, Dreh, Ü WA/WI, R1, Inv. 176/1/21.

Topf mit kurzem, ausgebogenem Rand 3 – RF 6, hand/nach, K WA, Mdm 22, R11, Inv. 176/1/20 (Taf. 7).

Form (?) – RF grob, hand, K WA, max. Wst 0,5, W4, Inv. 176/1/22.

Periode 3 – Runde Grube (SE 177), 0,76 × 0,68 × 0,52.

Gesamtgewicht: Artefakte G 2610, Summe G 2610.

Artefakte NMI: Regionale Gefäßkeramik: 3. Baukeramik: 1.

Regionale Gebrauchskeramik

Topf mit Dreiecksrand 6.2 – RF 6, K/P WA, Mdm 22, R16, Inv. 177/1/21 (Taf. 7; Abb. 100).

Topf mit nach außen verdicktem Rand und Innenabsatz – RF 3, hand/nach, K/Wellenlinie WA, Pass 177/178, Mdm 30, R27, Inv. 177/1/22 (Taf. 7; Abb. 100).

Topf mit kurzem, ausgebogenem Rand 1 – RF 11, hand/nach, Pass 177/76a/76, Mdm 8, R52, Inv. 177/1/20 (Taf. 7).

Form (?) – RF 5red, Dreh, Rad WA, Wst 0,5, W3, Inv. 177/1/23.

Baustoff

Baukeramik – Tubulus, Ritzung WA, 1, Inv. 177/2/20.

Periode 3.2 – Verfüllschicht bzw. Erdkeller (SE 78), 2,8 × 3,15 × 0,75.

Gesamtgewicht: Artefakte G 25836, Faunen G 72,4, Summe G 25908,4.

Artefakte NMI: Regionale Gefäßkeramik: 175. Importkeramik: 14. Prähistorische Gefäßkeramik: 1. Keramikgerät: 1. Baukeramik: 3. Glas: 2. Metall: 6.

Terra Sigillata

Schale – Padana, Stempel *Q.S.P.* (OCK 1765), sek. Graffito WA, Bdm 5, B20, Inv. 78/33/2 (Taf. 8).

Teller Consp. 20 – Padana, W1, Inv. 78/16/2. Padana, Applike (Schindler Kaudelka 2001, T31), W1, Inv. 78/16/3 (Taf. 8).

Schüssel Drag. 37 – SG, Viktoria n. li. (Osw. 808B), W1, Inv. 78/12/1 (Taf. 8).

Schüsseln Drag. 37 – MG, Eierstab, Perlstab mit Ring (Stanfield – Simpson 1990, Taf. 157, 1), CINNAMUS, W1, Dat. 135–170, Inv. 78/24/2 (Taf. 8). MG, Mänade mit Schale (Osw. 368), Grasbüschel (Stanfield – Simpson 1990, Taf. 57, 653), männliche Figur (Osw. 573), BUTRIO, W1, Dat. 120–145, Inv. 78/12/5 (Taf. 8). MG, Metopenteilung durch Wellenband mit Rosette, Tier n. re., Podest/Altar mit Maske, kein Vergleich gefunden, W1, Inv. 78/7/5 (Taf. 8).

Schüsseln Drag. 37 – Mdm 21, R3, Inv. 78/27/2 (Taf. 8). RZ, Mdm 23, R6, Inv. 78/12/6 (Taf. 8).

Teller Drag. 18/31 – Mdm 18, R3, Inv. 78/7/2 (Taf. 8). Mdm 26, R7, Inv. 78/33/1 (Taf. 8).

Italischer Feinware und deren Imitation

Italische Feinware – Ü/Rat WA, Wst 0,2, W1, Inv. 78/35/27.

Schale, italische Feinware – Dreh, Mdm 9, R7, Inv. 78/6/35 (Taf. 8).

Schale, Imitation italischer Feinware, Plesničar-Gec 1977, Taf. 1, 36. 74 – Ba WA, W1, Inv. 78/17/53 (Taf. 8).

Becher, Imitation italischer Feinware Plesničar-Gec 1977, Taf. 2, 11–12 – Dreh, K WA horizontal, Wst 0,2, W1, Inv. 78/18/22 (Taf. 8).

Transportkeramik

Dressel 6B – RF 86, H1, G 11, Inv. 78/23/42 (Taf. 9), RF 86, Dreh, max. Wst 1,5, W5, G 320, Inv. 78/3/31, 78/15/62, 78/26/34, 78/31/40. RF 86, Dreh, W/Hals3, Wst 1, G 110, Inv. 78/6/29. Dressel 6B (?), ähnlich F96, W1, G 5, Inv. 78/3/32.

Regionale Gebrauchskeramik

Imitation Drag, 29/30 – RF 5red, Dreh, Ü WA/WI/Rat WA, Mdm 19, R7, Inv. 78/31/31 (Taf. 8).

Imitationen Drag, 37 – RF 5ox, Dreh, Mdm 16, R4, Inv. 78/7/1 (Taf. 8). RF 5red, Mischatmosphäre, Dreh, Ü WA/WI, rote Streifen WI, Mdm 19, R5, Inv. 78/11/26 (Taf. 8). RF 5ox, Dreh, Mdm 24, R5, Inv. 78/17/43 (Taf. 8).

Imitationen Drag, 44 – RF 5red, Dreh, Ü WA/WI/Rat WA, Mdm 22, R5, Inv. 78/6/22 (Taf. 8). RF 5red, Dreh, Ü WA/WI/Rat WI, Mdm 28, R12, Inv. 78/31/30 (Taf. 8; Abb. 113).

Imitation TS – RF 5red, Dreh, Wst 0,6, R1, Inv. 78/32/34.

Schüsseln – RF 8red, Dreh, Rat WA, Mdm 20, R4, Inv. 78/26/30 (Taf. 8). RF 5red, Dreh, Ü WA/WI, Mdm 22, R3, Inv. 78/32/24 (Taf. 8).

Kragenschüssel – RF 5ox, Dreh, Ü WI, Mdm 22, R5, Inv. 78/3/21 (Taf. 8).

Schale mit ausgebogenem Rand – RF 5red, Dreh, Mdm 11, R8, Inv. 78/17/27 (Taf. 8).

Schüsseln mit eingezogenem Rand – RF 5red, Dreh, Mdm 22, R3, Inv. 78/17/29 (Taf. 8). RF 5red, Dreh, Mdm 26, R3, Inv. 78/1/21 (Taf. 8). RF 5red, Dreh, Rat WA, Mdm 28, R10, Inv. 78/17/51 (Taf. 8). RF 5red, Dreh, Rat WA, Mdm 31, R4, Inv. 78/11/34 (Taf. 8). RF 5red, Rat WA, Mdm 36, R30, Inv. 78/3/20 (Taf. 8; Abb. 97). RF 4, Dm 30, R4, Inv. 78/23/23, RF 5red, Dreh, Mdm 28, R4, Inv. 78/23/33 (Taf. 8).

Schüsseln – RF 5red, Dreh, Mdm 29, R3, Inv. 78/26/28. RF 5red, Dreh, Ü/Rat WA, scharfkantiger Bauchumbruch, Wst 0,7, W1, Inv. 78/17/64. RF 5red, Dreh, mit profiliertem Wandknick, Wst 0,8, W1, Inv. 78/10/21. RF 5red, Dreh, Wst 0,6, St1, Inv. 78/6/39. RF 5red, Dreh, Wst 0,8, St/B1, Inv. 78/11/39. RF 5ox, Dreh, Mdm 40, R5, Inv. 78/17/22. RF 5ox, Dreh, Bdm 7, Wst 0,6, St/W100, Inv. 78/6/36. RF 5ox, Dreh, Wst 0,9, St/B1, Inv. 78/17/59. RF 8ox, Dreh, Mdm 15, R5, Inv. 78/15/44.

Schüssel/Teller – RF 5red, Dreh, Wst 0,7, B1, Inv. 78/32/30.

Dickwandige Reibschüssel – RF 10, Dreh, Fe-Korrosionsrest auf altgebrochenem Kragenteil, Mdm 38, R7, Inv. 78/30/20 (Taf. 8).

Schüsseln mit Dreiecksrand 1 – RF 4, hand/nach, sek. g WA/RI, Mdm 18, R6, Inv. 78/26/23. Mdm 18, R6, Inv. 78/25/20 (Taf. 8; Abb. 97).

Dreifußschüsseln 1 – RF 6, hand/nach, K WA horizontal, sek. Kochrückstände WI, Mdm 24, R7, Inv. 78/23/40 (Taf. 8; Abb. 97). RF 9, Dreh, sek. g WA, Mdm 24, R3, Inv. 78/31/27 (Taf. 9).

Dreifußschüsseln 1/3 – RF 4rot, Dreh, P RA, Mdm 18, R5, Inv. 78/11/29 (Taf. 9). RF 4, Dreh, Mdm 21, R7, Inv. 78/17/33 (Taf. 8).

Dreifußschüssel 3 – RF 7, Dreh, Mdm 22, R18, Inv. 78/6/20 (Taf. 8; Abb. 97).

Dreifußschüsseln 4 – RF 11, Dreh, sek. Kochrückstände WI, Mdm 18, R3, Inv. 78/31/26 (Taf. 9). RF 7, Dreh, sek. g WI/Kochrückstände WI, Mdm 18, R7, Inv. 78/5/21 (Taf. 9). RF 9, Dreh, Mdm 24, R6, Inv. 78/17/34 (Taf. 9).

Dreifußschüsseln 7 – RF 4, Dreh, Mdm 20, R7, Inv. 78/11/32 (Taf. 9). RF 4, Dreh, sek. g RA/WI, Mdm 23, R6, Inv. 78/17/20 (Taf. 9). RF 7, Dreh, Mdm 26, R5, Inv. 78/26/21 (Taf. 9). RF 7, Dreh, sek. g RA/WI, Mdm 27, R14, Inv. 78/17/31 (Taf. 9; Abb. 113). RF 9, Ü/Wellenband WA, sek. g WA, Mdm 19, R13, Inv. 78/13/20 (Taf. 9). RF 9, Dreh, Mdm 19, R5, Inv. 78/15/42 (Taf. 9). RF 9, Dreh, Mdm 17 R7, Inv. 78/32/20 (Taf. 9).

Dreifußschüsseln – RF 4, Mdm 19, R4, Inv. 78/15/37 (Taf. 9). RF 2, Dreh, Wst 0,8, Fuß/B1, Inv. 78/6/30. RF 6, Dreh, Wst 0,6, Fuß/B1, Inv. 78/23/45. RF 7, hand/nach, sek. g WA, max. Wst 0,7, 2 Fuß/Bfrgt., Inv. 78/22/20, 78/31/36. RF 11, Dreh, Wst 0,5, Fuß/B1, Inv. 78/15/58. RF grob, hand/nach, max. Wst 1,4, 2 Fuß/Bfrgt., Inv. 78/6/43, 78/17/56. RF grob, Dreh, sek. g WA/Bruch, Wst 1, Fuß1, Inv. 78/11/36. RF grob, B1, Inv. 78/23/48. RF grob, Dreh, sek. g/Kochrückstände WA, Wst 0,7, Fuß/B1, Inv. 78/5/25.

Knickwandschüsseln 1 – RF 5red, Mischatmosphäre, Dreh, sek. g WA, Mdm 20, R5, Inv. 78/15/29 (Taf. 9). RF 4, Dreh, sek. g WA, Mdm 22, R20, Inv. 78/23/20 (Taf. 9; Abb. 97).

Knickwandschüssel 2 – RF 9, Dreh, Mdm 22, R5, Inv. 78/17/24 (Taf. 10).

Schüssel – RF 9, Mdm 30, R6, Inv. 78/11/28.

Teller mit eingebogenem Rand 1.1.1 – RF 5ox, Ü WA/WI, sek. v WA, Mdm 19, R17, Inv. 78/17/26 (Taf. 8; Abb. 98. 113). RF 5ox, Ü WA/WI, sek. v RA/WI, Mdm 26, R5, Inv. 78/17/23 (Taf. 8). RF 8ox, Dreh, Ü WA/WI, Mdm 26, R/W6, Inv. 78/15/26 (Taf. 8). RF 8ox, Dreh, Ü WI, Wst 0,6, R1, Inv. 78/6/45. RF 5ox, Dreh, Ü RA, Wst 0,6, R/W1, Inv. 78/5/29. RF 5ox, Ü WA, Mdm 22, R3, Inv. 78/17/25 (Taf. 8). RF 4, Mdm 28, R5, Inv. 78/15/27.

- Teller mit Steifrand 1.2.2 – RF 8ox, Dreh, Ü WI, R1, Inv. 78/15/35 (Taf. 8). RF 5ox, sek. v, Mdm 28, R3, Inv. 78/23/26 (Taf. 8).
- Teller – RF 5red, Rat WI, W1, Inv. 78/1/24. RF 5ox, Wst 0,9, B1, Inv. 78/15/54.
- Becher mit Karniesrand – RF 5ox, Dreh, Mdm 10, R7, Inv. 78/32/22 (Taf. 9).
- Faltenbecher mit Karniesrand – Ü WA/WI, Mdm 8, R8, Inv. 78/11/27 (Taf. 9). RF 5ox, Dreh, Mdm 8, R7, Inv. 78/15/45 (Taf. 9).
- Becher mit abgesetztem Rand – RF 5red, Dreh, Mdm 5, R/W17, Inv. 78/15/46 (Taf. 9; Abb. 99).
- Becher mit ausgebogenem Rand 1 – RF 5red, Dreh, Rad WA, Mdm 10, R13, Inv. 78/23/38 (Taf. 9). RF 8red, Dreh, Streichbrett WI, Rad WA, Mdm 9, R10, Inv. 78/17/52 (Taf. 9). RF 9, Dreh, Mdm 8, R8, Inv. 78/32/26 (Taf. 9). RF 9, Dreh, Rad WA, Mdm 9, R16, Inv. 78/31/20 (Taf. 9; Abb. 113).
- Becher mit ausgebogenem Rand 3 – RF 5ox, Dreh, Ü WA, Mdm 8, R6, Inv. 78/1/22 (Taf. 9). RF 9, Dreh, Mdm 10, R10, Inv. 78/23/31 (Taf. 9).
- Becher mit ausgebogenem, kantigem Rand 2 – RF 9, Dreh, Mdm 8, Bdm 4,4, R/B50, Inv. 78/39/20 (Taf. 9; Abb. 99).
- Fassförmiger Becher – RF 9, Dreh, Mdm 8, R5, Inv. 78/17/28 (Taf. 9).
- Faltenbecher – Mischatmosphäre, Dreh, Ü WA/Sandbewurf WA, Wst 0,2, W1, Inv. 78/15/64. RF 5ox, Dreh, Ü WA/WI, Wst 0,2, W2, Inv. 78/15/63. RF 5ox, Mischatmosphäre, Dreh, max. Wst 0,2, W2, Inv. 78/35/23. RF 11, Wst 0,5, W1, Inv. 78/3/29.
- RF 5ox, rote Partikel, Dreh, Bdm 8,4, B40, Inv. 78/3/33 (Taf. 12). Becher – RF 5ox, Dreh, Ü WA/WI/Sandbewurf WA, Bdm 9, Wst 0,3, B/W25, Inv. 78/6/38. RF 5ox, Dreh, Ü/Sandbewurf WA, Bdm 6, Wst 0,2, B/W100, Inv. 78/6/37. RF 5ox, Dreh, Ü WA/WI/Sandbewurf WA, WI, Inv. 78/18/21 (Taf. 9). RF 5ox, Dreh, Rat WA, Wst 0,4, W1, Inv. 78/23/43. RF 5red, Dreh, Rad WA, Wst 0,4, W1, Inv. 78/11/42. RF 5red, Dreh, max. Wst 0,6, W1 und B1, Inv. 78/6/33, 78/32/29. RF 5ox, Dreh, Wst 0,6, B1, Inv. 78/17/61. RF 7, Dreh, Rad WA, Wst 0,3, W1, Inv. 78/6/32. RF 9, Dreh, Rad WA, max. Wst 0,5, W2, Inv. 78/32/35, 78/11/41. RF grob, Dreh, Wst 0,5, B1, Inv. 78/17/58. RF 5ox, rote Partikel, Dreh, Bdm 8,4, B40, Inv. 78/3/33 (Taf. 12).
- Krüge mit ausgebogenem Rand – schwarze Partikel, Dreh, Mdm 10,6, R10, Inv. 78/32/27 (Taf. 9; Abb. 113). RF 5ox, Dreh, Mdm 11, R13, Inv. 78/17/47 (Taf. 9).
- Kanne mit ausgebogenem, innen gekehltem Rand – RF 4, Dreh, Mdm 11, R3, Inv. 78/32/25 (Taf. 9).
- Krug mit ausgebogenem, innen gekehltem Rand – RF 5red, H1, Inv. 78/11/33 (Taf. 9).
- Krüge – RF 5red, H1, Inv. 78/32/28 (Taf. 9). RF 5red, Mischatmosphäre, H1, Inv. 78/31/29 (Taf. 9). RF 5ox, Mischatmosphäre, H1, Inv. 78/23/34 (Taf. 9). RF 9, H1, Inv. 78/34/20. RF 8ox, Bandhenkel, Wst 1, H1, Inv. 78/15/61.
- Auerbergderivate – RF 11, sek. g RI, Mdm 18, R4, Inv. 78/6/40 (Taf. 10). RF 4, hand/nach, sek. g WA, Mdm 20, R5, Inv. 78/23/30 (Taf. 10).
- Töpfe mit gerilltem Flachrand 1.2 – RF 4, K WA, R1, Inv. 78/6/27 (Taf. 10). RF 4, sek. g WA, Mdm 30, R5, Inv. 78/15/31 (Taf. 10; Abb. 101).
- Topf mit gerilltem Flachrand – RF 4, Mdm 16, R10, Inv. 78/5/24 (Taf. 10).
- Topf mit Dreiecksrand 3.1 – RF 4, sek. g RI, Mdm 12, R8, Inv. 78/11/25 (Taf. 10; Abb. 100).
- Topf mit Dreiecksrand – RF 4, sek. g WI, Mdm 18, R3, Inv. 78/3/23 (Taf. 10), Lit. Jeschek – Lehner 1996, 526 Abb. 686 (Grube, 80/120 n. Chr.); Jeschek 2000, Taf. 3, 18–19 (Gleisdorf).
- Töpfe mit Dreiecksrand 3.2 – RF 4, Mdm 24, R3, Inv. 78/26/32 (Taf. 10). RF 4, P WA, Mdm 10, R9, Inv. 78/17/35 (Taf. 10).
- Topf mit Dreiecksrand 4.3 – RF 4, sek. g RI, R1, Inv. 78/15/25 (Taf. 10).
- Topf mit Dreiecksrand 5.2.1 – RF 4, P WA, sek. g RI, R1, Inv. 78/26/29 (Taf. 10).
- Töpfe mit Dreiecksrand 6.2 – RF 4, hand/nach, sek. g RI, R1, Inv. 78/6/28 (Taf. 10). RF 4rot, hand/nach, Dm 26, R3, Inv. 78/3/24 (Taf. 10). RF 6, K WA, sek. g RI, Pass 78/82, Mdm 60, R7, Inv. 78/37/20 (Taf. 10).
- Töpfe mit unterschrittenem Dreiecksrand 1 – RF 9, Mdm 28, R4, Inv. 78/5/20 (Taf. 10). RF 11, Mdm 30, R5, Inv. 78/11/20 (Taf. 10; Abb. 100).
- Topf mit unterschrittenem Dreiecksrand 2 – RF 4, Mdm 18, R5, Inv. 78/6/24 (Taf. 10; Abb. 100).
- Töpfe mit ausgebogenem, annähernd dreieckig verdicktem Rand – RF 4, sek. g WA, Mdm 28, R3, Inv. 78/15/32 (Taf. 10). RF 6, sek. g RI, Mdm 22, R7, Inv. 78/17/21 (Taf. 10). RF 6, P WA, sek. g RA/RI, Mdm 38, R12, Inv. 78/3/22 (Taf. 10). P WA, Pass 78/35, Mdm 23, R14, Inv. 78/35/22 (Taf. 10; Abb. 100).
- Topf mit verdicktem, gerundetem Rand 1 – RF 4, Dreh, Mdm 15, R5, Inv. 78/15/23 (Taf. 10).
- Topf mit verdicktem, gerundetem Rand 2 – RF 5ox, Dreh, Mdm 11, R15, Inv. 78/17/44 (Taf. 10).
- Töpfe mit ausgebogenem, deutlich verdicktem Rand 2 – RF 4, hand/nach, P RA/K WA, sek. g WA, Mdm 31, R5, Inv. 78/17/49 (Taf. 10; Abb. 101). RF 6, hand/nach, Mdm 28, R8, Inv. 78/32/23 (Taf. 10).
- Topf mit ausgebogenem, kantigem Rand 1 – RF 5red, Dreh, Mdm 22, R5, Inv. 78/23/29 (Taf. 10).

- Töpfe mit ausgebogenem, kantigem Rand 2.1 – RF 9, Dreh, Wellenband WA, Mdm 11, R26, Inv. 78/17/48 (Taf. 10). RF 11, V-förmige Kerben WA, Mdm 11, R33, Inv. 78/15/33 (Taf. 10; Abb. 101).
- Töpfe mit ausgebogenem, innen gekehltem Rand 1.1 – RF 4, sek. g WA/WI, Mdm 16, R8, Inv. 78/35/20 (Taf. 10). RF 4, hand/nach, K WA, sek. g WA/RI, Mdm 17, R/W16, Inv. 78/6/26 (Taf. 10; Abb. 103). RF 4, P WA, Mdm 20, R5, Inv. 78/15/24 (Taf. 10). RF 6, Mdm 13, R5, Inv. 78/3/26 (Taf. 10). RF 4rot, hand/nach, K WA/P WI, sek., Pass 78/82, Mdm 17, R35, Inv. 78/23/39 (Taf. 10). RF 4rot, hand/nach, K/P WA, Mdm 18, R25, Inv. 78/23/36 (Taf. 10).
- Töpfe mit ausgebogenem, innen gekehltem Rand 3 – RF 4, Mdm 13, R25, Inv. 78/15/21 (Taf. 10; Abb. 103). RF 11, Dreh, Mdm 11, R10, Inv. 78/31/23 (Taf. 10).
- Topf mit ausgebogenem Rand 1.1.1 – RF 4, hand/nach, K WA, sek. g RI, Mdm 19, R8, Inv. 78/17/50 (Taf. 10; Abb. 102).
- Töpfe mit ausgebogenem Rand 1.4 – RF 5ox, Mischatmosphäre, Dreh, Mdm 11, R14, Inv. 78/31/22 (Taf. 9). RF 5red, Dreh, Mdm 10, R15, Inv. 78/3/25 (Taf. 9). RF 5red, Dreh, Mdm 10, R9, Inv. 78/11/30 (Taf. 9). RF 5red, Mischatmosphäre, Dreh, Mdm 11, R11, Inv. 78/11/24 (Taf. 9). RF 5red, Dreh, Ü WA, Mdm 9, R33, Inv. 78/6/25 (Taf. 9). RF 5red, Dreh, Ü WA, Mdm 12, R7, Inv. 78/15/39 (Taf. 9). RF 5red, Dreh, Ü WA, Mdm 13, R/W7, Inv. 78/6/23 (Taf. 9; Abb. 102. 113). RF 5red, Mdm 11, R18, Inv. 78/11/21 (Taf. 9). RF 5red, Dreh, Mdm 13, R8, Inv. 78/5/22 (Taf. 9). RF 5red, Dreh, Mdm 13, R5, Inv. 78/15/34 (Taf. 9).
- Töpfe mit ausgebogenem Rand 1.2.2 – RF 4, hand/nach, sek. g WA/RI, Mdm 15, R15, Inv. 78/31/21 (Taf. 10). RF 4, hand/nach, sek. g RI, Mdm 17, R10, Inv. 78/23/22. RF 4, P WA, Mdm 13, R8, Inv. 78/11/31 (Taf. 10). RF 4, P WA, Mdm 17, R5, Inv. 78/15/30 (Taf. 10). RF 4, sek. g WA/WI, R1, Inv. 78/32/21 (Taf. 10). RF 4, sek. g RI, R1, Inv. 78/17/36 (Taf. 10). RF 4, sek. g RA/RI, Mdm 14, R20, Inv. 78/26/20 (Taf. 10). RF 4, sek. g RA, Mdm 15, R10, Inv. 78/15/20 (Taf. 10). RF 4, sek. Kochrückstände RI, Mdm 16, R13, Inv. 78/17/30 (Taf. 11). RF 4, Mdm 19, R5, Inv. 78/11/22 (Taf. 11). RF 4, Mdm 23, R4, Inv. 78/23/27 (Taf. 11). RF 4, sek. g RA, Mdm 20, R5, Inv. 78/15/41 (Taf. 11). RF 4, sek. g WI, Mdm 38, R8, Inv. 78/3/27 (Taf. 10). RF 6, K/P WA, sek. g RA/RI, Mdm 26, R10, Inv. 78/1/20 (Taf. 11). Mdm 18, R10, Inv. 78/15/22 (Taf. 11).
- Töpfe mit ausgebogenem Rand 1.3 – RF 4, P WA, sek. g RI, Mdm 19, R11, Inv. 78/17/39 (Taf. 11; Abb. 102). RF 4, hand/nach, sek. g RI, Mdm 29, R5, Inv. 78/23/25 (Taf. 11). RF 5red, Dreh, Mdm 11, R8, Inv. 78/31/24 (Taf. 11).
- Töpfe mit ausgebogenem Rand 2 – RF 2, hand/nach, sek. g WA/RI, Mdm 14, R55, Inv. 78/23/21 (Taf. 11; Abb. 102). RF 4, Mdm 16, R4, Inv. 78/17/38 (Taf. 11).
- Töpfe mit kurzem, ausgebogenem Rand 1.1 – RF 4, K WA, sek. g RA/RI, Mdm 23, R12, Inv. 78/23/37 (Taf. 11; Abb. 113). RF 4, hand/nach, K WA, sek. g WA/WI, Mdm 17, R/W23, Inv. 78/3/28 (Taf. 11).
- Töpfe mit kurzem, ausgebogenem Rand 3 – RF 4, hand/nach, K WA, sek. g WA/WI, Pass 78/82, Mdm 18, Bdm 12, R/B40, Inv. 78/17/80 (Taf. 11). RF 4, hand/nach, K WA, Mdm 19, R7, Inv. 78/23/35 (Taf. 11). RF 4, sek. g RA/RI, Mdm 16, R6, Inv. 78/15/36 (Taf. 11). RF 4, hand/nach, sek. g RA/RI, Mdm 17, R15, Inv. 78/17/32 (Taf. 11). RF 4, hand/nach, K WA, Tonschlicker RA, sek. g WA/WI, Mdm 24, R30, Inv. 78/17/81 (Taf. 11). RF 6, Mdm 18, R5, Inv. 78/23/32 (Taf. 12). RF 6, hand/nach, K/P WA, Mdm 22, R15, Inv. 78/23/41 (Taf. 11).
- Töpfe mit ausgebogenem, unterschnittenem Rand – RF 4, hand/nach, sek. g WA, Mdm 14, R16, Inv. 78/31/25 (Taf. 12; Abb. 103). RF 4, sek. g RA/RI, Mdm 42, R7, Inv. 78/23/24 (Taf. 12). RF 4, P RA (?), Mdm 26, R5, Inv. 78/17/37 (Taf. 12).
- Schüssel oder Topf – RF 5red, Rat WA, Wst 0,4, W1, Inv. 78/11/43.
- Töpfe – RF 5red, Dreh, B1, Wst 1,1, Inv. 78/11/40. RF 5red, Dreh, La-Tène-Derivat 'Standfuß', Bdm 10, Wst 1, B100, Inv. 78/6/41. RF 8red, Rat WA, Wst 0,7, W2, Inv. 78/17/63.
- Töpfe – RF 4, sek. g WA, Mdm 23, R9, Inv. 78/6/21. RF grob, Dreh, Rad WA, Wst 0,7, W1, Inv. 78/17/57. RF grob, Dreh, Wellenlinie WA, Wst 0,5, W1, Inv. 78/13/21. RF grob, hand/nach, K WA, Wst 1,3, B2, Inv. 78/23/46. RF grob, hand/nach, 1 K WA, 2 eingezogener Standfuß, Wst 0,9, B6, Inv. 78/31/37. RF grob, hand/nach, Bdm 7,7, Wst 0,9, B100, Inv. 78/28/20. RF grob, hand/nach, mit/ohne K WA, max. Wst 1,2, 13 Bfrgt., Inv. 78/6/42, 78/17/55, 78/32/32. RF grob, Dreh, max. Wst 0,7, 3 Bfrgt., Inv. 78/31/38, 78/32/31.
- Form (?) – RF 5red, Dreh, 1 mit Rat WA, 2 mit Rad WA, Wst 0,4, 3 Wfrgt., Inv. 78/15/50, 66. RF 5red, Mischatmosphäre, Dreh, W1, Inv. 78/35/24. RF 5red, Dreh, Wst 0,9, 4 Bfrgt. mit Standfuß, Inv. 78/15/55. RF 5red, Dreh, Wst 0,5, 2 St/Bfrgt., Inv. 78/15/56. RF 5red, Dreh, Wst 1,6, 5 Bfrgt., Inv. 78/23/47. RF 5ox, Rad WA/grob, sek. v, Wst 0,4, W1, Inv. 78/15/65. RF 5ox, Dreh, Wst 0,5, 3 St/Bfrgt., Inv. 78/31/35. RF 5ox, Mischatmosphäre, Dreh, Wst 0,9, 1 Bfrgt., Inv. 78/5/28. RF 8red, Dreh, Ü WA, St1, Inv. 78/17/60. RF 8ox, Dreh, sek. Graffito, Wst 0,5, W1, Inv. 78/15/60 (Taf. 12). RF 8ox, Dreh, Rat WA, Wst 0,4, 2 Wfrgt., Inv. 78/15/49, 78/31/34. RF 8ox, Ü/Rat WA, Wst 0,5, W1, Inv. 78/6/34.
- Form (?) – RF 7, Dreh, Rat WA, Inv. 78/18/20 (Taf. 12). RF 9, Dreh, Wellenband WA, Wst 0,5, W1, Inv. 78/5/27. RF 9, Wellenlinie WA, Wst 0,5, W1, Inv. 78/35/26. RF 9, Dreh, B3, Wst 0,5, Inv. 78/3/35.

Form (?) – RF grob, hand/nach, mit/ohne K WA, max. Wst 1,1, 6 Bfrgt., davon 1 mit Standfuß, Inv. 78/3/34, 78/11/38, 78/15/53. RF grob, hand, K WA, max. Wst 1, 189 Wfrgt., Inv. 78/1/25, 78/3/36, 78/5/26, 78/6/31, 78/11/35, 78/15/47, 78/17/54, 78/22/22, 78/23/44, 78/26/35, 78/31/33, 78/32/33, 78/35/25, 78/37/21. RF grob, hand, V-förmige Kerben WA, Wst 0,5, W1, Inv. 78/15/48. RF grob, Dreh, max. Wst 0,9, 11 Bfrgt., Inv. 78/1/26, 78/10/20, 78/11/37, 78/15/57, 78/22/21, 78/26/33, 78/35/28.

Deckel – RF 8red, Dreh, R1, Inv. 78/17/65. RF 9, Dreh, sek. g RI, R1, Inv. 78/3/37. RF grob, Dreh, R1, Wst 0,5, Inv. 78/15/59. RF 7, Dreh, R1, Wst 0,7, Inv. 78/6/44. RF 5red, Dreh, Ü WA, Dm 20, R4, Inv. 78/26/31. RF Sox/red, Dreh, Rad WA, Wst 1, W1, Inv. 78/3/30. RF Sox, Dreh, Ü RA/WI, Dm 25, R4, Inv. 78/11/23. RF Sox, Dreh, Dm 20, R10, Inv. 78/17/45 (Taf. 12). RF Sox, Dreh, Dm 22, R3, Inv. 78/17/46. RF Sox, Dreh, sek. g RA/WI, Dm 23, R26, Inv. 78/26/22 (Taf. 12). RF Sox, Dreh, sek. v WI, Dm 23, R7, Inv. 78/23/28. RF 5red, Dreh, sek. g RI, Dm 26, R8, Inv. 78/35/21. RF 8ox, Dreh, Dm 22, R5, Inv. 78/15/43. RF 7, Dreh, sek. g RA/RI, Dm 20, R6, Inv. 78/15/28. RF 7, Dreh, Dm 32, R8, Inv. 78/26/25 (Taf. 12). RF 7, Dreh, sek. g WI, Dm 34, R6, Inv. 78/26/26 (Taf. 12). RF 4, Dm 18, R3, Inv. 78/15/38. RF 4, sek. g WA/WI, Dm 20, R19, Inv. 78/26/24 (Taf. 12). RF 4, Dreh, sek. g WI, Dm 21, R11, Inv. 78/17/42. RF 4, Dreh, sek. g WI, Dm 21, R10, Inv. 78/5/23. RF 4, Dreh, Dm 24, R11, Inv. 78/15/40 (Taf. 12). RF 4, Dreh, Dm 25, R3, Inv. 78/17/40. RF 4, Dreh, Dm 26, R9, Inv. 78/17/41. RF 6, Dm 38, R4, Inv. 78/26/27 (Taf. 12). RF 9, Dreh, Dm 8, R5, Inv. 78/31/28 (Taf. 12).

Prähistorische Gefäßkeramik

La-Tène, Tonne mit Wulstrand und leichter Innenkehlung – schwarzgrau, steinchengemagert, raue OF, Mdm 16, R10, max. H 2,0, Wst 0,6, Inv. 78/38.

Baustoff

Baukeramik – Imbrex, sek. v, 1, Inv. 78/31/39. Tegula, 2, Inv. 78/1/23, 78/26/36. Teil von Ofenkonstruktion, 1, Inv. 78/31/32. Form (?), 12, Inv. 78/15/51.

Hüttenlehm – Inv. 78/15/52.

Baustoff/Werkabfall

Schmelzform oder Ziegel – orangegelb, sandgemagert, leicht sandig raue OF, unregelmäßige, leicht verschlackte Mulde, Größe 6 × 4,4 × 3,2, Inv. 78/20/2 (Taf. 12).

Webgewichte

Orangegelb, sandgemagert, sandig raue OF, teilweise erhaltene Bohrung, zwei Wandflächen, Größe 5,4 × 5,9 × 4,7, Inv. 78/20/1 (Taf. 12). Orange, stark sandgemagert, sandig raue OF, drei Wandflächen, Größe 6,4 × 6,5 × 5,1, Inv. 78/9 (Taf. 12).

Werkabfall

Schlacke – sphärisch, blasig, mit Ofenwand, Dm 3,8, G 30, Inv. 78/11/44.

Glas

Schale oder Teller mit ausbiegendem Rand (?) – durchsichtig blaugrün (319), leicht mit Luftblasen durchsetzt, zusammengehörig (?), Mdm 9, R11, Wst 0,2, G 1,8, Inv. 78/47/1–2 (Taf. 12).

Kantiger oder zylindrischer Krug AR 156–160 – durchsichtig, mit vielen Luftblasen durchsetzt, zart blaugrün (319), H1, Bandhenkel mit Randrippen, oberes Ende zurückgebogen (Halsansatz), Größe 2,5 × 3,6 × 1,8, Wst 0,3, G 5,6, Inv. 78/46/1 (Taf. 12).

Form (?) – durchsichtig blaugrün (570), W2, Wst 0,25–0,3, G 2,4, Inv. 78/46/2 (Taf. 12). Durchsichtig hellblaugrün (319) mit vereinzelt Luftblasen, W1, Wst 0,2, Inv. 78/46/3. Durchsichtig blaugrün (319), kleine Luftblasen, relativ dickwandig, W1, Wst 0,3, G 2,4, Inv. 78/47/3. Relativ dickwandig, matt grünblau (570), Luftblasen, Wst 0,35–0,4, W1, G 0,8, Inv. 78/47/4. Durchsichtig blaugrün (319), Wst 0,15–0,3, kleinteilig W4, G 1,3, Inv. 78/47/5.

Metall

Kräftig profilierte Fibel A 70/73 a – Ae, eingliedrig, Spirale mit ursprünglich acht Windungen und oberer Sehne, im Querschnitt dreieckiger Bügel mit kleinem Bügelknopf, runde, schräg unter den Bügel ziehende Kopfplatte, flacher, sich zum Nadelhalter hin erweiternder Fuß, Fuß mit Nadelhalter und Hälfte der Spirale weggebrochen, L 3,1, Br 1,4, H 1,5, G 5,3, Inv. 78/42 (Taf. 12).

Kniefibel mit halbrunder Kopfplatte J 13 D – Ae, Spirale mit acht Windungen, obere Sehne, halbrunde Kopfplatte mit zweireihiger Wolfzahnverzierung, S-förmig gebogener Bügel mit kleinem Schlußknopf, hoher, schmaler Nadelhalter, komplett, Nadelende weggebrochen, L 3,5, Br 2,1, H 2,2, G 14,1, Inv. 78/43 (Taf. 12).

Knopf – Ae, halbrund gewölbt, mit Löwenkopf, Niet innen weggebrochen, Dm 1,9, H 0,7, G 3,6, Inv. 78/40 (Taf. 12).

Schildförmiger Beschlag Varinate Oldenstein 269–271 – Ae, gestreckt sechskantig, länglich ovaler, profilierter, nach außen gewölbter Buckel, im Buckelinneren im Querschnitt runder Niet, Größe 4,2 × 3,4, D. 0,1, Buckel 2,6 × 1 × 0,4, Niet 1,3 × 0,2, G 7,6, Inv. 78/44 (Taf. 12).

Ring – Ae, im Querschnitt rund, mit sich an einer Seite verjüngendem Ende, max. L 2,9, Dm 0,3–0,5, G 3,6, Inv. 78/41 (Taf. 12).

Nadel – Fe, im Querschnitt rechteckig, Größe 2,5 × 0,4 × 0,1, G 0,6, Inv. 78/50 (Taf. 12).

Periode 3 (130/140–170/180 n. Chr.) – Siedlung S1

Periode 3 – Verfüllschicht bzw. Erdkeller (SE 14)

Artefakte NMI: Regionale Gefäßkeramik: 6. Prähistorische Gefäßkeramik: 1.
Zu Befund und Funden s. Tiefengraber 2002, 118; 134 f. Taf. 5, 43–6, 57.

Perioden 3–4.1 (130/140–200 n. Chr.) – Siedlung S10

Perioden 3–4.1 – Grubenhütte 2 (SE 02), 3 × 2,2 mit Erweiterung 0,9 × 0,6, T 0,4.

Gesamtgewicht: Artefakte G 265, Summe G 265.

Artefakte NMI: Regionale Gefäßkeramik: 2. Importkeramik: 1.

Terra Sigillata

Teller Drag. 18/31 – Süd-/Mittelgallien, Bdm 11, St 10, Inv. 2/2 (Taf. 31).

Regionale Gebrauchskeramik

Dreifußschüssel 1/3 – RF 6, sek. v, Mdm 18, R5, zugehöriger Fuß (?), Inv. 2/1 (Taf. 31).

Deckel – RF 4, konkav WA, Knauf 1, Inv. 2/3.

Topf – RF grob, hand, K WA, Wst 0,9, W1, Inv. 2/4.

Perioden 3–4.1 – Pfostengrube (SE 08), 0,28 × 0,29, T 0,2.

Gesamtgewicht: Artefakte G 40, Summe G 40.

Regionale Gebrauchskeramik

Topf – RF grob, K WA, Wst 0,7, W1, Inv. 8/1.

Perioden 3–4.1 (130/140–200 n. Chr.) – Siedlung S11

Perioden 3–4.1 – Grubenhütte 1 (SE 07–10), L 3,3, Br 2, T 0,3.

Gesamtgewicht: Artefakte G 485, Summe G 485.

Artefakte NMI: Regionale Gefäßkeramik: 2.

Regionale Gebrauchskeramik

Reibschüsseln ohne Innenabsatz – RF 10, Dreh, Mdm 28, Bdm 16,5, R/B10, Inv. 8/1 (Taf. 31).

Becher – RF 9, Dreh, Rad WA, Wst 0,3, W1, Inv. 8/2.

Topf mit kurzem, ausgebogenem Rand 1.1 – RF 4, R1, Inv. 7/1 (Taf. 31).

Periode 4.1 (170/180–200 n. Chr.) – Siedlung S4–5

Periode 4.1 – Planierschicht (SE 59), über Bereich SE 136/Raum 3, 6,7 × 6,1 × 0,4.

Gesamtgewicht: Artefakte G 12807, Faunen G 4, Summe G 12811.

Artefakte NMI: Regionale Gefäßkeramik: 96. Importkeramik: 11. Spätantike Intrusion: 1. Baukeramik: 3. Glas: 2. Metall: 2.

Terra Sigillata

Schale Consp. 43 – Padana, Ba Ra, Mdm 13, R8, Inv. 59/11/5 (Taf. 12). Padana, Mdm 8, R15, Inv. 59/11/7 (Taf. 12).

Schale Drag. 33 – LG, Stempel [- -]RCIRO OFI (Hofmann o. J., Taf. 2, 223.2), CRICIRO. sek. Graffito, Bdm 5, St17, Dat. 70–120, Inv. 59/6/1 (Taf. 12).

Schale Drag. 33 – RZ, Mdm 14, R5, Inv. 59/11/3 (Taf. 12).

Schüssel Drag. 37 – LG, Eierstab (Mees 1995, Taf. 136, 4), Zonenteilung mit Perlstäben, Abschlusskranz aus ?-förmigen Zierelementen (Karnitsch 1959, Taf. 16, 3), Grasbüschel (Karnitsch 1959, Taf. 14, 4), Hund n. li., Hase n. re. (Osw. 2054), MERCATOR, Pass 1/59/127/82, Mdm 20, R9, Bdm 7, St100, Inv. 59/22/1 (Taf. 13).

Schüsseln Drag. 37 – MG, Eierstab (Stanfield – Simpson 1990, Abb. 47, 3), CINNAMUS, W1, Dat. 135–170, Inv. 59/2/3 (Taf. 12). MG, Eierstab (Stanfield – Simpson 1990, Abb. 27, 1), dreiteiliges Blatt (Stanfield – Simpson 1990, Abb. 47, 5), Metopen-Zonenteilung durch Stäbe aus länglichen und runden Perlen, Kandelaber (Rogers 1974, Q7), männliche Figur mit Zweig (Stanfield – Simpson 1990, Taf. 100, 24), Apollo (Karnitsch 1959, Taf. 42, 9), sitzende Figur (Osw. 773), LAXTUCISSA, Mdm 21, R8, Dat. 150–170, Inv. 59/23/4 (Taf. 13).

Schüsseln Drag. 37 – RZ, Füllhornmotiv (Ri.-Fi. O160), kleine linksläufige Spirale (Ri.-Fi. O153), Eierstab (Ri.-Fi. E25. 26), Ware mit Eierstab E25. 26, W1, Inv. 59/11/4 (Taf. 12). RZ, Füllhornmotiv (Ri.-Fi. O160), W1, Inv. 59/2/2 (Taf. 12).

Küchenkeramikimport

Pompeianisch rote Platte – Dreh, Ü W1, Wst 0,7, B/W1, Inv. 59/10/74.

Pompeianisch roter Plattendeckel – Dreh, Mdm 28, R3, Inv. 59/1/23 (Taf. 12).

Imitation italischer Feinware

Schale, Imitation italischer Feinware Plesničar-Gec 1977, Taf. 1, 27–28 – Dreh, Ba WA/Ü WA/W1, Mdm 8, R7, Inv. 59/14/21 (Taf. 12).

Imitation rätischer Feinware

Becher, Imitation rätischer Ware Drexel 1 – RF 5ox, Mischatmosphäre, Dreh, Ritzlinien/Ba/Ü WA, W1, Inv. 59/5/41 (Taf. 12).

Imitation rätischer Ware – RF 5ox, Mischatmosphäre, Dreh, Ü/Ba WA, W1, Inv. 59/21/20 (Taf. 12).

Glasierte pannonische Ware

Glasierter Becher mit Schuppendekor – RF 5ox, Dreh, Ba Glasur WA, W1, Inv. 59/17/20 (Taf. 12).

Regionale Gebrauchskeramik

Imitation Drag. 37 – RF 5ox, Dreh, Mdm 19, R5, Inv. 59/13/28 (Taf. 12).

Schüsseln – RF 5red, Dreh, Mdm 21, R3, Inv. 59/5/39 (Taf. 12). RF 8red, Dreh, Mdm 22, R3, Inv. 59/10/39 (Taf. 12). RF 4, Mdm 25, R3, Inv. 59/8/27.

Imitation Drag. 44 – RF 5red, Dreh, Ü/Rat WA, Mdm 27, R5, Inv. 59/13/27 (Taf. 12).

Imitation Curle 15 – RF 8red, Ü WA, Mdm 15, R8, Inv. 59/5/33 (Taf. 12), Lit. Jeschek 2000, Taf. 64, 18 (Gleisdorf). RF 8red, Dreh, Ü WA, Dm 19, R7, Inv. 59/10/28 (Taf. 12).

Imitation Drag. 18/31 – RF 5ox, Dreh, Ü W1, Mdm 25, R7, Inv. 59/13/21 (Taf. 12).

Schale – RF 8red, Dreh, Ü WA/W1, Mdm 12, R6, Inv. 59/13/20 (Taf. 12).

Schüsseln mit ausgebogenem Rand – RF 5red, Dreh, Mdm 17, R6, Inv. 59/13/31 (Taf. 13). RF 5red, Dreh, Mdm 22, R3, Inv. 59/10/40 (Taf. 13). RF 5red, Dreh, Ü WA/W1, Mdm 29, R3, Inv. 59/10/33 (Taf. 13).

Schüsseln mit eingezogenem Rand – RF 5red, Mdm 18, R5, Inv. 59/16/22 (Taf. 13). RF 5red, Mdm 21, R5, Inv. 59/10/53. RF 5red, Dreh, Mdm 40, R3, Inv. 59/1/24 (Taf. 13). RF 5red, Dreh, Mdm 40, R3, Inv. 59/10/23 (Taf. 13).

Schüssel mit profiliertem Wandknick und gekehltem Oberteil – RF 5red, Mdm 40, R7, Inv. 59/10/57 (Taf. 13).

Teller – RF 4, sek. g RI, Mdm 20, R2, Inv. 59/10/55.

Teller mit eingebogenem Rand 1.1.1 – RF 5ox, Dreh, Wst 0,6, R1, Inv. 59/1/28. RF 5ox, Dreh, Mdm 21, R7, Inv. 59/5/32 (Taf. 13).

- Teller mit Flachrand 1 – Ü/Rat WA, W1, Inv. 59/24/20 (Taf. 13). RF 5ox, Dreh, Ü/Rat W1, Dm 19,5, R7, Inv. 59/10/30 (Taf. 13; Abb. 98).
- Teller mit Steilrand 1.1 – RF 5ox, Ü WA/WI, sek. v WA, R1, Inv. 59/8/23 (Taf. 13).
- Dreifußschüssel 1 – RF 5red, Dreh, Mdm 27, R6, Inv. 59/5/36 (Taf. 13).
- Dreifußschüssel 1/3 – RF 6, Dreh, Ü WA, sek. g WA, Mdm 22, R7, Inv. 59/5/23 (Taf. 13).
- Dreifußschüssel 3 – RF 6, Dreh, P R/WA, Mdm 26, R7, Inv. 59/5/20 (Taf. 13).
- Dreifußschüssel 4 – RF 5red, Dreh, Mdm 18, R3, Inv. 59/10/35 (Taf. 13).
- Dreifußschüsseln 7 – RF 9, Dreh, Mdm 16, R9, Inv. 59/10/27 (Taf. 13). RF 6, sek. g WA, Mdm 21, R8, Inv. 59/16/21 (Taf. 13). RF 6, Dreh, Mdm 24, R5, Inv. 59/1/25 (Taf. 13). RF 6, Dreh, Dm 17, R3, Inv. 59/10/38 (Taf. 13).
- Dreifußschüsseln – RF 6, Wst 0,7, Fuß/B1, Inv. 59/13/35. RF grob, sek. g WA, Wst 0,6, Fuß2, Inv. 59/10/66. RF grob, sek. g WA/WI, Wst 0,9, Fuß/B2, Inv. 59/5/49.
- Schüsseln – RF 7, Dreh, sek. Kochrückstände WI, Mdm 17, R3, Inv. 59/10/32 (Taf. 13), Lit. Jeschek 2000, Taf. 88, 174 (Gleisdorf). RF 7, Dreh, Mdm 22, R8, Inv. 59/8/20 (Taf. 14).
- Becher mit ausgebogenem Rand 1 – RF 9, Dreh, Mdm 8, R15, Inv. 59/10/42 (Taf. 13).
- Becher mit ausgebogenem Rand 2.1 – RF 5red, Dreh, Mdm 9, R8, Inv. 59/10/47 (Taf. 13).
- Becher mit ausgebogenem, kantigem Rand 3 – RF 5ox, Mdm 10, R10, Inv. 59/10/49 (Taf. 13). RF 5red, Dreh, Rad WA, Mdm 11, R8, Inv. 59/10/22 (Taf. 13; Abb. 99). RF 9, Dreh, Mdm 10, R20, Inv. 59/5/35 (Taf. 13).
- Becher mit Steilrand und Innenabsatz 1.2 – RF 5red, Ü WA, Mdm 8, R11, Inv. 59/14/20 (Taf. 13).
- Faltenbecher – RF 5ox, Mischatmosphäre, Dreh, W1, Inv. 59/16/23. RF 5ox, Mischatmosphäre, Dreh, W3, Wst 0,4, Inv. 59/8/31. RF 5ox, Mischatmosphäre, Dreh, Ü WA, sek. v, Wst 0,6, W5, Inv. 59/1/26.
- Becher – RF 5ox, Dreh, Ü WA/Sandbewurf WA, Bdm 3, B100, Inv. 59/12/20 (Taf. 13). RF 5ox, Dreh, Ü WA/WI/Sandbewurf WA, Wst 0,4, W3, Inv. 59/7/20. RF 5ox, Mischatmosphäre, Dreh, Ü WA, Wst 0,6, B1, Inv. 59/8/32. RF 5red, Dreh, Rad WA, Mdm 9, R11, Inv. 59/5/42. RF 9, Dreh, Mdm 9, R17, Inv. 59/13/29 (Taf. 13). RF 9, Dreh, Rad WA, max. Wst 0,5, 4 Wfrgt., Inv. 59/13/34, 59/1/30, 59/10/63. RF 9, Dreh, Wst 0,6, B1, Inv. 59/18/21.
- Krüge mit ausgebogenem Rand – RF 9, Dreh, Mdm 18, R10, Inv. 59/13/24 (Taf. 13). RF 5red, Dreh, Mdm 9, R15, Inv. 59/8/22.
- Krug mit ausgebogenem, innen gekehltem Rand – RF 9, Mdm 11, R4, Inv. 59/10/46 (Taf. 13).
- Krüge mit rund verdicktem Rand – RF 5red, Dreh, Henkelansatz Tonpatzen WA, Mdm 10, R10, Inv. 59/5/43 (Taf. 13). RF 5red, Dreh, mit Henkelansatz, Mdm 9, R10, Inv. 59/5/27 (Taf. 13).
- Krüge – RF 4, H1, Inv. 59/5/25 (Taf. 13). RF 5red, H1, Inv. 59/5/22 (Taf. 13). RF 5red, H1, Inv. 59/10/48 (Taf. 13). RF 5red, Dreh, Wst 0,5, W2 mit Henkelansatz, Inv. 59/10/67.
- Topf mit Dreiecksrand – RF 6, hand/nach, Mdm 25, R11, Inv. 59/5/26 (Taf. 13).
- Töpfe mit Dreiecksrand 6.2 – RF 4, sek. g RA, R1, Inv. 59/8/21 (Taf. 13). RF 6, Mdm 16, R4, Inv. 59/5/40 (Taf. 13). RF 6, sek. g RA, Mdm 28, R4, Inv. 59/5/21 (Taf. 13).
- Topf mit ausgebogenem, kantigem Rand 1 – RF 6, sek. g RA, Mdm 21, R7, Inv. 59/10/31 (Taf. 13).
- Topf mit ausgebogenem, kantigem Rand 3.1.1 – RF 4rot, Rillen Rand oben, R1, Inv. 59/1/31.
- Topf mit verdicktem, gerundetem Rand 1 – RF 7, Mdm 15, R10, Inv. 59/5/29 (Taf. 13; Abb. 101).
- Topf mit verdicktem, gerundetem Rand 2 – RF 4, sek. v, Mdm 19, R3, Inv. 59/10/52 (Taf. 13).
- Töpfe mit ausgebogenem, deutlich verdicktem Rand 2 – RF 6, K WA, Mdm 42, R10, Inv. 59/10/20 (Taf. 14). RF 4, sek. g RI, Mdm 18, R4, Inv. 59/10/36 (Taf. 13).
- Topf mit ausgebogenem Rand 1.1.1 – sek. v, Mdm 14, R34, Inv. 59/1/20 (Taf. 14).
- Topf mit ausgebogenem Rand 1.1.4 – RF 4, sek. g WA/RI, Mdm 16, R18, Inv. 59/5/31 (Taf. 14).
- Töpfe mit ausgebogenem Rand 1.4 – RF 5red, Dreh, Mdm 10, R10, Inv. 59/10/37 (Taf. 14). RF 5red, Dreh, Mdm 11, R9, Inv. 59/10/54 (Taf. 14).
- Töpfe mit ausgebogenem Rand 1.2.2 – RF 4, sek. Kochrückstände RI, Mdm 14, R15, Inv. 59/5/30 (Taf. 14). RF 4, sek. g RA/RI, Mdm 23, R6, Inv. 59/10/44 (Taf. 14). RF 4rot, Mdm 23, R7, Inv. 59/1/21 (Taf. 14). RF 4, hand/nach, sek. g WA/WI, Mdm 17, R9, Inv. 59/1/22 (Taf. 14). RF 6, sek. g RA/RI, Mdm 16, R6, Inv. 59/8/24 (Taf. 14). RF 6, sek. g RI, Mdm 19, R3, Inv. 59/10/51 (Taf. 14). RF 6, sek. g RI, Mdm 21, R4, Inv. 59/10/29 (Taf. 14).
- Topf mit ausgebogenem Rand 1.3 – RF 5red, Dreh, Ü WA, Mdm 19, R6, Inv. 59/10/45 (Taf. 14).
- Töpfe mit kurzem, ausgebogenem Rand 3 – RF 4, hand/nach, sek. g WA, Mdm 16, R10, Inv. 59/16/20 (Taf. 14). RF 6, hand/nach, sek. g WI, Mdm 20, R6, Inv. 59/10/25 (Taf. 14). RF 6, hand/nach, K WA, sek. g WA/WI, Pass 59/131, Mdm 15, R30, Inv. 59/5/24 (Taf. 14). RF 6, hand/nach, K/P WA, sek. g WA/RI, Mdm 17, R4, Inv. 59/10/21 (Taf. 14). RF 9, Mdm 26, R6, Inv. 59/5/37 (Taf. 14).
- Topf mit ausgebogenem, innen gekehltem Rand 1.1 – RF 9, Mdm 15, R3, Inv. 59/10/50 (Taf. 14).
- Töpfe – RF 5red, Dreh, Mdm 13, R12, Inv. 59/10/24 (Taf. 14). RF 5red, Dreh, Mdm 13, R7, Inv. 59/10/56. RF 5red, Dreh, massiver Standfuß, Wst 0,7, B1, Inv. 59/16/26. RF 5ox, Dreh, Wst 0,6, St/W1, Inv. 59/1/33.

Töpfe – RF 4, sek. g RA/RI, Mdm 12, R5, Inv. 59/8/26 (Taf. 14). RF 4, Mdm 16, R6, Inv. 59/13/26 (Taf. 14). RF 6, hand, K WA, plastische Leiste, Wst 0,8, W1, Inv. 59/16/25. RF grob, hand/nach, Wst 0,7, B1, Inv. 59/1/34. K WA, sek. v, Inv. 59/10/58. RF grob, hand/nach, Wst 0,7, B1, Inv. 59/1/34.

Form (?) – RF 5ox, Dreh, Rat WA, Wst 0,5, W1, Inv. 59/10/62. RF 5red, Dreh, Ü/Rat WA, Wst 0,6, W1, Inv. 59/8/30. RF 5red, Dreh, Rat WA, max. Wst 0,9, 7 Wfrgt., Inv. 59/1/29, 59/5/47–48, 59/10/60. 64, 59/17/23. RF 8red, Dreh, Ü/Rat WA, 5 Wfrgt. von 1 Gefäß, Wst 0,7, W5, Inv. 59/10/61. RF 5red, Dreh, max. Wst 0,7, 6 Bfrgt., Inv. 59/5/45, 59/8/33, 59/10/68, 59/13/37. RF 9, Dreh, Rad WA, Wst 0,4, 2 Wfrgt., Inv. 59/16/28, 59/17/25. RF 9, Dreh, B1, Wst 0,8, Inv. 59/10/70. RF 9ox, Dreh, B1, Wst 0,5, Inv. 59/10/71. RF 6, Dreh, B1, Wst 0,7, Inv. 59/17/21.

Form (?) – RF grob, Dreh, max. Wst 1,1, 9 Bfrgt., Inv. 59/5/46, 59/8/34, 59/13/36, 59/17/22. RF grob, hand/nach, max. Wst 0,9, 6 Bfrgt., Inv. 59/10/69, 59/16/29. RF grob, hand, K WA, max. Wst 0,9, 73 Wfrgt., Inv. 59/1/27, 59/5/44, 59/8/29, 59/10/59, 59/13/32, 59/16/27, 59/17/24.

Deckel – RF 5ox, Dreh, R1, Inv. 59/5/38. RF 5ox, Ü WA, sek. g RA/RI, Dm 24, R7, Inv. 59/10/34 (Taf. 14). RF 8ox, Ü WA, sek. v, R1, Inv. 59/8/28 (Taf. 14). RF 9, Dreh, Dm 10, R3, Inv. 59/18/20. RF 9, Dreh, Dm 36, R15, Inv. 59/13/23. RF 6, Dreh, Dm 30, R33, Inv. 59/4/20 (Taf. 14). RF 6, Dreh, Dm 32, R3, Inv. 59/13/25 (Taf. 14). RF 7, Dreh, Dm 6, R80, Inv. 59/19/20. RF 7, Dreh, Dm 8, R90, Inv. 59/20/20 (Taf. 14). RF 7, Dreh, Rad WA, Wst 0,9, W2, Inv. 59/10/65. RF 7, Dreh, sek. g W1, Dm 16, R11, Inv. 59/10/43 (Taf. 14). RF 7, Dreh, Dm 20, R6, Inv. 59/10/26 (Taf. 14). RF 7, Dreh, Dm 23, R10, Inv. 59/10/41. RF 4, Dreh, sek. g WA/RI, Dm 18, R7, Inv. 59/8/25. RF 4, Dreh, Dm 20, R3, Inv. 59/5/34. RF grob, Wst 0,5, R1, Inv. 59/13/33.

Spätantike Intrusion

Konischer Deckel mit geradem Rand – Blasenton, Wst 0,7, R1, Inv. 59/10/72.

Baustoff

Baukeramik – Imbrex, sek. v, 1, Inv. 59/10/73. Tubulus, 2, davon 1 mit geritzten Rauten WA, Inv. 59/5/50, 59/13/38. Form (?), 7, Inv. 59/1/32, 59/5/51, 59/16/24.

Hüttenlehm – verbrannt, Inv. 59/16/30.

Glas

Steilwandiger Becher mit nach außen gebogenem, verdicktem rund geschmolzenem Rand AR 98, IS 85 – durchsichtig zart blaugrün (319), horizontale lang gezogene Luftblasen, außen gekehlt, Mdm 12, R7, Wst 0,15–0,45, G 1,2, Inv. 59/25/1 (Taf. 14).

Vierkantiger oder zylindrischer Krug, AR 156–160 – durchsichtig saftgrün (577), Luftblasen, schwarze Einschlüsse/Verunreinigungen, H1 mit Wandansatz, Größe 4 × 2,9 × 1,6, Wst 0,45–0,6, G 8,4, Inv. 59/25/2 (Taf. 14).

Vierkantiger Krug AR 156, IS 50 (?) – durchsichtig, blaugrün (319) bis saftgrün (577), Luftblasen, Einschlüsse, formgeblasen, St1 (unregelmäßig), Größe 4,7 × 2,3, Bst. 0,3–0,35, G 4,1, Inv. 59/26/1 (Taf. 14).

Form (?) – durchsichtig, zart blaugrün, viele Luftblasen, W1, Wst 0,1, G 0,6, Inv. 59/26/2. Gefäß oder Fensterglas (?), durchsichtig, leicht blaugrün (570), Wst 0,15, W1, G 0,4, Inv. 59/26/3.

Metall

Tülle – Fe, im Querschnitt rechteckig, Größe 2,4 × 0,8 × 0,6 × 0,1, G 1,4, Inv. 59/27 (Taf. 14).

Stab – Fe, im Querschnitt quadratisch, Größe 12,8 × 1 × 1, G 51,8, Inv. 59/28 (Taf. 14).

Nagel – Fe, dreieckiger Kopf (bestoßen), im Querschnitt quadratischer Schaft, Größe/Kopf 1,5 × 1,6, Schaft 3,1 × 0,5 × 0,5, G 8,4, Inv. 59/29 (Taf. 14).

Periode 4.1 – Planierschicht (SE 60 = Tiefengraber 2002, SE 33), in Raum 1, 4,3 × 3,4 × 0,15–0,4.

Gesamtgewicht: Artefakte G 23599, Faunen G 2577,2, Summe G 26176,2.

Artefakte NMI: Regionale Gefäßkeramik: 132. Importkeramik: 15. Baukeramik: 2. Keramikgerät: 1. Münzen: 3. Metall: 2. Glas: 1.

Münzen

As Antoninus Pius RIC ? – Rom, Dat. 138/161, G 8,46, Inv. 60/3.

S Antoninus Pius RIC 582 – Rom, Dat. 139, G 20,09, Inv. 60/2.

Dp Marcus Aurelius und Lucius Verus (161/169): Marcus Aurelius MIR 166-8/50, RIC 961 – Rom, Dat. 168, G 12,57, Inv. 60/1.

Terra Sigillata

Schale Consp. 34 – Padana, W1, Inv. 60/8/8.

Schüsseln Drag. 37 – MG, gefiedertes Blatt (Rogers 1974, H37), Ranke, PATERNUS II, W1, Dat. 160–190, Inv. 60/14/2 (Taf. 14). MG, Perlstab, Ziermotiv, W1, Inv. 60/1/5 (Taf. 14).

Schale Drag. 33 – RZ, Mdm 14, R16, Inv. 60/8/10 (Taf. 15).

Schüsseln Drag. 37 – RZ, Eierstab (Ri.-Fi. E70), glatter Doppelbogen (Ri.-Fi. KB74), Mohnkopfmotiv (Ri.-Lud. Taf. 19, 5), JANUARIUS II, Mdm 18, R/W10, Inv. 60/41/1 (Taf. 15). RZ, gerippter Doppelkreis (Ri.-Fi. K56?), schmaler Perlstab, Blüte (?), W1, Inv. 60/22/5 (Taf. 14). RZ, Eierstab (Ri.-Fi. E26), glatter Kreis, nicht näher bestimmbar, W1, Inv. 60/22/4 (Taf. 14). RZ, Eierstab, nicht näher bestimmbar, W1, Inv. 60/8/9 (Taf. 15). RZ, Mdm 20, R5, Inv. 60/14/3 (Taf. 15). RZ, R1, Inv. 60/8/5 (Taf. 15).

Schüssel Drag. 42 – Mdm 26, R8, Inv. 60/5/3 (Taf. 15).

Italische Feinware

Schale, italische Feinware Plesničar-Gec 1977, Taf. 1, 76 – Dreh, Ü schwarz/Rat WA, R1, Inv. 60/16/20 (Taf. 15).

Rätische Feinware und deren Imitation

Becher, Rätische Ware Drexel 2b – Dreh, Ba/Rat WA, sek. v, W1, Inv. 60/13/37 (Taf. 15).

Becher, Imitation rätischer Ware Drexel 2b – RF 5ox, Dreh, Ü/Ba WA, Bdm 4,4, B/W100, Inv. 60/23/23 (Taf. 15).

Küchenkeramikimport

Pompeianisch roter Plattendeckel – Dreh, Mdm 29, R3, Inv. 60/4/21 (Taf. 15).

Transportkeramik

Dressel 6B – RF 86, Dreh, sek. v, Mdm 10, R20, Inv. 60/32/27 (Taf. 15).

Belträn 2 – Dreh, sek. Marke RA (?), Mdm 19, R15, G 75, Inv. 60/31/20 (Taf. 15).

Regionale Gebrauchskeramik

Imitationen Drag. 37 – RF 5ox, Dreh, sek. v, Mdm 20, R8, Inv. 60/32/26 (Taf. 15). RF 5red, Dreh, Mdm 19, R15, Inv. 60/9/30 (Taf. 15). RF 5red, Dreh, Mdm 18, R9, Inv. 60/7/23 (Taf. 15). RF 5red, Dreh, Mdm 15, R/W11, Inv. 60/13/27 (Taf. 15). RF 5ox, Dreh, Ü WA/WI, Mdm 15, R5, Inv. 60/35/23 (Taf. 15).

Schüsseln – RF 5red, Dreh, Mdm 18, R5, Inv. 60/4/26. RF 5red, Dreh, Mdm 26, R3, Inv. 60/7/33. RF 5red, Dreh, Mdm 20, R5, Inv. 60/16/25.

Schüsseln mit ausgebogenem Rand – RF 8ox, sek. g WA/WI, R1, Inv. 60/9/25. RF 5ox, Dreh, sek. g RA/R1, R1, Inv. 60/4/23 (Taf. 15).

Schüsseln mit eingezogenem Rand – RF 5red, Dreh, Mdm 28, R3, Inv. 60/26/27 (Taf. 15). RF 5red, Dreh, Mdm 25, R4, Inv. 60/4/22 (Taf. 15).

Reibschüsseln ohne Innenabsatz – RF 10, Dreh, Mdm 23, R10, Inv. 60/26/29 (Taf. 15). RF 10, Mdm 30, R14, Inv. 60/10/20 (Taf. 15). RF 10, Mdm 26, Bdm 13, R/B45, Inv. 60/10/24 (Taf. 15; Abb. 119). RF 10, Mdm 32, R10, Inv. 60/10/22 (Taf. 15). RF 10, Mdm 26, R10, Inv. 60/10/21 (Taf. 15).

Reibschüssel mit Innenabsatz – RF 5ox, Mischatmosphäre, Dreh, Mdm 25, R10, Inv. 60/26/30 (Taf. 15).

Dreifußschüssel 1 – RF 2, Dreh, sek. g WA/WI, Dm 23, R/W6, Inv. 60/13/22 (Taf. 15).

Dreifußschüsseln 1/3 – RF 6, Dreh, Mdm 28, R7, Inv. 60/26/20 (Taf. 15). RF 6, Dreh, sek. g WI, Mdm 21, R8, Inv. 60/21/24 (Taf. 15).

Dreifußschüsseln 4 – RF 4, Mdm 17, R5, Inv. 60/32/29 (Taf. 15). RF 7, Dreh, sek. g WA/WI, Mdm 16, R6, Inv. 60/35/21 (Taf. 15). RF 9, Mdm 26, R4, Inv. 60/32/23 (Taf. 15).

Dreifußschüsseln 7 – RF 4rot, Dreh, sek. g WA, Mdm 24, R5, Inv. 60/9/21 (Taf. 15). RF 4, Dreh, Mdm 20, R3, Inv. 60/13/31 (Taf. 15). RF 6, Dreh, Mdm 24, R3, Inv. 60/13/24 (Taf. 15).

Dreifußschüsseln – RF 5ox, sek. v, Wst 0,8, Fuß1, Inv. 60/9/34. RF 7, Dreh, Wst 0,7, Fuß/B1, Inv. 60/9/35. RF 7, hand/nach, Bdm 6, Fuß/B100, Inv. 60/19/20 (Taf. 16). RF 7, hand/nach, Stich- und Schnittspuren, sek. v, Bdm 5,5, Fuß/B100, Inv. 60/12/20 (Taf. 15). RF grob, Dreh, Wst 0,7, Fuß/B1, Inv. 60/26/39. RF grob, Dreh, Wst 1,2, Fuß1, Inv. 60/29/33. RF grob, Wst 1, Fuß/B1, Inv. 60/16/27. RF grob, Wst 0,5, R1, Inv. 60/32/31. RF grob, sek. g WA/WI, Wst 1,2, Fuß1, Inv. 60/32/30. RF 6, Dreh, Bdm 8, B25, Inv. 60/35/24 (Taf. 16).

Knickwandschüssel 6 – RF 9, Dreh, sek. g WA, Mdm 20, R6, Inv. 60/7/31 (Taf. 15).

Knickwandschüssel 1 – RF 2, Dreh, sek. v/Kochrückstände RA, Mdm 20, R/W10, Inv. 60/13/26 (Taf. 15).

Knickwandschüsseln mit Steilrand – RF 5red, Dreh, Mdm 23, R4, Inv. 60/21/27 (Taf. 16; Abb. 97). RF 6, Dreh, Mdm 25, R/W4, Inv. 60/26/26 (Taf. 16).

Teller mit eingebogenem Rand 1.1.1 – RF 5ox, Dreh, sek. g WA, Mdm 21, R/W5, Inv. 60/11/21 (Taf. 16). RF 5ox, Dreh, Wst 0,4, R1, Inv. 60/4/31. RF 8ox, Dreh, Ü WA/WI, sek. g WA, Mdm 21, R5, Inv. 60/9/20 (Taf. 16). RF 8ox, Dreh, Wst 0,5, R1, Inv. 60/7/47. RF 8ox, Dreh, Ü WI, Wst 0,5, R1, Inv. 60/29/36.

Teller mit eingebogenem Rand 1.1.2 – RF 5ox, Dreh, Ü WI, Mdm 21, R4, Inv. 60/7/29 (Taf. 16).

Teller mit eingebogenem Rand 1.2 – RF 5ox, Dreh, Ü WA/WI, sek. g WA, Mdm 28, Bdm 22, R/B77, Inv. 60/11/20 (Taf. 16; Abb. 98, 119). RF 5ox, Dreh, Ü WI, Mdm 26, Bdm 22, R/B15, Inv. 60/24/20 (Taf. 16). RF 5ox, Dreh, Ü WA/WI, sek. g WI, Mdm 28, R/W4, Inv. 60/13/30 (Taf. 16). RF 5ox, Dreh, Ü WA, sek. g WA, Mdm 26, R5, Inv. 60/32/21 (Taf. 16).

Teller mit eingebogenem Rand – RF 8ox, Dreh, Ü WA/WI, sek. g WA, Mdm 15, R8, Inv. 60/21/25 (Taf. 16).

- Teller mit Steilrand 1.2.1 – RF 5ox, Dreh, Ü WA/WI, sek. g WA, Mdm 18,5, Bdm 16,4, R/B26, Inv. 60/26/28 (Taf. 16).
- Faltenbecher mit Karniesrand – RF 5ox, Dreh, Ü WA/WI, Mdm 9, R9, Inv. 60/23/20 (Taf. 16). RF 5ox, Dreh, Ü WA/WI, Mdm 8,5, R15, Inv. 60/7/40 (Taf. 16; Abb. 99. 119). RF 5ox, Dreh, Ü WA/WI, Mdm 10, R6, Inv. 60/16/22 (Taf. 16). RF 5ox, Dreh, Mdm 11, R6, Inv. 60/29/26 (Taf. 16). RF 5ox, Dreh, Ü WA, R1, Inv. 60/29/28.
- Faltenbecher – RF 5ox, Dreh, Ü WA/WI/Sandbewurf WA, Wst 0,4, W1, Inv. 60/6/20. RF 5ox, Dreh, Ü WA/WI, Wst 0,5, 2 Wfrgt., Inv. 60/9/32. RF 5ox, Dreh, Ü WA, max. Wst 0,5, 3 Wfrgt., Inv. 60/7/42, 60/26/34. RF 5ox, Mischatmosphäre, Dreh, Ü WA, Wst 0,4, W1, Inv. 60/23/24. RF 5ox, hart gebrannt, Mischatmosphäre, Dreh, Ü WA, Wst 0,5, W1, Inv. 60/29/34. RF 5ox, Dreh, Wst 0,3, 2 Wfrgt., Inv. 60/4/29.
- Becher mit Karniesrand – RF 5ox, Dreh, Ü WA, Mdm 15, R7, Inv. 60/23/21 (Taf. 16). RF 5ox, Dreh, Mdm 14, R5, Inv. 60/13/33 (Taf. 16). RF 5ox, Dreh, Mdm 12, R6, Inv. 60/29/27 (Taf. 16). RF 5ox, Dreh, Mdm 11, R11, Inv. 60/32/37 (Taf. 16). RF 5ox, Mdm 8, R6, Inv. 60/4/25 (Taf. 16). Ü WA/WI, Mdm 14, R4, Inv. 60/21/29.
- Becher mit abgesetztem Rand – RF 5ox, Dreh, Ü WA, sek. v, Mdm 6, R10, Inv. 60/23/22 (Taf. 16; Abb. 119). RF 5ox, Dreh, sek. v, Mdm 10, R9, Inv. 60/13/32 (Taf. 16). RF 5ox, Dreh, R1, Inv. 60/7/36.
- Becher mit ausgebogenem Rand 1 – RF 9, Mdm 8, R5, Inv. 60/9/23 (Taf. 16).
- Becher mit ausgebogenem Rand 2.1 – RF 5red, Dreh, R1, Inv. 60/13/34 (Taf. 16). RF 9, Dreh, Rad WA, R1, Inv. 60/13/35 (Taf. 16).
- Becher mit ausgebogenem Rand 2.2 – RF 5ox, Dreh, Ü WA/WI, Mdm 13, R6, Inv. 60/13/28 (Taf. 16).
- Becher mit Steilrand und Innenabsatz 1.1 – RF 9, Dreh, Mdm 9, R14, Inv. 60/7/21 (Taf. 16).
- Becher – RF 5ox, Dreh, Ü/Rat WA, sek. g RA/RI, R1, Inv. 60/13/36. RF 5ox, Dreh, Ü WA/WI/Sandbewurf WA, Wst 0,4, W1, Inv. 60/4/30. RF 5ox, Dreh, Ü WA/WI/Sandbewurf WA, Wst 0,3, W1, Inv. 60/32/32. RF 5ox, Dreh, Ü WA, Wst 0,5, B/W1, Inv. 60/26/38. RF 5ox, Mischatmosphäre, Dreh, Ü WA/WI, Ü WI graugrün red gebrannt, Bdm 7, B10, Inv. 60/33/20 (Taf. 16). RF 5red, Dreh, Ü WA, Bdm 6,4, B/W100, Inv. 60/18/20 (Taf. 16). RF 9, Dreh, Rad WA, max. Wst 0,5, 2 Wfrgt., Inv. 60/21/37, 60/26/41. RF 9, Dreh, Wst 0,5, B1, Inv. 60/16/28. Dreh, Ü WA/WI/Sandbewurf WA, Wst 0,4, W1, Inv. 60/37/21.
- Krüge – RF 5red, H1, Inv. 60/7/32 (Taf. 16). RF 6, H1, Inv. 60/26/31 (Taf. 16). RF 6, H1, Inv. 60/29/25 (Taf. 16).
- Topf mit gerilltem Flachrand 1.2 – RF 4grob, K WA, Mdm 22, R13, Inv. 60/26/32 (Taf. 16), Lit. Bauer 1997, 96 Taf. 13, R142 (Riegersburg); Wagner 2000, 491 Taf. 19, 7 (Södingberg).
- Topf mit Dreiecksrand 6.1 – RF 4, hand/nach, sek. g WA, Mdm 14, R10, Inv. 60/35/20 (Taf. 16).
- Töpfe mit Dreiecksrand 6.2 – RF 4, sek. g RI, Mdm 16, R10, Inv. 60/37/20 (Taf. 16). RF 6, sek. g WA, Mdm 24, R5, Inv. 60/7/34 (Taf. 16).
- Topf mit unterschrittenem Dreiecksrand 2 – RF 9, sek. g RA, Mdm 20, R3, Inv. 60/9/26.
- Töpfe mit kurzem Rand und kantigem inneren Wandumbruch – RF 4, sek. v, Mdm 16, R4, Inv. 60/7/27 (Taf. 16). RF 4, R1, Inv. 60/21/28 (Taf. 16). RF 6, Dreh, Mdm 15, R8, Inv. 60/21/23 (Taf. 16).
- Töpfe mit ausgebogenem Rand 1.1.1 – RF 4, P WA (?), Mdm 19, R8, Inv. 60/32/22 (Taf. 16). RF 6, sek. g WA/RI, Mdm 14, R20, Inv. 60/4/20 (Taf. 16).
- Töpfe mit ausgebogenem Rand 1.4 – RF 5ox, Dreh, Ü WA, Mdm 11, R6, Inv. 60/7/30 (Taf. 16). RF 5ox, Dreh, Mdm 11, R10, Inv. 60/7/28 (Taf. 16). RF 5red, Dreh, Mdm 11, R8, Inv. 60/16/23 (Taf. 16). RF 5red, Dreh, Mdm 10, R10, Inv. 60/29/24 (Taf. 16). RF 8red, Dreh, Ü WA, Mdm 13, R6, Inv. 60/7/20. RF 9, Mdm 11, R8, Inv. 60/35/22 (Taf. 16). RF 9, Mdm 11, R6, Inv. 60/4/27 (Taf. 16).
- Topf mit ausgebogenem Rand 1.1.4 – RF 6, hand/nach, K WA, Mdm 27, R29, Inv. 60/9/29 (Taf. 17).
- Töpfe mit ausgebogenem Rand 1.2.2 – RF 5red, Dreh, Ü WA, Mdm 14, R8, Inv. 60/13/21 (Taf. 17). RF 4, sek. g RI, Mdm 25, R4, Inv. 60/16/21 (Taf. 16). RF 4, Mdm 19, R8, Inv. 60/29/20 (Taf. 17). RF 4, sek. g WA/WI, Mdm 19, R6, Inv. 60/26/21 (Taf. 17). RF 4, hand/nach, Mdm 20, R4, Inv. 60/29/22 (Taf. 17). RF 4, hand/nach, K WA, Mdm 16, R11, Inv. 60/7/39 (Taf. 17; Abb. 102. 119). RF 4, hand/nach, sek. g WA/RI, Mdm 14, R10, Inv. 60/29/21 (Taf. 17). RF 4, Mdm 16, R12, Inv. 60/32/20 (Taf. 17). RF 4, sek. g WA/WI, Mdm 15, R10, Inv. 60/26/22 (Taf. 17). RF 6, Mdm 15, R7, Inv. 60/32/24 (Taf. 17). RF 6, Mdm 23, R8, Inv. 60/9/28 (Taf. 17).
- Topf mit ausgebogenem Rand 2 – RF 4, Mdm 14, R16, Inv. 60/21/20 (Taf. 17).
- Topf mit ausgebogenem, innen gekehltem Rand 2 – RF 6, hand/nach, Mdm 14, R11, Inv. 60/26/25 (Taf. 17).
- Töpfe mit kurzem, ausgebogenem Rand 1 – RF 5ox, grob, Dreh, Mischatmosphäre, Mdm 24, R4, Inv. 60/26/23. RF 5red, R1, Inv. 60/21/30 (Taf. 17). RF 9, Dreh, Mdm 10, R10, Inv. 60/21/22 (Taf. 17).
- Töpfe mit kurzem, ausgebogenem Rand 1.1 – RF 4rot, sek. g WA, Mdm 17, R5, Inv. 60/21/31 (Taf. 17). RF 4, hand/nach, P WA, sek. g WA/WI, Mdm 25, R16, Inv. 60/38/20 (Taf. 17; Abb. 103. 119). RF 4, hand/nach, K WA/WI, Mdm 32, R7, Inv. 60/21/32 (Taf. 17). RF 9, Dreh, Mdm 20, R5, Inv. 60/13/25 (Taf. 17).
- Topf mit kurzem, ausgebogenem Rand 1.2 – RF 6, Dreh, Mdm 20, R4, Inv. 60/7/25 (Taf. 17).
- Topf mit verdicktem, gerundetem Rand 1 – RF 7, Mischatmosphäre, Mdm 13, R10, Inv. 60/21/21 (Taf. 17).
- Töpfe mit verdicktem, gerundetem Rand 2 – RF 4, hand/nach, K WA, sek. g WA/RI, Mdm 12, R25, Inv. 60/7/38 (Taf. 17). RF grob, sek. g RA/RI, Mdm 13, R8, Inv. 60/7/22 (Taf. 17).

Topf mit ausgebogenem, deutlich verdicktem Rand 2 – Tiefengraber 2002, 137 Taf. 10, 94.

Töpfe – RF 4, Mdm 11, R11, Inv. 60/29/23. RF grob, sek. v, Mdm 16, R6, Inv. 60/16/24. Tiefengraber 2002, 137 Taf. 10, 95.

Form (?) – RF 5red, Dreh, max. Wst 0,5, 3 Bfrgt., Inv. 60/7/43, 60/29/32. RF 5ox/red, Dreh, Wst 0,4, B1, Inv. 60/32/34. RF 5ox, Mischatmosphäre, Dreh, Ü WA, Wst 0,6, B/WI, Inv. 60/26/37. RF 8ox, Dreh, Wst 0,7, B1, Inv. 60/21/39. RF 8ox, Dreh, Rat WA, sek. v, Wst 0,7, W1, Inv. 60/29/35. RF 9, Dreh, Wst 1, 2 Bfrgt., Inv. 60/7/45.

Form (?) – RF grob, Dreh, Wst 0,8, B1, Inv. 60/21/36. RF grob, hand, K WA, davon 2 mit geschachteltem K WA, 1 mit vertikalem und horizontalem K WA, 1 mit horizontalem K WA, max. Wst 1,5, 127 Wfrgt., Inv. 60/4/32, 60/7/41, 60/9/37, 60/13/41, 60/16/26, 60/21/34, 60/26/33, 60/29/29–30, 60/32/35, 60/35/25. RF grob, hand/nach, K WA, max. Wst 1, 3 B/Wfrgt., Inv. 60/9/36, 60/21/35, 60/26/35. RF grob, hand/nach, max. Wst 1, 9 Bfrgt., Inv. 60/7/44, 60/13/42, 60/26/36, 60/29/31, 60/32/33.

Deckel – RF 5red, Dm 9, R12, Inv. 60/32/25 (Taf. 17). RF 5red, Mischatmosphäre, Dreh, Dm 30, R4, Inv. 60/32/28. RF 5ox, Mischatmosphäre, Dreh, Ü WA, Mdm 28, R5, Inv. 60/13/23 (Taf. 17). RF 8ox, Ü WA, sek. g RA, Dm 17, R4, Inv. 60/7/35. RF 9, Dreh, Mdm 25, R5, Inv. 60/21/26 (Taf. 17). RF 4, Dreh, sek. g WA/WI, Dm 19, R5, Inv. 60/9/22. RF 4, Dreh, Dm 20, R11, Inv. 60/13/29 (Taf. 17). RF 4, sek. g WA/WI, Dm 16, R3, Inv. 60/9/24. RF 4, sek. g WI, R1, Inv. 60/4/28. RF 4, K WA, Dm 22, R5, Inv. 60/9/27. RF 6, Dreh, sek. g RI, Mdm 25, R/W10, Inv. 60/13/20 (Taf. 17). RF 6, Dreh, Dm 54, R3, Inv. 60/26/24 (Taf. 17). RF 7, Dm 21, R6, Inv. 60/7/24. RF 11, Dreh, Dm 20, R3, Inv. 60/7/37 (Taf. 17). Sek. v, Dm 23, R4, Inv. 60/4/24. RF grob, Dreh, Wst 1,2, Knauf1, Inv. 60/9/33. RF grob, Dreh, Wst 1, R1, Inv. 60/7/46. RF grob, Wst 0,6, R1, Inv. 60/26/40. RF grob, Wst 0,5, R1, Inv. 60/13/40. RF grob, R1, Inv. 60/21/38. RF grob, Dreh, Wst 0,5, R1, Inv. 60/29/37.

Deckel oder Topf – RF grob, Rad WA, Wst 0,9, W1, Inv. 60/13/39.

Baustoff

Baukeramik – Tegula, mit Nut, 1, Inv. 60/7/50. Tubulus, 2, Inv. 60/26/42, 60/7/49. Mauerziegel, 1, Inv. 60/7/51. Form (?), 30, Inv. 60/21/33, 60/9/31, 60/7/48, 60/29/38.

Webgewicht

Orange, stark sandgemagert, sandig raue OF, Oberteil mit Teil der Bohrung, Größe 3,8 × 5,4 × 5,4, Inv. 60/28 (Taf. 17).

Glas

Steilwandiger Becher mit oben verdicktem rund geschmolzenem, außen leicht gekehltem Rand AR 98.1, IS 85b – durchsichtig zart olivgrün (582), olivgrüne Schlieren, kleine, gegen den Rand hin größere Luftblasen, Verunreinigungen, Wst 0,08, Mdm 6,8, R10, G 2,4, Inv. 60/42/1 (Taf. 17).

Becher oder Schale mit Röhrenstandring – durchsichtig saftgrün (577) bis olivgrün (581), grobe Heftnarbe, Bdm 3,4, B100, Bst. 0,3–0,45, G 7,6, Inv. 60/39 (Taf. 17).

Vierkantiger Krug – durchsichtig blaugrün (319), Größe 3,3 × 1,5, Wst 0,25–0,3, St1 (unregelmäßig), Wandansatz, G 2,4, Inv. 60/13 (Taf. 17). Vierkantiger oder zylindrischer Krug – durchsichtig blaugrün (319), plastischer Kreis, Größe 1,9 × 1,8, Wst 0,2–0,4, B1, G 1,8, Inv. 60/29 (Taf. 17).

Form (?) – durchsichtig farblos, beidseitig matt, Luftblasen, Wst 0,1, W1, G 1,6, Inv. 60/42/2. Durchsichtig, farblos, ohne Luftblasen, Wst 0,05, W1, G 0,07, Inv. 60/42/3. Durchsichtig, farblos, Luftblasen, Einschlüsse, WA/WI matt, Wst 0,1, W1, G > 0,4, Inv. 60/43. Relativ dick, nach oben dünner, viele, teils sehr große Luftblasen, WA matt, durchsichtig blaugrün (319), Wst 0,35–0,4, W1, G 4,4, Inv. 60/44.

Metall

Reifen mit D-förmigem Querschnitt – Ae, an einem Ende verjüngt, G 3,1, Dm 8, L 4,9, Br 0,7 × 0,2, Inv. 60/40 (Taf. 17).

Nagel mit kleinem ovalem Kopf und im Querschnitt quadratischem Schaft – Fe, Größe/Kopf 0,7 × 0,4, Schaft 4,5 × 0,3 × 0,3, G 3,2, Inv. 60/60/2 (Taf. 17).

Klinge (?) – Fe, im Querschnitt dreieckig, Größe 2,5 × 1,5 × 0,1–0,4, G 1, Inv. 60/62/1 (Taf. 17). Leicht gewölbt, im Querschnitt dreieckig, Größe 1,5 × 1,3 × 0,1–0,3, G 0,6, Inv. 60/62/2 (Taf. 17).

Mauerhaken – Fe, ein Ende um 90°, das andere leicht gewölbt und versetzt hochgebogen, im Querschnitt quadratisch bis rechteckig, Größe 19,9 × 1,2 × 1,2 bzw. 6,8 × 1,4 × 0,8, G 135, Inv. 60/63 (Taf. 17).

Blech – Fe, Enden gebogen, Größe 7,4 × 3,3 × 0,2, G 12,8, Inv. 60/60/1 (Taf. 17).

Form (?) – Fe, im Querschnitt oval-rechteckig, Größe 3,6 × 0,6 × 0,4, G 2, Inv. 60/61/1 (Taf. 17). Größe 1,4 × 1,6 × 0,9, G 2,2, Inv. 60/61/2 (Taf. 17).

Periode 4.1 – Planierschicht (SE 61), in Raum 2, 1,8 × 2,8 × 0,15–0,4.

Gesamtgewicht: Artefakte G 7292, Faunen G 344,96, Summe G 7636,96.

Artefakte NMI: Regionale Gefäßkeramik: 50. Importkeramik: 8. Spätantike Intrusion: 1. Baukeramik: 2. Metall: 3.

Terra Sigillata

Teller Consp. 39 – Padana, Ba RA, sek. Messerspuren WI, Mdm 16, R7, Inv. 61/2/1 (Taf. 18).

Teller Consp. 39 (?) – Padana, Mdm 16, R8, Inv. 61/4/1.

Teller Consp. 39/43 – Padana, Mdm 16, R5, Inv. 61/15/6.

Schüsseln Drag. 37 – MG, Eierstab (Rogers 1974, B85 [?]), CINNAMUS, WI, Dat. 135–170, Inv. 61/15/5 (Taf. 18). MG, Eierstab (Stanfield – Simpson 1990, Abb. 47, 1), Tier n. li., CINNAMUS, WI, Dat. 135–170, Inv. 61/15/8 (Taf. 18).

Schüsseln Drag. 37 – RZ, grober Perlbogen (Ri.-Fi. KB100), JULIUS II – JULIANUS I, Ware mit Eierstab E48, RESPECTINUS II, WI, Inv. 61/15/3 (Taf. 18). RZ, glatter Kreis (Ri.-Fi. K4), ATILUS, WI, Inv. 61/6/1 (Taf. 18).

Teller Drag. 18/31 – Dm 23, R8, Inv. 61/7/1.

Regionale Gebrauchskeramik

Imitation Drag. 37 – RF 5ox/red, Dreh, Mdm 22, R5, Inv. 61/12/25 (Taf. 18).

Imitation Drag. 44 – RF 5red, Dreh, Oberteil Rat WA, Bauchumbruch mit Profilleiste, WI, Inv. 61/1/35.

Schale mit ausgebogenem Rand – RF 5ox, Ü WA/WI, Wand gefaltet, Mdm 15, R5, Inv. 61/3/31 (Taf. 18).

Schale mit Karniesrand – RF 5ox, Dreh, Ü WA/WI/Sandbewurf WA, zugehöriges Unterteil, Mdm 18, R8, Inv. 61/3/28 (Taf. 18).

Räucherschale – RF 7, hand/nach, Kerben/Wellenlinie WA, WI, Inv. 61/3/30 (Taf. 18).

Schüsseln mit eingezogenem Rand – RF 5ox/red, Mischatmosphäre, R5, Mdm 27, Inv. 61/1/28 (Taf. 18; Abb. 97). RF 5red, Dreh, Pass 61/177, Mdm 23, R15, Inv. 61/3/33 (Taf. 18). RF 5red, Dreh, Mdm 30, R5, Inv. 61/6/20 (Taf. 18).

Schüsseln – RF 5red, Dreh, Wandleiste, WI, Inv. 61/1/29. RF 9, Dreh, Mdm 16, R3, Inv. 61/11/20.

Dreifußschüsseln 7 – RF 6, Dreh, Mdm 28, R5, Inv. 61/12/30 (Taf. 18). RF 6, Dreh, Mdm 22, R4, Inv. 61/12/24 (Taf. 18). RF 6, Dreh, Mdm 22, R4, Inv. 61/12/23 (Taf. 18).

Dreifußschüsseln – RF 5red, Wst 0,7, Fuß/B1, Inv. 61/12/38. RF 2, Wst 0,8, Fuß/B1, Inv. 61/12/36. RF 6, Wst 1, Fuß/B1, Inv. 61/12/37. RF 5ox, sek. Rille Fuß A, sek. Graffito X am Fuß WI, Fuß1, Inv. 61/3/35 (Taf. 18).

Becher mit Karniesrand – RF 5ox, Mdm 11, R7, Inv. 61/8/20 (Taf. 18).

Becher mit ausgebogenem Rand 1 – RF 7, Mdm 12, R5, Inv. 61/6/23 (Taf. 18).

Becher mit ausgebogenem Rand 3 – RF 5red, Ü/Rad WA, schwarzer Ü, Mdm 6, R10, Inv. 61/1/27 (Taf. 18; Abb. 99). Dreh, fein, grau, R1, Inv. 61/12/43.

Becher mit ausgebogenem, kantigem Rand 2 – RF 5ox, Dreh, Ü WA/WI, Mdm 6, R3, Inv. 61/12/22 (Taf. 18; Abb. 99).

Becher – Ü WA/WI/Sandbewurf WA, Mdm 4, R25, Inv. 61/8/21 (Taf. 18). Ähnlich RF 3, Dreh, OF geglättet, Rad/Wellenlinie WA, WI, Inv. 61/3/29 (Taf. 18).

Krug – RF 5red, H1, Inv. 61/1/24 (Taf. 18).

Topf mit eingezogenem Rand 3 – RF 5red, Dreh, Mdm 13, R15, Inv. 61/3/32 (Taf. 18).

Töpfe mit Dreiecksrand 3.2 – RF 3, Mdm 28, R7, Inv. 61/6/25 (Taf. 18). RF 1, Dreh, Mdm 20, R6, Inv. 61/12/29 (Taf. 18).

Topf mit Dreiecksrand 6.1 – RF 3, Mdm 28, R12, Inv. 61/3/25 (Taf. 18).

Topf mit unterschrittenem Dreiecksrand 1 – RF 4, Dreh, Mdm 22, R5, Inv. 61/1/23 (Taf. 18).

Töpfe mit ausgebogenem Rand 1.2.2 – RF 4, hand/nach, sek. g WA, Mdm 21, R6, Inv. 61/3/23 (Taf. 18). RF 4, P WA/RI, sek. g WA, Mdm 20, R10, Inv. 61/12/28 (Taf. 18). RF 4, hand/nach, Mdm 19, R5, Inv. 61/3/22 (Taf. 18). RF 4, hand/nach, Mdm 18, R8, Inv. 61/1/20 (Taf. 18). RF 2, Mdm 18, R5, Inv. 61/12/21 (Taf. 18). R1, Inv. 61/3/34 (Taf. 18). RF 1, P WA, Mdm 23, R10, Inv. 61/3/21 (Taf. 18).

Topf mit ausgebogenem Rand 2 – RF 4, hand/nach, sek. g RI, Mdm 28, R8, Inv. 61/3/24 (Taf. 18).

Topf mit kurzem, ausgebogenem Rand 1 – RF 6, sek. g WA, Mdm 26, R5, Inv. 61/12/26 (Taf. 18).

Topf mit kurzem, ausgebogenem Rand 1.1 – RF 6, hand/nach, Mdm 24, R8, Inv. 61/3/20 (Taf. 18).

Töpfe – Mdm 14, R10, Inv. 61/12/20. RF 5red, Drehscheibe (?), Glättung WA, WI, Inv. 61/6/26. RF 1, hand/nach, P WA, Mdm 18, R5, Inv. 61/1/34. RF 6, Dreh, Mdm 24, R5, Inv. 61/3/27 (Taf. 18). RF 7, Dreh, B1, Inv. 61/3/42. RF grob, Dreh, 2 Bfrgt., Inv. 61/1/32, 61/12/34. RF grob, hand/nach, K WA, 2 B/Wfrgt., 10 Bfrgt., Inv. 61/1/31, 61/3/40–41, 61/9/23, 61/12/33.

Form (?) – RF 5red, Dreh, 4 Bfrgt., Inv. 61/3/43, 61/12/35. RF 5red, St1, Inv. 61/6/29.

Form (?) – RF grob, hand, K WA, davon 1 mit K WA horizontal, 1 mit Kammstrichbündel, 1 K WA geschachtelt/K WI/P WA, max. Wst 1,3, 72 Wfrgt., Inv. 61/1/33, 61/3/37, 39, 61/6/28, 61/9/22, 61/10/20, 61/12/32.

Deckel – RF 4, R1, Inv. 61/6/27. RF 4, Dreh, R1, Inv. 61/12/40. RF grob, R1, Inv. 61/3/38. RF 2, Dreh, R1, Inv. 61/12/39. RF 5red, Dreh, R1, Inv. 61/6/31. RF 5red, R1, Inv. 61/1/30. RF 5ox, sek. g WA, Dm 26, R5, Inv. 61/1/21 (Taf. 18). RF 5red, Dm 10, R5, Inv. 61/1/22. RF 5red, sek. g WA, Mdm 24, R3, Inv. 61/6/22. RF 5red, Dm 10, R7, Inv. 61/6/21 (Taf. 18). RF 2, Dreh, sek. g WI, Dm 20, R3, Inv. 61/6/24 (Taf. 18). RF 2, Knauf1, oben konkav, Inv. 61/12/42. RF 3, Rad WA, W1, Inv. 61/12/41. RF 6, Mischatmosphäre, Dreh, dunkle OF/heller Kern, Dm 40, R7, Inv. 61/1/25 (Taf. 18). RF 6, Mischatmosphäre, dunkle OF/heller Kern, Dm 18, R3, Inv. 61/1/26. RF 7, Dreh, Dm 28, R3, Inv. 61/12/27.

Regionale Gebrauchskeramik – spätantike Intrusion

Topf mit kurzem, ausgebogenem Rand 1 – Blasenton, hand/nach, sek. g WA, Pass 61/76, Mdm 13, R/W15, Inv. 61/14/20 (Taf. 18).

Baustoff

Baukeramik – Tubulus, 1, Inv. 61/3/36, Tegula, 1, Inv. 61/9/20. Form (?), 2, Inv. 61/6/30, 61/9/21.

Hüttenlehm – 1, Inv. 61/12/31.

Glas

Vierkantgefäß – durchsichtig blaugrün (319), beidseitig matt, Luftblasen, Einschlüsse, Wst 0,3, W1, G 2,8, Inv. 61/22.

Fensterglas – durchsichtig, blaugrün (570), mattglänzend, auf einer Platte geformt, Luftblasen, Wst 0,4, W1, G 3,2, Inv. 61/23.

Form (?) – durchsichtig, Luftblasen, starke Kratzspuren, Wst 0,15 bzw. 0,2, W1, G 0,8, Inv. 61/24.

Metall

Trompetenfibel A 85 – Spirale mit acht Windungen, obere Sehne, im Querschnitt halbrunder Bügel mit halbrundem Bügelknopf, runde, schräg unter den Bügel ziehende Kopfplatte, im Querschnitt dreieckiger Fuß, kleiner Schlußknopf, hoher, rechteckiger Nadelhalter, komplett, Nadel in der Mitte gebrochen, L 4,2, Br 2,7, H 2,3, G 14,8, Inv. 61/17 (Taf. 18).

Fibel – Ae, Spirale mit acht Windungen und Sehne, L 1,9, Br 1,2, G 0,5, Inv. 61/16 (Taf. 18). Ae, Nadel mit drei Windungen und vollständiger Sehne, L 3,5, Br 1,2, G 6,4, Inv. 61/19 (Taf. 18).

Nadel – Ae, Kopf, komplett, mit flachem Ansatz der Nadel, Kopf mehrfach profiliert mit rundlichem Wulst im unteren Bereich, L 2,6, Dm 0,5, Größe/Schaft 0,4 × 0,1, G 2,2, Inv. 61/18 (Taf. 18). Ae, mit leicht kantig verdicktem Ende, 1 Frgt., L 3,4, Dm 0,1–0,15, G 1,1, Inv. 61/20 (Taf. 18). Fe, 1 Frgt., Größe 4,7 × 0,2, G 1,8, Inv. 61/30 (Taf. 18).

Blech – Ae, 1 Frgt., Größe 1,5 × 1,3 × 0,5, G 2,2, Inv. 61/21 (Taf. 18).

Frgt. – Fe, am Ende gebogen, im Querschnitt rechteckig, Größe 4,3 × 0,5 × 0,4, G 2,8, Inv. 61/29 (Taf. 18).

Periode 4.1 – Planierschicht (SE 66), südlich von M2 über Raum 4, 3,1 × 3,7 × 0,1–0,25.

Gesamtgewicht: Artefakte G 8118, Faunen G 3,2, Summe G 8121,2.

Artefakte NMI: Regionale Gefäßkeramik: 41. Importkeramik: 2. Neuzeitintrusion: 1. Baukeramik: 6.

Terra Sigillata

Teller/Schale Consp. 39/43 – Padana, sek. Graffito, Bdm 5, St55, Inv. 66/19/1 (Taf. 18).

Schüssel Drag. 37 – MG, Eierstab (Stanfield – Simpson 1990, Abb. 47, 3), CINNAMUS, W1, Dat. 135–170, Inv. 66/8/2 (Taf. 18).

Schüsseln Drag. 37 – RZ, glatter Doppelkreis der Art K19 (Ri.-Fi. K19a), W1, Inv. 66/8/3 (Taf. 18). RZ, Bdm 8, St15, Inv. 66/20/1 (Taf. 18).

Form (?) – W1, sek. Graffito WA, Inv. 66/8/1 (Taf. 18).

Imitation italischer Feinware

Imitationen italischer Feinware – Dreh, Ü WA/WI/Rat WA, 3 Wfrgt., Inv. 66/12/22–24.

Transportkeramik

Dressel 2–4 (?) – RF 91, Dreh, sek. Weinsinter (?), Wst 1,3, W2, G 95, Inv. 66/11/35.

Dressel 6B – RF 86, Dreh, Wst 1, W1, G 85, Inv. 66/5/29.

Regionale Gebrauchskeramik

Imitation Drag. 35 – RF 8ox, Dreh, Ü WA/WI, Mdm 8, R5, Inv. 66/5/20.

Schale mit ausgebogenem Rand – RF 8red, Dreh, Mdm 14, R5, Inv. 66/1/23 (Taf. 19).

Schüssel mit ausgebogenem Rand – RF 5red, Dreh, Mdm 16, R5, Inv. 66/7/23 (Taf. 19).

Schüssel mit eingezogenem Rand – RF 5red, Dreh, Mdm 42, R3, Inv. 66/4/28 (Taf. 19).

Schüsseln mit profiliertem Wandknick und gekehltem Oberteil – RF 5red, Dreh, Mdm 36, R4, Inv. 66/11/20 (Taf. 19). RF 5red, Dreh, Mdm 27, Bdm 18, R/B17, Inv. 66/3/20 (Taf. 19).

- Schüsseln – RF 8ox, Dreh, Ü WA/WI, mit zugehörigem St, Mdm 20, R5, Inv. 66/11/22 (Taf. 19). RF 5red, Dreh, Ü WA/WI, Mdm 21, R10, Inv. 66/4/27 (Taf. 19). RF 5red, Ü WA/WI/Rat WA, Wst 0,4, W1, Inv. 66/7/28.
- Teller mit eingebogenem Rand 1.1.1 – RF 8ox, Ü WA/WI, sek. g WA/WI, Mdm 17, R5, Inv. 66/12/20 (Taf. 19).
- Teller mit Innenabsatz – RF 5ox, Dreh, Ü WA, Wst 0,7, B1, Inv. 66/7/27.
- Dreifußschüssel 3 – RF 4, Mdm 21, R5, Inv. 66/1/24 (Taf. 19).
- Dreifußschüssel 5 – RF 9, Dreh, Mdm 22, R3, Inv. 66/7/21 (Taf. 19).
- Dreifußschüssel 7 – RF 6, Dreh, sek. g WA/WI, Mdm 27, R4, Inv. 66/4/20 (Taf. 19).
- Dreifußschüsseln – RF 7, Dreh, sek. g WA/WI, Wst 0,6, Fuß/B1, Inv. 66/7/32. RF grob, sek. g WI, Wst 0,5, W1, Inv. 66/7/33. RF grob, Wst 0,7, B1, Inv. 66/11/28.
- Knickwandschüssel 6 – RF 4, sek. Kochrückstände WI/RI, R/WI, Inv. 66/1/21 (Taf. 19).
- Knickwandschüssel 1 – RF 6, Mdm 18, R8, Inv. 66/7/20 (Taf. 19).
- Becher mit Karniesrand – RF 5ox, Dreh, R1, Inv. 66/7/22 (Taf. 19).
- Becher mit Steilrand und Innenabsatz 1.1 – RF 9, Mdm 12, R4, Inv. 66/12/21 (Taf. 19).
- Becher mit ausgebogenem Rand 3 – RF 5red, Dreh, sek. Graffito WA (?), Mdm 8, R30, Inv. 66/11/24 (Taf. 19; Abb. 99).
- Becher mit ausgebogenem, kantigem Rand 2 – RF 9ox, Dreh, Mdm 8, Bdm 4,6, R/B25, Inv. 66/2/20 (Taf. 19).
- Faltenbecher – RF 5ox, Dreh, Ü WA/WI/Sandbewurf WA, Wst 0,2, W1, Inv. 66/7/31. RF 5ox, Mischatmosphäre, Dreh, Wst 0,4, W1, Inv. 66/7/29.
- Becher – RF 5red, Dreh, Rad WA, max. Wst 0,4, 2 Wfrgt., Inv. 66/11/32, 66/4/41. RF 5red, Dreh, Rat WA, Wst 0,2, W1, Inv. 66/11/36. RF 5red, Dreh, Wst 0,4, B/W2, Inv. 66/5/27. RF 8red, Mdm 12, R5, Inv. 66/5/21. RF 8red, Dreh, Wst 0,3, R1, Inv. 66/15/20. RF 9ox, Dreh, Rad WA, Wst 0,3, W1, Inv. 66/7/30. RF 9, Dreh, Rad WA, Wst 0,4, W1, Inv. 66/11/34. RF 4, hand/nach, Rad WA, Wst 0,4, W1, Inv. 66/14/21.
- Topf mit gerilltem Flachrand 1.2 – RF 4, R1, Inv. 66/1/25 (Taf. 19).
- Topf mit Dreiecksrand 3.2 – RF 4, sek. g WI, Mdm 16, R6, Inv. 66/11/23 (Taf. 19).
- Töpfe mit Dreiecksrand 4.3 – RF 6, P WA, Mdm 16, R5, Inv. 66/4/25 (Taf. 19). RF 6, Mdm 11, R7, Inv. 66/1/27 (Taf. 19).
- Topf mit Dreiecksrand 5.2.1 – RF 11, Mdm 20, R5, Inv. 66/1/22 (Taf. 19).
- Topf mit Dreiecksrand 6.1 – RF 6, Pass 66/67, Mdm 26, R19, Inv. 66/4/30 (Taf. 19).
- Topf mit ausgebogenem Rand 1.1.1 – RF 8red, R1, Inv. 66/4/33.
- Topf mit ausgebogenem Rand 1.4 – RF 8red, Mischatmosphäre, Dreh, Mdm 12, R7, Inv. 66/4/32 (Taf. 19).
- Töpfe mit ausgebogenem Rand 1.2.2 – RF 4, hand/nach, K WA, sek. g WA/RI, Mdm 17, R18, Inv. 66/4/21 (Taf. 19). RF 4, P WA, sek. g RI, Mdm 15, R15, Inv. 66/14/20 (Taf. 19). RF 4, sek. g WA, R1, Inv. 66/4/29 (Taf. 19). RF 4, sek. g WA/WI, Mdm 15, R5, Inv. 66/4/31 (Taf. 19). RF 4, sek. g WA, Mdm 16, R3, Inv. 66/11/25 (Taf. 19).
- Topf mit ausgebogenem Rand 1.3 – RF 4, Dreh, sek. g WA/RI, Mdm 10, R14, Inv. 66/4/22 (Taf. 19).
- Form (?) – RF 5ox, Dreh, Rat WA, W1, Wst 0,4, Inv. 66/1/32. RF 5red, Dreh, Rad WA, max. Wst 0,5, 2 Wfrgt., Inv. 66/15/21, 66/5/24. RF 5red, Dreh, Wst 0,6, B1, Inv. 66/11/33. RF 5red, Dreh, Wst 0,5, St2, Inv. 66/1/31. RF 9, Dreh, Rad WA, Wst 0,6, 3 Wfrgt., Inv. 66/1/29. Dreh, Rad WA, Wst 0,4, W1, Inv. 66/5/28.
- Form (?) – RF grob, Dreh, max. Wst 1,3, 4 Bfrgt., 3 B/Wfrgt., Inv. 66/1/33, 66/4/37, 66/5/26, 66/7/24, 66/11/31. RF grob, Dreh, Rad WA, Wst 0,4, W1, Inv. 66/5/25. RF grob, hand/nach, K WA, davon 1 mit plastischer Leiste, max. Wst 1,1, 72 Wfrgt., Inv. 66/1/20 (Taf. 19), 66/1/28, 66/4/24 (Taf. 19), 66/4/34, 66/5/22, 66/6/20, 66/7/26, 66/11/26. RF grob, hand/nach, davon 1 K WA, max. Wst 1,4 Bfrgt., B/W1, Inv. 66/4/38, 66/7/25, 66/17/21.
- Deckel – RF 5red, Dreh, Wst 0,7, R1, Inv. 66/4/39. RF 5ox, sek. g RA, Dm 25, R4, Inv. 66/1/26. RF 9, Dreh, Rad WA, Wst 0,5, W1, Inv. 66/4/40. RF 4, Dreh, sek. g WA/WI, Dm 25, R3, Inv. 66/17/20. RF 4, Dreh, sek. g WA/WI, Dm 30, R9, Inv. 66/4/23 (Taf. 19). RF 4, Dreh, sek. g WI, Dm 30, R4, Inv. 66/11/21. RF 6, Dreh, sek. g WA/WI, Dm 22, R7, Inv. 66/4/26 (Taf. 19). RF grob, Dreh, Wst 0,8, R1, Inv. 66/1/30. RF 7, Mischatmosphäre, Dreh, sek. Graffito, Knauf1, Inv. 66/4/36 (Taf. 19). RF grob, Dreh, Rad WA, Wst 0,9, W1, Inv. 66/11/29.

Neuzeitintrusion

- Topf mit Karniesrand – RF 5ox, Dreh, Mdm 15, R4, Inv. 66/11/37 (Taf. 19).

Baustoff

- Baukeramik – Imbrex, teils sek. v, 4, Inv. 66/5/23, 66/10/21, 66/11/27. Tegula, 1, Inv. 66/10/22. Mauerziegel, 1, Inv. 66/10/20. Form (?), 1, Inv. 66/15/22.
- Hüttenlehm – verbrannt, 1, Inv. 66/10/23.
- Mörtel – 1, G 10, Inv. 66/11/30.

Glas

- Formgeblasener Krug (?) – zart blaugrün (319), Wst 0,2, W1, G 0,4, Inv. 66/16.
- Form (?) – durchsichtig klar, zart gelbbraun–gelboliv (117), runde Luftblasen, sek. Verunreinigung, Wst 0,3–0,4, W1, G 2,4, Inv. 66/18.

Metall

Frgt. – Ae, Oberteil trapezförmig verdickt, Unterteil dreikantig und am Rand kurz umgebogen, L 2,3, Br 0,1–0,4, H 0,7–0,9, G 1,6, Inv. 66/9 (Taf. 19).

Periode 4.1 – Planierschicht (SE 67 = Tiefengraber 2002, SE 34), südlich von M3, 7,74 × 5,54 × 0,1–0,25.

Gesamtgewicht: Artefakte G 15685, Faunen G 43,34, Summe G 15728,34.

Artefakte NMI: Regionale Gefäßkeramik: 99. Importkeramik: 12. Spätantike Intrusion: 1. Neuzeitintrusionen: 3. Lampen: 2. Baukeramik: 3. Glas: 6. Münze: 1. Metall: 5.

Münze

Dp Domitianus RIC ? – Rom, G 8,32, Dat. 85/96, Inv. 67/1.

Lampe

Lampen – Ü WA/WI, sek. ge Schnauze, R/WI, Inv. 67/32/20 (Taf. 19). RF 5ox, Ü WA/WI, R1, Inv. 67/6/22 (Taf. 19).

Terra Sigillata

Schale Consp. 45 – Padana, Mdm 10, R4, Inv. 67/17/45.

Teller Consp. 20 – Padana, W1, Inv. 67/2/1. W1, Inv. 67/11/5.

Teller Consp. 39 und Consp. 39/41 – Padana, BaRa, Mdm 28, R4, Inv. 67/11/8 (Taf. 20). Padana, Bdm 8, St/W15, Inv. 67/11/1.

Teller Drag. 18/31 – MG, Mdm 31, R6, Inv. 67/18/9 (Taf. 20).

Schüssel Drag. 37 – Banassac, Eierstab (Hofmann 1988, Abb. 18, E), sitzende weibliche Figur (Hofmann 1988, Nr. 112, jedoch vollständig erhalten), Blüte (ähnlich Hofmann 1988, Taf. 42, 289), Säule (Hofmann 1988, Taf. 44, 300), NATALIS, W1, Dat. 110–150, Inv. 67/11/4 (Taf. 19).

Schale Drag. 33 – RZ, Mdm 10, R22, Inv. 67/18/2 (Taf. 20).

Schüsseln Drag. 37 – RZ, Eierstab (Ri.-Fi. E23), sitzender Hase n. li. (Ri.-Fi. T163), Bär n. re. (Ri.-Fi. T63), Astragal (Ri.-Fi. O206), gezacktes Doppelblättchen (Ri.-Fi. P145), gerippter Doppelbogen (Ri.-Fi. KB136), B. F. ATTONI, Mdm 20, R3, Inv. 67/5/7 (Taf. 20). RZ, springender Hirsch n. li. (Ri.-Fi. T96a), Löwe n. re. (Ri.-Fi. T19a), glatter Doppelkreis mittlerer Größe (Ri.-Fi. K19), MAMMILIANUS, W1, Inv. 67/5/1 (Taf. 19). RZ, Dreifuß (Ri.-Fi. O11), gerippter Doppelkreis (Ri.-Fi. K56), COMITALIS III, W1, Inv. 67/25/3 (Taf. 19). RZ, Eierstab (Ri.-Fi. E19), IANUARIUS I, Art des IANU I, MAMMILIANUS, W1, Inv. 67/18/5 (Taf. 19).

Schale Drag. 33 – Bdm 4, St/W60, Inv. 67/5/3 (Taf. 20).

Imitation italischer Feinware

Schale, Imitation italischer Feinware Plesničar-Gec 1977, Taf. 1, 37 – red, Dreh, Ba WA, Mdm 9, R7, Inv. 67/12/21 (Taf. 20).

Schalen, Imitation italischer Feinware Plesničar-Gec 1977, Taf. 1, 27–28 – red, Dreh, Ba WA, Mdm 9, R6, Inv. 67/19/21 (Taf. 20). W1, 67/6/23 (Taf. 20).

Imitation rätischer Feinware

Becher, Imitation rätischer Ware Drexel 2b – RF 5ox, Dreh, Ba WA/Ü WA/WI, Mdm 8, R14, Inv. 67/6/21 (Taf. 20).

Becher, Imitation rätischer Ware Drexel 3b – RF 5ox, Mischatmosphäre, Dreh, Ü/Rat WA, Mdm 10, Bdm 6, R/B45, Inv. 67/14/20 (Taf. 20).

Becher, Imitation rätischer Ware Drexel 2/3b – RF 5ox, Dreh, Ü WI, Mdm 9, R3, Inv. 67/13/33 (Taf. 20).

Imitation rätischer Ware – RF 5ox, Mischatmosphäre, Dreh, Ü/Rat WA, 2 Wfrgt., Inv. 67/13/32, 67/13/31. RF 5ox, Mischatmosphäre, Dreh, Ba WA, R4, Inv. 67/4/41 (Taf. 20).

Becher, Feinwareimitation – RF 8ox, Dreh, OF geglättet, feine Drehrollen WA, Wst 0,3, W1, Inv. 67/10/36.

Transportkeramik

Dressel 6B – Dreh, Wst 1,5, W1, G 15, Inv. 67/17/57.

Regionale Gebrauchskeramik

Imitationen TS-Teller – RF 5ox, Dreh, Mdm 19, R5, Inv. 67/24/22 (Taf. 20). RF 5ox, Dreh, Ü WA, Mdm 13, R8, Inv. 67/24/25 (Taf. 20). RF 5ox, Dreh, Mdm 12, R6, Inv. 67/17/46 (Taf. 20).

Imitation TS – RF 5red, Dreh, R1, Inv. 67/24/30.

Schüssel, Imitation TS (?) – RF 5ox, Dreh, Ü WA/WI, Wand mit Profilierung, Wst 0,5, W1, Inv. 67/6/25.

Schüssel mit ausgebogenem Rand – RF 8red, Mischatmosphäre, Dreh, Mdm 34, R4, Inv. 67/17/39 (Taf. 20).

Schüsseln mit eingezogenem Rand – RF 5red, Dreh, Ü WI, Mdm 29, R3, Inv. 67/17/38 (Taf. 20). RF 5ox, Dreh, Mdm 24, R7, Inv. 67/10/22 (Taf. 20). RF 5ox, Dreh, Ü WI, Mdm 16, R7, Inv. 67/13/29 (Taf. 20).

- Schüsseln mit profiliertem Wandknick und gekehltm Oberteil – RF 5red, Ü RI, Mdm 20, R5, Inv. 67/17/43 (Taf. 20). RF 5red, Dreh, Mdm 18, R6, Inv. 67/3/22 (Taf. 20).
- Schüsseln – RF 5red, Dreh, Wandknick mit Profilierung, Wst 0,7, W1, Inv. 67/3/30. RF 5red, Dreh, profilierter Wandknick, Wst 0,4, W1, Inv. 67/24/31. RF 5red, Dreh, Mdm 15, R7, Inv. 67/10/40 (Taf. 20).
- Reibschüsseln – RF 10, Wst 1,7, W1, Inv. 67/4/54. RF 11, Dreh, Kragen1, Inv. 67/17/25 (Taf. 20).
- Dreifüßschüssel 1/3 – RF 11, hand/nach, sek. g WA/WI, Mdm 23, R10, Inv. 67/13/21 (Taf. 20).
- Dreifüßschüsseln 3 – RF 9, Mdm 22, R3, Inv. 67/10/25 (Taf. 20). RF 4, Dreh, K WA, Mdm 40, R6, Inv. 67/17/21 (Taf. 20; Abb. 97).
- Dreifüßschüsseln 4 – RF 7, Dreh, sek. Kochrückstände WA/WI, Mdm 14, Bdm 4,8, R/B29, Inv. 67/22/20 (Taf. 20; Abb. 97). RF 4, Dreh, sek. g RA/WI, Mdm 20, R8, Inv. 67/17/29 (Taf. 20).
- Dreifüßschüsseln 7 – RF 7, Dreh, Mdm 27, R8, Inv. 67/4/25 (Taf. 20). RF 9, Dreh, sek. g WA, Mdm 20, R9, Inv. 67/10/21 (Taf. 20). Tiefengraber 2002, 137 Taf. 10, 97.
- Dreifüßschüsseln – RF 4, Wst 0,7, Fuß1, Inv. 67/17/56. RF 4, Dreh, R1, Inv. 67/17/47. Mdm 16, R5, Inv. 67/26/20.
- Knickwandschüssel 6 – RF grob, hand, K WA, Wst 0,9, W9, Inv. 67/13/35.
- Knickwandschüsseln 1 – RF 4, Dreh, sek. v, Mdm 23, R10, Inv. 67/4/26 (Taf. 20). RF 6, sek. v, R1, Inv. 67/17/48 (Taf. 20).
- Knickwandschüssel 2 – RF 9, Dreh, Mdm 23, R19, Inv. 67/4/20 (Taf. 20; Abb. 97).
- Schüsseln – Mdm 20, R3, Inv. 67/17/40. RF 4, Mdm 16, R4, Inv. 67/17/35 (Taf. 20).
- Teller mit eingebogenem Rand 1.1.1 – RF 5ox, Dreh, Ü WA/WI, sek. v RA, Mdm 20, Bdm 16,4, R/B25, Inv. 67/10/23 (Taf. 20; Abb. 119). RF 5ox, Dreh, Mdm 20, R3, Inv. 67/4/37 (Taf. 20). RF 8ox, Dreh, Ü WA, R1, Inv. 67/24/24 (Taf. 20).
- Teller mit eingebogenem Rand 1.1.2 – RF 5red, Mischatmosphäre, Dreh, Mdm 24, R5, Inv. 67/3/20 (Taf. 20; Abb. 98).
- Teller mit eingebogenem Rand 1.2 – RF 5ox, Ü WA/WI, sek. g WA, sek. Graffito bzw. Messerspuren WI, Pass 61/67, Mdm 26, R17, Inv. 67/4/32 (Taf. 20). RF 5ox, Dreh, Ü RA/WI, sek., Mdm 20, R7, Inv. 67/17/28 (Taf. 20). RF 5ox, Dreh, Ü WI, sek. g WA/WI, Mdm 23, R4, Inv. 67/4/42.
- Teller mit eingebogenem Rand – RF 5red, Dreh, Mdm 21, R7, Inv. 67/4/35 (Taf. 20).
- Teller mit Steilrand 1.2.2 – RF 5ox, Dreh, Ü WI, Mdm 14, R5, Inv. 67/4/36 (Taf. 20; Abb. 98).
- Teller – RF 8ox, Dreh, Wst 0,4, B1, Inv. 67/10/29.
- Faltenbecher mit Karniesrand – RF 5ox, Mischatmosphäre, Dreh, Ü WA/RI, Mdm 9, R29, Inv. 67/6/20 (Taf. 20).
- Faltenbecher – RF 5ox, Ü WA/WI/Sandbewurf WA, Wst 0,2, W1, Inv. 67/19/22. RF 5ox, Mischatmosphäre, Dreh, 1 mit Ü WA, 1 mit Ü WA/WI, Wst 0,4, 3 Wfrgt., Inv. 67/4/50. RF 5ox, Mischatmosphäre, Dreh, max. Wst 0,5, 2 Wfrgt., Inv. 67/3/31, 67/14/21. RF 5ox, Dreh, Wst 0,3, 2 Wfrgt., Inv. 67/6/26, 67/10/35. RF 9, Dreh, Wst 0,4, W1, Inv. 67/10/34.
- Becher mit ausgebogenem Rand 1 – RF 9, Dreh, Rad WA, Mdm 11, R7, Inv. 67/10/20 (Taf. 21). RF 9, Dreh, Rad WA, Mdm 8, R25, Inv. 67/23/20 (Taf. 21; Abb. 99).
- Becher mit ausgebogenem Rand 2.2 – RF 8ox, Dreh, Mdm 7, R10, Inv. 67/10/24 (Taf. 20).
- Becher mit ausgebogenem Rand 3 – RF 5red, R1, Inv. 67/3/26 (Taf. 21).
- Becher mit ausgebogenem, kantigem Rand 2 – RF 11, Dreh, Mdm 9, R10, Inv. 67/12/20 (Taf. 21).
- Becher mit ausgebogenem, kantigem Rand 3 – RF 4, Mdm 12, R9, Inv. 67/3/24 (Taf. 21).
- Becher – RF 5red, Dreh, Rad WA, Wst 0,4, W1, Inv. 67/24/32. RF 5red, Dreh, Wst 0,5, B/W1, Inv. 67/24/29. RF 9, Bdm 6, B10, Inv. 67/24/21.
- Krug mit ausgebogenem Rand – RF 5ox, Streichbrett WI, Mischatmosphäre, Dreh, Mdm 12, R15, Inv. 67/3/25 (Taf. 21; Abb. 119).
- Krug mit ausgebogenem, innen gekehltm Rand – RF 5ox, Dreh, Mdm 9, R17, Inv. 67/10/26 (Taf. 21).
- Krüge – RF 4, H1, Inv. 67/17/26 (Taf. 21). RF 5red, Dreh, H1, Inv. 67/24/20. RF 9, Dreh, WI mit Henkelansatz, Inv. 67/4/38 (Taf. 21).
- Topf mit Dreiecksrand 3.1 – RF 9, Mdm 19, R10, Inv. 67/24/23 (Taf. 21).
- Topf mit Dreiecksrand 4.1 – RF 4rot, hand/nach, K WA, sek. g WA/WI, Mdm 15, R24, Inv. 67/4/23 (Taf. 21).
- Töpfe mit Dreiecksrand 5.2.1 – RF 4, Mdm 20, R7, Inv. 67/4/40 (Taf. 21). RF 6 hart, P WA, sek. g RA/RI, Mdm 15, R13, Inv. 67/17/32 (Taf. 21; Abb. 100). RF 6, hand/nach, Mdm 14, R15, Inv. 67/13/25 (Taf. 21).
- Topf mit Dreiecksrand 6.1 – RF 4rot, Dreh, sek. g WI, Mdm 15, R11, Inv. 67/4/21 (Taf. 21).
- Töpfe mit unter schnittenem Dreiecksrand 1 – RF 6, sek. g RA/RI, Mdm 28, R6, Inv. 67/17/23 (Taf. 21). RF 9, Mdm 36, R6, Inv. 67/13/22 (Taf. 21).
- Topf mit verdicktem, gerundetem Rand 2 – RF 4, hand/nach, P WA, sek. g RA, Mdm 40, R3, Inv. 67/17/30 (Taf. 21).

- Topf mit ausgebogenem, deutlich verdicktem Rand 1.1 – RF 4, hand/nach, sek. g RI, Mdm 44, R5, Inv. 67/4/29 (Taf. 21; Abb. 101).
- Topf mit ausgebogenem, kantigem Rand 3.3.1 – RF 4, sek. v, Mdm 19, R3, Inv. 67/13/28 (Taf. 21).
- Topf mit ausgebogenem Rand 1.1.1 – RF 5red, Mdm 21, R7, Inv. 67/4/39 (Taf. 21).
- Töpfe mit ausgebogenem Rand 1.1.4 – RF 9, grobe Magerung, Mdm 26, R17, Inv. 67/4/24 (Taf. 21), RF 6, Mdm 21, R8, Inv. 67/4/31 (Taf. 21). RF 6 hart, Mdm 18, R13, Inv. 67/17/22 (Taf. 21; Abb. 102).
- Töpfe mit ausgebogenem Rand 1.4 – RF 5red, Mischatmosphäre, Dreh, sek. durchlocht (?), Mdm 15, R7, Inv. 67/3/21 (Taf. 21). RF 5red, Dreh, Mdm 15, R6, Inv. 67/3/23 (Taf. 21). RF 5red, Streichbrett WI, Mdm 11, R19, Inv. 67/17/24 (Taf. 21). RF 5red, Dreh, Mdm 10, R10, Inv. 67/4/34. RF 5ox, Dreh, Streichbrett WI, Rat WA, Mdm 12, R30, Inv. 67/19/20 (Taf. 21; Abb. 119). RF 5ox, Dreh, Streichbrett WI, Mdm 10, R14, Inv. 67/6/24 (Taf. 21).
- Töpfe mit ausgebogenem Rand 1.2.2 – RF 4, K WA, sek. g WA, Mdm 16, R20, Inv. 67/4/27 (Taf. 21), RF 6, hand/nach, sek. v, Mdm 14, R9, Inv. 67/13/27 (Taf. 21).
- Töpfe mit kurzem, ausgebogenem Rand 1.1 – RF 9, Dreh, Mdm 24, R5, Inv. 67/17/20 (Taf. 21). RF 7, hand/nach, Henkelansatz, Mdm 16, R10, Inv. 67/17/33 (Taf. 22).
- Töpfe mit kurzem, ausgebogenem Rand 3 – RF 4, hand/nach, K WA horizontal, Mdm 15, R13, Inv. 67/28/20 (Taf. 21). RF 4rot, K WA horizontal/P RA/RI, Mdm 14, R4, Inv. 67/4/22 (Taf. 21).
- Topf mit ausgebogenem, unterschnittenem Rand – RF 6, P RA, Mdm 25, R3, Inv. 67/13/26 (Taf. 21).
- Töpfe – RF 4, K WA, plastische Leiste, WI, Inv. 67/17/41 (Taf. 21). RF 4, Bodenmarke, B1, Inv. 67/17/34 (Taf. 22). RF 9, Bodenmarke, Bdm 13, B32, Inv. 67/17/42 (Taf. 22). RF grob, hand/nach, K WA, Wst 1,2, B1, Inv. 67/24/28. RF grob, hand/nach, Wst 0,8, B1, Inv. 67/27/22. Tiefengraber 2002, 137 Taf. 10, 96.
- Form (?) – RF 5ox, Dreh, Ü WA, massiver Standfuß/B1, Wst 1, Inv. 67/4/49. RF 5ox, Dreh, Wst 1, St/B1, Inv. 67/4/48. RF 5ox, Mischatmosphäre, Dreh, Ü/Rat WA, WI, Inv. 67/13/39. RF 8ox, Dreh, Ü WA, sek. v, Standfuß/B1, Inv. 67/10/31. RF 5red, Dreh, max. Wst 0,6, 3 St-/Bfrgt., Inv. 67/3/29, 67/4/30 (Taf. 20), 67/21/23. RF 5red, Mischatmosphäre, Dreh, Ü WA, Wst 0,6, B/W1, Inv. 67/4/51. RF 8red, Dreh, Wst 0,6, St/B1, Inv. 67/10/32. RF 9, Dreh, Rad WA, max. Wst 0,7, 8 Wfrgt., Inv. 67/3/28, 67/10/33, 67/13/42, 67/17/53, 67/21/20. RF 9, Dreh, B1, max. Wst 0,9, 3 Bfrgt., Inv. 67/4/47, 67/17/55, 67/21/22. Dreh, Rad WA, Wst 0,7, 2 Wfrgt., Inv. 67/4/46.
- Form (?) – RF grob, Dreh, Wst 0,8, 2 Bfrgt., Inv. 67/10/30. RF grob, hand, K WA, max. Wst 0,9, 146 Wfrgt., Inv. 67/3/27, 67/4/43, 67/10/28, 67/17/52, 67/21/24, 67/24/27, 67/27/23. RF grob, hand, K/P WA, Wst 0,8, 2 Wfrgt., Inv. 67/4/44. RF grob, hand/nach, mit/ohne K WA, 1 Frgt. mit konzentrischen Bodenmarken, B4, max. Wst 0,9, 10 Bfrgt., Inv. 67/4/45, 67/13/34, 67/17/54.
- Deckel – RF 5ox, Dreh, einer mit Ü WA/WI, 2 Rfrgt., Inv. 67/13/38. RF 9, Dreh, Wst 0,7, R1, Inv. 67/10/37. RF 5ox, Dreh, mit/ohne Ü WA, mit/ohne sek. g RI, max. Wst 0,7, 3 Rfrgt., Inv. 67/17/58, 67/24/33. RF 5ox, Dreh, mit/ohne sek. g RA/RI, max. Wst 0,8, 7 Rfrgt., Inv. 67/4/53, 67/13/36, 67/10/38. RF 5ox, grob gemagert, Ü WA (?), Dm 21, R5, Inv. 67/10/27. RF 5ox, sek. g RA/RI, sek. Graffito, Inv. 67/8/20 (Taf. 21). RF 5ox, Dreh, Dm 30, R4, Inv. 67/13/30 (Taf. 21). RF 5ox, Dreh, R1, Inv. 67/13/37. RF 9, Dreh, Dm 18, R14, Inv. 67/4/28 (Taf. 21). RF 4, Dm 20, R7, Inv. 67/4/33 (Taf. 21). RF 4, sek. g RA/RI, Dm 28, R3, Inv. 67/13/24. RF 4, Dm 24, R4, Inv. 67/17/36. RF 4, Dreh, K WA, sek. g WA/WI, Dm 21, R7, Inv. 67/17/37 (Taf. 21). RF 6, Dreh, Dm 28, R6, Inv. 67/17/31 (Taf. 21). RF 11, Dreh, Dm 20, R10, Inv. 67/13/20 (Taf. 21). RF grob, Wst 0,5, Knauf1, Inv. 67/4/52.

Baustoff

- Baukeramik – Imbrex, 1, Inv. 67/4/56. Tegula, 1, Inv. 67/17/50. Tubulus, 1, Inv. 67/4/55. Form (?), 28, Inv. 67/10/39, 67/17/49, 67/24/35.
- Hüttenlehm – 17, davon 16 verbrannt, Inv. 67/4/57, 67/24/36, 67/13/40–41, 67/17/51, 67/27/24.

Glas

- Glasperle – blaugrün (349), durchscheinend, matt WA, klein, zylindrisch, konkave Mitte, Enden schräg abgeschnitten, Dm 0,3–0,5, L 0,7–0,85, G 0,05, Inv. 67/39 (Taf. 22).
- Skyphos AR 97, IS 39 – Italien, ursprünglich farblos und durchsichtig, jetzt matt, z. T. große Luftblase, Bdm 9,8, Fuß10, Wst 0,2, Inv. 67/7 (Taf. 22).
- Bogenrippenbecher mit unregelmäßigen Rippen AR 52, IS 33 – Italien, ursprünglich durchsichtig klar, jetzt matt, Schlieren mit bräunlich-grauen Partikeln (durch chemische Veränderung), frei geblasen, WI, Größe 3,2 × 7,5, Wst 0,1–0,2, G 4,8, Inv. 67/37/7 (Taf. 22).
- Steilwandige Becher AR 98, IS 85 – durchsichtig saftgrün (577), einige Luftblasen v. a. im St, frei geblasen, Bdm 4, B15, Wst 0,1–0,3, G 1,8, Inv. 67/37/2 (Taf. 22). Durchsichtig, matt, leicht gelblichgrün (577), B leicht nach innen gewölbt, grobe gebogene Reste der Heftnarbe, Luftblasen, Bdm 3, B100, Wst 0,2, G 14, Inv. 67/37/4 (Taf. 22). Schlieren, außen rau, durchsichtig saftgrün (577), wenige horizontale Luftblasen, frei geblasen, Mdm 8, R20, Wst 0,1–0,4, G 3, Inv. 67/37/8.
- Steilwandiger Becher mit oben verdicktem rund geschmolzenem Rand AR 98.1, IS 85b – zart gelboliv (125), OF jetzt matt, außen leicht gekehlt, frei geblasen, vereinzelte kleine Luftblasen, Mdm 8, R8, Wst 0,05–0,25, G 0,6, Inv. 67/41/1 (Taf. 22).

Steilwandiger Becher – durchsichtig blaugrün (563), viele Luftblasen, gefalteter St, B nach innen biegend, Heftnarbe, Bdm 5,2, B14, Bst. 0,5, G 3, Inv. 67/37/1 (Taf. 22). Steilwandiger Becher (?), durchsichtig, leicht blaugrün (319), zwei im Abstand von 0,4 cm angeordnete Schlifflinienbündel, Wst 0,1, W1, G 0,8, Inv. 67/37/13.

Schale/Becher mit einfachem Röhrchenstandring – durchsichtig blaugrün (563), viele Luftblasen, frei geblasen, Bdm 5,4, B15, Bst. 0,3, Wst 0,12, G 3,4, Inv. 67/37/3 (Taf. 22).

Flasche mit kugeligem Körper AR 148, IS 101 oder runder Topf ähnlich IS 67 (?) – durchsichtig zart blaugrün (319), Schlieren, Luftblasen, zur Mitte hin eingedellte Standfläche, unregelmäßige Heftnarbe, Bdm 4, B100, Wst 0,1–0,2, G 21,8, Inv. 67/37/5 (Taf. 22).

Kanne (?) – durchsichtig, leicht blaugrün (319), Rippe (= aufgelegter Faden), Schlieren, W1, Größe 1,6 × 2,7, Wst 0,1, G 0,8, Inv. 67/37/6 (Taf. 22). Flasche oder Kanne (?) – durchsichtig klar, matt, vereinzelte Luftblasen, Wst 0,28–0,37, W1, eventuell Schulter, G 4,6, Inv. 67/37/11. Durchsichtig, leicht saftgrün (577), vereinzelte Luftblasen, W1, Wst 0,25, G 1,8, Inv. 67/37/12.

Vierkantige Krüge AR 156, IS 50 – durchsichtig, grüngelblich (577), vereinzelte Luftblasen, formgeblasen, nuppenförmige plastische Verzierung (Standnuppe) an einer Ecke (?) und Ansatz an der zweiten, Größe 5,2 × 4,7 × 1,4, Wst 0,15, B/W3, G 13,2, Inv. 67/38 (Taf. 22). Durchsichtig grünblau (563), Luftblasen, Einschlüsse, formgeblasen, plastischer Kreis, Wst 0,3–0,4, Bst. 0,4, B/W1, G 34,8, Inv. 67/40.

Vierkantgefäß – durchsichtig, leicht blaugrün (319), Einschlüsse, Schlieren, 1 Seite glatt, 1 Seite rau, unregelmäßige OF, an einer Seite etwas nach oben gebogen, W1, Wst 0,15–0,25, G 7,6, Inv. 67/37/10.

Fläschchen mit Dellen AR 139 (?), IS 83 – durchsichtig, leicht saftgrün (577), große runde Luftblase am B, Bdm 7, B9, Wst 0,1–0,2, G 0,8, Inv. 67/41/3 (Taf. 22).

Fensterglas – matt glänzend, durchsichtig blaugrün (570), Luftblasen, Wst 0,1–0,15, G 3,6, Inv. 67/20. Durchsichtig blaugrün (319), stark von Luftblasen durchzogen, Schlieren, zylindrisch geblasen, plan, R nach außen gebogen und dünner, Wst unterschiedlich, R1, Wst 0,15–0,3, G 13,4, Inv. 67/37/9.

Form (?) – durchsichtig, leicht blaugrün (319), sehr dünnwandig, W19 (kleine Frgt.), G 9,6, Inv. 67/37/14. Durchsichtig, zart blaugrün (319), einzelne Luftblasen, senkrechte Rippe, sehr dünner Gefäßkörper, in Form geblasen (?), W1, Größe 2,4 × 1,8, Wst 0,5, G 0,4, Inv. 67/41/2 (Taf. 22). Dünnwandig, durchsichtig, zart saftgrün (577), vereinzelte große Luftblasen, W1, Wst 0,1, G 1,2, Inv. 67/41/4. Dünnwandig, durchsichtig, W3, G 2,1, Inv. 67/41/5. Fensterglas oder vierkantiger Krug (?), durchsichtig, zart saftgrün (577), z. T. große Luftblasen, plan, Wst 0,1, W1, G 1,8, Inv. 67/41/6. Durchsichtig, leicht blaugrün (319), Wst 0,1–0,2, W1, Inv. 67/41/7.

Metall

Scheibe – Pb, leicht gewölbt, Rand teilweise weggebrochen, Größe 2,5 × 2,2 × 0,2, G 5,2, Inv. 67/33 (Taf. 22).

Gürtelschnalle Oldenstein 1012 – Ae, peltaförmiger Bügel mit floral verzierten, eingerollten Enden, Unterseite flach, untere Hälfte teilweise weggebrochen, Größe 3,2 × 3,7, D. 0,25, G 5,1, Inv. 67/34 (Taf. 22).

Fibel – Ae, Nadel mit drei Windungen und Hälfte der Sehne, L 3,2, Br 0,8, G 0,8, Inv. 67/35 (Taf. 22).

Nagel – Fe, annähernd dreieckiger Kopf, im Querschnitt länglich ovaler Schaft, Größe/Kopf 1,2 × 0,9, Schaft 3,1 × 0,7 × 0,3, G 2, Inv. 67/44/1 (Taf. 22). Fe, rechteckiger Kopf, im Querschnitt quadratischer Schaft, Größe/Kopf 2,9 × 2, Schaft 7,4 × 0,6 × 0,6, G 20,4, Inv. 67/45 (Taf. 22).

Frgt. – Fe, länglich, im Querschnitt rechteckig, Größe 3,3 × 0,5 × 0,3, G 1,6, Inv. 67/44/2 (Taf. 22).

Intrusionen spätantiker Gebrauchskeramik

Dreifußschüssel mit ausgebogenem, innen gekehltem Rand – RF 4, sek. g RI, Mdm 16, R10, Inv. 67/13/23 (Taf. 22; Abb. 97).

Dreifußschüssel – Blasenton, Wst 1,2, Fuß1, Inv. 67/24/34.

Form (?) – Blasenton, hand, Wst 0,6, W1, Inv. 67/17/59.

Neuzeitintrusionen

Schüssel – RF 50x, Glasur WA/W1, Mdm 27, R4, Inv. 67/17/44 (Taf. 22).

Teller – RF 50x, Glasur/Malhornmalerei W1, W1, Inv. 67/27/20 (Taf. 22).

Topf mit Karniesrand – RF 50x, sek. g W1, Mdm 22, R5, Inv. 67/27/21 (Taf. 22).

Topf mit Karniesrand/Dreiecksrand – RF 50x, R1, Inv. 67/26/21.

Topf – RF 50x, Dreh, Glasur W1, Wst 0,4, W1, Inv. 67/24/26.

Baukeramik (?) – Glasur WA, W1, Inv. 67/17/60.

Periode 4.1 – Planierschicht (SE 76), in Raum 2/S5, 2,48 × 3,67 × 0,1–0,5.

Gesamtgewicht: Artefakte G 25892, Faunen G 114,76, Summe G 26006,76.

Artefakte NMI: Regionale Gefäßkeramik: 165. Importkeramik: 18. Lampen: 3. Baukeramik: 5. Glas: 1. Münze: 1. Metall: 2.

Münze

D Antoninus Pius für Faustina II RIC 502a(3) – Rom, Dat. 147/161, G 2,29, Inv. 76/1.

Lampe

Lampen – RF 8ox, Dm 7, R10, Inv. 76/15/42 (Taf. 22). Ü WA, Dm 6, R15, Inv. 76/19/41 (Taf. 22). RF 8ox, Ü WA, R1, Inv. 76/38/34 (Taf. 22).

Terra Sigillata

Teller Consp. 20 – Padana, R1, Inv. 76/16/3.

Schale Consp. 34 – Padana, sek. Ritzung (?), W1, Inv. 76/4/2.

Schüsseln Drag. 37 – MG, Eierstab (Stanfield – Simpson 1990, Taf. 112, 4, stark verschliffen), Triton (Osw. 21), ADVOCISUS, R1, Dat. 160–190, Inv. 76/27/3 (Taf. 22). MG, Metopenteilung durch Perlstab aus runden und länglichen Perlen, Medaillon mit glattem Kreis, Kringel, Figur n. li., gedrehter Zapfen (Stanfield – Simpson 1990, Abb. 30, 21), PATERNUS, W1, Dat. 150–190, Inv. 76/25/3 (Taf. 22). MG, Eierstab (Stanfield – Simpson 1990, Taf. 151, 1), Zierelement (Stanfield – Simpson 1990, Taf. 157, 12), Metopenteilung durch Perlstäbe, Vogel n. re. (in Medaillon) (Stanfield – Simpson 1990, Taf. 159, 24), an Astragalen aufgehängter einfacher Kreisbogen (Karnitsch 1959, Taf. 76, 3), weibliche Figur (Osw. 278), CINNAMUS, Mdm 20, R10, Pass 67/76/154, Dat. 135–170, Inv. 76/34/4 (Taf. 22). MG, Metopenteilung durch Perlstab, Medaillon, Herkules mit Schale (Stanfield – Simpson 1990, Taf. 159, 28), CINNAMUS, W1, Dat. 135–170, Inv. 76/34/3 (Taf. 22). MG, Rest eines Eierstabs (nicht näher bestimmbar), Metopenteilung durch Perlstäbe, Jüngling an Stab gelehnt (Stanfield – Simpson 1990, Taf. 159, 32), CINNAMUS, W2, Dat. 135–170, Inv. 76/25/4 (Taf. 22). MG, Hase n. li. (Osw. 2117), Hund n. li. (Osw. 2000?), W1, Inv. 76/16/5 (Taf. 22). MG, Mdm 18, R23, Inv. 76/39/6 (Taf. 23).

Schüsseln Drag. 37 – RZ, Eierstab (Ri.-Fi. E19), IANUARIUS I, Art des IANU I, MAMMILIANUS, W2, Inv. 76/27/5 (Taf. 23). RZ, Fries aus Sternrosetten O48 (Ri.-Fi. R70), AUGUSTINUS I, W1, Inv. 76/39/4 (Taf. 23). RZ, glatter Doppelbogen (?), W1, Inv. 76/16/2 (Taf. 23). RZ, Fries aus gezackten Doppelblättchen (Ri.-Fi. P145), W1, Inv. 76/20/2 (Taf. 23).

Schüsseln Drag. 37 – Mdm 20, R5, Inv. 76/23/5 (Taf. 23). Mdm 20, R7, Inv. 76/25/6 (Taf. 23).

Schüssel Drag. 38 – Pass 61/66/67/76/154, Mdm 20, R15, Inv. 76/20/1 (Taf. 23).

Teller Drag. 18/31 – Mdm 15, R5, Inv. 76/39/1. Mdm 26, R4, Inv. 76/16/4 (Taf. 23).

Imitation rätischer Feinware

Becher, Imitation rätischer Ware Drexel 2b – RF 5ox, Mischatmosphäre, Dreh, Ba WA, Mdm 5, R15, Inv. 76/33/45 (Taf. 23).

Becher, Imitation rätischer Ware Drexel 2/3b – RF 5ox, Mdm 9, R6, Inv. 76/38/27 (Taf. 23).

Imitation rätischer Ware – RF 5ox, Mischatmosphäre, Bdm 7, B10, Inv. 76/38/31 (Taf. 23). RF 5ox, Dreh, Ü WA/WI, Bdm 6, B15, Inv. 76/19/56. RF 5ox, Mischatmosphäre, Ü/Rat WA, W1, Inv. 76/15/40 (Taf. 23).

Gebrauchskeramikimport

Krug mit Trichterrand – Dreh, Import, Mdm 6, R25, Inv. 76/15/25 (Taf. 24).

Regionale Gebrauchskeramik

Imitationen Drag. 37 – red fein, weiße Partikel, Ü WA, Mdm 21, R5, Inv. 76/19/24 (Taf. 23). RF 5red, Dreh, Mdm 20, R7, Inv. 76/33/25 (Taf. 23). RF 5red, Ü WA/WI, Mdm 19, R5, Inv. 76/15/20 (Taf. 23).

Schüsseln – RF 5red, Dreh, Mdm 25, R3, Inv. 76/38/21. RF 5red, Dreh, Rat WA, Mdm 21, R5, Inv. 76/33/44 (Taf. 23). RF 5ox, Dreh, Ü WA/WI, Mdm 20, R5, Inv. 76/38/23 (Taf. 23).

Imitation TS – RF 5red, Dreh, Wst 0,7, R1, Inv. 76/24/47.

Imitation Drag. 36 – RF 8ox, rote Partikel, stark abgerieben, Dreh, Mdm 18, Bdm 6,4, R/B2, Inv. 76/11/20.

Imitationen TS-Teller – RF 5ox, Dreh, sek. Rillen am Rand, Mdm 22, R3, Inv. 76/15/30 (Taf. 23). RF 8ox, Mdm 22, R5, Inv. 76/15/24 (Taf. 23).

Schale – RF 5red, Dreh, Ü WI, R1, Inv. 76/11/21.

Schüsseln mit eingezogenem Rand – RF 5red, Rat WA, Mdm 27, R6, Inv. 76/22/26 (Taf. 23; Abb. 119). RF 5red, Dreh, Rat WA, Mdm 26, R4, Inv. 76/33/26 (Taf. 23). RF 5red, Dreh, Mdm 33, R7, Inv. 76/19/23 (Taf. 23). RF 5red, Dreh, Mdm 20, R5, Inv. 76/19/22 (Taf. 23). RF 9, Dreh, Mdm 23, R4, Inv. 76/24/24 (Taf. 23). RF 5ox, Dreh, sek. v, R1, Inv. 76/24/31 (Taf. 23).

Schüsseln – RF 5red, Dreh, Rat WA, W1, Wst 1,2, Inv. 76/19/52. RF 5red, Dreh, Ü WA/WI/Rat WA, Wst 1, W1, Inv. 76/38/47. RF 5red, Dreh, Ü WI, Wst 1,6, St/B1, Inv. 76/19/49. RF 5red, Dreh, B1 und St1, Inv. 76/38/48, 76/22/33. RF 8red, Dreh, Wst 1, St1, Inv. 76/7/30. RF 9, Dreh, Mdm 21, R7, Inv. 76/33/21. RF 5ox, Dreh, Wst 0,5, St1, Inv. 76/38/52. RF 5ox, Dreh, Ü WA/WI, Mdm 22, R5, Inv. 76/8/24. RF 7, Dreh, Mdm 21, R4, Inv. 76/8/23.

Räucherschalen – RF 4, hand/nach, Wellenlinie WA, R1, Inv. 76/15/31 (Taf. 23). RF 6, Wellenlinie WA, W1, Inv. 76/33/43 (Taf. 23).

Reibschüssel ohne Innenabsatz – RF 10, R1, Inv. 76/26/30 (Taf. 23).

Reibschüsseln – ox, grob gemagert, Wst 1,2, Kragen1, Inv. 76/33/59. RF 10, R1, Inv. 76/38/43.

Dreifußschüssel 1 – RF 6, Wst 0,9, R1, Inv. 76/38/55.

- Dreifußschüsseln 3 – RF 5red, Dreh, Rat WI, Mdm 32, R5, Inv. 76/24/23 (Taf. 23). RF 4, hand/nach, K/Wellenlinie WA, sek. g RA, Mdm 26, R4, Inv. 76/24/34 (Taf. 23). RF 6, hand/nach, K WA horizontal, Mdm 28, R5, Inv. 76/33/24 (Taf. 23). RF 6, Dreh, Mdm 26, R8, Inv. 76/33/23 (Taf. 23). Mdm 22, R30, Inv. 76/14/20 (Taf. 23).
- Dreifußschüssel 4 – RF 4, Dreh, sek. g RA/WI, Mdm 24, R3, Inv. 76/24/32 (Taf. 23).
- Dreifußschüssel 5 – RF 2, viel Glimmer, Dreh, Mdm 23, R7, Inv. 76/22/20 (Taf. 23).
- Dreifußschüsseln 7 – RF 4, Dreh, Kerben WA, sek. g WA/WI, Mdm 26, R/W7, Inv. 76/26/31 (Taf. 23; Abb. 97, 119). RF 4rot, Mdm 18, R7, Inv. 76/38/33. RF 6, Mdm 25, R7, Inv. 76/33/22 (Taf. 23).
- Dreifußschüsseln – RF 4, hand/nach, B1, Inv. 76/33/54. RF 4, Fuß1, Inv. 76/22/29. RF 6, Dreh, sek. g Fuß, Fuß/B1, Inv. 76/33/55. RF 7, hand/nach, Wst 0,7, Fuß/B1, Inv. 76/38/53. RF 9, Dreh, sek. g WA, Mdm 20, R4, Inv. 76/26/29. RF 9, Dreh, sek. g WA, WI, Inv. 76/38/45.
- Knickwandschüsseln 6 – RF 4, sek. g RA, Mdm 15, R10, Inv. 76/22/22 (Taf. 23). RF 7, Mdm 30, R3, Inv. 76/15/28 (Taf. 23). RF 7, sek. g RA/RI, Mdm 20, R10, Inv. 76/33/20 (Taf. 23). RF 7, Dreh, Mdm 19, R4, Inv. 76/7/23 (Taf. 23).
- Knickwandschüsseln 1 – RF 7, Dreh, sek. g WA, Mdm 24, R9, Inv. 76/19/32 (Taf. 23). RF 2, Dreh, sek. g WA, Mdm 18, R6, Inv. 76/19/29 (Taf. 23).
- Knickwandschüssel 2 – RF 6, sek. g WA, Mdm 20, R5, Inv. 76/26/32.
- Schüssel – RF grob, hand/nach, K WA horizontal, Wst 1, W1, Inv. 76/22/31.
- Teller mit eingebogenem Rand 1.1.1 – RF 5ox, Dreh, Mdm 25, R3, Inv. 76/33/27 (Taf. 23). RF 5ox, Dreh, Mdm 20, R4, Inv. 76/15/41 (Taf. 23). RF 5red, Dreh, Ü WA/WI, Mdm 21, R5, Inv. 76/26/21 (Taf. 23).
- Teller mit eingebogenem Rand 1.2 – RF 8ox, Dreh, sek. g WA, Mdm 27, Bdm 22,6, R/B9, Inv. 76/33/28 (Taf. 23). RF 8ox, Mdm 28, R4, Inv. 76/12/20 (Taf. 23). RF 2, sek. g WA, Mdm 26, R3, Inv. 76/24/25 (Taf. 23).
- Teller mit Steilrand 1.1 – RF 8ox, sek. g RA/RI, Wst 0,7, R1, Inv. 76/15/39. RF 5red, Ü WI, Mdm 24, Bdm 18, R/B7, Inv. 76/38/28 (Taf. 24).
- Teller mit Steilrand 1.2.1 – RF 5ox, Dreh, sek. g WA, R1, Inv. 76/26/25 (Taf. 24). RF 5ox, Dreh, sek. g WA, R1, Inv. 76/26/26 (Taf. 24). RF 8ox, Ü WI, Mdm 24, Bdm 21, R/B4, Inv. 76/22/23 (Taf. 24). RF 8ox, Ü WI, R1, Inv. 76/19/38 (Taf. 24).
- Teller – RF 5ox, Wst 1, R/WI, Inv. 76/38/51. RF 5ox, Ü WA/WI, sek. v WA, R1, Inv. 76/13/21. RF 5ox, Dreh, sek. v, Bdm 8, St/W100, Inv. 76/31/20. RF 5red, Dreh, Mdm 25, R7, Inv. 76/17/25. RF 4, sek. g RA, Mdm 25, R6, Inv. 76/15/26.
- Faltenbecher mit Karniesrand – RF 5ox, Dreh, Ü WA/WI, Mdm 9, R5, Inv. 76/19/31 (Taf. 24).
- Becher mit Karniesrand – RF 5ox, Dreh, Mdm 8, R10, Inv. 76/22/24 (Taf. 24). RF 8ox, Mdm 7, R7, Inv. 76/15/43 (Taf. 24).
- Faltenbecher – RF 5ox, Mischatmosphäre, Ü WA, max. Wst 0,4, 2 Wfrgt., Inv. 76/15/38, 76/38/46. RF 5ox, Dreh, Ü WA, W1, max. Wst 0,3, 2 Wfrgt., Inv. 76/3/34, 76/12/22. RF 5ox, Dreh, Ü WA/WI, W1, Wst 0,2, Inv. 76/24/42. RF 5ox, Dreh, Wst 0,3, W2, Inv. 76/33/51.
- Becher mit abgesetztem Rand – RF 9, Dreh, Mdm 11, R9, Inv. 76/38/22 (Taf. 24).
- Becher mit ausgebogenem Rand 2.1 – RF 11, Dreh, Mdm 12, R8, Inv. 76/33/31 (Taf. 24).
- Becher mit ausgebogenem, kantigem Rand 3 – RF 9, Dreh, Rad WA, Mdm 9, R10, Inv. 76/7/25 (Taf. 24).
- Becher – Dreh, Ü WA/WI/Sandbewurf WA, Wst 0,2, W1, Inv. 76/12/23. Dreh, Ü WA, Bdm 7, B20, Inv. 76/33/52. RF 5ox, Ü/Rat WA, R1, Inv. 76/24/33 (Taf. 23). RF 5ox, Dreh, Ü WA, Bdm 6, B27, Inv. 76/24/44. RF 5ox, Dreh, Bdm 4, B25, Inv. 76/22/32. RF 8ox, Dreh, Ü WA/WI/Sandbewurf WA, Wst 0,3, W1, Inv. 76/24/43. RF 5red, Ü/Rat WA, Wst 0,4, W1, Inv. 76/33/61. RF 5red, Dreh, Rad WA, Wst 0,3, 2 Wfrgt., Inv. 76/13/22, 76/38/49. RF 8red, Dreh, Rad WA, Wst 0,4, 2 Wfrgt., Inv. 76/7/28, 76/24/48. RF 8red, Dreh, Wellenlinie WA, WI, Wst 0,4, Inv. 76/18/20 (Taf. 24). RF 8red, Dreh, B1, Inv. 76/26/35. RF 9, Dreh, Rad WA, Wst 0,4, 3 Wfrgt., Inv. 76/7/27. Dreh, Rad WA, W1, Wst 0,4, Inv. 76/17/31. RF grob, Dreh, Rad WA, max. Wst 0,5, 2Wfrgt., Inv. 76/38/50, 76/12/24.
- Krug – RF 5ox, H1, Inv. 76/33/29 (Taf. 24). RF 5red, H1, Inv. 76/3/26 (Taf. 24). RF 5red, H1, Inv. 76/24/35 (Taf. 24). RF 6, H1, Inv. 76/33/30 (Taf. 24). RF 9, Mdm 11, R8, Inv. 76/19/36.
- Auerbergderivat – RF 9, Mdm 17, R5, Inv. 76/24/30 (Taf. 24).
- Töpfe mit Dreiecksrand 5.2.1 – RF 6, sek. g WA/WI, Mdm 21, R5, Inv. 76/19/34 (Taf. 24). R1, Inv. 76/19/35 (Taf. 24).
- Topf mit Dreiecksrand 6.2 – RF 4, hand/nach, P Hals A, Mdm 23, R12, Inv. 76/15/21 (Taf. 24).
- Topf mit unterschrittenem Dreiecksrand 1 – RF 4, Mdm 16, R7, Inv. 76/24/26 (Taf. 24).
- Topf mit verdicktem, gerundetem Rand 1 – RF 4, Mdm 17, R4, Inv. 76/22/25 (Taf. 24).
- Töpfe mit ausgebogenem, deutlich verdicktem Rand 1.3 – ähnlich RF 9, kein Glimmer, Dreh, Mdm 17, R11, Inv. 76/24/22 (Taf. 24). RF 4, sek. v, Mdm 15, R10, Inv. 76/19/20 (Taf. 24).
- Topf mit ausgebogenem, deutlich verdicktem Rand 1.2 – RF 9, Mdm 14, R3, Inv. 76/38/30 (Taf. 24).
- Topf mit ausgebogenem, deutlich verdicktem Rand 2 – RF 6, Mdm 28, R3, Inv. 76/19/37 (Taf. 24).
- Topf mit ausgebogenem, kantigem Rand 2.1 – RF 4, Mdm 11, R10, Inv. 76/19/21 (Taf. 24).

- Topf mit ausgebogenem, kantigem Rand 3.1.1 – RF 7, Mdm 16, R5, Inv. 76/19/33 (Taf. 24).
- Topf mit ausgebogenem, kantigem Rand 3.2.1 – RF 5red, Mdm 13, R8, Inv. 76/33/42 (Taf. 24).
- Töpfe mit ausgebogenem Rand 1.1.1 – RF 9, sek. g RA/RI, Mdm 14, R25, Inv. 76/24/20 (Taf. 24). RF 9, Dreh, Mdm 13, R8, Inv. 76/33/39 (Taf. 24). RF 4, sek. v, R1, Inv. 76/26/24 (Taf. 24).
- Töpfe mit ausgebogenem Rand 1.4 – RF 8ox, sek. g W/Bruch, Mdm 9, R9, Inv. 76/15/27 (Taf. 24). RF 5red, Dreh, Ü WA, Mdm 11, R5, Inv. 76/26/20 (Taf. 24). RF 4, Mdm 16, R5, Inv. 76/15/22 (Taf. 24). RF 9, Mdm 13, R5, Inv. 76/3/22 (Taf. 24). RF 9, Mdm 13, R5, Inv. 76/3/24 (Taf. 24).
- Töpfe mit ausgebogenem Rand 1.2.2 – RF 4, P WA, Mdm 17, R6, Inv. 76/7/20 (Taf. 24). RF 4, sek. v, Mdm 20, R4, Inv. 76/38/29 (Taf. 24). RF 4, sek. g RA/RI, Mdm 20, R3, Inv. 76/33/41 (Taf. 24). RF 4, Mdm 20, R7, Inv. 76/33/34 (Taf. 24). RF 4, sek. g WA/RI, Mdm 19, R7, Inv. 76/3/21 (Taf. 24). RF 4, sek. g RI, Mdm 17, R5, Inv. 76/38/26 (Taf. 24). RF 6, hand/nach, sek. g WA/RI, Mdm 15, R20, Inv. 76/3/20 (Taf. 24). RF 6, P RI, Mdm 26, R10, Inv. 76/7/21 (Taf. 24). RF 4, sek. g RA/RI, Mdm 21, R8, Inv. 76/33/40 (Taf. 24).
- Töpfe mit ausgebogenem Rand 2 – RF 4, hand/nach, K WA, sek. g RA/RI, Mdm 22, R7, Inv. 76/33/33 (Taf. 24). RF 4rot, hand/nach, P WA, Mdm 22, R3, Inv. 76/33/38 (Taf. 24).
- Töpfe mit kurzem, ausgebogenem Rand 1 – RF 4, sek. g RI, Mdm 27, R3, Inv. 76/7/22 (Taf. 24). RF 4, Mdm 15, R6, Inv. 76/38/32 (Taf. 24). RF 6, Mdm 20, R7, Inv. 76/33/36 (Taf. 24). RF 9, R1, Inv. 76/7/24 (Taf. 24).
- Töpfe mit kurzem, ausgebogenem Rand 1.1 – sek. v, Mdm 19, R6, Inv. 76/33/35 (Taf. 24). RF 3, Mdm 16, R5, Inv. 76/15/29 (Taf. 24). RF 9, Mdm 18, R3, Inv. 76/38/24 (Taf. 24).
- Töpfe mit kurzem, ausgebogenem Rand 3 – RF 5ox/red, Ü WA, Ü schwarz, Mdm 13, R7, Inv. 76/15/23 (Taf. 25). RF 4, K/P WA, Mdm 20, R6, Inv. 76/19/42 (Taf. 25). RF 4, hand/nach, K WA/WI/P WA, Mdm 20, R20, Inv. 76/22/27 (Taf. 24; Abb. 103). RF 4, hand/nach, K/P WA(?), Mdm 15, R21, Inv. 76/38/35 (Taf. 25). RF 4, hand/nach, Mdm 15, R10, Inv. 76/22/21 (Taf. 24). RF 4, hand/nach, sek. g WA/RI, Mdm 13, R12, Inv. 76/24/21 (Taf. 25). RF 2, hand, K WA, sek. v, Mdm 10, R/W15, Inv. 76/19/43 (Taf. 24).
- Topf mit ausgebogenem, innen gekehltem Rand 1.1 – RF 4, hand/nach, Mdm 13, R/W10, Inv. 76/19/25 (Taf. 25).
- Topf mit ausgebogenem, innen gekehltem Rand 2 – RF 4, Mdm 17, R5, Inv. 76/24/28 (Taf. 25).
- Topf mit ausgebogenem, unterschrittenem Rand – RF 6, Mdm 23, R7, Inv. 76/33/37 (Taf. 25).
- Töpfe – RF 5ox, Rad WA, Wst 0,3, W1, Inv. 76/15/34. RF 8ox, Mischatmosphäre, Dreh, Ü/Rat WA, Profilleiste, Wst 0,5, W1, Inv. 76/24/41. RF 8ox, Bdm 14, B7, Wst 0,4, Inv. 76/12/21 (Taf. 25). RF 5red, Dreh, Rad WA, Wst 0,6, W1, Inv. 76/19/51. RF 5red, Dreh, 3 Bfrgt., 1 B/Wfrgt., Inv. 76/17/32, 76/19/55, 76/24/40, 76/33/66. RF 9, Dreh, Rad WA, max. Wst 0,4, 3 Wfrgt., Inv. 76/15/36, 76/19/50. RF 9, Dreh, Mdm 13, R18, Inv. 76/3/23. RF 9, Dreh, Rad WA, Wst 0,4, W1, Inv. 76/24/38.
- Töpfe – RF 3, hand/nach, K WA horizontal, Töpfermarke (?), Mdm 16, R25, Inv. 76/38/36. RF 4, Mdm 20, R5, Inv. 76/19/28. RF 4, sek. g RA, Mdm 32, R5, Inv. 76/24/29. RF 4, sek. v, Mdm 20, R5, Inv. 76/8/21. RF 4, hand/nach, Mdm 16, R8, Inv. 76/17/23. RF 4, sek. g RA/RI, Mdm 19, R5, Inv. 76/17/21. RF 4, sek. v, Mdm 19, R5, Inv. 76/17/22. RF 4, sek. v, Mdm 14, R20, Inv. 76/8/22. RF 4, sek. g RA/RI, Mdm 13, R11, Inv. 76/8/20. RF 4, Rad WA, Wst 1,1, W1, Inv. 76/24/39. RF 4, hand, Wellenlinie/P WA, Wst 0,9, W1, Inv. 76/38/54. RF 6, hand, P WA, Wst 1,3, W1, Inv. 76/10/21. RF 6, R1, Inv. 76/38/20. RF 6, Mdm 21, R8, Inv. 76/17/20.
- Form (?) – RF grob, Dreh, 2 Bfrgt., Inv. 76/3/32. RF grob, Rad WA, W1, Wst 0,9, Inv. 76/3/35. RF grob, hand, K WA, davon 1 K WA horizontal, 1 K WA geschachtelt, 1 K WA horizontal/W1, 1 K/Wellenlinie WA, max. Wst 1,3, 270 Wfrgt., Inv. 76/3/30, 76/7/26, 76/8/28, 76/10/20, 76/12/25, 76/13/20, 76/15/33, 76/17/28, 76/19/47–48, 57, 76/22/30, 76/24/37, 76/26/36, 76/30/21, 76/33/62–63, 76/38/42. RF grob, hand/nach, K WA, 6 B/Wfrgt., Inv. 76/3/31, 76/8/27, 76/17/30, 76/26/34, 76/33/64, 76/38/41. RF grob, hand/nach, 18 Bfrgt., Inv. 76/15/35, 76/17/29, 76/19/54, 76/30/20, 76/33/65, 76/38/40.
- Deckel – RF 5ox, Dreh, Wst 0,5, R1, Inv. 76/3/33. RF 8red, Wst 0,4, R1, Inv. 76/7/29. RF 2, K WA, R1, Inv. 76/33/47. RF 4, R1, Inv. 76/22/28. RF 6, sek. g RI, Wst 1, R1, Inv. 76/15/37. RF grob, R1, Inv. 76/19/58. RF 5red, Dreh, R1, Inv. 76/3/27. RF 8red, Dm 10, R8, Inv. 76/33/60. RF 4, R1, Inv. 76/33/56. RF 7, sek. g RA/RI, Wst 0,5, R1, Inv. 76/24/45. RF 7, R1, Inv. 76/33/48, 76/38/44. RF grob, Dreh, R2, Inv. 76/17/27. RF 8ox, Dreh, sek. g RA/RI, R1, Inv. 76/33/49. RF 5red, Wst 0,5, R1, Inv. 76/24/46. RF 4, sek. v, R1, Inv. 76/33/46. RF 9, Dreh, R1, Inv. 76/33/53. RF 7, Dreh, R1, Inv. 76/19/59. RF 5ox, sek. g RI, Dm 24, R7, Inv. 76/38/25. RF 5ox, Dreh, Ü WA, Dm 26, R3, Inv. 76/19/27. RF 5ox, Dreh, mittig punktförm. Vertiefung, Wst 0,7, Dm 4, Knauf1, Inv. 76/12/26. RF 8ox, sek. g RI, Dm 16, R6, Inv. 76/19/39 (Taf. 25). RF 8ox, Ü WA, sek. g RI, Pass 76/61b/179, Dm 20, R23, Inv. 76/19/40. RF 8red, Dreh, Dm 11, R8, Inv. 76/33/32. RF 4, Dm 26, R5, Inv. 76/26/22 (Taf. 25). RF 4, Dreh, Dm 26, R7, Inv. 76/26/27 (Taf. 25). RF 4, Dreh, sek. g RA, Dm 24, R5, Inv. 76/26/28. RF 4, Dreh, sek. g RA, Dm 24, R4, Inv. 76/19/30. RF 4, Dm 23, R6, Inv. 76/24/27 (Taf. 25). RF 4, K WA, sek. v, Dm 22, R8, Inv. 76/17/26. RF 4, Dreh, sek. g WA/W1, R1, Inv. 76/26/23 (Taf. 25). RF 4rot, sek. g RA/RI, Dm 17, R7, Inv. 76/3/25 (Taf. 25). RF 7, Dreh, Dm 21, R7, Inv. 76/19/26 (Taf. 25). RF 9, Dreh, sek. g RI, Dm 16, R12, Inv. 76/8/25. RF 9, Dreh, Knauf1, Inv. 76/19/53.

Baustoff

- Baukeramik – Tegula, 2, Inv. 76/19/45, 76/38/39. Tubulus, Ritzung WA, 3, Inv. 76/3/29, 76/19/46, 76/33/58. Form (?), 156, Inv. 76/3/28, 76/8/26, 76/10/22, 76/12/27, 76/13/23, 76/15/32, 76/19/44, 76/22/34, 76/24/36, 76/26/33, 76/33/57, 76/38/37.

Glas

Rippenschale mit nach unten auslaufender Rippe AR 2.2, IS 3b – durchsichtig blaugrün (570), einige Luftblasen, drehscheibengeformt, Größe 2,1 × 2,4, Wst 0,15–0,2, W1, G 1,8, Inv. 76/42 (Taf. 25).

Rippenschale (?) – durchscheinend, leicht blaugrün (319), gewollte oder durch Verwitterung/Beschädigung entstandene kugelförmige Einschlüsse/Innenstruktur (?), Mdm 10, R7, Wst 0,35–0,45, G 1,8, Inv. 76/19 (Taf. 25).

Form (?) – durchscheinend, saftgrün (577), Einschlüsse, Luftblasen, dickwandig, G 6,6, Wst 0,4–0,5, W1, Inv. 76/35.

Metall

Kniefibel mit halbrunder Kopfplatte J 13 C – Spirale mit ursprünglich acht Windungen und oberer Sehne, halbrunde, unverzierte Kopfplatte, im Querschnitt halbrunder Bügel, Fuß und Hälfte der Kopfplatte sowie der Spirale weggebrochen, L 2,2, Br 1,3, H 1,7, G 5,2, Inv. 76/41 (Taf. 25).

Blech – Pb, umgebogene bzw. eingerollte Enden, Größe 3 × 1,5 × 0,9, G 8,8, Inv. 76/40.

Nagel – Fe, rundlich-quadratischer Kopf, im Querschnitt quadratischer Schaft, Größe/Kopf 2 × 1,9, Schaft 7,1 × 0,7 × 0,7, G 14,1, Inv. 76/48 (Taf. 25).

Neuzeitintrusion

Teller – ox, Glasur W1, sek. v, Wst 0,5, W1, Inv. 76/33/50.

Periode 4.1 – Planierschicht (SE 82), in Gebäude 2, 1,15 × 5,25 × 0,05–0,2.

Gesamtgewicht: Artefakte G 5282, Faunen G 9,75, Summe G 5291,75.

Artefakte NMI: Regionale Gefäßkeramik: 32. Importkeramik: 1. Baukeramik: 5.

Transportkeramik

Amphore – F102, Wst 2,5, W1, Inv. 82/5/21.

Dressel 2–4 – Spanien, F103, H1, Inv. 82/5/20 (Taf. 25).

Imitation italischer Feinware

Imitation italischer Feinware – red, Dreh, Ü WA/WI, 1 weiteres Bfgrt. Bdm 3, B25, Inv. 82/3/32.

Regionale Gebrauchskeramik

Imitation Drag. 29/30 – RF 5red, Dreh, Rat WA/Ü WI, Mdm 16, R10, Inv. 82/7/22 (Taf. 25).

Imitation Drag. 37 – RF 5ox, Dreh, Mdm 23, R4, Inv. 82/7/29 (Taf. 25).

Schüsseln – RF 5red, Dreh, Ü WA, Mdm 23, R6, Inv. 82/3/22. RF 5red, Mdm 19, R6, Inv. 82/1/25. RF 5red, Mischatmosphäre, Dreh, Rat WA, Wst 0,7, W1, Inv. 82/2/21.

Reibschüssel – RF 10, Wst 1,2, W1, Inv. 82/3/38.

Dreifüßschüssel 3 – RF 4, Dreh, sek. g RA/RI, Mdm 30, R5, Inv. 82/2/20 (Taf. 25).

Dreifüßschüsseln 7 – RF 6, Dreh, sek. g WA, R1, Inv. 82/7/25 (Taf. 25). RF 9, Dreh, R1, Inv. 82/7/24 (Taf. 25).

Dreifüßschüssel – RF grob, Wst 0,6, Fuß2, Inv. 82/3/37.

Schüssel – RF 4, hand/nach, Mdm 19, R7, Inv. 82/1/22 (Taf. 25).

Teller mit Steilrand 1.1 – RF 5ox, Dreh, Ü WA/WI, sek. v WA, sek. Graffito, Mdm 19, Bdm 16, R/B21, Inv. 82/1/20 (Taf. 25; Abb. 98).

Teller mit Steilrand 1.2.2 – RF 5ox, Dreh, Mdm 16, R/W10, Inv. 82/3/23 (Taf. 25). RF 5red, Dreh, Mdm 20, R10, Inv. 82/1/21 (Taf. 25).

Faltenbecher mit Karniesrand – RF 5ox, Dreh, Ü WI, Mdm 7, R8, Inv. 82/1/24 (Taf. 25). RF 5ox, Dreh, Ü WA/WI, Mdm 6, R5, Inv. 82/7/20 (Taf. 25).

Faltenbecher – RF 5ox, Mischatmosphäre, Dreh, Wst 0,5, 3 Wfrgt., Inv. 82/1/29.

Becher – RF 5red, Dreh, Rad WA, Wst 0,4, W1, Inv. 82/3/34. RF 8red, Dreh, Rat WA, Wst 0,3, W1, Inv. 82/3/36. RF 9, Dreh, Rad WA, Wst 0,4, W1, Inv. 82/3/35.

Krug – RF 5red, H1, Inv. 82/3/24 (Taf. 25).

Topf mit eingezogenem Rand 1.1 – RF 9, Dreh, Rad WA, Mdm 11, R7, Inv. 82/3/20 (Taf. 25).

Topf mit Dreiecksrand 6.1 – RF 6, Mdm 20, R5, Inv. 82/7/31 (Taf. 25; Abb. 100).

Topf mit Dreiecksrand 6.2 – RF 6, P WA/RA, Mdm 20, R7, Inv. 82/7/28 (Taf. 25).

Topf mit verdicktem, gerundetem Rand 2 – RF 6, sek. v, Mdm 17, R7, Inv. 82/3/29 (Taf. 25).

Topf mit ausgebogenem, kantigem Rand 1 – RF 4, sek. g RI, Mdm 26, R7, Inv. 82/3/21 (Taf. 25; Abb. 101). RF 7, hand/nach, P WA, Mdm 25, R6, Inv. 82/3/26 (Taf. 25).

Topf mit ausgebogenem Rand 1.2.2 – sek. v, Mdm 14, R6, Inv. 82/7/23 (Taf. 25). RF 4, grobe Magerung, hand, R1, Inv. 82/7/33 (Taf. 25). RF 5red, Dreh, Mdm 13, R12, Inv. 82/3/25 (Taf. 25).

Topf mit ausgebogenem Rand 1.3 – RF 5red, Ü WA, Mdm 13, R5, Inv. 82/7/32 (Taf. 25).

Topf mit kurzem, ausgebogenem Rand 1 – RF 4, sek. g RA/RI, Mdm 19, R10, Inv. 82/7/21 (Taf. 25).

Töpfe mit kurzem, ausgebogenem Rand 3 – RF 6, Mdm 16, R3, Inv. 82/1/23 (Taf. 25).

Topf mit ausgebogenem, innen gekehltm Rand 2 – RF 6, Mdm 16, R3, Inv. 82/3/31 (Taf. 25).

Form (?) – RF 8ox, Dreh, Wst 0,5, B1, Inv. 82/1/30. RF 5red, Dreh, Wst 1, B1, Inv. 82/7/37. RF 9, Dreh, Rad WA, Wst 0,5, 3 Wfrgt., Inv. 82/7/36. RF grob, Dreh, Wst 0,6, B1, Inv. 82/3/40.

Form (?) – RF grob, hand, K WA, max. Wst 1,1, 46 Wfrgt., Inv. 82/1/27, 82/2/22, 82/3/33, 82/7/34. RF grob, hand/nach, mit/ohne K WA, max. Wst 1, 5 Bfrgt., Inv. 82/1/28, 82/3/39, 82/7/35.

Deckel – RF 5ox, sek. g RA/RI, Dm 40, R4, Inv. 82/7/26 (Taf. 25). RF 5ox, sek. g RA/RI, Dm 28, R6, Inv. 82/7/27. RF 5ox, Dreh, Dm 24, R4, Inv. 82/7/30 (Taf. 25). RF 2, Dreh, Dm 24, R5, Inv. 82/3/28 (Taf. 25). RF 6, Dm 20, R2, Inv. 82/3/27 (Taf. 25).

Baustoff

Baukeramik – Imbrex, 1, Inv. 82/1/33. Tegula, 1, Inv. 82/1/36. Tubulus, 3, davon 1 mit Ritzung WA, Inv. 82/7/39, 82/1/34. Mauerziegel, 1, Inv. 82/1/32. Form (?), 12, Inv. 82/1/35, 82/3/41, 82/7/38.

Hüttenlehm – verbrannt, 10, Inv. 82/1/31, 82/3/42, 82/7/40.

Glas

Steilwandiger Becher mit verdicktem rund geschmolzenem nach außen gebogenem Rand AR 98, IS 85 – durchsichtig blaugrün (570), horizontale, ovale Luftblasen, Wst 0,12, WI, G 0,4, Inv. 82/8.

Form (?) – durchsichtig zart blaugrün (319), viele Luftblasen, horizontale Fadenaufgabe, Noppe WI, Größe 2,5 × 3,1, Wst 0,2–0,25, WI, G 2,2, Inv. 82/6 (Taf. 25).

Neuzeitintrusion

Becher – RF grob, Glasur WI, Wst 0,2, WI, Inv. 82/3/43.

Periode 4.1 – Versturz-/Planierschicht (SE 74), von M7, 2,15 × 2,2 × 0,16.

Gesamtgewicht: Artefakte G 3293, Faunen G 66,6, Summe G 3359,6.

Artefakte NMI: Regionale Gefäßkeramik: 20. Importkeramik: 2.

Terra Sigillata

Schale Consp. 35 – Padana, sek. Graffito, Mdm 11, R9, Inv. 74/6/1 (Taf. 26).

Imitation italischer Feinware

Imitation italischer Feinware – red, Dreh, Ü WA, Mdm 9, R7, Inv. 74/2/25 (Taf. 26).

Regionale Gebrauchskeramik

Imitation Drag. 36 – RF 5ox, Dreh, Mdm 18, R18, Inv. 74/3/22 (Taf. 26).

Schüssel mit ausgebogenem Rand – RF 5red, Dreh, Mdm 18, R3, Inv. 74/5/23 (Taf. 26).

Schüsseln mit profiliertem Wandknick und gekehltem Oberteil – RF 5red, Dreh, Mdm 34, R8, Inv. 74/3/21 (Taf. 26). RF 5red, R1, Inv. 74/2/23 (Taf. 26).

Teller – RF 6, Dreh, Rad WI, Mdm 22, R5, Inv. 74/3/26 (Taf. 26).

Reibschüssel – RF 10, Wst 2,3, BI, Inv. 74/3/33.

Dreifüßschüssel 4 – RF 9, Dreh, sek. g WA/WI, Mdm 18, R12, Inv. 74/5/21 (Taf. 26).

Dreifüßschüsseln – RF 4, Wst 0,8, FußI, Inv. 74/2/28. RF grob, Dreh, Wst 0,4, FußI, Inv. 74/8/22.

Krüge – RF 8ox, H1, Inv. 74/7/20 (Taf. 26). RF 5ox, Ü WA, H1, Inv. 74/2/24 (Taf. 26).

Becher mit ausgebogenem Rand – RF 5red, Dreh, Mdm 8, R10, Inv. 74/5/30.

Becher mit ausgebogenem Rand 1 – RF 9, Dreh, Mdm 10, R10, Inv. 74/3/25 (Taf. 26).

Becher mit ausgebogenem Rand 3 – RF 5red, Dreh, Mdm 9, R10, Inv. 74/5/22 (Taf. 26). RF 5red, Dreh, Mdm 10, R13, Inv. 74/2/22 (Taf. 26).

Becher – RF 5red, Dreh, Bdm 3,2, Wst 0,4, BI, Inv. 74/2/29.

Topf mit Dreiecksrand 5.2.1 – RF 4, hand/nach, sek. g WA/WI, Mdm 15, R15, Inv. 74/2/20 (Taf. 26).

Topf mit ausgebogenem, kantigem Rand 1 – RF 4, Mdm 42, R3, Inv. 74/3/23 (Taf. 26).

Topf mit ausgebogenem Rand 1.4 – RF 2, Mdm 18, R8, Inv. 74/2/21 (Taf. 26).

Topf mit ausgebogenem Rand 1.2.2 – RF 1, P RA/WA/RI, Mdm 40, R4, Inv. 74/5/20 (Taf. 26).

Topf mit kurzem, ausgebogenem Rand 3 – RF 6, hand/nach, K WA horizontal, sek. g WA/RI, Mdm 14, R26, Inv. 74/3/20 (Taf. 26).

Form (?) – RF 5red, Dreh, Rat WA, Wst 0,5, WI, Inv. 74/3/31. RF 5red, Dreh, Wst 0,7, St/BI, Inv. 74/5/27. RF 9, Dreh, Rad WA, WI, max. Wst 0,5, 3 Wfrgt., Inv. 74/2/33, 74/3/27, 74/5/24. RF 9, Dreh, Bdm 8, BI0, Wst 0,5, Inv. 74/3/30.

Form (?) – RF grob, hand, K WA, max. Wst 0,8, 19 Wfrgt., Inv. 74/2/26, 74/3/29, 74/5/25, 74/8/21. RF grob, hand/nach, mit/ohne K WA, max. Wst 1,2, 10 Bfrgt., Inv. 74/2/30, 74/3/28, 74/5/26.

Deckel – RF 5ox, Dreh, Ü WA, Wst 0,6, R1, Inv. 74/2/32. RF grob, Dreh, sek. g RA/RI, R1, Inv. 74/2/31. Dreh, Rad WA, Wst 0,6, WI, Inv. 74/8/20. RF 4, Dreh, sek. g WI, Dm 7, R32, Inv. 74/3/24 (Taf. 26).

Baustoff

Hüttenlehm – verbrannt, 9, Inv. 74/2/27, 74/3/32, 74/5/28–29, 74/8/23.

Periode 4.1 (170/180–200 n. Chr.) – Siedlung S1

Periode 4.1 – Planierschicht (SE 02)

Artefakte NMI: Regionale Gefäßkeramik: 18. Importkeramik: 1. Glas: 1.

Zu Befund und Funden s. Tiefengraber 2002, 118; 133 f. Taf. 2, 19–4, 41.

Periode 4.1 (170/180–200 n. Chr.) – Siedlung S9

Periode 4.1.1 – Planierung (SE 04b), D. 0,3.

Gesamtgewicht: Artefakte G 2177,6, Summe G 2177,6.

Artefakte NMI: Regionale Gefäßkeramik: 18. Importkeramik: 1.

Transportkeramik

Dressel 6B – RF 86, Wst 1,4, W1, G 55, Inv. 4b/20.

Imitation rätischer Feinware

Becher, Imitation rätischer Ware Drexel 2b – RF 5ox, Dreh, Ü/Ba WA, W1, Inv. 4b/11 (Taf. 31).

Regionale Gebrauchskeramik

Imitationen Drag. 29/30, Drag. 37 – RF 5red, Dreh, Ü WA/WI, Mdm 20, R5, Inv. 4b/12 (Taf. 31). RF 8oxred, Dreh, Ü WA/WI, Mdm 19, R10, Inv. 4b/13 (Taf. 31).

Reibschüssel – RF 10, Dreh, Wst 1,1, W1, Inv. 4b/19.

Dreifüßschüssel 7 – RF 6, Dreh, Kerben WA, R/WI, Inv. 4b/15 (Taf. 31).

Dreifüßschüssel – RF 4, Dreh, Wst 0,8, Fuß/B1, Inv. 4b/25.

Schüssel – RF 6, Dreh, Bdm 9, St25, Inv. 4b/22.

Teller – RF 5ox, Dreh, Glättung WI, sek. v WI, Bdm 18, B17, Inv. 4b/21.

Becher mit ausgebogenem, kantigem Rand 2 – RF 5ox, Dreh, R1, Inv. 4b/10 (Taf. 31).

Krug mit ausgebogenem Rand – RF 5red, Dreh, Mdm 15, R10, Inv. 4b/8 (Taf. 31).

Topf/Krug – RF 5red, Ü/Rat Wa, W1, Inv. 4b/9 (Taf. 31). RF 8red, Dreh, Glättung WA, Wst 0,6, abgesetzter B1, Inv. 4b/23. RF 8red, Dreh, Ü/Rat WA, Wst 0,5, W1, Inv. 4b/26.

Topf mit ausgebogenem Rand 1.1.1 – RF 6, sek. g, Mdm 17, R7, Inv. 4b/3 (Taf. 31).

Topf mit ausgebogenem Rand 1.2.2 – RF 6, hand/nach, P RA, Mdm 18, R10, Inv. 4b/1 (Taf. 31).

Topf mit nach außen verdicktem Rand und Innenabsatz – RF 6, R1, Inv. 4b/16 (Taf. 31).

Topf mit ausgebogenem, annähernd dreieckig verdicktem Rand – RF 6, sek. g RA, Mdm 19, R6, Inv. 4b/2 (Taf. 31).

Topf mit kurzem, ausgebogenem Rand 1.1 – RF 6, P RA, Mdm 17, R10, Inv. 4b/5 (Taf. 31).

Topf mit kurzem, ausgebogenem Rand 3 – RF 6, hand/nach, K WA, Mdm 13, R10, Inv. 4b/7 (Taf. 31).

Topf mit ausgebogenem, innen gekehltem Rand 1.1 – RF 6, R1, Inv. 4b/6 (Taf. 31).

Topf mit ausgebogenem, innen gekehltem Rand 2 – RF 4 grob, P RA, R1, Inv. 4b/4 (Taf. 31).

Töpfe – RF grob, hand, K WA, max. Wst 1, 3 Bfgrt., Inv. 4b/18. RF grob, hand, K WA, max. Wst 1, 17 Wfgrt., Inv. 4b/17.

Deckel – RF 6, Dreh, Dm 21, R7, Inv. 4b/14 (Taf. 31). RF grob, Dreh, Wst 0,7, R1, Inv. 4b/24.

Glas

Form (?) – durchsichtig saftgrün (319), zahlreiche Luftblasen, leicht unebene OF, B1 (Wölbung/Bodenansatz), Größe 2,7 × 1,4, Wst 0,5–0,6, G 2,6, Inv. 4b/27.

Periode 4.1.2 – Schotterlage (SE 04a), D. 0,1.

Gesamtgewicht: Artefakte G 181, Summe G 181.

Artefakte NMI: Importkeramik: 1.

Terra Sigillata

Schüssel Drag. 37 – RZ, glatter Bogen (Ri.-Fi. KB64) oder glatter Kreis (Ri.-Fi. K8), W1, Inv. 4a/1 (Taf. 31).

Regionale Gebrauchskeramik

Becher – RF 5red, Dreh, Wst 0,6, B1, Inv. 4a/2.

Topf – RF grob, hand, K WA, Wst 0,7, 2 Wfgrt., Inv. 4a/3.

Baustoff

Baukeramik – 2, Inv. 4a/4.

Periode 4.2 (200–230 n. Chr.) – Siedlung S4–5

Periode 4.2 – Ofen (SE 69), rechteckige verziegelte Fläche mit Steinumstellung, 1,8 × 1,3.

Gesamtgewicht: Artefakte G 1520, Summe G 1520.

Artefakte NMI: Regionale Gefäßkeramik: 1. Baukeramik: 3.

Imitation italischer Feinware

Schale, Imitation italischer Feinware – red, Dreh, Ü WA/WI, Wst 0,2, W1, Inv. 69/2/20.

Transportkeramik

Amphore Dressel 6B – RF 86, Dreh, Wst 1, W1, G 15, Inv. 69/1/24.

Regionale Gebrauchskeramik

Faltenbecher – RF 5ox, Mischatmosphäre, Dreh, Wst 0,4, W1, Inv. 69/1/23.

Form (?) – RF 5ox, Dreh, Rat WA, Wst 0,9, W1, Inv. 69/3/21.

Topf – RF 4, sek. g RA/RI, Mdm 12, R11, Inv. 69/5/20 (Taf. 26). RF grob, hand, K WA, W1, Wst 0,7, 2 Wfrgt., Inv. 69/1/20, 69/3/20.

Baustoff

Baukeramik – Tegula, 1, Inv. 69/4/21. Tubulus, 2, davon 1 mit geritzten Rauten WA, Inv. 69/1/22, 69/4/22. Ofenteile, mit verbackener schwarzer Verglasung, 7, Inv. 69/4/20. Form (?), 38, Inv. 69/1/21, 69/5/21.

Hüttenlehm – 3, Inv. 69/2/21.

Periode 4.2 – Ovale bzw. halbkreisförmige Grube (SE 84), 1,49 × 1,91 × 0,65.

Gesamtgewicht: Artefakte G 8247, Faunen G 14,75, Summe G 8261,75.

Artefakte NMI: Regionale Gefäßkeramik: 61. Importkeramik: 2. Prähistorische Gefäßkeramik: 1. Keramikgerät: 1. Baukeramik: 2. Glas: 1.

Terra Sigillata

Schüssel Drag. 37 – Banassac, Grasbüschel (Hofmann 1988, Nr. 391), W1, Inv. 84/8/1 (Taf. 26).

Italischer Feinware und deren Imitation

Italische Feinware – Dreh, Rat WA, W1, Inv. 84/11/39 (Taf. 26).

Becher, Imitation italischer Feinware, Plesničar-Gec 1977, Taf. 2, 11–12 – Ü/K/Ritzlinie WA, Wst 0,2, W1, Inv. 84/3/20 (Taf. 26).

Imitation italischer Feinware – Dreh, Ba WA, W1, Inv. 84/7/37 (Taf. 26).

Transportkeramik

Dressel 6B – RF 86, Dreh, R1/W2, G 75, Inv. 84/1/41.

Regionale Gebrauchskeramik

Imitation Drag. 44 – RF 5red, Dreh, Ü WA/WI, Mdm 28, R9, Inv. 84/5/21 (Taf. 26).

Schüsseln, Imitation TS – RF 5red, Dreh, Ü WA/WI, R1, Inv. 84/7/39. RF 5red, Dreh, Ü WA/WI, Mdm 20, R6, Inv. 84/7/30.

Schüsseln mit eingezogenem Rand – RF 5red, Rat WA, Mdm 32, R4, Inv. 84/5/24 (Taf. 26). RF 5red, Rat WA, Mdm 32, R8, Inv. 84/7/35 (Taf. 26).

Schüsseln mit profiliertem Wandknick und gekehltem Oberteil – RF 5red, Dreh, Mdm 24, R5, Inv. 84/1/22 (Taf. 26). RF 8red, Dreh, Mdm 20, R4, Inv. 84/11/27 (Taf. 26).

Schüssel mit ausgebogenem Rand – RF 5red, Ü WA/WI, Mdm 16, R12, Inv. 84/11/23 (Taf. 26).

Reibschüssel ohne Innenabsatz – RF 10, Dreh, Mdm 37, Bdm 23, R/B15, Inv. 84/12/20 (Taf. 26).

Reibschüsseln – RF 5ox, Dreh, Kragen I, Inv. 84/7/28. RF 8ox, Dreh, Ü WA/WI, sek. v, Kragen I, Inv. 84/1/32.

Dreifußschüsseln 1/3 – RF 2, hand/nach, K WI, sek. g WA/verkohlte WI, Mdm 24, R/W11, Inv. 84/11/36 (Taf. 26; Abb. 97. 121). RF 6, sek. g WA, Mdm 24, R12, Inv. 84/7/33 (Taf. 26).

Dreifußschüssel 2/4 – RF 7, Dreh, R1, Inv. 84/7/40.

Dreifußschüssel 3 – RF 7, Dreh, Mdm 23, R9, Inv. 84/7/29 (Taf. 26; Abb. 121).

Dreifußschüssel 7 – RF 2, Dreh, Wellenband WA, Mdm 30, R/W11, Inv. 84/1/30 (Taf. 26).

Dreifüschüssel – RF 7, Dreh, Wst 0,9, Fuß/B1, Inv. 84/6/20.

Knickwandschüssel 1 – RF 9, Dreh, Mdm 24, R8, Inv. 84/7/31 (Taf. 26).

Schüssel – RF 7, Dreh, Mdm 19, R3, Inv. 84/11/25.

Teller mit eingebogenem Rand 1.1.1 – RF 5red, Dreh, Ü WA/WI, Mdm 18, R3, Inv. 84/1/27 (Taf. 26). RF 5red, Dreh, Ü WA/WI, Mdm 20, R/W9, Inv. 84/1/21 (Taf. 26; Abb. 121).

- Becher mit ausgebogenem Rand 1 – RF 9, Dreh, Rad WA, Mdm 9, R11, Inv. 84/5/20 (Taf. 26; Abb. 121).
- Becher mit ausgebogenem Rand 3 – RF 5red, Dreh, Mdm 9, R10, Inv. 84/7/25 (Taf. 27). RF 9, Dreh, Rad WA, Mdm 10, R5, Inv. 84/7/36 (Taf. 26).
- Becher mit ausgebogenem, kantigem Rand 2 – RF 5red, Dreh, Rad WA, Mdm 9, R/W15, Inv. 84/11/38 (Taf. 27).
- Becher mit Steilrand und Innenabsatz 1.1 – RF 9, Dreh, Mdm 9, R3, Inv. 84/11/34 (Taf. 27). RF 9, Dreh, Mdm 9,5, R16, Inv. 84/11/22 (Taf. 27; Abb. 99).
- Becher mit Steilrand und Innenabsatz 1.2 – RF 5red, Ü WA, Mdm 8, R9, Inv. 84/5/23 (Taf. 27).
- Becher – RF 5ox, Dreh, Ü WA/WI/Sandbewurf WA, Wst 0,2, W1, Inv. 84/11/41. RF 5red, Ü/Rat WA, Wst 0,3, W1, Inv. 84/5/30. RF 9, Rad WA, R1, Inv. 84/5/25.
- Krug mit ausgebogenem Rand – RF 8ox, Dreh, Mdm 5, R25, Inv. 84/11/31 (Taf. 27).
- Krüge – RF 5ox, Mischatmosphäre, Dreh, Mdm 13, R10, Inv. 84/11/28 (Taf. 27). RF 5red, H1, Inv. 84/11/37 (Taf. 27). H1, Inv. 84/1/29 (Taf. 27).
- Töpfe mit Dreiecksrand 4.1 – RF 2, Mdm 12, R3, Inv. 84/1/28 (Taf. 27). RF 4, hand/nach, sek. g RI, Mdm 14, R/W15, Inv. 84/11/20 (Taf. 27).
- Topf mit Dreiecksrand 4.3 – RF 2, Mdm 19, R6, Inv. 84/1/26 (Taf. 27).
- Topf mit Dreiecksrand 5.2.1 – RF 4rot, Mdm 20, R7, Inv. 84/1/24 (Taf. 27).
- Töpfe mit verdicktem, gerundetem Rand 2 – RF 5red, Dreh, Mdm 14, R10, Inv. 84/7/21 (Taf. 27). RF 4, Mdm 19, R7, Inv. 84/7/26 (Taf. 27).
- Topf mit ausgebogenem, deutlich verdicktem Rand 1.3 – RF 6, R1, Inv. 84/7/22 (Taf. 27).
- Topf mit ausgebogenem, deutlich verdicktem Rand 2 – RF 6, Mdm 24, R10, Inv. 84/1/20 (Taf. 27).
- Töpfe mit ausgebogenem Rand 1.4 – RF 5red, Dreh, Ü WA, Mdm 10, R7, Inv. 84/11/32 (Taf. 27). RF 5red, Dreh, Ü WA, Mdm 12, R2, Inv. 84/5/22 (Taf. 27). RF 5red, Dreh, Ü WA, Mdm 9, R/W11, Inv. 84/11/40 (Taf. 27). RF 5red, Ü WA, Mdm 9, R13, Inv. 84/11/35 (Taf. 27). RF 5red, Dreh, Ü WA, Mdm 10, R10, Inv. 84/11/29 (Taf. 27).
- Topf mit ausgebogenem Rand 1.2.2 – RF 4, hand/nach, P RA (?), Mdm 26, R4, Inv. 84/7/23 (Taf. 27).
- Töpfe mit kurzem, ausgebogenem Rand 1.1 – RF 4, hand/nach, sek. bis unter Rand schwarz WI, Mdm 18, R/W15, Inv. 84/7/20 (Taf. 27; Abb. 103, 121). RF 4, Mdm 26, R13, Inv. 84/7/24 (Taf. 27).
- Topf mit kurzem, ausgebogenem Rand 1.2 – RF 2, hand/nach, K WA, Mdm 20, R19, Inv. 84/7/34 (Taf. 27; Abb. 103).
- Töpfe mit ausgebogenem, innen gekehltem Rand 1.1 – RF 3, Mdm 5,5, R4, Inv. 84/1/31. RF 4, Mdm 16, R5, Inv. 84/1/23 (Taf. 27). RF 4, P RA (?), Mdm 20, R3, Inv. 84/7/27 (Taf. 27).
- Topf – RF 4, Mdm 22, R4, Inv. 84/11/33 (Taf. 27).
- Form (?) – Dreh, Rat WA, Wst 0,4, W1, Inv. 84/1/40. RF 5ox, Dreh, B1, Inv. 84/5/28. RF 5red, Dreh, Rad WA, max. Wst 0,4, 4 Wfrgt., Inv. 84/1/42, 84/7/47, 84/11/46. RF 5red, Dreh, 3 Bfrgt., Inv. 84/1/39.
- Form (?) – RF grob, Dreh, Rad WA, max. Wst 0,6, 8 Wfrgt., Inv. 84/1/37, 84/7/46, 84/11/43. RF grob, hand, K WA, Wst 0,7, 89 Wfrgt., Inv. 84/1/36, 84/5/26, 84/7/42, 84/11/42. RF 4, hand, Bodenmarke: Striche, Wst 1, B1, Inv. 84/6/21. RF grob, hand/nach, parallele Profilierungen BA = Bodenmarke, B1, Inv. 84/11/44. RF grob, hand/nach, 5 Bfrgt., Inv. 84/1/35, 84/7/48.
- Deckel – RF 7, Dreh, R1, Inv. 84/7/38. RF 8ox, Dreh, Ü WA, Wst 0,5, 2 Rfrgt., Inv. 84/1/33–34. RF 9, Dreh, 2 Rfrgt., Inv. 84/7/41. RF 8ox, Dreh, sek. g RI, Dm 25, R5, Inv. 84/11/21 (Taf. 27). RF 4, Dreh, Dm 25, R6, Inv. 84/7/32 (Taf. 27). RF 4, Dreh, R1, Inv. 84/11/26 (Taf. 27).

Prähistorische Gefäßkeramik

La-Tène, Tonne mit innen gekehltem Wulstrand – schwarz WI/beigebraun WA, grau, stark glimmerhältig Bruch, sandig raue OF, Ansatz von gerundeter Rippe unter Rand, Mdm 15, R30, max. H 3,3, Wst 0,4, Inv. 84/2.

Regionale Gebrauchskeramik – spätantike Intrusion

Topf mit ausgebogenem Rand 1.1.4 – Blasenton, hand/nach, Mdm 9, R16, Inv. 84/11/24 (Taf. 27).

Baustoff

Baukeramik – Tegula, 1, Inv. 84/7/44. Imbrex, sek. v, 1, Inv. 84/7/45. Form (?), 46, Inv. 84/7/43, 84/1/38, 84/11/45, 84/5/29.

Webgewicht

Beigeorange, grau gefleckt, fein sandgemagert, OF sandig rau, mit vorne unzentrierter Bohrung, komplett, H 14, Größe 4,5 × 4,2 bzw. 7,5 × 6,8, G 801,6, Inv. 84/10.13 (Taf. 27).

Glas

Schale oder Teller mit rund geschmolzenem, verdicktem Rand – durchsichtig, leicht blaugrün (319), lang gezogene Luftblasen, Mdm 17, R3, Wst 0,3–0,4, G 1,6, Inv. 84/4 (Taf. 27).

Form (?) – durchsichtig klar bis zart grünlich (577), Luftblasen, dünnwandig, Wst 0,1, W1, G 0,8, Inv. 84/9.

Periode 4.2 – Ofen (SE 127), verziegelte Fläche mit Stein-/Ziegelumstellung, 1,21 × 0,98 × H 0,2.

Gesamtgewicht: Artefakte G 1335, Faunen G 9,31, Summe G 1344,31.

Artefakte NMI: Regionale Gefäßkeramik: 11. Import: 1. Baukeramik: 1. Metall: 2.

Grobkeramikimport

Dickwandige Reibschüssel – Muschelkalkmagerung, Wst 1,1, B1, Inv. 127/1/29.

Regionale Gebrauchskeramik

Schale mit ausgebogenem Rand – RF 8ox, Dreh, Ü WI, R1, Inv. 127/5/22 (Taf. 27).

Schüsseln – RF 5red, Dreh, Wst 0,3, St/B1, Inv. 127/1/28. RF 5red, Mischatmosphäre, Dreh, Ü WA, Mdm 19, R6, Inv. 127/1/21 (Taf. 27).

Dreifußschüssel – RF grob, Wst 0,5, Fuß1, Inv. 127/5/25.

Teller mit Steilrand 1.2.1 – RF 5ox, Dreh, Ü WI, sek. g BA, Mdm 21, Bdm 19, R/B45, Inv. 127/6/21 (Taf. 27; Abb. 98. 121).

Topf mit ausgebogenem, deutlich verdicktem Rand 1.3 – RF 6, ox., viel Glimmer, R1, Inv. 127/1/25 (Taf. 27).

Topf mit ausgebogenem, deutlich verdicktem Rand 1.2 – RF 9, Mdm 17, R5, Inv. 127/1/20 (Taf. 27; Abb. 101).

Form (?) – RF grob, Rad WA, Wst 0,7, 2 Wfrgt., Inv. 127/5/26. RF grob, hand, K/P WA, Wst 0,6, W1, Inv. 127/1/26. RF grob, hand, K WA, Wst 0,6, 6 Wfrgt., Inv. 127/5/24. RF grob, hand/nach, Wst 0,6, B1, Inv. 127/1/27.

Deckel – RF 5ox, Dreh, Ü WA, Dm 18, R6, Inv. 127/1/22 (Taf. 27). RF 5ox, Dreh, Ü WA, Mdm 28, R4, Inv. 127/6/20 (Taf. 27). Dreh, Dm 30, R5, Inv. 127/5/21 (Taf. 27). Dreh, Dm 23, R3, Inv. 127/5/20. RF 2, Dreh, sek. g RA/RI, Dm 24, R7, Inv. 127/1/24 (Taf. 27). RF 4, Dreh, sek. g WI, Dm 24, R4, Inv. 127/1/23.

Baustoff

Baukeramik – Tubulus, 1, Inv. 127/5/23. Form (?), 3, Inv. 127/4/20.

Hüttenlehm – verbrannt, 2, Inv. 127/4/21.

Metall

Nagel – Fe, annähernd rechteckiger Kopf, im Querschnitt quadratischer, im unteren Bereich gebogener, abgebrochener Schaft, stark bestoßen, Größe/Kopf 2,2 × 1,3, Schaft 3,7 × 0,6 × 0,6, G 6,4, Inv. 127/10/1 (Taf. 27). Fe, oval-rechteckiger Kopf, im Querschnitt rechteckiger, im unteren Bereich umgebogener, abgebrochener Schaft, stark bestoßen, Größe/Kopf 1,2 × 0,6, Schaft 4,2 × 0,6 × 0,4, G 4, Inv. 127/10/2 (Taf. 27).

Periode 4.2 – Oval-rundliche Grube (SE 128), 0,95 × 0,89 × 0,25.

Gesamtgewicht: Artefakte G 1448, Summe G 1448.

Pflanzenreste: In Befundprotokoll Pfirsich erwähnt.

Artefakte NMI: Regionale Gefäßkeramik: 9.

Grobkeramikimport

Pompeianisch rote Platte – Dreh, Ü WI, Wst 0,7, B1, Inv. 128/1/29.

Imitation rheinischer Ware

Becher – RF 5red, Dreh, Ü/Rat WA, W1, Inv. 128/1/20 (Taf. 27).

Regionale Gebrauchskeramik

Schüsseln mit eingezogenem Rand – RF 5red, Dreh, Mdm 30, R4, Inv. 128/6/21 (Taf. 27; Abb. 121). RF 5red, Dreh, Mdm 29, R3, Inv. 128/6/22 (Taf. 27).

Schüssel – RF 5red, Dreh, Wst 0,7, St/B1, Inv. 128/1/24.

Knickwandschüssel 1 – RF 7, Dreh, Pass 127/128, Mdm 24, R21, Inv. 128/1/21 (Taf. 27).

Krug – RF 4, H1, Inv. 128/1/22 (Taf. 28).

Faltenbecher mit ausgebogenem Rand 2.1 – RF 5ox, Dreh, Ü WA/WI/Sandbewurf WA, Mdm 6, R14, Inv. 128/2/20 (Taf. 28; Abb. 99).

Auerbergderivat – RF 11, Mdm 16, R5, Inv. 128/6/20 (Taf. 28; Abb. 100).

Topf mit ausgebogenem Rand 1.2.2 – sek. v, Mdm 12, R7, Inv. 128/3/20 (Taf. 28).

Form (?) – RF 5red, Rad WA, W1, Wst 0,4, Inv. 128/3/23. RF grob, Dreh, Rad WA, Wst 0,5, W1, Inv. 128/1/28.

RF 9, Dreh, Wellenlinie WA, Wst 0,6, W1, Inv. 128/3/22. RF grob, hand, K WA, Wst 0,8, 16 Wfrgt., Inv. 128/1/25, 128/3/21, 128/6/23.

Deckel – RF 7, Dreh, Dm 28, R5, Inv. 128/1/23 (Taf. 28).

Baustoff

Baukeramik – Form (?), 1, Inv. 128/1/27.

Hüttenlehm – 3, davon 2 verbrannt, Inv. 128/1/26.

Glas

Form (?) – sehr klein, dünnwandig (Flotationsreste), durchsichtig, Inv. 128/8. Dünnwandig, durchsichtig, leicht blaugrün (319), zahlreiche Luftblasen, eine Verunreinigungsnope, Wst 0,08, W1, G 0,1, Inv. 128/9.

Periode 4.2 – Grube (SE 129), mit verziegeltem Boden und vielen Bruchsteinen, 1,47 × 0,82 × 0,48.

Gesamtgewicht: Artefakte G 2225, Faunen G 10,8, Summe G 2235,8.

Artefakte NMI: Regionale Gefäßkeramik: 28. Importkeramik: 6. Prähistorische Gefäßkeramik: 1. Lampe: 1. Glas: 2. Münzen: 3. Metall: 4. Steingerät: 1.

Münzen

Dp/As Antoninus Pius für Diva Faustina I RIC 1169b – Rom, Dat. 141/161, G 6,68, Inv. 129/1.

Dp Antoninus Pius RIC 811 od. 990 – Rom, Dat. 145/161, G 11,62, Inv. 129/2.

S Antoninus Pius für Faustina II RIC 1388b – Rom, Dat. 147/161, G 22,85, Inv. 129/3.

Lampe

Lampe – Ü WA/WI, sek. v, Schnauze/R1, Inv. 129/19/20 (Taf. 28).

Terra Sigillata

Schale Consp. 43 – Padana, Mdm 10, R11, Inv. 129/16/7 (Taf. 28).

Teller Consp. 39/40 – Padana, Bdm 10, St22, Inv. 129/16/5.

Teller Consp. 41 – Padana, Mdm 17, R5, Inv. 129/16/6 (Taf. 28).

Schüsseln Drag. 37 – RZ, Eierstab (Ri.-Fi. E23), Fruchtkorb (Ri.-Fi. O26), Astragal (Ri.-Fi. O206), Kreisbogen, BELSUS II–III, Mdm 20, R7, Inv. 129/27/1 (Taf. 28). RZ, Eierstab (Ri.-Fi. E58), dreieckiges Blatt (größer als Ri.-Fi. P35), 8-strahlige Sternrosette, mit Eintiefung in Mitte (Ri.-Fi. O49), Schnurstab (Ri.-Fi. O243), laufender Hund n. li. (Ri.-Fi. T130), REGINUS I, Bleiflickung, W1, Inv. 129/17/1 (Taf. 28).

Imitation italischer Feinware

Becher, Imitation italischer Feinware Plesničar-Gec 1977, Taf. 2, 11–12 – Dreh, K WA, W1, Inv. 129/18/21 (Taf. 28).

Imitation italischer Feinware – RF 8ox, Dreh, Ü/Ba WA, Mdm 8, R5, Inv. 129/12/20 (Taf. 28).

Rheinische Ware und Imitation rätischer Ware

Rheinische Ware – Mischatmosphäre, Dreh, Ü WA/WI/Rat WA, Üschwarz, W1, Inv. 129/18/22 (Taf. 28).

Imitation rätischer Ware – RF 5ox, Dreh, Ü WA/WI/Rat WA, W1, Inv. 129/18/20 (Taf. 28).

Regionale Gebrauchskeramik

Schale – RF 8red, Dreh, sek. durchlocht, Mdm 14, R7, Inv. 129/5/36 (Taf. 28).

Schüssel mit profiliertem Wandknick und gekehltem Oberteil – RF 5red, Dreh, Mdm 17, R6, Inv. 129/5/23 (Taf. 28; Abb. 97).

Schüsseln – RF 5ox, Dreh, Ü WI, Wst 0,8, St/B1, Inv. 129/5/47. RF 5red, Dreh, profilierter Wandknick, Wst 0,5, W1, Inv. 129/13/25.

Schüssel/Topf mit ausgebogenem Rand – RF 5red, Mischatmosphäre, Dreh, Wst 0,5, R1, Inv. 129/13/21.

Dreifußschüssel 4 – RF 4, Dreh, Mdm 22, R5, Inv. 129/5/33 (Taf. 28).

Dreifußschüssel 5 – RF 9, Dreh, sek. g WA/WI, Mdm 15, R16, Inv. 129/5/24 (Taf. 28; Abb. 97).

Dreifußschüssel – RF grob, Wst 0,6, Fuß1, Inv. 129/5/44.

Knickwandschüssel 6 – RF 4, Mischatmosphäre, Mdm 19, R10, Inv. 129/5/28 (Taf. 28).

Becher mit abgesetztem Rand – RF 5red, Dreh, Mdm 9, R16, Inv. 129/5/35 (Taf. 28). RF 9, Dreh, Mdm 10, R16, Inv. 129/5/25 (Taf. 28; Abb. 121).

Becher mit ausgebogenem Rand 2.1 – RF 5red, Dreh, Mdm 10, R12, Inv. 129/5/38 (Taf. 28). RF 5red, Dreh, Streichbrett WI, Mdm 6, R16, Inv. 129/5/30 (Taf. 28; Abb. 99).

Becher mit ausgebogenem Rand 2.2 – RF 11, Dreh, Mdm 7, R13, Inv. 129/5/34 (Taf. 28; Abb. 99).

Becher mit ausgebogenem Rand 3 – RF 5red, Dreh, Mdm 10, R11, Inv. 129/5/29 (Taf. 28). RF 8red, Dreh, Ü WA, Mdm 9, R18, Inv. 129/5/39.

Becher mit Steilrand und Innenabsatz 1.2 – RF 5red, Dreh, Streichbrett WI, Mdm 10, R12, Inv. 129/13/20 (Taf. 28). RF 5red, Mischatmosphäre, Dreh, Mdm 9, R17, Inv. 129/5/37 (Taf. 28; Abb. 99. 121).

Becher – RF 5ox, Dreh, Ü WA/WI, Ü WA: marmoriert od. abgerieben, Wst 0,3, 2 Wfrgt., Inv. 129/18/23. RF 5red, Dreh, Rat WA, Wst 0,5, W1, Inv. 129/5/48. RF 9, Dreh, Rad WA, Wst 0,5, W1, Inv. 129/8/20. RF 9, Dreh, Rad WA, Inv. 129/5/41 (Taf. 28).

Töpfe mit eingezogenem Rand 1.1 – RF 9, Dreh, Rad WA, Mdm 9,6, R19, Inv. 129/7/20 (Taf. 28). RF 9, Dreh, Rad WA, Mdm 9, R27, Inv. 129/6/20 (Taf. 28). RF 9, hand/nach, P RA/WA/K WA, Mdm 8, R4, Inv. 129/9/20 (Taf. 28; Abb. 104).

Topf mit ausgebogenem Rand 1.4 – RF 5red, Dreh, sek. Graffito, Mdm 12, R19, Inv. 129/5/20 (Taf. 28; Abb. 121).

Topf mit ausgebogenem, innen gekehltem Rand 1.1 – RF 6, Dreh, sek. Kochrückstände WI, Mdm 15, R42, Inv. 129/5/27 (Taf. 28).

Topf mit ausgebogenem, innen gekehltem Rand 2 – RF 6, Dreh, Mdm 14, R10, Inv. 129/5/22 (Taf. 28).

Topf mit ausgebogenem, kantigem Rand 3.1.1 – RF 7, sek. g RI, Mdm 14, R11, Inv. 129/5/31 (Taf. 28; Abb. 101).

Topf – RF 6, hart gebrannt, hand/nach, K WA, Mdm 14, R25, Inv. 129/5/26.

Form (?) – RF 5ox/red, Dreh, Ü/Rat WA, sek. v, Wst 1, W1, Inv. 129/5/45. RF 9, Dreh, Rad WA, Wst 0,5, W1, Inv. 129/13/22. RF 9, Dreh, sek. Graffito WA, W1, Inv. 129/5/40 (Taf. 28).

Form (?) – RF grob, Rad WA, Wst 0,5, 2 Wfrgt., Inv. 129/5/43. RF grob, hand, K WA, max. Wst 0,9, 39 Wfrgt., Inv. 129/5/42, 129/13/23. RF grob, hand/nach, mit/ohne K WA, mit/ohne Standfuß, Wst 0,6, 4 Bfrgt., Inv. 129/5/46.

Deckel – RF grob, Wst 0,5, 2 Rfrgt., Inv. 129/5/49. RF 5ox, Dreh, Ü WA, sek. v, Wst 0,7, W1, Inv. 129/4/20. RF 4, hand/nach, sek. g WA/WI, Dm 20, R7, Inv. 129/5/21 (Taf. 28). Sek. v, Dm 17, R10, Inv. 129/5/32.

Prähistorische Gefäßkeramik

La-Tène, Topf mit innen gekehltm Kremprand – schwarzgrau, leicht graphit- und stark glimmerhältig, raue OF, Mdm 25, R12, max. H 4,3, Wst 0,8, Inv. 129/14.

Baustoff

Baukeramik – Form (?), 1, Inv. 129/13/24.

Produktionsabfall

Rohglasbrocken – durchsichtig, blaugrün (570) – (563), Größe 0,3 × 0,25 × 0,25, G 23,4, Inv. 129/22.

Glas

Tiefe Rippschale AR 2.2, IS 3b – durchscheinend blaugrün (319), glatt WA, rau/matt WI, Dreh, Mdm 10, R13, Wst 0,1–0,3, G 13,6, Inv. 129/20 (Taf. 28).

Steilwandiger Becher mit rund geschmolzenem, verdicktem, leicht nach innen biegender Rand AR 98, IS 85b – beinahe farblos, saftgrün (577), rau WA, glatt WI, Luftblasen im verdickten Rand, frei geblasen, Mdm 7,4, R13, Wst 0,1–0,3, G 1,2, Inv. 129/21/1 (Taf. 28).

Flasche oder Balsamar – durchsichtig, leicht blaugrün (319), glatt WA, rau WI, großer Schlackeneinschluß, senkrechte Schlieren, durch Ablagerungen sek. bräunlichgrau verfärbt, Wst 0,1, W1, G 2,2, Inv. 129/21/3.

Vierkantiger Krug AR 156, IS 50 – durchsichtig, leicht saftgrün (577), Luftblasen, in Form geblasen, Bodenmarke: kleines plastisches Kreuz BA, B leicht nach innen gewölbt, zur Mitte verdickt, Bdm 6, St. 4, B50, Wst 0,3–0,35, G 14,1, Inv. 129/21/2 (Taf. 28).

Vierkantiges Gefäß AR 156, IS 50 oder 62 – durchsichtig, leicht blaugrün (319), Luftblasen, Wst 0,15–0,2, W1, G 1,8, Inv. 129/10/1.

Form (?) – durchsichtig blaugrün (563), Luftblasen, Wst 0,15, W1, G 1,6, Inv. 129/10/2. Durchsichtig, leicht blaugrün (570), große runde Luftblasen, Verunreinigungen, schwarze Einschlüsse, Wst 0,1–0,2, W1, G 1,1, Inv. 129/21/4. Durchsichtig klar bis zart oliv (577), dünnwandig, OF teilweise matt, teilweise von Luftblasen durchsetzt, G 4,8, W6, Inv. 129/21/5.

Metall

Fibel – Ae, Nadel, Ende weggebrochen, mit vier Windungen und Ansatz der Sehne, L 2,4, Br 0,8, G 0,8, Inv. 129/15 (Taf. 29).

Beschlag Var. Vindonissa 1001/1005 – Ae, Efeublattdekor, Tauschierung, zwei Nietlöcher, L 5,4, Br 1,4, H 0,1, G 20, Inv. 129 (Taf. 29).

Kleeblattförmiger Kannendeckel *prototype gaulois* – Ae, fischförmige, aufgenietete Attasche, hochziehendes, zweifach gelochtes Scharnierstück, Größe 4,9 × 5,3 × 0,15, Attasche 1,7 × 0,5 × 1,4, Scharnier 1,1 × 0,4 × 0,6, G 21,4, Inv. 129/23 (Taf. 29).

Blech – Ae, Größe 1,8 × 0,5 × 0,1, 0,8 × 0,3 × 0,1, G 1,1, Inv. 129/24.

Schöpfer (?) – Fe, H1, S-förmig geschwungener Schaft, eingerolltes, im Querschnitt gewölbtes, spitz zulaufendes Ende, Größe 8,1 × 3 × 1,2, G 18,4, Inv. 129/28 (Taf. 29).

Stein

Schleifstein – Tuff/Sandstein, im Querschnitt unregelmäßig quadratisch bis trapezförmig, Enden weggebrochen, Größe 7 × 2,5 × 2,3, G 76,4, Inv. 129/26 (Taf. 29).

Periode 4.2 – Brunnen (SE 131), runder Schacht mit Steinkranz, 2,0 × 2,23 × 2,0.

Gesamtgewicht: Artefakte G 2735, Faunen G 29, Summe G 2764.

Artefakte NMI: Regionale Gefäßkeramik: 36. Importkeramik: 3. Baukeramik: 3. Metall: 1. Steingerät: 1.

Terra Sigillata

Teller Consp. 20 – Padana, W1, Inv. 131/13/3.

Schüsseln Drag. 37 – RZ, Perlstab (Ri.-Fi. O261), glatter Kreis, W1, Inv. 131/8/1 (Taf. 29). RZ, Füllmotiv (Ri.-Fi. O160), Eierstab (Ri.-Fi. E25 [?]), W3, Inv. 131/10/3 (Taf. 29).

Schale Drag. 33 – W1, Inv. 131/13/4.

Schüssel Drag. 37 – sek. v, Mdm 19, R5, Inv. 131/2/1.

Imitation rätischer Feinware

Becher, Imitation rätischer Ware Drexel 2/3b – RF 5ox, Dreh, Ü RA/RI, Mdm 12, R17, Inv. 131/9/30 (Taf. 29).

Regionale Gebrauchskeramik

- Schüssel – RF 5red, Dreh, Mdm 17, R6, Inv. 131/1/28.
 Imitation TS – RF 5red, Dreh, Wst 0,5, R1, Inv. 131/9/35.
 Imitation Drag. 33 – RF 5ox, Dreh, Pass 59/131, Mdm 10, R55, Inv. 131/12/20 (Taf. 29).
 Dreifußschüssel 1/3 – RF 4, Dreh, sek. Kochrückstände WA/WI, Mdm 26, R4, Inv. 131/7/24 (Taf. 29).
 Dreifußschüssel – RF grob, Dreh, Wst 1, B1, Inv. 131/12/24.
 Teller mit eingebogenem Rand 1.1.1 – RF 5ox, Dreh, Wst 0,7, R1, Inv. 131/7/29, RF 5ox, Dreh, Mdm 24, R5, Inv. 131/9/33 (Taf. 29).
 Teller mit Steilrand 1.2.1 – RF 5ox, Dreh, R1, Inv. 131/9/23 (Taf. 29).
 Becher mit ausgebogenem Rand 1 – RF 9, Dreh, Mdm 10, R8, Inv. 131/9/24 (Taf. 29).
 Faltenbecher – RF 5ox, mit/ohne Mischatmosphäre, Dreh, mit/ohne Ü WA/WI, max. Wst 0,5, 9 Wfrgt., Inv. 131/3/20, 131/9/39, 131/12/26.
 Becher – RF 9, Dreh, Rad WA, Wst 0,4, W1, Inv. 131/9/36. RF grob, Dreh, Wst 0,5, B1, Inv. 131/12/25.
 Krug mit ausgebogenem Rand – RF 5red, Dreh, Mdm 10, R15, Inv. 131/9/29 (Taf. 29).
 Krüge mit ausgebogenem, innen gekehltem Rand – RF 5red, Dreh, Mdm 10, R18, Inv. 131/9/21 (Taf. 29).
 RF 5ox, Mischatmosphäre, Dreh, Mdm 9, R5, Inv. 131/9/31 (Taf. 29).
 Krug mit Trichterrand – RF 5ox, Dreh, Mdm 11, R9, Inv. 131/1/21 (Taf. 29).
 Krug – RF 5ox, Dreh, Mdm 7, R7, Inv. 131/1/25 (Taf. 29).
 Topf mit ausgebogenem, unterschrittenem Rand – RF 4rot, Mdm 25, R3, Inv. 131/1/27 (Taf. 29).
 Töpfe mit Dreiecksrand 3.1 – RF 4, sek. g RI, Mdm 20, R4, Inv. 131/1/23 (Taf. 29). RF 4, hand/nach, sek. g RA/RI, Mdm 20, R3, Inv. 131/9/28 (Taf. 29).
 Topf mit Dreiecksrand 5.2.1 – RF 4, sek. g RA/RI, Mdm 12, R13, Inv. 131/7/22 (Taf. 29).
 Töpfe mit ausgebogenem Rand 1.4 – RF 4, Mdm 16, R4, Inv. 131/7/25 (Taf. 29). RF 5red, Dreh, Mdm 13, R8, Inv. 131/7/27 (Taf. 29).
 Töpfe mit ausgebogenem Rand 1.2.2 – RF 5red, Dreh, Mdm 11, R10, Inv. 131/7/21 (Taf. 29). RF 9, Mdm 16, R5, Inv. 131/7/26 (Taf. 29). RF 4, hand/nach, P RA (?), Mdm 17, R10, Inv. 131/1/24 (Taf. 29; Abb. 121).
 Töpfe mit kurzem, ausgebogenem Rand 1.1 – RF 4, sek. g RA/RI, Mdm 17, R7, Inv. 131/7/20 (Taf. 29). RF 4, Mdm 16, R11, Inv. 131/7/23 (Taf. 29).
 Töpfe mit kurzem, ausgebogenem Rand 3 – RF 4, Mdm 26, R4, Inv. 131/9/27 (Taf. 29). RF 4, Mdm 22, R13, Inv. 131/1/20 (Taf. 29). RF 4, grobe Steinchenmagerung, K WA, sek. g RA/RI, Mdm 14, R16, Inv. 131/1/30 (Taf. 29; Abb. 121).
 Form (?) – RF 5ox, Rat WA, sek. v, Wst 0,7, W1, Inv. 131/9/38. RF 5red, Rad WA, max. Wst 0,5, 2 Wfrgt., Inv. 131/1/32, 131/9/37. RF 5red, Dreh, Wst 0,7, B1, W1, Inv. 131/9/41, 131/9/22 (Taf. 29). RF 9, Dreh, Rad WA, Wst 0,4, Inv. 131/12/27.
 Form (?) – RF grob, Dreh, Wst 1, 3 Bfrgt., Inv. 131/9/40. RF grob, hand, K WA, max. Wst 1, 25 Wfrgt., Inv. 131/1/31, 131/7/28, 131/9/34, 131/12/23. RF grob, hand, Wst 1,1, B1, Inv. 131/9/42.
 Deckel – RF 5ox, Dreh, Ü WA, Dm 19, R7, Inv. 131/1/26 (Taf. 29). RF 7, Dreh, Rad WA, Pass 59/131, W1, Inv. 131/1/29 (Taf. 29). RF 2, sek. g RA/RI, Dm 22, R5, Inv. 131/9/26 (Taf. 29). RF 4, sek. g RA/RI, Dm 20, R5, Inv. 131/9/32. RF 4, sek. g RA/RI, Dm 18, R10, Inv. 131/9/20 (Taf. 29). RF 4, Dreh, sek. g RA/RI, Dm 29, R7, Inv. 131/1/22 (Taf. 29). RF 4, sek. g RA/RI, Dm 26, R7, Inv. 131/9/25 (Taf. 29). RF 4, Dm 24, R4, Inv. 131/12/22 (Taf. 29). Dm 22, R4, Inv. 131/12/21 (Taf. 29).

Baustoff

- Baukeramik – Imbrex, 1, Inv. 131/12/28. Tubulus, 1, Inv. 131/1/33. Tubulus (?), Ansatz einer Ecke, parallel dazu verlaufende im Querschnitt dreieckige Rille, Resten von zwei in den feuchten Ton eingeritzten Rosetten in Zirkelschlag, Größe 8,9 × 7,8 × 2,6, W1, G 201,1, Inv. 131/15 (Taf. 29).

Glas

- Form (?) – durchsichtig, annähernd farblos, leicht saftgrün (577), matt WA/WI, Wst 0,1–0,15, W4, G 1,2, Inv. 131/14.

Metall

- Band – Fe, im Querschnitt flach-rechteckig, mit leicht gebogenen Enden, Größe 12,5 × 1,1 × 0,3, G 23,6, Inv. 131/17/3 (Taf. 29).
 Nagel – Fe, rechteckiger Kopf, im Querschnitt quadratischer Schaft, Kopf 3,5 × 2,2, Schaft 11,4 × 0,5 × 0,5, G 47, Inv. 131/17/1 (Taf. 29).
 Stabförmiges Frgt. – Fe, im Querschnitt quadratischer Schaft, Größe 5,1 × 0,8 × 0,8, G 7, Inv. 131/17/2.

Stein

- Schleifstein – Tuff/Sandstein, im Querschnitt unregelmäßig quadratisch bis trapezförmig, Enden weggebrochen, Größe 7,6 × 3,8 × 2,9, G 170, Inv. 131/4 (Taf. 29).

Periode 4.2 – Pfostengrube (SE 170), 0,33 × 0,18 × 0,31.

Gesamtgewicht: Artefakte G 8, Summe G 8.

Regionale Gebrauchskeramik

Form (?) – RF 50x, Dreh, Wst 0,7, St/B1, Inv. 170/1/20.

Periode 4.2 (200–230 n. Chr.) – Siedlung S1

Periode 4.2 – Grube (SE 03), Feuerstelle (SE 02a)

Artefakte NMI: Regionale Gefäßkeramik: 1.

Zu Befunden und Fund s. Tiefengraber 2002, 118 Feuerstell (SE 01a) = Feuerstelle (SE 02a); 134 Taf. 4, 42.

Periode 4.2–4.3 (200–230 n. Chr.) – Siedlung S9

Periode 4.2.1 – Grube (SE 05), 0,27 × 0,2, T 0,24.

Gesamtgewicht: Artefakte G 35, Summe G 35.

Periode 4.2 – Pfostengrube (SE 10), 0,23 × 0,22.

Gesamtgewicht: Artefakte G 5, Summe G 5.

Periode 4.2 – Pfostengrube (SE 11), 0,39 × 0,36.

Gesamtgewicht: Artefakte G 30, Summe G 30.

Artefakte NMI: Regionale Gefäßkeramik: 1.

Transportkeramik

Dressel 6B – RF 86, W1, G 25, Inv. 11/2.

Regionale Gebrauchskeramik

Faltenbecher – RF 9, Dreh, Wst 0,3, W1, Inv. 11/1.

Periode 4.3 – Grube (SE 03), 0,45 × 0,7.

Gesamtgewicht: Artefakte G 100, Summe G 100.

Artefakte NMI: Regionale Gefäßkeramik: 2.

Regionale Gebrauchskeramik

Töpfe – RF grob, hand, K WA, Wst 0,5, W1, Inv. 3/3. RF grob, hand/nach, K WA, Wst 1, B1, Inv. 3/4.

Deckel – RF grob, Dreh, R1, Wst 0,7, Inv. 3/1. RF 7, Dreh, R1, Wst 0,6, Inv. 3/2.

Periode 4.3 – Grube (SE 06, SE 06a, SE 06b), 0,65 × 0,45.

Gesamtgewicht: Artefakte G 102, Summe G 102.

Artefakte NMI: Regionale Gefäßkeramik: 2.

Regionale Gebrauchskeramik

Topf mit ausgebogenem, annähernd dreieckig verdicktem Rand – RF 4, Mdm 17, R7, Inv. 6/1 (Taf. 31).

Topf mit ausgebogenem Rand 1.2.2 – RF 6, hand/nach, P RA/RI, Mdm 14, R15, Inv. 6b/1 (Taf. 31).

Periode 4.2 (200–230 n. Chr.) – Siedlung S10

Periode 4.2 – Grube (SE 12), 1,25 × 1,1, T 0,3.

Gesamtgewicht: Artefakte G 13, Summe G 13.

Artefakte NMI: Regionale Gefäßkeramik: 1.

Regionale Gebrauchskeramik

Topf mit ausgebogenem, innen gekehltem Rand 2 – RF 9, Mdm 12, R8, Inv. 12/2 (Taf. 31).

Topf – RF grob, K WA, Wst 0,8, W1, Inv. 12/3.

Perioden 3–4 (130–230 n. Chr.) – Gräberfeld S6

Perioden 3–4 – Steinfundament bzw. Ausriss von U-förmigem Grabbau (SE 83), 4,12 × 3,25.

Gesamtgewicht: Artefakte G 1517, Summe G 1517.

Artefakte NMI: Regionale Gefäßkeramik: 1.

Regionale Gebrauchskeramik

Faltenbecher – RF 5ox, Dreh, Ü/Sandbewurf WA, Wst 0,5, W1, Inv. 83.

Topf – RF 9, grob, red/ox, handaufgebaut, K WA, Bdm 26, B/W35, max. Wst 2,2, Inv. 83/1.

Form (?) – RF grob, red/ox, Dreh, Wst 0,3, W1, Inv. 83.

Baustoff

Baukeramik – Form (?), 1, Inv. 83.

Periode 3–4 – Fundamentgrube (SE 82), 2,38 × 0,79. Fundament (SE 95), 1,4 × 0,6. Steinlage (SE 26), 4,8 × 4,2. Grube (SE 94), 1,44 × 0,79 × 0,11.

Keine Funde.

Periode 4 – Mauer (SE 81), Westmauer des Grabbezirks, 6,64 × 0,9.

Gesamtgewicht: Artefakte G 187, Summe G 187.

Artefakte NMI: Regionale Gefäßkeramik: 1. Neuzeitintrusionen: 4.

Regionale Gebrauchskeramik

Kanne – RF fein, red, Dreh, Steilrand, Mdm 8, R8, Inv. 81/5.

Neuzeitintrusionen

Kanne – RF 4, Dreh, Mdm 7, R20, Inv. 81/3 (Taf. 30).

Topf mit Karniesrand – RF grob, Dreh, Mdm 19, R5, Inv. 81/4 (Taf. 30).

Topf mit ausgebogenem, unterschrittenem Rand – RF grob, Dreh, Mdm 27, R7, Inv. 81/1 (Taf. 30).

Topf – RF grob, Dreh, Wst 0,8, B1, Inv. 81. RF grob, rundstabig, H1, Inv. 81/2 (Taf. 30).

Periode 4 – Mauer (SE 47), Nordmauer des Grabbezirks, 2,41 × 0,7 × 0,5. Mauer (SE 35), Südmauer des Grabbezirks, 19,7 × 0,9. Mauer (SE 88), Ostmauer des Grabbezirks, 1,25 × 0,7. Fundament 2 (SE 30a), 1,3 × 1,6 × 0,38. Fundament 3, max. L 2,2. Grube (SE 29), 0,64 × 0,53 × 0,2.

Keine Funde.

Periode 4 – Deponierung im Bereich von Fundament 1 (SE 26), Fundament 1: 5 × 4,5 × 1,9.

Gesamtgewicht: Artefakte G 516, Faunen G 6, Summe G 522.

Artefakte NMI: Regionale Gefäßkeramik: 1. Metall: 1.

Regionale Gebrauchskeramik

Kanne – RF 8red, Dreh, Mdm 6, Bdm 6,7, R25–B100, Inv. 26/1 (Taf. 30).

Glas

Kugelbauchige Flasche (?) – durchsichtig blaugrün, zahlreiche größere Luftblasen, schmale, schräg zulaufende Glasfäden, W1, Größe 3,4 × 1,4 × 0,15, G 1,4, Inv. 26/88.

Form (?) – durchsichtig blaugrün bis türkis, ohne Lufteinschlüsse, doppelt schleifenförmig gefaltete W1, Größe $2,8 \times 1,4 \times 1,0$, Wst 0,1, G 3,6, Inv. 26/87.

Metall

Gussfrgt. – Pb, quaderförmig, an Oberseite wegführender, länglicher verbogener Gussgrat, negativer rechteckiger Abdruck von Fe-Klammer, Größe $4,1 \times 3,7 \times 3,3$, Abdruck $3,0 \times 2,1 \times 1,3$, Gussgrat $2,7 \times 1,2 \times 1,0$, G 308,4, Inv. 26/90.

Periode 4 – Ovale Grube (SE 83a), Grube mit Brandschutt, $0,93 \times 0,54 \times 0,14$.

Gesamtgewicht: Artefakte G 130, Summe G 130.

Artefakte NMI: Regionale Gefäßkeramik: 1.

Regionale Gebrauchskeramik

Teller mit Steilrand 1.1 – RF 5ox, Dreh, B/W1, Inv. 83a/1 (Taf. 30).

Töpfe – RF grob, handaufgebaut, K WA, Wst 0,7, 2 Wfrgt., Inv. 83a.

Baustoff

Baukeramik – Form (?), 1, G 40, Inv. 83a.

Periode 5 (spätantik) – Gräberfeld S6

Periode 5 – Ovale Grube (SE 25), $0,69 \times 0,55 \times 0,2$.

Gesamtgewicht: Artefakte G 60, Summe G 60.

Regionale Gebrauchskeramik

Topf – RF grob, hand, Wst 1,1, W1, Inv. 25.

Periode 5 – Oval-unregelmäßige Grube (SE 27a), mit Brandschutt, $1,1 \times 0,85 \times 0,28$.

Gesamtgewicht: Artefakte G 570, Faunen G 10,6, Summe G 580,6.

Artefakte NMI: Regionale Gefäßkeramik: 4.

Regionale Gebrauchskeramik

Dreifüßschüssel 3 – RF 7, Dreh, sek. g RA/W1, Mdm 23, R3, Inv. 27a/1 (Taf. 30).

Topf mit ausgebogenem Rand 1.2.2 – RF 4, R1, Inv. 27a/3 (Taf. 30).

Topf mit ausgebogenem Rand 2 – RF 7, Dreh, sek. v WA, Mdm 19, R10, zugehörige Wfrgt., Inv. 27a/4 (Taf. 30).

Topf – RF grob, hand, K WA, max. Wst 1,4, 4 Wfrgt., Inv. 27a. RF grob, Dreh, W1, Inv. 27a.

Deckel – RF 5red, Dreh, Dm 31, R5, Inv. 27a/2 (Taf. 30).

Baustoff

Baukeramik – Form (?), 1, Inv. 27a.

Mörtel – 4, G 40, Inv. 27a.

Hüttenlehm – 2, G 10, Inv. 27a.

Glas

Form (?) – Wst 0,2, W1, Inv. 27a.

Periode 5 – Oval-unregelmäßige Grube (SE 27b), $1,80 \times 1,44 \times 0,29$.

Gesamtgewicht: Artefakte G 290, Summe G 290.

Regionale Gebrauchskeramik

Topf – RF grob, hand, K WA, max. Wst 0,7, 7 Wfrgt., Inv. 27b.

Periode 5 – Runde Grube (SE 27c), Störungsschacht durch Fundament, $2,37 \times 2,22 \times 1,5$.

Gesamtgewicht: Artefakte G 2746, Summe G 2746.

Artefakte NMI: Regionale Gefäßkeramik: 9. Metall: 1.

Regionale Gebrauchskeramik, Periode 4-zeitlich

Becher mit ausgebogenem Rand 3 – RF 5ox, Dreh, Mdm 8, R13, Inv. 27c/8 (Taf. 30).

Faltenbecher mit ausgebogenem Rand 2.1 – RF 6, Dreh, Mdm 11, R15, Inv. 27c/4 (Taf. 30).

Teller – RF 5ox, Dreh, sek. v, Wst 0,7, B1, Inv. 27c.

Topf mit ausgebogenem Rand 1.1.1 – RF 6, hand/nach, K WA horizontal/vertikal, Mdm 20, R/W17, zugehörig W10, Inv. 27c/6 (Taf. 30).

Topf mit ausgebogenem Rand 1.3 – RF 4, hand/nach, K WA, Mdm 20, R15, Inv. 27c/3 (Taf. 30).

Topf mit kurzem, ausgebogenem Rand 3 – RF 6, Dreh, K WA horizontal, Mdm 26, R30, zugehörig W9, Inv. 27c/5 (Taf. 30).

Krug/Topf – RF 5, Ü WA, rot, Dreh, sek. v, Wst 0,5, 2 Wfrgt., zugehöriger (?) Standfuß, sek. v, Inv. 27c.

Töpfe – RF 6, Wellenlinie/Leiste WA, hand/nach, Wst 0,6, W2, Inv. 27c/2 (Taf. 30). RF grob, hand, K WA, 20 Wfrgt., Inv. 27c. RF grob, Dreh bzw. Dreh (?), max. Wst 1,5, 2 Bfrgt., Inv. 27c. RF grob, hand, K WA, B1, Inv. 27c.

Deckel – RF 5red, grob, Dreh, sek. g WA, Dm 23, R8, Inv. 27c/1 (Taf. 30).

Regionale Gebrauchskeramik, spätantik

Topf mit kurzem, ausgebogenem Rand 1 – RF grob, Marmoragerung, hand/nach, Mdm 30, R8, zugehörig 1 Wfrgt. (27b), Inv. 27c/7 (Taf. 30).

Glas

Form (?) – durchsichtig blaugrün, mehrere Luftblasen, W1, Größe 3,7 × 3,5 × 0,2, G 3,4, Inv. 27c/298. Durchsichtig blaugrün, mehrere Luftblasen, W1, Größe 4,4 × 3,3 × 0,2, G 4,6, Inv. 27c/194/1. Durchsichtig farblos bis schwach blaugrün, W1, Größe 1,8 × 1,1 × 0,1, G 0,4, Inv. 27c/194/2. Durchsichtig blaugrün, mehrere Luftblasen, OF leicht verschliffen, W1, Größe 3,4 × 2,6 × 0,15, G 2,4, Inv. 27c/217. Durchsichtig blaugrün, wenige Luftblasen, W1, Größe 3,9 × 2,8 × 0,15, G 2,4, Inv. 27c/227.

Metall

Gussfrgt. – Pb, amorph länglich, Größe 4,0 × 1,3 × 0,3, G 6, Inv. 27c/182.

Baustoff

Baukeramik – Form (?), 5, G 40, Inv. 27c.

Mörtel – 3, G 63, Inv. 27c.

Marmorabspalt – max. L 4, G 25, Inv. 27c.

Periode 5 – Runde Grube (SE 27d), Schacht unter Fundament, 1,62 × 1,64 × 0,8.

Gesamtgewicht: Artefakte G 1616,6, Summe G 1616,6.

Artefakte NMI: Metall: 15.

Metall

Gussfrgt., Pb – quaderförmig, an Oberseite wegführender, länglicher verbogener Gussgrat, negativer rechteckiger Abdruck von Fe-Klammer, Größe 5,8 × 4,4 × 3,5, Abdruck 3,8 × 2,8 × 1,3, Gussgrat 5,2 × 1,3 × 0,9, G 572,2, Inv. 27d/245/1 und Größe 3,7 × 3,3 × 2,7, Abdruck 3,2 × 2,8 × 1,3, Gussgrat 5,3 × 1,1 × 0,7 bzw. 2,1 × 1,0 × 0,7, G 251,4, Inv. 27d/245/2. Quaderförmig, negativer rechteckiger Abdruck von Fe-Klammer, Größe 3,5 × 3,5 × 2,3, Abdruck 2,6 × 2,3 × 1,5, G 100,8, Inv. 27d/245/3. Abdruck von rechtwinklig umbiegender Fe-Klammer, zwei nach außen weggebogene Gussgrate, Größe 5,7 × 3,5 × 1,7, Abdruck 4,2 × 2,4 × 1,1, Gussgrat 4,7 × 1,3 × 0,5 bzw. 2,4 × 1,0 × 0,7, G 94,2, Inv. 27d/245/4. Stark verbogen, mit Abdruck von Fe-Klammer, zwei lange flache Gussgrate, Größe 5,2 × 3,6 × 3,5, Abdruck 4,7 × 2,8 × 1,0, Gussgrat 10,8 × 1,0 × 0,6 bzw. 4,3 × 2,5 × 0,3, G 224,2, Inv. 27d/245/5. Länglich gestreckt, leicht gebogen, im Schnitt dreikantiger Oberteil, flacher plattenförmiger Unterteil (Abdruck von Fe-Klammer), L 15,5, Br 0,8 bzw. 0,2, H 1,0 bzw. 2,5, G 132,2, Inv. 27d/245/6 und L 11,1, Br 1,2 bzw. 0,4 bzw. 0,7, H 0,6 bzw. 2,2 bzw. 0,3, G 115,8, Inv. 27d/245/7. Amorph, Fließstruktur, weggebogener Grat, Abdruck von Fe-Klammer, Größe 6,0 × 3,5 × 0,8, Abdruck 6,0 × 2,5 × 0,2, Gussgrat 4,2 × 0,5 × 0,8, G 45,6, Inv. 27d/245/8. Amorph plattenförmig, Größe 4,3 × 2,8 × 0,3, G 13, Inv. 27d/245/11. Länglich, leicht gebogen, Größe 5,5 × 1,0 × 0,5, G 9,8, Inv. 27d/245/12. Kantig umbiegend, Größe 2,9 × 2,1 × 1,3, G 14,1, Inv. 27d/245/13. Plattenförmig, Größe 2,4 × 1,6 × 0,2, G 3,1, Inv. 27d/245/14. Länglich, Größe 1,5 × 0,7 × 0,5, G 2,8, Inv. 27d/245/15.

Gussfrgt. bzw. -grat, Pb – plattenförmig, verbogen, Größe 5,3 × 2,6 × 0,3, G 21,2, Inv. 27d/245/9. Plattenförmig, verbogen, mit im rechten Winkel umgebogener Kante, Größe 5,0 × 2,9 × 0,2, G 16,2, Inv. 27d/245/10.

Antik, nicht näher datierbar – Siedlung S4–5

Pfostengrube (SE 06), 0,36 × 0,41 × 0,12.

Gesamtgewicht: Artefakte G 10, Summe G 10.

Regionale Gebrauchskeramik

Dreifußschüssel – RF grob, sek. v, Wst 0,4, B1, Inv. 6/1/20.

Runde Grube (SE 48), 0,78 × 0,93 × 0,32.

Gesamtgewicht: Artefakte G 412, Summe G 412.

Artefakte NMI: Regionale Gefäßkeramik: 2. Import: 1. Baukeramik: 1.

Terra Sigillata

Teller/Schale Consp. 39/43 – Padana, W1, Inv. 48/2/1

Regionale Gebrauchskeramik

Dreifußschüssel – RF grob, Dreh, sek. g WA, Fuß/B1, Inv. 48/1/25.

Topf – RF grob, hand, K WA, Wst 0,6, W1, Inv. 48/1/26.

Deckel – RF 5red, Mischatmosphäre, Dreh, Wst 0,4, R1, Inv. 48/1/22. RF grob, Dreh, sek. g WI, Wst 0,7, R1, Inv. 48/1/23. RF grob, Dreh, Rad WA, Wst 0,7, W1, Inv. 48/1/24.

Baustoff

Baukeramik – Tubulus, 1, Inv. 48/1/20.

Hüttenlehm – verbrannt, 1, Inv. 48/1/21.

Rechteckige Grube (SE 03), Teil in N-Profil, 0,98 × 0,73 × 0,27.

Gesamtgewicht: Artefakte G 15, Summe G 15.

Regionale Gebrauchskeramik

Form (?) – RF grob, Inv. 3/1/20.

Halbkreisförmige Grube (SE 71), 0,56 × 1,57 × 0,03.

Gesamtgewicht: Artefakte G 10, Summe G 10.

Artefakte NMI: Regionale Gefäßkeramik: 1.

Regionale Gebrauchskeramik

Dreifußschüssel I – RF4, hand, sek. v, R1, Inv. 71/92/1.

Form (?) – RF grob, Wst 0,5, W1, Inv. 71/1/20.

Baustoff

Hüttenlehm – 1, Inv. 71/1/21.

Oval-längliche Grube (SE 97), 0,7 × 1,06 × 0,06.

Gesamtgewicht: Artefakte G 10, Summe G 10.

Regionale Gebrauchskeramik

Schüssel – RF grob, Wst 0,6, W1, Inv. 97/1/20.

Runde Grube (SE 88), 0,45 × 0,47 × 0,05.

Gesamtgewicht: Artefakte G 17, Summe G 17.

Regionale Gebrauchskeramik

Form (?) – RF grob und RF fein, Inv. 88/1/20.

Oberflächenfunde des Grabungsareales 2003 und 2005 (S4, S5, S9, S10)

S4, bis DOF 1: Antike, G 365, östlich Gebäude 1 (SE 1a/1). Antike/Neuzeit, G 785 (SE 1a/5). Neuzeit, G 70 (SE 1a/3). Antike/Neuzeit, G 675, über SE 59 (SE 1a/8). Antike, G 110, über SE 59 (SE 1a/9). Antike/Neuzeit, G 730, lfm. 20 bis Wasserleitung (SE 1a/12). Antike, G 985, südlich Gebäude 1 (SE 1a/14–15). Antike, G 110, Gebäude 1, innen (SE 1a/16). Antike, G 650, westlich Gebäude 1 (SE 1a/17–18). Antike, G 235, nördlich Gebäude 1 (SE 1a/20). Antike/Neuzeit, G 130, südlich Gebäude 2 (SE 1a/21–22). Antike/Neuzeit, G 110, östlich Gebäude 1 (SE 1a/23–24). Tierknochen (SE 1a), G 195,6. Antike/Neuzeit, G 1490, lfm. 20–40 (SE 1/1). Antike/Neuzeit, G 2980, lfm. 20–25, Freilegung der Mauer (SE 1/6). Antike, G 90, lfm. 20–25 (SE 1/7–8). Antike/Neuzeit, G 3895, Freilegen der Mauer (SE 1/14–15). Antike, G 1, Bereich Gebäude (SE 1/19). Antike/Neuzeit, G 470 (SE 1/21). Antike, G 200, lfm. 40–60 (SE 1/33). Antike/Neuzeit, G 1115, Metallsuchgerät (SE 1/41). Antike/Neuzeit, G 220, lfm. 40–60 (SE 1/46). Neuzeit, G 375, lfm. 0–20 (SE 1/49). Tierknochen (SE 1), G 39.

Artefakte NMI: Antike Importkeramik (18). Antike regionale Gebrauchskeramik (92). Antike Terrakotta (1). Neuzeitliche Gebrauchskeramik (50). Neuzeitliche Ofenkacheln (9). Baustoff (G. 5125). Antike Webgewichte (2). Antikes Glas (5). Metall, Neuzeit (3).

S5, bis DOF 1: Antike/Neuzeit, G 562 (SE 1/22–24). Antike, G 700, östlich M6 (SE 1/25). Antike, G 605, östlich M6 (SE 1/26). Antike, G 3733, östlich M6 (SE 1/27–30). Antike, G 795, im Inneren des Gebäudes (SE 1/32). Antike/Neuzeit, G 820, Bereich M8 (SE 1/34). Antike, G 85, nordöstlich M6 (SE 1/37). Antike/Neuzeit, G 160, südlich SE 76, nach lfm. 25 (SE 1/38). Antike/Neuzeit, G 525, dunkle Konzentration neben Mauer (SE 1/50). Antike/Neuzeit, G 290 (SE 1/52–53).

Artefakte NMI: Antike Importkeramik (5). Antike regionale Gebrauchskeramik (52). Prähistorische Gefäßkeramik (3). Neuzeitliche Gebrauchskeramik (8). Baustoff (G. 2833). Antikes Glas (1).

S9, Humus: Antik, G 25 (SE 1). S10, Humus: Antik, G 165 (SE 1).

Streu- und Sondengeherfunde 2002/2003–2005 (Parz. 74/10, Parz. 81, Parz. 90, Parz. 93/3–4)

Streifund Parz. 74/10

Bauchiger Topf AR 117, IS 67a – Glas, durchsichtig blaugrün mit zahlreichen Luftbläschen, ausladender, oben nach innen umgeschlagener bzw. gefalteter R, Mdm 9,2, R 15, Wst 0,3, G 9,4, Sam 11/2003, Inv. SF159 (Taf. 36).

Streu-/Sondengeherfunde Parz. 81

Einknotenfibel Gugl 9c – Ag, eingliedrig, vier erhaltene Windungen der Spirale, obere Sehne, Stützplatte, gestreckter Fuß, Absatz vor Bügelknopf mit feinen schrägen Kerben, Nadelhalter weggebrochen, Größe 4,8 × 1,9 × 2,1, G 10,4, Sam 5/2004, Inv. SF123 (Taf. 33).

Kräftig profilierten Fibel J 5 B (?) – Ae, Fibelkopf, Sehnenhaken, stark korrodiert, Größe 1,4 × 0,9 × 0,9, G 1,4, Sam 6/2004, Inv. SF132 (Taf. 33).

Kniefibel J 13 D – Ae, zweigliedrig, Spirale mit acht Windungen, obere Sehne, halbrunde Kopfplatte mit Wolfszahnverzierung, profilierter Bügel, schräger hoher Nadelhalter, halbkreisförmige Wolfszahnverzierung um Bügelansatz und hängende, bogenförmig umlaufende Wolfszahnverzierung an Außenkante, Größe 3,9 × 1,9 × 2,5, G 12,4, Sam 6/2004, Inv. SF131 (Taf. 34).

Vogel-/Taubenfibel Winter IIb1 – Ae, rechter Flügel weggebrochen, linker am Ende nach unten umgebogen, Nadelhalter ansatzweise erhalten, Größe 3,3 × 1,2 × 1,6, G 4,2, Sam 2002/2003, Inv. SF92 (Taf. 34).

Doppelvogelfibeln Winter Ia1 – Ae, zweigliedrige Spiralkonstruktion (Spirale fehlt), schmalrechteckiger Nadelhalter, Bügel mit seitlichen feinen Kerben, Größe 2,8 × 1,5 × 1,2, G 4,6, Sam 12/2004, Inv. SF146 (Taf. 34).

Fischfibeln – Ae, Auge, Flosse, stilisierte Schuppenverzierung durch senkrechte Felder mit feinen geschwungenen Ritzungen, Nadelhalter am Ansatz weggebrochen, Größe 1,8 × 1,6 × 0,4, G 2, Sam 12/2004, Inv. SF147 (Taf. 34).

Nadel – Ag, eiförmiger Kopf, kurze, im rechten Winkel abgebogene Nadel, Größe 2,6 × 0,7 × 0,7 bzw. 0,1 × 0,1, G 1,3, Sam 6/2004, Inv. SF135 (Taf. 34).

Armring – Ae, runder Querschnitt, gebrochen und ein Ende leicht verbogen, Dm 7,4, Br 0,45 × 0,45, G 17,1, Sam 5/2004, Inv. SF124 (Taf. 34).

Riemenzunge Garbsch R4 – Ae, tordierter gestreckter Schlussteil, profilierter Knopf, konischer Mittelteil, profilierter Endknopf unter Riemenlasche, mit Ritzungen dreier überkreuzender und zweier paralleler Linien auf Vorderseite, Größe 7,9 × 1,1 × 1,1, G 21,6, Sam 5/2004, Inv. SF125 (Taf. 34).

Schlossriegel – Ae, rechteckiger Teil, im Querschnitt leicht trapezförmig, Größe 2,9 × 1,9 × 0,6, G 21,6, Sam 2002/2003, Inv. SF50 (Taf. 35).

Streu-/Sondengeherfunde Parz. 90

Glasperle – Glas, gedrückt zylindrisch, matt saftgrün, komplett, Größe 1,0 × 0,6 × 0,4, Sam 6/2004, Inv. SF129 (Taf. 36).

Form (?) – Glas, durchsichtig blaugrün (318), wenige Luftblasen, Haftnaht, Wandansatz, mittig leicht nach innen gewölbt, Stdm. 3,8, Bdm 7,5, B100, Wst 0,1–0,2, G 18,2, Sam 6/2004, Inv. SF130 (Taf. 36).

Gewicht 4 *unciae* = $\frac{1}{3}$ *libra* – Pb, rechteckiger Eindruck auf Oberseite, unregelmäßig geformt, Größe 3,8 × 3,3 × 1,7, max. Eindruck 2,5 × 1,1 × 0,3, G 111,6, Sam 12/2004, Inv. SF152 (Taf. 35).

Gewicht oder Lot – Pb, spitzkegelig, weggebrochene eiserne Aufhängung bzw. Öse, Dm 2,2, H 2,9 bzw. 3,6, G 47,6, Sam 5/2004, Inv. SF118 (Taf. 35).

Kräftig profilierte Fibel A 70/73 b/d – Ae, eingliedrig, vier erhaltene Spiralwindungen, Sehnenkappe mit schräger Rillenverzierung, Bügel hinter Bügelknopf leicht abgesetzt, Fibelfuß weggebrochen, Größe 3,9 × 2,0 × 2,4, G 11,4, Sam 2002/2003, Inv. SF57 (Taf. 33).

Kniefibel J 12 A – Ae, zweigliedrig, Spirale mit acht Windungen, Spiralhülse mit verschliffener Wolfszahnverzierung, schmaler, leicht schräger Nadelhalter, Größe 3,8 × 2,3 × 2,5, G 12,2, Sam 2002/2003, Inv. SF32 (Taf. 33).

Rechteckschnalle – Ae, gerundeter leicht erhöhter Hintersteg, Seitenstege flach-rechteckig, Dorn fehlt, Größe 3,3 × 2,9 × 0,8, G 11,8, Sam 2002/2003, Inv. SF33 (Taf. 34).

Jochaufsatz – Ae, dreilappige Tülle, mehrfach profilierter oberer Abschlussknopf, Tüllenlappen durchlocht, H 7,9, Br 4,6, Wst 0,1, Abschlussknopf/Dm 1,7 bzw. 1,3 bzw. 1,0, G 54,8, Sam 2002/2003, Inv. SF30 (Taf. 35).

Tülle in Form von Blattkelch – Ae, geschwungen konisch, gefranster unterer Abschluss, alternierende schräge geritzte Linienbündel, seitlich von je zwei vertikalen Ritzlinien eingefasst, H 1,8, Dm 2,5, Wst 0,1–0,3, G 11,6, Sam 2002/2003, Inv. SF42 (Taf. 36).

Ring – Ae, runder Querschnitt, leichte Kantung innen, komplett, Dm 2,4, Größe 0,4 × 0,5, G 5,6, Sam 6/2004, Inv. SF128 (Taf. 34).

Messer – Fe, im Querschnitt ovale Griffangel, Spitze weggebrochen, L 10,8, Br 1,5 × 0,5 bzw. 0,8 × 0,7, G 21,6, Sam 12/2004, Inv. SF150 (Taf. 35).

Streu-/Sondengeherfunde Parz. 93/3

Form (?) – Glas, durchsichtig saftgrün (577)–olivgrün (581), Haftnaht, Stdm. 4, B100, Wst 0,15, G 13,8, Sam 12/2004, Inv. SF149 (Taf. 36). Glas, durchsichtig blaugrün (318), matte OF, stempelförmig verdickter, oben gerade abgestrichener R, Mdm 5, R20, Wst 0,2, G 3,2, Sam 4/2005, Parz. 93/3, Inv. SF155/1 (Taf. 36). Glas, durchsichtig blaugrün (318), Größe 3,0 × 2,4, Wst 0,2, G 1,8, Sam 4/2005, Inv. SF155/3.

Balsamar – Glas, durchsichtig blaugrün (318), stark irisierende OF, Bdm 2,5, B1, Wst 0,2, G 1,4, Sam 4/2005, Inv. SF155/2 (Taf. 36).

Gewicht 3 *unciae* – Pb, konisch, gerundeter oberer Abschluss, Größe 2,5 × 2,2 × 2,5, G 76,2, Sam 2002/2003, Inv. SF61 (Taf. 35).

Gewicht 2,1 *unciae*, ursprünglich wohl 3 *unciae* – Pb, gedrückt konisch, ca. $\frac{1}{3}$ seitlich abgehackt, H 1,7, Dm 2,6, Br 1,7, G 60,2, Sam 2002/2003, Inv. SF64 (Taf. 35).

Gewicht 4 *unciae* – Pb, kalottenförmig, an Oberseite verschmolzene OF, Größe 3,5 × 3,2 × 1,9, G 104,2, Sam 2002/2003, Inv. SF62 (Taf. 35).

Kniefibel J 12 A – Ae, Spirale mit acht Windungen, fehlende Nadel, Spiralhülse, gerundeter Bügel, trapezförmiger hoher Nadelhalter, Größe 3,8 × 2,8 × 1,9, G 13,1, Sam 2002/2003, Inv. SF39 (Taf. 33).

Doppelknopffibel A 236 – Ae, zweigliedrig, drei erhaltene Spiralwindungen, kleine, gering profilierte Bügelknöpfe, langgestreckter Bügel, Fuß (rahmenförmig?) weggebrochen, Größe 3,5 × 1,9 × 1,5, G 8,4, Sam 2002/2003, Inv. SF45 (Taf. 33).

Vogelfibel, Pfau (?) – Ae, Ansatz des Körpers und des Nadelhalters auf Unterseite, Flügel in Frontalansicht, eingritztes feines Gefieder, Größe 2,0 × 1,5 × 0,4, G 2,2, Sam 5/2004, Inv. SF114 (Taf. 34).

Vogelfibel, Hahn (oder Pfau [?]) – Ae, an Unterseite Ansatz des stark bestoßenen Nadelhalters, Größe 3,7 × 2,5 × 0,7 bzw. 0,2, G 7,6, Sam 4/2005, Inv. SF153 (Taf. 34).

Schnalle – Ae, zweifach umgebogen, im Querschnitt trapezförmig, flache Unterseite, Größe 3,0 × 3,1 × 0,6 × 0,25, G 4,2, Sam 5/2004, Inv. SF115 (Taf. 34).

Doppelknopf – Ae, pilzförmiger oberer Knopf mit rundem Steg, leicht ovaler flacher Gegenknopf, H 1,8, Dm 1,8 bzw. 0,7 bzw. 1,4, G 13,1, Sam 12/2004, Inv. SF148 (Taf. 36).

Achsnagel – Fe, mit im Querschnitt rundem Splint, halbrunder, flacher Kopf, Br 15,5, H 10,8, D. 2,5–3,0 × 0,2–0,3, Splint 7,2 × 1,1 × 1,1, G 147,2, Sam 5/2004, Inv. SF117 (Taf. 35).

Mahlstein (Ständer) – Basalt, zentrale Bohrung an Unterseite, Oberseite konkav gewölbt, eine Seite weggebrochen, Dm 43,5, H 18,2, Bohrung 2,6 × 2,6 × 3,8, G 18,5 kg, Sam 2002, Inv. SF158 (Taf. 36).

Streu-/Sondengeherfunde Parz. 93/4

Gewicht, 0,4 *unciae* – Pb, kugelig, durchlochte Aufhängungsplatte, Größe 2,1 × 1,1 × 1,1, G 10,8, Sam 2002/2003, Inv. SF4/2 (Taf. 35).

Gewicht, 0,8 *unciae* – Pb, konisch, vertikale Bohrung, Dm 1,9, H 1,5, Bohrung/Dm 0,8, G 22,2, Sam 2002/2003, Inv. SF4/1 (Taf. 35).

Gewicht 1/2 *uncia* – Pb, flach bikonisch, 9-fach facettierter Ober- und Unterteil, H 1,1, Dm 1,4, G 12,6, Sam 2002/2003, Inv. SF6 (Taf. 35). Pb, gedrückt fassförmig, feine, durchgehend senkrechte Bohrung, H 1,2, Dm 1,5, G 14, Sam 12/2004, Inv. SF142 (Taf. 35).

Balkenwaage – Ae, Waagarmaufsatz, leicht konische am Ansatz durchbohrte Tülle, auf der Tülle fünf kurze geritzte Kerben im konstanten Abstand von 0,5 cm, ovale Kopfplatte, im Querschnitt runder Dorn, Tüllenansatz weggebrochen, Größe 4,9 × 3,1 × 2,4, Tülle 1,6 × 1,6 × 0,1, G 23,8, Sam 12/2004, Inv. SF144 (Taf. 36).

Kräftig profilierte Fibel A 68 bzw. J 4 B – Ae, eingliedrig, Stützplatte und Sehnenhaken, Spirale und Nadelhalter fehlen, Bügel hinter kaum abgesetztem Bügelknoten im rechten Winkel verbogen, Größe 3,0 × 3,8 × 2,7, G 7,4, Sam 5/2005, Inv. SF162 (Taf. 33).

Kräftig profilierte Fibel A 70/73 b/d – Ae, eingliedrig, mit vier erhaltenen Windungen der Spirale, Fibelfuß weggebrochen, Bügel hinter Bügelknopf leicht abgesetzt, Größe 4,1 × 2,1 × 2,0, G 11,2, Sam 2002/2003, Inv. SF12 (Taf. 33).

Kräftig profilierten Fibel A 70/73 b/d, Roh- oder Fehlprodukt – Ae, Fibelkopf, Bügelknopf, an Oberseite mittig durchlaufender Rest von Gussnaht, Größe 2,9 × 2,1 × 2,4, G 25,8, Sam 2002/2003, Inv. SF16 (Taf. 33).

Kräftig profilierte Fibel – Ae, Fibelfuß, hoher schmaler Nadelhalter, profilierter schräger Endknopf, auf Nadelhalter feine Wolfszahnverzierung entlang der drei unteren Kanten, Größe 1,4 × 1,8 × 0,4, G 2,8, Sam 5/2004, Inv. SF106 (Taf. 33).

Flügel fibel A 238 c – Ae, eingliedrig, Sehnenhaken, Nadelhalter und Spirale fehlen, langgezogene hohe Flügel mit jeweils einem Knopf, Bügelknoten und Fuß verbogen und gebrochen, Größe 5,0 × 3,3 × 2,5, G 20,2, Sam 5/2005, Inv. SF160 (Taf. 33).

Kniefibel J 12 A/B – Ae, zweigliedrig, Spiralhülse, Fuß mit Nadelhalter und Spirale fehlen, Größe 2,8 × 2,8 × 2,1, G 14,2, Sam 5/2005, Inv. SF161 (Taf. 33).

Kniefibel J 13 A – Ae, zweigliedrig, schmale rechteckige Kopfplatte, Bügel gering profiliert und innen gewölbt, schmalrechteckiger hoher Nadelhalter, Spirale fehlt, Größe 4,7 × 2,1 × 1,8, G 11,4, Sam 2002/2003, Inv. SF80 (Taf. 33).

Kniefibel J 13 B – Ae, Spirale nicht sichtbar, Nadel steht nach vorne weg und ist abgebrochen, breite rechteckige, getrepte am vorderen Rand vierfach halbrund durchbrochene Kopfplatte, dreifach gekanteter Bügel, Fuß weggebrochen, an der Unterseite starke Korrosion durch anhaftenden Eisengegenstand, Größe 4,0 × 2,7 × 4,2, G 35,4, Sam 2002/2003, Inv. SF59 (Taf. 33).

Kniefibel J 13 C – Ae, versilbert, zweigliedrig, Spirale mit acht Windungen, halbrunde Kopfplatte, gerundeter Bügel, schräger, schmaler hoher Nadelhalter, Sehne fehlt, Nadel in der Mitte verbogen, komplett, Größe 3,4 × 2,4 × 2,2, G 13,4, Sam 2002/2003, Inv. SF94 (Taf. 33).

Kniefibel J 13 D – Ae, zweigliedrig, Spirale mit sechs Windungen, obere Sehne, kleine halbrunde Kopfplatte mit Wolfszahnverzierung, gerundeter Bügel, schräger, schmaler hoher Nadelhalter, Größe 3,3 × 1,9 × 1,6, G 7,8, Sam 2002/2003, Inv. SF95 (Taf. 33).

Vogelfibel, Hahn (?) – Ae, Hinterteil und Spirale weggebrochen, Größe 2,7 × 2,1 × 0,9, G 4, Sam 5/2004, Inv. SF104 (Taf. 34).

Pferdchenfibeln Matouschek/Nowak 1b bzw. J 29 A – Ae, Beine im unteren Bereich weggebrochen, Größe 3,0 × 2,1 × 0,8, G 4,8, Sam 5/2004, Inv. SF105 (Taf. 34).

Nadel – Ae, Kopf eiförmig, mit waagrechten Rippen, Größe 2,5 × 1,4 × 1,4 bzw. 0,2 × 0,2, G 12,4, Sam 5/2005, Inv. SF163 (Taf. 34).

Riemenzunge Garbsch R2 – Ae, Schlussknopf mit kurzem Fortsatz, mehrfache Profilierung, Riemenlaschen knapp über Ansatz weggebrochen, Größe 5,1 × 0,8 × 0,8 bzw. 0,6 × 0,8, G 7, Sam 2002/2003, Inv. SF73 (Taf. 34).

Phallusanhänger – Ae, mit Ring, Größe 3,2 × 0,5–1,1, Dm/Ring 1,6, G 7,2, Sam 5/2005, Inv. SF164 (Taf. 36).

Blechanhänger mit Ritzzeichen A – Ae, länglich rechteckig, rechteckige, teilweise weggebrochene Öse, Größe 3,9 × 1,6 × 0,15, G 4,6, Sam 2002/2003, Inv. SF96 (Taf. 36).

Löwenkopfbeschlag – Ae, innen hohl gegossenen, Schnauze mit Augenpartie und Mähnenansatz, an Bruchstellen Schmelzspuren bzw. Hitzedeformationen, Größe 5,0 × 3,4 × 0,5 bzw. 0,2, G 61,2, Sam 12/2004, Inv. SF145 (Taf. 36).

Schiebeschlüssel – Fe, mit Ringende und vierstifligem Bart, komplett, Größe $12,8 \times 2,7 \times 2,6$, Ring/Dm 1,5, G 49,3, Sam 2002/2003, Inv. SF74 (Taf. 35).

Beschlag – Ae, perlformig und leicht gebogen, an Unterseite (?) kalottenförmige Mulden, waagrechte Bohrung auf Oberseite (?), Größe $1,9 \times 0,9 \times 0,8$, Wst 0,1, G 2,4, Sam 5/2004, Inv. SF107 (Taf. 36).

Barrenförmiges (?) – Ae, gestreckt, sechsfach facettiert mit Bruchstellen an beiden Enden, Größe $2,9 \times 0,8 \times 0,7$, G 8,4, Sam 2002/2003, Inv. SF83 (Taf. 36). Im Querschnitt rechteckig, Bruchstelle an einem Ende, Größe $4,1 \times 1,3 \times 0,6$, G 20, Sam 2002/2003, Parz. 93/4, Inv. SF85 (Taf. 36).

Scheibe – Pb, rund, Ränder leicht bestoßen, Dm 1,5, D. 0,1, G 0,6, Sam 5/2004, Inv. SF103 (Taf. 36).

Verwahrung der Grabungs-, Streu- und Sondengeherfunde 2002–2005

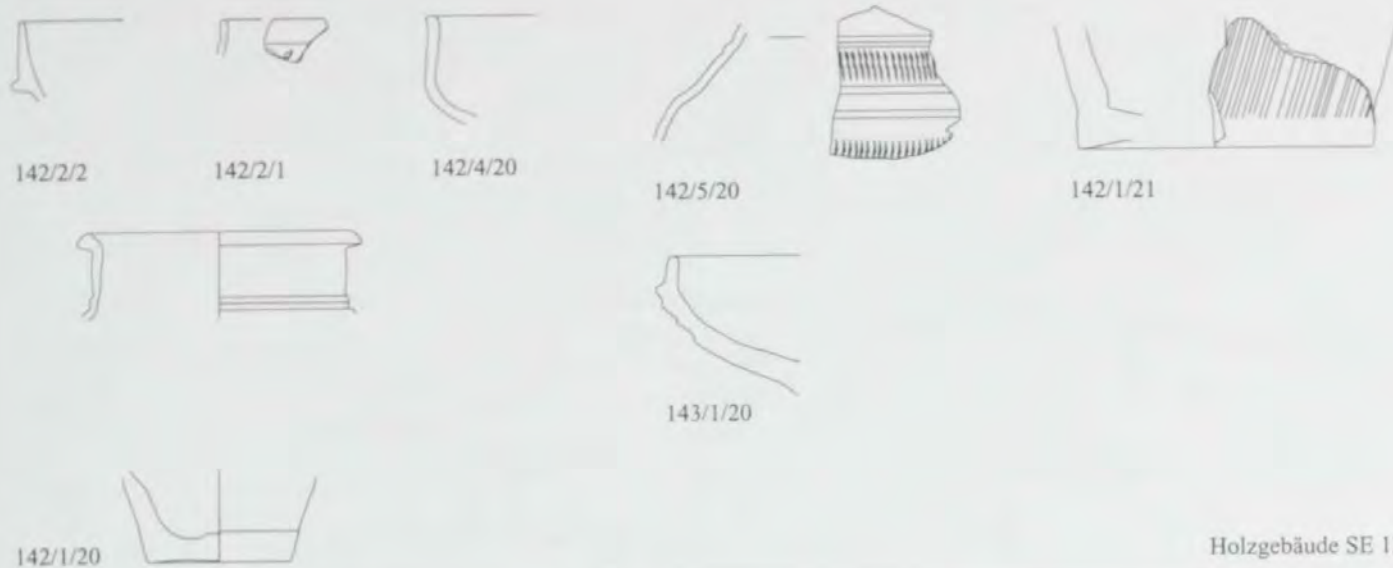
Nach dem Abschluss des Publikationsvorhabens werden die Funde aus den Grabungen der Jahre 2002–2005 am Institut für Ur- und Frühgeschichte in Wien und die Streu- und Sondengeherfunde der Jahre 2002/2003–2005 im Museum im Tabor der Gemeinde Feldbach verwahrt.

Tafeln

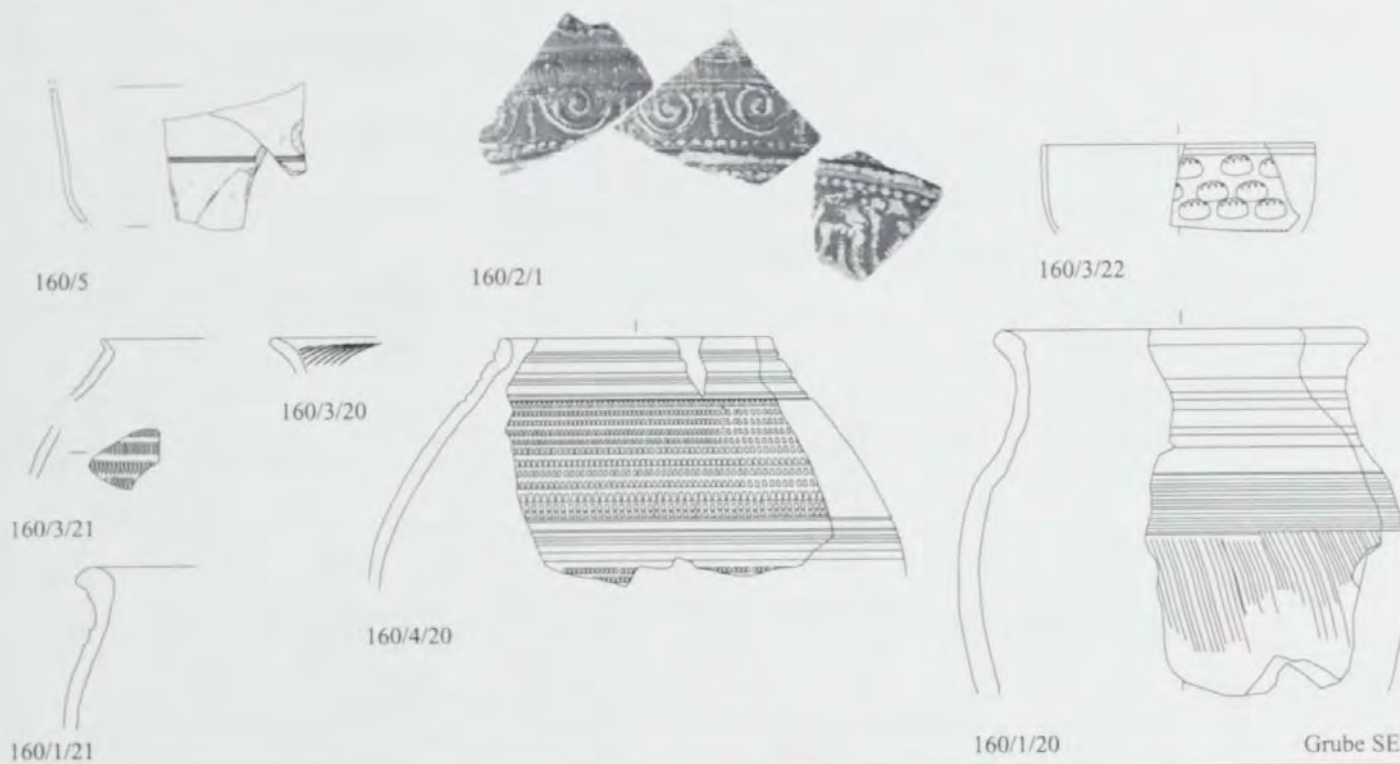
Kleinfunde, Reliefsigillata, Appliken M. 1:2

Sigillatastempel M. 1:1 und 1:3

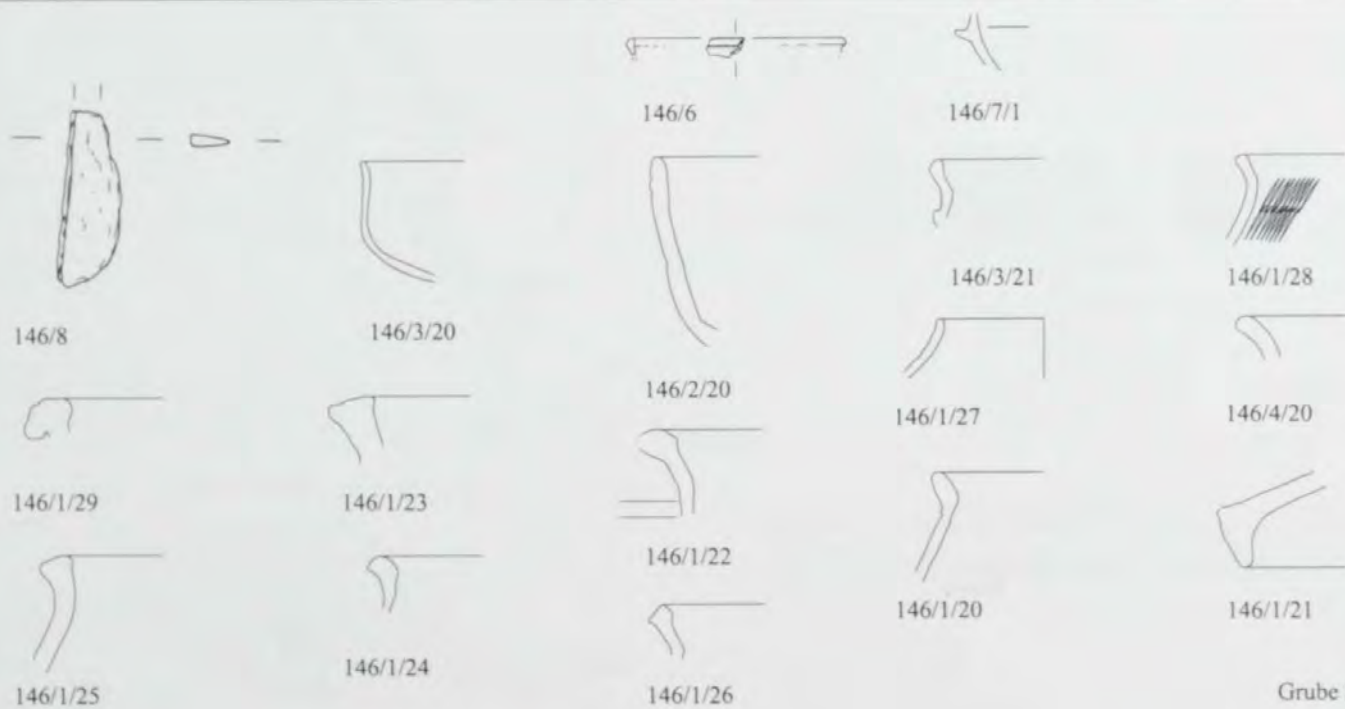
Sonstiges M. 1:3



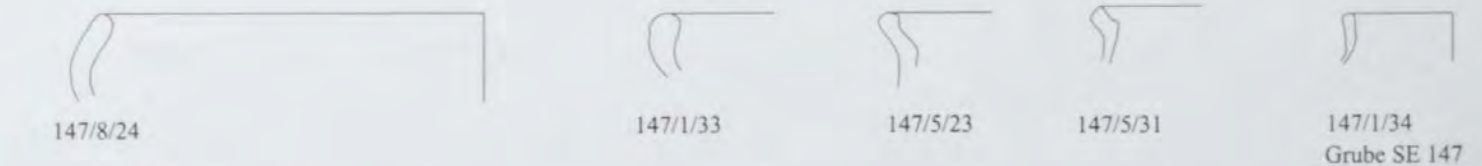
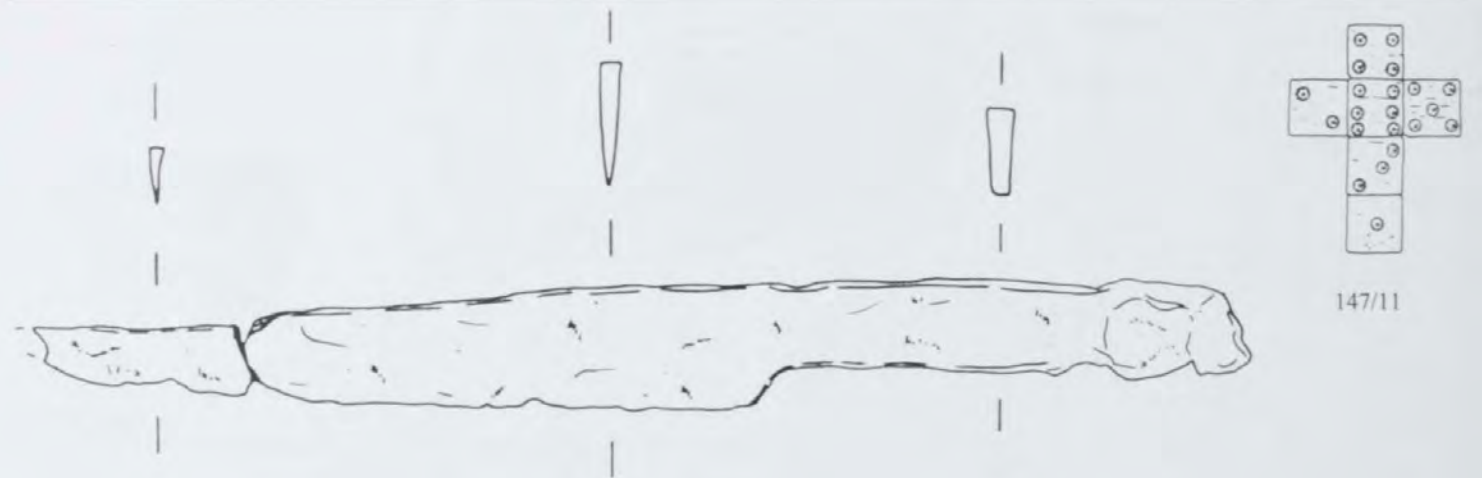
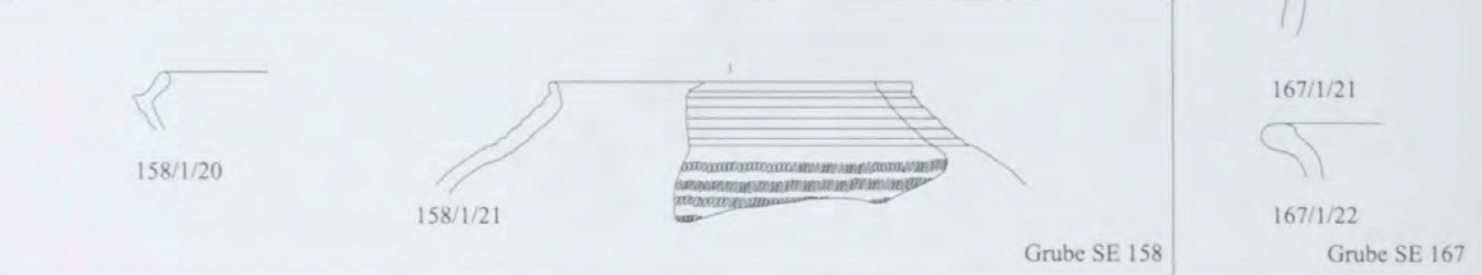
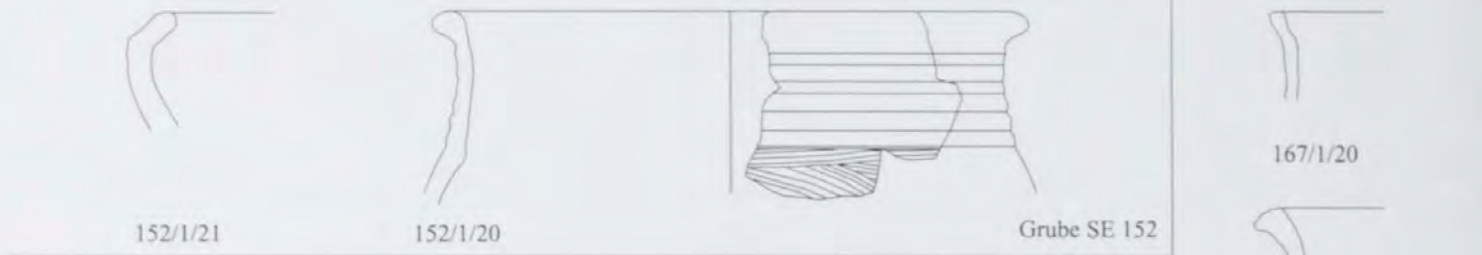
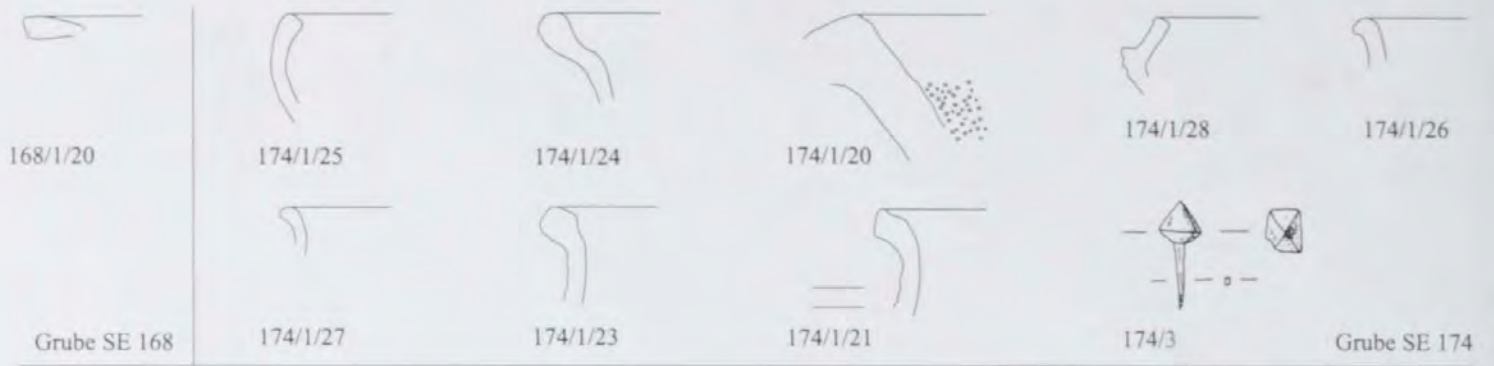
Holzgebäude SE 138-143

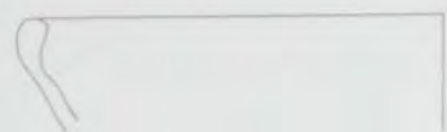


Grube SE 160



Grube SE 146





147/8/26



147/1/24



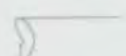
147/8/21



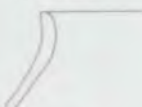
147/8/25



147/4/24



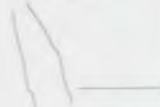
147/1/28



147/1/26



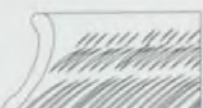
147/4/23



147/1/32



147/1/30



147/5/22



147/5/24



147/5/21



147/1/22



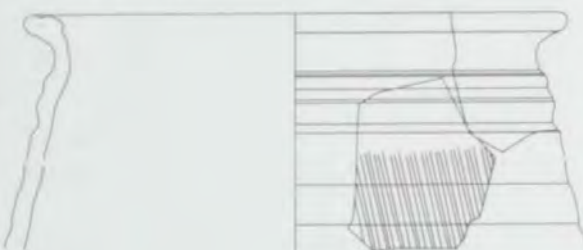
147/1/31



147/1/27



147/1/29



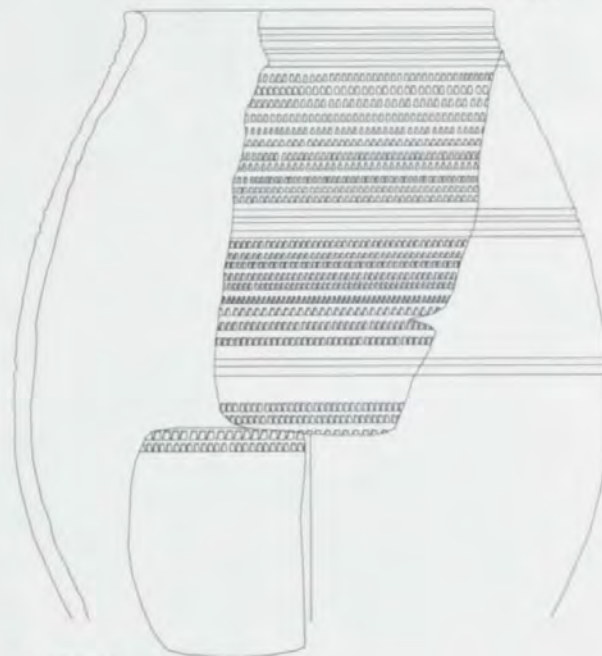
147/5/20



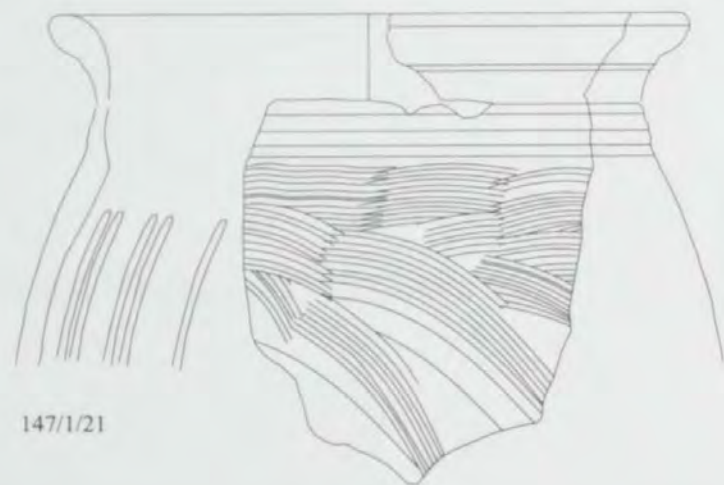
147/8/23



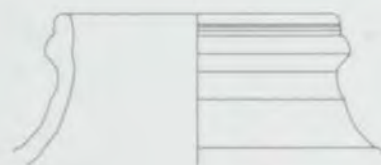
147/1/25



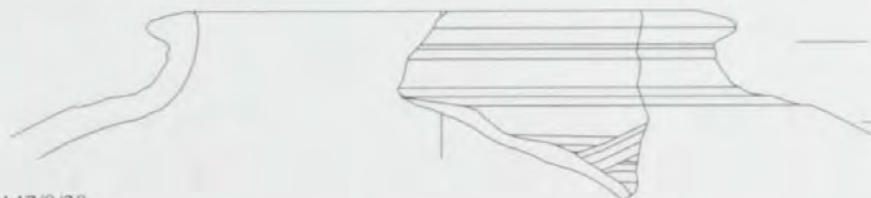
147/9/20



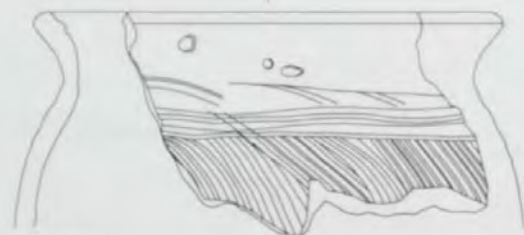
147/1/21



147/8/22



147/8/20

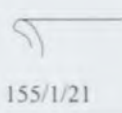
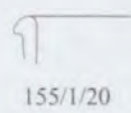
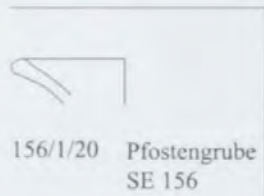
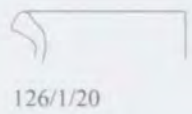
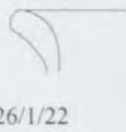
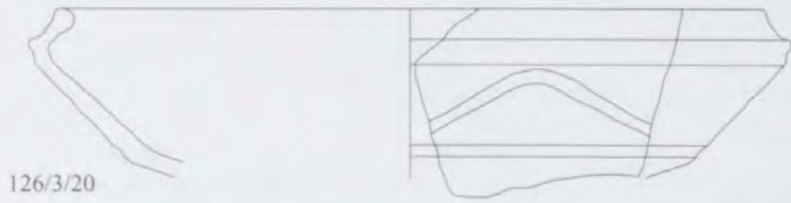


147/1/20



147/6/20

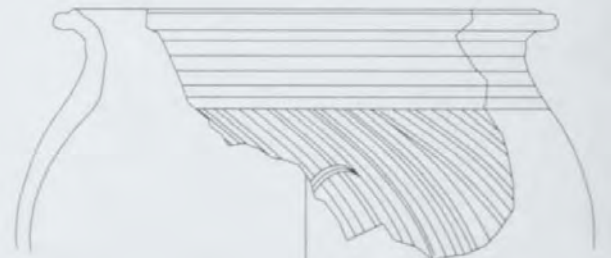
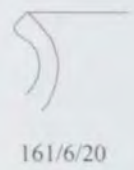
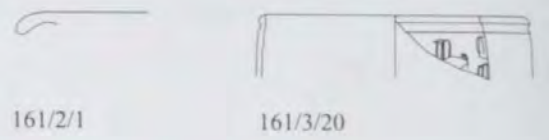
Grube SE 147



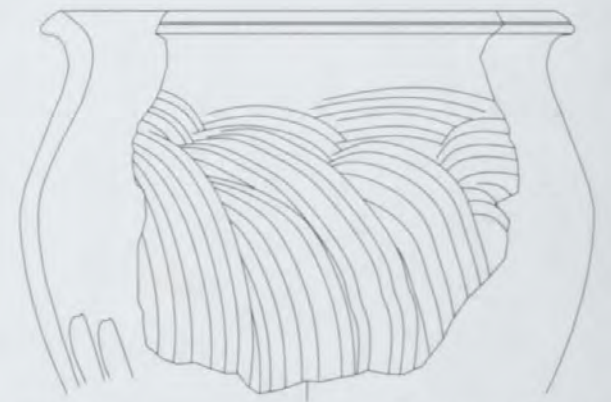
Grube SE 155



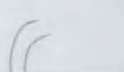
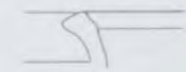
Grube SE 165



161/1/20



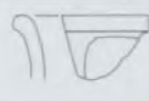
161/1/20



121/1/21

121/1/22

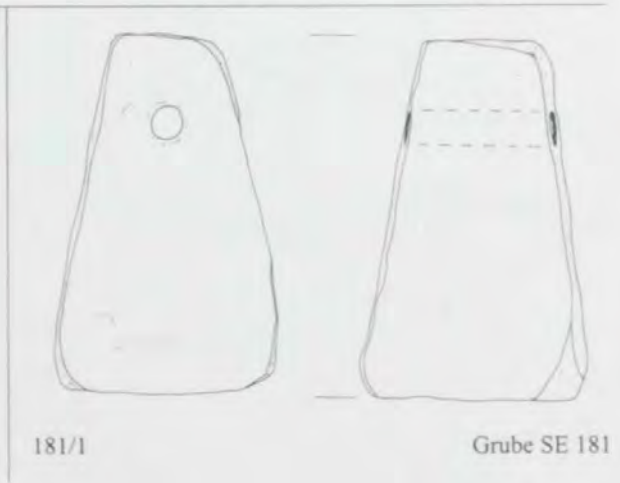
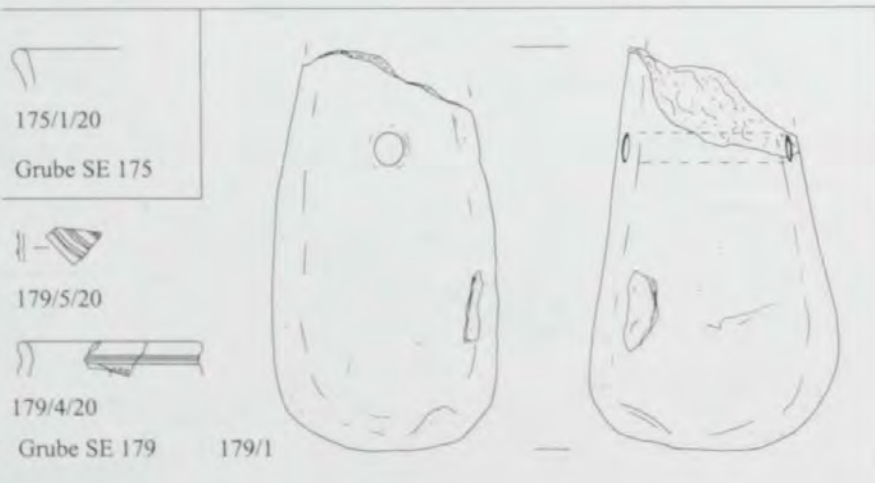
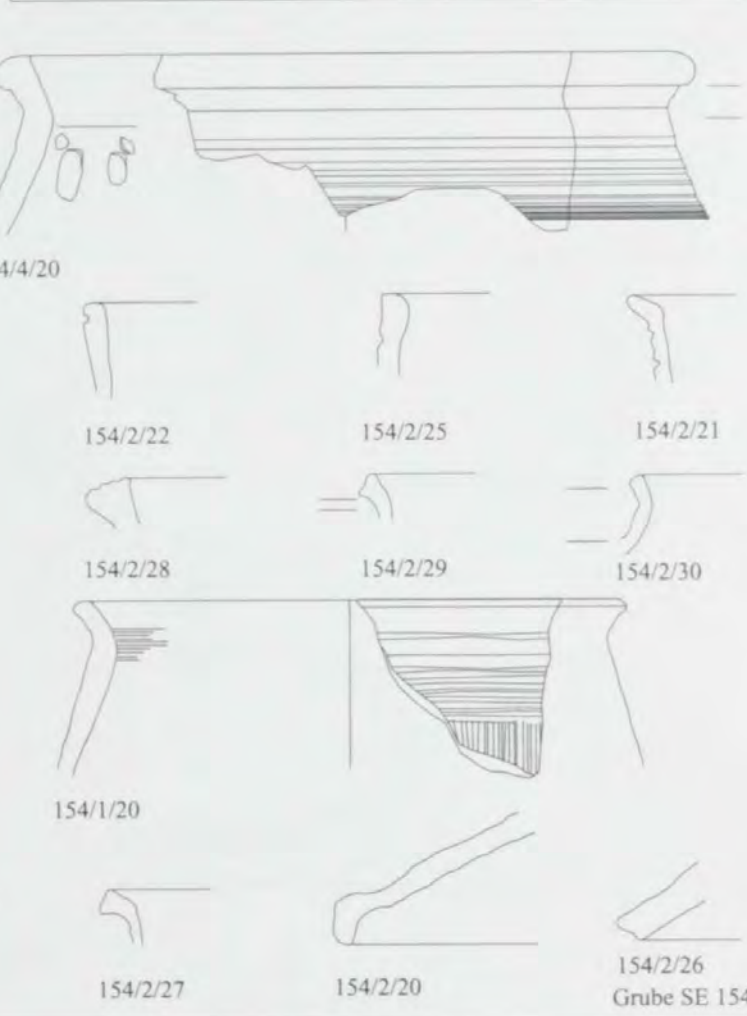
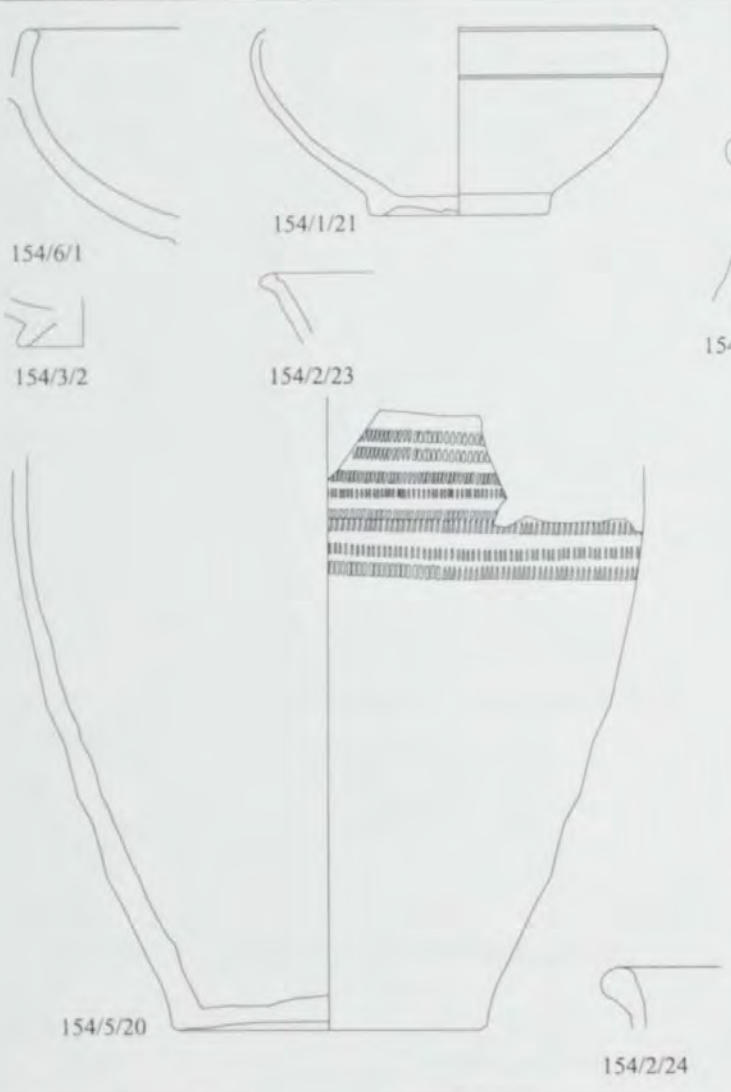
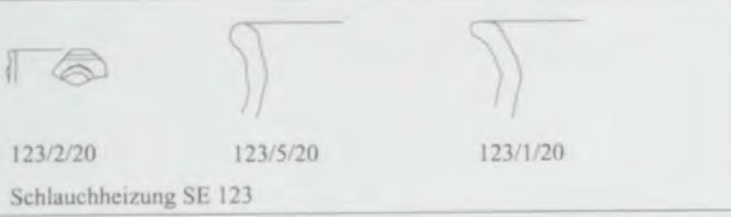
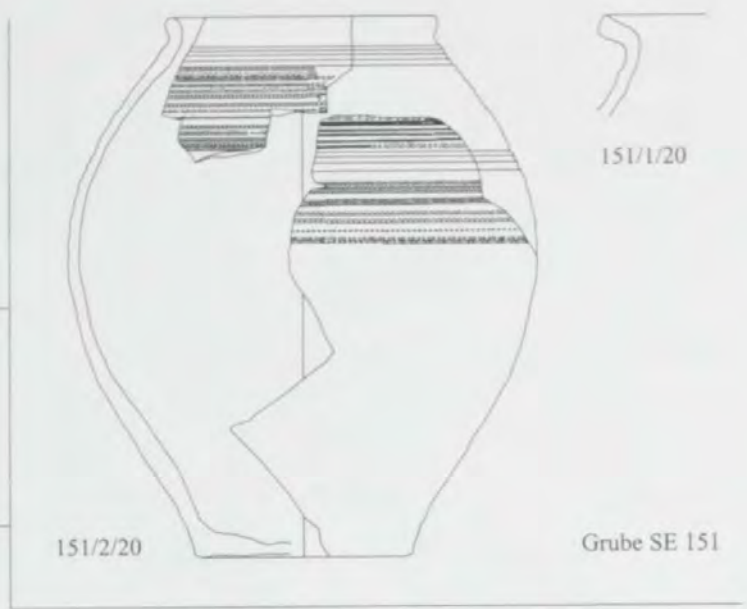
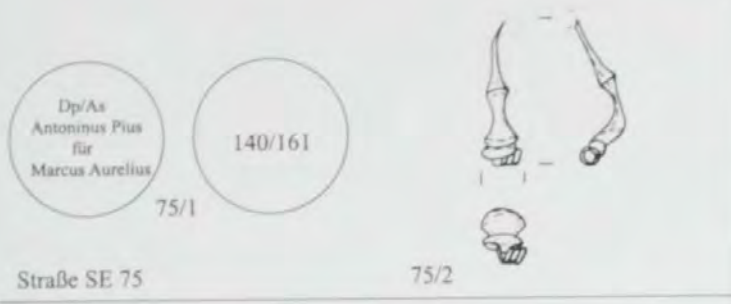
Grube SE 121

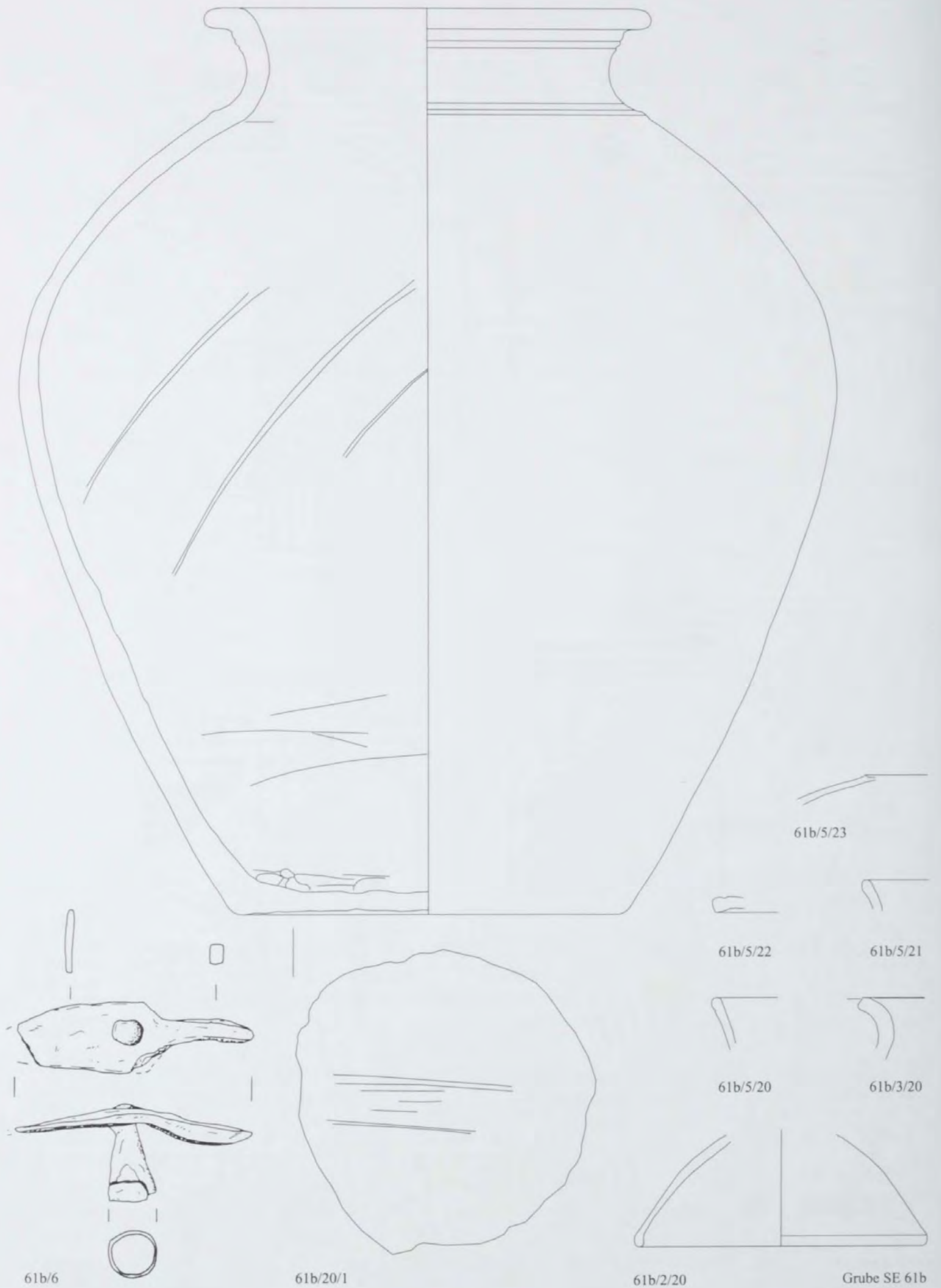


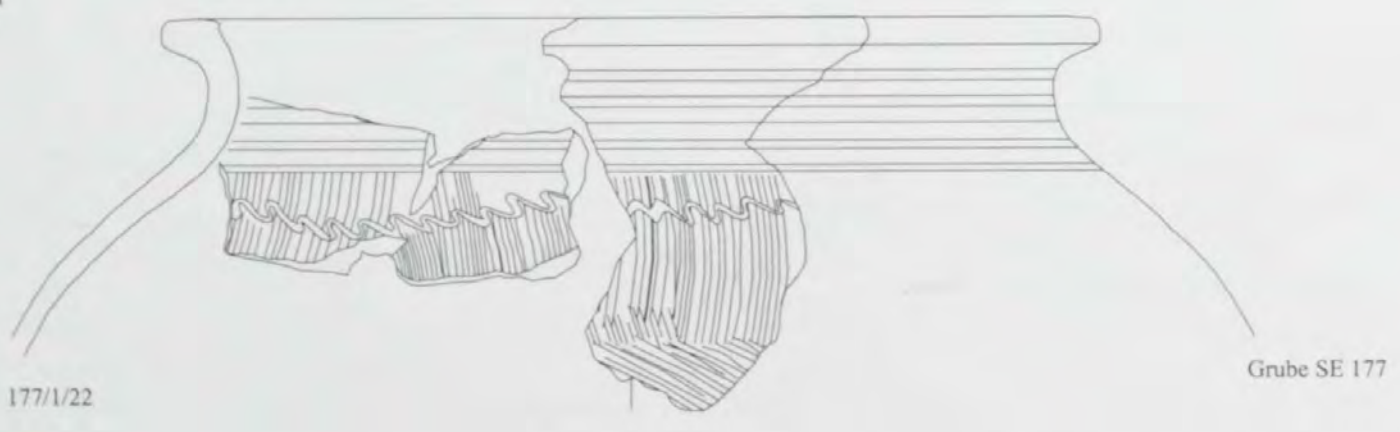
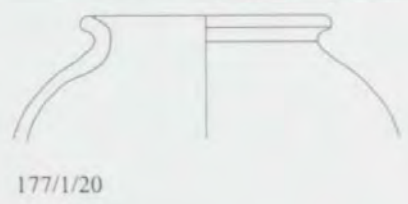
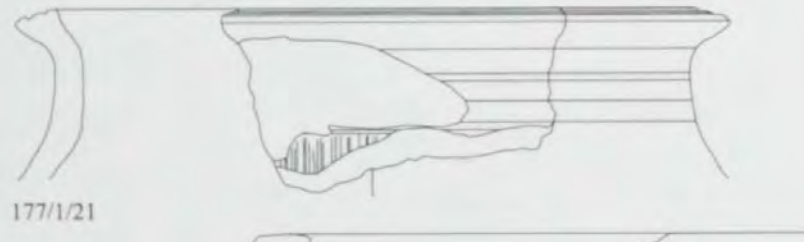
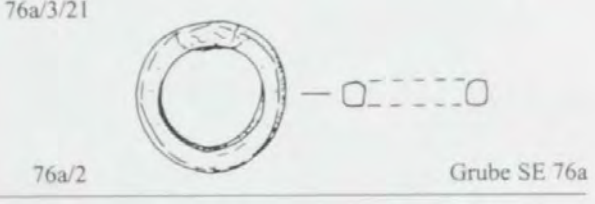
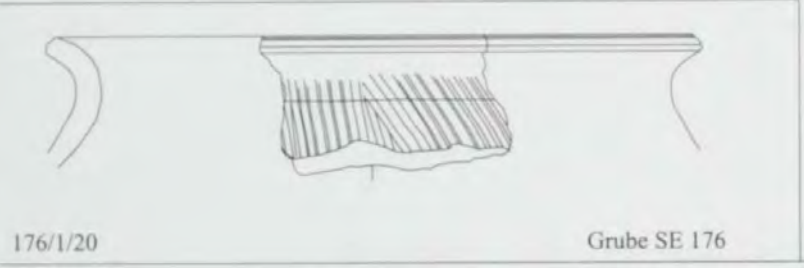
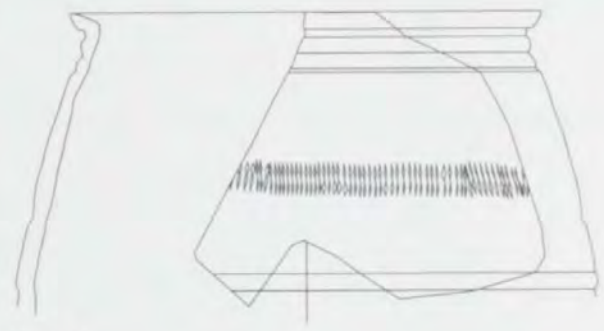
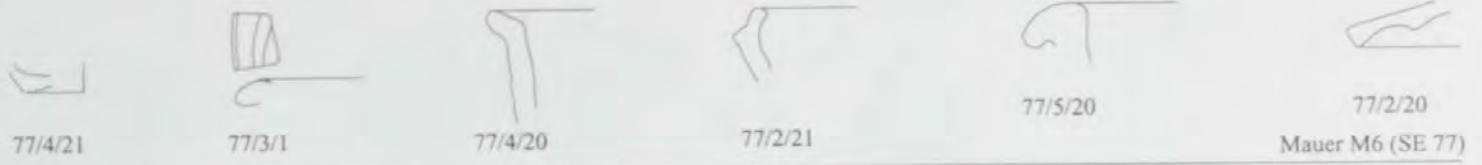
122/1/20

122/2/20

Grube SE 122

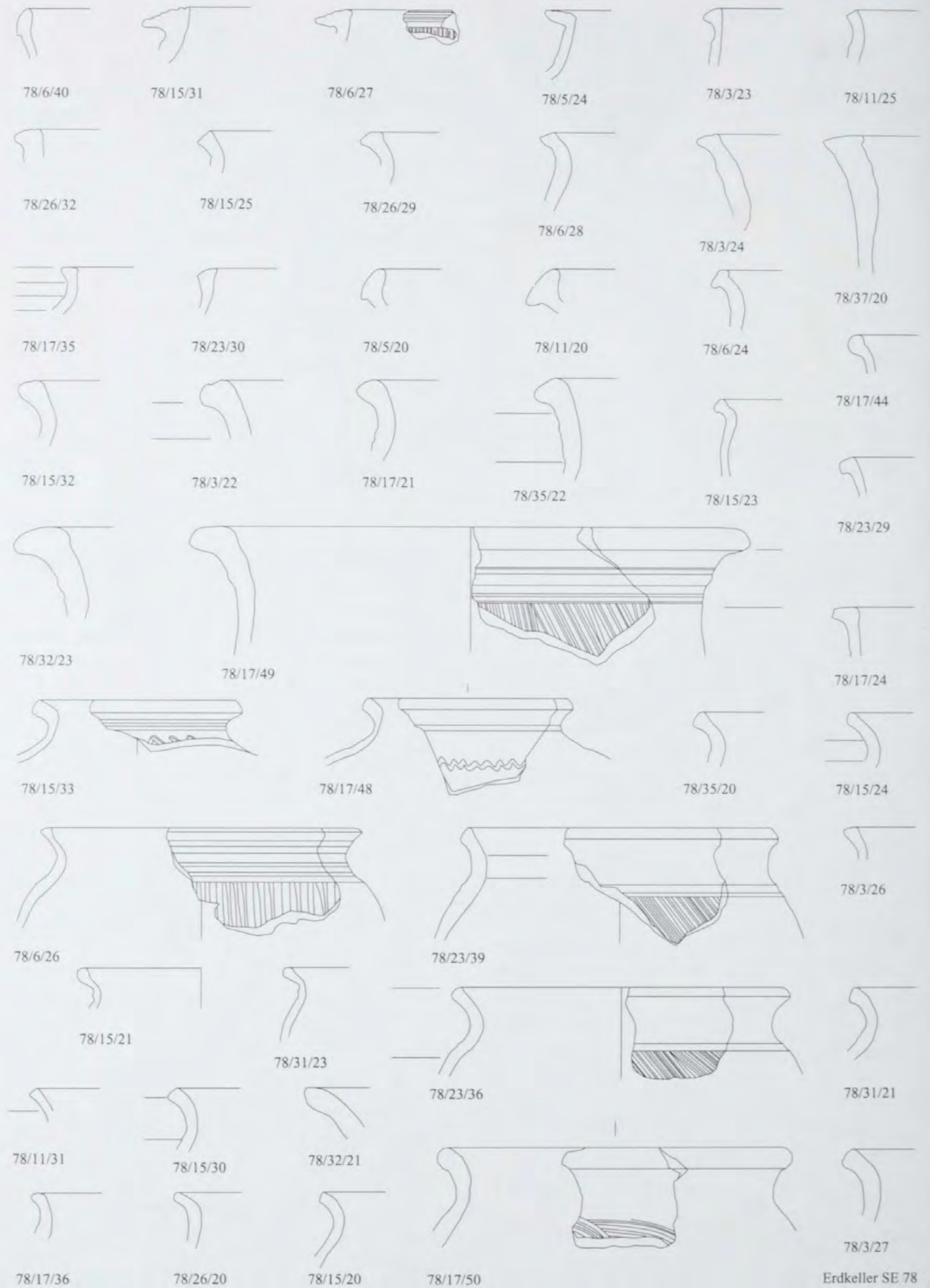


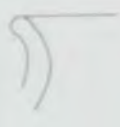








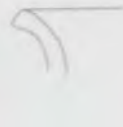




78/11/22



78/17/30



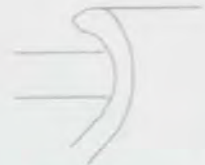
78/15/41



78/23/27



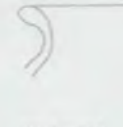
78/15/22



78/17/39



78/1/20



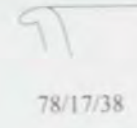
78/31/24



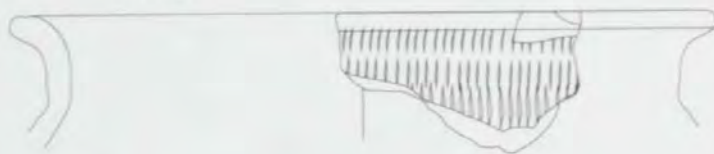
78/23/25



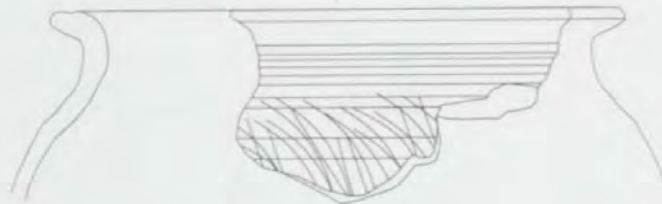
78/23/21



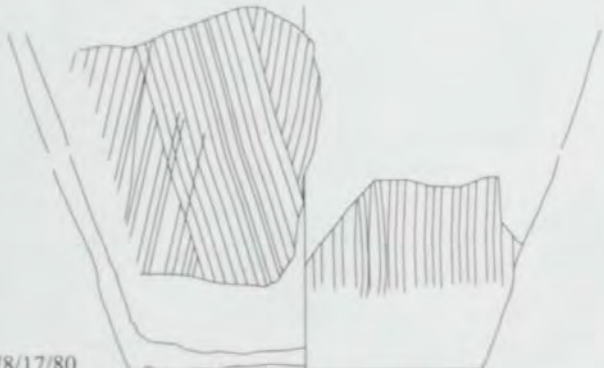
78/17/38



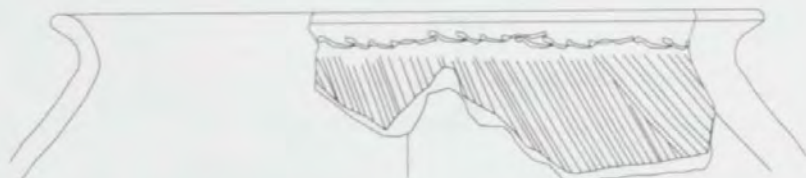
78/23/37



78/3/28



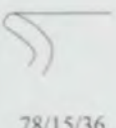
78/17/80



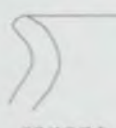
78/17/81



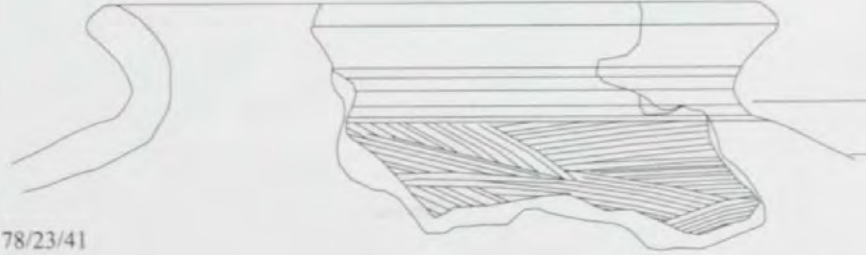
78/23/35



78/15/36

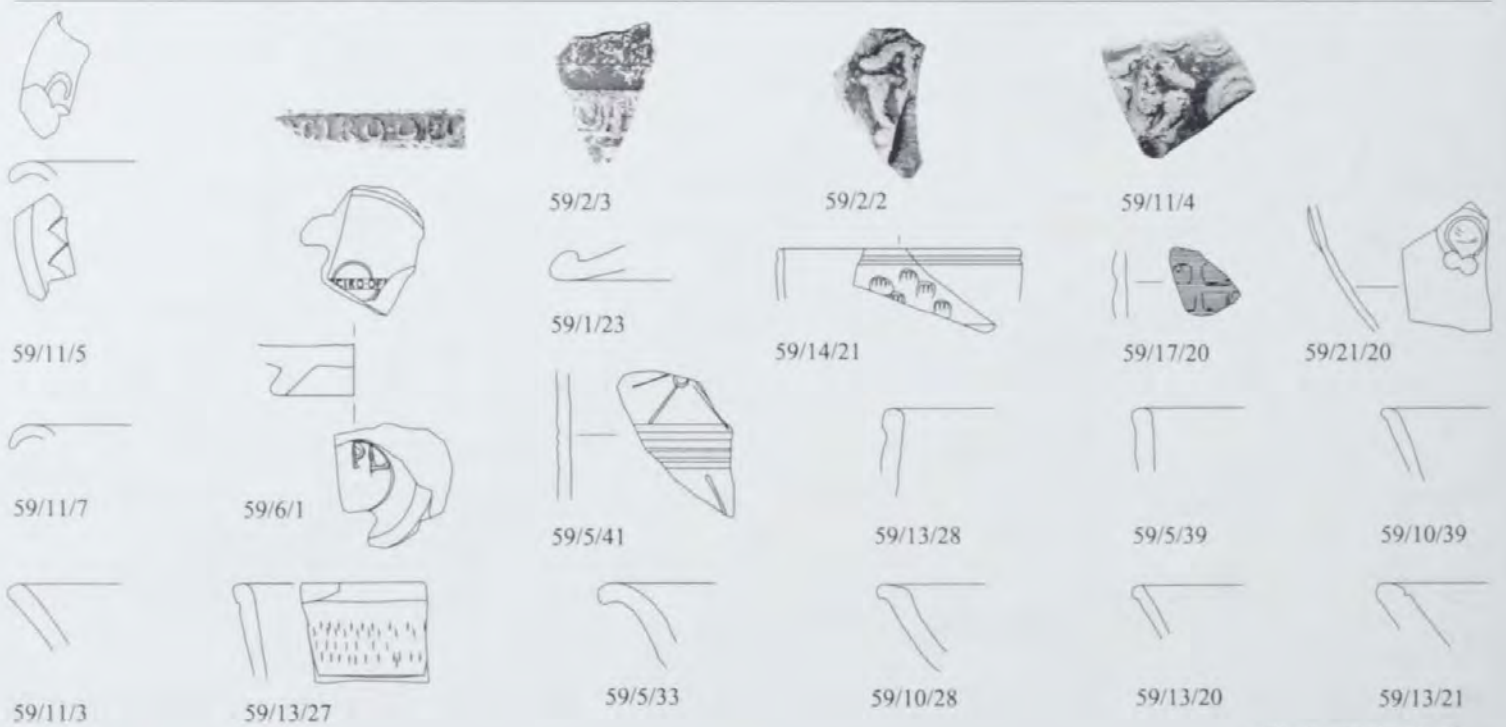
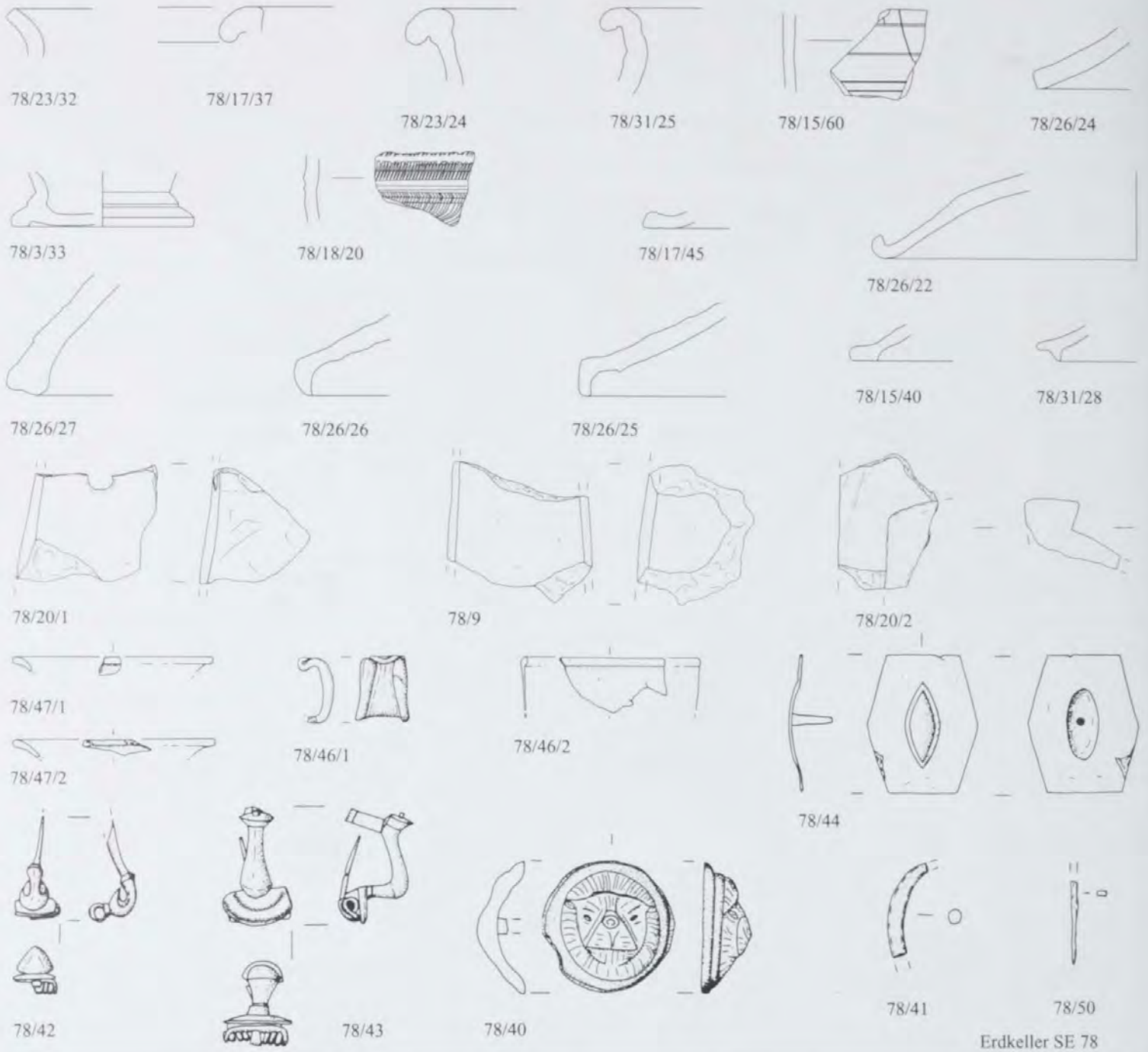


78/17/32



78/23/41

Erdkeller SE 78





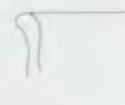
59/22/1



59/23/4



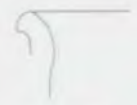
59/22/1



59/13/31



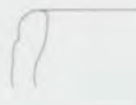
59/10/40



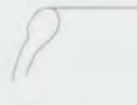
59/10/33



59/16/22



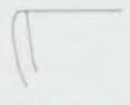
59/10/23



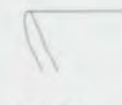
59/1/24



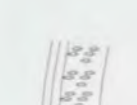
59/10/57



59/22/1



59/8/23

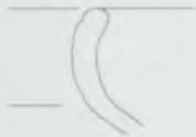


59/10/30

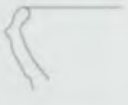


59/24/20

59/22/1



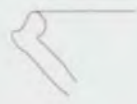
59/5/20



59/5/23



59/16/21



59/10/38

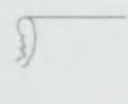


59/10/32

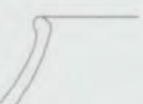


59/12/20

59/10/27

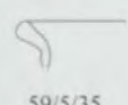


59/1/25

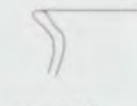
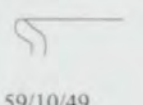


59/10/22

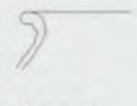
59/10/42



59/10/47

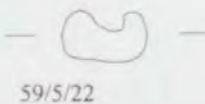
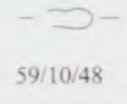


59/14/20



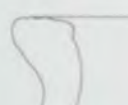
59/13/29

59/13/24

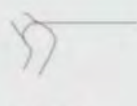


59/5/22

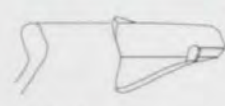
59/5/35



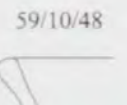
59/10/49



59/5/27



59/5/43

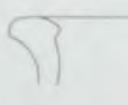


59/10/46

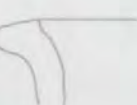
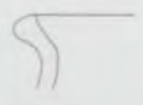


59/5/25

59/5/26



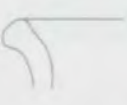
59/8/21



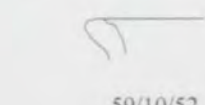
59/5/21



59/10/31



59/5/29



59/10/52

59/10/36

59/5/40

Planierschicht SE 59

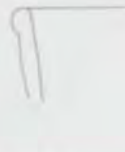




60/41/1



60/8/9



60/8/5



60/14/3



60/8/10



60/5/3



60/16/20



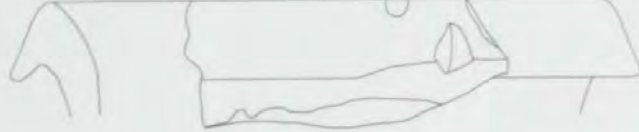
60/13/37



60/4/21



60/32/27



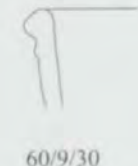
60/31/20



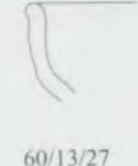
60/23/23



60/35/23



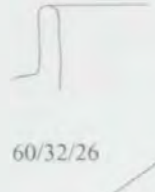
60/9/30



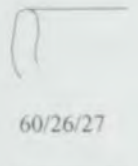
60/13/27



60/7/23



60/32/26



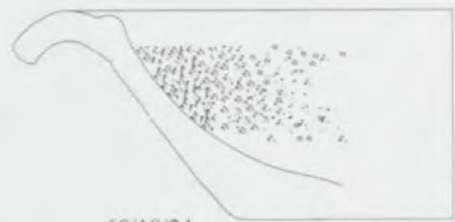
60/26/27



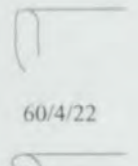
60/10/22



60/10/20



60/10/24



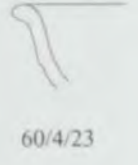
60/4/22



60/10/21



60/26/29



60/4/23



60/26/30



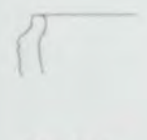
60/13/22



60/26/20



60/21/24



60/32/29



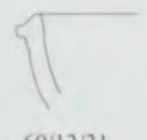
60/35/21



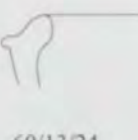
60/32/23



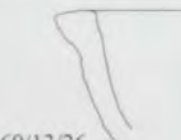
60/9/21



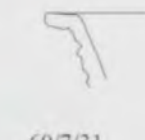
60/13/31



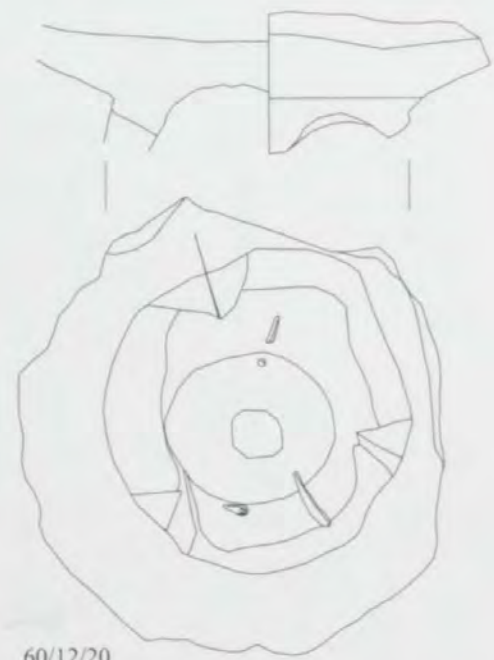
60/13/24



60/13/26

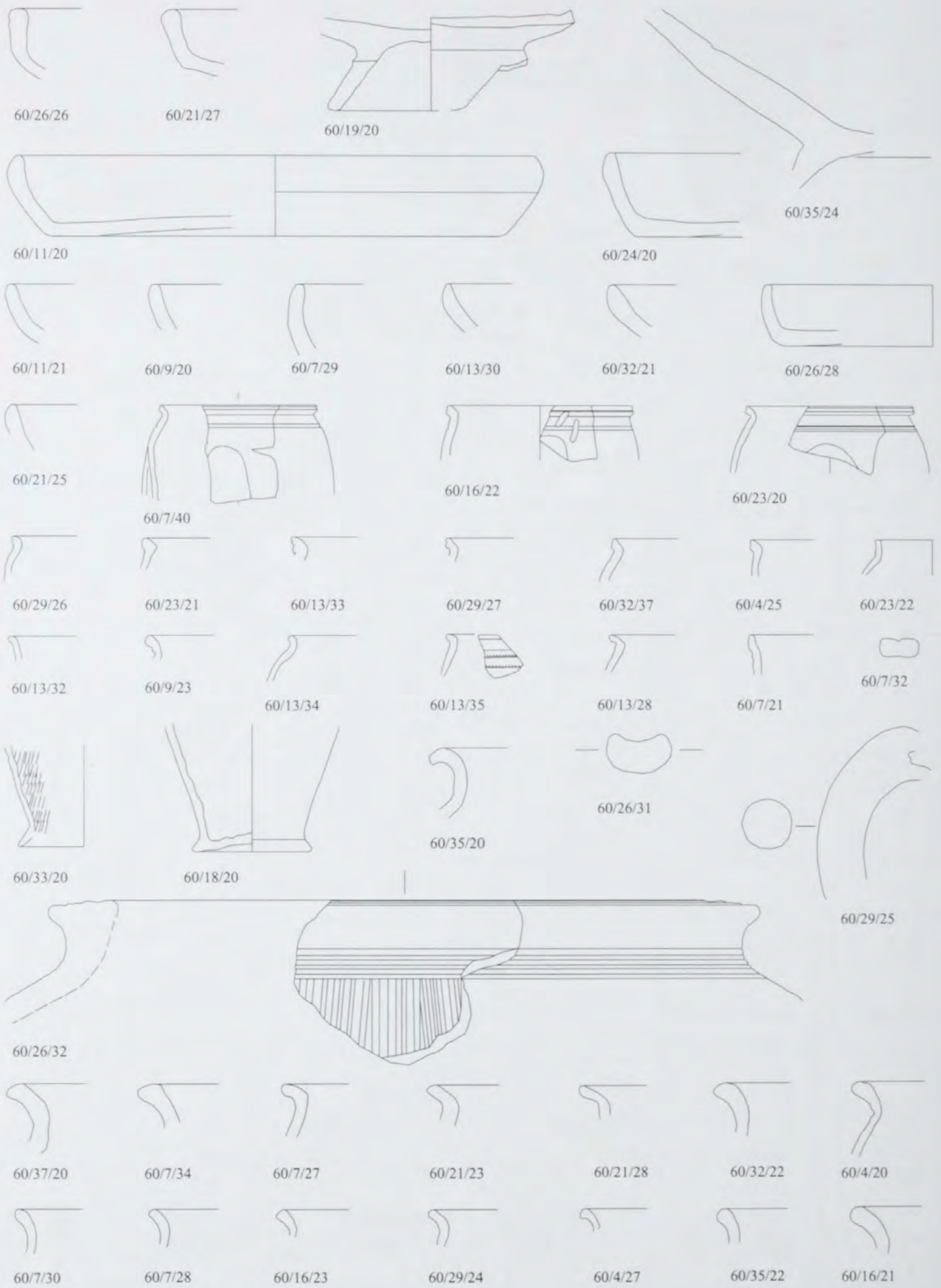


60/7/31

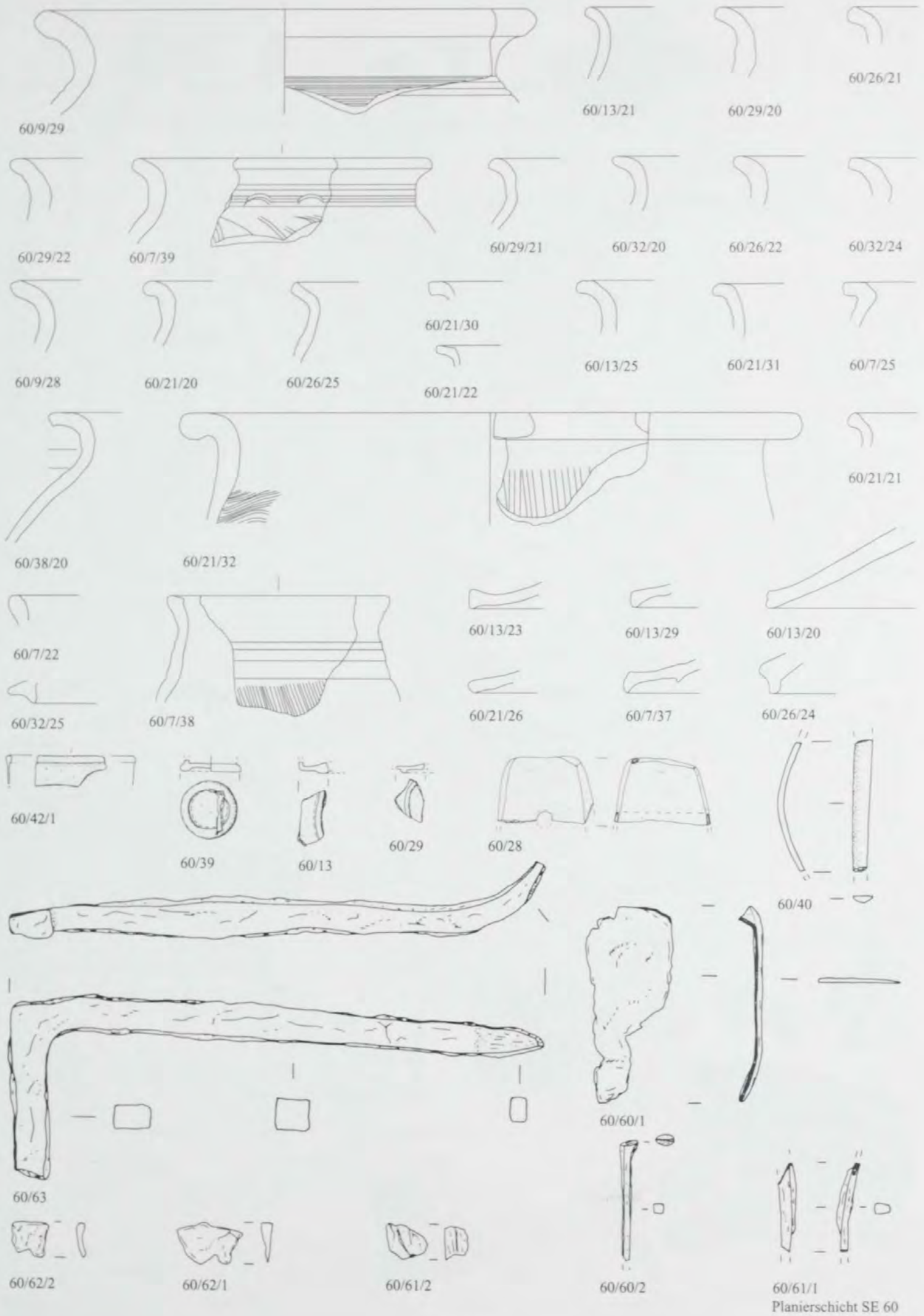


60/12/20

Planierschicht SE 60

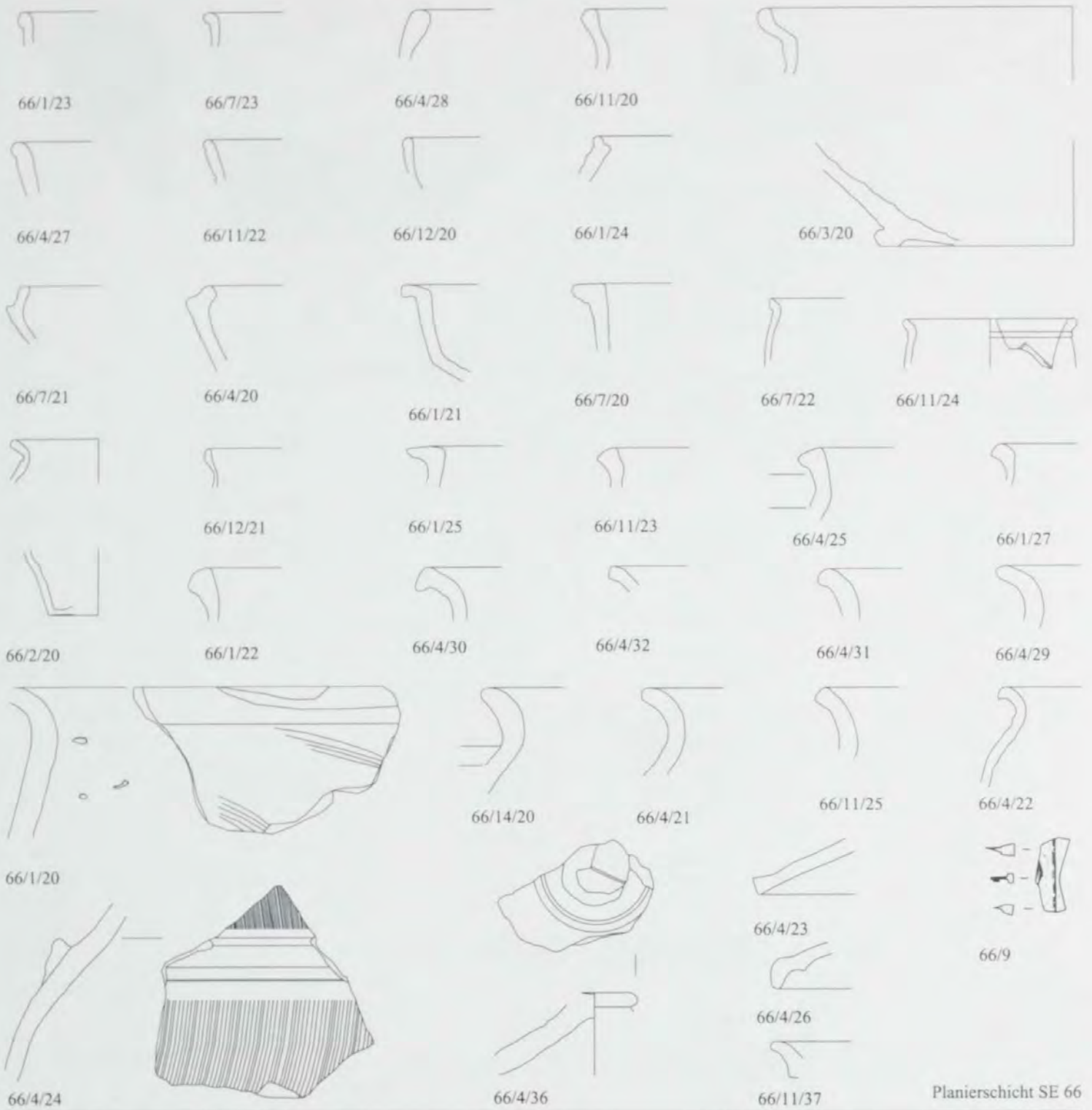


Planierschicht SE 60

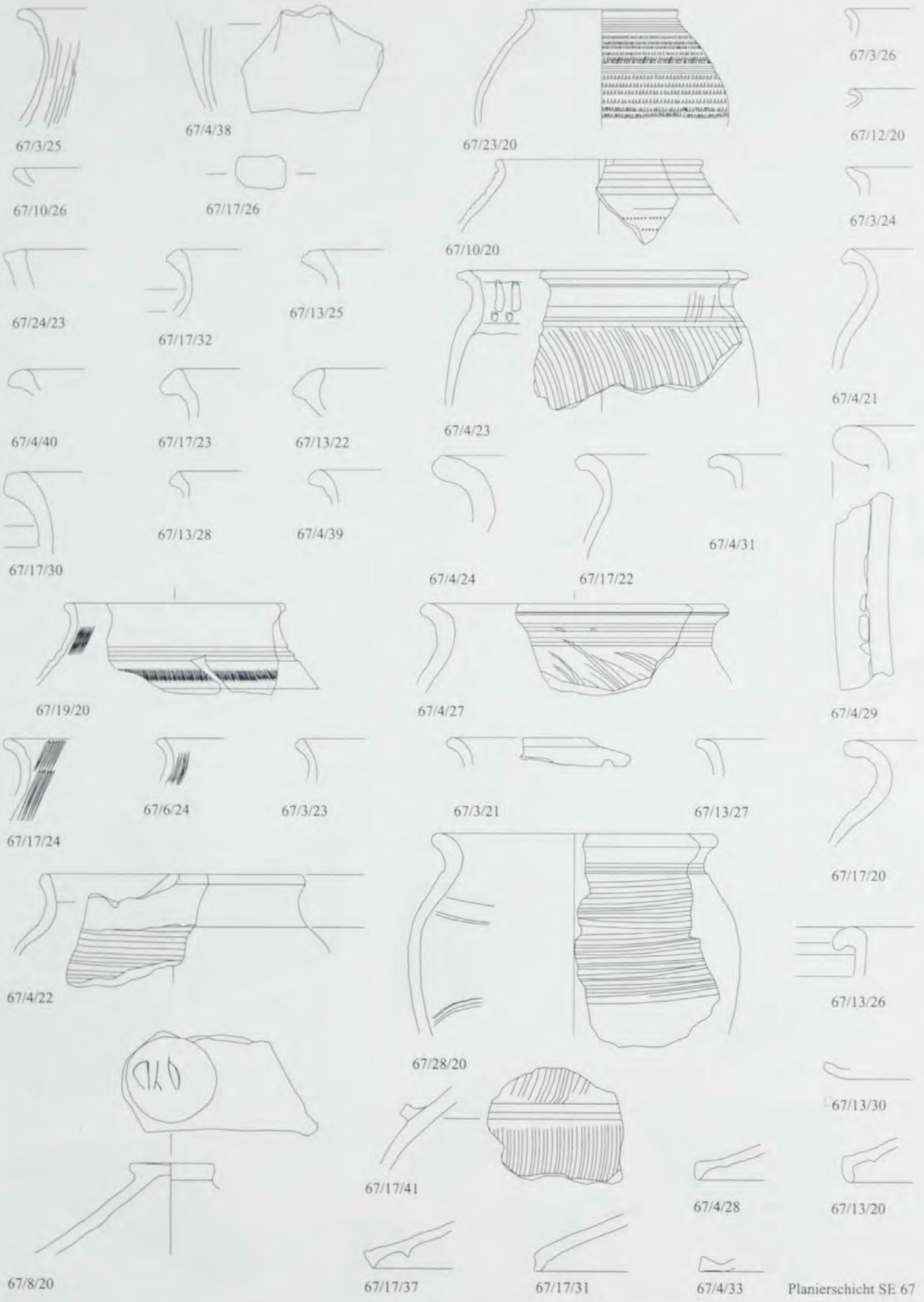


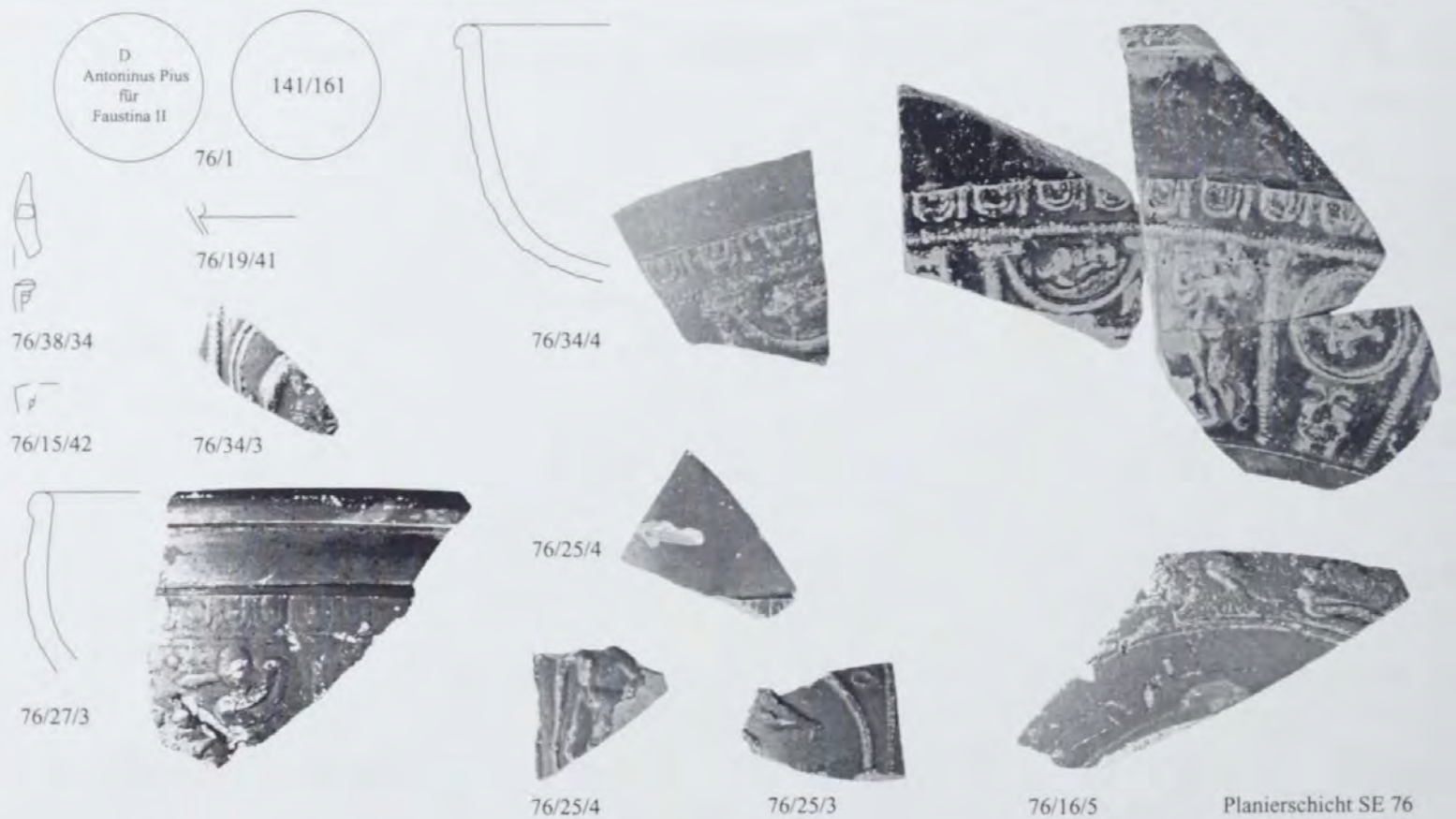
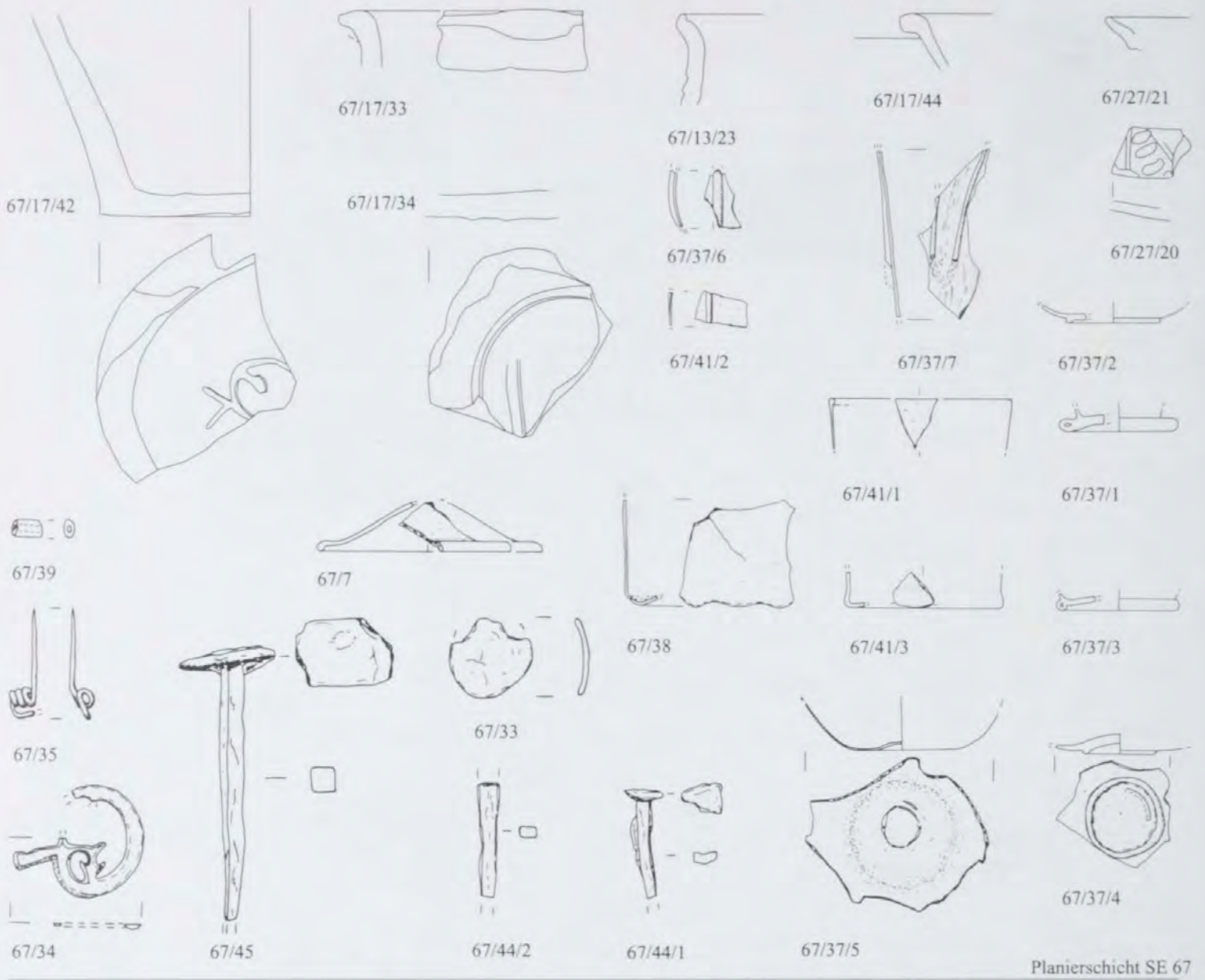
Planierschicht SE 60

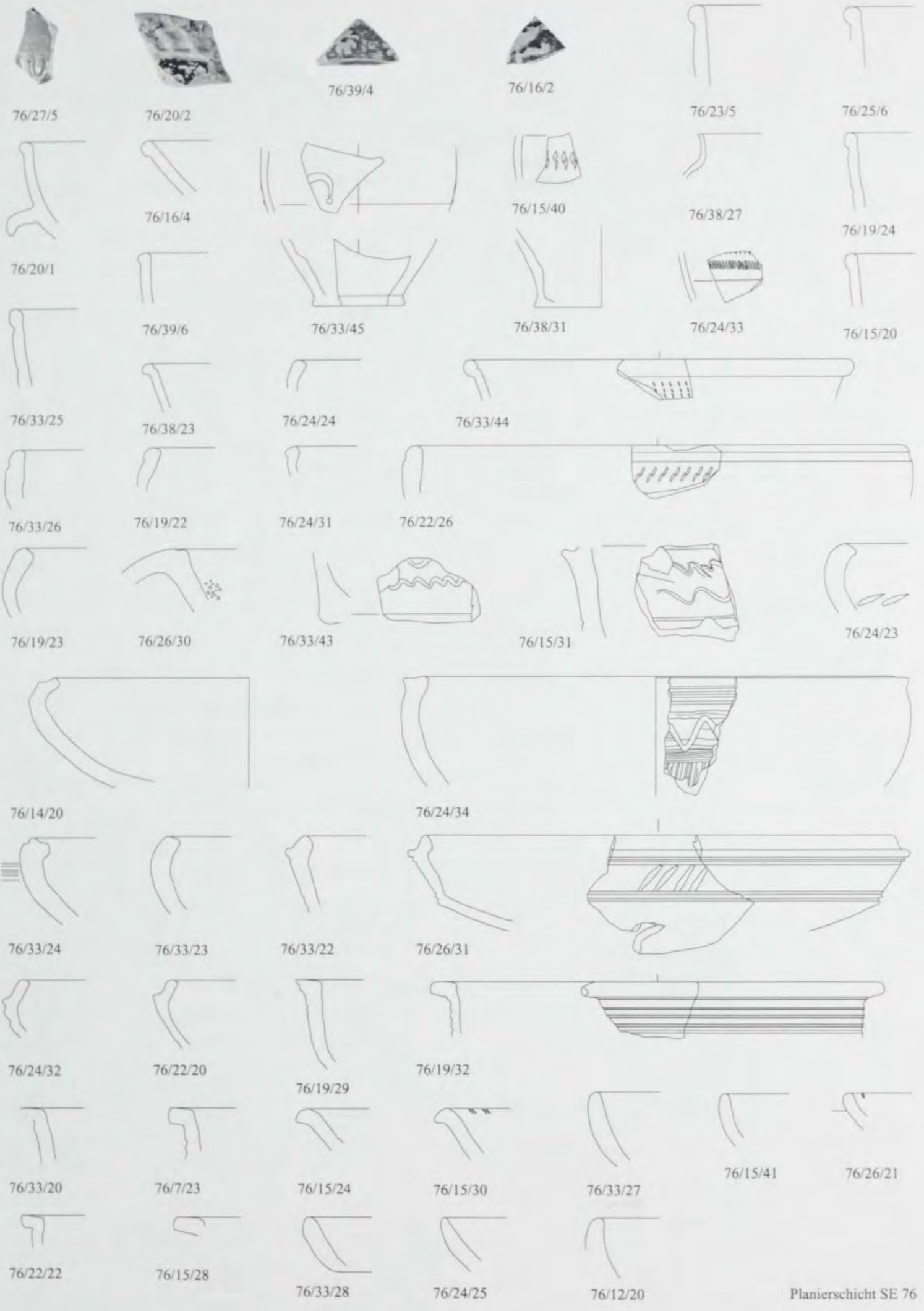












Planierschicht SE 76

Periode 4.1



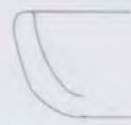
76/38/28



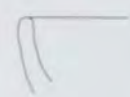
76/26/25



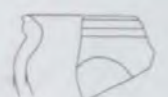
76/26/26



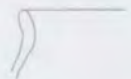
76/22/23



76/19/38



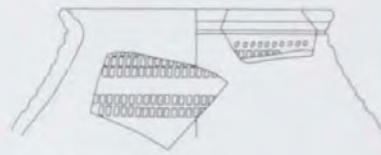
76/19/31



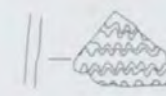
76/38/22



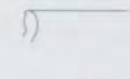
76/33/31



76/7/25



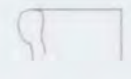
76/18/20



76/15/43



76/22/24



76/15/25



76/33/29



76/33/30



76/3/26



76/24/35



76/24/30



76/19/34



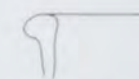
76/19/35



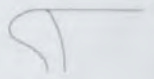
76/15/21



76/24/26



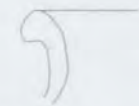
76/22/25



76/24/22



76/19/20



76/38/30



76/19/37



76/19/21



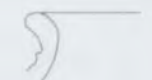
76/19/33



76/24/20



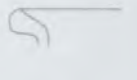
76/26/24



76/33/39



76/26/20



76/33/42



76/3/24



76/15/27



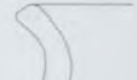
76/3/22



76/15/22



76/38/29



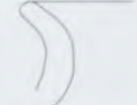
76/7/20



76/33/41



76/33/34



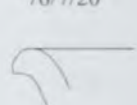
76/3/21



76/3/20



76/7/21



76/38/26



76/19/43



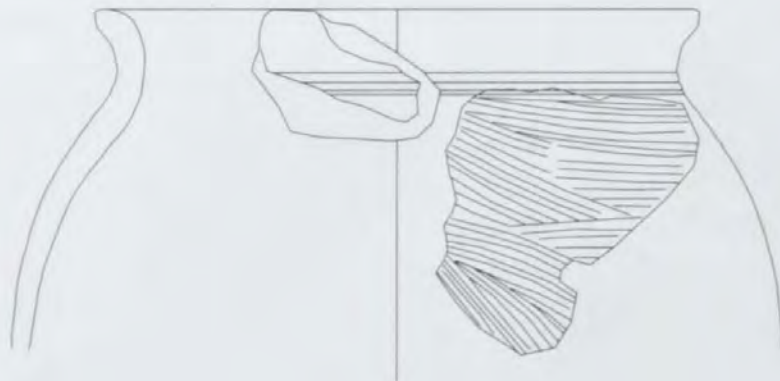
76/33/40



76/33/33



76/33/38



76/22/27



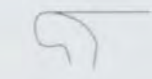
76/7/24



76/33/35



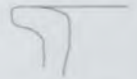
76/15/29



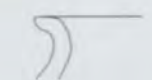
76/7/22



76/38/32



76/33/36

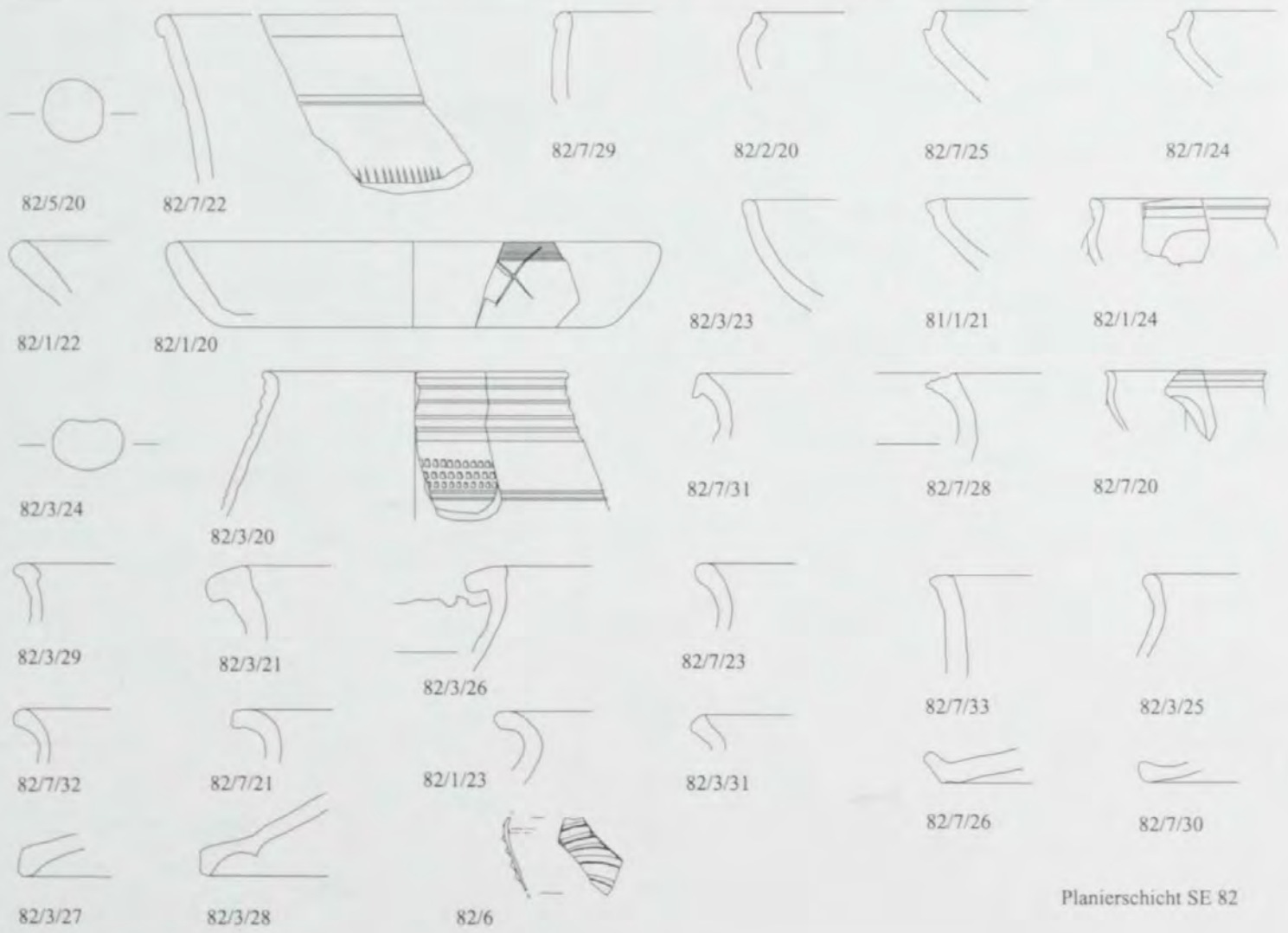
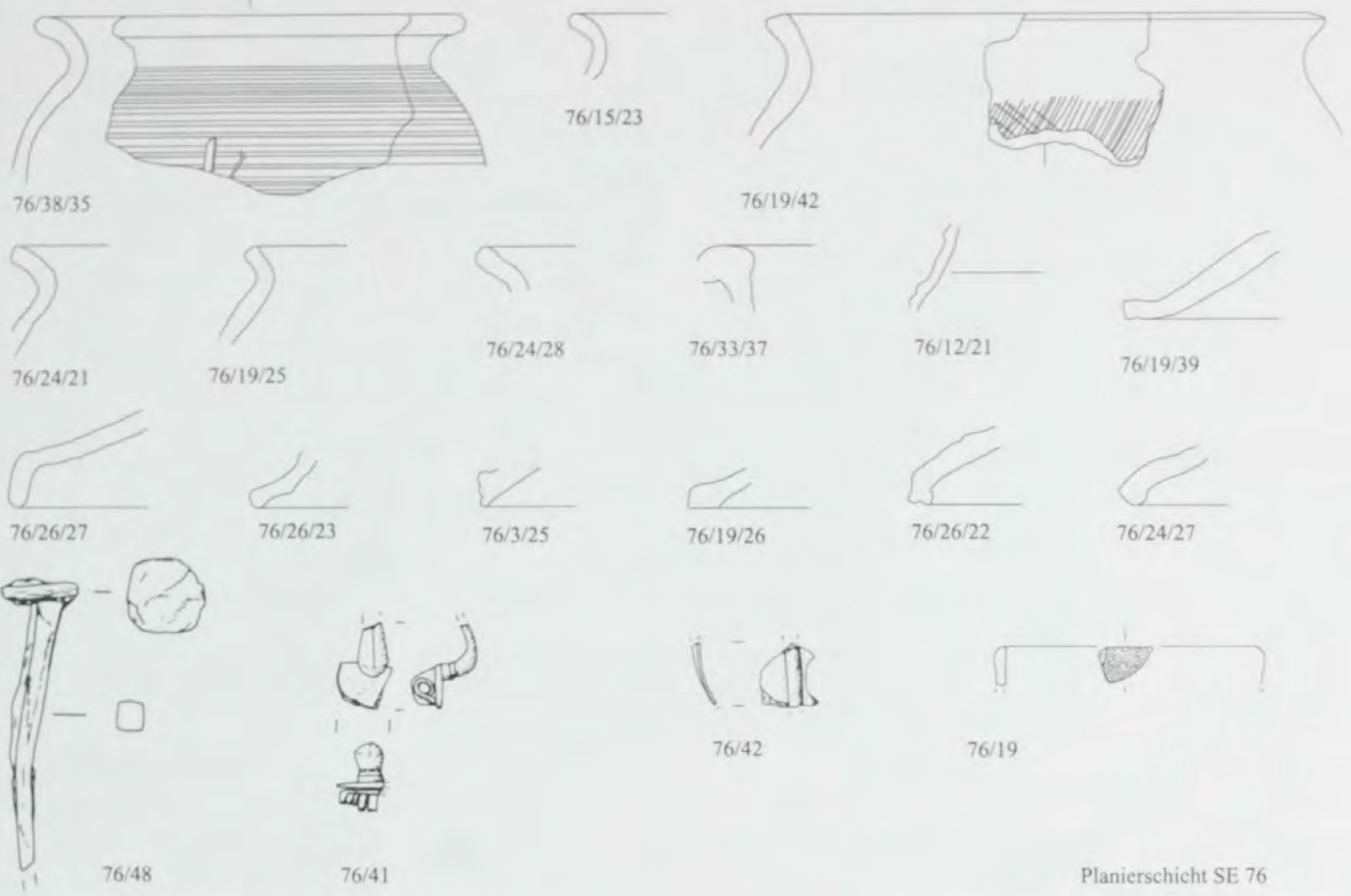


76/38/24



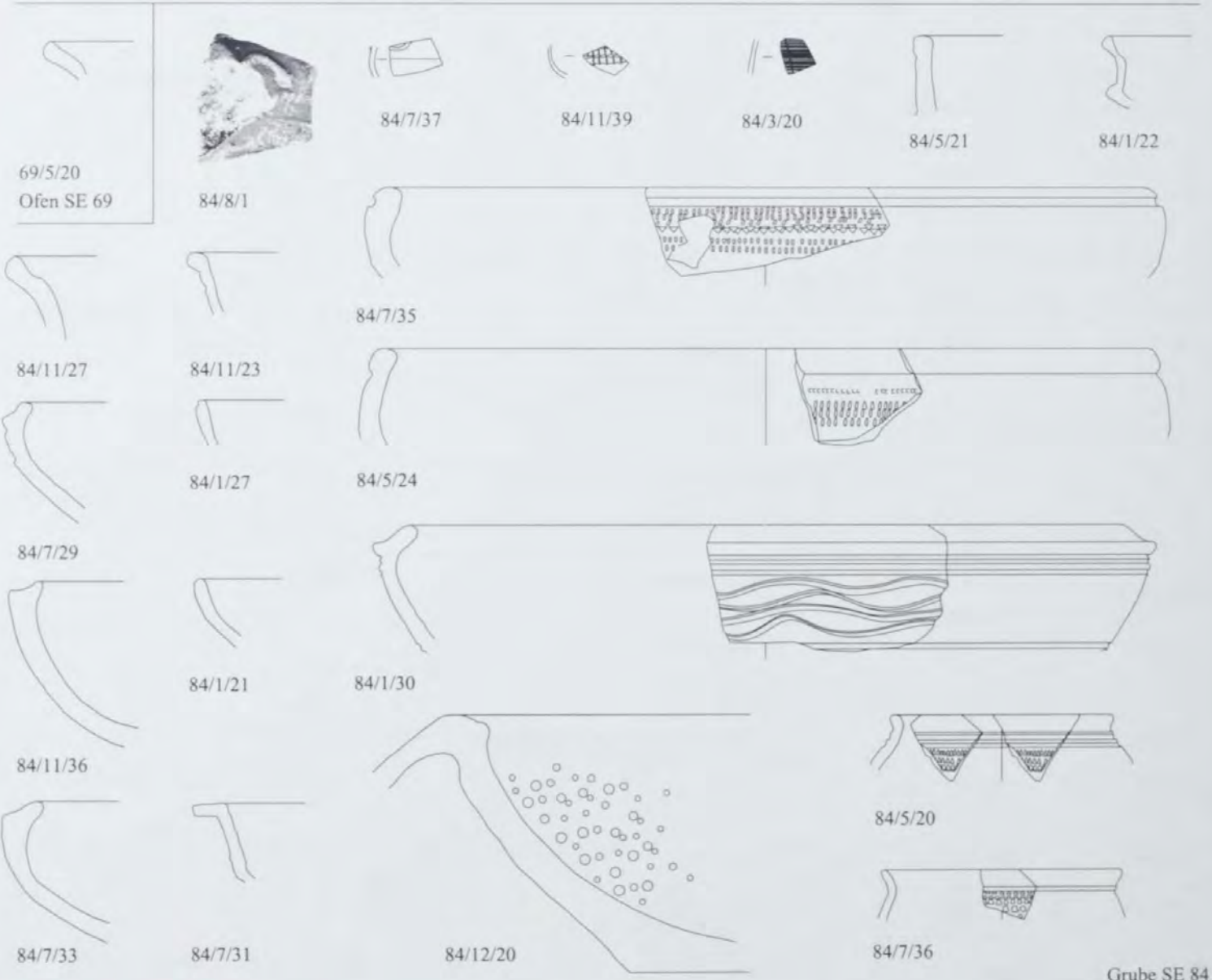
76/22/21

Planierschicht SE 76





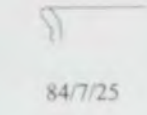
Versturz-/Planierschicht SE 74



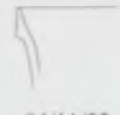
Grube SE 84



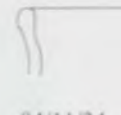
84/11/38



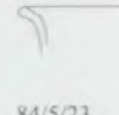
84/7/25



84/11/22



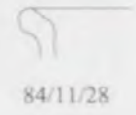
84/11/34



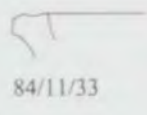
84/5/23



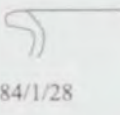
84/11/31



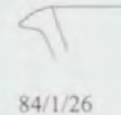
84/11/28



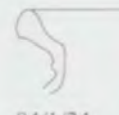
84/11/33



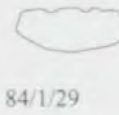
84/1/28



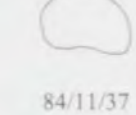
84/1/26



84/1/24



84/1/29



84/11/37



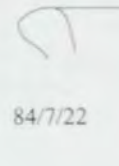
84/11/40



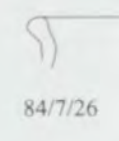
84/11/20



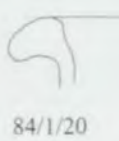
84/7/21



84/7/22



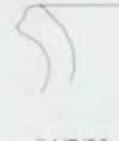
84/7/26



84/1/20



84/5/22



84/7/23



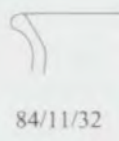
84/7/24



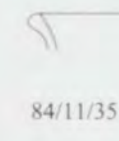
84/7/20



84/7/34



84/11/32



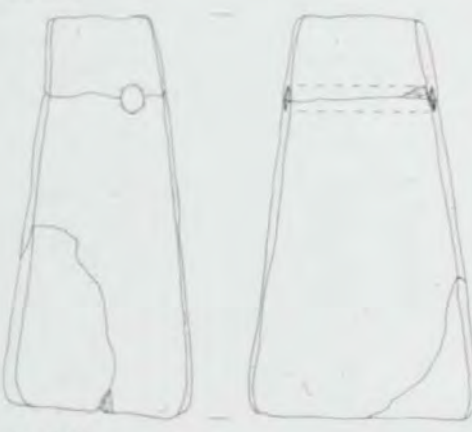
84/11/35



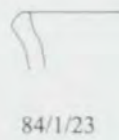
84/11/29



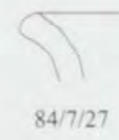
84/11/24



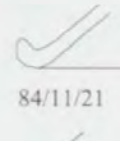
84/10.13



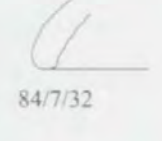
84/1/23



84/7/27



84/11/21



84/7/32

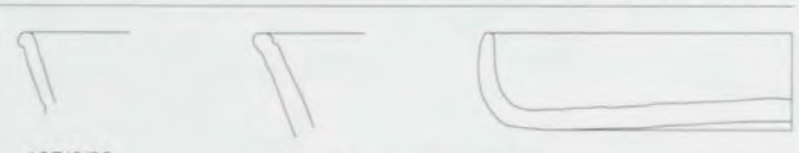


84/4



84/11/26

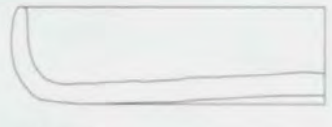
Grube SE 84



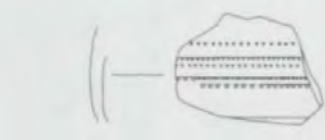
127/5/22



127/1/21



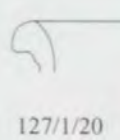
127/6/21



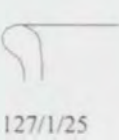
128/1/20



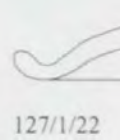
128/6/21



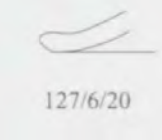
127/1/20



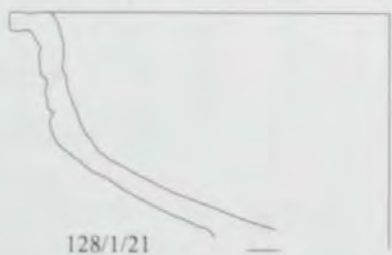
127/1/25



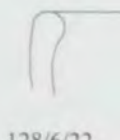
127/1/22



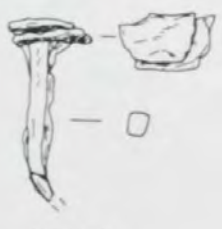
127/6/20



128/1/21



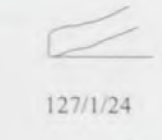
128/6/22



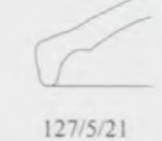
127/10/1



127/10/2



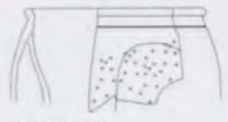
127/1/24



127/5/21

Grube SE 128

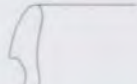
Ofen SE 127



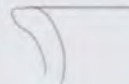
128/2/20



128/1/22



128/6/20

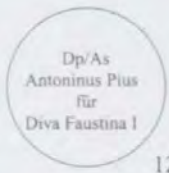


128/3/20

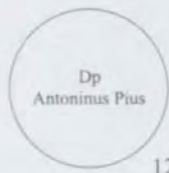
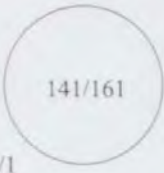


128/1/23

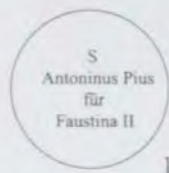
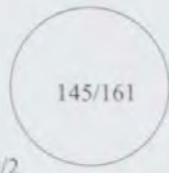
Grube SE 128



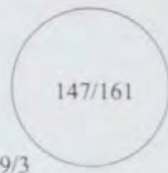
129/1



129/2



129/3



129/19/20



129/27/1



129/17/1



129/16/6



129/16/7



129/12/20



129/18/21



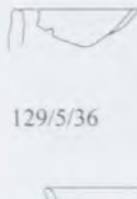
129/18/20



129/18/22



129/5/23



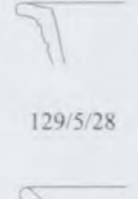
129/5/36



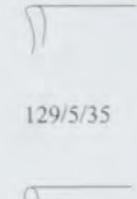
129/5/33



129/5/24



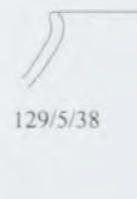
129/5/28



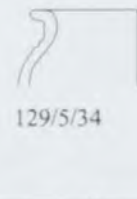
129/5/35



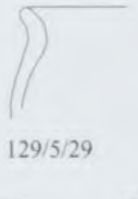
129/5/30



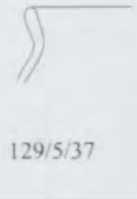
129/5/38



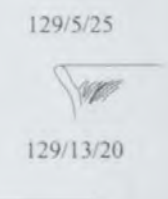
129/5/34



129/5/29



129/5/37

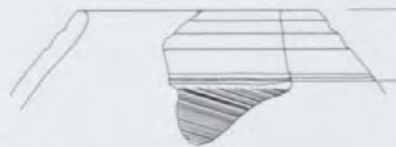


129/5/25

129/13/20



129/7/20



129/9/20



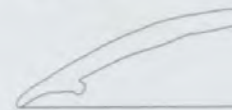
129/5/20



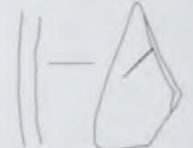
129/6/20



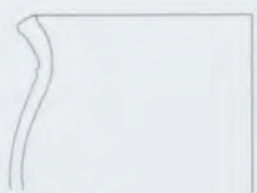
129/5/41



129/5/21



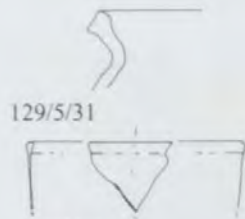
129/5/40



129/5/27



129/5/22



129/5/31

129/21/1



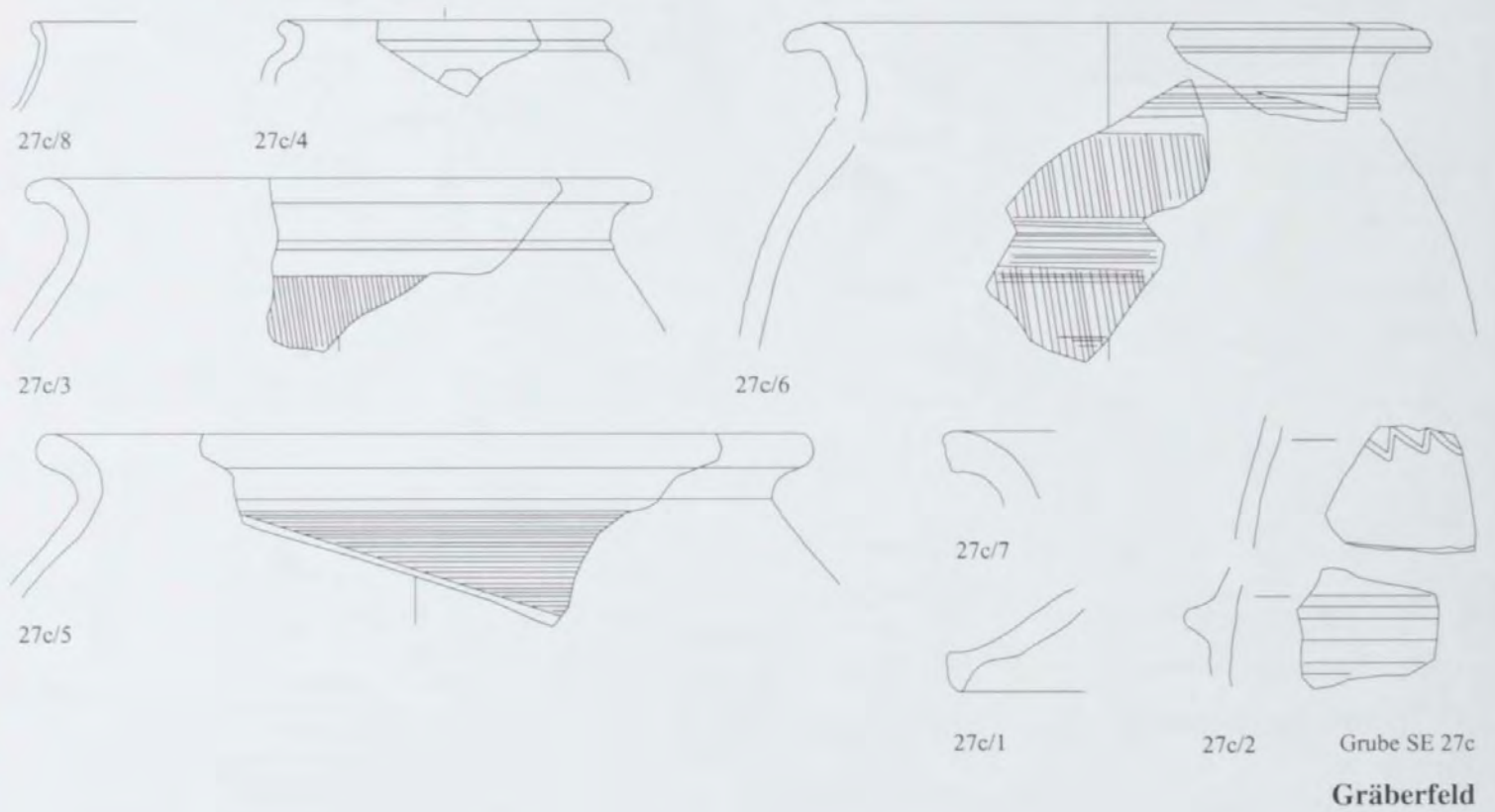
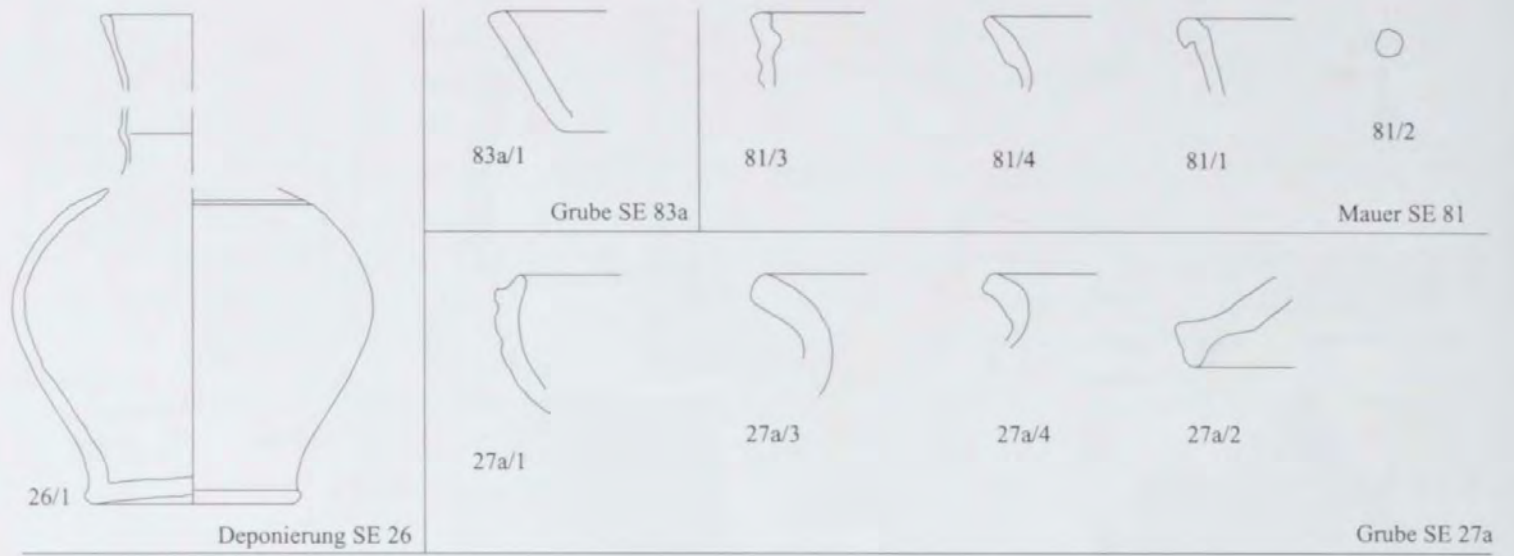
129/21/2

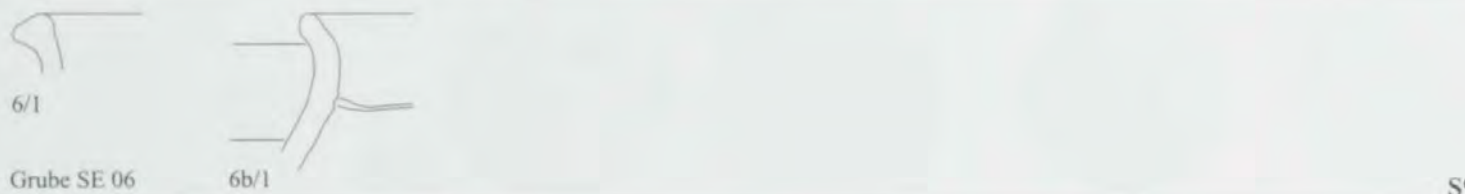
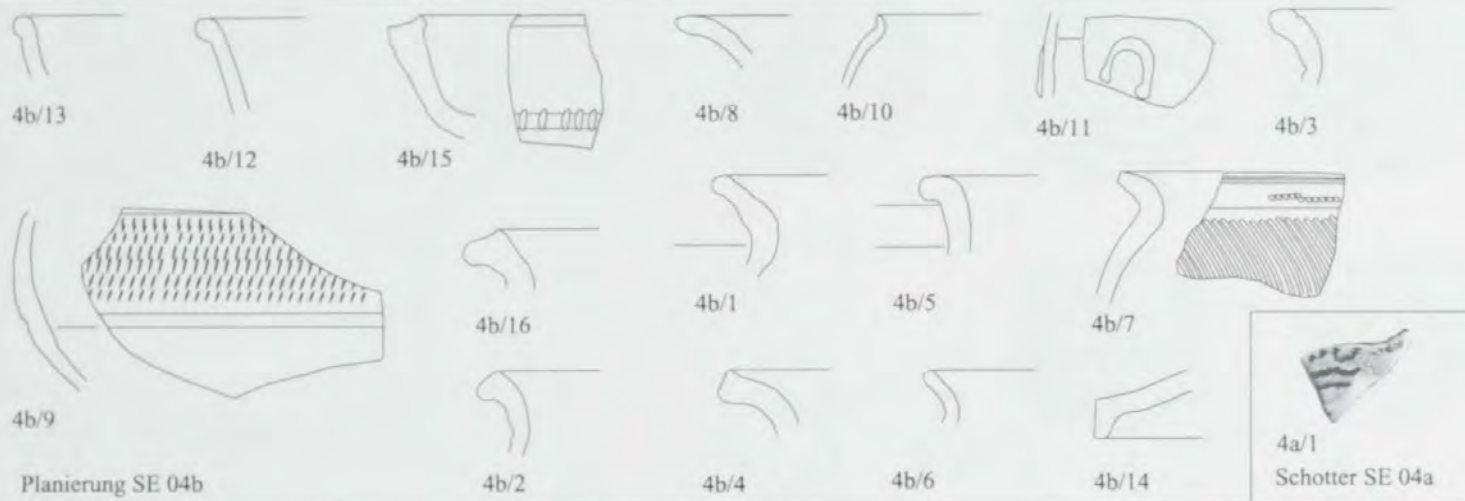
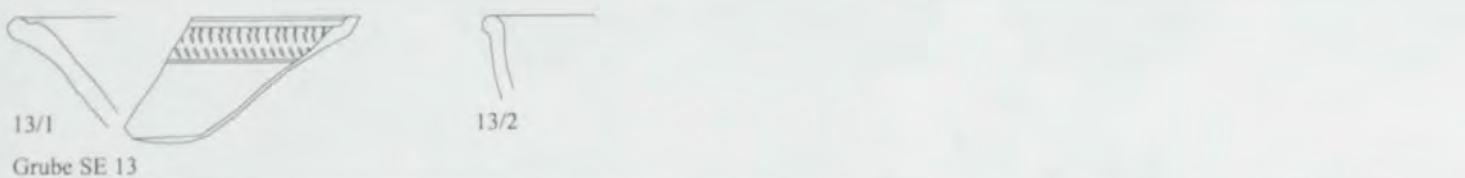
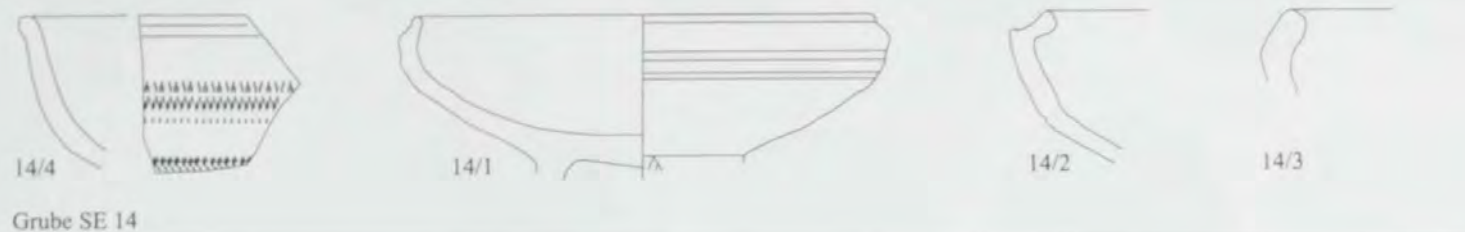
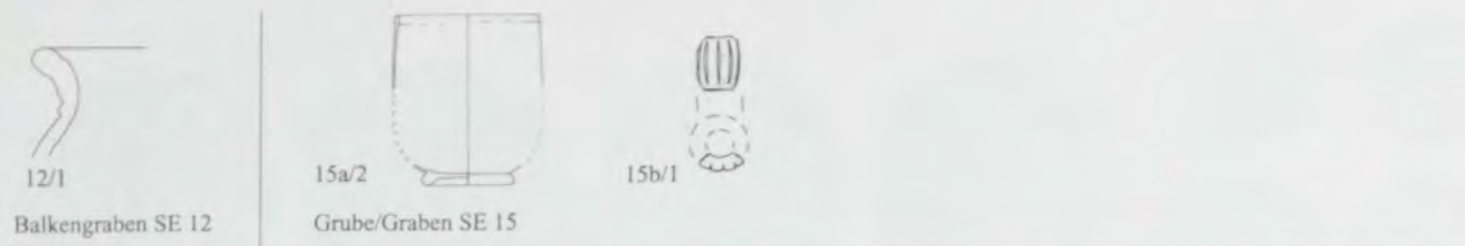


129/20

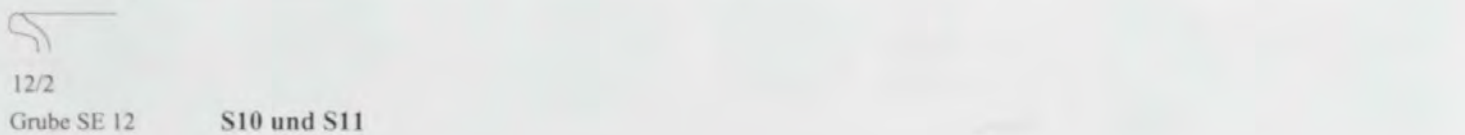
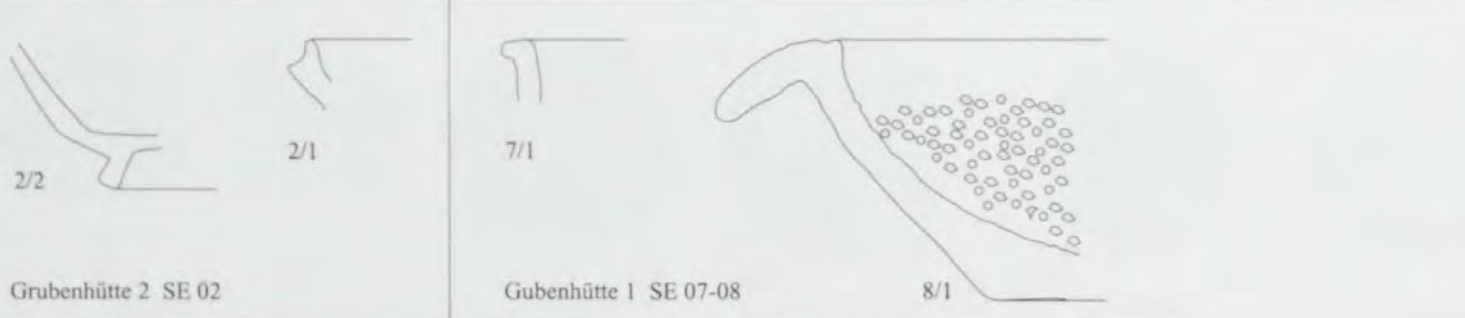
Grube SE 129







S9



S10 und S11

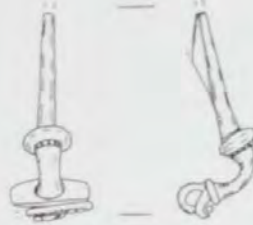




SF45



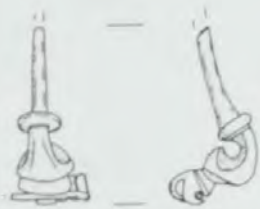
SF160



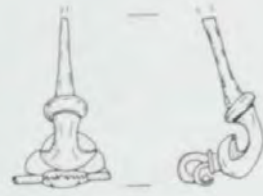
SF123



SF162



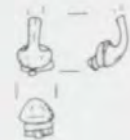
SF12



SF57



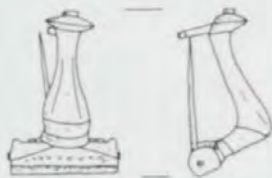
SF16



SF132



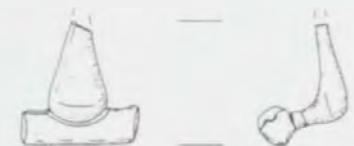
SF106



SF32



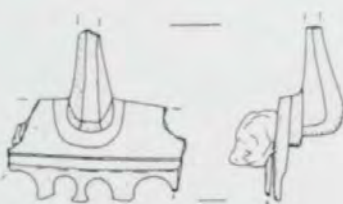
SF39



SF161



SF80



SF59

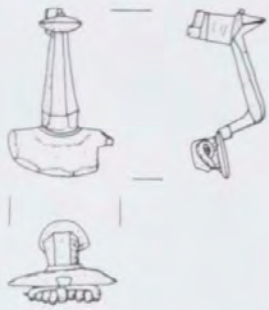


SF94



SF95





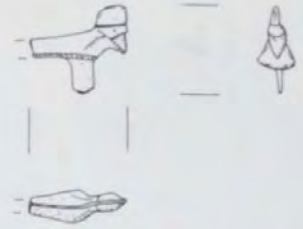
SF131



SF146



SF92



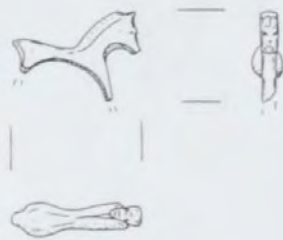
SF104



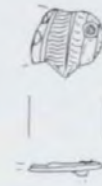
SF153



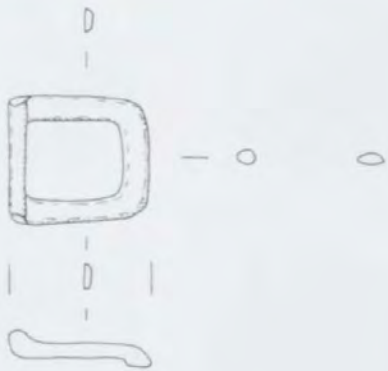
SF114



SF105



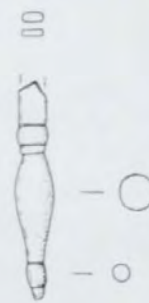
SF147



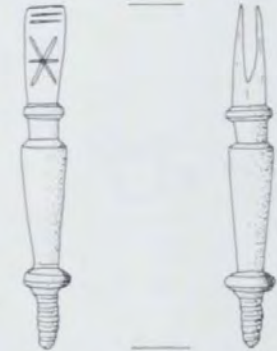
SF33



SF115



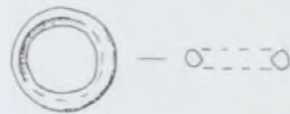
SF73



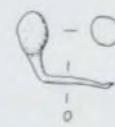
SF125



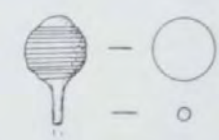
SF124



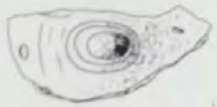
SF128



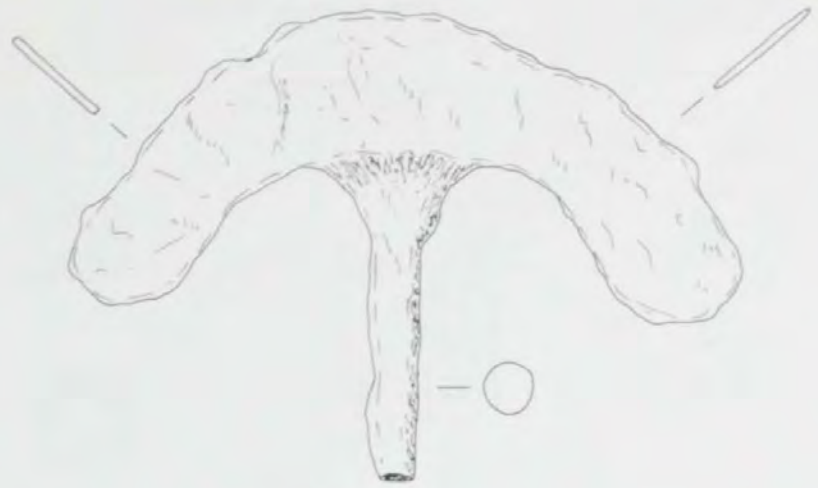
SF135



SF163



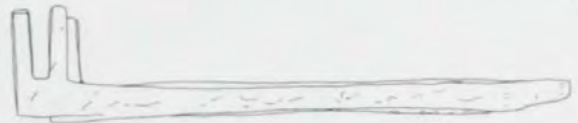
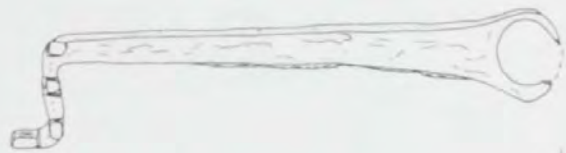
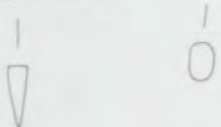
SF30



SF117



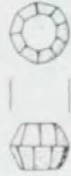
SF150



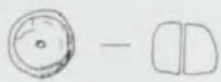
SF74



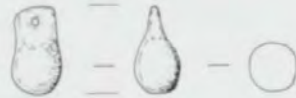
SF50



SF6



SF142



SF4/2



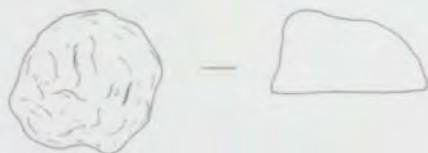
SF4/1



SF61



SF64



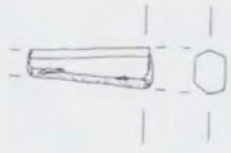
SF62



SF152



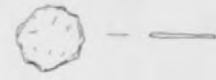
SF118



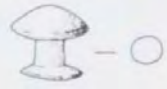
SF83



SF85



SF103



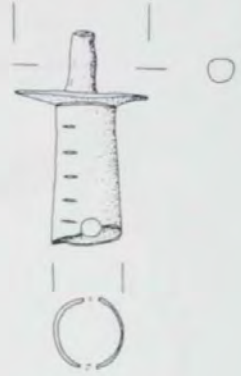
SF148



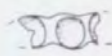
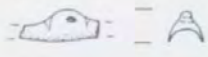
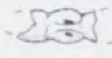
SF96



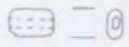
SF42



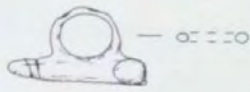
SF144



SF107



SF129



SF164



SF145



SF155/1



SF159



SF155/2



SF130



SF149



SF158



D 3